

КАДЕМИЯ НАУК СССР

ЖУРНАЛ ФИЗИЧЕСКОЙ ХИМИИ

ТОМ
XXXIII

ВЫПУСК 2

ФЕВРАЛЬ

ИЗДАТЕЛЬСТВО АКАДЕМИИ НАУК СССР
МОСКВА · 1959

ЖУРНАЛ ФИЗИЧЕСКОЙ ХИМИИ

Редакционная коллегия:

В. Я. АНОСОВ, К. В. АСТАХОВ, А. И. БРОДСКИЙ, Г. К. БОРЕСКОВ,
Я. П. ГЕРАСИМОВ, С. В. ГОРБАЧЕВ, Г. С. ЖДАНОВ,
Л. А. НИКОЛАЕВ, Н. Н. СЕМЕНОВ, А. Н. ТЕРЕШИН, А. Н. ФРУМКИН,
К. В. ЧМУТОВ

Главный редактор Я. П. ГЕРАСИМОВ

Заместители главного редактора С. В. ГОРБАЧЕВ, К. В. ЧМУТОВ

Отв. секретарь Л. А. НИКОЛАЕВ

ПРИМЕНЕНИЕ ПОЛЯРОГРАФА ДЛЯ ИЗУЧЕНИЯ ВЛИЯНИЯ СИЛЬНЫХ ЭЛЕКТРОЛИТОВ НА ПРОЦЕСС ЭЛЕКТРОЛИЗА МЕДИ И КОБАЛЬТА

П. Н. Коваленко

По имеющимся исследованиям [1—3] потенциал полуволны при электровосстановлении металлов является величиной постоянной, зависящей только от природы полярографируемой соли. Однако потенциал полуволны $E_{1/2}$ находится в зависимости не только от природы исследуемого металла, но, как будет показано ниже, также в значительной степени от природы и концентрации фона. Влияние фона на ртутный анод можно устранить, применяя насыщенный каломельный электрод в качестве внешнего анода [1, 4].

Эффективные коэффициенты диффузии ионов металлов при постоянной температуре раствора зависят в основном от ионной силы раствора μ , которая находится в прямой зависимости от концентрации и валентности ионов, составляющих фон. Изменение значения эффективного коэффициента диффузии ионов с изменением концентрации электролита, как это легко видеть из выражения для μ , обусловлено двумя эффектами: отклонением «осмотической силы» диффузии от ее идеального значения при данной концентрации [5] и изменением ионной силы раствора, а следовательно, изменением подвижности полярографируемых ионов с изменением концентрации электролитов, составляющих фон [6].

Теория предельного тока, отвечающая реальному поведению электролитов, была развита Эйкеном [7] на основе представлений Нернста [8], выраженных им дифференциальным уравнением для диффузии электролитов.

Согласно теории Эйкена, предельная сила тока i_{Π} при электроосаждении металлов из чистого раствора выражается уравнением [7]:

$$i_{\Pi} = \frac{2cURTF S}{\Delta n} \quad (1)$$

Если, однако, раствор одновременно содержит и другие электролиты, составляющие фон и имеющие более отрицательный потенциал, чем электровосстанавливаемый ион, то при отношении общей концентрации анионов этих электролитов к концентрации катионов: $M = c_a/c_k$, согласно Эйкену, i_{Π} в присутствии других электролитов будет равен

$$i_{\Pi} = \frac{2cURTF S}{\Delta n} (M - \sqrt{M(M-1)}). \quad (2)$$

С повышением концентрации «индифферентного» электролита выражение в скобках приближается к предельному значению 0,5 относительно тока, вычисленного согласно приведенной выше формуле.

Слендик [9] проверил зависимость i_{Π} от концентрации индифферентного электролита при полярографировании Cd, Cu и Mn и нашел, что при предельной концентрации этого электролита сила тока уменьшается вдвое, т. е. подавляется только миграционный ток i_m .

Однако, как показано рядом исследователей [1, 8, 10, 11] и нами в настоящей работе, значительная концентрация сильных электролитов подавляет не только миграционный, но и частично диффузионный ток, вследствие уменьшения $D_{эфф}$. На рис. 1 представлена зависимость $D_{эфф}$,

вычисляемого по уравнению Ильковича, от величины ионной силы раствора μ .

Как показывает рисунок, эта зависимость на значительном участке кривой является линейной (μ от 0,5 до 6) и может быть выражена уравнением

$$D_{\text{эфф}} = a_D - b\mu, \quad (1)$$

где a_D и b — постоянные величины для каждого из электровосстанавливаемых ионов и $D_{\text{эфф}}$ — эффективный коэффициент диффузии. Для меди $a_D = 5,5 \cdot 10^{-6}$ и $b = 0,25 \cdot 10^{-6}$. При уменьшении μ от 0,5 и до нуля прямая переходит скачком в кривую до ее пересечения с осью ординат, отсекая отрезок, характеризующий величину D_{Cu} меди при бесконечно разбавленном растворе. Отсутствие индифферентного электролита; в данном случае $D_{\text{Cu}} = 6,3 \cdot 10^{-6}$ см²/сек, хорошо согласуется с литературными данными и величиной, вычисленной для идеальных условий по формуле Нернста [8]:

$$D = \frac{RT}{nF^2} \lambda^0, \quad (2)$$

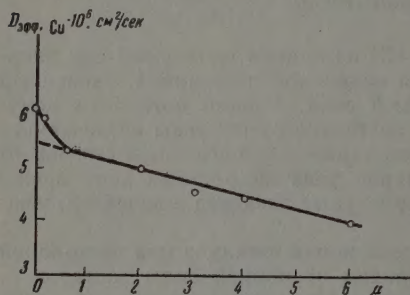


Рис. 1. Зависимость эффективного коэффициента диффузии ионов меди от ионной силы раствора μ

где λ^0 — эквивалентная электропроводность при бесконечном разбавлении раствора. Вследствие расхождения между D , вычисленным

для идеальных условий [8], и $D_{\text{эфф}}$ расчетным методом [1] не дает удовлетворительных результатов [2].

С целью уточнения метода расчета Штакельберг [12] для вычисления i_d предложил модифицированную формулу Ильковича:

$$i_d = 607nCD^{1/2}m^{3/2}t^{1/2}(1 + ADm^{-1/2}t^{1/2}). \quad (3)$$

Значения всех величин в этой формуле те же, что и в уравнении Ильковича, за исключением коэффициента A . Последний был вычислен Стреловым [12], показавшим, что $A = 17$. Уравнение Штакельберга может быть решено по алгебраической формуле:

$$x^3 + px + q = 0.$$

Вещественный корень x_1 находится из уравнения

$$x_1 = \sqrt[3]{-\frac{i_d}{2} + \sqrt{\frac{i_d^2}{4} + \frac{p^3}{27}}} + \sqrt[3]{-\frac{i_d}{2} - \sqrt{\frac{i_d^2}{4} + \frac{p^3}{27}}}, \quad (4)$$

где i_d — соответствует свободному члену q , p — коэффициент при (в первой степени), в нашем случае x соответствует D .

После преобразования формулы Штакельберга при известных значениях: n , s , m , t и D , последняя принимает вид:

$$i_d = aD\sqrt{D} + b\sqrt{D}, \quad (5)$$

где a и b — числовые коэффициенты, зависящие от только что приведенных значений.

Вычисление i_d по формуле Штакельберга сложно и не дает более точных, чем формула Ильковича, результатов. Сравнение вычисленных нами значений i_d по обоим формулам дало лишь незначительные расхождения, находящиеся в пределах методических ошибок и воспроизводимости полярографических измерений.

Лучшие результаты дает модифицированная формула Ильковича:

$$i_d = 605 \cdot n c (a_D - b_{\mu})^{1/2} k, \quad (8)$$

предложенная нами, которая учитывает влияние ионной силы раствора на D (в нее входит $D_{\text{эфф}}$). В данной формуле k — константа капилляра, равная $m^{2/3} t^{1/3} \text{ мг}^2/\text{сек}^{-1/2}$.

Основное уравнение, определяющее обратимость процесса электровосстановления ионов, было впервые выведено Ильковичем:

$$\mathcal{E}_{de} = \mathcal{E}_{1/2} - \frac{0,059}{n} \lg \frac{i}{i_d - i}, \quad (9)$$

где \mathcal{E}_{de} — скачок потенциала при электрохимическом восстановлении ионов, $\mathcal{E}_{1/2}$ — потенциал полуволны, i_d — сила диффузионного предельного тока и i — сила диффузионного тока в любой точке поляризационной кривой. При $\lg \frac{i}{i_d - i} = 0$ $\mathcal{E}_{de} = \mathcal{E}_{1/2}$. Для построения графика вместо величины $\lg \frac{i}{i_d - i}$ может быть взята равная ей величина $\lg \frac{h}{h_d - h}$.

Если тангенс угла наклона лишь немногим больше теоретического значения предлогарифмического коэффициента ($0,070/n$), то поляризацию электрода можно считать концентрационной без большой погрешности; при предлогарифмическом коэффициенте, намного отличающемся от теоретического значения ($0,059/n$), имеет место не только концентрационная, но и химическая поляризация.

Экспериментальная часть

В качестве исходных использовались сернокислые и солянокислые растворы солей кобальта ($2 \cdot 10^{-3}$ моль/л) и меди ($2,5 \cdot 10^{-3}$ моль/л).

Фоном для полярографирования служили растворы дважды перекристаллизованных химически чистых сернокислых и солянокислых солей некоторых металлов I, II, III и IV аналитических групп. Измерения производились при комнатной температуре (18°C). Сила тока измерялась зеркальным гальванометром, абсолютная чувствительность которого $1,1 \cdot 10^{-9}$ А/мм/м, $R_{\text{вн}} = 615 \text{ }\Omega$, $R_{\text{кр}} = 1685 \text{ }\Omega$. Расстояние зеркала гальванометра до его шкалы составляло $0,25 \text{ м}$.

Каждый раствор полярографировался трижды при коэффициенте шунтирования гальванометра 150. В работе использовался капилляр, константа которого для меди: $1,844 \text{ мг}^{2/3} \text{ сек}^{-1/2}$ и для кобальта $1,91 \text{ мг}^{2/3} \text{ сек}^{-1/2}$. Высота полярографической волны в миллиметрах h определялась по способу пересечения касательных и пересчитывалась в микроамперы (i_d).

Полярографический максимум меди и кобальта подавлялся $0,1\%$ раствором метиленового синего или 1% раствором желатин (по 3 капли на 50 мл раствора).

Диффузионный ток и $\mathcal{E}_{1/2}$ меди и кобальта на фоне солей некоторых металлов I и II групп. Для установления зависимости i_d , \mathcal{E} и $\mathcal{E}_{1/2}$ от концентрации фона (от $0,01$ до $1,0 N$) полярографировались соли меди ($2,5 \cdot 10^{-3} N$) и кобальта ($2 \cdot 10^{-3} N$). При всех изученных концентрациях индифферентных солей металлов I и II группы получаются хорошо измеримые волны меди и кобальта.

Как показывает табл. 1, увеличение концентрации фона уменьшает эффективный коэффициент диффузии, что вызывает уменьшение i_d кобальта и меди. В то же время потенциал полуволны кобальта, а в некоторых случаях и меди, смещается в отрицательную сторону.

Таблица 1

Зависимость величины i_d , $D_{эфф}$ и \mathcal{E} и $\mathcal{E}_{1/2}$ кобальта и меди от концентрации солей металлов II группы

Концентрация индифферентной соли, N	h , мм	i_d , μA	$D_{эфф} \cdot 10^6$, cm^2/sec	$\mathcal{E}_{1/2}$, V	\mathcal{E} , V	Фон	Полярграфируемая соль
0,01	18,0	11,9	6,6	-1,22	-1,12	} $MgSO_4$	} кобальт
0,10	17,5	11,5	6,2	-1,24	-1,14		
0,50	16,0	10,6	5,2	-1,26	-1,16		
1,00	15,5	10,2	4,9	-1,27	-1,17		
0,10	17,5	11,5	6,2	-1,24	-1,14	} $MgCl_2$	} кобальт
0,50	16,0	10,6	5,2	-1,25	-1,15		
1,0	15,0	9,9	4,6	-1,26	-1,16		
0,1	20,5	13,5	5,9	-0,06	-0,02	} $MgSO_4$	} меди
0,5	19,0	12,5	5,0	-0,06	-0,02		
1,0	18,0	11,5	4,5	-0,06	-0,02		
0,10	19,0	12,5	5,0	-0,06	-0,02	} $MgCl_2$	} меди
0,50	18,0	11,5	4,5	-0,06	-0,02		
1,0	17,8	11,3	4,4	-0,06	-0,02		
0,01	19,0	12,5	7,3	-1,24	-1,12	} $BaCl_2$	} кобальт
0,10	18,0	11,9	6,6	-1,24	-1,12		
0,50	17,5	11,5	6,2	-1,25	-1,13		
1,0	16,0	10,6	5,2	-1,25	-1,13		
0,01	21,5	14,2	6,5	-0,075	-0,02	} $BaCl_2$	} меди
0,10	21,0	13,9	6,2	-0,075	-0,02		
0,5	13,0	8,6	2,4	-0,16	-0,13		
0,01	18,0	11,9	6,6	-1,26	-1,14	} $CaCl_2$	} кобальт
0,10	17,5	11,5	6,2	-1,27	-1,15		
1,0	17,5	11,2	5,9	-1,29	-1,17		

Понижение силы диффузионного тока и сдвиг потенциала полуволны, как указывалось выше, легко объяснить увеличением ионной силы раствора, которая оказывает значительное влияние на коэффициент диффузий, входящий в уравнение Ильковича (рис. 1), а также в уравнение потенциала полуволны [3]:

$$\mathcal{E}_{1/2} = \text{const} - \frac{0,060}{n} \lg \frac{f_a D_s^{1/2}}{f_s D_a^{1/2}}, \quad (10)$$

где $\text{const} = \mathcal{E}_a^0 + \frac{0,060}{n} \lg a_{Hg}$; f_a — коэффициент активности металла в амальгаме, f_s — коэффициент активности, зависящий от концентрации всех солей в растворе, a_{Hg} — активность ртути в амальгаме. Таким образом, как правило, $\mathcal{E}_{1/2}$ не может не зависеть от $\lg \frac{f_a D_s^{1/2}}{f_s D_a^{1/2}}$, так как в зависимости от концентраций фона изменяется D_s и f_s , и лишь в редких случаях, когда концентрация фона изменяется в небольших пределах, мы не наблюдаем смещения $\mathcal{E}_{1/2}$. Угловые коэффициенты меди, найденные экспериментально, мало отличаются от теоретической величины $\lg \angle = 0,03$; практически они не превышают значений 0,035—0,037, и, следовательно, процесс восстановления меди на ртутном капельном электроде в присутствии солей $MgCl_2$ и $MgSO_4$ можно считать обратимым, сопровождающимся только концентрационной поляризацией.

Угловые коэффициенты кобальта сильно отличаются от величины 0,030; им, в зависимости от концентрации фона, соответствуют значения от 0,096 до 0,107; кобальт в данном случае восстанавливается необратимо, и кроме концентрационной возникает химическая поляризация,

которая может быть объяснена медленной диссоциацией гидратных комплексов, в виде которых существуют ионы кобальта в воде.

Увеличение концентрации хлористого бария и кальция мало уменьшает i_d раствора кобальта, а $\mathcal{E}_{1/2}$ почти не изменяет. То же можно сказать относительно меди, когда она полярографируется в 0,01—0,1 *N* растворе BaCl_2 . Однако дальнейшее увеличение концентрации хлористого бария достаточно сильно уменьшает $D_{\text{эфф}}$ и силу диффузионного тока меди и заметно смещает $\mathcal{E}_{1/2}$ в отрицательную сторону. Вероятно, при концентрациях хлористого бария, больших, чем 0,1 *N*, образуется комплексное соединение меди и бария с координационным числом, равным

$$p = \frac{\Delta \mathcal{E}_{1/2} n}{0,060 \Delta \lg \frac{c_a}{c_i}} = \frac{0,17}{0,060 \cdot 0,7} \approx 4,$$

т. е. образуется соединение типа $\text{Ba}[\text{CuCl}_4]$, по аналогии с соединениями типа $\text{K}_2\text{Ba}[\text{Cu}(\text{NO}_2)_6]$ [14].

Этот комплексный ион диссоциирует с достаточной скоростью, так как тангенсы углов наклона прямой меди, образованной с осью ординат $\lg \frac{i}{i_d - i}$, свидетельствуют о наличии лишь концентрационной поляризации ($\lg \angle = 0,036$ — $-0,38$).

С образованием комплексных соединений, хотя и неустойчивых, увеличивается эффективный радиус иона $[\text{CuCl}_4]^{2-}$, следовательно, подвижность ионов и скорость диффузии их уменьшается (табл. 1).

Электровосстановление же кобальта сопровождается не только концентрационной, но и химической поляризацией, так как $\lg \angle = -0,093$ — $-0,122$ на фоне BaCl_2 и 0,11—0,114 на фоне CaCl_2 . При этом с увеличением концентрации хлористых солей бария и кальция химическая поляризация при электровосстановлении кобальта уменьшается.

Это явление хорошо согласуется с гидратной теорией Д. И. Менделеева, по которой увеличение концентрации побочного электролита, склонного к активной гидратации, уменьшает гидратацию и, следовательно, сложность гидратных комплексных ионов, в данном случае кобальта.

Увеличение концентрации растворов NH_4Cl ; $(\text{NH}_4)_2\text{SO}_4$, KCl и K_2SO_4 от 0,01 до 0,5 *N* вызывает значительное уменьшение h , увеличение же концентрации этих электролитов от 0,5 до 1,0 *N* не оказывает уже заметного влияния на i_d кобальта (рис. 2).

Другие исследователи [13—15] также наблюдали заметное изменение i_d кобальта с изменением концентрации NH_4Cl и $(\text{NH}_4)_2\text{SO}_4$. Как и в случае солей щелочноземельных металлов, увеличение ионной силы растворов солей элементов I аналитической группы приводит к замедленному движению восстанавливающихся ионов к ртутному катоду и, следовательно, к уменьшению i_d , а также к небольшому смещению в отрицательную сторону $\mathcal{E}_{1/2}$. Зависимость i_d и $\mathcal{E}_{1/2}$ кобальта от концентрации растворов NH_4Cl и $(\text{NH}_4)_2\text{SO}_4$ показана на рис. 2. Подобным образом при полярографировании ведут себя медь и кобальт с изменением концентрации хлорида и сульфата калия.

Зависимость силы диффузионного тока и $\mathcal{E}_{1/2}$ меди и кобальта от концентрации солей неко-

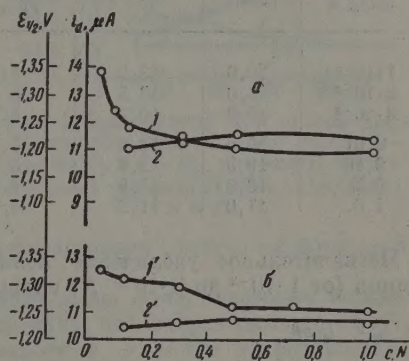


Рис. 2. Зависимость i_d и $\mathcal{E}_{1/2}$ кобальта, а — от концентрации сульфата аммония; б — от концентрации хлорида аммония; 1 — диффузионные токи, 2 и 2' — потенциалы полуволн. Концентрация кобальта $2,0 \cdot 10^{-3}$ моль/л

торых металлов III и IV группы. Влияние концентрации хлористого алюминия на i_d и $\mathcal{E}_{1/2}$ меди и кобальта показано в табл. 2, а влияние концентрации сернокислых солей кадмия и меди и солянокислой соли меди на указанные выше характеристики кобальта — на рис. 3.

Таблица 2

Зависимость силы диффузионного тока, $D_{эфф}$, $\mathcal{E}_{1/2}$ и \mathcal{E} меди и кобальта от концентрации хлорида алюминия

Концентрация $AlCl_3$, N	h , мм	i_d , μA	$D_{эфф} \cdot 10^4$, cm^2/sec	$\mathcal{E}_{1/2}$, V	\mathcal{E} , V	Полярографируемая соль
$1 \cdot 10^{-3}$	20,0	13,2	8,1	-1,30	-1,20	Co
$2 \cdot 10^{-3}$	16,0	10,5	5,2	-1,45	-1,35	
$3 \cdot 10^{-3}$	16,0	10,5	5,2	-1,56	-1,45	
0,01	20,5	13,5	5,9	-0,09	-0,05	Cu
0,10	19,5	12,9	5,3	-0,11	-0,07	
0,5	18,0	11,9	4,5	-0,14	-0,10	
1,0	17,0	11,2	4,0	-0,16	-0,12	

Незначительное увеличение концентрации раствора хлористого алюминия (от $1 \cdot 10^{-3}$ до $3 \cdot 10^{-3}$ N) сильно снижает силу диффузионного тока и в заметной степени смещает в отрицательную сторону потенциал полуволны кобальта. Это явление нельзя объяснить только ионной силой раствора $AlCl_3$, влияющей на $D_{эфф}$ и значительно снижающей коэффициент активности соли кобальта. По-видимому, соли алюминия образуют с кобальтом устойчивые комплексные ионы; предлогарифмические коэффициенты в уравнении электродной поляризации свидетельствуют о возникновении значительной химической поляризации при электровосстановлении кобальта на ртутном электроде.

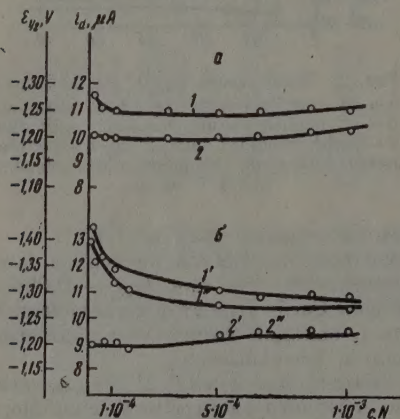


Рис. 3. Зависимость: 1, 1' и 1'' — силы диффузионного тока и 2, 2', 2'' — $\mathcal{E}_{1/2}$ при электровосстановлении кобальта от концентраций фона: а — хлорида меди и б — $CuSO_4$ и $CdSO_4$ (1'', 2''), концентрация кобальта $2 \cdot 10^{-3}$ моль/л

Эффекты приближаются к теоретическому значению (от 0,035 до 0,038), и таким образом процесс восстановления ионов меди на ртутном электроде в присутствии $AlCl_3$ можно считать обратимым.

Как видно из рис. 3, в присутствии солей $CdSO_4$, $CuSO_4$ и $CuCl_2$ (от $1 \cdot 10^{-5}$ до $1 \cdot 10^{-3}$ N) предельный ток кобальта уменьшается незначительно вследствие малой ионной силы раствора; подавлен лишь миграционный ток. Предлогарифмические коэффициенты в уравнении электродной поляризации кобальта сильно отличаются от теоретического значения; тангенс угла равен 0,085—0,090 при применении раствора $CdSO_4$ в виде фона, 0,088—0,091 на фоне $CuCl_2$ и $tg \angle = 0,094—0,104$ в присутствии $CuSO_4$.

Таким образом электровосстановление ионов кобальта на ртутном элект-

роде в присутствии указанных выше солей сопровождается значительной химической поляризацией.

Зависимость i_d и $\mathcal{E}_{1/2}$ при электровосстановлении меди от концентрации солей MnCl_2 и MnSO_4 (0,01—1,0 N) представлена на рис. 4, из которого видно, что при увеличении концентрации солянокислого марганца возрастает сила диффузионного тока меди, что можно объяснить образованием комплексных соединений меди с хлоридом марганца, например, $\text{Mn}[\text{Cu}_n\text{Cl}_m]$, в результате чего наступает дегидратация ионов меди, и подвижность их увеличивается. Действительно, по сдвигу потенциалов полуволн при полярографировании растворов меди различными концентрациями мы вычислили координационное число, равное

$$p = \frac{0,02 \cdot 2}{0,060 \cdot \Delta \lg \frac{1,4 \cdot 10^{-3}}{1,0 \cdot 10^{-3}}} \approx 4,$$

е. состав этого комплекса может быть представлен следующей формулой $[\text{CuCl}_4]$.

Изменение концентрации приведенного выше фона оказывает весьма слабое влияние на потенциал полуволны меди, что свидетельствует об образовании комплексов с малой устойчивостью. Угловые коэффициенты, полученные с прямой в координатах $\lg \frac{i}{i_d - i} - \mathcal{E}_{de}$ и с осью ординат при полярографировании меди на фоне растворов MnCl_2 и MnSO_4 , указывают на обратимость процесса электровосстановления меди на ртутном электроде; тангенс угла на фоне раствора MnCl_2 равен 0,035—0,037 и $\text{tg} \angle$ на фоне раствора MnSO_4 равен 0,033—0,036.

Изучение поведения ионов меди при электровосстановлении на фоне двухвалентного железа или никеля не дало положительных результатов, так как получались деформированные полярографические волны.

Кобальт на фоне солей марганца и двухвалентного железа совершенно не дает поляризационных кривых, вследствие близости потенциалов восстановления и совместного их восстановления.

Выводы

1. Восстановление меди в присутствии всех изученных нами фонов солей I—IV аналитических групп протекает обратимо; восстановление кобальта в тех же условиях сопровождается химической поляризацией.
2. Потенциал полуволны меди смещается весьма слабо с изменением концентрации всех изученных нами фонов, кроме растворов AlCl_3 и BaCl_2 . Потенциал полуволны кобальта заметно сдвигается в отрицательную сторону в зависимости от природы и концентрации солей, образующих фон.
3. Диффузионный ток ионов меди и кобальта при их полярографировании изменяется в зависимости от концентрации всех изученных нами дифференциальных электролитов.
4. Предложена модификация формулы Ильковича для расчета диффузионного тока.
5. Установлено, что диффузионный ток меди и кобальта снижается тем больше, чем больше валентность иона, составляющего фон (при одной той же концентрации).
6. Найдено, что химическая поляризация кобальта при его электровосстановлении на капельном ртутном катоде больше на сернокислых фонах, чем на солянокислых.

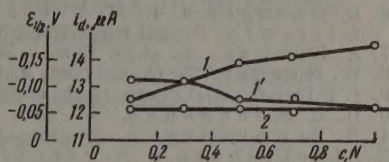


Рис. 4. Зависимость: 1, 1' — силы диффузионного тока, 1 — фон MnCl_2 ; 1' — фон MnSO_4 и 2 — $\mathcal{E}_{1/2}$ при электровосстановлении кобальта на фоне солей MnSO_4 и MnCl_2

ЛИТЕРАТУРА

1. Я. Гейровский, Полярографический метод, ОНТИ, М., 1937; С. К. Чиков. Заводск. лаборатория, 10, 453, 1941.
2. D. Ilkovic, Collect. czech. comm., 6, 498, 1934.
3. I. M. Kolthoffa. J. J. Lingane, Chem. Rev., 24, 67, 1939.
4. Т. А. Крюкова, Заводск. лаборатория, 6, 539, 611, 1948.
5. О. К. Давтян, Ж. физ. химии, 20, 6, 575, 1946; L. Mac-Bain a. S. Lai J. Amer. Chem. Soc., 53, 59, 1931.
6. L. Onsager a. R. M. Fuoss, J. phys. Chem., 36, 2689, 1933; D. Mac Gillawry, Recueil trav. chim., 56, 1039, 1937; 57, 33, 1938.
7. A. Eucken, Z. phys. Chem., 59, 72, 1907.
8. W. Nernst, Z. phys. Chem, 2, 613, 1888.
9. I. Slendik, Collect. czech. comm., 3, 386, 1925.
10. П. Н. Коваленко, Ж. физ. химии, 24, 559, 1950.
11. П. Н. Коваленко, Ж. общ. химии, 11, 1965, 1950.
12. Stackelberg u N. Strelow, Z. Electroch., 54, 51—62, 1950.
13. С. П. Шайкинд, Ж. прикл. химии, 8, 455, 1946.
14. И. М. Коренман, Микрорентгенофлюоресценция, Госхимиздат, М.—Л., 1948, стр. 72.
15. С. А. Плетенев и Т. В. Арефьева, Тр. Всесоюзн. конф. по анализу химии, т. 2, 457, 1943.

THE USE OF THE POLAROGRAPH IN INVESTIGATING THE EFFECT OF STRONG ELECTROLYTES ON THE ELECTROLYSIS OF COPPER AND COBALT

P. N. Kovalenko (Rostov-na-Don)

Summary

The reduction of copper on the dropping mercury cathode in the presence of the NH₄Cl, Ba, Ca, Mg, Mn, Al, Co, Cd, etc. salts of sulfuric and hydrochloric acids has been found to take place reversibly, but the reduction of cobalt under the same conditions to be accompanied by chemical polarization.

The diffusion currents of copper and cobalt salts change in the course of the polarographic run, depending upon the concentration of the indifferent electrolyte.

Calculation of i_d according to the Stackelberg formula ($i_d = aD\sqrt{\bar{D}} + b\sqrt{\bar{D}}$) has no advantage over that by the Ilkovic formula. The slight difference in values obtained with both formulas is within the experimental error of polarographic measurements.

The empirical formula $i_d = 605 nC (a_D - b_D)^{1/2}$ which is a modification of the Ilkovic expression has been proposed for calculating i_d . The formula takes into account the effect of the ionic strength of the solution on D : $D_{\text{eff}} = a_D - b_D$.

СОПОЛИМЕРИЗАЦИЯ НЕНАСЫЩЕННЫХ ПОЛИЭФИРОВ С ВИНИЛОВЫМИ МОНОМЕРАМИ

I. ОПРЕДЕЛЕНИЕ ЧИСЛА ДВОЙНЫХ СВЯЗЕЙ В СОПОЛИМЕРАХ НЕНАСЫЩЕННЫХ ПОЛИЭФИРОВ И ВИНИЛОВЫХ МОНОМЕРОВ

С. С. Спасский, А. И. Тарасов и А. В. Токарев

Сополимеры ненасыщенных полиэфиров и виниловых мономеров представляют собой новый вид термореактивных пластических масс, обладающих значительной механической прочностью, электроизоляционными свойствами, повышенной термостойкостью. Несмотря на то что этот тип смол освоен промышленностью, закономерности сополимеризации ненасыщенных полиэфиров с винилпроизводными исследованы недостаточно.

Как известно, при изучении реакций сополимеризации очень важным является определение относительных активностей компонентов, участвующих в реакции — констант сополимеризации. В случае сополимеризации ненасыщенных полиэфиров с виниловыми мономерами определение констант сополимеризации осложняется тем, что часть двойных связей полиэфира, не прореагировав, переходят в сополимер. Для определения констант сополимеризации необходимо знать число этих связей.

Определение числа двойных связей в сополимерах данного типа химическими методами затруднено, так как эти полимеры являются нерастворимыми продуктами. В настоящей работе исследовалась возможность применения для этой цели методов, основанных на правилах аддитивности удельных объемов и удельных рефракций.

Оба метода ранее были применены для определения состава сополимеров [1—5], а правило аддитивности удельных объемов было использовано Гордоном и сотрудниками [6] для определения двойных связей в сополимере полиэтиленгликольфумарата и метилметакрилата. Однако это правило ими применено неправильно, так как величина усадки для звена полиэтиленгликольфумарата принималась равной средней усадке для ряда мономеров без учета их строения, в то время как усадка значительно меняется в зависимости от строения мономера [7].

По правилу аддитивности удельных объемов и определенной величины усадки мономеров при полимеризации можно написать уравнение:

$$a\delta_{M_1} + b\delta_{M_2} = \delta_c + ap_{M_1} + xp_{M_2}, \quad (1)$$

где a , b — весовые доли мономера и полиэфира в сополимере; δ_{M_1} , δ_{M_2} , δ_c — удельные объемы мономера, полиэфира и их сополимера; x — весовая доля прореагировавших звеньев полиэфира в сополимере; p_{M_1} , p_{M_2} — удельные усадки мономера и полиэфира при их полимеризации; величина p определяется по формуле:

$$p = \frac{V_M - V_{II}}{M}, \quad (2)$$

где V_M — молярный объем мономера; V_{II} — молярный объем звена полимера; M — молекулярный вес мономера.

Решая уравнение (1) относительно x , получаем

$$x = \frac{a(\delta_{M_1} - p_{M_1}) + b\delta_{M_2} - \delta_c}{p_{M_2}}, \quad (3)$$

так как $\delta_{m_1} - p_{m_1} = \delta_{\Pi}$, где δ_{Π} — удельный объем полимера винилпроизводного, уравнение (3) будет иметь вид:

$$x = \frac{a\delta_{\Pi} + b\delta_{m_2} - \delta_c}{p_{m_2}} \quad (4)$$

Процент прореагировавших двойных связей полиэфира, вошедшего в сополимер, определяется отношением

$$x' = \frac{x}{b} 100. \quad (5)$$

По правилу аддитивности удельных рефракций можно написать следующие уравнения:

$$aR_{\Pi} + bR_m = R_c + \Delta R, \quad (6)$$

$$xF'_{\Pi} + bF'_m = \Delta R, \quad (7)$$

где a , b — весовые доли полиэфира и мономера в сополимере; R_{Π} , R_m — удельные рефракции полиэфира и мономера; F'_{Π} , F'_m — удельные инкременты двойных связей полиэфира и мономера; ΔR — изменение величины удельной рефракции исходных компонентов в результате реакции двойных связей; x — весовая доля прореагировавших звеньев полиэфира в сополимере.

Решая эту систему уравнений относительно x , определяем количество прореагировавших двойных связей полиэфира в сополимере

$$x = \frac{aR_{\Pi} + b(R_m - F'_m) - R_c}{F'_{\Pi}} \quad (8)$$

$$x' = \frac{x}{a} 100. \quad (9)$$

Экспериментальная часть

Проверка методов была осуществлена на следующих системах: полидиэтиленгликольфумарат — акрилонитрил; полидиэтиленгликольфумарат — стирол; полидиэтиленгликольфумарат — метилметакрилат; полидиэтиленгликольфумарат — винилацетат*.

Полидиэтиленгликольфумарат получался поликонденсацией диэтиленгликоля с малеиновым ангидридом в стеклянной колбе в токе азота, при 120° С в течение 2 час. и при 190° С до определенного кислотного числа. Исходные продукты подвергались

Таблица 1

Удельные веса и удельные объемы полимеров и полиэфира

Наименование полимера	d_4^{20}	δ_4^{20}
Полиакрилонитрил	1,4518	0,8682
Полиметилметакрилат	1,1990	0,8340
Полистирол	1,0597	0,9437
Поливинилацетат	1,1910	0,8396
Полидиэтиленгликольфумарат	1,3080	0,7645

предварительно очистке. Малеиновый ангидрид переосаждением из смеси хлороформа и CCl_4 метанолом и последующей перегонкой в вакууме, диэтиленгликоль двукратной перегонкой в вакууме. Полиэфир имел следующие свойства: кислотное число 28,3; число омыления 598,2; удельный вес 1,3080; коэффициент преломления 1,5058; удельная рефракция 0,22706.

Мономеры очищались от ингибиторов и примесей обычными методами, описанными в литературе [8].

Сополимеризация проводилась в стеклянной ампуле, в присутствии 0,1 вес. % перекиси бензоила, в атмосфере азота, в термостате при $60 \pm 0,5^\circ$ С. Образовавшийся сополимер отмывался от

нереагировавших полиэфира и мономеров ацетоном до полного их удаления (добавление воды к растворителю не дает мути). Выделенный сополимер сушился в вакууме при 70—80° С до постоянного веса.

У высушенных сополимеров определялись удельный вес и коэффициент преломления при одной и той же температуре. Удельный вес определялся пикнометрически

* Экспериментальные результаты по последним трем системам получены научными сотрудниками лаборатории М. А. Михайловой, Т. В. Молчановой, М. К. Матюковой.

применением бутилового спирта в качестве дополняющей жидкости. Для удаления воздуха из сополимеров, они подвергались предварительно таблетированию под давлением 100—150 кг/см².

Коэффициент преломления определялся на рефрактомере Аббе.

Состав сополимеров рассчитывался по данным элементарного микроанализа: для сополимеров с акрилонитрилом по азоту, с метилметакрилатом и винилацетатом по водороду, со стиролом по кислороду.

Для определения числа прореагировавших звеньев полиэфира по формуле (4) были использованы значения удельных весов и удельных объемов полимеров полиэфира, приведенные в табл. 1.

Полиакрилонитрил, полиметилметакрилат, полистирол были получены и охарактеризованы в лаборатории. Характеристика поливинилацетата взята по литературным данным [7].

Величина удельной усадки звена полиэфира была определена, исходя из следующего.

Как известно [7], усадки мономеров при полимеризации (контракция) зависит от их строения. По своему строению звено полидиэтиленгликоль-фумарата близко к диэтилфумарату, и поэтому величину контракции полидиэтиленгликольфумарата с достаточной точностью можно приравнять к контракции диэтилфумарата.

Контракция диэтилфумарата определялась из данных, полученных при исследовании сополимера стирола и диэтилфумарата.

Удельный объем полидиэтилфумарата, исходя из правила аддитивности удельных объемов, может быть определен по формуле:

$$\delta_{\text{пф}} = \frac{\delta_{\text{с}} - b\delta_{\text{пс}}}{a}, \quad (10)$$

где $\delta_{\text{пф}}$ — удельный объем полидиэтилфумарата; $\delta_{\text{с}}$ — удельный объем сополимера; $\delta_{\text{пс}}$ — удельный объем полистирола; a, b — вес. % диэтилфумарата и стирола в сополимере.

Правило аддитивности удельных объемов было проверено на системе стирол — метилметакрилат (табл. 2).

Сополимеризация диэтилфумарата и стирола проводилась блочным методом в присутствии 0,2% перекиси бензоила, в атмосфере азота при 0° С в течение 4 час. и при 150° С до прекращения реакции. Реакция заканчивалась при получении в ампуле густой вязкой массы.

Сополимер очищался от мономеров многократным переосаждением из этанольного раствора метанолом. У очищенного продукта определялся удельный вес при помощи пикнометра и состав по элементарному микроанализу на кислород. Результаты приведены в табл. 3.

Таблица 3

Характеристика сополимеров стирола и диэтилового эфира фумаровой кислоты

Состав сополимера, вес. %		d_4^{20}	δ_4^{20}	δ_4^{20} полидиэтил- фумарата
стирол	диэтилфумарат			
87,18	12,82	1,0725	0,9324	0,8557
79,21	20,79	1,0810	0,9250	0,8538

Таблица 2

Характеристика сополимеров стирола и метилметакрилата

Состав сополимеров, вес. %		d_4^{20}	δ_4^{20}
стирол	метилметакрилат		
10,53	89,47	1,1887	0,8412
10,56	89,44	1,1834	0,8450
55,66	44,34	1,1272	0,8871
56,29	43,71	1,1213	0,8918
56,32	43,68	1,1224	0,8909
68,80	31,20	1,1026	0,9069
72,72	27,28	1,0740	0,9310
78,82	21,18	1,0738	0,9313

По удельному объему диэтилфумарата и полидиэтилфумарата определалась контракция:

$$P = M(\delta_{\text{ф}} - \delta_{\text{пф}}), \quad (1)$$

где P — контракция; M — молекулярный вес диэтилфумарата; $\delta_{\text{пф}}$ — удельные объемы диэтилфумарата и полидиэтилфумарата.

По формуле (11) величина контракции была определена равной 16.

Удельная усадка для звена полидиэтиленгликольфумарата определалась равной 0,08971.

Для расчета числа прореагировавших звеньев полиэфира по формуле (7), для того чтобы учесть влияние строения мономера на величину удельного инкремента, удельные инкременты двойных связей мономеров определялись из сравнения удельных рефракций мономеров и соответствующих приведенных удельных рефракций насыщенных аналогов мономеров (этилацетат—винилацетат, этилбензол — стирол и т. п.).

Удельные инкременты рассчитывались по формуле:

$$F'_m = R'_m - R_m, \quad (1)$$

где F_m — удельный инкремент двойной связи мономера; R_m — удельная рефракция мономера; R'_m — приведенная удельная рефракция насыщенного аналога мономера:

$$R'_m = \frac{MR_{D,m} - 2MR_{D,H}}{M_m}, \quad (1)$$

где $MR_{D,m}$ молекулярная рефракция насыщенного аналога мономера; $MR_{D,H}$ — атомная рефракция водорода; M_m — молекулярный вес мономера.

Для определения инкрементов двойной связи мономеров необходимо пользоваться приведенной удельной рефракцией, потому что в звене полимера число водородов на два меньше, чем в насыщенном аналоге мономера.

Расчет инкрементов двойных связей мономеров дан в табл. 4.

Таблица 4

Расчет инкрементов двойных связей мономеров

Вещество	Удельный вес d_4^{20}	Коэффициент преломления n_D^{20}	Удельная рефракция ненасыщенных соединений R_m	Приведенная удельная рефракция насыщен. соединений R'_m	Удельный инкремент двойной связи F
Этилацетат	0,9003	1,3728	—	0,2333	—
Винилацетат	0,9342	1,3958	0,2571	—	0,0238
Этилбензол	0,8670	1,4959	—	0,3223	—
Стирол	0,9064	1,5462	0,3494	—	0,0272
Метилловый эфир изомасляной кислоты	0,8910	1,3840	—	0,2457	—
Метилметакрилат	0,9430	1,4166	0,2664	—	0,0207
Нитрил пропаноной кислоты	0,7800 $\frac{19}{4}$	1,3681 ^{19°}	—	0,2582	—
Акрилонитрил	0,8055	1,3910	0,2950	—	0,0368
Диметилловый эфир янтарной кислоты	1,4198	1,4210	—	0,21356	—
Диметилловый эфир фумаровой кислоты	1,1510 $\frac{19,9}{4}$	1,4416 ^{19,9°}	0,2297	—	0,0161
Диэтиловый эфир янтарной кислоты	1,0400	1,4201	—	0,23346	—
Диэтиловый эфир фумаровой кислоты	1,0520 $\frac{20,4}{4}$	1,4410 ^{20,4°}	0,2510	—	0,0175

Инкремент двойной связи полидиэтиленгликольфумарата определенным 0,0144.

Результаты определения числа прореагировавших звеньев полидиэтиленгликольфумарата, исходя из правил аддитивности удельных объемов, удельных рефракций и определенных величин усадки и инкрементов двойных связей мономеров, приведены в табл. 5.

Таблица 5

Характеристика сополимеров полидиэтиленгликольфумарата и винилпроизводных

№ сополи- меров	n_D^{20}	d_4^{20}	δ_4^{20}	Удельная рефракция R	Состав сополимера, вес. %		Прореагировало звеньев полиэфира, %	
					полиэфир	винилпро- изводное	по усадке	по реф- ракции
Сополимеры полидиэтиленгликольфумарата и акрилонитрила								
8A	1,5130	1,3020	0,7680	0,2308	79,92	20,08	24,14	21,30
18A	1,5120	1,3000	0,7692	0,2308	81,12	18,88	20,48	18,06
19A	1,5120	1,3078	0,7646	0,2294	82,58	17,42	24,29	25,45
26A	1,5115	1,3100	0,7633	0,2289	85,66	14,34	20,95	22,07
31A	1,5120	1,3095	0,7636	0,2291	82,44	17,56	27,18	28,39
32A	1,5120	1,3020	0,7680	0,2305	78,60	21,40	26,67	28,63
33A	1,5100	1,3184	0,7585	0,2268	94,87	5,13	13,28	13,54
Сополимеры полидиэтиленгликольфумарата и метилметакрилата								
16M	1,5020	1,2504	0,7990	0,2360	35,93	64,07	30,80	34,70
15M	1,5030	1,2525	0,7980	0,2360	39,50	60,50	30,70	29,90
13M	1,5020	1,2547	0,7970	0,2352	39,63	60,37	26,40	27,20
Сополимеры полидиэтиленгликольфумарата и винилацетата								
5B3	1,5060	1,3215	0,7567	0,2248	88,81	11,19	20,33	23,45
5B4	1,5060	1,3185	0,7586	0,2253	84,41	15,59	22,84	23,03
5B5	1,5075	1,3208	0,7571	0,2254	90,06	9,94	18,44	17,73
6B6	1,5060	1,3222	0,7563	0,2247	88,81	11,19	20,83	24,23
6B7	1,5075	1,3275	0,7532	0,2243	88,81	11,19	24,85	27,36
7B4	1,5065	1,3258	0,7532	0,2242	87,57	12,43	26,34	29,33

Сополимеры полидиэтиленгликольфумарата и стирола

9C6	1,5173	1,3037	0,7670	0,2321	93,36	6,64	11,21	9,67
9C7	1,5160	1,3054	0,7660	0,2313	93,98	6,02	11,02	11,07

Из таблицы видно, что число прореагировавших звеньев полиэфира сополимере, определенное двумя различными методами, имеют довольно близкие значения.

Несколько больший разброс данных получается в случае винилацетата метилметакрилата, что, очевидно, связано с меньшей точностью определения состава сополимеров из-за относительно близких значений содержания водорода в полиэфире и мономерах. Тем не менее для всех исследованных систем оба метода могут быть взаимозаменяемы при определении констант сополимеризации ненасыщенных полиэфиров с винилпроизводными, так как разница находится в пределах точности, необходимой для этой цели.

Выводы

Показано, что методы определения числа прореагировавших звеньев полиэфира в сополимерах ненасыщенных полиэфиров и винилпроизводных, основанные на правилах аддитивности удельных объемов и удельных рефракций, дают достаточно близкие результаты и могут быть взаимозаменяемы при определении констант сополимеризации ненасыщенных полиэфиров с винилпроизводными.

ЛИТЕРАТУРА

1. И. Марей, М. З. Альтшуллер, Тр. ВНИИСК, вып. 3, 163, 1951.
2. И. П. Апухтина, Я. И. Маковская, Ф. Б. Новоселок, ВНИИСК, вып. 3, 151, 1951.
3. L. Menser, K. D. Stiehler, R. W. Hackeff, Rubber. World, 1947, 54, 1947.
4. М. Ф. Маргаритова, В. А. Райская, Тр. Московск. ин-та тонкой химической технологии им. М. В. Ломоносова, вып. 4, 37, 1953.
5. М. Ф. Маргаритова, Г. Д. Бережной, Тр. Московск. ин-та тонкой химической технологии им. М. В. Ломоносова, вып. 4, 46, 1953.
6. M. Gordon, B. M. Grieveeson, J. D. Mc Millan. J. Polymer Sci. 18, 497, 1955.
7. В. С. Клименков, В. А. Каргин, А. И. Китайгородский, Сборник «Химия и физико-химия высокомолекулярных соединений», Изд-во АССР, 1952, стр. 231.
8. Мономеры, Сборник статей, ИИЛ, 1951.

COPOLYMERIZATION OF UNSATURATED POLYESTERS AND VINYL MONOMERS

I. DETERMINATION OF THE NUMBER OF DOUBLE BONDS IN COPOLYMERS OF UNSATURATED POLYESTERS AND VINYL MONOMERS

S. S. Spasskiĭ, A. I. Tarasov, A. V. Tokarev (Sverdlovsk)

Summary

In the report a comparison has been made of two methods for determining double bonds in copolymers of unsaturated polyesters and vinyl monomers. The comparison has been made on the copolymers of polydiethyleneglycolfumarate and acryl nitrile, styrene methacrylate and vinyl acetate. As a result it has been shown that determination of the double bonds in the copolymers by the methods based on the rule of the additivity of the specific volumes and of the specific refractions gives close values. Both methods are mutually replaceable in determining the constants of copolymerization of unsaturated polyesters and vinyl monomers.

КИНЕТИКА РЕАКЦИИ ОБМЕНА ХЛОРА В ИЗОМЕРНЫХ
β-ХЛОРКРОТОНОВЫХ КИСЛОТАХ

I. РЕАКЦИЯ ОБМЕНА ХЛОРА СО ЩЕЛОЧЬЮ В СПИРТОВЫХ РАСТВОРАХ

Т. А. Кудрявцева, Н. М. Чирков

Механизм обмена галоида, связанного с углеродом, имеющим кратную связь, мало изучен. Особенно интересным является вопрос о влиянии на подвижность такого галоида конфигурации неопределенного соединения, т. е. сравнение его подвижности в *цис*- и *транс*-положении.

В предыдущей работе [1] на примере реакции замещения атома хлора, в *цис*- и *транс*-β-хлоркротоновых кислотах на ион гидроксила в водной среде нами установлено, что различия в скоростях указанных реакций у обоих изомеров объясняются не энергетическими причинами, а должны быть отнесены за счет стерических факторов.

Описание аналогичных фактов можно найти в литературе. Так, например, Джонс и Вернон [2] приводят для реакции замещения хлора в изомерных эфирах β-хлоркротоновых кислот на этоксигруппу энергии активации 17,0 и 19,2 и для замены на SC_2H_5 -группу 14,5 для *цис*- и 14,1 ккал/моль для *транс*-изомеров. Виллемс и Бруинтс [3] приводят для гидролиза амидов изомерных *цис*- и *транс*-кротоновых кислот одинаковую величину эффективной энергии активации 23,4 ккал/моль, и также считают, что причиной различия в скоростях реакций этих изомеров является стерический фактор.

Было интересно проверить установленный нами факт при проведении изученных реакций в спиртовой и спирто-водной среде.

Для этого были взяты 50%, 75%-ные и чистые метиловый и этиловый спирты. В последнем случае может иметь место замена хлора не на гидроксил-ион, а на алкоксил-ионы ($\text{C}_2\text{H}_5\text{O}^-$ и CH_3O^-); это видно из того, что в качестве продуктов реакции удалось выделить β-этокси- и β-метоксикротоновые кислоты.

Опыты проводились в ультратермостате, сохраняющем температуру с точностью $\pm 0,1^\circ \text{C}$.

Навески кислот растворялись в соответствующем спирте, нагревались в термостате до температуры опыта, и затем к ним добавлялось необходимое количество щелочи (в виде 20%-ного водного или 5%-спиртового растворов). Спирта бралось столько, чтобы объем реакционной смеси составлял всегда 20 мл. Щелочь бралась в избытке из расчета 4 моля на моль соли исходной кислоты. За начало реакции принималось время сливания растворов, предварительно нагретых до температуры опыта. Пробы по 1 мл отбирались через определенные промежутки времени, и ион хлора в них определялся титрованием по Фольгарду.

Реакции в 75%-ном этиловом спирте. Навеска исходной кислоты 0,6 г (0,005 моля) растворялась в 15 мл спирта ректификата. Раствор нагревался до температуры опыта, и затем к нему добавлялось 5,0 мл 20%-ного водного раствора едкого натра, нагретого до той же температуры. Такие опыты были проведены с *цис*- и *транс*-β-хлоркротоновыми кислотами при 40, 50, 60 и 70°.

Кинетические кривые, приведенные на рис. 1, показывают, что *транс*-изомер β-хлоркротоновой кислоты реагирует быстрее, чем *цис*-изомер. Константы скорости были вычислены по уравнению для необратимой би-

молекулярной реакции

$$\frac{dx}{dt} = k(A_0 - x)(B_0 - x),$$

которое в интегральной форме имеет вид

$$\ln \frac{A_0 B_0 - x}{B_0 A_0 - x} = (B_0 - A_0)kt,$$

где A_0 — начальная концентрация соли исходной кислоты; B_0 — начальная концентрация щелочи.

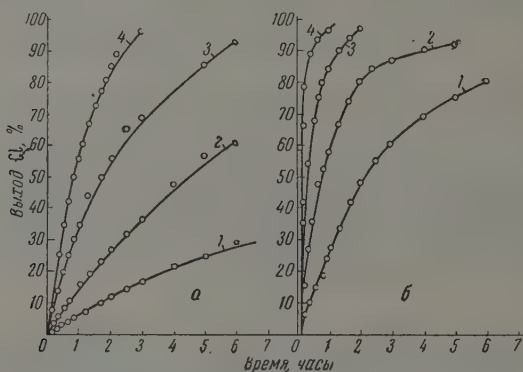


Рис. 1. Кинетические кривые реакций замещения хлора: а — в *цис*- и б — в *транс*- β -хлоркроотоновых кислотах на гидроксил в 75%-ном этиловом спирте при разных температурах: 1 — 40; 2 — 50; 3 — 60 и 4 — 70°C

Вычисленные по этому уравнению константы сохраняют вполне удовлетворительное постоянство. Для примера в табл. 1 приведены их значения для реакции при 40° С. Зависимость логарифмов констант скорости от обратной температуры представляет прямую линию как для *цис*-, так и для *транс*-изомеров.

Таблица 1

Время, минуты	$\frac{x}{A_0}$	$k \cdot 10^3$, л/моль мин.	$\frac{x}{A_0}$	$k \cdot 10^3$, л/моль мин.
<i>Цис</i> -кислота			<i>Транс</i> -кислота	
10	0,012	1,2	0,060	4,8
20	0,020	0,98	0,10	5,0
30	0,032	1,09	0,156	5,6
40	0,040	0,96	0,188	5,4
50	0,048	0,90	0,232	5,36
60	0,056	1,04	0,276	5,68
80	0,072	0,85	0,340	5,5
100	0,10	1,00	0,416	5,8
120	0,12	1,00	0,484	6,0
150	0,14	0,94	0,55	5,7
180	0,16	0,89	0,60	5,55
240	0,212	1,0	0,69	5,5
300	0,248	1,0	0,745	5,15
360	0,296	1,4	0,815	5,45
$k_{cp} = 0,99 \cdot 10^{-3}$			$k_{cp} = 5,46 \cdot 10^{-3}$	

В табл. 2 приведены значения констант скорости реакций в зависимости температуры.

Энергии активации, вычисленные из этих данных, для обоих изомеров близки и равны 20,3 для *цис*- и 20,8 ккал/моль для *транс*-изомеров. Предэкспонент для *транс*-изомера равен $1,34 \cdot 10^{10}$, а для *цис*-изомера $6 \cdot 10^9$.

Таблица 2

$t, ^\circ\text{C}$	$k \cdot 10^4$ для <i>цис</i> -кислоты	$k \cdot 10^4$ для <i>транс</i> -кислоты
70	158,0	1010
60	74,0	386
50	27,3	144,6
40	9,9	54,6

Таблица 3

$t, ^\circ\text{C}$	$k \cdot 10^4$ для <i>цис</i> -кислоты	$k \cdot 10^4$ для <i>транс</i> -кислоты
70	96,25	597
60	36,5	228
50	13,4	93,6
40	4,92	27,8

Реакции в 50% этиловом спирте. Навески кислот по 0,6 г) растворялись в 10 мл спирта-ректификата. К раствору добавлялось по 5 мл дистиллированной воды, и раствор нагревался до температуры опыта. Затем добавлялось по 5 мл 20%-ного водного раствора едкого натра, гретого до той же температуры.

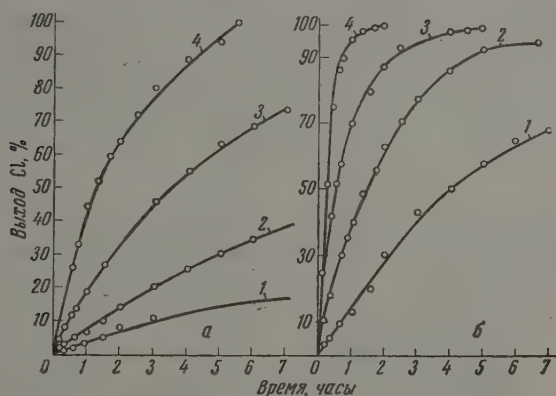


Рис. 2. Кинетические кривые реакции: а — *цис*- и б — *транс*- β -хлоркротоновых кислот со щелочью в 50%-ном этиловом спирте: 1 — 40; 2 — 50; 3 — 60 и 4 — 70° С

Полученные кинетические кривые для *цис*- и *транс*- β -хлоркротоновых кислот при 40, 50, 60 и 70° С приведены на рис. 2.

В табл. 3 приведены средние значения констант скорости реакций замещения хлора в обоих изомерных кислотах в зависимости от температуры.

Вычисленные в этом случае энергии активации равны 21,2 ккал/моль для *цис*-изомера и 21,6 ккал/моль для *транс*-изомера, а в среднем $21,4 \pm 0,5$ ккал/моль.

Предэкспонент для *цис*-изомера $4,02 \cdot 10^9$, а для *транс*-изомера — $0,2 \cdot 10^{10}$. *Цис*-кислота реагирует медленнее, чем *транс*-, в 10 раз. Эта разница в скоростях реакций должна быть отнесена за счет пространственных затруднений.

Реакции в метиловом спирте. В разбавленном метилом спирте опыты проводились только с *цис*- β -хлоркротоновой кислотой.

Растворы готовились так же, как было указано для этилового спирта.

В 75% и 50%-ном метиловом спирте сняты кинетические кривые 40, 50, 60 и 70° С. Константы скорости в обоих растворах оказались приблизительно равными для соответствующих температур (табл. 4).

Энергия активации для реакции в метиловом спирте равна 22,8 ккал/моль для 75%-ного и 21,5 для 50%-ного спирта. В случае 50%-ного водного спирта она равна 21,6 ккал/моль; в водном растворе 21, ± 0,5 ккал/моль. Следовательно, в таком разбавлении спирт уже влияет на ход реакции.

Таблица 4

t, °C	Метиловый спирт	
	75%	50%
70	$9,3 \cdot 10^{-3}$	$9,27 \cdot 10^{-3}$
60	3,27	3,62
50	1,25	1,34
40	0,37	0,45

Реакции в чистых спиртах. В чистых спиртах реакция идет, но следить за ней значительно труднее, так как образующийся хлористый натрий плохо растворим в спирте и быстро начинает выпадать в осадок. Следить за реакцией можно только по началу кинетической кривой, и результаты измерений значительно менее точны. Продуктами реакции являются β-алкокси-кислоты, т. е. в этом случае происходит реакция замещения хлора не на гидроксил, а на алкокси-группы.

В этиловом спирте-ректификате опыты проводились при 20, 30, 40, 50 и 55° С, а с *цис*-кислотой также еще при 60° С. Каждый из опытов повторялся по несколько раз. Полученные кривые приведены на рис. 3.

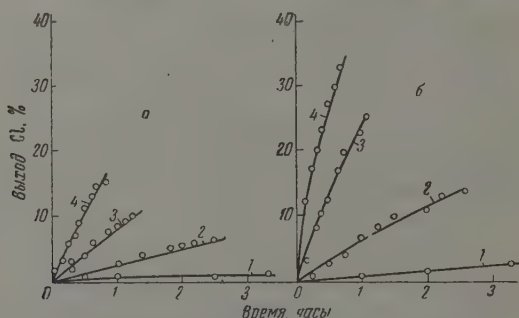


Рис. 3. Кинетические кривые реакции: а — *цис*- и б — *транс*-β-хлоркротоновых кислот со щелочью в этиловом спирте-ректификате: 1 — 20; 2 — 30; 3 — 40 и 4 — 50° С

В табл. 5 приведена зависимость констант скорости от температуры.

Энергии активации оказались равными 21,3 ккал/моль для *цис*-кислоты и 20,9 ккал/моль для *транс*-кислоты. Предэкспонент для *цис*-кислоты равен $2,05 \cdot 10^{10}$, а для *транс*-кислоты $3,18 \cdot 10^{10}$. Таким образом, в спирте-ректификате *транс*-кислота реагирует быстрее, чем *цис*-кислота только в 1,5 раза.

В метиловом спирте были проведены опыты с обоими изомерами кислот при 55, 50, 45, 40, 30 и 20° С, а с *цис*-кислотой, кроме того, еще и при 60° С. Полученные кривые приведены на рис. 4.

В табл. 6 приведена зависимость константы скорости реакций от температуры.

Энергии активации этих реакций равны 22,7 ккал/моль для *цис*-кислоты и 21,9 ккал/моль для *транс*-кислоты. Предэкспонент для *цис*-кислоты

вен $2,92 \cdot 10^{10}$, а для *транс*-кислоты $3,84 \cdot 10^{10}$, т. е. *транс*-кислота реагирует в чистом метиловом спирте лишь в 1,2 раза быстрее, чем *цис*-кислота, т. е. в случае проведения реакции в метиловом спирте скорости реакций отличаются очень незначительно.

После проведения реакции в спиртах растворы соединялись и разбавлялись водой для растворения осадка хлористого натрия. Продукт реакции из растворов извлекался эфиром после подкисления разбавленной серной

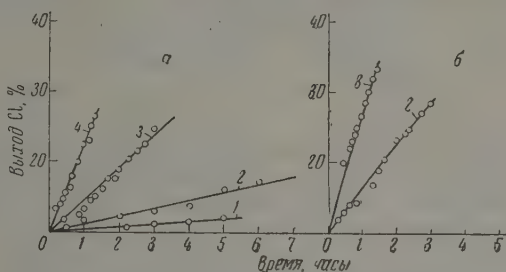


Рис. 4. Кинетические кривые реакции замещения хлора: а — в *цис*- и б — в *транс*- β -хлоркротоновых кислотах в метиловом спирте: 1 — 30; 2 — 40; 3 — 50 и 4 — 60° С

кислотой. Эфирные вытяжки соединялись, эфир отгонялся, полученный осадок перекристаллизовывался из петролейного эфира. Из опытов как с *цис*-, так и с *транс*-кислотой мы получали одно и то же вещество с температурой плавления 139° С, которое отвечало β -этоксикротоновой кислоте, имеющей по литературным данным т. пл. 140° С.

Таблица 5

$t, ^\circ\text{C}$	$k \cdot 10^4$ для <i>цис</i> -кислоты	$k \cdot 10^4$ для <i>транс</i> -кислоты
60	118	—
55	68,5	194,0
50	39,0	120,0
45	23,0	64,1
40	13,3	42,2
30	3,97	—
20	1,43	1,304

Таблица 6

$t, ^\circ\text{C}$	$k \cdot 10^4$ для <i>цис</i> -кислоты	$k \cdot 10^4$ для <i>транс</i> -кислоты
60	227	—
55	136,7	522
50	70,0	317
45	33,2	165
40	20,1	10,4
30	6,82	—
20	2,0	—

Из опытов с *цис*- и *транс*-кислотой в метиловом спирте аналогичным образом была выделена одна и та же β -метоксикротоновая кислота с т. пл. 130° (литературные данные 130°).

Для проверки бимолекулярности реакции, протекающей в спиртовой среде, были проведены опыты с *цис*- β -хлоркротоновой кислотой при 50° С и различным соотношении исходных веществ. Молярное соотношение щелочи и соли исходной кислоты бралось равным 4, 2 и 1. Полученные кривые приведены на рис. 5.

Константы скорости реакции замещения хлора, вычисленные по этим кривым, одинаковы во всех случаях и равны $3,9 \cdot 10^{-3}$ л/моль мин. Кривые были получены не только по начальным точкам, как предыдущие в чистых спиртах, но и путем титрования всего раствора, взятого для опыта. В данном случае удалось получить кривые до больших долей превращения. Во всех опытах за исходное вещество брали *цис*- β -хлоркротоновую кислоту, а щелочь бралась в количестве 5 молей на моль кислоты. Принималось,

что один моль щелочи реагирует с кислотой, давая моль соли, а реакция идет с избытком щелочи в количестве 4 молей на 1 моль соли исходной кислоты.

Это положение было подтверждено опытами, где за исходное вещество брали заранее приготовленную соль кислоты и соответственно щелочь в количестве 4 моля на 1 моль соли. При этом были получены результаты, полностью совпадающие с результатами опытов с исходной кислотой.

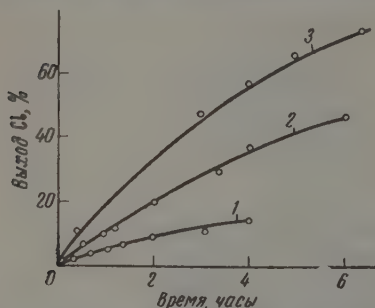


Рис. 5. Кинетические кривые реакции замещения хлора в *цис*-β-хлоркротоновой кислоте при 50° С в зависимости от величины молярного отношения щелочи к соли исходной кислоты: 1 — 1; 2 — 2 и 3 — 4 моль на моль

Однако соли кислот растворяются в спирте хуже, чем сами кислоты, потому удобнее работать с последними.

Как видно из приведенных выше данных энергии активации и предэкспоненциальные множители, найденные нами во всех испытанных растворах спиртов для *цис*- и *транс*-изомеров β-хлоркротоновых кислот остаются одинаковыми в пределах ошибок определения, и разница скоростей реакций изомерных кислот объясняется разницей в величинах предэкспонентов, т. е. пространственными затруднениями.

В чистых спиртах продуктами реакции оказались β-алкоксикислоты, одинаковые для обоих изомеров. Это показывает, что в данном случае

атом хлора замещается не на гидроксил-ион, а на алкокси-группу. Значительно меньшее различие в скоростях данных реакций объясняется, по видимому, тем, что здесь имеет место обращение изомеров друг в друга.

Скорость реакции между ионом и нейтральной молекулой должна уменьшаться с увеличением диэлектрической постоянной среды.

Диэлектрическая постоянная спиртов увеличивается по мере их разбавления. Следовательно, мы имеем дело именно с реакцией замещения, а не последовательного присоединения и отщепления, как иногда представляется механизм подобных реакций.

Выводы

1. Исследованы скорости реакции замещения атома хлора в изомерных β-хлоркротоновых кислотах на гидроксил и алкокси-ионы в среде этилового и метилового спиртов разных концентраций с целью выяснения механизма данных реакций.

2. Показано, что реакция является необратимой и бимолекулярной. *транс*-изомеры реагируют быстрее, чем *цис*-изомеры.

3. Установлено, что различие в скоростях реакций обусловлено энергетическими причинами, а разницей в величинах предэкспонентов, т. е. пространственными факторами, так как энергии активации найдены равными для *цис*- и *транс*-изомеров β-хлоркротоновых кислот. Наибольшее различие в скоростях (в 12,5 раза) наблюдается в разбавленных растворах. С увеличением концентрации спирта это различие уменьшается до 1,5 раза.

В чистых этиловом и метиловом спиртах происходит частичное замещение хлора на алкокси-ион; при этом продуктом реакции для обоих изомеров является одна и та же β-алкоксикислота.

ЛИТЕРАТУРА

1. Н. М. Чирков и Т. А. Кудрявцева. Ж. физ. химии, 32, 2237, 1958
2. D. Jones, C. A. Vernon, Nature, 176, 4486, 791, 1955.
3. M. Willems, A. Bruylants, Bull. Soc. chim. belges, 60, 191, 1951.

REACTION KINETICS OF CHLORINE EXCHANGE IN ISOMERIC
 β -CHLOROCROTONIC ACIDS

T. A. Kudryavtseva and N. M. Chirkov (Moscow)

Summary

A study has been made of the rate of substitution of the chlorine atom in isomeric β -chlorocrotonic acids for hydroxyl and alkoxy ions in ethyl and methyl alcohol media of various concentrations with the aim of elucidating the mechanism of these reactions. It has been shown that this is a simple, irreversible bimolecular reaction.

Trans-isomers have been shown to react faster than the cis-isomers of the β -chlorocrotonic acids.

It has been shown that the difference in the reaction rates is determined by the difference in values of the pre-exponential coefficients, i. e. by spatial factors, rather than by energy grounds, since the activation energy has been found equal for the cis- and trans-isomers of the β -chlorocrotonic acids. The largest difference in the rates (12.5 times) is observed with dilute solutions. On increasing the alcohol concentration this difference falls to 1.5 times.

In pure ethyl and methyl alcohols partial substitution of the chlorine for the alkoxy ion takes place, with both isomers the reaction product being the same β -alkoxy acid.

О КРИСТАЛЛИЧЕСКОМ СОСТОЯНИИ ПОЛИМЕРОВ

II. КРИСТАЛЛИЗАЦИЯ ПОЛИМЕРОВ В ПРОЦЕССЕ ПЛЕНКООБРАЗОВАНИЯ

Д. Д. Чегодаев и Н. А. Бугоркова

Существует мнение, что кристаллизация полимеров при испарении растворителя из растворов полимера протекает в облегченных условиях и приводит к образованию очень высокой степени кристалличности. В этом смысле кристаллизация при испарении растворителя считается равноценной кристаллизации при медленном охлаждении расплава [1]. Такое мнение не имело до сих пор экспериментального подтверждения и при проверке экспериментом, как будет показано далее, оказалось ошибочным.

Процессы растворения кристаллических полимеров изучались Бьючем [2], Треси Холлом [3] и Келлером [4], процессы выпадения кристаллов при охлаждении разбавленного раствора полимера — Тиллом [5]. Кристаллизация полимеров в процессе образования пленки при испарении растворителя еще не была изучена.

Экспериментальная часть

Проведение экспериментов было значительно облегчено использованием фторлона — растворимого кристаллического фторсодержащего сополимера (фторопласта), имевшего средний молекулярный вес от 60 000 до 120 000 (относительная вязкость 1%-ного раствора в ацетоне при 20° С — от 2,1 до 3,0). Метод изготовления фторлона обеспечивал получение постоянного состава сополимера*, который имел температуру плавления кристаллитов в интервале 130—150°. Кроме того, в работе были использованы и другие кристаллические полимеры: политрифторхлорэтилен (фторопласт-3) в виде спиртовой суспензии, политетрафторэтилен (фторопласт-4) в виде пленки и полиэтилены, полученные при высоком и низком давлениях.

Фторлон растворяется при 20° в кетонах и при 50° С — в сложных эфирах. Ароматические углеводороды могут служить разбавителями растворов, в спиртах и алифатических углеводородах фторлон нерастворим. Если приготовить раствор фторлона в кетонах или в смесях растворителей с большим содержанием кетонов, то получение многослойных пленок оказывается невозможным вследствие сильного набухания высушенной пленки во втором слое раствора, вызывающего сморщивание пленки и отставание ее от подложки. Для устранения такого набухания были подобраны смеси растворителей с разбавителями (например: метилэтилкетона 30%, циклогексанона 15%, амилацетата 45% и толуола 10%, или: ацетона 15%, циклогексанона 10%, этилацетата 30%, амилацетата 30% и целлозольва 15%), которые не вызывали столь сильного набухания предыдущего слоя и дали возможность получить многослойные пленки толщиной 100 м.

Растворы фторлона в указанных смесях растворителей могут сохраняться до 3—4 месяцев без существенного увеличения вязкости или структурирования. Многослойные пленки получались на подложке из алюминиевой фольги, которая затем для освобождения пленки растворялась в 15%-ном растворе щелочи. Режимы сушки пленок и результаты испытания их механических свойств и набухания в парах ацетона приведены в таблице.

Скорость набухания пленок в парах ацетона в начальный период измерялась по привесу на кварцевых весах при $20 \pm 0,2^\circ \text{C}$, результаты приведены на рис. 1.

* Синтез фторлона разработан в лаборатории НИИПП под руководством Л. В. Черешкевича и С. Г. Малкевич.

образцов	Температура сушки, °C	Термообработка всего покрытия		Охлаждение после термообработки	Предел прочн. при растяж., кг/см ²	Относит. удлинение, %
		темпер., °C	продолж., часы			
1	25	Нет		На воздухе	210	60—600
2	50	То же		То же	260	20—590
3	50—100	» »		» »	230	0—585
4	50—100	150	1	Закалка в воде	270	500
5	50—100	150	1	Охлажд. на воздухе	—	—
6	50—100	150	1	Медл. охлажд. вместе с термостатом	350	350

образцов	Набухание в парах ацетона при 25°, %				Впитывание азотной кислоты при 20° в течение 1 месяца, %
	часы				
	2	5	20	48	
1	7,0	51,0	Разрушилась		7,53
2	8,0	34,0	71,0	70,0	7,15
3	6,7	7,6	9,5	10,0	2,72
4	10,4	50,0	70,0	—	1,9
6	4,9	5,5	7,0	6,5	1,36

В ацетоне пленки набухают, что даже при небольшом поглощении ацетона сразу же сказывается на увеличении размеров образца и падении механической прочности. Наоборот, впитывание пленками даже значительного количества (до 7,5%) жидкости, не растворяющей пленку, но не вызывающей ее, не вызывает ни увеличения размеров, ни изменения механических свойств пленки. По впитыванию такой жидкости можно с достаточной достоверностью судить о пористости пленки. Впитывание растворяющейся в пленке жидкости вызывается действием капиллярных сил; такое испытание в какой-то мере аналогично определению пористости по вдавливанию ртути, которое в случае пленок фторлона пока неприменимо, так как еще не существует приборов, работающих при высоких давлениях. В качестве нерастворяющей, но смазывающей жидкости оказалось возможным применить азотную кислоту, так как она не разрушает фторлона. Определение впитывания производилось по привесу образцов после погружения на 1 месяц в азотную кислоту при 20°, соответствующие показатели приведены в таблице.

С пленок, полученных при различных режимах сушки и термообработки (образцы 2, 3 и 6, таблица), были получены рентгенограммы.

Для электронно-микроскопического исследования пленки фторлона снимались из раствора в амилалетате при 70° на поверхность воды и су-

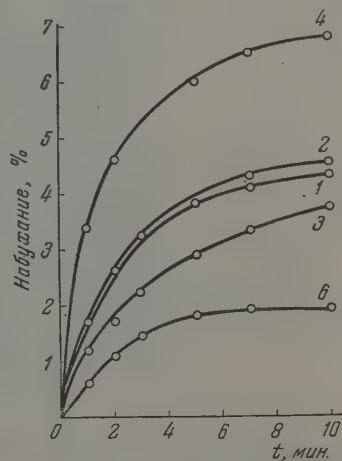


Рис. 1. Скорость набухания в парах ацетона. Номера кривых соответствуют номерам образцов в таблице

пились в атмосфере паров амилацетата в течение нескольких часов. Для сравнения были отлиты пленки из полиэтилена, полученного при высоком давлении, и полиэтилена, полученного при низком давлении. Пленки отливались из горячего (90°) раствора в ксилоле на поверхности воды. Полученные таким образом пленки полиэтилена и фторлона фотографировались в электронном микроскопе, снимки показаны на рис. 3 и 4.

Снимок полиэтилена, полученного при высоком давлении (рис. 3) аналогичен опубликованному ранее, в частности, Редингом и Брауном

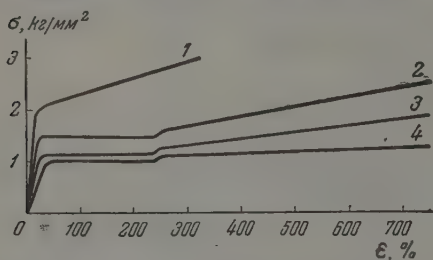


Рис. 5. Кривые растяжения фторопласта-4. Степень кристалличности около 60%: 1—20; 2—40; 3—60 и 4—80° С

Снимок полиэтилена, полученного при низком давлении (рис. 3), показывает более разную картину, что непосредственно связано с большей способностью такого полиэтилена к кристаллизации, вследствие меньшего количества разветвлений цепи. Снимок фторлона (рис. 4) отличается иным расположением темных и светлых участков снимка, при сохранении общего характера картины. Кроме получения конечных результатов испытания механической прочности пленок фторлона, показанных в таблице, были записаны кривые растяжения этих пленок при различных температурах. Для записи этих кривых была использована разрывная машина РММ-30 с самопишущим приспособлением, к которой было изготовлено термостатирующее приспособление в виде стакана с рубашкой, в которую непрерывно подавалась подогретая вода из ультратермостата Хеплера. В стакан вставлялась система зажимов для закрепления образцов в виде полоски пленки толщиной 0,1 мм и шириной 10 мм. Рабочая часть образцов имела длину 25 мм, конструкция зажимов обеспечивала отсутствие выполазания зажимов частей образцов из зажимов.

Испытанные пленки фторлона получались по режимам, указанным в таблице. Кроме фторлона были испытаны пленки фторопласта-4 (политетрафторэтилена), полученные срезанием ленты с болванки полимера и фторопласта-3 (политрифторхлорэтилена), полученные последовательным нанесением на алюминиевую фольгу и сплавлением 10 слоев суспензии полимера, после чего фольга растворялась [8].

Кривые, показанные на рис. 5—9, получены усреднением большого числа реальных кривых, записанных самопишущим приспособлением машины РММ-30. Расхождения между реальными кривыми были незначительными. Кривые снимались при 20, 40, 60 и 80° С.

Обсуждение результатов

Если, как это показали Бьюч [2] и Треси Холл [3], температура плавления кристаллитов набухших полимеров снижается с ростом содержания в них растворителя, то и, наоборот, при высыхании раствора полимера в тот момент, когда установится соответствие между остаточным содержанием растворителя и температурой сушки, начнется образование кристаллитов. Условия кристаллизации в присутствии большого количества растворителя весьма облегчены, что должно привести к быстрому образованию очень крупных кристаллитов. Рост кристаллитов прекращается тогда, когда участки молекул между кристаллитами окажутся натянутыми, и между силами кристаллизации и натяжением межкристаллитных участков молекул установится равновесие. При дальнейшем высыхании

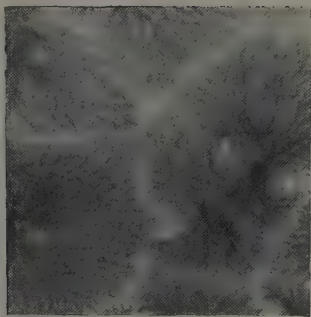


Рис. 2. Полиэтилен высокого давления. Увеличение в 5600

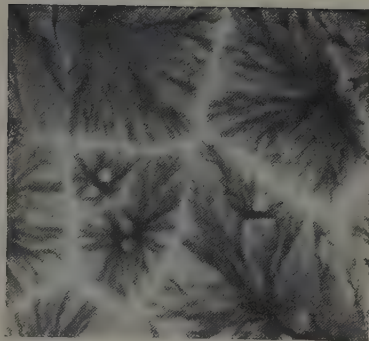


Рис. 3. Полиэтилен низкого давления. Увеличение в 5600

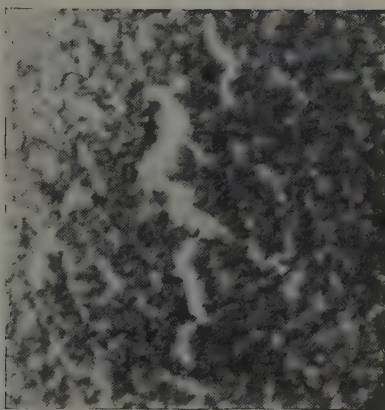


Рис. 4. Фторлон. Увеличение в 14 000

количество растворителя оказывается уже недостаточным для облегчения кристаллизации при неизменной температуре, и поэтому степень кристалличности пленок, высушенных при относительно низкой температуре, должна быть небольшой.

Как показал Келлер [4] на примере полиэтилентерефталата, набухают и растворяются в первую очередь аморфные участки кристаллического полимера. Поэтому по скорости и величине набухания полимера в растворителе можно судить об общем количестве аморфных участков или о степени кристалличности образца.

С другой стороны, по впитыванию в образец полимера жидкости, не растворяющей и не взаимодействующей с полимером, можно судить как о количестве, так и о состоянии аморфных участков, т. е. о степени их рыхлости.

Если рассмотреть с этой точки зрения результаты испытаний пленок, не подвергавшихся прогреву (образцы 1, 2 и 3, таблица и рис. 1), и сравнить их с результатами испытания закаленной пленки (образец 4, таблица и рис. 1), то станет очевидной реальность изложенных выше представлений.

Действительно, образцы 1 и 2 по набуханию в парах ацетона приближаются к закаленной пленке (образец 4), имеющей, заведомо, низкую степень кристалличности. Содержание аморфных участков в образцах 1 и 2 высокое, т. е. степень кристалличности их мала; кроме того, аморфные участки в них наиболее впитывают азотной кислоты. Если сушку вести вначале при 50° (30 мин.), а затем, еще до полного высыхания, нагреть пленку до 100° (образец 3), то межкуристаллитные участки молекул могут дополнительно кристаллизироваться с образованием многочисленных, но более мелких кристаллитов. Степень кристалличности при этом повышается, чему соответствует уменьшение скорости и величины набухания в парах ацетона. Рыхлость аморфных участков при этом также уменьшается, что вызывает уменьшение впитывания азотной кислоты.

Если же пленку фторлона после высушивания прогреть до 150° , т. е. расплавить образовавшиеся при сушке кристаллиты, то при этом снимутся все напряжения, существовавшие в аморфных участках. При остывании такой пленки уже не могут образоваться крупные кристаллиты, а в аморфных участках не может возникнуть большая напряженность или рыхлость. Пленка фторлона при 150° становится очень мягкой, но не течет, т. е. при плавлении кристаллитов не образуется жидкого расплава полимера. Поэтому нельзя считать, что в момент расплавления кристаллитов возникает полная беспорядочность в расположении молекул. Несомненно, в тех местах, где были расположены кристаллиты, сохраняется в значительной степени упорядоченность расположения молекул даже и при отсутствии кристаллической структуры.

Если пленку фторлона после плавления охладить быстро (закалить), то степень кристалличности будет очень малой, кристаллиты образуются только в тех местах, где они находились до плавления. Средние размеры кристаллитов могут быть относительно крупными. Содержание аморфных

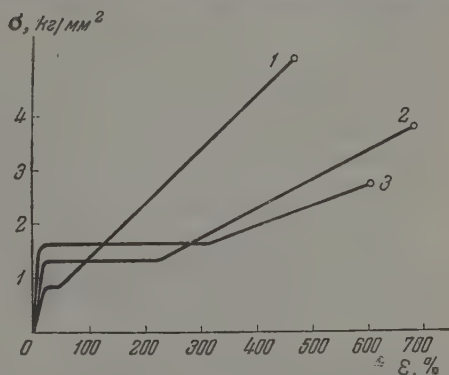


Рис. 6. Кривые растяжения фторопласта-4 различной кристалличности при 40° : 1 — закаленный образец; 2 — более медленно охлажденный образец; 3 — очень медленно охлажденный образец

участков должно быть очень большим, что подтверждается максимальной скоростью и величиной набухания в парах ацетона (образец 4, таблицы и рис. 1), но аморфные участки не могут быть рыхлыми — этому соответствует малое впитывание азотной кислоты.

При медленном охлаждении пленки образуется очень много центров кристаллизации, степень кристалличности наиболее высока при очень малых средних размерах кристаллитов, которые не могут вырасти до более крупных размеров из-за помехи от растущих по соседству других кристаллитов. Аморфные участки при этом должны быть наиболее плотными и ненапряженными. Данные таблицы и рис. 1 полностью это подтверждают. Как набухание в парах ацетона, так и впитывание азотной кислоты минимальны.

Результаты механических испытаний не противоречат всему изложенному. Наличие напряжений в аморфных участках образцов 1, 2 и 3, т. е. пленок, не подвергавшихся прогреву до

температуры плавления кристаллитов, подтверждается тем, что в большинстве случаев разрыв наступает преждевременно, при удлинении менее 20%. Отсутствие напряжений после прогрева подтверждается полным отсутствием случаев преждевременного разрыва.

Рентгенографические исследования пленок показали реальность изложенных выше представлений. На рентгенограмме образца 2 (таблица)

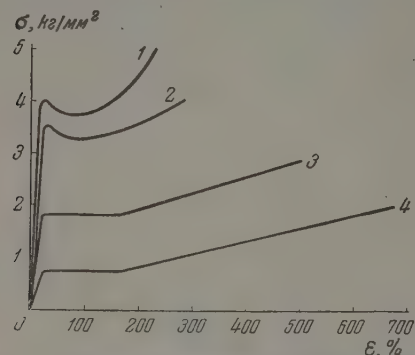


Рис. 7. Кривые растяжения фторопласта-3. Степень кристалличности около 30%: 1—20; 2—40; 3—60 и 4—80° C

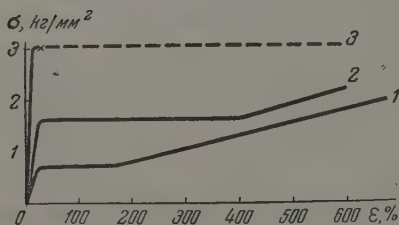


Рис. 8

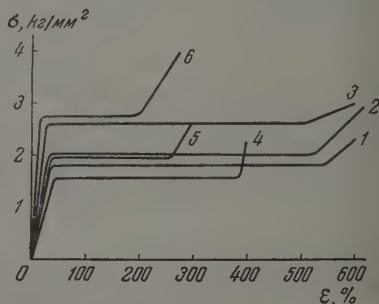


Рис. 9

Рис. 8. Кривые растяжения фторопласта-3 при 80° C: 1 — закаленный образец; 2 — образец, охлажденный на воздухе; 3 — медленно охлажденный образец, разрыв произошел в точке, отмеченной крестиком

Рис. 9. Кривые растяжения фторлона. Номера кривых соответствуют номерам образцов в таблице

кольца имеют малую интенсивность и очень четкие границы, что соответствует малой степени кристалличности и крупным размерам кристаллитов. Появлению большого числа мелких кристаллитов и повышению в связи с этим степени кристалличности в образце 3 соответствует на рентгенограмме повышение интенсивности колец, расширение их и размывание границ. После плавления кристаллитов (образец 6) кольца еще более расширяются, интенсивность их становится наибольшей, что соответству-

чень малым размерам кристаллитов и максимальной степени кристалличности.

Дальнейшее подтверждение изложенных представлений о ходе кристаллизации в процессе пленкообразования при испарении растворителей можно видеть в той своеобразной картине, которая обнаруживается при электронно-микроскопическом исследовании тончайших пленок полимеров (с. 2, 3 и 4). Снимки пленок полиэтилена, полученного при высоком давлении, подобные рис. 2, были опубликованы ранее многими исследователями, например, Редингом и Брауном [7], которые считали наблюдаемое явление неполностью развившимся сферолитом. Это мнение было значительно поколеблено работой В. А. Каргина и Т. А. Корецкой [9], которые вергали такие пленки облучению электронами, полностью аморфизировавшему их, что, однако, совершенно не изменяло картины, наблюдавшейся в электронном микроскопе.

Несомненно, что наблюдаемые здесь сферолитоподобные образования возникают в результате кристаллизации полимера. Условия пленкообразования здесь иные, чем при высыхании пленки на твердой подложке. В наличии легкоподвижной подложки (воды) единственным фактором, ограничивающим рост отдельных кристаллитов, является только взаимная запутанность цепей полимера, препятствующая разрыву пленки. Поэтому вокруг каждого растущего кристаллита возникает зона напряжения, что выражается в образовании на пленке морщин и утолщений. На электронно-микроскопическом снимке наличие темных и светлых участков объясняется не столько различием в плотности кристаллических и аморфных частей полимера, сколько различием в толщине пленки. Естественно, облучение электронами не может изменить толщины пленки, поэтому В. А. Каргин и Т. А. Корецкая [9] не могли обнаружить изменений после облучения. В утолщениях пленки, исходящих из концов центрального более крупного кристаллита, молекулы полимера вследствие натяжения в значительной степени ориентированы. Это облегчает их дальнейшую кристаллизацию, например, при досушке при 100° образца фторлона 3 (табл. 1).

Различие между снимками рис. 2 и 3, с одной стороны, и рис. 4, — с другой, обусловлено, по-видимому, различием в кристаллической структуре полиэтилена и фторлона. Однако ход кристаллизации у этих полимеров по принципу, по-видимому, одинаков. Это позволяет сделать вывод о существенном отличии процесса образования сферолитов в полимерах в сравнении с кристаллизацией минералов в виде сферолитов. При образовании крупного кристаллита вокруг него возникает сферическая зона натяжений, приводящая к ориентации большого числа участков молекул по радиусам сферы, что облегчает кристаллизацию этих участков. Образование в результате сравнительно крупного шарообразного участка полимера с правильной ориентацией отдельных мелких кристаллитов по радиусам шара. Образование этих мелких кристаллитов может, в свою очередь, вызывать ориентацию молекул в соседних слоях полимера, что приводит к росту сферолита.

Между отдельными мелкими кристаллитами находятся аморфные участки полимера, в которых молекулы не могут кристаллизироваться вследствие их запутанности. Следовательно, сферолиты в полимерах существенно отличаются от настоящих сферолитов в минералах отсутствием регулярной кристаллической структуры и относительно низкой степенью кристалличности.

Кривые растяжения кристаллических полимеров, показанные на рис. 5—9, дают некоторые дополнительные данные для характеристики кристаллического состояния полимеров. Как известно, при растяжении образцов кристаллических полимеров на их рабочей части образуется «шейка», которая считается одним из основных характерных признаков кристаллических полимеров. Однако при определенных условиях и на образцах

аморфных полимеров можно наблюдать образование перетяжки, внешне похожей на шейку. Поэтому наиболее характерным для кристаллических полимеров следует считать не факт образования шейки, а наличие явно выраженного горизонтального участка на кривой растяжения.

В. А. Каргин и Т. И. Соголова [10] показали, что «высота площадки», т. е. напряжение рекристаллизации, на кривых растяжения растет вместе с ростом степени кристалличности. Серии кривых, приведенные на рис. 9, позволяют сделать, кроме этого, некоторые выводы о зависимости длины площадки от размеров кристаллитов.

На рис. 5 и 7 показаны серии кривых растяжения фторопласта-4 и фторопласта-3, полученные при неизменной степени кристалличности, но при разных температурах. Высота площадки зависит от температуры: чем выше температура, тем ниже расположена площадка. Интересно отметить вырождение формы кривых у фторопласта-4 при 20°, а у фторопласта-3 — при 40° С и ниже. Это несомненно связано с фазовыми переходами у фторопласта-4 при 20° и у фторопласта-3 при 55°*. Длина площадки от температуры не зависит. Рис. 6 и 8 показывают, что у фторопластов-4 и -3 и высота и длина площадки зависят от степени кристалличности. Верхняя кривая рис. 8, обрывающаяся в самом начале площадки, свидетельствует о хрупкости образца, вызванной возникновением микротрещин и напряжений при далеко зашедшей кристаллизации полимера. Разрыв наступил в самом начале образования шейки, но по оставшимся нерастянутыми частям образца можно приблизительно определить длину площадки, какой она была бы при отсутствии преждевременного разрыва. Эта длина площадки условно нанесена пунктиром.

Рис. 9 показывает серию кривых растяжения образцов фторлона, полученных по режимам, указанным в таблице. Эти кривые подтверждают, что высота площадки зависит от степени кристалличности. Однако длина площадки в этом случае явно не зависит от степени кристалличности. Длина площадки больше там, где мы предполагали наличие крупных кристаллитов, и минимальна у образца 6, в котором могут содержаться только очень мелкие кристаллиты.

Если кристаллизация протекает при охлаждении расплава, как у образцов фторопласта-4 (рис. 6) и фторопласта-3 (рис. 8), то чем медленнее идет охлаждение, тем более крупными могут стать кристаллиты, что и вызывает повышение степени кристалличности. В случае же фторлона размеры кристаллитов можно регулировать независимо от степени кристалличности.

Таким образом длина площадки зависит, по-видимому, только от размеров кристаллитов, причем, вероятно, не от объема, а от некоторых линейных размеров. Интересно сравнить с кривыми рис. 9 данные, опубликованные Томасом и другими [12] для политетрафторэтилена. Томас отметил, что при длительном дополнительном прогреве образца степень кристалличности возросла с 72 до 82%, при этом высота площадки почти не изменилась, а относительное удлинение возросло почти в два раза. Если по данным Томаса построить кривые растяжения, то можно видеть, что длина площадки кривой возрастает более чем вдвое.

В этом случае небольшое повышение степени кристалличности привело, по-видимому, к сращиванию между собою соседних кристаллитов, этого разделенных небольшим аморфным участком. При таком сращивании размеры кристаллитов увеличиваются в среднем несколько более чем вдвое, что хорошо соответствует такому же увеличению длины площадки. Это подтверждает представления о процессе кристаллизации политетрафторэтилена после спекания, изложенные в первой статье [13].

* Температура стеклования аморфных участков фторопласта-3 определена И. Майгельдиновым по изменениям модуля упругости [11].

Авторы приносят благодарность Т. Н. Сарминской и Г. С. Рубинсон за выполнение рентгенографических исследований и электронно-микроскопических снимков.

Выводы

1. При пленкообразовании из растворов кристаллических полимеров и низких температурах происходит кристаллизация, приводящая к образованию крупнокристаллической структуры, при которой аморфные участки находятся в напряженном состоянии и отличаются рыхлостью. Такие пленки имеют малую степень кристалличности, низкие механические свойства, нестабильны, быстро и сильно набухают в растворителях, обладают большой проницаемостью.
2. Прогрев при температуре плавления кристаллитов и медленное охлаждение приводят к образованию в пленке мелкокристаллической структуры с ненапряженными аморфными участками, повышению плотности пленки, уменьшению набухания в растворителях и уменьшению проницаемости. Такая структура отличается также стабильностью.
3. Наиболее существенным отличием сферолитов, возникающих в кристаллических полимерах, является отсутствие непрерывной кристаллической структуры и относительно низкая степень кристалличности сферолитообразных образований, наблюдаемые в электронном микроскопе в пленках полимеров, полученных отливом из раствора, показывают наличие кристаллитов, сколько возникновение при кристаллизации утолщений пленки и морщин.
4. По длине горизонтального участка кривых растяжения кристаллических полимеров можно судить о средних размерах кристаллитов, а по уменьшению формы кривой при понижении температуры — о температуре свертывания аморфных участков полимера.

Институт полимеризационных
пластмасс
Ленинград

Поступила
20.IV.1957

ЛИТЕРАТУРА

- Н. В. Михайлов и В. О. Клесман, Коллоидн. ж., 18, 456, 1956.
 A. M. Buesche, J. Amer. Chem. Soc., 74, 65, 1952.
 H. Tracy Hall, J. Amer. Chem. Soc., 74, 68, 1952.
 A. Keller, J. Polymer Sci., 17, 291, 1955.
 P. H. Till, J. Polymer Sci., 24, 301, 1957.
 Методы исследования структуры высокодисперсных и пористых тел, Изд-во АН СССР, Москва, 1953, стр. 47 и 59.
 F. P. Reding, A. Brown, Industr. and Engng. Chem., 46, 1962, 1954.
 Д. Д. Чегодаев, Фторопласты, Госхимиздат, Ленинград, 1956, стр. 59.
 В. А. Каргин и Т. А. Корецкая, Докл. АН СССР, 110, 1015, 1956.
 В. А. Каргин и Т. И. Соголова, Ж. физ. химии, 27, 1039, 1208, 1213, 1325, 1953.
 Д. Д. Чегодаев, Фотопласты, Госхимиздат, Ленинград, 1956.
 P. E. Thomas, J. F. Lontz, C. A. Sperati, J. L. McPherson, SPE Journal, 12, № 6, 89, 1956.
 Д. Д. Чегодаев, Ж. физ. химии, 33, 96, 1958.

ON THE CRYSTALLINE STATE OF POLYMERS

II. THE CRYSTALLIZATION OF POLYMERS FROM SOLUTION

D. D. Chegodaev and N. A. Bugorkova (Leningrad)

Summary

During the formation of films at low temperatures from crystalline polymer solutions crystallization takes place leading to coarsely crystalline structures in which amorphous regions are in a state of strain and are distinguished by loose packing. Such films

have a low degree of crystallinity and poor mechanical properties; they are unstable rapidly, and to a considerable extent, in solvents and are highly permeable.

Heat treatment of the crystallites at the melting point and their slow cooling to the formation of a finely crystalline structure of the films without strain in the amorphous regions; the film becomes denser and the swelling in solvents decreases, as does permeability. Also the structure is stable.

The most significant distinction of the spherulites appearing in the crystalline polymers is the absence of a continuous crystalline structure and the relatively low degree of crystallinity. Spherulite-like structures observed in the electronic microscope on films obtained from pouring of solutions disclose a thickening and wrinkling of the film during the crystallization process rather than the presence of crystals.

From the length of the horizontal section of the elongation curves of the crystalline polymers one may evaluate the mean sizes of the crystallites and from the change in shape of the curve on lowering the temperature, of the vitrification temperature of amorphous regions of the polymer.

ВЛИЯНИЕ ОЗОНА НА ВОСПЛАМЕНЕНИЕ УГЛЕВОДОРОДОВ

III. ВОСПЛАМЕНЕНИЕ ЦИКЛОГЕКСАНА С КИСЛОРОДОМ

Н. А. Славинская, С. А. Каменецкая и С. Я. Пшежецкий

В предыдущих статьях [1, 2] были изложены данные о влиянии озона на воспламенение *n*-бутана и бутилена.

Представляло интерес выяснить особенности первичного взаимодействия озона с циклическими углеводородами, проявляющиеся при их воспламенении.

Экспериментальная часть

Методика. Циклогексан очищался концентрированной серной кислотой, 10%-ной гидроокисью натрия, щелочным раствором перманганата калия, кислотным перманганатом. Затем промывался дважды дистиллированной водой, сушился над натрием и перегонялся на колонке.

Примененный циклогексан имел т. кип. 81°C и n_D^{20} 1,4260.

Методика получения озона и кислорода были такие же, как это описано в статье [1]. Исследование воспламенения смесей циклогексана с кислородом проводилось посредством впуска заранее приготовленной смеси в откачанный нагретый кварцевый сосуд диаметром 26,5 мм.

В опытах с добавками озона вводился циклогексан до нужного давления, а затем смесь O_2 с O_3 . Озон вводился в смесь с таким расчетом, чтобы количество атомов кислорода оставалось постоянным и соответствовало принятому соотношению циклогексана к кислороду. Содержание озона в смеси варьировалось от 2,6 до 17,6%.

Схема установки приведена в статье [1]. Для проверки воспроизводимости результатов после опытов с добавками озона вновь проводились опыты по воспламенению циклогексана с кислородом. Воспроизводимость результатов была удовлетворительная.

Экспериментальные данные. Воспламенение циклогексана с кислородом. Так как задачей данной работы являлось изучение влияния озона на воспламенение циклогексана, как и в предыдущих случаях, мы ограничились одним составом смеси, содержащей 80% от стехиометрического количества кислорода.

На рис. 1 приведена зависимость критического давления воспламенения циклогексана от температуры. Для сопоставления приведены кривые для бутана и бутилена.

Как видно из рисунка, предел воспламенения циклогексана лежит ниже, чем у бутана и бутилена. Ход кривой аналогичен. Результаты расчета данных по уравнению

$$\lg \frac{P_c}{T} = \frac{A}{T} + B \quad (1)$$

приведены на рис. 2*.

Из угла наклона прямой $A = 2960$; $B = -4,68$. Приведенная на рис. 1 кривая рассчитана по уравнению (1) с этими значениями коэффициентов

* Так как $n = 2$, то следовало пригнать величину P/T^2 . Однако расхождения незначительны в пределах точности определения основных величин.

A и B . Период индукции воспламенения лежит в пределах от 1,2 до 7,2 сек в зависимости от давления и температуры.

Для вычисления энергии активации и порядка реакции применим уравнение

$$\tau P^n e^{-E/RT} \approx \text{const.} \quad (2)$$

На рис. 3 представлена зависимость $\lg \tau$ от $1/T$. Средний угловой коэффициент прямых дает $E = 43$ ккал. Из зависимости $\lg \tau$ от $\lg P$ при постоянных значениях температуры получаем $n = 2,21$. Подставляя $n = 2,2$ и $A = 2960$ в уравнение $A = \frac{E}{(n+1)R} \lg e$, получаем $E = 43,5$ ккал.

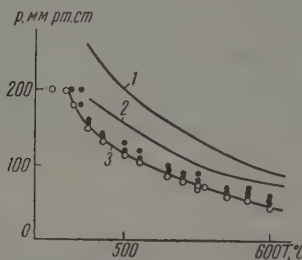


Рис. 1

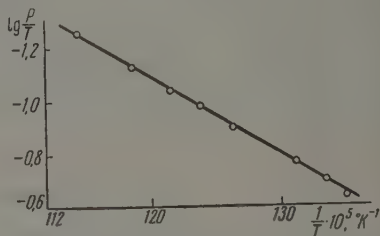


Рис. 2

Рис. 1. Зависимость нижнего предела воспламенения от температуры: 1 — смесь бутан — кислород; 2 — смесь бутилен — кислород; 3 — смесь циклогексан — кислород по оси ординат отложена величина суммарного давления в мм рт. ст.; по оси абсцисс — температура °C; зачерненные кружки соответствуют воспламенению; светлые кружки — отсутствию воспламенения

Рис. 2. Зависимость $\lg(P/T)$ от $1/T$

что совпадает с приведенной выше величиной E , вычисленной из зависимости периода индукции от температуры. В табл. 1 приведены величины постоянной, вычисленные со значениями $n = 2,2$; $E = 43$ ккал, иллюстрирующие выполнимость уравнения (2).

Таблица 1

Расчет константы уравнения (2)

Давление смеси, мм рт. ст.	Температура, °K	Период индукции, секунды	const·10 ⁷	Давление смеси, мм рт. ст.	Температура, °K	Период индукции, секунды	const·10 ⁷
200	773	3,5	3,28	400	803	5,7	3,28
200	793	2,0	3,74	100	823	2,8	3,14
180	758	6,2	2,66	90	803	7,2	3,28
180	783	3,2	3,36	90	823	3,6	3,20
170	743	10,7	2,26	90	843	1,6	2,53
170	773	4,6	3,02	80	843	2,0	2,44
130	773	8,0	2,92	80	823	4,8	3,29
130	823	1,5	2,98	70	843	1,2	2,62
120	773	9,6	2,93	60	858	2,4	2,49
120	803	3,8	3,26				

Как видно из данных табл. 1, уравнение (2) выполняется.

Влияние озона на нижний предел и период индукции воспламенения циклогексана. На рис. 4

Приведены графики нижнего предела воспламенения для различного содержания озона в смеси. Как показывает рисунок, добавление озона понижает температуру воспламенения.

На рис. 5 приведена зависимость предельного давления воспламенения содержания озона для одной температуры. Как показывает график, он сильно влияет на положение предельного давления.

На рис. 6 приведены зависимости $\lg(P/T)$ от $1/T$ для всех изученных смесей, содержащих озон.

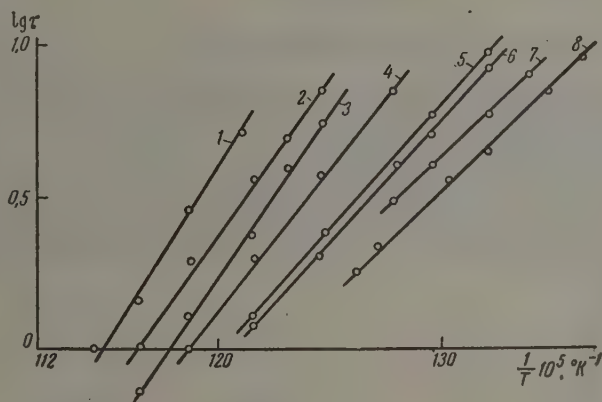


Рис. 3. Зависимость $\lg \tau$ от $1/T$: 1 — $P = 75$; 2 — $P = 90$; 3 — $P = 100$; 4 — $P = 120$; 5 — $P = 140$; 6 — $P = 150$; 7 — $P = 180$ и 8 — $P = 200$ мм рт. ст.

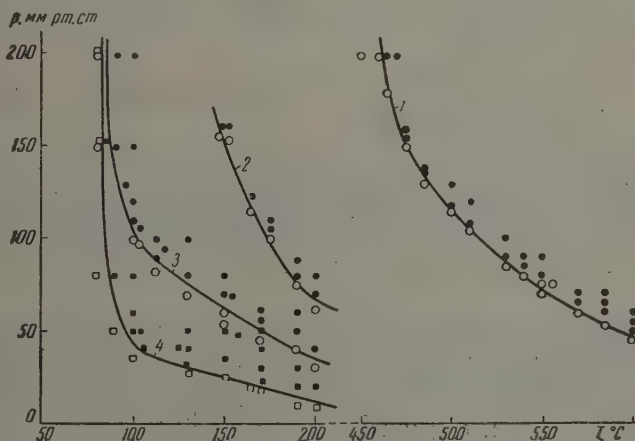


Рис. 4. Зависимость нижнего предела воспламенения от температуры: 1 — циклогексан — кислород; 2 — 4,4; 3 — 8,8; 4 — 13,2% O_3 .

В табл. 2 приведены значения коэффициентов уравнения (1) и энергии активации для смесей циклогексан — кислород — озон различного состава, рассчитанные по уравнениям (1) и (2).

Озон влияет на критические условия воспламенения циклогексана приблизительно так же, как и бутана, но слабее, чем бутилена [1, 2].

Таблица 2

Процент озона в смеси	n	A	B	E, ккал
0	2,2	2960	-4,68	43,0
4,4	2,2	1785	-4,64	26,3
8,8	2,2	975	-3,16	14,3
13,2	2,2	625	-2,68	9,2

Обсуждение результатов

Нижний предел воспламенения циклогексана с кислородом лежит ниже температуры кипения бутана и бутилена. Так как кинетика взаимодействия циклогексана с кислородом, по-видимому, такая же, как в случае бутана, то это различие, очевидно, связано с большей теплотой горения циклогексана и, следовательно, большей скоростью тепловыделения (теплота сгорания моля C_6H_{12} — 881,67 ккал; теплота сгорания моля бутана — 635,05 ккал). То, что отрицательное влияние озона на воспламенение циклогексана приблизительно

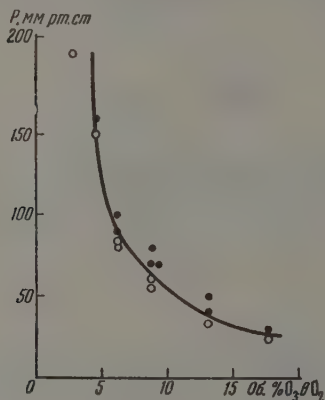


Рис. 5

Рис. 5. Зависимость критического давления воспламенения от содержания озона в смеси при 150°C . Зачерненные кружки соответствуют воспламенению, светлые — отсутствию воспламенения

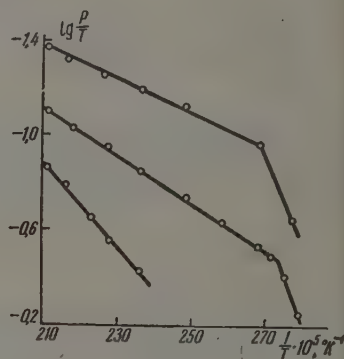
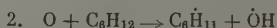
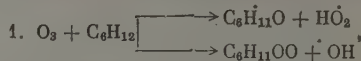


Рис. 6

Рис. 6. Зависимость $\lg(P/T)$ от $1/T$: 1 — 4,4; 2 — 8,8; 3 — 13,2% O_3

такое же, как и на воспламенение бутана, указывает на то, что первичное взаимодействие этих углеводородов с озоном имеет сходную природу.

Вероятные реакции озона с циклогексаном, по-видимому, следующие:



Наблюдавшееся резкое увеличение критического давления воспламенения ниже 85°C , возможно, связано с тем, что ниже этой температуры распад озона и образование атомарного кислорода происходит уже сравнительно медленно. Расчет по нашим данным показывает, что скорость распада озона сильно возрастает, начиная примерно с 90°C . Таким образом, соответствие температур, при которой разложение озона сильно замедляется с температурой, при которой происходит резкое увеличение критического

вления воспламенения циклогексана, указывает на то, что, по-видимому, преимущественное значение имеет реакция циклогексана с атомарным кислородом, образующимся при распаде озона. В работе Н. А. Клейменова, И. Н. Антоновой, Л. М. Маркевича и А. Б. Налбандяна [3] окисление метана в присутствии озона с заметной скоростью наблюдалось при температуре порядка 100°C . По нашим данным медленнее окисление бутана в присутствии озона также начинает заметно идти около 100° .

Выводы

1. Исследованы критические условия воспламенения циклогексана кислородом в нагретом сосуде. Озон понижает температуру и давление воспламенения циклогексана на нижнем пределе и устраняет период индукции воспламенения.
2. Полученные данные соответствуют теории теплового воспламенения Н. Семёнова. Расчет показывает, что озон снижает эффективную энергию активации с 43 ккал до 9,2 ккал для смеси, содержащей 13,2% озона.
3. Действие озона на воспламенение циклогексана близко к его действию на воспламенение бутана и слабее, чем на воспламенение бутилена.

Академия наук СССР
Физико-химический институт
им. Л. Я. Карпова
Москва

Поступила
31.V.1957

ЛИТЕРАТУРА

- С. А. Каменецкая, С. Я. Пшежецкий и Н. А. Славинская, Ж. физ. химии, 32, 2430, 1958.
Н. А. Славинская, С. А. Каменецкая и С. Я. Пшежецкий, Ж. физ. химии, 33, 45, 1959.
Н. А. Клейменов, И. Н. Антонова, А. М. Маркевич и А. Б. Налбандян, Ж. физ. химии, 30, 794, 1956.

THE EFFECT OF OZONE ON THE IGNITION OF HYDROCARBONS

III. THE IGNITION OF CYCLOHEXANE WITH OXYGEN

A. Slavinskaya, S. A. Kamenetskaya and S. Ya. Pshezhetskii (Moscow)

Summary

A study has been made of the critical conditions for the ignition of cyclohexane with oxygen in a heated vessel. Ozone lowers the ignition temperature and pressure of cyclohexane at the lower limit and eliminates the induction period of ignition.

The data obtained are in conformity with Semenov's heat ignition theory. It has been shown by calculation that ozone lowers the effective activation energy from 43 kcal to 9.2 kcal for mixtures containing 13.2% ozone.

The effect of ozone on the ignition of cyclohexane is close to that on the ignition of butane and weaker than on the ignition of butylene.

О СВОЙСТВАХ ТРЕХКОМПОНЕНТНЫХ АЗЕОТРОПНЫХ СМЕСЕЙ ОБРАЗОВАННЫХ КОМПОНЕНТАМИ С ОГРАНИЧЕННОЙ ВЗАИМНОЙ РАСТВОРИМОСТЬЮ. II

В. Б. Коган и Т. С. Толстова

В работе [1] было показано, что трехкомпонентные азеотропные смеси образованные веществами с ограниченной взаимной растворимостью, сравнению с бинарными азеотропами, должны иметь большее относительное содержание тех компонентов, которые хуже растворимы друг в друг.

При рассмотрении помещенных в [2] данных о свойствах бинарных и тройных азеотропных смесей, одним из компонентов которых является вода, были обнаружены 10 систем, не подчиняющихся указанной закономерности. Это привело к заключению об ошибочности данных о свойствах азеотропных смесей в указанных системах.

Для проверки этого в настоящей работе было предпринято экспериментальное определение данных о свойствах азеотропных смесей в системах: пропиловый спирт — вода — трихлорэтилен; аллиловый спирт — вода — гексан; изопропиловый спирт — вода — нитрометан и гексиловый спирт — вода — бензол.

Опыты проводились на колонке с эффективностью, равной 45 теоретическим тарелкам (по смеси дихлорэтан — бензол) с веществами, предварительно очищенными на этой же колонке. Физические константы применявшихся веществ приводятся в табл. 1.

Таблица

Физико-химические константы применявшихся веществ

Вещество	Т-ра кип., °С		d_4^{20}		n_D^{20}	
	Литературный [3]	Экспериментальный	Литературный [3]	Экспериментальный	Литературный [3]	Экспериментальный
Трихлорэтилен	86,7	86,6	1,466	1,466	1,4777	1,477
Пропиловый спирт	97,8	97,8	0,804	0,8036	1,3854	1,385
Аллиловый спирт	96,6	96,6	0,854	0,854	1,4135	1,413
Гексан	68,85	68,8	0,659	0,658	1,3754	1,375
Нитрометан	101,2	100,9	1,138	1,137	1,3818	1,381
Изопропиловый спирт	82,5	82,5	0,789	0,790	1,3776	1,377
Гексиловый спирт	157	158	0,820	0,820	1,4183	1,418
Бензол	80,2	80,15	0,879	0,880	1,5012	1,501

Пробы гомогенных азеотропов отбирались в виде жидкости, а гетерогенных азеотропов из паровой фазы, во избежание погрешностей, связанных с конденсацией. Пробы отбирались в колбочки с гомогенизирующим веществом, в качестве которого использовался предварительно обезвоженный пиридин. Содержание спирта определялось по методу, основанному на взаимодействии с фталевым ангидридом и последующем титровании избытка фталевой кислоты раствором NaOH [4]. Вода анализировалась volumетрически с помощью гидрида кальция. Содержание третьего компонента определялось по разности.

В бинарных системах вода—пропиловый спирт, трихлорэтилен—пропиловый спирт, аллиловый спирт — гексан вызывали сомнения данные составов азеотропов, в связи с чем было произведено их экспериментальное определение. Состав бинарных азеотропов в системах пропанол—вода и пропанол — трихлорэтилен определялся по показателю преломления, измерявшемуся на рефрактометре ИРФ-22.

Состав азеотропа гексан — аллиловый спирт определялся с помощью анализа на содержание спирта по указанному выше методу. Составы азеотропов находились как среднее из 3—5 определений, которые расходились между собой на величину, не превышающую погрешность анализов (не более 0,5%).

Полученные данные о свойствах бинарных и трехкомпонентных азеотропных смесей приводятся в табл. 2.

Таблица 2

Данные о составах азеотропов

Наименование системы			Состав тройного азеотропа, вес. %						Содержание А в бинарном азеотропе, вес. %			
			по [2]			Наши данные			по [2]		по нашим данным	
А	Б	В	А	Б	В	А	Б	В	БА	ВА	БА	ВА
Пропанол	Вода	Трихлорэтилен	12	7	81	8,1	7,1	84,8	28,3	17	28,3	17,1
Аллиловый спирт	»	Гексан	5	5	90	5,1	8,5	86,4	72,3	4,5	—	12,5
Изопропиловый спирт	»	Нитрометан	62	6	32	51,5	11,7	36,8	87,9	69	—	—
Амилловый спирт	»	Бензол	7,5	1,3	91,2	Тройного азеотропа не дает						

Температуры кипения всех исследованных азеотропных смесей хорошо согласуются с данными, приведенными в [2]. Результаты наших определений показывают ошибочность данных о составах всех тройных и бинарного азеотропа гексан — аллиловый спирт.

В системе гексилловый спирт—вода — бензол тройной азеотроп вообще образуется. К этому выводу приводит отсутствие спирта в пробе, а также точное совпадение ее температуры кипения с температурой кипения бинарного гетероазеотропа бензол — вода.

Таблица 3

Относительное содержание компонентов в тройных и бинарных азеотропах

Компоненты			Состав тройного азеотропа, мол. %			Содержание А в бинарных азеотропах, мол. %		$\left(\frac{x_A}{x_B}\right)_{гр}$	$\left(\frac{x_A}{x_B}\right)_{бип}$	$\left(\frac{x_A}{x_B}\right)_{гр}$	$\left(\frac{x_A}{x_B}\right)_{бип}$
			А	Б	В	x_{BA}	x_{AB}				
Пропанол	Вода	Трихлорэтилен	11,4	33,7	54,8	43	67	0,339	0,759	0,208	1,857
Аллиловый спирт	»	Гексан	10,2	19,7	70,1	—	79,1	0,517	0,828	0,144	0,223
Изопропиловый спирт	»	Нитрометан	40,2	30,8	30	—	—	1,308	2,17	1,343	2,25

Для проверки соответствия полученных нами данных изложенной вы закономерности в табл. 3 приводится сопоставление относительного содержания компонентов в бинарных и тройных азеотропах.

Из табл. 3 видно, что во всех исследованных системах относительно содержание компонентов, обладающих ограниченной взаимной растворимостью, в тройных азеотропах больше, чем в бинарных.

Таким образом полученные данные подтверждают установленную закономерность о свойствах тройных азеотропных смесей и показывают возможность ее использования для проверки экспериментальных данных.

Выводы

1. Экспериментально определены температуры кипения и составы азеотропных смесей пропанол — вода, пропанол — трихлорэтилен, аллиловый спирт — гексан, пропанол — вода — трихлорэтилен, аллиловый спирт — вода — гексан и изопропанол — вода — нитрометан.
2. Подтверждено сделанное ранее, на основании теоретических соображений, заключение об ошибочности данных о свойствах тройных азеотропных смесей в исследованных системах.
3. Подтверждена возможность применения установленной ранее закономерности [1], характеризующей связь между составами бинарных и тройных азеотропов, для проверки экспериментальных данных.

Государственный институт
прикладной химии
Ленинград

Поступила
25.VI.1957

ЛИТЕРАТУРА

1. В. Б. Коган, Ж. физ. химии, 29, 1470, 1955.
2. Л. Хорсли. Таблицы азеотропных смесей. ИИЛ, 1951.
3. Справочник химика, т. 2, Госхимиздат, 1951.
4. P. Elving, *Analyt. Chem.*, 19, 1006, 1947.

PROPERTIES OF TRICOMPONENT AZEOTROPIC MIXTURES OF COMPONENTS WITH LIMITED MUTUAL SOLUBILITY

Y. B. Kogan and T. S. Tolstova (Leningrad)

Summary

An experimental determination has been made of the boiling temperatures and compositions of the azeotropes: *n*-propyl alcohol—water, *n*-propyl alcohol—trichloroethylene, allyl alcohol — hexane, *n*-propyl alcohol — water — trichloroethylene, allyl alcohol — hexane and isopropyl alcohol — water — nitromethane.

It has been found that no ternary azeotrope forms in the system hexyl alcohol — water — benzene.

A comparison of the compositions found for all ternary azeotropes and the binary azeotrope allyl alcohol — hexane with previously published data confirms the earlier assumption as to the erroneous nature of the latter.

In conformity with the previously established relation the relative content of components with mutual solubility is higher in the ternary than in the corresponding binary mixtures.

О ФОРМЕ ИЗОТЕРМ РАССЛАИВАНИЯ ТРОЙНОГО РАСТВОРА
ТРИЭТИЛАМИН — ФЕНОЛ — ВОДА для 15 и 35° С

А. В. Сторонкин и Н. П. Маркузин

Одним из авторов настоящей статьи было показано [1, 2], что между формой изотерм растворимости тройных систем и величинами фазовых эффектов, характеризующими влияние изменения состава раствора по дадам на химические потенциалы компонентов, существует однозначная связь. Величины фазовых эффектов могут быть оценены при помощи данных о парциальных давлениях компонентов, полученных для растворов, точки составов которых расположены на продолжении нод [3]. Поэтому данные о парциальных давлениях компонентов позволяют проконтролировать форму изотерм растворимости, установленную путем изучения составов сосуществующих фаз. Сказанное справедливо как для тройных систем типа: твердая фаза — раствор, так и для тройных систем типа: раствор—раствор.

Согласно литературным источникам возможны случаи, когда изотерма расслаивания имеет S-образные участки. Френсиз, комментируя данные растворимостей для тройных расслаивающихся растворов, приведенные в справочнике Сейдела [4], высказал предположение о том, что существование таких участков обусловлено загрязнениями.

Целью настоящей работы явилось исследование формы бинодали системы триэтиламин — фенол — вода при 15 и 35° С. Согласно данным Мербурга [5] ветви бинодали указанной системы имеют S-образную форму. В работе был использован вышеизложенный метод контроля формы изотермы расслаивания.

Экспериментальная часть

Реактивы. Триэтиламин марки «чистый» дважды разгонялся на ректификационной колонке эффективностью 18 теоретических тарелок. Полученный препарат имел т. кип. 89,45°, d_4^{20} 0,7276 и n_D^{20} 1,4010.

Фенол марки «чистый» трижды перегонялся с дефлегматором. Очищенный таким образом препарат плавился при 40,75° С.

Анализ. Концентрация триэтиламина в растворе определялась титрованием серной кислотой в присутствии метилрота в качестве индикатора. После этого содержание фенола в пробе устанавливалось по Коппешауру [6].

Разбавление проб для анализа производилось по весу.

Определение составов сосуществующих жидких фаз. Попытки по определению составов слоев проводились в круглодонной колбе, снабженной мешалкой и ртутным затвором. Термостатирование осуществлялось с точностью $\pm 0,02^\circ$ С. Пробы для анализа отбирались после часового перемешивания и последующего отстаивания смеси в течение 1—16 час. Относительная ошибка определения не превышала для $(C_2H_5)_3N$ —0,3%, а для C_6H_5OH —0,3—0,8%.

Определение парциальных давлений компонентов. Методика определения парциальных давлений компонентов, изложенная ранее [7], основывалась на увлечении паров раствора воздухом. Увлеченные пары попадали первоначально в ловушку, где они вымораживались, а затем в две U-образные трубки, первая из которых была заполнена пористой массой, пропитанной раствором серной кислоты, а вторая — хлористым кальцием и пятиокисью фосфора.

Содержание фенола и триэтиламина в конденсате, собранном в ловушке, определялось титрованием. Количество триэтиламина, задержанного в U-образных трубках, устанавливалось путем взвешивания их до и после опыта. Масса воды в паре

Таблица

Составы сосуществующих жидких фаз системы $(C_2H_5)_3N - C_6H_5OH - H_2O$ при 15°

№ вод и обозначения точек	Составы растворов мол. %					
	первая фаза			вторая фаза		
	$x_{(C_2H_5)_3N}^{(1)} \cdot 100$	$x_{C_6H_5OH}^{(1)} \cdot 100$	$x_{H_2O}^{(1)} \cdot 100$	$x_{(C_2H_5)_3N}^{(2)} \cdot 100$	$x_{C_6H_5OH}^{(2)} \cdot 100$	$x_{H_2O}^{(2)} \cdot 100$
1	—	1,60	98,4	—	34,2	65,8
2	0,03	1,07	98,9	6,60	55,5	37,9
3	0,04	0,96	99,0	7,60	55,6	35,8
4	0,12	0,68	99,2	12,2	58,6	29,2
5	0,15	0,65	99,2	13,0	58,0	29,0
6	0,28	0,62	99,1	14,6	56,2	29,2
7	0,35	0,65	99,0	15,3	55,6	29,1
8	0,50	0,70	98,8	18,0	53,0	29,0
9	0,77	0,83	98,4	22,3	48,0	29,7
10	1,15	0,85	98,0	34,4	35,2	30,4
11	1,29	0,71	98,0	38,8	28,5	32,7
12	1,40	0,70	97,9	40,8	24,3	34,9
13	1,46	0,64	97,9	42,1	20,5	37,4
14	1,55	0,55	97,9	42,4	17,0	40,6
15	1,82	0,38	97,8	42,6	9,50	47,9
16	2,25	0,35	97,4	38,2	6,00	55,8
17	3,10	0,30	96,6	28,6	2,80	68,6
18	3,23	0,37	96,4	26,1	2,50	71,4
19	3,38	0,32	96,3	22,2	2,00	75,8
20	3,86	0,34	95,8	16,5	1,40	82,1
21	5,28	0,42	94,3	16,0	1,30	82,7
22	6,24	0,46	93,3	13,8	1,00	85,2
23	7,00	0,50	92,5	10,7	0,80	88,5
А	—	—	—	19,9	51,3	28,8
Б	—	—	—	22,6	48,9	28,5
В	—	—	—	27,6	42,5	29,9
Г	—	—	—	33,4	36,8	29,8
Д	—	—	—	37,1	30,5	32,4
Е	—	—	—	39,6	27,5	32,9
Ж	—	—	—	42,5	19,6	37,9
З	—	—	—	43,1	16,7	40,2
И	—	—	—	43,4	12,5	44,1
К	—	—	—	39,8	7,40	53,1
Л	—	—	—	37,3	5,60	57,1

Таблица 2

Составы сосуществующих жидких фаз системы $(C_2H_5)_3N - C_6H_5OH - H_2O$ при 35°

№ вод и обозначения точек	Составы растворов мол. %					
	первая фаза			вторая фаза		
	$x_{(C_2H_5)_3N}^{(1)} \cdot 100$	$x_{C_6H_5OH}^{(1)} \cdot 100$	$x_{H_2O}^{(1)} \cdot 100$	$x_{(C_2H_5)_3N}^{(2)} \cdot 100$	$x_{C_6H_5OH}^{(2)} \cdot 100$	$x_{H_2O}^{(2)} \cdot 100$
1	—	2,00	98,0	—	29,2	70,8
2	0,06	0,64	99,3	9,50	54,7	35,8
3	0,30	0,80	98,9	16,7	54,6	28,7
4	0,50	0,70	98,8	24,0	49,1	26,9
5	0,70	0,60	98,7	35,5	36,8	27,7
6	0,80	0,50	98,7	43,3	24,7	32,0
7	0,90	0,30	98,8	51,5	15,7	32,8
8	0,90	0,20	98,9	64,2	6,00	29,8
9	0,80	—	99,2	75,4	—	24,6
А	—	—	—	44,9	22,9	32,2
Б	—	—	—	47,4	20,1	32,5
В	—	—	—	53,8	13,8	32,4
Г	—	—	—	58,4	9,40	32,2
Д	—	—	—	69,3	3,00	27,7
Е	—	—	—	71,8	1,50	26,7

числялась по разности между присевом всех улавливателей и суммарным весом триэтиламина и фенола.

Полнота насыщения воздуха парами исследуемых растворов была проверена редварительными опытами.

Во всех случаях значения парциальных давлений воспроизводились со следующей относительной точностью:

- а) 15° С для H_2O — 2%, для $(\text{C}_2\text{H}_5)_3\text{N}$ — 0,5% и для $\text{C}_6\text{H}_5\text{OH}$ — 10 — 30%;
 б) 35° С для H_2O — 1%, для $(\text{C}_2\text{H}_5)_3\text{N}$ — 0,3% и для $\text{C}_6\text{H}_5\text{OH}$ — 5 — 10%.

Экспериментальные данные. Результаты исследования равновесия жидкость — жидкость для системы $(\text{C}_2\text{H}_5)_3\text{N}$ — $\text{C}_6\text{H}_5\text{OH}$ — H_2O при 15 и 35° С приведены в табл. 1 и 2.

Путем графического интерполирования был найден состав раствора при 15° С, отвечающий критической точке (К):

$$x_{(\text{C}_2\text{H}_5)_3\text{N}} \cdot 100 = 8,50, \quad x_{\text{C}_6\text{H}_5\text{OH}} \cdot 100 = 0,60 \text{ и } x_{\text{H}_2\text{O}} \cdot 100 = 90,9.$$

Таблица 3

Значения общего и парциальных давлений при 15° С компонентов пара гомогенных растворов $(\text{C}_2\text{H}_5)_3\text{N}$ — $\text{C}_6\text{H}_5\text{OH}$ — H_2O , точки составов которых расположены на продолжениях под жидкость—жидкость

нод обозначения точек	Составы растворов, мол. %			Давления, мм рт. ст.			
	$x_{(\text{C}_2\text{H}_5)_3\text{N}} \cdot 100$	$x_{\text{C}_6\text{H}_5\text{OH}} \cdot 100$	$x_{\text{H}_2\text{O}} \cdot 100$	$p_{(\text{C}_2\text{H}_5)_3\text{N}}$	$p_{\text{C}_6\text{H}_5\text{OH}}$	$p_{\text{H}_2\text{O}}$	p
3	0,04	0,96	99,0	0,025	0,061	12,6	12,7
3/1	0,03	0,87	99,1	0,024	0,060	12,5	12,6
3/2	0,01	0,69	99,3	0,010	0,056	12,7	12,8
9	0,77	0,83	98,4	3,20	0,030	13,6	16,8
9/1	0,67	0,63	98,7	3,90	0,013	13,5	17,4
9/2	0,58	0,42	99,0	4,80	0,009	13,8	18,6
13	1,46	0,64	97,9	19,1	0,015	12,6	31,7
13/1	1,34	0,56	98,1	15,4	0,011	13,3	28,7
13/2	1,20	0,50	98,3	14,9	0,011	13,6	28,5
23	7,00	0,50	92,5	32,2	0,014	14,2	46,4
23/1	6,40	0,40	93,2	32,3	0,011	15,4	47,7
23/2	6,24	0,36	93,4	32,5	0,012	15,5	48,0

Таблица 4

Значения общего и парциальных давлений при 35° С пара гомогенных растворов $(\text{C}_2\text{H}_5)_3\text{N}$ — $\text{C}_6\text{H}_5\text{OH}$ — H_2O , точки состава которых расположены на продолжениях под жидкость—жидкость

нод обозначения точек	Составы растворов, мол. %			Давления, мм рт. ст.			
	$x_{(\text{C}_2\text{H}_5)_3\text{N}} \cdot 100$	$x_{\text{C}_6\text{H}_5\text{OH}} \cdot 100$	$x_{\text{H}_2\text{O}} \cdot 100$	$p_{(\text{C}_2\text{H}_5)_3\text{N}}$	$p_{\text{C}_6\text{H}_5\text{OH}}$	$p_{\text{H}_2\text{O}}$	p
2	9,50	54,7	35,8	0,14	0,26	41,7	42,1
2/1	10,0	57,0	33,0	0,11	0,27	41,6	42,0
2/2	10,2	58,8	31,0	0,09	0,28	41,3	41,7
3	16,7	54,6	28,7	3,80	0,13	42,5	46,4
3/1	27,3	56,7	16,0	13,3	0,14	18,0	31,4
3/2	27,8	58,2	14,0	12,3	0,16	28,9	41,4
6	43,3	24,7	32,0	50,1	0,10	41,9	92,1
6/1	44,6	25,5	29,9	47,6	0,12	42,6	90,3
6/2	46,0	26,2	27,8	50,7	0,14	44,3	95,1
8	64,2	6,00	29,8	84,2	0,08	40,2	124,5
8/1	66,0	6,30	27,7	85,9	0,07	40,1	126,1
8/2	68,0	6,50	25,5	89,5	0,10	39,6	129,2

Установим первоначально знаки фазовых эффектов компонентов для отдельных участков рассматриваемой ветви бинальной кривой, используя только данные по растворимости.

Это можно сделать при помощи следующих теорем [3]:

если при движении по изотерме-изобаре молярные доли данных двух компонентов изменяются симбатно, то фазовый эффект для одного из этих компонентов является наибольшим, а для другого наименьшим (теорема 1);

если молярная доля данного компонента в какой-то точке изотермы-изобары принимает экстремальное значение, то фазовые эффекты других компонентов в этой точке равны (теорема 2);

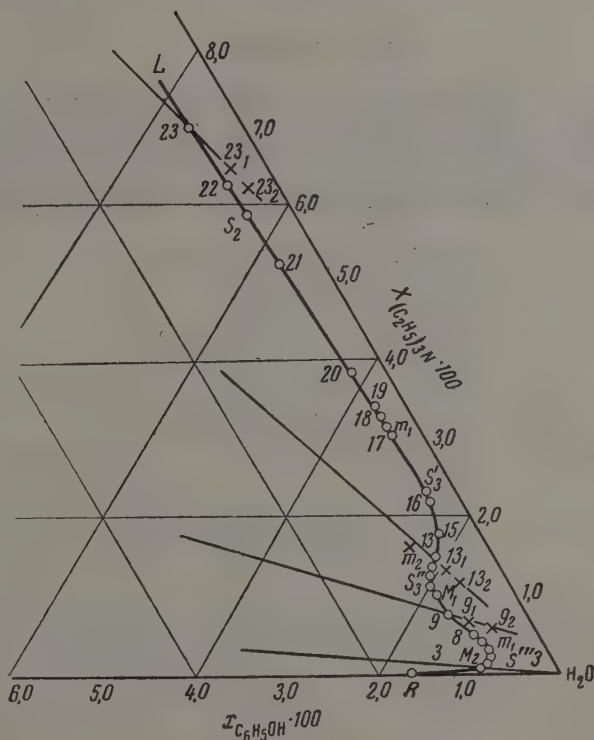


Рис. 2. Ветвь RK изотермы расслаивания системы $(C_6H_5)_3N—C_6H_5OH—H_2O$ при $15^\circ C$

если из вершины треугольника Гиббса, отвечающей i -му компоненту, возможно провести секущую так, чтобы она касалась изотермы-изобары, то фазовый эффект i -го компонента в точке касания равен нулю (теорема 3).

В точке R ($x_3^{(1)} = x_3^{(2)} = 0$) согласно [3] справедливо

$$(x_1^{(2)} - x_1^{(1)}) y_1^{(1)} > 0, (x_2^{(2)} - x_2^{(1)}) y_2^{(1)} > 0 \quad (1)$$

где $x_1^{(1)}$, $x_2^{(1)}$, $x_3^{(1)}$ и $x_1^{(2)}$, $x_2^{(2)}$, $x_3^{(2)}$ — молярные доли первого, второго и третьего компонентов в первой и второй фазах, а $y_1^{(1)}$ и $y_2^{(1)}$ — фазовые эффекты соответствующих компонентов в первой фазе.

Кроме того, из экспериментальных данных по растворимости (табл. 1) следует, что в указанной точке

$$x_1^{(2)} > x_1^{(1)}, x_2^{(2)} < x_2^{(1)} \quad (2)$$

Поэтому на основании (1) и (2) можно утверждать, что краевые условия в точке R будут иметь следующий вид:

$$[y_1^{(1)}]_R > 0, \quad [y_2^{(1)}]_R < 0. \quad (3)$$

Из рис. 2 видно, что молярные доли $(C_2H_5)_3N$ и H_2O на участке RM изменяются симбатно. Поэтому согласно теореме 1 можно сделать вывод о том, что на этом участке, вообще говоря, возможны два варианта сочетаний величин фазовых эффектов:

$$y_2^{(1)} > y_1^{(1)} > y_3^{(1)} \quad (4)$$

и

$$y_3^{(1)} > y_1^{(1)} > y_2^{(1)}. \quad (5)$$

Сравнивая (4) и (5) с (3), легко заметить, что вариант (4) противоречит краевым условиям. Отсюда вытекает, что соотношение между величинами фазовых эффектов на участке RM_2 задается неравенствами (5).

Применяя таким образом теоремы 1—3 для различных участков точек ветви RK бинадальной кривой получим следующие условия:

$RM_2,$	$y_3^{(1)} > y_1^{(1)} > y_2^{(1)},$	(6)
$M_2,$	$y_1^{(1)} = y_3^{(1)},$	
$M_2S_3''',$	$y_1^{(1)} > y_3^{(1)} > y_2^{(1)},$	
$S_3''',$	$y_3^{(1)} = 0,$	
$S_3'''m_1,$	$y_1^{(1)} > y_3^{(1)} > y_2^{(1)},$	
$m_1,$	$y_2^{(1)} = y_3^{(1)},$	
$m_1M_1,$	$y_1^{(1)} > y_2^{(1)} > y_3^{(1)},$	
$M_1,$	$y_2^{(1)} = y_3^{(1)},$	
$M_1S_3'',$	$y_1^{(1)} > y_3^{(1)} > y_2^{(1)},$	
$S_3'',$	$y_3^{(1)} = 0,$	
$S_3''m_2,$	$y_1^{(1)} > y_3^{(1)} > y_2^{(1)},$	
$m_2,$	$y_1^{(1)} = y_3^{(1)},$	
$m_2S_3',$	$y_1^{(1)} > y_3^{(1)} > y_2^{(1)},$	
$S_3',$	$y_3^{(1)} = 0,$	
$S_3'm_1,$	$y_1^{(1)} > y_3^{(1)} > y_2^{(1)},$	
$m_1,$	$y_2^{(1)} = y_3^{(1)},$	
$m_1S_2,$	$y_1^{(1)} > y_2^{(1)} > y_3^{(1)},$	
$S_2,$	$y_2^{(1)} = 0,$	
$S_2L,$	$y_1^{(1)} > y_2^{(1)} > y_3^{(1)}.$	

Учитывая эти выражения, легко построить качественную диаграмму фазовых эффектов, изображенную на рис. 4.

Установим теперь знаки фазовых эффектов триэтиламина, фенола и воды для ряда участков ветви RK при помощи экспериментально найденных величин парциальных давлений. Как известно [3], фазовые эф

екты летучих компонентов выражаются через парциальные давления в формуле:

$$y_i^{(1)} \approx (x_i^{(2)} - x_i^{(1)}) RT \left[\frac{d \ln p_i}{dx_i^{(1)}} \right]_T, \quad (7)$$

где производная, стоящая в правой части выражения (7), характеризует влияние изменения состава раствора по продолжению ноды жидкость—жидкость на парциальное давление i -го компонента. Знак этой производной для случаев изменения состава 1-й фазы по продолжениям 3-

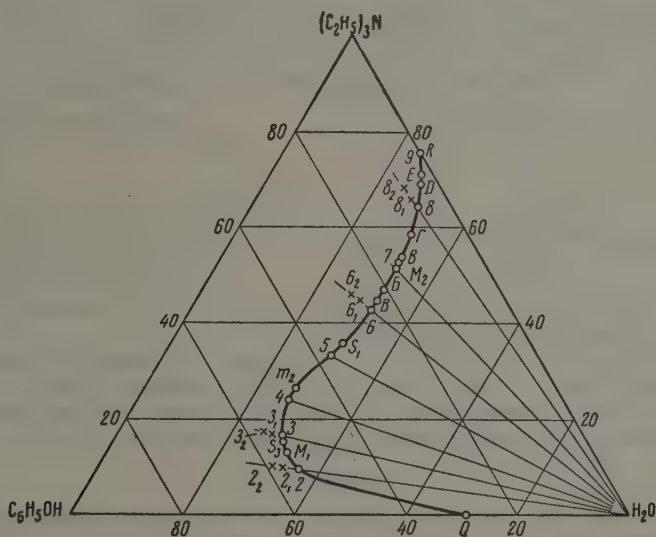


Рис. 3. Изотерма расслаивания системы $(C_2H_5)_3N - C_6H_5OH - H_2O$ при $35^\circ C$

0-, 13- и 22-й под легко определить, используя данные табл. 3. Учитывая, что на всем протяжении ветви RK (рис. 1) справедливо

$$x_1^{(2)} - x_1^{(1)} > 0, \quad x_2^{(2)} - x_2^{(1)} < 0 \text{ и } x_3^{(2)} - x_3^{(1)} > 0, \quad (8)$$

можно заключить, что для участков RM_2 , m_1M_1 , $m_2S'_3$ и S_2L имеет место:

$$\left. \begin{array}{llll} RM_2, & y_1^{(1)} > 0, & y_2^{(1)} < 0, & y_3^{(1)} > 0; \\ m_1M_1, & y_1^{(1)} > 0, & y_2^{(1)} < 0, & y_3^{(1)} < 0; \\ m_2S'_3, & y_1^{(1)} > 0, & y_2^{(1)} < 0, & y_3^{(1)} > 0; \\ S_2L, & y_1^{(1)} > 0, & y_2^{(1)} < 0, & y_3^{(1)} < 0. \end{array} \right\} \quad (9)$$

Легко заметить, что выражения (9), за исключением второго неравенства ($y_2^{(1)} < 0$) для участка S_2L , удовлетворяют диаграмме фазовых эффектов (рис. 4), построенной на основании данных о растворимости. Поэтому, очевидно, можно утверждать, что S-образная форма ветви RK изотермы расслаивания для системы $(C_2H_5)_3N - C_6H_5OH - H_2O$ при 15° обусловлена не наличием примесей в исходных веществах, а спецификой взаи-

модействия компонентов в растворе. Отметим также, что существование S-образных участков на бинаолях не противоречит условиям устойчивости относительно непрерывных изменений состояния фаз.

Что же касается несовпадения знаков $y_2^{(1)}$ для участка S_2L , то оно, по видимому, объясняется или тем, что данные табл. 3 не отражают истинного направления изменения парциальных давлений воды на продолжении

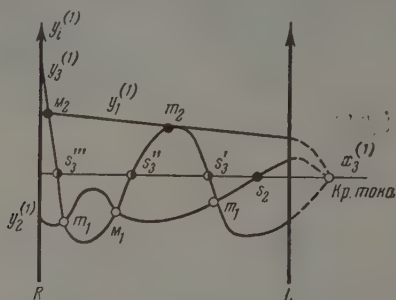


Рис. 4. Диаграмма фазовых эффектов для ветви RK изотермы расслаивания при 15°C

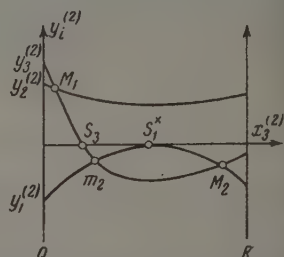


Рис. 5. Диаграмма фазовых эффектов для ветви QR изотермы расслаивания при 35°C

23-й ноды, или тем, что положение под 21 и 22, ввиду близости их к критической точке, определено недостаточно точно.

Температура 35°C . Из рис. 3 видно, что ветвь QR бинаоляльной кривой также имеет S-образную форму. Аналогичным образом можно показать, что такая форма согласуется с данными табл. 4. Диаграмма фазовых эффектов, отвечающая ветви QR , изображена на рис. 5.

Выводы

1. Экспериментально установлены составы сосуществующих жидких фаз системы $(\text{C}_2\text{H}_5)_3\text{N} - \text{C}_6\text{H}_5\text{OH} - \text{H}_2\text{O}$ при 15 и 35°C .
2. При тех же температурах определены величины общего и парциальных давлений для ряда гомогенных растворов $(\text{C}_2\text{H}_5)_3\text{N} - \text{C}_6\text{H}_5\text{OH} - \text{H}_2\text{O}$. Фигуративные точки которых расположены на продолжениях вод-жидкость — жидкость.
3. При помощи теории фазовых эффектов и экспериментальных данных показано, что наличие S-образных участков на бинаолях для системы $(\text{C}_2\text{H}_5)_3\text{N} - \text{C}_6\text{H}_5\text{OH} - \text{H}_2\text{O}$ при 15 и 35°C не связано с загрязнением исходных веществ.

Ленинградский государственный университет
им. А. А. Жданова

Поступила
25.VI.1957

ЛИТЕРАТУРА

1. А. В. Сторонкин, Вестн. ЛГУ, 8, 169, 1954.
2. А. В. Сторонкин, Ж. физ. химии, 28, 2021, 1954.
3. А. В. Сторонкин и Н. П. Маркузин, Ж. физ. химии, 29, 111, 1955.
4. Seidel, Solubilities of organic compounds, III, Ed., New York, 1951.
5. Meerburch, J. phys. Chem., 40, 641, 1902.
6. Koppeschaar, Analyt. Chem., 15, 233, 1876.
7. А. В. Сторонкин и М. П. Сусарев, Вестн. ЛГУ, 6, 119, 1952.
8. International Critical Tables,
9. Hill and Malisoff, J. Amer. Chem. Soc., 48, 922, 1926.
10. Rothmund, Z. phys. Chem., 46, 833, 1903.
11. А. В. Сторонкин и Н. П. Маркузин, Вестн. ЛГУ, 4, 100, 1958.

THE SHAPE OF THE ISOTHERM FOR THE SEPARATION OF THE TERNARY
SOLUTION TRIETHYLAMINE—PHENOL—WATER INTO LAYERS AT 15 AND 35°C

A. V. Storonkin and N. P. Markuzin (Leningrad)

S u m m a r y

The paper presents the results of determinations of the compositions of the coexisting liquid phases of the system $(C_2H_5)_3N-C_6H_5OH-H_2O$ at 15 and 35° C and data characterizing the changes in partial pressures of water, phenol and triethylamine with change in composition of the solutions along the continuation of the liquid—liquid nodes. The data on solubility have been compared with those on the partial pressure of the components from the standpoint of the phase effect theory and it has been shown that the existence of S-shaped regions on the binodals of the system $(C_2H_5)_3N-C_6H_5OH-H_2O$ at 15 and 35° C is not connected with impurities in the initial substances.

ЭМИССИЯ ЭЛЕКТРОНОВ И H_2O_2 ПРИ КОРРОЗИИ МЕТАЛЛОВ

И. Л. Ройх

Эмиссия электронов при воздействии активных газов на расплав калия — натрий была исследована Габером и Юстом [1], а затем Ричардсоном с сотрудниками [2]. Электронная эмиссия наблюдается также при взаимодействии газообразного йода с металлическим серебром [3].

В последнее время вновь исследовалась эмиссия заряженных частиц при взаимодействии галоидов со щелочными металлами в высоком вакууме; было установлено испускание электронов и отрицательных ионов [4].

Б. Красюк и В. Калинин [5] активировали поверхность алюминия сулемой, в результате которой возникают положительно заряженные частицы.

В последние годы исследования эмиссии электронов, выполняемые большей частью при помощи газоразрядных счетчиков, весьма оживились. К изучаемым явлениям относятся эмиссия электронов после зачистки поверхности металлов [6], действия кислоты [7], активных газов [8], при затвердевании металлов [9] (последнее подтвердилось [10]), действия тлеющего разряда [11], после облучения рентгеном, ультрафиолетом и пр. [12]. Эту эмиссию иногда называют экзoeлектронной.

Крамер [9] объясняет эмиссию электронов после зачистки спонтанным переходом из «неметаллического» состояния в металлическое; освобождающаяся при этом теплота приводит к термоэмиссии электронов.

Гаксель с сотрудниками [11] считают, что эмиссия электронов происходит в результате образования теплоты хемосорбции кислорода на металлической поверхности.

Приведенные предположения сводятся в общем к тому, что эмиссия электронов обязана экзотермическому процессу.

В последнее время появилась гипотеза, объясняющая рассматриваемую эмиссию электронов как результат термоэмиссии из центров захвата [13], которые образуются по мнению авторов, при зачистке поверхности и окислении металлов. Опыты Сейдла [14] свидетельствуют, по-видимому, о существовании центров захвата (типа F и H) в окислах металлов. Сейдл считает, что эмиссия электронов обязана как экзотермическому процессу, так и термоэмиссии из центров захвата.

Лооф [15] установил, что увеличение давления кислорода в интервале порядка 10^{-5} тор приводит к возрастанию эмиссии электронов из металлов после зачистки. Автор приходит к выводу, что рост оксидного слоя на обработанной поверхности является необходимым для испускания электронов.

В работах [7, 16] авторы сравнивают эмиссию электронов с фотографическим действием металлов и приходят к заключению, что такой связи нет. Однако указанные авторы не учли ряда существенных факторов. Так, например, они судят о количестве электронов, выделившихся за большой интервал времени от начала зачистки, по кривой затухания, полученной за малый интервал времени; между тем временные зависимости для разных интервалов времени могут подчиняться различным уравнениям. Это действительно и было установлено в работе Сейдла и Роубинека [17] в случае окисления меди.

Следует отметить, что фотографическое действие металлов не может возникнуть за счет электронов, испускаемых при окислении, так как энергия их для этого недостаточна.

Настоящая работа имеет целью показать существование связи между эмиссией электронов и H_2O_2 при окислении металлов.

Экспериментальная часть

Кинетика эмиссии электронов при окислении алюминия. Для исследования кинетики эмиссии электронов при коррозии алюминия применялся острыйный счетчик (рис. 1). Счетчик представляет собой стеклянный баллон, состоящий из двух частей: верхней — съемная — присоединяется к нижней при помощи шлифа. Нижней части имеется стеклянная ножка, на которой при помощи системы пластичных пружин можно быстро удержать испытуемый образец, выполненный в виде диска; он заранее навинчивается и со-
вмещает с пружинами одну систему.

Диск служит катодом. Острие — анод — введено в верхнюю часть баллона. К электродам прикладывается разность потенциалов порядка 700 V. Импульсы усиливаются при помощи лампового усилителя [18]. В качестве счетчика служил воздух, который откачивался до 5 тор. Опыт производился следующим образом. Насаживается электрод, создавались упомянутые условия давления и электрического поля, и считался счет нулевых импульсов на протяжении 10 мин., через каждые 30 мин., в течение 5 час. от начала счета. Затем открывался баллон, диск зачищался при помощи наждачного полотна, и вновь производилась регистрация импульсов, сохраняя остальные условия неизменными. После вычитания нулевых импульсов, на основании трех серий измерений получена кривая изменения числа импульсов со временем за 5 час. от начала измерения, представленная на рис. 2.

Экспериментальные значения пересчитаны и изображены графически на рис. 3 с целью установления характера временной зависимости. Как видно из рис. 3, полученные данные хорошо укладываются в квадратическую параболическую зависимость. Следует заметить, что в интересах порядка 1 часа Сейдль и Роубинек [17] также получили параболическую зависимость, наблюдая химическую электронную эмиссию в счетчике типа Гейгера — Мюллера при окислении меди.

Кинетика выделения H_2O_2 при окислении алюминия. Для регистрации малых количеств H_2O_2 , выделяемых металлами при атмосферной коррозии, в нашей лаборатории были разработаны соответствующие фотографические методы. В данной работе мы приводим результаты с одним из них — повышении чувствительности фотопластинок к действию H_2O_2 путем предварительного вымачивания ее в растворе соды определенной концентрации, высушивании при определенной температуре и нагревании после экспозиции. Этот метод будет позже описан в другом месте.

Применялись фотопластины изортохроматические, репродукционные, фотометрические, чувствительность по ГОСТ — 1,4; эмульсия № 584.

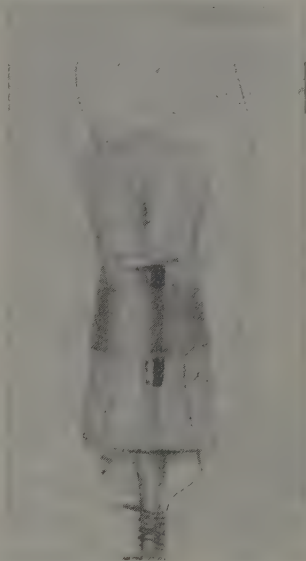


Рис. 1

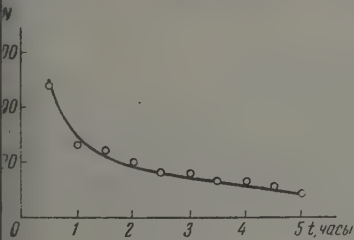


Рис. 2

Опыты по получению характеристической кривой и кинетике выполнялись на одной и той же фотопластинке. Применялся спектрально чистый алюминий*.

Свежезачищенные образцы помещались на фотопластинку на 1 час, 2 часа и т. д. до 6 час. при зачистке через каждый час. Число молекул H_2O_2 , попадавших на фотопластинку за 1 час, принималось в качестве единицы измерения. В результате фотомертирования получена характеристическая кривая, представленная рис. 4. Как видно из рисунка, в интервале первых двух часов имеет место отклонение от линейной зависимости; однако этот интервал времени фигурирует в наших измерениях по кинетике. Указанным участком кривой мы воспользовались следующим образом. Полученные из опытов значения оптической плотности D , в интервале первых двух часов, мы находим на сплошной кривой, а затем графическим путем определяем, какому значению D' это соответствует на продленном пунктирном участке [19], значение D' мы и применяли в расчетах.

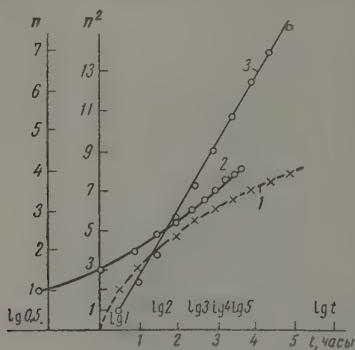


Рис. 3

Для получения данных по кинетике образцы металла зачищались одновременно помещались на фотопластинку. Затем по истечении первого часа снимался первый образец, по истечении второго часа снимался второй образец и т. д., по истечении 6 час. снимался последний образец. Образцы

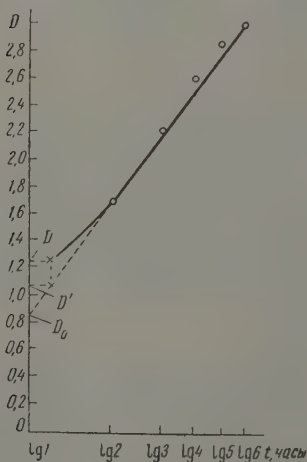


Рис. 4

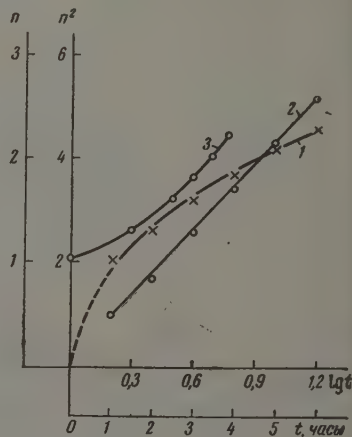


Рис. 5

металла во всех опытах зачищались наждачным камнем № 36. Следует отметить, что в этих опытах мы воспользовались двукратной экспозицией. Это значит, что на одно и то же место фотопластинки образец помещался

* Автор пользуется случаем выразить глубокую благодарность З. В. Васильеву за любезную присылку металлов.

кды. Вторая экспозиция происходила через 24 часа после первой, явление имело место через 32 часа после второй экспозиции. Увеличение кратности экспозиции имеет целью увеличить почернение. Полученные изображения после фотометрирования могут служить материалом для построения кривой коррозия — время. С целью выяснения характера временной зависимости мы воспользовались относительным числом молекул H_2O_2 , вычисляемым по формуле $n = 10^{(D-D_0)/\gamma}$, которая получается из уравнения прямолинейного участка характеристической кривой; здесь n — относительное число молекул H_2O_2 , попадающих на фотослой; D и D_0 — значения оптической плотности, полученные из опытов по кинетике; γ — коэффициент контрастности. В предыдущей работе было установлено существование пропорциональной зависимости между числом молекул H_2O_2 , выделяющихся из раствора, и числом молекул, попадающих на фотослой.

Сравнение результатов исследования эмиссии электронов и H_2O_2 при окислении металлов

Предмет сравнения	Эмиссия электронов	Выделение H_2O_2
Почернение поверхности металлов	Приводит к возникновению эмиссии [6]	Приводит к выделению H_2O_2 [22]
Химическая активность металлов	Находится в соответствии с химической активностью [23]	Находится в соответствии с химической активностью
Выделение кислот на металлы	Приводит к возникновению эмиссии электронов [7]	Приводит к выделению H_2O_2 [24]
Выделение водяных паров металлами	Увеличивает эмиссию электронов [4]	Увеличивает выделение H_2O_2
Почернение тумана в эспиритальном слое	Плотность тумана возрастает в следующем порядке: амальгмированный цинк, свежезачищенный цинк, свинец, олово, медь [25]	Фотографическая активность изменяется в таком же порядке
Временная зависимость в интервале 5 час. от начала окисления для алюминия	Подчиняется параболической зависимости	Подчиняется параболической зависимости
Влияние давления кислорода	Увеличивает эмиссию электронов [15]	Увеличивает фотографическую активность [26]

Пользуясь полученными значениями относительного числа молекул H_2O_2 , выделяемых при окислении алюминия, построены графики, выражающие зависимость: 1) n от t (n — относительное число частиц, выделившихся за истекший промежуток времени t), 2) n^2 от t и 3) n от $\lg t$. На рис. 5 изображены все три графика. Из них видно, что оправдывается квадратичная параболическая зависимость. Полученный результат является средним из шести серий опытов как для характеристической кривой, так и кинетики. Аналогичный результат получен методом отбеливания фотослоя; этот метод описан в работе [21].

Таким образом двумя фотографическими методами получен одинаковый результат: в интервале 6 час. от начала окисления число молекул H_2O_2 , выделяемых из алюминия в соответствии с параболическим законом.

Сравнение временной зависимости выделения электронов и H_2O_2 из алюминия показывает, что в обоих случаях осуществляется параболическая зависимость.

Изложенное свидетельствует о том, что эмиссии электронов и H_2O_2 являются, по крайней мере, на определенных этапах и в определенных условиях связанными процессами [27], сопровождающими окисление таллов.

Выводы

1. Острийным счетчиком исследовалась эмиссия электронов при коррозии алюминия; установлено, что временная зависимость в течение 5 час. от начала окисления отвечает параболическому закону.

2. Двумя фотографическими методами исследовалось выделение H_2O_2 при атмосферной коррозии алюминия; установлено, что временная зависимость в интервале 5 час. от начала окисления отвечает параболическому закону.

3. Сравнение временной зависимости выделения электронов и H_2O_2 при окислении алюминия, а также другие данные свидетельствуют о существовании связи, по крайней мере, на определенных этапах и в определенных условиях между эмиссией электронов и H_2O_2 , сопровождающей процесс коррозии металлов.

Одесский технологический институт
им. И. В. Сталина

Поступила
1.VII.1957

ЛИТЕРАТУРА

1. F. Haber u. G. Just, Ann. Physik, 30, 411, 1909, 36, 308, 1911; Z. Elektrochem., 16, 275, 1910.
2. O. W. Richardson, Philos. Trans. Roy. Soc., London, A 222, 1, 1911; M. Brotherton, Proc. Roy. Soc. A, 105, 468, 1924; O. W. Richardson a. M. Brotherton, Proc. Roy. Soc. A, 115, 20, 1927; O. W. Richardson a. L. G. Grimmet, Proc. Roy. Soc. A, 130, 217, 1930; A. K. Denisov u. O. W. Richardson, Proc. Roy. Soc. A, 132, 22, 1931; 145, 18, 1934; 146, 524, 1934; 148, 533, 1935; 150, 495, 1935.
3. H. Paproth, W. Rathje u. J. N. Stranski, Z. Elektrochem., 409, 1952.
4. W. Geiger, Z. Phys., 140, 608, 1955.
5. Б. Красюк и В. Калинин, Докл. АН СССР, 27, 946, 1940.
6. J. Kramer, Z. Phys., 125, 739, 1949.
7. O. Bruna, K. Lintner, H. Müller u. E. Schmid, Z. Phys., 605, 1953.
8. R. Seidl, Чехосл. физ. журн., 1, 160, 1952.
R. Seidl, F. Roubinek, 2, 84, 179, 373, 1952; 3, 309, 1953; 4, 131, 1954.
F. Roubinek, 6, 1, 1956.
9. J. Kramer, Der metallische Zustand, Göttingen, 1950; K. Lintner u. E. Schmid, Z. Metallkunde, 45, 276, 1954; F. Futschik, K. Lintner u. E. Schmid, Z. Phys., 145, 48, 1956.
10. G. Bathow u. H. Gobrecht, Z. Phys., 146, 1, 1956.
11. O. Haxel, F. G. Houtermans u. K. Seeger, Z. Phys., 13, 109, 1956.
12. K. Seeger, Angew. Chemie, 68, 285, 1956.
13. H. Nassnschtein, Naturwissenschaften, 41, 329, 1954; A. Bohun, Чехосл. физ. ж., 4, 139, 1954; 5, 64, 100, 224, 1955; 6, 141, 1956; J. Lepper, Z. Naturforsch., 10a, № 4, 47, 1955; L. Grünberg a. K. H. R. Wright, Nature, 174, 657, 1954; Proc. Roy. Soc. A, 232, 403, 1955.
14. R. Seidl, Czechos. J. Phys., 6, 487, 1956.
15. J. Lohff, Z. Phys., 146, 504, 1956.
16. C. Albrecht u. H. Müller, Anz. Österr. Akad. Wiss., № 10, 174, 1953.
17. R. Seidl, F. Roubinek, Československý Časopis pro fyziku, 2, 179, 1954.
18. И. Л. Ройх, Ж. exper. и теор. физики, 7, 1136, 1938.
19. И. С. Филиман, Уч. зап. Казанск. ун-та, Физика, 113, 9, 137, 1953.
20. И. Л. Ройх, Ж. физ. химии, 31, 1961, 1957.
21. И. Л. Ройх и Д. М. Рафалович, Ж. физ. химии, 31, 2733, 1957.
22. И. Л. Ройх Докл. АН СССР, 108, 1102, 1956; Ж. аналит. химии, 9, № 6, 1956; Ж. физ. химии, 31, 1959, 1957; 32, 1136, 1958.

- J. Lohff u H. Raether, *Naturwissenschaften*, 42, 66, 1955.
И. Л. Ройх, Докл. АН СССР, 70, 253, 1950.
C. T. R. Wilson, *Philos. Trans. Roy. Soc. London, A*, 152, 431, 1899.
L. Grünberg a. K. H. R. Wright, *Nature*, 171, 890, 1953.
И. Л. Ройх, Докл. АН СССР, 63, 119, 1948.
-

THE EMISSION OF ELECTRONS AND H_2O_2 IN THE CORROSION OF METALS

I. L. Roikh (Odessa)

S u m m a r y

The emission of electrons in the corrosion of aluminum has been studied with the aid of a sharp point counter. Over a five-hour period from the beginning of the oxidation dependence of the emission upon time has been found to follow a parabolic law.

The development of H_2O_2 in the atmospheric corrosion of aluminum has been studied with the aid of two photographic methods. This process has also been shown to follow the parabolic law over the same time interval.

A comparison of the dependence of the electron emission and H_2O_2 development on time in the oxidation of aluminum, and also other data bear witness to the existence of connection at least at a given stage and under given conditions between these two phenomena accompanying the corrosion of metals.

К ВОПРОСУ О ВЗАИМОСВЯЗИ МЕЖДУ ОБЪЕМНЫМИ И ТЕПЛОЕМКОСТНЫМИ СВОЙСТВАМИ ВОДНЫХ РАСТВОРОВ ЭЛЕКТРОЛИТОВ

А. П. Ручков

О наличии связи между объемными и теплоемкостными свойствами водных растворов электролитов имеются общие высказывания еще у классиков-термохимиков [1—3]. Позднее, в свете одновременного и независимого друг от друга установления законов квадратного корня (\sqrt{c}) для кажущихся и парциальных молярных объемов Φ_v и \bar{v}_2 [4—6] и теплоемкости Φ_{cp} и \bar{C}_{p_2} [7], эта связь приобретает и количественное выражение. В дальнейшем делаются попытки под приближенный, эмпирически найденный единый закон \sqrt{c} для указанных величин подвести и теоретическую базу, основываясь на электростатических представлениях. Высказывается общее положение, что изменения теплоемкости и плотности (а также и сжимаемости) в растворах электролитов подчиняются одной и той же закономерности, что коэффициенты в уравнениях, выражающих эту закономерность, почти тождественным образом, зависят от свойств находящихся в растворе ионов [8], и что изменение этих свойств с концентрацией зависит от одной и той же причины — от изменения свойств воды — растворителя [8].

В ранних работах автора [9, 10] было показано, что для растворов монофосфатов калия и аммония, а также для растворов KCl количественная зависимость даже между удельными величинами v и C_p настолько проста, что позволяет при помощи линейных интерполяционных формул с довольно большой точностью (до 0,2%), по значениям v определять для этих растворов значения C_p и притом в широком интервале концентраций. Вместе с тем также было показано, что такая простая взаимосвязь между рассматриваемыми свойствами присуща лишь растворам солей негидратного типа. Для таких солей, как LiCl, MgCl₂, CaCl₂, простота отношения между v и C_p резко нарушается, а в ряде случаев во влиянии указанных солей на эти свойства растворов проявляется даже антагонизм.

Представляло известный интерес подойти к вопросу о взаимосвязи между объемными и теплоемкостными свойствами растворов электролитов, в частности, к вопросу о природе этой связи, не со стороны удельных v и C_p или кажущихся и парциальных величин этих свойств, как величин чисто формальных [11], а со стороны некоторых из недавно предложенных автором позитивных — объемных и теплоемкостных функций — растворов. Мы имеем в виду:

а) интегральную объемную депрессию воды в растворе Δv_0 — величину переменную, выражающую (в миллилитрах) суммарный эффект сжатия (электрострикцию) воды в растворе, вызываемый действием 1 г-экв электролита при данном разведении [12—14];

б) интегральную теплоемкостную депрессию воды — ΔC_{p_0} , выражающую собою (в калориях на 1°) суммарный эффект понижения теплоемкости воды в растворе, вызываемый таким же действием, как и эффект Δv_0 [15];

в) объемные эффекты аморфизации (Δv_0)_{S-T} и (Δv_1)_{S-T}, формально называемые, на сколько (в миллилитрах) уменьшается или увеличивается объем одного моля (1 г-экв) электролита и 1 г-иона при переходе из твердого кристаллического состояния в растворенное (квазжидкое) состояние.

оде, истолковываемые автором как первые эффекты объемных изменений воды — растворителя в первый момент растворения в ней электролитов [14].

Представляло также интерес рассмотреть поставленный вопрос в свете предлагаемого автором деления всех ионов на ионы-стрикторы (ионы «сжиматели» воды) и ионы-дестрикторы (ионы «разрыхлители» воды) и выявить, в каком соответствии находится действие этих двух групп ионов теплоемкостные свойства с уже выявленным их противоположным действием на объемные [13, 14, 16] и вязкостные [17] свойства ионных растворов.

Величины функций Δv_0 , ΔC_p , $(\Delta v_0)_{S-T}$ и $(\Delta v_i)_{S-T}$ были вычислены для водных растворов 44 электролитов (с 14 катионами и 10 анионами) с охватом максимально возможных интервалов концентраций (от десятых и сотых долей C_v и до насыщенных растворов). Первичные опытные данные для такого вычисления (по удельным v и C_p и 25°) для 8 электролитов получены автором заново [10, 18, 19], а для остальных — из справочной литературы. Методы вычисления этих величин и сводка их значений излагались ранее [12—16].

Обсуждение результатов

Сравнительное изучение указанных объемных и теплоемкостных функций (а также и некоторых вязкостных) позволяет сделать ряд обобщений, связанных, с одной стороны, с законом \sqrt{C} и, с другой, — с объемными эффектами аморфизации.

Закон \sqrt{C} . Обе величины объемной и теплоемкостной депрессии воды Δv_0 и ΔC_p , поскольку они функционально связаны с кажущимися Φ_v и Φ_p , подчиняются единому закону с теми ограничениями для тех и других, какие нами уже были указаны [12—14]:

$$\Delta v_0 = \Delta v_0^\infty - k_v \sqrt{C_v}, \quad (1)$$

$$\Delta C_p = \Delta C_p^\infty - k_{cp} \sqrt{C_v}, \quad (2)$$

где Δv_0^∞ и ΔC_p^∞ — постоянные, показывающие соответствующие максимальные значения депрессии воды в растворе под влиянием 1 г-экв электролита при бесконечном разведении, т. е. иначе, под действием $6,02 \cdot 10^{23}$ пар элементарных зарядов, C_v — объемно-молярная концентрация и k_v и k_{cp} — константные коэффициенты.

Если Δv_0^∞ является для всех электролитов (по крайней мере для одновалентных с полной ионной диссоциацией) постоянной $\approx 10,3$ мл при 25°, то величина ΔC_p^∞ не является таковой и имеет индивидуальные особенности.

В среднем ΔC_p^∞ по своему абсолютному значению примерно в 4—5 раз больше Δv_0^∞ *, что говорит о значительно большем влиянии ионов на теплоемкость воды, чем на ее объем, и что объясняет известный факт отрицательного значения Φ_{cp} и \bar{C}_{p2} для большинства электролитов в довольно большом интервале концентрации (Φ_v и v_2 — отрицательны лишь для немногих электролитов и лишь при больших разведениях).

В зависимости от природы входящих в молекулу электролита ионов, значение ΔC_p^∞ колеблется в общем в пределах 29—44 кал, для CsCl принимается до 51 кал, а для CsBr и CsI еще выше.

* Такое сравнение величин, имеющих различную размерность, допустимо, если учесть, что для 1 моля воды v_0 и C_p приблизительно равны одной и той же абсолютной величине 18.

Преимущественное влияние на $\Delta C_{p_0}^\infty$ оказывают катионы (данные приведены ниже в табл. 3), причем при приблизительно одинаковых размерах радиусов это влияние почти прямо пропорционально заряду катиона *, довольно близкому закономерности, установленной А. Ф. пустинским [20], что парциальная теплоемкость ионов при бесконечном разведении является линейной функцией обратной величины радиуса. Самый факт увеличения депрессии $\Delta C_{p_0}^\infty$ с увеличением радиуса катиона по проводимой автором концепции, можно приписать более «разрушительному» воздействию крупных ионов-дестрикторов на сложную структуру воды.

Такие простые анионы, как Cl^- , Br^- , J^- и OH^- , почти никаких изменений в воздействии на $\Delta C_{p_0}^\infty$ не дают. Зато это различие весьма значительно сказывается на сложных анионах, причем такие анионы, как SO_4^{2-} и J^- повышают депрессию $\Delta C_{p_0}^\infty$, а такие, как NO_3^- , H_2PO_4^- , CH_3COO^- , понижают ее.

Угловые коэффициенты

$$k_v = \left| \frac{\partial \Delta v_0}{\partial V \overline{c_v}} \right|, \quad k_{cp} = \left| \frac{\partial \Delta C_{p_0}}{\partial V \overline{c_v}} \right|, t,$$

выражающие собой скорость изменения депрессий v_0 и C_{p_0} воды в растворе с концентрацией, но по прямолинейности Δv_0 и $\Delta C_{p_0} = f |V \overline{c_v}|$ являющиеся величинами приблизительно постоянными (по нашим данным концентрации $c \approx 1$ или 10—12 молей воды на 1 г-экв соли), имеют те же свои особенности.

В среднем коэффициент k_{cp} , колеблющийся примерно от 7 (для LiJ) и до 22 (для Na_2SO_4), в 4—5 раз больше коэффициента k_v , колеблющегося от 0,7 (для LiJ) до 5 и больше (для сульфатов и фосфатов), что еще раз указывает на значительно большую чувствительность теплоемкостных функций к действию ионов по сравнению с чувствительностью объемных функций.

Влияние тех или иных ионов на величину k_{cp} лишь в некоторых случаях (главным образом, для катионов) аналогично (симбатно) их же влиянию на k_v ; в общем же это влияние (особенно, для анионов) значительно сильнее и нередко противоположно (антагонистично) и связано, помимо размеров и гидратационных свойств ионов, также и со строением их (простыми или сложными). Сказанное иллюстрируется несколькими примерами, данными в табл. 1.

Таблица

Численные значения коэффициентов k_v и k_{cp} для некоторых электролитов при 25°C (в пределах средних концентраций $C_v = 1-4$)

Электролит	k_v	k_{cp}	Электролит	k_v	k_{cp}
NaCl	2,1	14,5	KCl	2,3	11,2
NaJ	1,4	16,5	KJ	1,6	14,0
NaNO ₃	2,2	21,0	KH ₂ PO ₄	5,3	18,0
Na ₂ SO ₄	5,0	22,0	K ₂ SO ₄	5,0	18,5
MgSO ₄	5,0	15,2	LiCl	1,4	7,0

Подметить здесь некоторые закономерности удастся лишь с трудом. Они связаны всецело с тем, являются ли ионы в молекуле электролита оба стрикторами, или оба дестрикторами, или, наконец, один стриктор

* При условии, что $\Delta C_{p_0}^\infty$ рассчитано на 1 моль электролита.

и другой дестриктором, т. е., другими словами, связаны они с теми структурными изменениями в воде — растворителе, какие вносят те или иные катионы и анионы. Для лучшего уяснения этих моментов необходимо обратиться к рассмотрению влияния на теплоемкость воды в растворе объемных эффектов $(\Delta v_0)_{S-T}$ и $(\Delta v_i)_{S-T}$.

Влияние объемных эффектов аморфизации. Отрицательный объемный эффект — $(\Delta v_0)_{S-T}$, вызываемый ионами-стрикторами в самые первые моменты их тесного взаимодействия с молекулами воды, сложенный с последующим эффектом Δv_0 , дает суммарную объемную депрессию воды [11]

$$\sum \Delta v_0 = (\Delta v_0)_{S-T} + \Delta v_0, \quad (3)$$

величину всегда отрицательную, максимальное значение которой для всех электролитов достигается при бесконечном разведении, когда и переменная Δv_0 принимает предельное максимальное значение, равное $\approx 10,3$ мл:

$$\sum \Delta v_0^\infty = (\Delta v_0)_{S-T} + 10,3. \quad (4)$$

Величина эффекта $(\sum \Delta v_0)_m$ различна для различных электролитов (является важной количественной характеристикой группы «электролитов-стрикторов»). Наибольшего значения она достигает для тех электролитов, в составе молекул которых и катион и анион являются оба стрикторами; например, для сульфатов Mg , Zn , Cu , Fe , Al ее значение достигает 4—25 мл на 1 г-экв электролита. Такое большое объемное сжатие, связанное, по мнению автора [14], с образованием в растворе плотных и устойчивых ионо-гидратов, объясняет большое положительное значение для растворов таких электролитов вязкостных величин: удельной $\Delta \eta$, приведенной $\Delta \eta/c$ и характеристической $[\Delta \eta]$ вязкостей.

Однако значительное общее сжатие объема для растворов этой категории не сопровождается столь же относительно большим (принимая во внимание, что теплоемкостная депрессия в 4—5 раз в среднем выше объемной депрессии) снижением и теплоемкости. Для них максимальная теплоемкостная депрессия, т. е. ΔC_p^∞ , не выходит из рамок средних значений этой величины в 35—37 кал на 1 г-экв электролита, т. е. для их отношение $\Delta C_p^\infty / \sum \Delta v_0^\infty$ во всех случаях меньше трех (табл. 2), что говорит о значительном расхождении в действии ионов на v_0 воды, с одной стороны, и на ее C_p , с другой.

Наибольшее расхождение во влиянии на объем и теплоемкость воды в растворе обнаруживают, однако, ионы-дестрикторы, позволяющее говорить даже об антагонистичности этого влияния. Если положительный эффект $+(\Delta v_0)_{S-T}$ ионов-дестрикторов, в соответствии с формулой (3), сгуммировать с отрицательным эффектом Δv_0 , то суммарный эффект объемной депрессии (общей стрикции) окажется всегда меньше 10,3 мл, а для таких сильных ионов-дестрикторов, как Cs^+ , Rb^+ , NH_4^+ , Br^- , J^- и особенно в сочетании дестрикторов-катионов с дестрикторами-анионами, например, для $CsBr$, CsJ и т. п.) величина $\sum \Delta v_0$ может перейти даже в положительные значения (особенно в концентрированных растворах, для которых Δv_0 значительно меньше 10,3 мл). Между тем, отрицательная величина теплоемкостной депрессии ΔC_p для электролитов-дестрикторов, наоборот, значительно возрастает; например, для растворов $CsCl$ величина ΔC_p^∞ достигает 510 кал против среднего ее значения 35—37 кал для стрикторов и против 3 мл для $\sum \Delta v_0^\infty$ того же электролита, т. е. ΔC_p^∞ в 17 раз больше $\sum \Delta v_0^\infty$.

В табл. 2 дается несколько примеров, иллюстрирующих различие действия на объемные и теплоемкостные свойства воды-растворителя

Таблица 2

Сравнительные показатели (в приближенных значениях) изменения объема и теплоемкости воды в растворах некоторых электролитов при 25°C

Электролиты	$\Sigma \Delta v_0$, мл при $n = 12$ моль	$\Sigma \Delta v_0^\infty$, мл	ΔC_p , кал при $n = 12$ моль	ΔC_p^∞ , кал	$\frac{\Delta C_p^\infty}{\Sigma v_0^\infty}$
Электролиты-стрикторы					
MgCl ₂	— 8,15	—12,6	—24,0	—36,0	2,8
CaCl ₂	—12,0	—15,9	—23,7	—36,0	2,3
BaCl ₂	— 9,5	—13,7	—25,0	—37,0	2,7
MgSO ₄	—13,2	—22,5	—15,0	—44,0(?)	2,0
NaOH	—15,4	—23,0	?	—35,0	1,5
Электролиты-дестрикторы					
KBr	— 4,8	— 8,1	?	—40,5	5,0
KJ	— 3,6	— 5,5	?	—40,5	7,4
CsCl	+ 0,5	— 3,0	?	—51,0	17,0
Электролиты-индифференты					
KCl	— 6,5	—10,3	—18,8	—39,0	3,8
NaBr	— 6,8	— 8,8	—?	—36—	4,1

ионов-стрикторов и ионов-дестрикторов (в сопоставлении с действием электролитов-индифферентов), причем, наряду с $\Sigma \Delta v_0^\infty$ при бесконечном разведении, даются также значения и $\Sigma \Delta v_0$ для концентрированных растворов (в расчете на $n=12$ молям воды на 1 г-эке электролита).

Чтобы определеннее — в количественных показателях — выявить индивидуальное влияние ионов на теплоемкость воды в растворах, мы сделали попытку вычислить величины ΔC_{pi}^∞ для отдельных ионов, как это мы сделали для объемных величин. Δv_i^∞ и $\Sigma \Delta v_i^\infty$ [14] и для характеристических вязкостей $[\Delta \eta_i]$, т. е., исходя из аддитивного характера величин ΔC_{pi}^∞ и полагая, что для растворов KCl ΔC_{pi}^∞ калия и хлора = $\frac{39,0}{2} = 19,5$ кал*.

В табл. 3 даются приближенные значения ΔC_{pi}^∞ для некоторых ионов в сопоставлении с величинами $\Sigma \Delta v_i^\infty$ и $[\Delta \eta_i] = \left(\frac{\Delta \eta_i}{C} \right)_{C \rightarrow 0}$ (для двухвалентных ионов в скобках даны значения ΔC_{pi}^∞ и $\Sigma \Delta v_i^\infty$ о расчете на 1 моль электролита).

В соответствии с развиваемыми автором представлениями [11—14] причиной антибатного влияния ионов-дестрикторов на объемные (и вязкостные) функции водных растворов электролитов, с одной стороны, и теплоемкостные их функции, с другой, следует искать в «разрыхляющем» действии этих ионов (однозарядных и с большим радиусом) на сложную квазикристаллическую структуру воды — тетраэдрическую по Дж. Беналю и Фаулеру [22] или цикло-цепочечную по взглядам Эйкена [23]. Взаимодействие ионов-дестрикторов с молекулами воды сопровождается двумя противоположными объемными эффектами: с одной стороны, эффектом электрострикции (сжатия) — Δv_0 , как результат действия электростатических сил ионного поля на диполи воды, а с другой, — эффектом как «механического» разрушения и «упрощения» сложных ассоциатов воды, возможно, — с образованием значительного количества моногидролизидущих на образование вторичных координационных сфер вокруг ионов.

* Так поступает и Россини [21] для нахождения значений кажущихся Φ_{cp}^0 отдельных ионов.

или остающихся в свободном (но равновесном с ассоциатами) состоянии (в случае очень малых концентраций) *. Этот второй эффект, очевидно, должен вести к уменьшению эффекта стрикции, а также к уменьшению значения $[\Delta\eta_0]$ и переходу ее в отрицательную величину. Но очевидно также, что этот эффект, как упрощающий структуру воды, должен повести к снижению ее теплоемкости (как известно, ненормально высокой для нее), т. е. повести к усилению депрессии ΔC_{p_0} .

Таблица 3

Сравнительные показатели $\Delta C_{p_i}^\infty, \Sigma \Delta v_0^\infty$ и $[\Delta\eta_i]$ воды
в предельно разбавленных растворах для отдельных ионов
при 25°C

Ионы	$\Delta C_{p_i}^\infty$ кал/г - эке	$\Sigma \Delta v_i^\infty$ мл/г - эке	$[\Delta\eta_i]$
Ионы-стрикторы			
Na ⁺	-14,5	-5,8	+0,08
Mg ²⁺	-16,5(-33)	-7,5(-15)	+0,165
Ca ²⁺	-17,5(-35)	-10,8(-21,6)	+0,15
Ba ²⁺	-18,5(37)	-8,5(-17)	+0,11
OH ⁻	-20,0	-18	+0,13
SO ₄ ²⁻	-23(-46)	-13(-26)	+0,12
Ионы-дестрикторы			
NH ₄ ⁺	-19,0	+5(?)	-0,015
Cs ⁺	-34,5	+2,0(!)	-0,035
Br ⁻	-20,0	-3,0	-0,04
I ⁻	-20,5(?)	-1,3	-0,06
NO ₃ ⁻	-16,0	-5,0	-0,03
Ионы-индифференты			
K ⁺	-19,5	-5,15	-0,01
Cl ⁻	-19,5	-5,15	0

В свете изложенных выше представлений получает достаточное толкование и подмеченный нами факт [9, 10] удивительно простой количественной зависимости между удельной теплоемкостью и удельным объемом растворов для одних электролитов и весьма сложной зависимости между ними для других. Так, простота отношения этих величин для растворов KCl, очевидно, связана с тем, что оба иона в молекуле KCl являются индифферентами, т. е. они оба не проявляют эффекта аморфизации, и поэтому к отрицательные эффекты депрессии — Δv_0 и ΔC_{p_0} с концентрацией изменяются симбатно. Можно также априорно утверждать, что более или менее простая (симбатная) зависимость будет иметь место и в случаях, когда один из ионов молекулы электролита является не очень сильным стриктором, а другой — не очень сильным дестриктором, «перекрывающих» друг у друга разнозначные эффекты (Δv_i)_{S-T} и имеющих отношение $C_{p_i}^\infty/\Delta v_i^\infty$ равное 4 (как для NaBr, KCl). Наконец, симбатность между Δv_0 и ΔC_{p_0} может проявиться и для таких электролитов, у которых отношение $C_{p_i}^\infty/\Sigma \Delta v_i^\infty$ хотя и не равно четырем (меньше его), но зато это отношение у них сохраняется на значительном участке концентрации (растворы H₂PO₄ и NH₄H₂PO₄ на участке от 1000 до 15—25 молей воды на 1 г-эке или). Но еще в более категорической форме можно утверждать, что пове-

* Заметим, что Бернал и Фаулер [22] допускают существование в воде от 1/5 до 1/4 всего количества ее молекул в свободном состоянии, т. е. на связанном с тетраэдрическими комплексами, именно такие молекулы мы и называем моногидролями.

дение теплоемкостных и объемных величин ΔC_{p_0} и Δv_0 будет обязательно антибатным, а зависимость между удельными C_p и v — очень сложной для всех тех электролитов, в составе молекул которых: а) оба иона — дестрикторы (все бромиды, йодиды, нитраты, роданиды NH_4 , Rb, Cs) или один ион-дестриктор, а другой индифферент (все хлориды NH_4 , Rb, Cs, а также KBr, KJ, KNO_3 , KCNS) и б) один ион-стриктор, а другой — индифферент (хлориды всех многовалентных ионов, а также фторид сульфат, сульфид и карбонат калия). Следовательно, подавляющее большинство сильных электролитов по объемным и теплоемкостным свойствам в водных растворах должны вести себя антибатно.

Аномальное поведение ионов Li^+ и H^+ . Как уже описывалось [13, 14, 16, 24], ион лития, вопреки его малому радиусу общезвестным ярко выраженным гидрофильным свойствам, с чем связана его большая энергия гидратации, характеризующим ионы-стрикторы, однако, по его объемным свойствам является весьма сильным ионом-дестриктором. Его объемный эффект аморфизации в воде имеет наивысшее положительное значение равное 7,6 мл, несколько превосходящее значение этого эффекта даже для иона цезия, а его величина $\Sigma \Delta v_i^\infty$ имеет такое положительное значение (2,5 мл), что свойственно только самым сильным ионам-расширителям Cs^+ , NH_4^+ и CNS^- . Наконец, величина коэффициента k_v для соединений лития (табл. 1) имеет наименьшее значение (характерный признак ионов-дестрикторов). Между тем, по действию на вязкостные свойства растворов, ион лития, наоборот, является типичным стриктором: его характеристическая вязкость $[\Delta \eta_i]^{125}$ имеет одно из самых высоких положительных значений (+0,18) [17]. Что касается действия этого иона на теплоемкостные свойства воды в растворах, то и по этим показателям его необходимо причислить к весьма сильным ионам-стрикторам, его $\Delta C_{p_i}^\infty$ равно всего лишь — 9,5 (самое низкое значение для ионов-стрикторов). Таким образом ион лития является наиболее ярко выраженным ионом антагонистом.

Ион водорода также ведет себя весьма противоречиво. Прежде всего, как известно, растворы сильных кислот не подчиняются даже приближенно закону $\sqrt{C_v}$. Отсюда изучаемые показатели этого иона не являются величинами постоянными и аддитивными. Затем по объемным свойствам ион H^+ является типичным дестриктором, так как его $(\Delta v_i)_{S-T}$ всегда положительно (от 1 до 5), а по вязкости — слабым ионом-стриктором. По воздействию на C_{p_0} водных растворов в зависимости от кислоты он ведет себя то как ион-стриктор (в H_2SO_4), то как ион-дестриктор (в HNO_3).

Выводы

1. Изменение объемных и теплоемкостных свойств растворов электролитов (кроме кислот) хотя в первом приближении и подчиняется общему закономерности (закону $\sqrt{C_v}$), однако коэффициенты в уравнении $\sqrt{C_v}/\Delta v_0^\infty$, Φ_v^0 , k_v^2 и $\Delta C_{p_0}^\infty$, Φ_{cr}^0 , k_{cr} выражают эту закономерность далеко не «тождественным образом». Показано, что подобное заключение можно сделать только для немногих электролитов (точнее, немногих ионов), которые своими электростатическими полями вызывают такие изменения в структуре воды-растворителя (конкретно — дестриктию), которые симбатно отражаются как на изменении ее плотности (объема), так и ее теплоемкости.

2. Показано, что для большинства электролитов, особенно, когда в действие электростатических ионных сил «вмешивается» действие еи и «квазимеханических» «разрыхляющих» и упрощающих сложные водные ассоциаты со стороны ионов-дестрикторов, о тождественности в указанном смысле говорить совершенно не приходится. В этих случаях пост

данные Δv_0^∞ , Φ_v^0 , \bar{v}_2 — с одной стороны, и $\Delta C_{p_0}^\infty$, Φ_{cp}^0 , \bar{C}_{p_2} — с другой, имеют далеко не одинаковую физическую природу, а поэтому явление антагонизма в действии ионов на v_0 и C_{p_0} (а также γ_0) воды в растворе даже модернизированные электростатические теории, как не учитывающие эффекта деструкции (разрушения), вряд ли в состоянии отразить в единой закономерности.

Архангельский лесотехнический
институт им В. В. Куйбышева

Поступила
4.VII.1957

ЛИТЕРАТУРА

1. Reiss, Wied. Ann., 10, 291, 1880.
2. J. Tomsen, Thermochem. Untersuchungen, 2, 1882.
3. Bindel, Wied. Ann., 40, 370, 1890.
4. Masson, Philos. Mag. (7), 8, 218, 1929.
5. Geffken, Z. phys. Chem., 155, 1, 1931.
6. Redlich u. Rosenfeld, Z. phys. Chem., 155, 1931.
7. Randall, Rossini, J. Chem. Soc., 51, 323, 1929.
8. В. К. Семенченко, Успехи химии, 5, 641, 1936.
9. А. П. Рудков, Уд. тепл-сти и уд. объёмы тройной системы, АЛТИ, Архангельск, 1939.
10. А. П. Рудков, Изв. Сектора физ.-хим. анализа ИОНХ АН СССР, 17, 286, 1949.
11. А. П. Рудков, Ж. физ. химии, 29, 642, 1955.
12. А. П. Рудков, Изв. Сектора физ.-хим. анализа ИОНХ АН СССР, 19, 192, 1949.
13. А. П. Рудков, Коллоидн. ж., 4, 284, 1953.
14. А. П. Рудков, Ж. физ. химии, 28, 402, 1954.
15. А. П. Рудков, Тр. Арханг. лесотехн. ин-та, 15, 103, 1955.
16. А. П. Рудков, Тр. Арханг. лесотехн. ин-та, 16, 30, 1955.
17. А. П. Рудков, Тезисы IX Конфер. по вопросам ВМС АН СССР, М., стр. 125, 1956.
18. Н. К. Воскресенская и А. П. Рудков, Изв. АН СССР, Отд. хим. н. 5, 795, 1940.
19. А. П. Рудков, Ж. прикл. химии, 8, 820, 1948.
20. А. Ф. Капустинский, Ж. общ. химии, 12, 186, 1942.
21. Rossini, J. Res., 7, 47, 1931.
22. Дж. Бернал, Р. Фаулер, Успехи физ. наук, 14, 586, 1934.
23. А. Еускен, Z. Elektrochem., 52, 255, 1948.
24. А. П. Рудков, Тр. Арханг. лесотехн. ин-та, 19, 1957.

ON THE RELATION BETWEEN THE VOLUMETRIC AND HEAT CAPACITY PROPERTIES OF AQUEOUS SOLUTIONS OF ELECTROLYTES

A. P. Rutskov (Archangelsk)

Summary

Although the change in volumetric properties and heat capacities of electrolyte solutions (excepting acids) obeys the general relationship (the $\sqrt{\bar{C}_v}$ law) to a first approximation, the coefficients in the equation $\sqrt{\bar{C}_v}/\Delta v_0^\infty$, Φ_v^0/k_v and $\Delta C_{p_0}^\infty$, Φ_{cp}^0/k_{cp} express this relationship by far not in an identical manner. It has been shown that such a conclusion may be made only for a few electrolytes (to be more exact, only for a few ions) which by their electrostatic fields also cause such changes in the structure of water of the solvent (to be definite, its constriction) which reflect parallelly both on changes in its density and on its heat capacity. It has been shown that for the majority of electrolytes, particularly when in the action of electrostatic ionic forces there is «involved» the action also of «quasi-mechanical» forces, «loosening» and simplifying the complex water associates on the part of the destructing ions, there can be no question of identity in the above mentioned sense. In these cases the constants Δv_0^∞ , Φ_v^0 , \bar{v}_2 , on one hand, and $\Delta C_{p_0}^\infty$, Φ_{cp}^0 , \bar{C}_{p_2} , on the other, have by far not the same physical nature. Hence even the modernized electrostatic theories, neglecting the effect of dispersion (destruction), are not in a position to unite into a single relationship the antagonistic action of the ions on the v_0 and C_{p_0} (as well as on γ_0) of the water in the solution.

О ТАУТОМЕРИИ НЕКОТОРЫХ ПРОИЗВОДНЫХ ГЕТЕРОЦИКЛИЧЕСКИХ СОЕДИНЕНИЙ

ВИ. СПЕКТРЫ И СТРОЕНИЕ ОКСИ- И МЕРКАПТОПРОИЗВОДНЫХ ТИАЗОЛА, ТИАДИАЗОЛА И ТРИАЗОЛА

Ю. Н. Шейнкер, И. Я. Постовский и Н. М. Воронина

В проведенной ранее работе [1] было рассмотрено строение α - или γ -оксипроизводных N-гетероциклических соединений и при помощи спектров показано, что эти соединения как в кристаллическом состоянии, так и в растворах существуют в оксо-, а не в оксиформе.

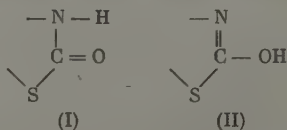
В настоящей статье приводятся дальнейшие данные о строении соединений подобного рода, но отличающегося наличием в гетероциклическом ядре не только атомов азота, но и атома серы.

Представляло интерес выяснить, насколько наличие атома серы в таких гетероциклах влияет на соотношение таутомерных окси- и оксоформ, и тем самым — насколько те общие закономерности, которые были выявлены в случае оксисоединений шестичленных N-гетероциклов, наблюдаются и у соответствующих серусодержащих соединений.

В настоящей работе при помощи инфракрасных и ультрафиолетовых спектров рассмотрено строение 2-оксипроизводных 4-метилтиазола, 5-хлортиадиазола, 5-бромтиадиазола. Наряду с оксипроизводными рассмотрены и некоторые меркаптопроизводные тех же гетероциклов. Помимо этого изучены спектры 2-окси- и 2-меркапто-1,3,4-триазола.

В литературе приводятся лишь единичные данные о спектрах окси- и меркаптоазолов. По поводу строения 4-метилокситиазола имеется работа Ганча, относящаяся к 1927 г. [2]. Недавно опубликована работа Клейна и Прийса [3] о спектрах и строении 2-окситиазола. Сведения о спектрах и строении других приведенных в настоящей статье соединений отсутствуют.

Как и в случае рассмотренных ранее N-гетероциклических оксипроизводных [1], все изучаемые в настоящей работе оксисоединения тиазола, тиадиазола и триазола в кристаллическом состоянии и в растворах обладают в инфракрасных спектрах интенсивной полосой поглощения в области $1660\text{--}1700\text{ см}^{-1}$, характерной для амидных карбонильных групп (рис. 1 и 2). В то же время отсутствуют характерные для ОН групп полосы поглощения в области $3500\text{--}3300\text{ см}^{-1}$. Эти данные позволяют однозначно решить вопрос об их строении в пользу оксо- (или лактамных форм) (I), а не оксиформы (II)



Правильность сделанного вывода была добавочно подтверждена спектрами некоторых модельных соединений, имеющих заведомо закрепленное строение: 2-метокси-4-метилтиазола, 3,4-диметилтиазолона, 2,3-диметил-5-бромтиадиазолона-2 (рис. 1 и 2). В спектре 2-метокси-4-метилтиазола, как и следовало ожидать, отсутствуют полосы в области $1600\text{--}1750\text{ см}^{-1}$

характерные для групп $C=O$), а имеется интенсивная полоса при 1532 см^{-1} , характерная, как это было ранее показано, для колебаний тиазольного кольца [4]. Интенсивная раздвоенная полоса в спектре при $1244\text{—}1225\text{ см}^{-1}$, видимо, обусловлена колебаниями группы $C-O-C$. С другой стороны, в модельных соединениях окостроения, 3,4-диметилтиазолон-2 и 3-метил-5-бромтиадиазолон-2 имеется, как и во всех оксипроизводных, интенсивная полоса, соответствующая группе $C=O$ ($1640\text{—}1590\text{ см}^{-1}$).

Интересно отметить, что в ряду тиадиазолов оксипроизводные, которые имелись в нашем распоряжении, показывают в кристаллическом состоянии четкое расщепление полосы $C=O$ на две, отличающиеся друг от

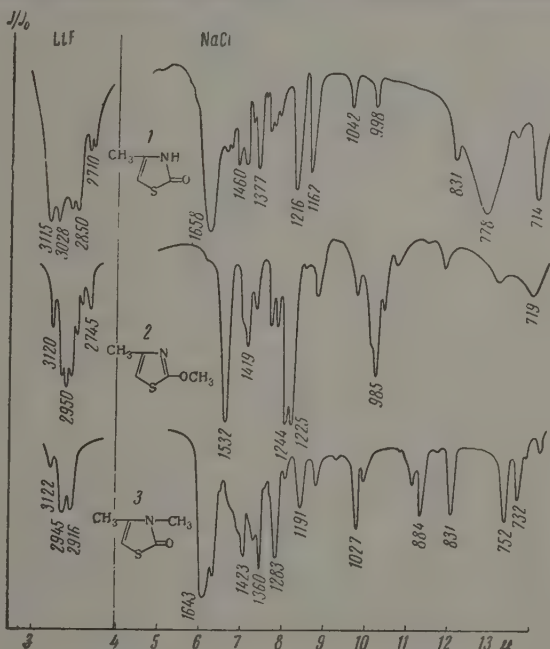


Рис. 1. Инфракрасные спектры поглощения: 1 — 4-метилтиазолон-2 (крист.); 2 — 4-метил-2-метокситиазола (жидкость); 3 — 3,4-диметилтиазолон-2 (крист.)

уга примерно на 20 см^{-1} (1686 и 1705 см^{-1} для 5-хлортиадиазолон-2 $1662\text{—}1686\text{ см}^{-1}$ для 5-бромтиадиазолон-2). Такое расщепление не наблюдается в спектрах диоксановых растворов, где обнаружена лишь одна полоса (1712 см^{-1} для 5-хлортиадиазолон-2 и 1708 см^{-1} для 5-бромтиадиазолон-2). Эти данные позволяют утверждать, что карбонильные группы части молекул веществ (в кристаллическом состоянии) не принимают участия в образовании межмолекулярных водородных связей $\text{NH}\dots\text{O}=\text{C}$, обуславливая появление более высокочастотной полосы $C=O$, в то время как другая часть молекул участвует в образовании таких связей за счет карбонильных групп, с чем связано появление более низкочастотной полосы.

В 4-метилтиазолон-2 карбонильная полоса в кристаллах не раздваивается и имеет низкую частоту (1664 см^{-1}), в диоксановом растворе она смещается целиком на 22 см^{-1} в область более высоких частот и имеет значение 1686 см^{-1} . Очевидно, в этом случае все молекулы в кристаллах образуют водородные связи $\text{NH}\dots\text{O}=\text{C}$, полностью (или почти полностью) разрывающиеся в диоксане.

О наличии прочных водородных связей во всех рассмотренных соединениях свидетельствует также и положение полосы $N-H$, смещенной на $200-3000\text{ см}^{-1}$ в сторону низких частот от своего нормального положения ($3400-3450\text{ см}^{-1}$).

Причину отличия исследованных тиадиазольных производных (в кристаллах лишь часть карбонильных групп участвует в образовании водородных связей) от тиазольных производных (все карбонильные группы)

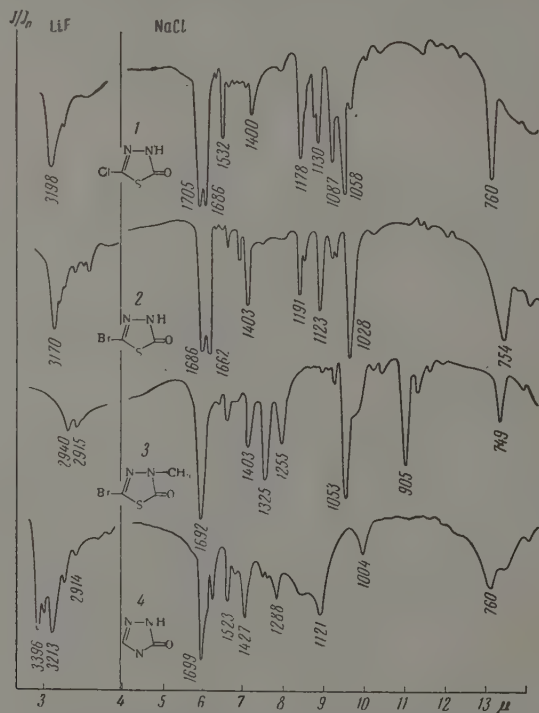
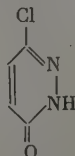


Рис. 2. Инфракрасные спектры поглощения: 1 — 5-хлортиадиазолон-2; 2 — 5-бромтиадиазолон-2; 3 — 3-метил — 5-бромтиадиазолон-2; 4 — триазолон-2 (все в кристаллическом состоянии)

связаны водородными связями) следует, однако, связать не с какими-либо особенностями тиадиазольных циклов, а, скорее, с наличием в молекулах исследованных тиадиазольных производных атома галоида (хлор, бром) в положении 5. Очевидно, в кристаллической решетке возникает возможность образования водородных связей типа $-NH...Hal$, с освобождением при этом от участия в таких связях ряда карбонильных групп



Интересно, что точно такое же расщепление полосы $C=O$ в кристаллах проявляется в 3-хлорпиридаzone-6 [5], и таким образом подобное явление

ние атома галоида, обусловленное образованием водородных связей — Н... Гал., — может, очевидно, иметь в разных классах гетероциклических соединений.

Тот факт, что все рассмотренные соединения имеют и в растворах строение, отвечающее таутомерной оксоформе (I), следует не только из инфракрасных спектров, но и из данных ультрафиолетовых спектров. На рис. 3 и 4 приведены ультрафиолетовые спектры некоторых производных 4-метилтиазола и 5-бромтиадиазола, из которых видно сходство спектров модельных соединений, имеющих заведомо оксостроение, со спектрами исследуемых производных, для которых раньше предполагалась оксистоение, и отличие этих соединений от метоксипроизводных.

При рассмотрении инфракрасных спектров 2-меркаптопроизводных тиазола и триазола (рис. 5) следует, прежде всего, отметить отсутствие полос групп SH (в области $2500\text{--}2600\text{ см}^{-1}$) и наличие полос в районе $3150\text{--}3000\text{ см}^{-1}$, которые, очевидно, должны быть отнесены к группам NH, участвующим в образовании водородных связей.

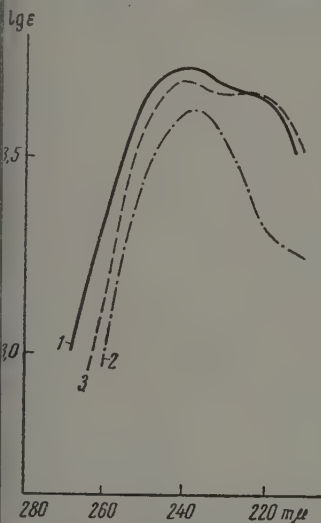


Рис. 3

Рис. 3. Ультрафиолетовые спектры поглощения: 1 — 4-метилтиазола-2; 2 — 4-метил-2-метокситиазола; 3 — 3,4-диметилтиазола-2 (все в диоксане)

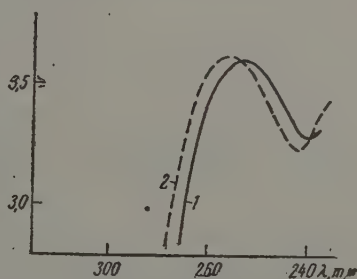
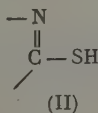
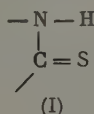


Рис. 4

Рис. 4. Ультрафиолетовые спектры поглощения: 1 — 5-бромтиадиола-2; 2 — 3-метил-5-бромтиадиола-2 (в спирте)

Таким образом из инфракрасных спектров следует тионовое (I), а не дисльфидное (II) строение указанных соединений:



Инфракрасные спектры 4-метилтиазолтиона-2 и 5-метил-1,3,4-триаза-2 имеют в области $6\text{--}10\text{ м}$ много общего; сравнительно мало интенсивные полосы при $1605\text{--}1613\text{ см}^{-1}$ относятся, по-видимому, к колебанию кольцевой двойной связи, интенсивная полоса при $1490\text{--}1470\text{ см}^{-1}$ колебанию C—S связи [6].

В растворах соединения также имеют тионовое строение — это наглядно видно из сравнения ультрафиолетовых спектров 4-метилтиазолтиона-2 и 2-метилмеркапто-4-метилтиазола (рис. 6).

Отличная картина наблюдается в 2,5-димеркапто-1,3,4-тиадиоле. В инфракрасном спектре этого соединения имеется четкая полоса SH (2489 см^{-1}), помещенная в область низких частот, одновременно присутствуют и интен-

сивные полосы в районе $3067\text{--}2860\text{ см}^{-1}$, которые свидетельствуют о наличии группы NH.

Из этих данных вытекает смешанное тион-тиольное строение и димер каптотиадиазол, следовательно, является 5-меркаптотиадиазол-тионом. В этом отношении тиадiazольное соединение полностью подобно соответствующему соединению пиридазина, существующему также в смешанной форме (тион-тиол [5]).

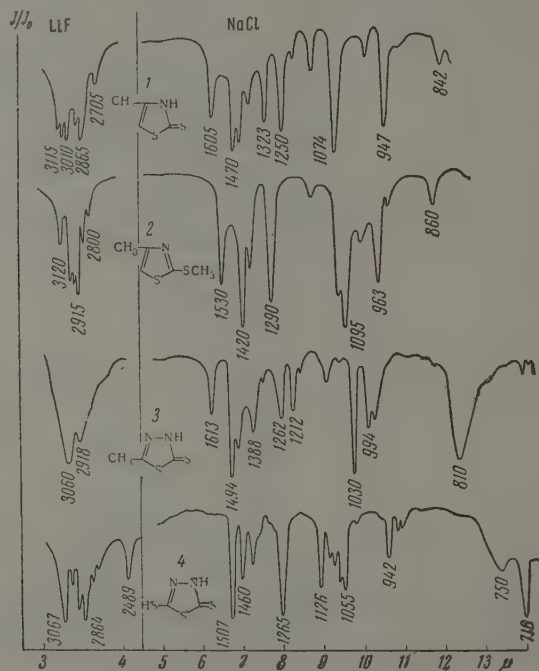
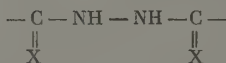


Рис. 5. Инфракрасные спектры поглощения: 1 — 4-метилтиазолтиона-2 (крист.); 2 — 4-метил-2-метилмеркаптотиазола (жидкость); 3 — 5-метилтиадiazолтиона-2; 4 — 5-меркаптотиадiazолтиона-2 (крист.)

Наличие и в тиадiazольном ряду закономерности, отмеченной ранее для *n*-производных пиридазина и фталазина подтверждает правильность представлений об особых свойствах системы



(где X = S или O), в которой каждая из тиокарбониламидных или карбониламидных групп действует по отношению к другой как сильная акцидирующая группа, что вызывает переход протона от одного из атомов азота к атому S или O и образованию устойчивой таутомерной формы с группой

пировкой $\begin{array}{c} \text{—C=NH—NH—C—} \\ | \qquad \qquad \parallel \\ \text{HN} \qquad \text{X} \end{array}$, стабилизированной сильной поляризацией [1,7].

Экспериментальная часть

Инфракрасные спектры были получены при помощи инфракрасного регистрирующего прибора ИКС-11, использовались призмы NaCl и LiF . Вещества исследовались в кристаллическом состоянии в виде паст в вазелиновом масле и полифторуглероде, а также в диоксановых растворах. Ультрафиолетовые спектры снимались на спектрофотометре СФ-4 для растворов веществ в диоксане и спирте.

Синтезы веществ осуществлены следующим образом (названия для соединений даны в соответствии с выявленным в них в этом исследовании строением*).

4-Метил-тиазолон-2 получен из ро-нацетона по Черняку [8]. Иглы из воды т. пл. $102-108^\circ$ (литература $102-103^\circ$ [8]).

3,4-Диметил-тиазолон-2 и 4-метил-2-метокситиазол получены метилированием соединения 4-метилтиазолона-2 диазометаном в эфире по Ганчу [2]. После удаления эфира при разгонке в вакууме сначала отгоняется метоксисоединение (при $59-61^\circ$, 17 мм, 14% выход), затем N-метилпроизводное (при $14-160^\circ$, 17 мм), застывающее в кристаллы пластинки, т. пл. 49° (из лигнана) (литература $49-50^\circ$). Метоксисоединение очищается пропусканием через него водяного пара.

5-Хлор-1,3,4-тиадиазолон-2 получен из 2,5-диамино-1,3,4-тиадиазола измененным нами методом Штолле и Ференбаха [9] диазотированием, затем разложением монодиазосоединения кипячением его водного раствора. Продукт реакции извлечен эфиром, эфир отогнан, и остаток возгонан. Длинные иглы, т. пл. $104-105^\circ$ (литература 107°).

Найдено: N 20,32%; Cl 25,87%. $\text{C}_2\text{HON}_2\text{SCL}$.
Вычислено: N 20,51%; Cl 25,98%.

5-Бром-1,3,4-тиадиазолон-2 не описан в литературе. Вещество получено гидролизом 2,5-дибром-1,3,4-тиадиазола нагреванием с 80%-ной фосфорной кислотой при $150-160^\circ$ в течение 3 час. При перекристаллизации из воды получены пластинки с т. пл. $106-108^\circ$. Выход 52%.

Найдено: N 15,36%; Br 44,32%. $\text{C}_2\text{HON}_2\text{SBr}$.
Вычислено: N 15,48%; Br 44,14%.

3-Метил-5-бром-1,3,4-тиадиазолон-2 не описан в литературе. Вещество получено метилированием предыдущего соединения диазометаном в эфирном растворе или же нагреванием с диметилсульфатом при 100° в течение 2 час. Бесцветные призмы. Перекристаллизовано из воды т. пл. $4-73^\circ$. Выход 73%.

Найдено: N 14,29%; Br 40,68%. $\text{C}_3\text{H}_3\text{ON}_2\text{SBr}$.
Вычислено: N 14,36%; Br 40,98%.

1,3,4-Триазолон-2 синтезирован по Видману [10] из ацетонсемикарбама нагреванием с муравьиной кислотой. Т. пл. $247-248^\circ$ (разл.). [Литература 234° (разл.)].

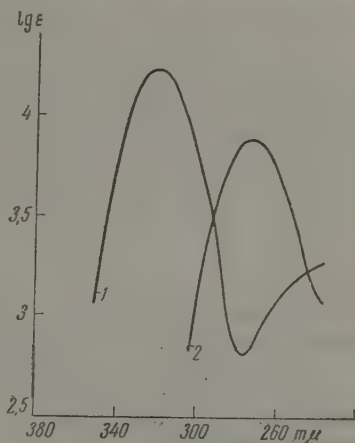


Рис. 6. Ультрафиолетовые спектры поглощения: 1 — 4-метилтиазолон-2; 2 — 4-метил-2-метилмеркапто-тиазола (в диоксане)

* Синтезы тиазольных соединений выполнены В. В. Кушкиным.

4-Метил-тиазолтион-2 получен из аммониевой соли дитиокарбаминовской кислоты с хлорацетоном из спирта, призм. т. пл. $87-88^\circ$ (литература $89-90^\circ$ [11]).

Соответствующее метил-меркаптосоединение получено метилированием йодистым метилом в щелочной среде. Масло. Т. кип. $113-115/12-14$ мм.

Найдено: N 9,66%. $C_5H_7NS_2$.
Вычислено: N 9,64%.

5-Метил-1,3,4-тиазолтион-2 получен наряду с 2-амино-5-метил-1,3,4-тиадиазолом при нагревании ацетилтиосемикарбазида в 5%-ном водном растворе едкого натра [12], т. пл. $261-262^\circ$ (литература 261°).

5-Меркапто-1,3,4-тиадиазолтион-2 синтезирован по методу Буша [1] нагреванием гидразинсульфата с сероуглеродом в водно-спиртовой щелочной среде, т. пл. $167-168^\circ$ (литература 168°).

Выводы

Исследованием инфракрасных и ультрафиолетовых спектров пропускания водных тиазола, тиадиазола, триазола показано, что:

1. 2-Оксипроизводные тиазола, тиадиазола и триазола существуют в кристаллическом состоянии и в растворах в форме оксосоединений, отличаясь в этом отношении от других α - и γ -оксипроизводных N-гетероциклического ряда.

2. 2-Меркаптопроизводные тиазола и триазола построены подобно оксосоединениям, т. е. имеют тионовое, а не тиольное строение.

3. Между молекулами исследованных оксо-, а также тион-соединений в кристаллическом состоянии осуществляются прочные водородные связи типа $-NH...O=C$ или $-NH...S=C$. При наличии в положении 5 электроотрицательных заместителей (галогиды) часть молекул участвует в межмолекулярных водородных связях типа $N-H...Hal$.

4. 2,5-Димеркапто-тиадиазол имеет смешанное тионо-тиольное строение, т. е. является 5-меркапто-тиадиазол-тионом-2. В этом отношении соединение подобно *n*-дипроизводным пиридазина и фталазина, что связано с особенностями системы $-CX-NH-NH-CX-$ где $X = S, O$.

5. Наличие атома серы в азолах не изменяет те соотношения кислотных и основных свойств таутомерных форм, которые определяют положение таутомерного равновесия в соответствующих гетероциклах, содержащих вместо атома серы группу $-CH=CH-$.

Химико-фармацевтический институт
им. С. Орджоникидзе
Москва.

Уральский политехнический институт
им. С. М. Кирова
Свердловск

Поступила
4. VII. 1957

ЛИТЕРАТУРА

1. Ю. Н. Шейнкер и Ю. И. Померанцев, Ж. физ. химии, 30, 79, 1956.
2. A. Hantzsch, Ber., 60, 2537, 1927.
3. G. Klein, B. Prijs, Helv. chim. acta, 37, 2057, 1954.
4. Ю. Н. Шейнкер, В. В. Кушкин и И. Я. Постовский, Ж. физ. химии, 31, 214, 1957.
5. Ю. Н. Шейнкер, Т. В. Гортинская и Т. П. Сычева, Ж. физ. химии, 31, 599, 1957.
6. L. J. Bellamy, The Infrared Spectra of Complex Molecules, Meuthen & Co. London, 1954, стр. 294.
7. F. Arndt, Rev. Fac. sci. Univ. Istanbul, 9A, 19, 1944.
8. T. Tscherniak, Ber., 16, 348, 1883.

9. R. Stolle, K. Fehrenbach, J. prakt. Chem., 122, 305, 1929.
10. O. Widman, A. Cleve, Ber. 31, 379, 1898.
11. F. F. Beilstein, 27, 161.
12. M. Girard, C. R., 225, 458, 1947.
13. M. Busch, Ber., 27, 2518, 1894.

THE TAUTOMERISM OF SOME HETEROCYCLIC DERIVATIVES

VII. THE SPECTRA AND STRUCTURE OF THE OXY- AND MERCAPTODERIVATIVES OF THIAZOLE, THIADIAZOLE AND TRIAZOLE

Yu. N. Sheinker, I. Ya. Postovskiy, N. M. Voronina (Moscow)

S u m m a r y

In a study of the infra-red and ultra-violet spectra of thiazole, thiadiazole and triazole derivatives it has been shown that the 2-oxyderivatives both in the crystalline state and in solutions exist as oxo-compounds, not differing in this respect from the other α - and γ -oxyderivatives of the N-heterocyclic series.

The 2-mercaptoderivatives of thiazole and triazole are analogous in structure to the oxo-compounds; they possess thionic rather than thiolic structures. In the crystalline state stable hydrogen bonds are set up between the molecules of the oxo- and thiono-compounds.

2,5-Dimercaptothiadiazole has a mixed thiono-thiol structure, being similar in this to the p-di-derivatives of pyridazine and phthalazine.

ПОРИСТАЯ СТРУКТУРА И УДЕЛЬНАЯ ПОВЕРХНОСТЬ $\text{NiO} - \text{Al}_2\text{O}_3$ КАТАЛИЗАТОРОВ И ИХ ИЗМЕНЕНИЕ ПРИ ВАРИАЦИИ СОСТАВА И УСЛОВИЙ ТЕРМИЧЕСКОЙ ОБРАБОТКИ

А. М. Рубинштейн, Ю. А. Эльтеков и К. И. Словецкая

Несмотря на широкое использование бинарных и более сложных катализаторов, содержащих окис алюминия, работ, посвященных изучению влияния состава и условий термической обработки на величины удельной поверхности и на пористую структуру, почти не имеется. Между тем этот вопрос представляет значительный интерес, поскольку величина поверхности и пористая структура являются факторами, наряду с составом определяющими каталитическую активность и отчасти механические свойства катализаторов. В качестве типичной и используемой в катализе бинарной системы на основе Al_2O_3 мы выбрали систему $\text{NiO} - \text{Al}_2\text{O}_3$ и провели подробное исследование ее адсорбционным методом. Одновременно и параллельно были определены: активность и избирательность действия этих катализаторов при разложении *изо*- $\text{C}_3\text{H}_7\text{OH}$ [1], фазовый состав и рентгеновская структура [2] и магнитные свойства [3]. Комплексное исследование $\text{NiO} - \text{Al}_2\text{O}_3$ представлялось целесообразным ввиду того, что это — катализатор смешанного действия, в котором Al_2O_3 — дегидрирующий, а NiO — дегидрирующий компонент, и что $\text{NiO} - \text{Al}_2\text{O}_3$ образуется на одной из генетических стадий приготовления металлического никеля на окиси алюминия [4], и, наконец, потому, что в литературе имеются довольно полные, но несколько разноречивые физико-химические характеристики этой системы, полученные разнообразными методами

Так в работе Миллигана и Мертена [5] рентгенографически изучался фазовый состав совместно осажденных препаратов $\text{NiO} - \text{Al}_2\text{O}_3$, прокаленных в различных условиях, и была найдена зона аморфных структур в области концентраций NiO от 50 до 70%. Однако в работах [1, 2] было показано, что при несколько различных и более тщательно контролируемых условиях осаждения аморфные структуры не образуются во всем интервале концентраций NiO от 0 до 100%. Далее, Хилл и Селвуд [6] изучили нанесенные $\text{NiO} - \text{Al}_2\text{O}_3$ -катализаторы магнитным методом и показали, что в этой системе при малых концентрациях никеля имеет место валентная индукция, что максимум каталитической активности восстановленных катализаторов в реакции гидрирования бензола достигается при приблизительно 8% Ni . Магнетохимическое исследование соосажденных $\text{NiO} - \text{Al}_2\text{O}_3$ -катализаторов провели Ричардсон и Миллиган [7], рассматривавшие полученные магнитные характеристики с точки зрения изменений дисперсности с составом. В работе [3] также изучались магнитные свойства совместно осажденных $\text{NiO} - \text{Al}_2\text{O}_3$ -катализаторов, и полученные результаты были рассмотрены в свете данных о фазовом составе, полученных рентгенографически [2].

Большое количество сведений о физической структуре и активности $\text{NiO} - \text{Al}_2\text{O}_3$ -катализаторов следовало дополнить систематическим изучением влияния соотношения компонентов и условий термической обработки на адсорбционные свойства и текстуру (величину поверхности и пористую структуру) катализаторов, осажденных в строго одинаковых условиях, что и сделано в настоящей работе. В ней были подвергнуты исследованию те же образцы катализаторов, что и в работе [1], в которой оценочные определения величин удельной поверхности были произведены по адсорбции паров бензола при 20° С динамическим методом [8], а каталитическая активность и избирательность действия испытывались в реак-

и разложения изопропилового спирта в интервале $230-290^\circ\text{C}$ приъемной скорости 1 час^{-1} . Ниже мы в целях экономии места ограничимся приведением данных по активности лишь для одной температуры: более подробные данные можно найти в статье [1], из которой видно, что и прокаленные при 400°C и выше катализаторы, содержавшие менее мол. % NiO , только дегидратировали изопропиловый спирт, а реакция гидрогенизации становилась заметной лишь при появлении в катализаторах фазы свободной NiO [2]. Как данные по избирательности действия, так и данные фазового анализа показали, что в исследованных катализаторах уже при температурах, начиная с 400° и выше, имело место образование шпинели NiAl_2O_4 , чем и объясняется изменение избирательности действия с составом катализаторов.

Экспериментальная часть

Исследованные катализаторы были приготовлены совместным осаждением из всей 10%-ных растворов нитратов Ni и Al 10%-ным раствором аммиака при комнатной температуре и конечном $\text{pH} = 8$. После отмывки и фильтрования катализаторы формовали продавливанием через фильеры пресса, сушили при 110° и отдельные порции катализаторов каждого состава прокаливали при $400, 600, 750^\circ$, а в некоторых случаях — и при 900°C по 7 час. Сечение зерна катализаторов колебалось в пределах $1,1-1,3\text{ м.м.}$ Были приготовлены катализаторы следующего состава:

№ катализатора	1	2	3	4	5	6	7	8	9	10
O , мол. %	0	4	9	14	20	31	40	51	59	100
Al_2O_3 , мол. %	100	96	91	86	80	69	60	49	41	0

о было установлено анализом готовых образцов на содержание никеля. Насыпной с катализаторов менялся в незначительной степени и был равен $0,8-0,9$ в зависимости от условий термической обработки.

Для адсорбционных опытов навески катализаторов варьировали от $0,1$ до $0,7\text{ г}$ зависимости от чувствительности кварцевых пружинных весов. Перед измерениями навески выдерживали до достижения постоянного веса в высоком вакууме в течение 4 дней при постепенном повышении температуры до 300° .

Адсорбционные опыты проводились на вакуумной установке с кварцевыми спильными весами типа весов Мак-Бена и Бахра: чувствительность большей части весов составляла $2 \cdot 10^{-3}\text{ г/м.м.}$, а нескольких 4 и $6 \cdot 10^{-3}\text{ г/м.м.}$. Конструкция установки позволяла изучать одновременно 12 катализаторов.

Отсчет растяжения спиралей, а также положения менисков ртути в U-манометре, производился при помощи катетометра, изготовленного на основе вертикального оптиметра. Воспроизводимость отсчетов таким катетометром колебалась в пределах от $0,02$ до $0,03\text{ м.м.}$ Давление паров в рабочей части установки измеряли помимо манометра еще и манометром Мак-Леода. Чтобы устранить влияние смазки, краны рабочей части установки были заменены на ртутные затворы.

Нижние части адсорбционных гильз, в которых находились кварцевые весы, были погружены в водяную ванну, через которую непрерывно циркулировала вода, подаваемая ультратермостатом по Генлеру. Таким образом навески катализаторов были термостатированы, причем точность термостатирования при 20°C превышала $0,1^\circ\text{C}$.

В качестве адсорбата был взят криоскопический бензол без тиюфена. Предварительно трижды вымороженный бензол, залитый в отросток установки, обезгаживался многократным повторением цикла: замораживание, откачка, плавление.

Изотермы адсорбции паров бензола исследованными катализаторами определены при 20°C во всем интервале относительных давлений вплоть до $p/p_s = 1$. На рис. 1—4 представлены изотермы адсорбции, полученные для серий катализаторов, подвергавшихся прокаливанию при различных температурах. Для удобства рассмотрения изотерм, каждая последующая из них смещена по оси ординат по отношению к предыдущей на один и тот же интервал, соответствующий 1 ммоль/г в правой и $0,2\text{ ммоль/г}$ в левой части графика.

Как видно из рис. 1—4, все изотермы характеризуются S-образной формой и петлей гистерезиса, присущей пористым катализаторам. С рос-

том температуры прокаливания катализаторов наблюдается падение величины адсорбции в области небольших относительных давлений ($p/p_s \approx 0,25$) и смещение петли гистерезиса в сторону $p/p_s = 1$. При этом увеличивается крутизна десорбционных ветвей петли гистерезиса и уменьшаются размеры горизонтальных участков изотерм в области больших относительных давлений. Резко выпадает из общей последовательности изотерма адсорбции паров бензола на чистой NiO: количество поглощенного бензола при низких p/p_s мало и, даже при $p/p_s = 0,75$ составляет всего лишь 0,5 ммоль/г, однако вблизи $p/p_s = 1$ оно увеличивается скачком до 6 ммоль/г.

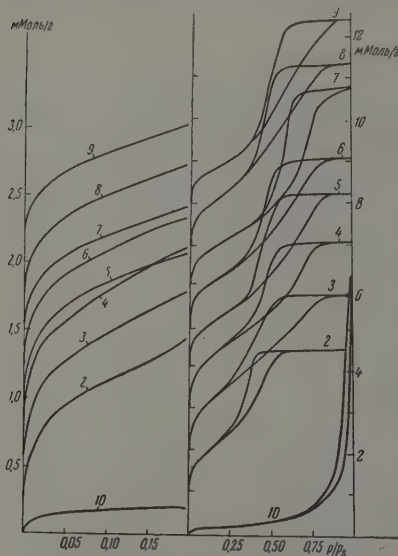


Рис. 1

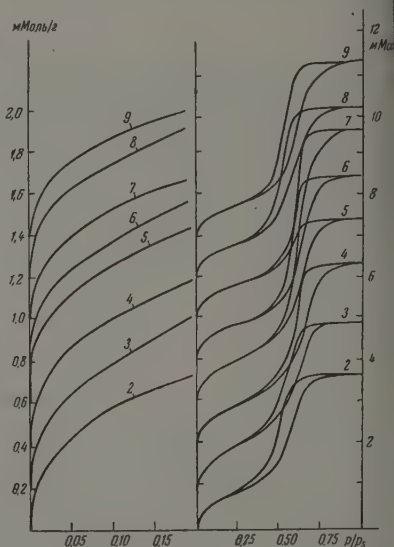


Рис. 2

Рис. 1. Изотермы адсорбции паров бензола при 20°С катализаторами, прокаленными при 400°С. Здесь и далее до рис. 4 слева приведен начальный участок изотермы при $p/p_s = 0,2$; нумерация кривых соответствует номеру катализатора.

Рис. 2. Изотермы адсорбции паров бензола при 20°С катализаторами, прокаленными при 600°С

Из полученных изотерм по методу БЭТ были рассчитаны величины удельных поверхностей s , причем площадь, занимаемая молекулой бензола в плотном монослое, была принята равной 41 \AA^2 . Уравнение БЭТ для изученных катализаторов выполняется в пределах p/p_s от 0,03 до 0,28, причем константа C этого уравнения для всех образцов колеблется в пределах от 20 до 60.

По термодинамическому уравнению капиллярной конденсации $A_a da = -\sigma' ds'$ [9], где A_a — работа адсорбции в эрг/см², a — величина адсорбции в ммоль/г, σ' — поверхностное натяжение адсорбата, были определены величины адсорбционной пленки s' , образуемой к началу капиллярной конденсации (к началу гистерезиса на изотермах).

Общий объем пор V_s определяли по горизонтальному участку изотермы в области высоких относительных давлений ($p/p_s = 0,9$); полученные значения V_s не превышали 0,4 см³/г.

Из десорбционных ветвей изотерм по уравнению Кельвина были вычислены кривые распределения пор по диаметрам d ; расчет производил

в поправки на толщину адсорбированного слоя. Эффективные диаметры d были рассчитаны также из значений V_s и s по уравнению (для цилиндрических пор) $d = 4V_s/s$, причем эти величины удовлетворительно совпали с рассчитанными по уравнению Кельвина.

Исходя из допущения, что при формировании катализатора в виде аэрозоля образуются шаровидные частицы, которые слипаясь образуют пористую структуру (текстуру) катализатора, сохраняющуюся в высушенном геле, можно было оценить размеры этих шаровидных частиц по формуле $D = 6/s\delta$, где δ — истинная плотность геля, а s — величина удельной поверхности в $\text{см}^2/\text{г}$. При расчете величин D значения δ были определены из рентгеноструктурных данных работы [2].

Величины V_s , s , s' , d , δ и D , вместе с данными по активности (дегидратация $\text{изо-C}_3\text{H}_7\text{OH}$) приведены в таблице.

Структурные характеристики NiO—Al₂O₃-катализаторов по данным адсорбционных измерений

№ катализатора	Общий объем пор $V_p, \text{см}^3/\text{г}$	Уд. поверхность, $\text{м}^2/\text{г}$		Диаметр пор $d, \text{Å}$		Истин. плотность, δ	Линейн. размеры частиц $D, \text{Å}$	Катализат. активность, А
		s	s'	по ур-нию Кельвина	по ур-нию $d = \frac{4V_s}{s}$			

Катализаторы, прокаленные при 400°

1*	—	284	—	—	—	—	40	33,0
2	0,30	234	188	33	51	3,71	68	40,0
3	0,32	341	155	41	38	3,75	51	46,0
4	0,35	321	181	51	40	3,80	49	36,5
5	0,37	248	202	46	54	3,91	62	24,5
6	0,36	246	176	50	52	4,13	59	17,2
7	0,42	208	142	78	74	4,31	67	(13)
8	0,38	227	141	52	61	4,48	59	—
9	0,38	187	170	56	86	—	—	—
10	0,55	40	—	~400	550	7,45	200	—

Катализаторы, прокаленные при 600°

2	0,32	171	156	60	74	3,72	94	37,5
3	0,34	183	158	62	75	3,78	87	85,0
4	0,38	176	171	94	82	3,82	95	86,5
5	0,39	184	150	86	84	3,92	83	44,5
6	0,39	164	141	80	94	4,15	88	33,5
7	0,40	153	102	94	106	4,32	91	27,3
8	0,36	160	176	68	91	4,48	83	—
9	0,37	147	159	68	111	—	—	—

Катализаторы, прокаленные при 750°

1*	—	135	—	—	—	—	55	49,2
2	0,29	131	133	68	88	3,74	123	58,7
3	0,34	120	123	98	114	3,66	130	79,8
4	0,38	97	100	140	156	3,83	161	63,0
5	0,37	132	153	100	113	3,93	115	50,6
6	0,36	127	134	90	114	4,16	113	54,7
7	0,40	110	112	100	145	4,32	126	33,6
8	0,35	129	126	80	110	4,51	103	—
9	0,35	111	121	80	127	—	—	—

Катализаторы, прокаленные при 900°

6	0,31	72	80	108	170	4,13	200	—
8	0,30	60	80	100	210	4,54	230	—
9	0,20	66	70	90	184	—	—	—

* По ранее сделанным определениям.

Активность катализаторов № 8 и 9 не приведена, так как они только дегидратировали, но и дегидрировали изопропиловый спирт. Активность катализаторов, прокаленных при 900° , не определялась.

Обсуждение результатов

Полученные результаты характеризуют количественно только катализаторы, приготовленные в описанных выше условиях. В иных условиях осаждения гидроокисей, очевидно, получатся более или менее отличные от наших исходные структуры. Можно полагать, что наблюдаемые закономерности изменений s , d , D и V_s с составом и условиями термической обработки сохраняются, но количественно эти изменения, возможно, будут сильно отличаться от наблюдаемых в настоящей работе. О возможное

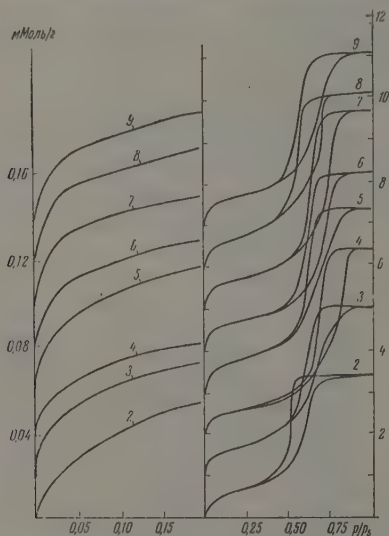


Рис. 3. Изотермы адсорбции паров бензола при 20° катализаторами, прокаленными при 750°C

указанных различий свидетельствует, например, упомянутое в начале статьи расхождение результатов, полученных в работах [1, 4] и в работе [5].

Для удобства рассмотрения полученных данные представлены графически на рис. 5, на котором каждой из кривых указана температура прокаливания катализаторов данной серии. При рассмотрении кривых видно, что в области концентраций NiO в катализаторах от 5 до 20 мол. % имеется ясно выраженный экстремум. В этой области общий объем пор V_s линейно возрастает с концентрацией NiO; величина удельной поверхности s проходит через максимум при 10—15 мол. % NiO у прокаленных при 400° катализаторов, а у прокаленных при 600 и 750° через минимум, впрочем слабо выраженный. То, что при низшей температуре прокаливания s проходит через максимум легко можно объяснить взаимным защитным дей-

ствием от кристаллизации: при осаждении $\text{Ni}(\text{OH})_2$ и $\text{Al}(\text{OH})_3$ взаимно препятствуют укрупнению частиц, и это защитное действие проявляется весьма сильно даже при небольших концентрациях второго компонента. При 400° спекание и рекристаллизация еще не настолько сильны, чтобы их действие устранило результаты взаимной защиты. Однако при более высоких температурах — при 600°C , и особенно при 750° , эти процессы настолько интенсивны, что величины удельной поверхности сильно уменьшились — более сильно, чем это имело место при соответствующих изменениях режима термической обработки катализаторов с большим содержанием NiO. Описанные изменения позволяют сделать вывод о распределении частиц по размерам: катализаторы с содержанием NiO до 20 мол. % после прокаливания при 400° содержали значительную долю весьма мелких, метастабильных кристаллов, по размерам значительно меньших, чем среднестатистическая их величина D или рентгенографически определяемый линейный размер. Спекание при 600 и 750°C заключалось в увеличении размеров более крупных частиц за счет материала наиболее мелких метастабильных частиц, большинство которых при этом исчезало, приводя к наблюдаемому уменьшению s , более сильному при 750° , чем при 600° .

С такой интерпретацией сделанных наблюдений согласуются и изменения V_s , d и D в этом же интервале концентраций NiO. Действительно, в процессе спекания, в первую очередь, должны исчезнуть тонкие поры, а в результате увеличения диаметра пор должно происходить увеличение общего объема пор. Все эти изменения и происходили в изученных катализаторах, как это видно по рис. 5.

Следует добавить, что изложенное выше объяснение находит подтверждение еще и в другом. Во-первых, для образцов, прокаленных при 400°, величины, характеризующие адсорбционную поверхность s' (таблица), оказались меньшими, чем соответствующие величины удельной поверхности s , а в случае катализаторов, прокаленных при более высоких температурах, s и s' практически совпадали по величине, что свидетельствует об образовании более широких пор в этих условиях.

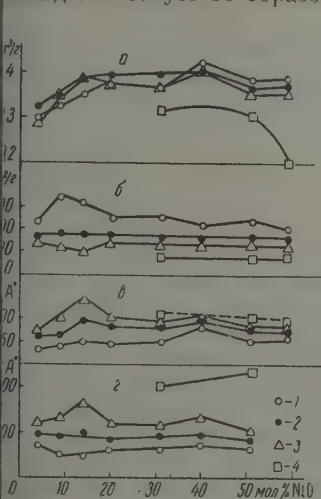


Рис. 5. Изменение: а — общего объема пор V_s ; б — величины удельной поверхности s ; в — эффективного диаметра пор d и r — размера частиц D в зависимости от состава катализатора и температуры их прокаливания (1 — 400; 2 — 600; 3 — 750; 4 — 900°С)

При рассмотрении дальнейшего хода кривых V_s , s , d и D видно, что можно не считать некоторых отклонений при 40 мол. % NiO) точки удовлетворительно укладываются на прямые, т.е., что в интервале 20—60 мол. % соотношение компонентов катализатора не оказывает существенного влияния на структуру, определяемую адсорбционным методом, и что кривые для различных температур прокаливания катализаторов в первом

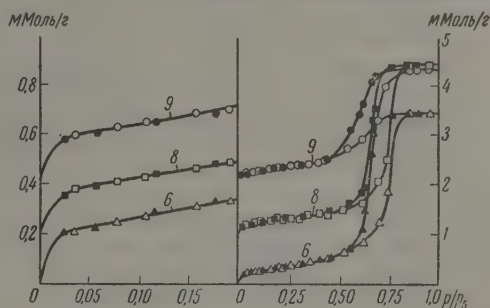


Рис. 4. Изотермы адсорбции паров бензола при 20° катализаторами, прокаленными при 900°С

Во-вторых, рассчитанные из адсорбционных данных величины D хорошо совпали с определенными рентгенографическими [2] из расширения дифракционных линий: если отбросить экстремальные точки, то видно, что размеры частиц D (из адсорбционных данных) почти не зависят от состава катализаторов и у образцов, прокаленных при 400°, равны 60 Å, у прокаленных при 600° — 90 Å, при 750° — 120 Å и при 900° — 210 Å. Рентгенографические измерения дали соответственно значения 40—70 Å для 400 и 600°, 55—110 Å для 750° и 65—220 Å для 900°.

Экстремальная область на кривых рис. 5 совпала с оптимальным соотношением состав — активность, обнаруженным в работе [1] при 5—15 мол. % NiO, и с особыми областями на кривых состав — магнитные свойства (магнитный момент и константа Вейса) [3]. Таким образом можно отметить, что различные методы дали хорошо согласующиеся результаты и независимо друг от друга подтвердили особые свойства катализаторов в области концентрации NiO до 15—20 мол. %.

приближении смещены параллельно друг другу. Причины наблюдений отклонений при 40 мол. % NiO не вполне ясны. Однако необходимо иметь в виду, что фазовый анализ показал, что катализаторы с содержанием NiO до 50 мол. % однофазны и представляют твердый раствор NiAl_2O_4 и $\gamma\text{-Al}_2\text{O}_3$, тогда как фаза свободной NiO рентгенографически обнаруживается, только начиная с 51 мол. % NiO [2]. При 51 % NiO катализатор состоит из шпинели NiAl_2O_4 и фазы свободной NiO. Однако данные по биразительности действия при разложении изопропилового спирта с NiO характерна дегидрогенизация, для Al_2O_3 и шпинели — дегидратация показывают [1], что фаза NiO, по-видимому, еще недостаточно окристаллизованная или в очень малой концентрации, не обнаруживаемой структурным анализом, начинает появляться в катализаторах уже при 40 мол. % NiO, возможно, из-за недостаточной продолжительности прокаливания при указанных температурах: катализаторы с 40 мол. % NiO наряду с гидратацией, представляющей основную реакцию на них, вызывают незначительную дегидрогенизацию.

Некоторые отклонения при 40 мол. % NiO от в общем приблизительно линейного хода кривых с изменением содержания NiO в обсуждаемом тервале состава, по-видимому, зависят отчасти именно от изменения зового состава. С другой стороны, несомненно, играло роль и то, что в соотношении 40 мол. % NiO — 60 мол. % Al_2O_3 исходный катализатор содержал кристаллы несколько большего размера, чем при ближайшей меньшей и большей концентрациях NiO.

Из приведенных измерений (таблица) видно, что удельная поверхность чистой NiO невелика — 40 $\text{м}^2/\text{г}$ после прокаливания при 400°. Поэтому при приближении к 100% NiO должна существовать вторая область, в которой резко проявляется взаимное защитное действие от кристаллизации. В этой области увеличение s и уменьшение размеров кристаллов NiO должно происходить в результате диспергирующего действия Al_2O_3 , которая в этой области концентраций становится уже не основным компонентом, а добавкой. Мы не исследовали катализаторы, содержащие более 60 мол. % NiO, так как из ряда работ [1, 4, 10] известно, что для получения активных катализаторов столь высокие концентрации NiO совершенно не требуются. Однако, исходя из величин удельных поверхностей чистой NiO и Al_2O_3 (таблица), можно с достаточными основаниями ожидать, что по мере приближения к 100% NiO величины s будут по сравнению с приведенными в настоящей работе падать, а d , D и V_s увеличиваться.

В таблице приведены данные по активности в форме степени дегидратации $\text{изо-C}_3\text{H}_7\text{OH}$ за одно пропускание в одинаковых условиях над одинаковыми объемами катализаторов. Наблюдаемый оптимум активности обусловлен различиями в величине удельной поверхности образцов с различным содержанием NiO, а является действительно оптимумом по составу катализаторов, так как показано [1], что при определении удельной активности в форме активности 1 м^2 поверхности, т. е. при исключении влияния величины s , этот оптимум сохраняется при всех температурах каталитических опытов.

Выводы

Исследованы изменения величины удельной поверхности s , общего объема V_s и эффективного диаметра d пор, а также размеров частиц NiO— Al_2O_3 -катализаторов под влиянием изменения молярного соотношения компонентов и условий термической обработки (400—900°), и показано, что наибольшие изменения этих структурных характеристик имеют место при концентрациях NiO в катализаторах от 5 до 15—20 мол. %. Показано, что имеется параллелизм в изменении каталитических свойств и характеристик, определяемых адсорбционными методами. Экстремумы s , d , D и

области содержания NiO в катализаторах до 20 мол. % обсуждены с точки зрения взаимного защитного действия при кристаллизации, оказываемого компонентами друг на друга.

Академия наук СССР
Институт органической химии
Москва

Поступила
4.VII.1957

ЛИТЕРАТУРА

- А. М. Рубинштейн, А. А. Слинкин и Н. А. Прибыткова, Изв. АН СССР, Отд. хим. н., 814, 1958.
А. М. Рубинштейн, В. М. Акимов, Л. Д. Креталова, Изв. АН СССР, Отд. хим. н., 929, 1958.
А. М. Рубинштейн, А. А. Слинкин, Изв. АН СССР, Отд. хим. н., 1054, 1958.
Н. Д. Зелинский, Собрание трудов, т. 3, Изд-во АН СССР, М., 1955, стр. 73; Бер., 57, 667, 1924.
W. O. Milligan, L. Merten, J. Phys. Chem., 50, 465, 1946.
F. N. Hill, P. W. Selwood, J. Amer. Chem. Soc., 71, 2522, 1949.
W. O. Milligan, J. T. Richardson, J. Phys. Chem., 59, 9, 1955.
А. М. Рубинштейн, А. А. Слинкин, В. А. Афанасьев, Изв. АН СССР, Отд. хим. н., 31, 1957.
А. В. Киселев, Сборник «Методы исслед. высокодисперсных и пористых тел», Изд-во АН СССР, 1953, стр. 90.
А. М. Рубинштейн, Ж. физ. химии, 13, 1271, 1939.

THE POROUS STRUCTURE AND SPECIFIC SURFACE AREA OF NiO—Al₂O₃ CATALYSTS AND THE VARIATION OF THESE PROPERTIES WITH CHANGES IN COMPOSITION AND THERMAL TREATMENT

A. M. Rubinshtein, Yu. A. El'tekov and K. I. Slavetskaya (Moscow)

Summary

A study has been made of the changes in the specific surface s , total volume V_s and active pore diameter d as well as particle size D of NiO — Al₂O₃ catalysts caused by changes in the component ratio and condition of thermal treatment. The greatest change in these structural characteristics has been shown to take place for a concentration of O in the catalyst from 5 to 15—20 mole%. The change in catalytic properties has been shown to parallel the characteristics as determined by adsorption methods. The extremes of s , d , D and V_s in the region of NiO content in the catalyst of up to 20% have been examined from the standpoint of the mutual protective action of the components during crystallization.

ВЛИЯНИЕ ПЕРИОДА КАПАНИЯ НА ПОТЕНЦИАЛ ПОЛУВОЛНЫ МАРГАНЦА И ВЫЧИСЛЕНИЕ ПЛОТНОСТИ ТОКА ОБМЕНА МАРГАНЦА

А. Г. Стромберг и К. Р. Воронова

Теория замедленного разряда-ионизации [1], развитая одним из нас для случая амальгамного капельного электрода [2, 3], позволила удачно творительно объяснить ряд опытных фактов: различие анодного и катодного потенциалов полуволн и отличие угловых коэффициентов обмена полуволн от теоретического значения (для необратимых волн) [4]; отличие стационарного потенциала амальгамного капельного электрода от равновесного [5, 6]; влияние поверхностно-активных веществ на электродные процессы [7, 8]; влияние концентрации комплексообразователя на анодный и катодный потенциалы полуволн [9, 10].

Целью настоящей работы является дальнейшее развитие теории замедленного разряда-ионизации для выделения на ртути металлов, образующих или не образующих амальгаму с ртутью, и проверка теоретических соотношений на примере влияния периода капания на потенциал полуволны марганца и определения для него плотности тока обмена. Согласно литературным данным [11], марганец относится к числу металлов практически не растворимых (или очень слабо растворимых) в ртути.

В литературе [12, 13] имеются отрывочные указания на изменение потенциала полуволны марганца с периодом капания ртутного капельного электрода. Однако детально этот вопрос не исследовался и не получил теоретического объяснения.

Теоретическая часть

Рассмотрим разряд на ртутном капельном электроде простого иона металла (более отрицательного чем ртуть) из раствора, содержащего избыток индифферентного электролита. Пусть ток обмена достаточно мал и при рассмотрении полярографической волны скоростью обратного процесса (ионизации) можно пренебречь. Тогда согласно теории замедленного разряда-ионизации [1] сила тока будет определяться скоростью разряда ион [2]*

$$i = k_1 c_1' e^{-(\alpha/b')\varphi},$$

где k_1 — константа скорости процесса разряда при потенциале φ , равном условному нулю ($\varphi = 0$); c_1' — концентрация ионов металла в растворе вблизи поверхности электрода*; α — коэффициент разряда ($\varphi < 1$); $b' = RT/zF = 0,0592/2,303z$ (при 25°C); φ — потенциал электрода; z — число электронов, принимающих участие в электродном процессе, на один ион.

При равновесном потенциале скорости разряда и ионизации равны между собой и равны току обмена:

$$i_0 = \vec{i} = \overleftarrow{i} = k_1 c_1 e^{-(\alpha/b')\varphi_P},$$

* Для простоты считаем в уравнении (1) и последующих (3), (7), (8) и других активности равными концентрациям.

i_0 — ток обмена в μA , \vec{i} и \overleftarrow{i} — скорости разряда и ионизации; c_1 — концентрация ионов металла в глубине раствора мг-ион/л; φ_p — равновесный потенциал.

Может возникнуть сомнение в физической обоснованности выражения тока обмена через равновесный потенциал при выделении ионов постоянных металлов на ртутном электроде. Однако с термодинамической точкой зрения этот случай легко обосновать. При соприкосновении с раствором металл окисляется следами кислорода воздуха, растворенного в растворе, небольшое количество ионов одновалентной ртути переходит в раствор. Это подтверждается опытными данными; так, например, при соприкосновении ртути с раствором хлористого калия концентрация ионов ртутно-видимому, достигает величины, определяемой величиной произведения растворимости каломели ($2 \cdot 10^{-18}$), так как потенциал ртутного электрода в растворе KCl очень близок к равновесному потенциалу электрода второго рода $\text{Hg}|\text{Hg}_2\text{Cl}_2$ (тв), Cl^- при данной концентрации KCl в растворе. При наличии в растворе также ионов другого металла, более электроотрицательного по сравнению с ртутью (например, марганца), устанавливается равновесие $\text{Mn}^{2+} + 2\text{Hg} \rightleftharpoons \text{Mn} + \text{Hg}_2^{2+}$. При этом часть ионов металла выделяется на ртути. Концентрация (активность) выделенных атомов металла определяется из условия равенства обоих электродных потенциалов*:

$$\varphi_{\text{Mn}, \text{Mn}^{2+}} = \varphi_{\text{HgCl}_2, \text{Cl}^-}$$

В случае марганца эта величина хотя и очень мала, но даже в такой концентрации (активности) атомов марганца в амальгаме достаточно, чтобы можно было говорить о токе обмена и равновесном потенциале марганца на ртутном капельном электроде. Аналогичные рассуждения применимы и для других ионов металла в растворе.

При протекании электродной реакции (процесс разряда) концентрация ионов металла в растворе вблизи поверхности ртутного капельного электрода уменьшается. Считая приближенно, что в процессе диффузии вблизи поверхности электрода устанавливается линейный градиент концентрации ионов металла, получим

$$\vec{i} = k_1(c_1 - c'_1), \quad (3)$$

k_1 — коэффициент пропорциональности в уравнении волны: $I = k_1 c_1$, — диффузионный ток (высота волны). Отсюда

$$c'_1 = c_1 \frac{I - i}{I}. \quad (4)$$

Из уравнений (1) и (4) получим

$$\varphi = \varphi_{1/2} - \frac{b}{\alpha} \lg \frac{i}{I - i} \quad (5)$$

$$\varphi_{1/2} = \frac{b}{\alpha} \lg k_1 k_1^{-1}. \quad (6)$$

Видно, что при выводе формулы (5) не делалось никаких предположений о поведении металла, выделенного на электроде (так как обратный процесс ионизации не рассматривался). Таким образом формула (5) справедлива независимо от того, растворим или не растворим металл в ртути. При этом следует напомнить, что формула (5) справедлива только в предположении достаточной необратимости электродного процесса [2, 3].

* Или из условия $E^0 = b \lg k_c$, где E^0 — нормальная э.д.с. цепи $\text{Mn}|\text{Mn}^{2+}||\text{Hg}_2^{2+}|\text{Hg}$; k_c — константа равновесия.

При дальнейших рассуждениях мы предположим сначала, для простоты, что металл растворим в ртути (т. е. образует с ртутью амальгаму).

Выразим константы k_1 и k_2 через другие величины. Для тока обмена между амальгамой и простыми ионами металла в растворе имеем выражение [2, 3]:

$$i_0 = j_0^0 \bar{s} c_1^\beta c_2^\alpha,$$

где j_0^0 — нормальная плотность тока обмена между атомами металла амальгаме и простыми ионами металла в растворе (при $\bar{s} = 1 \text{ см}^2$, $c_1 = 1 \text{ мг-ион/л}$ и $c_2 = 1 \text{ мг-атом/л}$); $\bar{s} = 0,0051 (m\tau)^{1/2}$ — средняя поверхность ртутного капельного электрода [12]; m — скорость вытекания ртути из капилляра мг/сек ; τ — период капания сек ; c_2 — концентрация атомов металла в амальгаме мг-атом/л ; α и β — коэффициенты разряда и ионизации, причем $\alpha + \beta = 1$.

Равновесный потенциал амальгамы дается термодинамическим выражением:

$$\varphi_D = \varphi^0 + b \lg \frac{c_1}{c_2},$$

где φ^0 — стандартный потенциал амальгамы.

Подставляя (7) и (8) в (2), получим

$$k_1 = j_0^0 \bar{s} e^{\frac{\alpha}{b} \varphi^0}.$$

Для константы k_1 в уравнении диффузионного тока имеем выражение [12]

$$k_1 = k_d L; \quad (9)$$

$$k_d = 605 z D^{1/2}; \quad (10)$$

$$L = m^{1/2} \tau^{1/2}, \quad (11)$$

где k_d — константа (катодного) диффузионного тока; D — коэффициент диффузии иона (марганца) $\text{см}^2/\text{сек}$; L — характеристика капилляра.

Подставляя (9) и (10) в (6), получим

$$\varphi_{1/2} = \varphi^0 + \frac{b}{\alpha} \lg (j_0^0 k_d^{-1}) (\bar{s} L^{-1}). \quad (12)$$

Учитывая указанные выше зависимости величин \bar{s} и L от периода капания, имеем

$$\bar{s} L^{-1} = 0,0051 \tau^{1/2}. \quad (13)$$

Отсюда для зависимости потенциала полуволны от периода капания получаем выражение:

$$(-\varphi_{1/2}) = A - B \lg \tau, \quad (14)$$

где

$$B = \frac{1}{2} b_{\text{оп}} = \frac{b}{2\alpha} = \frac{0,0296}{z\alpha} \quad (\text{при } 25^\circ \text{C}) \quad (15)$$

и

$$A = -(\varphi_{1/2})_{\tau=1} = -\varphi^0 - \frac{b}{\alpha} \lg 0,0051 j_0^0 k_d^{-1}. \quad (16)$$

Таким образом в случае справедливости сделанных выше предположений о механизме необратимой волны на ртутном капельном электроде потенциал полуволны должен линейно зависеть от логарифма периода капания с угловым коэффициентом, равным половине углового коэф-

ента волны. При этом с увеличением периода капания потенциал полуволны должен становиться более положительным. Следует отметить, что согласно уравнениям (14) — (17) потенциал полуволны не зависит от масштаба ртути n , вытекающей из капилляра в единицу времени (от скорости течения ртути).

Из формулы (17) можно вычислить нормальную плотность тока обмена между амальгамой металла и ионами металла в растворе, если подставить известные из таблиц или опыта величины A , k_d и $\varphi^0 = \varphi_{ам}^0$:

$$\lg j_0^0 = \frac{\alpha}{b} [(\varphi_{1/2})_{\tau=1} - \varphi^0] + \lg 196k_d. \quad (18)$$

Величина A , в соответствии с формулой (15) и (17), определяется как потенциал полуволны с обратным знаком при периоде капания $\tau = 1$ сек.; величина k_d вычисляется из формулы (10); и вместо величины $\varphi^0 = \varphi_{ам}^0$ следует в рассматриваемом случае металла, растворимого в ртути, подставить величину стандартного потенциала амальгамы металла $\varphi_{ам}^0$, которая связана со стандартным потенциалом чистого металла φ_M^0 известным термодинамическим соотношением:

$$\varphi_{ам}^0 = \varphi_M^0 + 2,3 \frac{RT}{zF} \lg f_{нас} c_{нас} - E_S, \quad (19)$$

где $c_{нас}$ — растворимость металла в ртути при данной температуре; $f_{нас}$ — коэффициент активности насыщенной амальгамы; E_S — э. д. с. концентративной цепи, составленной из чистого металла и его насыщенной амальгамы, погруженных в раствор ионов этого металла*.

В таблицах приводится обычно значение φ_M^0 . Поэтому для вычисления по формуле (19) нужно знать величины $f_{нас}$, $c_{нас}$ и E_S .

Рассмотрим теперь другой случай, когда металл, выделяющийся на ртути, не растворяется в ртути (т. е. не образует с ней амальгамы). Тогда в формулах (7) и (8) нужно считать концентрацию атомов металла, деленных на поверхности ртутной капли, постоянной величиной, т. е. постоянной концентрации атомов в чистом металле ($c_2 = \text{const}$), и вместо этих формул получим

$$i_0 = j_0^0 \bar{s} c_1^b \quad (20)$$

$$\varphi_p = \varphi^0 + b \lg c_1, \quad (21)$$

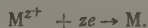
где j_0^0 — нормальная плотность тока обмена между чистым металлом и ионами металла в растворе (при $\bar{s} = 1 \text{ см}^2$, $c_1 = 1 \text{ мг-ион/л}$ и $c_2 = \text{const}$); $\varphi^0 = \varphi_M^0$ — стандартный потенциал чистого металла в данном растворе.

Подставляя в формулу (18) значения $A = -(\varphi_{1/2})_{\tau=1}$, k_d и $\varphi^0 = \varphi_M^0$, получим в рассматриваемом случае (металл не растворяется в ртути) величину нормального тока обмена между чистым металлом и простыми ионами металла в растворе.

В заключение заметим еще следующее. При рассмотрении формулы (21) на первый взгляд может показаться, что при подстановке в формулу вместо φ^0 стандартного электродного потенциала чистого металла получим величину нормальной плотности тока обмена для чистого

* Если твердая фаза в равновесии с насыщенным раствором амальгамы является чистым металлом, то $E_S = 0$.

металла, погруженного в раствор его простых ионов, независимо того, в каком состоянии находятся атомы металла после выделения ртути. Однако такой вывод является неправильным, так как величина потенциала полуволны $(\varphi_{1/2})_{\tau=1}$, как видно из формулы (6), зависит от константы скорости разряда k_1 , а следовательно, и от энергии активации процесса



Поэтому константа скорости разряда k_1 , а следовательно, и потенциал полуволны $(\varphi_{1/2})_{\tau=1}$ и нормальная плотность тока обмена будут конечно, зависеть от того, в каком состоянии находятся атомы металла на поверхности ртутного электрода — в виде слоя чистого металла (в случае не растворимого в ртути металла) или в виде раствора этих атомов в ртути. В связи с этим для металла, образующего амальгаму с ртутью, очевидно, не получим правильного значения нормальной плотности тока обмена на чистом металле при подстановке в формулу (18) стандартного электродного потенциала чистого металла.

Экспериментальная часть

Для проверки теоретического уравнения (15) нами были проведены опыты по изучению необратимых полярографических волн марганца на различных периодах капания. Для сравнения изучались также обратимые полярографические волны кадмия.

Ртутный капельный электрод поляризовался относительно насыщенного каломельного электрода, отделенного от испытуемого раствора агар-агаровой перегородкой (3%-ный агар-агар на полунасыщенном растворе хлористого калия), при помощи визуального полярографа. Сила тока измерялась при помощи зеркального гальванометра типа М 21/2 с чувствительностью около 10^{-9} А/мм/м и большим периодом колебания ($T \sim 20$ сек.). Потенциал ртутного капельного электрода измерялся при помощи потенциометра ПИТВ-1 относительно другого насыщенного каломельного электрода, отделенного от испытуемого раствора сифоном с закрытым краном (смазки) и капиллярной трубкой, расположенной вблизи ртутной капли. Как правило, значения потенциала, измеренные при помощи полярографа и потенциометра не различались более чем на 0,001—0,002 В.

Растворы марганца имели состав: 10^{-3} М $MnCl_2$, 1,0 М KCl и 0,005% желатин. Растворы кадмия имели состав: 10^{-3} М $CdCl_2$, 1,0 М KCl и 0,005% желатин.

Полярографические волны марганца и кадмия изучались при различных периодах капания ртутного капельного электрода в интервале от 1,2 до 13 сек. Для этих применялись три разных капилляра и разная высота ртутного столба с каждым капилляром. Температура растворов $19-20^\circ$ С.

Результаты опытов приведены на рис. 1—4. Среднее значение угла наклона коэффициента волны марганца в наших опытах равно $b_{оп} = 0,040 \pm 0,003$ вместо теоретического значения для обратимого процесса $b = 2,3 RT/zF = 0,0291$ (при 20° С). Это указывает на необратимость волны марганца, т. е. на то, что электродный процесс восстановления марганца на ртутном капельном электроде лимитируется не только процессом диффузии, но также и другой замедленной стадией электродного процесса. Мы полагаем, что этой стадией является процесс разряда-ионизации. Подтверждением этого предположения является, во-первых, то, что опытные точки в координатах $(-\varphi_{1/2})$ и $\lg \frac{i}{I-i}$ удовлетворительно располагаются в соответствии с уравнением (5) на прямых линиях во всем интервале $\lg \frac{i}{I-i}$ от 1,0 до 1,0 для всех волн марганца. При этом, в соответствии с уравнением (5), коэффициент разряда $\alpha = 0,75$ и коэффициент ионизации $\beta = 1 - \alpha = 0,25$.

Подтверждением этого предположения является, во-вторых, зависимость потенциала полуволны марганца от периода капания. Из рис.

дно, что опытные точки удовлетворительно располагаются вокруг теоретической прямой [см. формулу (15)], проведенной в соответствии с формулой (16) под углом

$$\beta = \frac{1}{2} b_{\text{оп}} = \frac{1}{2} 0,040 = 0,020.$$

Только при малых периодах капания ($\tau < 2$ сек.) наблюдается небольшое отклонение опытных точек от теоретической прямой. Это, по-видимому, можно объяснить тем, что при малых периодах капания нарушается нормальная диффузия ионов через диффузионный слой из-за сильного

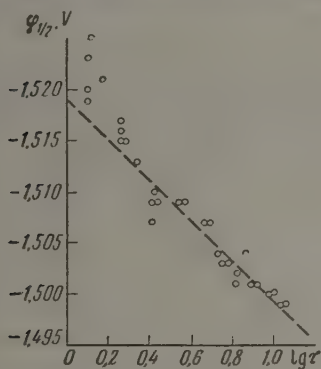


Рис. 1

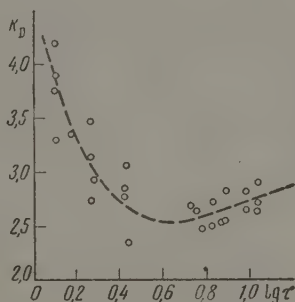


Рис. 2

Рис. 1. Зависимость потенциала полуволны марганца от логарифма периода капания ртутного капельного электрода

Рис. 2. Зависимость константы диффузионного тока марганца от логарифма периода капания

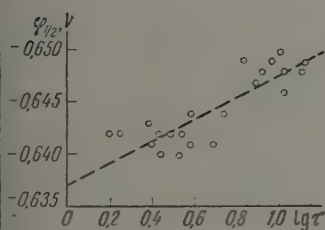


Рис. 3

Рис. 3. Зависимость потенциала полуволны кадмия от логарифма периода капания

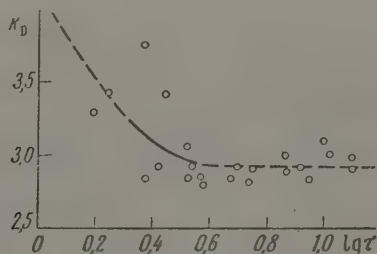


Рис. 4

Рис. 4. Зависимость константы диффузионного тока кадмия от логарифма периода капания

мешивания электролита. Действительно, из рис. 2 видно, что константа диффузионного тока марганца при $\tau < 2$ сек. не остается постоянной при разных периодах капания, как это следует из теории диффузионного тока [12], а заметно увеличивается. Отметим попутно, что в соответствии с наблюдениями других исследователей [14] на рис. 2 наблюдается также тепенное возрастание k_d с ростом $\lg \tau$ при больших периодах капания и $\tau > 4$ сек.).

Кадмий дает обратимую волну, на что указывает совпадение опытного коэффициента волны $b_{\text{оп}} = 0,030 \pm 0,001$ с теоретическим зна-

чением $b = 0,0291$. Наши опытные данные (рис. 3) показывают, что потенциал полуволны кадмия с ростом периода капания становится менее ригидным (т. е. изменяется в сторону, обратную тому, что наблюдается для марганца). На рис. 4 видно, что константа диффузионного тока в интервале $\lg \tau$ от 0,4 до 1,2 сохраняет постоянное значение.

Теоретическое объяснение зависимости потенциала полуволны обратных волн от периода капания было дано Коутецким [15] и Штакельбергом [16] путем учета кривизны поверхности ртутной капли. При этом для двухвалентных ионов металла $d\varphi_{1/2}/d \lg \tau = -1,1 \tau^{1/6} m^{-1/6}$. Наши опытные данные качественно подтверждают это уравнение: с увеличением периода капания обратимый потенциал полуволны кадмия становится отрицательнее.

В заключение оценим величину тока обмена марганца по формуле (1) на основании наших опытных данных. При этом, как указывалось выше, нужно сделать определенное предположение о состоянии атомов марганца на электроде и ионов металла в растворе. В связи с тем, что мы не нашли в литературе определенных указаний об образовании марганцем амальгамы с ртутью, примем, что марганец полностью не растворим в ртути. Кроме того, примем, что из 1 М раствора KCl марганец разряжается в виде простых ионов.

Из рис. 1 ($\varphi_{1/2}\tau=1$) $= -1,519$ В (н. к. э.) * и из рис. 2 среднее значение $k_d \approx 2,7$.

Нормальный электродный потенциал Mn, Mn^{2+} равен $\varphi^0_m = -1,296$ В (н. к. э.). При этом из формулы (18) для нормальной плотности тока обмена между чистым марганцем и раствором простых ионов марганца получим

$$\lg j^0 = \bar{3},22 \text{ и } j^0 = 1,7 \cdot 10^3 \mu A \text{ см}^{-2} \text{ мг-ион}^{-\bar{2}} \text{ г-атом}^{-\bar{2}} \text{ л}^{\bar{2}}.$$

Выводы

1. На основе теории замедленного разряда-ионизации выведено уравнение для зависимости необратимого потенциала полуволны от периода капания ртутного капельного электрода для металлов как растворимых, так и не растворимых в ртути**.

2. Это уравнение подтверждено на опытных данных по полярографическим волнам марганца при разных периодах капания. В соответствии с теорией опытные точки удовлетворительно располагаются на графиках в координатах потенциал полуволны и логарифм периода капания на прямой линии с теоретическим угловым коэффициентом 0,020.

3. Предложен новый полярографический метод вычисления плотности тока обмена для чистых металлов и для амальгам металлов в растворе простых ионов металла данного состава. Вычислена плотность тока обмена между простыми ионами марганца в растворе и металлическим марганцем (1 см^2 истинной поверхности).

Томский политехнический институт им. С. М. Кирова

Поступила 4.VII.1957

* Все значения электродных потенциалов в работе отнесены к насыщенному каломельному электроду.

** *Примечание при корректуре.* Как нам стало известно после сдачи рукописи в печать, Делахей и Лайтинен с сотрудниками вывели уравнения для зависимости потенциала полуволны от периода капания, исходя из нескольких иных математических соотношений для необратимых полярографических волн, чем в нашей статье (см. книгу: Делахей, Новые приборы и методы в электрохимии, изд. ИЛ, Москва, 1957, стр. 103). При этом в цитируемых в книге статьях зависимость $\varphi_{1/2}$ от $\lg \tau$ была получена в явном виде. А приводимая в книге Делахей формула (14) отличается от нашей формулы выражением для первого слагаемого. Экспериментальная проверка рассматриваемого соотношения была сделана Лайтиным с сотрудниками (J. Am. Chem. Soc., 75, 4148, 1953) на примере волны никеля при шести значениях периода капания в интервале от 2,1 до 7,6 сек., причем констатировалось то же постоянство производной $\Delta \lg \tau / \Delta \varphi_{1/2}$ при разных значениях τ , а теоретическое значение этого коэффициента не вычислялось.

ЛИТЕРАТУРА

- А. Н. Фрумкин, В. Г. Багоцкий, В. А. Иофа и Б. Н. Кабанов, Кинетика электродных процессов, Изд-во МГУ, Москва, 1952.
 А. Г. Стромберг, Ж. физ. химии, 29, 409, 1955.
 А. Г. Стромберг, Ж. физ. химии, 29, 2152, 1955.
 А. Г. Стромберг и А. И. Зелянская, Тр. Комиссии по аналитической химии, IV(VII), 5, 1952.
 А. Г. Стромберг и Р. А. Питателева, Докл. АН СССР, 89, 1071, 1953.
 А. Г. Стромберг и А. З. Брайнина, Докл. АН СССР, 97, 863, 1954.
 А. Г. Стромберг и М. С. Гутерман, Ж. физ. химии, 27, 993, 1953.
 А. Г. Стромберг и Л. С. Загайнова, Докл. АН СССР, 97, 107, 1954; 105, 747, 1955; Ж. физ. химии, 31, 1042, 1957.
 А. Г. Стромберг и М. К. Иванцова, Докл. АН СССР, 100, 303, 1955.
 А. Г. Стромберг, Ж. физ. химии, 31, 1704, 1957.
 М. Т. Козловский, Ртуть и амальгамы в электрохимических методах анализа, Изд-во АН КазССР, Алма-Ата, 1955.
 И. Кольтгоф и Дж. Лингейн, Полярография, ГНТИХЛ, Москва, 1948.
 E. Verdier, Collect. Czech. Chem. Comm., 11, 316, 1939.
 J. Lingane, a. B. Loveridge, J. Amer. Chem. Soc., 66, 1425, 1944; 72, 438, 1950; L. Meites, a. Th. Meites, J. Amer. Chem. Soc., 72, 4843, 1950; 73, 395, 1952.
 J. Koutecky, Czechosl. J. Phys., 2, 51, 1953.
 H. Strehlow a. M. Stackelberg, Z. Electrochem., 54, 50, 1950.

THE EFFECT OF THE DROPPING PERIOD ON THE HALF-WAVE POTENTIAL OF MANGANESE AND CALCULATION OF THE MANGANESE EXCHANGE CURRENT

A. G. Stromberg and K. R. Voronova (Tomsk)

Summary

Based on the slow discharge-ionization theory developed by one of the authors for the dropping amalgam electrode, an equation has been derived correlating the irreversible half-wave potential and the dropping period of the mercury electrode. The equation has been confirmed on experimental data, obtained in this work, on the polarographic waves of manganese in a potassium chloride solution for various dropping periods from 2 to 13 sec. (with three different capillaries). In conformity with the theory the experimental points all fall satisfactorily on the straight line depicting the relation between the half-wave potential and the logarithm of the dropping period, the theoretical slope being 0.020.

A new polarographic method has been proposed for calculating the ion exchange density for pure metals and for metal amalgams in a solution of the ions of the given metal from the irreversible half-wave potential at a dropping period of 1 sec. The current density has been calculated of exchange between simple manganese ions and metallic manganese (per 1 cm^2 of true surface).

УПРУГОСТЬ ПАРОВ ЖИДКОГО МЕТАНА

В. А. Загорученко

В настоящей работе приведено уравнение для определения упругости насыщенных паров метана, составленное нами с учетом новейших исследований в этой области, включая данные в критической и тройной точках.

Предлагаемое уравнение, связывающее давление p в мм рт. ст. и приведенную температуру $\tau = T/T_k$, имеет следующий вид:

$$\lg p = 0,900087 - \frac{1,439216}{\tau} + 14,293182\tau - 14,668495\tau^2 + 5,456097\tau^3$$

Значения постоянных уравнения найдены нами методом наименьших квадратов по экспериментальным данным [1—7] с использованием значений параметров в критической и тройной точках и при нормальной температуре кипения.

Таблица 1

Данные по метану в тройной точке

Т° К	p , мм рт. ст.
90,70	$87,52 \pm 0,15$ [8]
90,62	$87,5$ [9]
$90,67 \pm 0,03$	$87,4 \pm 0,1$ [10]
—	$87,75 \pm 0,07$ [11]
90,66	$87,50$ [12]
90,66	87,59 по уравнению (1)

Таблица 2

Нормальная температура кипения и критические параметры метана

Т кип. °С	Т° К	p_k , атм
111,55 [4]	190,31	45,6 [2]
111,73 [13]	191,06	45,8 [4]
111,76 [14]	190,06	45,9 [16]
111,66 [15]	191,06	45,8 [3]
111,671 ±	190,7	45,7 [17]
$\pm 0,01$ [12]	190,56	45,47 [12]
111,670 (поур. 1)	190,56	45,797 поур. (1)

Для обеспечения согласованности зависимости $p - T$ на кривой насыщения с данными для метана в области перегрева, главным образом, с данными сжимаемости Квальнесса и Геди [18] при низких температурах, в кривой

Таблица 3

Т° К	p , мм рт. ст.	Т° К	p , мм рт. ст.	Т° К	p , мм рт. ст.	Т° К	p , мм рт. ст.
90,66	87,59	116	1075,9	142	5395,9	168	16083
92	103,42	118	1251,9	144	6089,6	170	17283
94	131,42	120	1448,9	146	6544,3	172	18554
96	165,45	122	1668,3	148	7177,4	174	19899
98	206,43	124	1911,5	150	7852,0	176	21325
100	255,36	126	2179,9	152	8569,0	178	22836
102	313,40	128	2474,9	154	9330,4	180	24441
104	381,51	130	2797,9	156	10139	182	26146
106	461,07	132	3150,2	158	10999	184	27960
108	553,32	134	3533,1	160	11901	186	29893
110	659,55	136	3947,7	162	12860	188	31957
112	781,14	138	4395,5	164	13874	190	34161
114	919,42	140	4877,9	166	14947		

стве неперменного условия при нахождении постоянных уравнения (1), то также использовано известное соотношение Планка — Гиббса на тической изохоре ($v_k = \frac{1}{0,1623} \text{ л/кг}$). Этим самым был обеспечен наиболее вероятный ход кривой $p - T$ вблизи критической точки.

Предлагаемое уравнение в интервале от 190,56 до 90,66° К хорошо согласуется с принятыми в расчет экспериментальными данными, а также значениями p и T , рекомендуемыми для метана М. Д. Тиличевым [19]. В табл. 3 (стр. 326) приводим вычисленные нами по уравнению (1) значения p для серии температур T , которые могут быть использованы на практических целях.

Выводы

Предлагаемая зависимость давления насыщенных паров метана от температуры, составленная на основании экспериментальных исследований различных авторов, обеспечивает также весьма близкое совпадение с новейшими экспериментальными данными в критической и тройной точках, также при нормальной температуре кипения. Приведенная в статье подробная таблица значений давлений насыщенных паров метана в интервале температур от тройной до критической точки, рассчитанная по предлагаемому уравнению, может быть рекомендована для прикладных расчетов.

Поступила
5.VII.1957

ЛИТЕРАТУРА

- Л. М. Волова, Ж. физ. химии, 19, 268, 1940.
E. Cardoso, J. chim. phys., 43, 312, 1945.
JCT III, 216, 1928.
F. Keyes, R. Taylor, L. Smith, J. of Mat. Phys. MJT, 1, 211, 1922.
A. Stock, Z. Electrochem., 29, 354, 1923.
Van Itterbeek, L. Verhaegen, Proc. Phys. Soc. (L), 62B, 800, 1949.
S. Young, Proc. Roy. Irish. Acad., 38, 65, 1928.
F. Freeth, T. Verschoyle, Proc. Roy. Soc. (London), A130, 453, 1931.
K. Clusius, L. Popp, A. Frank, Physica, 4, 1105, 1937.
K. Clusius, K. Wiegand, Z. phys. Chem., 46 B, 1, 1940.
L. Stavely, A. Gupta, Trans. Faraday Soc., 45, 50, 1949.
G. Armstrong, F. Brickwedde, R. Scott, J. Res. Nat. Bur. Standard, 55, 39, 1955.
A. Lamb, E. Roper, J. Amer. Chem. Soc., 62, 806, 1940.
J. Hooper, Analyst, 72, 513, 1947.
F. Rossini, Analyt. Chem. 20, 110, 1948.
E. Pietsch, G. Wilcke, Z. Phys., 43, 342, 1927.
K. Bennewitz, N. Andreewa, Z. phys. Chem., A142, 37, 1929.
H. Kvalnes, V. Gaddy, J. Amer. Chem. Soc., 53, 394, 1931.
М. Д. Тиличев, Физико-химические свойства индивидуальных углеводородов, Справочник, вып. 2, 18, 1947.

THE VAPOR PRESSURE OF LIQUID METHANE

V. A. Zagoruchenko (Odessa)

Summary

An empirical equation has been presented correlating the saturated vapor pressure of methane with the reduced temperature, based on modern experimental investigations of the critical and triple points, as well as at the normal boiling temperature. The values of the saturated vapor pressures of methane calculated with the aid of this equation from the triple to the critical point have been tabulated in detail in the paper.

ЭНТРОПИИ ГАЗООБРАЗНЫХ ОДНОАТОМНЫХ ИОНОВ

В. П. Васильев, Е. К. Золотарев и К. Б. Яцимирский

При проведении различных термодинамических расчетов часто возникает необходимость иметь данные по энтропиям газообразных ионов. Эти величины требуются, например, при вычислении энтропий гидратации ионов, при количественном расчете ряда циклов, где промежуточным состоянием являются газообразные ионы, и в ряде других случаев.

Однако, несмотря на большой теоретический и практический интерес, который представляют данные по энтропиям газообразных ионов, в справочниках по термохимии, например, в справочнике [1], такие данные не приводятся.

Для вычисления энтропии газообразных одноатомных частиц пользуются известным уравнением статистической термодинамики [2]:

$$S = \frac{5}{2} R \ln T - R \ln p + \frac{3}{2} R \ln A - 2,313 + R \ln \rho_0 + R \ln \alpha, \quad (1)$$

где R — универсальная газовая постоянная; p — давление; A — атомный вес; ρ_0 — статистический вес основного электронного уровня; $R \ln \alpha$ — энтропия ядерного спина.

Энтропией вращения одноатомного газа обычно пренебрегают, поэтому в уравнении (1) отсутствует член, учитывающий вращение иона.

При расчетах химических равновесий при средних и высоких температурах (по крайней мере выше 0°C) энтропия ядерного спина может быть опущена [2].

Энтропия, вычисленная без учета энтропии ядерного спина и некоторых других факторов получила, как известно, название практической энтропии; выражение для нее, следовательно, будет

$$S = \frac{5}{2} R \ln T - R \ln p + \frac{3}{2} R \ln A - 2,313 + R \ln \rho_0. \quad (2)$$

В уравнении (2) первые четыре члена правой части представляют энтропию поступательного движения частицы (трансляционное слагаемое), а последний член — электронную составляющую энтропии с учетом только основного уровня. Уравнения (1) и (2) выведены в предположении, что учетом второго и следующего электронных уровней можно пренебречь.

После подстановки в уравнение (2) численных значений постоянных величин и величин, характеризующих стандартное состояние ($T = 273,16^\circ \text{K}$; $p = 1,0$ ат) окончательно получаем

$$S = 6,864 \lg A + 4,576 \lg \rho_0 + 26,00. \quad (3)$$

Таким образом, для вычисления энтропии одноатомного газообразного иона при стандартных условиях требуется знание только атомного веса частицы и статистического веса низшего (основного) электронного уровня.

Как известно, ρ_0 связано с квантовым числом полного момента количества движения иона J следующим соотношением:

$$\rho_0 = 2J + 1. \quad (4)$$

Величина J вычисляется из спектральных данных. Численные значения ее можно найти в справочной литературе [3], а также можно легко вычислить, если известна электронная конфигурация иона [4].

Таблица 1

Энтропия газообразных одноатомных ионов при стандартных условиях
($t = 25^\circ\text{C}$; $p = 1 \text{ атм}$)

Ион	Трансляционная составляющая энтропии, в. ед.	Электронная конфигурация иона	Терм. осн. состояния	J	P_0	Электронная составляющая энтропии, в. ед.	Энтропия газообразного иона, в. ед.
+	39,95	(Kr)4d ¹⁰	¹ S ₀	0	1	0	39,95
+	35,82	(Ne)	¹ S ₀	0	1	0	35,82
+	38,87	(Ar)3d ¹⁰ 4s ²	¹ S ₀	0	1	0	38,87
+	38,87	(Ar)3d ¹⁰	¹ S ₀	0	1	0	38,87
+	41,75	(Kr)4d ¹⁰ 4f ¹⁴ 5s ² 5p ⁶ 5d ¹⁰	¹ S ₀	0	1	0	41,75
+	33,10	(He)	¹ S ₀	0	1	0	33,10
++)	40,67	(Xe)	¹ S ₀	0	1	0	40,67
+	32,56	(He)	¹ S ₀	0	1	0	32,56
+	41,93	(Kr)4d ¹⁰ 4f ¹⁴ 5s ² 5p ⁶ 5d ¹⁰ 6s ²	¹ S ₀	0	1	0	41,93
*)	39,06	(Kr)	¹ S ₀	0	1	0	39,06
+	33,39	(He)	¹ S ₀	0	1	0	33,39
+	37,00	(Ar)	¹ S ₀	0	1	0	37,00
+	40,08	(Kr)4d ¹⁰	¹ S ₀	0	1	0	40,08
+	40,73	(Xe)4f	² F _{7/2}	5/2	6	3,56	44,29
*)	36,64	(Ar)	¹ S ₀	0	1	0	36,64
+	38,15	(Ar)3d ⁷	⁴ F _{9/2}	9/2	10	4,58	42,73
+	38,15	(Ar)3d ⁶	⁵ D ₄	4	9	4,37	42,52
+	37,78	(Ar)3d ⁴	⁵ D ₀	0	1	0	37,78
+	37,78	(Ar)3d ³	⁴ F _{9/2}	3/2	4	2,76	40,54
+	37,78	(Ar)	¹ S ₀	0	1	0	37,78
+	40,58	(Xe)	¹ S ₀	0	1	0	40,58
+	38,38	(Ar)3d ¹⁰	¹ S ₀	0	1	0	38,38
+	38,38	(Ar)3d ⁹	² D _{5/2}	5/2	6	3,56	41,94
+	38,38	(Ar)3d ⁸ 4s	⁴ F _{9/2}	9/2	10	4,58	42,96
+	38,38	(Ar)3d ⁸	³ F ₄	4	9	4,37	42,75
+	34,78	(Ne)	¹ S ₀	0	1	0	34,78
+	37,99	(Ar)3d ⁶	⁵ D ₄	4	9	4,37	42,36
+	37,99	(Ar)3d ⁵	⁶ S _{5/2}	5/2	6	3,56	41,55
+	38,63	(Ar)	¹ S ₀	0	1	0	38,63
+	41,46	(Kr)4d ¹⁰ 4f ¹⁴ 5s ² 5p ⁶	¹ S ₀	0	1	0	41,46
+	41,80	(Kr)4d ¹⁰ 4f ¹⁴ 5s ² 5p ⁶ 5d ¹⁰	¹ S ₀	0	1	0	41,80
+	40,14	(Kr)4d ¹⁰	¹ S ₀	0	1	0	40,14
+	40,54	(Kr)4d ¹⁰ 5s ² 5p ⁴	³ P ₂	2	5	3,27	43,81
+	40,54	(Xe)	¹ S ₀	0	1	0	40,54
+	37,03	(Ar)	¹ S ₀	0	1	0	37,03
+	40,71	(Xe)	¹ S ₀	0	1	0	40,71
+	31,77	(He)	¹ S ₀	0	1	0	31,77
+	35,51	(Ne)	¹ S ₀	0	1	0	35,51
+	37,94	(Ar)3d ¹⁵	⁶ S _{5/2}	5/2	6	3,56	41,50
+	37,94	(Ar)3d ⁴	⁵ D ₀	0	1	0	37,94
+	37,94	(Ar)3d ³	⁴ F _{9/2}	3/2	4	2,76	40,70
+	35,35	(Ne)	¹ S ₀	0	1	0	35,35
+	38,14	(Ar)3d ³	³ F ₄	4	9	4,37	42,51
+	38,14	(Ar)3d ⁷	⁴ F _{9/2}	9/2	10	4,58	42,72
*)	34,26	(Ne)	¹ S ₀	0	1	0	34,26
+	41,90	(Kr)4d ¹⁰ 4f ¹⁴ 5s ² 5p ⁶ 5d ¹⁰ 6s ²	¹ S ₀	0	1	0	41,90
+	41,90	(Kr)4d ¹⁰ 4f ¹⁴ 5s ² 5p ⁶ 5d ¹⁰	¹ S ₀	0	1	0	41,90
+	42,16	(Rn)	¹ S ₀	0	1	0	42,16
+	39,26	(Kr)	¹ S ₀	0	1	0	39,26
+	36,34	(Ar)	¹ S ₀	0	1	0	36,34
+	40,31	(Kr)4d ¹⁰ 5s ²	¹ S ₀	0	1	0	40,31
+	40,31	(Kr)4d ¹⁰	¹ S ₀	0	1	0	40,31
+	37,35	(Ar)	¹ S ₀	0	1	0	37,35
*)	39,02	(Kr)	¹ S ₀	0	1	0	39,02
+	35,94	(Ne)	¹ S ₀	0	1	0	35,94
+	40,24	(Kr)4d ¹⁰ 5s ²	¹ S ₀	0	1	0	40,24
+	40,24	(Kr)4d ¹⁰	¹ S ₀	0	1	0	40,24
*)	39,33	(Kr)	¹ S ₀	0	1	0	39,33
+	37,53	(Ar)3d ¹	² D _{5/2}	3/2	4	2,76	40,29

Таблица 1 (продолжение)

Ион	Трансляционная составляющая энтропии, в. ед.	Электронная конфигурация иона	Терм. основного состояния	J	P_0	Электронная составляющая энтропии, в. ед.	Энтропия газообразного иона, в. ед.
Ti ⁴⁺	37,53	(Ar)	¹ S ₀	0	1	0	37,53
Tl ⁺	41,86	(Kr) 4d ¹⁰ 4f ¹⁴ 5s ² 5p ⁶ 5d ¹⁰ 6s ²	¹ S ₀	0	1	0	41,86
Tl ³⁺	41,86	(Kr) 4d ¹⁰ 4f ¹⁴ 5s 5p ⁶ 5d ¹⁰	¹ S ₀	0	1	0	41,86
V ²⁺	37,72	(Ar)3d ³	⁴ F _{3/2}	3/2	4	2,76	40,48
V ³⁺	37,72	(Ar)3d ²	³ F ₂	2	5	3,27	40,99
V ⁴⁺	37,72	(Ar)3d ¹	² D _{3/2}	3/2	4	2,76	40,48
V ⁵⁺	37,72	(Ar)	¹ S ₀	0	1	0	37,72
Y ³⁺	39,38	(Kr)	¹ S ₀	0	1	0	39,38
Zn ²⁺	38,46	(Ar)3d ¹⁰	¹ S ₀	0	1	0	38,46
Zr ²⁺	39,45	(Kr)4d ²	³ F ₂	2	5	3,27	42,72
Zr ⁴⁺	39,45	(Kr)	¹ S ₀	0	1	0	39,45

Как известно,

$$J = L \pm S, \quad (5)$$

где L — квантовое число полного орбитального момента количества движения; S — квантовое число полного спинового момента. Квантовые числа L и S определяются из электронной структуры иона.

Если оболочка заполнена более, чем наполовину

$$J = L + S, \quad (6)$$

если меньше, чем наполовину

$$J = L - S. \quad (7)$$

В таблице приводятся результаты расчетов энтропии газообразных ионов по приведенным выше формулам.

Для большинства ионов электронные конфигурации и термы основного состояния взяты из справочной и обзорной литературы [3, 5]. В тех случаях, когда в указанных источниках необходимые данные отсутствовали, мы приписывали иону наиболее вероятную электронную структуру и термы основного состояния выводили по Грегори [4].

Последние значения в таблице отмечены звездочкой.

Выводы

Методом статистической термодинамики рассчитана энтропия 69 газообразных одноатомных ионов при стандартных условиях.

Ивановский химико-технологический институт

Поступила
5.VII.1957

ЛИТЕРАТУРА

1. F. D. Rossini, D. D. Wagman, W. H. Evans, S. Levin, J. Jaffe, Selected values of chemical thermodynamic properties, Washington, 1953.
2. И. Н. Годнев, Вычисление термодинамических функций по молекулярным данным, Гостехиздат, Москва, 1956.
3. Landolt-Börnstein, Zahlenwerte und Funktionen aus Physik, Chemie, Astronomie, Geophysik, Technik, 6. Auflage Berlin — Göttingen — Heidelberg, Springer — Verlag, 1950.
4. N. W. Gregory, J. Chem. Educ. 144, № 3, 1956.
5. Р. С. Ньюхольм, Успехи химии 25, 517, 1956.

THE ENTROPY OF GASEOUS MONOATOMIC IONS

V. P. Vasil'ev, E. K. Zolotarev and K. B. Yatsimirskii (Ivanovo)

Summary

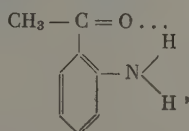
Employing statistical thermodynamic equations entropy values have been calculated for ions in the gaseous state for standard conditions.

ВНУТРИМОЛЕКУЛЯРНАЯ ВОДОРОДНАЯ СВЯЗЬ И ДИПОЛЬНЫЕ МОМЕНТЫ ОРГАНИЧЕСКИХ СОЕДИНЕНИЙ

III. АМИНО- И ДИМЕТИЛАМИНОАЦЕТОФЕНОНЫ

А. Е. Луцкий и В. В. Дорофеев

Электронные спектры аминокетофенонов и их NN-диметилпроизводных свидетельствуют [1] о наличии у *o*-аминокетофенона внутримолекулярной водородной связи типа:



также о более высокой степени участия в сопряжении диметиламино-группы с амино-группой. Поскольку эти особенности взаимодействия функциональных групп, судя по данным для соответствующих замещенных фенолов и нафтолов [2], должны найти свое отражение и в дипольных моментах μ молекул, представляло интерес определить последние для рассматриваемых соединений. В связи с этим были измерены значения диэлектрической проницаемости $\epsilon_{1,2}$ и плотности $d_{1,2}$ растворов *o*-, *m*- и *p*-амино- и NN-диметиламиноацетофенонов в бензоле в качестве растворителя. Синтез и очистка веществ и бензола, а также методика измерения $\epsilon_{1,2}$ и $d_{1,2}$ приведены ранее [1, 2]. Результаты измерений $\epsilon_{1,2}$ и $d_{1,2}$ даны в табл. 1, а рассчитанные значения μ сопоставлены в табл. 2.

Полученное нами значение μ *n*-аминоацетофенона почти совпадает с таковым у Курран и Эсток [3] и несколько выше, чем у Хассель и Несгама [4]. Значение μ *m*-аминоацетофенона, приведенное Вейцман [5], являясь несомненно ошибочным, что следует уже из данных самого автора по молярной поляризации, а также из того, что в случае соединений состава $\text{C}_6\text{H}_4\text{XY}$ при условии, когда X и Y — группы с противоположно направленным эффектом сопряжения, дипольный момент метאיзомера не может быть выше, чем у пара. Полученное нами значение μ *n*-диметиламиноацетофенона близко к таковому у *n*-диметиламинобензальдегида [3, 5]. Как следует из данных, приведенных в табл. 2, соотношения значений μ изомерных амино- и диметиламиноацетофенонов полностью подобны тем, какие наблюдаются у замещенных фенолов и нафтолов с внутримолекулярной водородной связью у *o*-изомеров. Так, μ *o*-аминоацетофенона аномально понижен сравнительно с таковым у его *n*-изомера; при этом значение $\Delta\mu = \mu_n - \mu_o$ (2,39 D) почти в 2 раза превосходит таковое у оксикетофенонов и приближается к значению $\Delta\mu$ у нитрофенолов (2,95 D) и нитроанилинов (2,0 D). Такого же размера $\Delta\mu = \mu_n - \mu_o$ наблюдается и у всех других подобных аминокетофенонов соединений, содержащих функциональные группы, способные в орто-положении давать сопряженную связь; аминокислот (2,0 D), их метиловых эфиров (2,0 D) [6] и др. С аномальным понижением μ у *o*-аминоацетофенона связано, очевидно, и то, что его дипольный момент резко уменьшен и

Таблица 1

Соединение	N ₂ , мол. %	d _{1,2}	ε _{1,2}	P _∞	MR _D	μ · 10 ¹⁸
o-Аминоацетофенон	0,0651	0,87391	2,2777	128,09	39,56	2,06
	0,0890	0,87399	2,2790			
	0,1271	0,87408	2,2815			
	0,1648	0,87415	2,2841			
	0,2196	0,87428	2,2870			
	0,0571	0,87392	2,2771			
	0,0910	0,87399	2,2790			
	0,1386	0,87412	2,2820			
	0,1861	0,87421	2,2846			
	0,2323	0,87430	2,2870			
и-Аминоацетофенон	0,0323	0,87390	2,2797	123,40	39,56	2,01
	0,0470	0,87398	2,2829			
	0,0650	0,87405	2,2859			
	0,0713	0,87412	2,2882			
	0,0216	0,87383	2,2776			
	0,0379	0,87392	2,2805			
	0,0544	0,87398	2,2831			
	0,0739	0,87408	2,2871			
	0,0908	0,87415	2,2896			
	0,0365	0,87396	2,2832			
п-Аминоацетофенон	0,0586	0,87410	2,2896	297,62	39,56	3,53
	0,0729	0,87421	2,2937			
	0,0907	0,87432	2,2997			
	0,0376	0,87388	2,2846			
	0,0527	0,87395	2,2893			
	0,0697	0,87403	2,2961			
	0,0867	0,87413	2,2982			
	0,1083	0,87423	2,3062			
	0,0572	0,87396	2,2834			
	0,0845	0,87403	2,2888			
o-Диметиламиноацетофенон	0,1140	0,87412	2,2940	445,00	39,56	4,42
	0,1456	0,87419	2,2997			
	0,0664	0,87396	2,2858			
	0,0971	0,87403	2,2903			
	0,1232	0,87409	2,2953			
	0,1544	0,87415	2,3008			
	0,0414	0,87389	2,2814			
	0,0641	0,87399	2,2859			
	0,0847	0,87405	2,2893			
	0,1075	0,87416	2,2936			
и-Диметиламиноацетофенон	0,0394	0,87389	2,2807	308,30	48,83	3,54
	0,0608	0,87399	2,2855			
	0,0795	0,87405	2,2885			
	0,1032	0,87415	2,2927			
	0,0231	0,87389	2,2824			
	0,0330	0,87394	2,2856			
	0,0435	0,87400	2,2894			
	0,0559	0,87408	2,2941			
	0,0214	0,87390	2,2818			
	0,0334	0,87398	2,2860			
п-Диметиламиноацетофенон	0,0448	0,87403	2,2903	572,01	48,83	5,03
	0,0546	0,87409	2,2941			
				582,03	48,83	5,08

сравнительно с таковым у незамещенного ацетофенона (\sim на 0,9 D), что как правило, наблюдается и у других соединений с внутримолекулярной водородной связью (у o-оксиацетофенона $\Delta\mu = \mu_{\text{C}_6\text{H}_4(\text{OH})\text{X}} - \mu_{\text{C}_6\text{H}_5\text{X}}$ равн 0,1—0,2 D; o-нитрофенола и o-аминометилбензоата — соответственно 0, и 0,83 D).

Дипольный момент o-аминоацетофенона резко понижен (на 0,86 D) сравнительно с рассчитанным, исходя из предположения о свободном вращении групп, по формуле Фукса [7]:

$$\mu = \{\mu_{\text{C}_6\text{H}_4\text{COCH}_3}^2 + \mu_{\text{C}_6\text{H}_4\text{NR}_2}^2 \pm 2\mu_{\text{C}_6\text{H}_4\text{COCH}_3}\mu_{\text{C}_6\text{H}_4\text{NR}_2} \cos \alpha \cos \beta \cos \omega\}^{1/2},$$

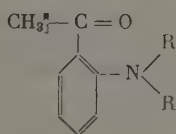
Таблица 2

Соединение	$\mu \cdot 10^{18}$ в бензоле (25°C)	$\mu \cdot 10^{18}$ в бензоле (лит.)	μ рассчитанное		
			своб. вращение	для конфигураций	
				I	II
$C_6H_4 (COCH_3) NH_2$	2,03	—	2,89	1,94	2,61
	3,56	5,4 [5]	3,59	—	—
	4,42	4,48 [8]	3,88	—	—
		4,29 [4]			
$C_6H_4 (COCH_3) N (CH_3)_2$	3,53	—	2,82	1,58	2,99
	3,58	—	3,72	—	—
	5,05	—	4,10	—	—

е α и β — углы наклона результирующего момента ацетильной и аминной (метиламинной) групп к их осям вращения, ω — углы между осями вращения. Углы α и β определены из значений μ парадизамещенных состава H_4X_2 (*n*-диацетил-, *n*-диамино- и *n*-диметиламинобензолов) по формуле:

$$\cos \alpha (\beta) = \left\{ 1 - \frac{\mu_{C_6H_4X_2-n}^2}{2\mu_{C_6H_4X}^2} \right\}^{1/2} \quad (2)$$

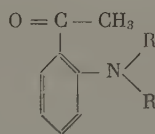
ри этом получены следующие значения α и β ; для $COCH_3$ — 40° , NH_2 — $^\circ$ и $N(CH_3)_2$ — 33° ; значения групповых моментов приняты для CH_3CO — $90 D$, NH_2 — $1,50 D$ и $N(CH_3)_2$ — $1,58 D$. И в этом *o*-аминоацетофенон изок к другим соединениям с внутримолекулярной водородной связью, ким, как *o*-оксиацетофенон или *o*-нитрофенол, у которых $\Delta\mu = \mu_{набл.} - \mu_{ассч.}$ также отрицательно и равно почти тому же значению (соответственно 53 и $0,9 D$) [2]. В отличие от *o*-аминоацетофенона, как это наблюдается у соответствующих замещенных фенолов, его параизомер, как и *o*-диметиламиноацетофенон, обладают дипольным моментом, наоборот, заметно превосходящим рассчитанный по (1). С другой стороны, значение дипольного момента *o*-аминоацетофенона почти совпадает с таковым, рассчитанным из моментов связей [8] для конфигурации (I), наличие которой необходимо для возможности образования внутримолекулярной водородной связи:



(I)

$R = H (\mu = 1,94D)$

$R = CH_3 (\mu = 1,58D)$



(II)

$R = H (\mu = 2,61D)$

$R = CH_3 (\mu = 2,99D)$

ри расчете значений μ были взяты для $COCH_3$ моменты связей и углы, приведенные Эйкенем и Мейером [8], а для amino- и диметиламино-групп приведенные выше групповые моменты и углы их наклона.

Замещение атомов водорода amino-группы у *o*-аминоацетофенона метильные приводит к образованию соединения с заметно повышенным дипольным моментом (на $1,50 D$). В этом отношении он также подобен другим соединениям с внутримолекулярной водородной связью, например,

с *о*-оксиацетофеноном и *о*-нитрофенолом, у которых переход к эфир сопровождается образованием соединений с резко повышенным дипольным моментом (соответственно на 1,2 на 1,7 D), и отличается от своих изомеров, поскольку у *м*-аминоацетофенона дипольный момент при замещении атомов водорода на метильные группы вообще не изменяется, а *п*-аминоацетофенона он растет, но в значительно меньшем размере (в 2 раза меньше).

Повышенное значение μ у параизомеров сравнительно с рассчитанным по (1) может быть объяснено [9] эффектом сопряжения групп, способствующим дальнейшему (сравнительно с монозамещенными) росту степени разделения зарядов в молекуле. Это следует из приближенно рассчитанной молекулярной диаграммы рассматриваемого типа соединений [10], а также из совпадения $\mu_{\text{набл.}}$ и $\mu_{\text{рассч.}}$ у *м*-изомеров, соединений, у которых сопряжение резко ослаблено.

Выводы

1. Определены значения дипольных моментов *о*-, *м*- и *п*-аминоацетофенонов и их NN-диметилпроизводных в бензоле в качестве растворителя.
2. Соотношение значений дипольных моментов изученных веществ подтверждают наличие у *о*-аминоацетофенона внутримолекулярной водородной связи.

Харьковский политехнический
институт им. Ленина

Поступила
6. VII. 1957

ЛИТЕРАТУРА

1. А. Е. Луцкий, В. В. Дорофеев, Ж. общ. химии, 27, 1059, 1064, 13, 1957.
2. А. Е. Луцкий, Ж. физ. химии, 23, 361, 1949; А. Е. Луцкий и Л. Кочергина, Ж. физ. химии, 33, 174, 1959.
3. В. С. Curran, G. Estok, J. Amer. Chem. Soc., 72, 4575, 1950.
4. O. Hassel, E. Naeshagen, Z. phys. Chem., B., 15, 417, 1931.
5. A. Weizman, Trans. Faraday Soc., 36, 329, 1940.
6. L. Blariconi, E. Gilbert, J. Amer. Chem. Soc., 61, 3238, 1939.
7. O. Fuchs, Z. phys. Chem., B., 14, 339, 1931.
8. A. Eucken, L. Meyer, Phys. Z., 30, 397, 1929.
9. E. Bergman, A. Weizman, Trans. Faraday Soc., 32, 318, 1936; A. Weizman, Trans. Faraday Soc., 36, 978, 1940.
10. J. Roberts, D. Semenov, J. Amer. Chem. Soc., 77, 3152, 1955.

THE INTRAMOLECULAR HYDROGEN BOND AND THE DIPOLE MOMENTS OF ORGANIC COMPOUNDS

III. AMINO- AND DIMETHYLAMINOACETOPHENONES

A. E. Lutskiĭ and V. V. Dorofeev (Charkov)

Summary

The relations of the dipole moments of isomeric aminoacetophenones and their N-dimethyl derivatives bear evidence of the applicability to substituted anilines of the same criteria for the presence of intramolecular hydrogen bonds among the *о*-isomers from data on the dipole moments as in the case of substituted phenol and naphthols.

ВЛИЯНИЕ МОЛЕКУЛЯРНОГО ВЕСА СТЕКЛОБРАЗНЫХ ПОЛИМЕРОВ НА ПЛОТНОСТЬ УПАКОВКИ ИХ ЦЕПЕЙ

II. ПОЛИМЕТИЛМЕТАКРИЛАТЫ

А. А. Тагер, М. В. Цилипоткина и В. К. Доронина

Основными методами, позволяющими оценивать плотность упаковки цепей полимеров, являются методы определения теплот растворения и терм сорбции [1—3]. В ряде работ было показано, что оценкой плотности упаковки является также знак энтропии смещения растворителя: сорбция паров низкомолекулярной жидкости на рыхлоупакованных жестких полимерах сопровождается уменьшением энтропии сорбирующегося вещества [4], сорбция паров низкомолекулярной жидкости плотноупакованными жесткими полимерами сопровождается небольшим увеличением энтропии [5].

При помощи этих методов было выяснено, что полистирол [1—4] и целлюлоза [6] имеют рыхлую упаковку, а молекулы поливинилового спирта упакованы плотно [5, 7]. Одновременно было показано, что низкомолекулярный полистирол упакован плотно, а по мере увеличения молекулярного веса рыхлость упаковки возрастает [8, 9]. Задачей данной работы являлось выяснение характера упаковки полиметилметакрилата. Также изучение влияния молекулярного веса полиметилметакрилата на степень уплотнения его макромолекул.

Экспериментальная часть

Данные по определению интегральных теплот растворения полиметилметакрилатов [10] свидетельствуют о том, что с ростом молекулярного веса до $M = 100\,000$ происходит заметное разрыхление, с дальнейшим увеличением молекулярного веса плотность упаковки изменяется умеренно, но непрерывно.

Учитывая вышесказанное, в качестве объектов исследования были выбраны три образца полиметилметакрилата с молекулярным весом 1 — $3,06 \cdot 10^6$ (образец 1); $2,4 \cdot 10^5$ (образец 2), 1932 (образец 3). Способы их получения описаны [10].

На рис. 1 представлены изотермы сорбции дихлорэтана и метилового эфира изомасляной кислоты наиболее высокомолекулярным образцом полиметилметакрилата (молекулярный вес $3,06 \cdot 10^6$). Метилловый эфир изомасляной кислоты является гидрированным мономером полиметилметакрилата, поэтому изучение взаимодействия с ним особенно представляет особый интерес. Из рис. 1

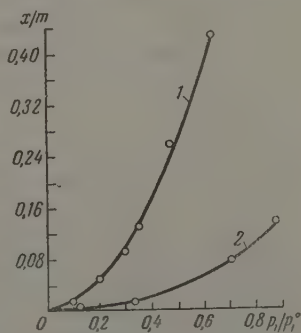


Рис. 1. Изотермы сорбции: 1 — полиметилметакрилат — дихлорэтан и 2 — полиметилметакрилат — метилловый эфир изомасляной кислоты

видно, что изотерма сорбции дихлорэтана идет значительно круче изотермы сорбции метилового эфира изомасляной кислоты; поскольку молекулярные веса сорбирующихся веществ практически одинаковы (дихлор-

этан — 98, метиловый эфир изомасляной кислоты — 102), то, следовательно, количества сорбирующихся веществ, выраженные в молях $a = x/M$, также сильно отличаются. Все это свидетельствует о том, что дихлорэтан поглощается полиметилметакрилатом в значительно больших количествах, чем гидрированный мономер.

По изотермам рис. 1 были рассчитаны величины $\Delta\mu_1 = \Delta\bar{Z}_1$ по уравнению

$$\Delta\bar{Z}_1 = \Delta\mu_1 = 2,3RT \lg(p_1/p_1^0).$$

Зависимость этих величин от соотношения компонентов, выраженное в весовых долях, представлена на рис. 2. Из рисунка следует, что для системы полиметилметакрилат — дихлорэтан величины $\Delta\bar{Z}_1$ значительно

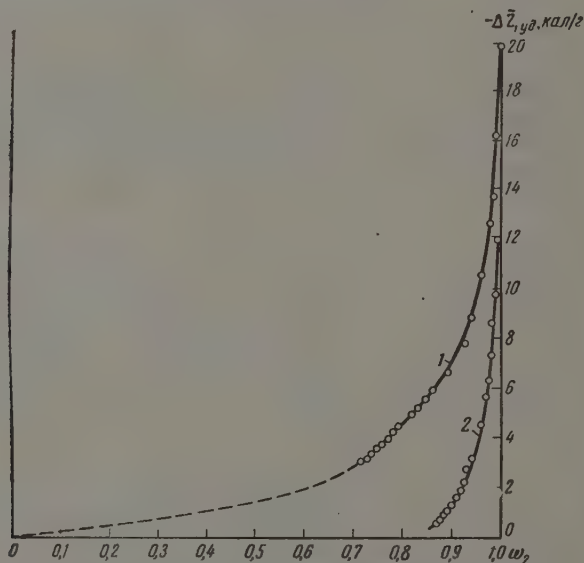


Рис. 2. Зависимость $\Delta Z_{уд}$ от состава раствора: 1 — полиметилметакрилат — дихлорэтан; 2 — полиметилметакрилат — метиловый эфир изомасляной кислоты

больше, чем для системы полиметилметакрилат — гидрированный мономер, т. е. дихлорэтан к полиметилметакрилату имеет значительно большее сродство, чем метиловый эфир изомасляной кислоты.

На рис. 3 представлены изотермы сорбции дихлорэтана тремя образцами полиметилметакрилата. Закономерность, вытекающая из этого рисунка, аналогична той, которая наблюдалась для полистиролов различного молекулярного веса [9], а именно: при малых относительных давлениях пара наибольшей сорбционной способностью обладает образец наибольшего молекулярного веса, за ним следует образец 2: низкомолекулярный полиметилметакрилат сорбирует очень мало. При относительном давлении пара, равном $\sim 0,3$, низкомолекулярный образец полностью растворяется, что сопровождается резким возрастанием величины сорбции — кривая пересекает кривые двух более высокомолекулярных образцов. (О) таком же характере влияния молекулярного веса полиметилметакрилата на его сорбционную способность свидетельствует рис. 4.

На рис. 5 приведены кривые зависимости интегральных теплот растворения, отнесенных к 1 г раствора ($-\Delta H$ кал/г раствора), от состава раство-

для трех исследованных образцов. Из рисунка видно, что по мере увеличения молекулярного веса образцов теплота растворения во всей области составов становится более положительной. Данными по теплотам растворения исследуемых образцов в гидрированном мономере мы не располагаем. Однако из соображений, изложенных в [10], следует, что теплота растворителя не должна сказываться на зависимости интегральной теплоты растворения от молекулярного веса полимера в пределах того полимерологического ряда.

По кривым рис. 5 методом пересечения отрезков [11] были рассчитаны значения парциальных энтальпий $\Delta \bar{H}_1$ и $\Delta \bar{H}_2$. Зависимость этих величин от состава раствора для двух образцов полиметилметакрилата приведена на рис. 6. Вид кривых является очень характерным, а именно: в области весовых долей от $\omega_2 = 0$ до $\omega_2 \approx 0,6$, величина $\Delta \bar{H}_1 = 0$, а $\Delta \bar{H}_2$ — постоянная величина (интегральная теплота рас-

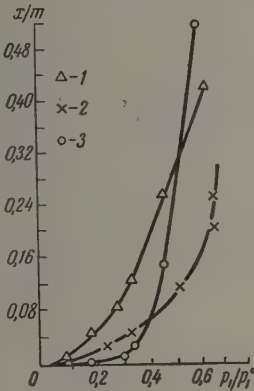


Рис. 3

Рис. 3. Изотермы сорбции полиметилметакрилат — дихлорэтан: 1 — образец 1; 2 — образец 2; 3 — образец 3

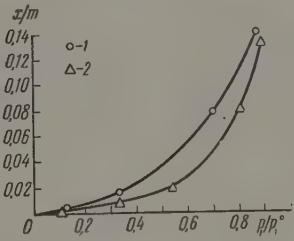


Рис. 4

Рис. 4. Изотермы сорбции полиметилметакрилат — метиловый эфир изомасляной кислоты: 1 — образец 1; 2 — образец 3

решения данного полимера). В области составов от $\omega_2 \approx 0,6$ до $\omega_2 = 1$ имеет место изменение обеих величин, при этом $\Delta \bar{H}_2$ уменьшается до нуля, а $\Delta \bar{H}_1$ увеличивается до постоянной величины. Оба образца резко отличаются друг от друга по абсолютным величинам $\Delta \bar{H}_2$ и особенно $\Delta \bar{H}_1$.

Располагая величинами $\Delta \mu_1$ и $\Delta \bar{H}_1$, мы имели возможность по уравнению

$$\Delta \mu_1 = \Delta \bar{H}_1 - T \Delta \bar{S}_1 \tag{2}$$

рассчитать величины $T \Delta \bar{S}_1$, зависимость которых от состава раствора представлена на рис. 7. Из рисунка следует, что для высокомолекулярных образцов общий характер зависимости $T \Delta \bar{S}_1 = f(\omega_2)$ такой же, как для систем полистирол — бензол и полистирол — этилбензол, а именно: начальная стадия сорбции сопровождается резким уменьшением энтропии растворителя. При этом глубина минимума на кривых рис. 7 тем больше, чем выше молекулярный вес. В отличие от низкомолекулярного полистирола, сорбция которым этилбензола сопровождается увеличением энтропии растворителя, сорбция дихлорэтана низкомолекулярным образцом полиметилметакрилата сопровождается уменьшением энтропии. Подобная закономерность наблюдалась нами при сорбции хлороформа на низкомолекулярном образце триацетилцеллюлозы [12].

Обсуждение результатов

Уменьшение энтропии при взаимном смешении компонентов не является специфическим свойством полимерных растворов. Уменьшение энтропии во всей области составов наблюдается также при смешении которых низкомолекулярных жидкостей друг с другом [13, 14]. что в последнее время связывают с ориентацией молекул [15]. Причиной ориен

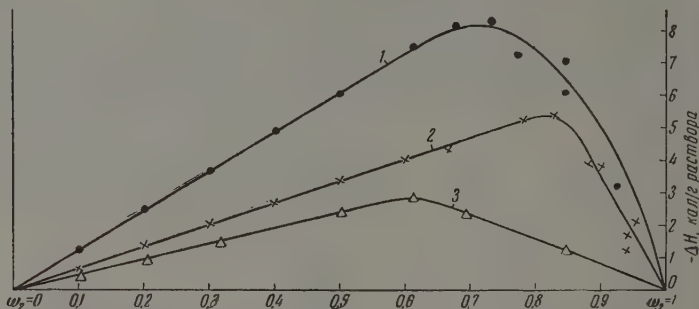


Рис. 5 Зависимость ΔH от состава раствора полиметилметакрилат — дихлорэтан: 1 — образец 1; 2 — образец 2; 3 — образец 3

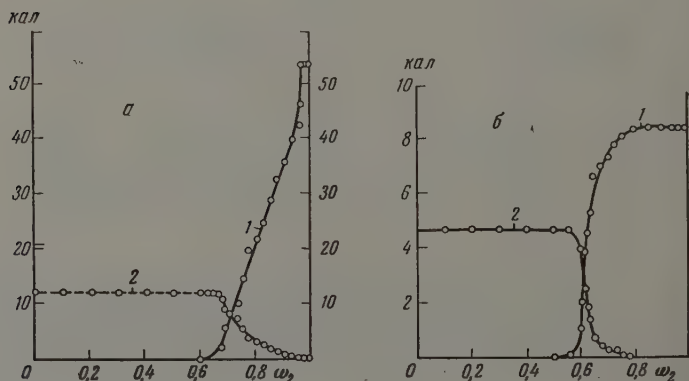


Рис. 6. Зависимость парциальных теплот растворения и разбавления (ΔH_2 и ΔH_1) от состава раствора полиметилметакрилат — дихлорэтан: а — образец 1; б — образец 3, 1 — ΔH_2 ; 2 — ΔH_1

ции является сильное межмолекулярное притяжение разнородных молекул, и поэтому вероятность ориентации больше в растворах полярных веществ.

Нам представляется, что уменьшение энтропии, наблюдающееся в результате взаимодействия низкомолекулярного образца полиметилметакрилата с хлорэтаном и низкомолекулярной триацетилцеллюлозы с хлороформом может быть объяснено ориентацией полярных молекул растворителя в определенных полярных группах этих полимеров. При взаимодействии неполярного низкомолекулярного полистирола с малополярным этилбензолом ориентация, вызванная сильным межмолекулярным притяжением, маловероятна. Поэтому взаимодействие сопровождается увеличением энтропии [9].

В свое время было показано, что одна полярная группа нитроцеллюлозы — ONO_2 притягивает к себе одну молекулу кетона [16], и это взаимодействие сопровождается значительным выделением тепла. Мюнстер считает, что вызванная таким сильным притяжением ориентация молекул ацетона является причиной более низких значений энтропии смешения в разбавленных растворах нитроцеллюлозы в ацетоне. Мы полагаем, что просто ориентацией молекул растворителя на группах полимера нельзя объяснить резкое уменьшение энтропии растворителя при проникновении его молекул в фазу образцов с высоким молекулярным весом.

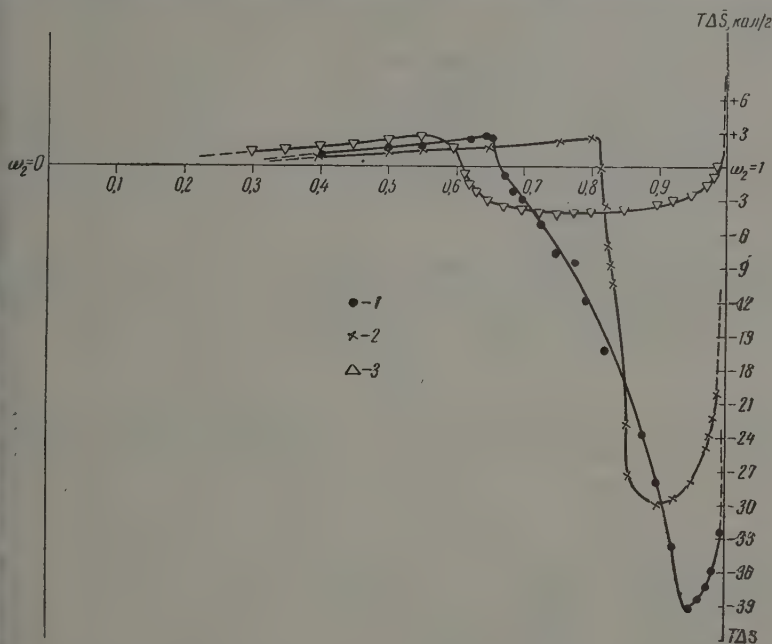


Рис. 7. Зависимость $T\Delta S_1$ от состава раствора полиметилметакрилат — дихлорэтан: 1 — образец 1; 2 — образец 2; 3 — образец 3

и бы дело было только в ориентации, то по-видимому, изменение энтропии не зависело бы от молекулярного веса полимера, так как ориентирующие группы одинаковы. В этом случае смешение высокомолекулярного истирола с этилбензолом или с бензолом должно было сопровождаться же увеличением энтропии. Но мы наблюдаем закономерное явление: увеличением молекулярного веса полиметилметакрилата, так же как олистирола, энтропия смешения становится все более отрицательной причиной (рис. 7). Резкое уменьшение энтропии растворителя нами было объяснено рыхлой упаковкой очень длинных жестких цепей, которым для образования плотной упаковки требуется очень большое время. Следовательно, рыхлая упаковка имеет релаксационный характер. Поэтому плохо упакованный полимер находится в неравновесном состоянии. Однако при релаксации при температурах много ниже температуры застеклования настолько велико, что образцы практически можно рассматривать как микропористые сорбенты, имеющие внутренние поверхности раздела. На этих поверхностях раздела образуются ориентированные адсорбционные слои, что всегда сопровождается уменьшением энтропии сорбирующей фазы и выделением тепла [18].

Низкомолекулярные члены полимергомологического ряда упакованы плотно, поэтому они не сорбируют пары, а сами растворяются. Процесс

их растворения аналогичен процессу смешения низкомолекулярных жидкостей. По мере увеличения молекулярного веса стеклообразных полимеров рыхлость упаковки возрастает, увеличивается сорбционная способность полиметилметакрилата, сорбция сопровождается большим тепловым эффектом и уменьшением энтропии, явлениями, характерными для адсорбционных процессов.

Таким образом, если для низкомолекулярных полимергомологов и для высокомолекулярных эластичных полимеров применимы законы растворения, то высокомолекулярные рыхлоупакованные стекла ведут себя как твердые пористые сорбенты, и здесь мы сталкиваемся с явлением адсорбции.

Следует подчеркнуть, что аналогия между рыхлоупакованными стеклообразными полимерами и твердыми пористыми сорбентами условна. Дело в том, что в отличие от активных углей или силикагелей, полистирол, сорбируя бензол или этилбензол, и полиметилметакрилат, сорбируя дихлорэтан, набухают, т. е. меняют свою структуру и постепенно растворяются. В начальной стадии сорбции, следовательно, рыхлоупакованный полимер является неравновесным, а по мере сорбции образуется равновесный гомогенный раствор.

Таким образом аналогия между рыхлоупакованными высокомолекулярными стеклами и твердыми пористыми коллоидными сорбентами справедлива только для начальной стадии сорбции.

Выводы

1. В работе проведено исследование сорбционной способности и теплоты сорбции и растворения полиметилметакрилатов разного молекулярного веса. Из экспериментальных данных рассчитаны значения ΔH_1 , ΔH_2 , ΔS_1 .
2. Показано, что сорбция паров дихлорэтана высокомолекулярным образцом полиметилметакрилата сопровождается выделением тепла и тем же самым уменьшением энтропии, что связано с рыхлой упаковкой стеклообразного полиметилметакрилата.
3. Показано, что по мере увеличения молекулярного веса полиметилметакрилата сорбционная способность его возрастает, теплота растворения становится более положительной, а парциальная энтропия смешения растворителя становится более отрицательной величиной. Весь опытный материал объяснен постепенным разрыхлением упаковки стеклообразного полиметилметакрилата по мере роста длины его цепей.

Уральский государственный
университет им. Горького
Свердловск

Поступила
8.VII.1957

ЛИТЕРАТУРА

1. А. А. Тагер и В. А. Каргин, Коллоидн. ж., 14, 367, 1952.
2. В. А. Каргин и Т. В. Гатовская, Ж. физ. химии, 30, 2051, 1956.
3. А. А. Тагер. Диссертация, Физико-химич. ин-т им. Л. Я. Карпова, 1956.
4. А. А. Тагер и Ж. С. Домбек, Коллоидн. ж., 15, 69, 1953.
5. А. А. Тагер и М. М. Иовлева, Ж. физ. химии, 32, 1774, 1958.
6. Х. У. Усманов и В. А. Каргин, Ж. физ. химии, 28, 224, 1954.
7. А. А. Тагер и В. А. Каргин, Ж. физ. химии, 32, 1362, 1958.
8. А. А. Тагер, Р. В. Кривокрытова и П. М. Ходоров, Докл. АН СССР, 100, 741, 1955.
9. Т. В. Гатовская, В. А. Каргин и А. А. Тагер, Ж. физ. химии, 29, 883, 1955.
10. А. А. Тагер, Ж. высокомолекулярных соединений, № 1, 1939.
11. Х. Карапетьянц, Химическая термодинамика, М., 1952.
12. А. А. Тагер и О. Попова, Ж. физ. химии, 33 (принята к печати 15.VI.1959).

- В. А. Киреев, Ж. физ. химии, 14, 1456 (1940).
 A. Münster, Trans. Faraday Soc., 46, 165, 1950.
 Н. Томра, J. Chem. Phys., 21, 250, 1953.
 В. А. Каргин и С. Папков, Ж. физ. химии, 7, 483, 1936; А. А. Тагер
 и В. А. Каргин, Ж. физ. химии, 15, 1036, 1941.
 A. Münster, J. Polymer Sci., 8, 633, 1952.
 С. Брунауэр, Адсорбция газов и паров, ГИИЛ, Москва, 1948.

THE EFFECT OF THE MOLECULAR WEIGHT OF VITREOUS POLYMERS ON THE PACKING DENSITY OF THEIR CHAINS

I. POLYMETHYLMETHACRYLATES

A. A. Tager, M. V. Tsilipotkina and V. K. Doronina (Sverdlovsk)

Summary

An experimental determination has been made of the isotherms of sorption of dichloroethane and methyl isobutyrate on polymethylmethacrylates of diverse molecular weights and of the heats of solution of the specimens in dichloroethane. The quantities $\Delta\mu_1$, $\Delta\bar{H}_1$ and $\Delta\bar{S}_1$ were calculated from the data obtained. It has been shown that with increasing molecular weight of polymethylmethacrylates a regular increase in their sorption capacity takes place, as well as a rise in the integral and partial heats of solution and dilution and a fall in the partial entropy of mixing of the solvent. The experimental data are explained as due to the gradual loosening of the polymethylmethacrylate packing with growth in length of the polymer chains.

ИССЛЕДОВАНИЕ ПО ТЕРМОДИНАМИКЕ ТВЕРДЫХ РАСТВОРОВ
ЗОЛОТА С СЕРЕБРОМ И МЕДЬЮ. I

*Ан. Н. Несмеянов, Л. А. Смахтин, Д. Я. Чопоров
и В. И. Лебедев*

До настоящего времени еще нет количественной теории твердых растворов. Даже для наиболее простого типа твердых растворов—бинарных сплавов—существующие приближения приложимы далеко не ко всем системам и часто даже качественно не согласуются с экспериментальными результатами.

Большое значение для создания теории твердых растворов должно иметь изучение термодинамических свойств сплавов. Из многочисленных методов исследования этих свойств практически важными являются: метод измерения электродвижущих сил, изучение равновесия некоторых химических реакций и измерение парциальных давлений пара компонент сплава.

Подавляющая часть проведенных до сих пор исследований относится к двум первым методам. Работ, в которых проводилось бы изучение термодинамических свойств твердых растворов путем измерения парциальных давлений пара компонентов сплава, до самого последнего времени не было. Это объясняется трудностью измерения чрезвычайно низких давлений пара компонентов твердых растворов. Лишь с развитием техники измерения низких давлений пара и, в особенности, с применением радиоактивных изотопов в различных исследованиях стало возможным проведение такого рода измерений.

В последние годы в печати появились исследования по измерению давлений пара компонентов твердых растворов, но сделанные лишь для одного из компонентов [1]. Поэтому одной из основных задач нашей работы явилась проверка применимости метода измерения давления пара для количественного исследования термодинамических свойств твердых растворов. С другой стороны, было интересно сравнить данные, полученные этим методом, с результатами применения других методов и сопоставить экспериментальные данные с существующими приближениями теории твердых растворов.

В настоящей статье описываются данные по измерению давления твердых золота, серебра и меди, поскольку литературные данные по давлению насыщенного пара чистых серебра, меди и, особенно, золота весьма разноречивы.

Экспериментальная часть

В работе использовались серебро, золото и медь 99,9%-ной чистоты, содержащие радиоактивные изотопы Au^{198} , Ag^{110} и Cu^{64} . Радиохимическая чистота золота и меди проверялась снятием кривых распада, которые совпадали с литературными данными. Остаточной активности долгоживущих изотопов в металлах не наблюдалось. Радиохимическая чистота серебра доказывалась осаждением с носителем возможных активных примесей: меди, сурьмы, висмута, железа, кадмия, золота и др. Переосажденные осадки имели активность, не превышающую 0,2% от взятой активности серебра.

Для измерения давления пара мы выбрали эффузионный метод Кнудсена с использованием прибора интегрального типа (рис. 1). Эффузионная камера целиком бы

на из молибдена. Глубина эффузионной ячейки камеры была равна 7 мм, а ее сечение 5 мм. Площадь эффузионного отверстия не превышала $2 \cdot 10^{-3} \text{ см}^2$. Испарившийся металл конденсировался на внутренней поверхности приемника, охлаждаемого проточной водой. Полнота конденсации паров металла на приемнике проверялась специальными опытами, в которых производилось определение количества металла, сконденсировавшегося ниже уровня эффузионного отверстия. Это количество не превышало 0,1% от общей активности конденсата. Конденсат с приемника смывался горячей царской водкой (в случае золота) или теплой азотной кислотой (в случае серебра и меди). Кислота для смывания содержала ~10 мг носителя в виде соли соответствующего металла.

После удаления азотной кислоты золото из раствора осаждалось в виде сульфида, серебро — в виде бромиды, а медь — в виде 8-оксихинолята.

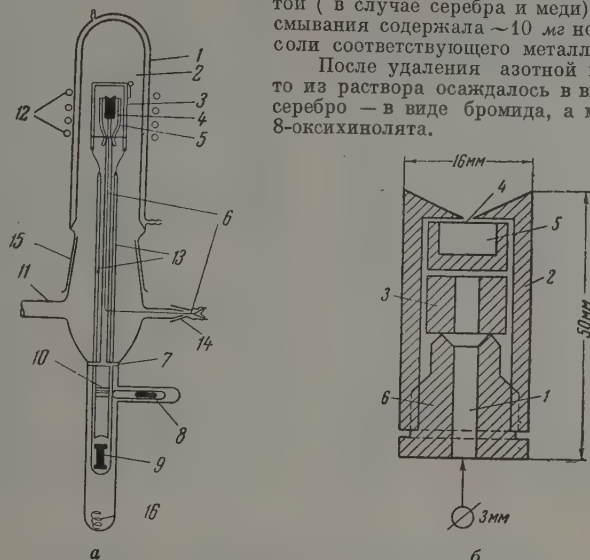


Рис. 1. а — прибор для измерения давления насыщенного пара: 1 — рубашка водяного охлаждения; 2 — приемник паров; 3 — кварцевый стакан с откидной крышкой, фиксирующий начало и конец экспозиции; 4 — эффузионная камера; 5 — кварцевый экран; 6 — термopара; 7 — крепление подставки для камеры; 8, 9 — якоря электромагнитов — фиксирующий и подъемный; 10 — приспособление для фиксации положения кварцевого стакана; 11 — к вакууму; 12 — индуктор для нагрева; 13 — стеклянные стойки подъемного механизма; 14 — шлиф для ввода термopары; 15 — шлиф, соединяющий приемник с прибором; 16 — амортизатор. б — эффузионная камера: 1 — канал для термopары; 2 — корпус камеры; 3 — поджимное кольцо; 4 — диафрагма; 5 — стакан для исследуемого вещества, 6 — основание камеры

Активность полученных осадков сравнивалась с активностью эталонов. Эталоны вились растворением в кислоте навески активного металла (золота, серебра или меди), употреблявшегося для измерения давления пара, и осаждением с носителем сульфида золота, бромиды серебра или 8-оксихинолята меди соответственно из алифатической части раствора. В случае золота и меди для всех образцов и эталонов снималась кривая распада, что уменьшало ошибку измерения активности ~ до 1%. Из кривых по активности вычислялось количество металла, сконденсировавшегося за время опыта на приемнике.

Давление насыщенного пара металла рассчитывалось по формуле:

$$p = \frac{17,14m}{Stk} \sqrt{\frac{T}{M}},$$

где p — давление пара в мм рт. ст., m — количество испарившегося металла в граммах, t — время в секундах, S — площадь эффузионного отверстия в см^2 , T — абсолютная температура, M — атомный вес металла, k — коэффициент Клаузинга, учитывающий сопротивление эффузионного отверстия молекулярному потоку испарившегося металла.

Экспериментальные данные по давлению пара приведены в табл. 1—3. Изученные данные для давления насыщенного пара серебра, золота и меди были обработаны методом наименьших квадратов.

Таблица

Давление насыщенного пара твердого золота

$l, \text{мм}$	$S \cdot 10^{-4}, \text{см}^2$	k	$t, \text{сек.}$	$m, \text{г}$	$T^\circ\text{К}$	$p, \text{мм рт. ст.}$	$\lg p$	$\frac{1}{T}$
0,03	5,83	0,90	1320	$1,298 \cdot 10^{-8}$	1225	$8,020 \cdot 10^{-7}$	-6,096	8,14
0,03	5,83	0,90	5400	$1,585 \cdot 10^{-7}$	1260	$2,427 \cdot 10^{-6}$	-5,632	7,9
0,03	5,83	0,90	4200	$1,360 \cdot 10^{-8}$	1175	$2,590 \cdot 10^{-7}$	-6,587	8,5
0,03	5,83	0,90	3600	$2,020 \cdot 10^{-8}$	1193	$4,520 \cdot 10^{-7}$	-6,445	8,3
0,03	5,83	0,90	1800	$2,560 \cdot 10^{-8}$	1238	$1,162 \cdot 10^{-6}$	-5,934	8,0
0,03	5,83	0,90	1800	$4,650 \cdot 10^{-8}$	1273	$2,145 \cdot 10^{-6}$	-5,668	7,8
0,03	5,83	0,90	3000	$1,744 \cdot 10^{-7}$	1293	$4,870 \cdot 10^{-6}$	-5,313	7,7
0,031	1,86	0,90	3600	$7,840 \cdot 10^{-8}$	1283	$6,215 \cdot 10^{-6}$	-5,207	7,7
0,031	1,86	0,828	3615	$3,935 \cdot 10^{-8}$	1265	$3,070 \cdot 10^{-6}$	-5,513	7,9
0,031	1,86	0,828	3800	$1,336 \cdot 10^{-7}$	1310	$1,009 \cdot 10^{-5}$	-4,996	7,6
0,031	1,86	0,828	10800	$6,155 \cdot 10^{-9}$	1157	$1,321 \cdot 10^{-7}$	-6,879	8,6
0,031	1,86	0,828	3660	$8,540 \cdot 10^{-8}$	1320	$6,655 \cdot 10^{-6}$	-5,177	7,9
0,031	1,86	0,828	3600	$4,100 \cdot 10^{-8}$	1264	$3,210 \cdot 10^{-6}$	-5,494	7,9
0,031	1,86	0,828	7200	$1,570 \cdot 10^{-8}$	1202	$6,000 \cdot 10^{-7}$	-6,222	8,3
0,031	1,86	0,828	7200	$3,485 \cdot 10^{-10}$	1087	$1,266 \cdot 10^{-8}$	-7,897	9,2
0,031	1,86	0,828	1200	$1,070 \cdot 10^{-8}$	1262	$2,517 \cdot 10^{-6}$	-5,599	7,9
0,031	1,86	0,828	1950	$8,920 \cdot 10^{-9}$	1237	$1,278 \cdot 10^{-6}$	-5,893	8,0
0,031	1,86	0,828	9000	$5,460 \cdot 10^{-10}$	1087	$1,587 \cdot 10^{-8}$	-7,799	9,2
0,042	11,22	0,989	3600	$2,416 \cdot 10^{-8}$	1178	$2,695 \cdot 10^{-7}$	-6,569	8,4
0,042	11,22	0,989	1800	$3,986 \cdot 10^{-8}$	1229	$8,817 \cdot 10^{-7}$	-6,055	8,1
0,03	13,72	0,933	3600	$1,597 \cdot 10^{-9}$	1089	$1,395 \cdot 10^{-8}$	-7,854	9,1
0,03	13,72	0,933	1800	$2,974 \cdot 10^{-7}$	1294	$5,666 \cdot 10^{-6}$	-5,247	7,7
0,03	13,72	0,933	2700	$3,313 \cdot 10^{-8}$	1181	$4,019 \cdot 10^{-7}$	-6,396	8,4
0,03	13,72	0,933	1800	$5,462 \cdot 10^{-8}$	1226	$1,013 \cdot 10^{-6}$	-5,994	8,1

Таблица

Давление насыщенного пара твердого серебра

$l, \text{мм}$	$S \cdot 10^{-4}, \text{см}^2$	k	$t, \text{сек.}$	$m, \text{г}$	$T^\circ\text{К}$	$p, \text{мм рт. ст.}$	$\lg p$	$\frac{1}{T}$
0,035	6,074	0,870	1800	$1,901 \cdot 10^{-6}$	1101	$1,094 \cdot 10^{-4}$	-3,961	9,08
0,035	6,074	0,870	1800	$1,526 \cdot 10^{-5}$	1182	$9,090 \cdot 10^{-4}$	-3,042	8,46
0,035	6,074	0,870	1803	$5,902 \cdot 10^{-6}$	1144	$3,456 \cdot 10^{-4}$	-3,461	8,74
0,035	6,074	0,870	900	$2,631 \cdot 10^{-5}$	1238	$3,214 \cdot 10^{-4}$	-2,493	8,07
0,035	6,074	0,870	3600	$8,177 \cdot 10^{-7}$	1040	$2,288 \cdot 10^{-5}$	-4,640	9,61
0,035	6,074	0,870	1800	$4,371 \cdot 10^{-6}$	1124	$2,540 \cdot 10^{-4}$	-3,595	8,89
0,035	6,074	0,870	1260	$5,592 \cdot 10^{-6}$	1154	$4,708 \cdot 10^{-4}$	-3,327	8,66
0,035	6,074	0,870	660	$1,088 \cdot 10^{-5}$	1212	$1,793 \cdot 10^{-4}$	-2,746	8,25
0,035	6,074	0,870	1200	$8,260 \cdot 10^{-7}$	1082	$7,087 \cdot 10^{-5}$	-4,149	9,24
0,017	8,74	0,950	1800	$3,226 \cdot 10^{-6}$	1103	$1,182 \cdot 10^{-4}$	-3,927	9,06
0,018	6,12	0,938	1980	$2,086 \cdot 10^{-6}$	1089	$8,860 \cdot 10^{-5}$	-4,052	9,13
0,018	6,12	0,938	1500	$6,936 \cdot 10^{-6}$	1144	$3,963 \cdot 10^{-4}$	-3,402	8,74

Ввиду сравнительно небольших интервалов температур, в которых были произведены измерения, использовалась зависимость давления пара от температуры в виде

$$\lg p = A + B/T.$$

Экспериментальные данные хорошо описываются этим соотношением.

Для давления насыщенного пара серебра в области температур 770–960° С мы получили уравнение:

$$\lg p = -14058/T + 8,8550.$$

Для давления насыщенного пара золота в области температур 820–1050° С уравнение:

$$\lg p = -18016/T + 8,6833.$$

Таблица 3

Давление насыщенного пара твердой меди

мм	$S \cdot 10^{-4}$ с.м. ⁻²	k	t, сек.	m, г	T, °K	p, мм рт. ст.	lg p	$\frac{1}{T} \cdot 10^4$
030	6,613	0,907	1320	$5,840 \cdot 10^{-8}$	1195	$5,465 \cdot 10^{-6}$	-5,262	8,368
030	6,613	0,907	3710	$5,560 \cdot 10^{-7}$	1235	$1,885 \cdot 10^{-5}$	-4,725	8,094
030	6,613	0,907	1885	$5,590 \cdot 10^{-7}$	1268	$3,775 \cdot 10^{-5}$	-4,423	7,886
030	6,613	0,907	2400	$3,940 \cdot 10^{-7}$	1242	$2,068 \cdot 10^{-5}$	-4,684	8,049
017	5,983	0,942	1380	$2,339 \cdot 10^{-6}$	1334	$2,352 \cdot 10^{-4}$	-3,628	7,496
017	5,983	0,942	1500	$7,740 \cdot 10^{-7}$	1286	$7,030 \cdot 10^{-5}$	-4,153	7,776
017	5,983	0,942	1500	$2,234 \cdot 10^{-7}$	1239	$1,995 \cdot 10^{-5}$	-4,700	8,071
030	13,72	0,933	2400	$2,740 \cdot 10^{-7}$	1205	$6,620 \cdot 10^{-6}$	-5,179	8,299
030	13,72	0,933	1200	$6,415 \cdot 10^{-6}$	1353	$3,286 \cdot 10^{-4}$	-3,483	7,391
030	13,72	0,933	1500	$2,476 \cdot 10^{-6}$	1281	$9,880 \cdot 10^{-5}$	-4,005	7,806
030	13,72	0,933	1500	$9,295 \cdot 10^{-7}$	1247	$3,643 \cdot 10^{-5}$	-4,438	8,019
010	18,86	0,980	2700	$5,600 \cdot 10^{-7}$	1192	$8,300 \cdot 10^{-6}$	-5,081	8,389
010	18,86	0,980	1800	$1,211 \cdot 10^{-5}$	1360	$2,874 \cdot 10^{-4}$	-3,541	7,353

Для давления насыщенного пара меди в области температур 920—80°С уравнение:

$$\lg p = -17320/T + 9,320.$$

Скрытые теплоты сублимации металлов при абсолютном нуле — ΔH_0^0 — были рассчитаны по формуле:

$$\frac{\Delta H_0^0}{T} = -R \ln p + \left(\frac{Z_0 - H_0^0}{T} \right)_{\text{тв}} - \left(\frac{Z_0 - H_0^0}{T} \right)_{\text{газ}}.$$

Значения функций $(Z_0 - H_0^0)/T$ для конденсированной и паровой фазы были взяты из табличных данных [2].

Для расчета наиболее надежного значения ΔH_0^0 были рассчитаны значения ϵ_i — величины отклонений от среднего значения ΔH_0^0 . Измерения с $|\epsilon_i| \gg \epsilon_{\text{ср}}$ были отброшены, и снова были найдены исправленные значения ΔH_0^0 и $\epsilon_{\text{ср}}$. Точность среднего арифметического обычно рассчитывается по формуле $\sigma_A = \pm \sigma/\sqrt{n}$, где σ — средняя квадратичная ошибка измерений, была определена по формуле

$$\sigma = \pm \sqrt{\frac{\sum \epsilon_i^2}{n-1}}.$$

Скрытые теплоты сублимации при абсолютном нуле ΔH_0^0 , рассчитанные описанным способом, для серебра, золота и меди составляли соответственно:

$$67630 \pm 50, 87520 \pm 110, 80980 \pm 140 \text{ кал/г-ат.}$$

На рис. 2, 3 и 4 приводятся давления насыщенного пара золота, серебра и меди как функции обратной температуры, полученные разными авторами. Для сравнения здесь же приведены результаты настоящей работы.

Для давления насыщенного пара твердого золота следует рекомендовать данные настоящей работы. По измерению давления пара твердого золота, кроме настоящей работы, имеется лишь одна работа Холла [3], в которой было измерено давление пара эффузионным методом на приборе дифференциального типа (в приборе, в котором, в отличие от интегрального, собирается не все испарившееся вещество, а лишь часть молекулярного пучка, выходящего из эффузионного отверстия).

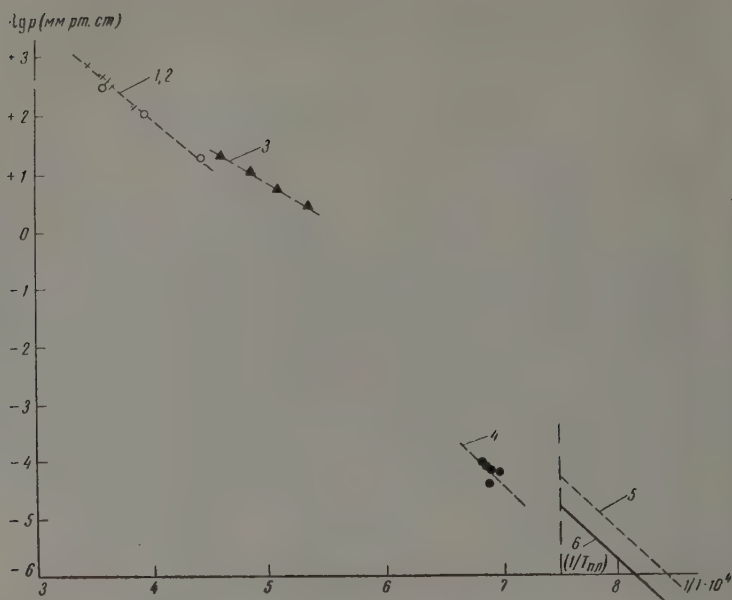


Рис. 2. Давление насыщенного пара золота

Данные работ: 1, 2—Руффа и Бергдала, Руффа и Коншака; 3—Бауэра и Брюннера; 4—Гартека; 5—Холла; 6—настоящей работы

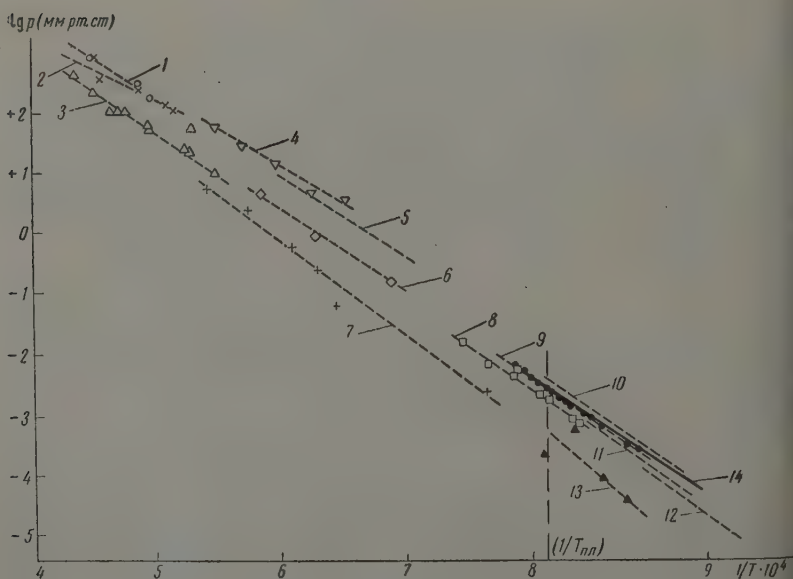


Рис. 3. Давление насыщенного пара серебра

Данные работ: 1—Гринвуда; 2—Руффа и Бергдала; 3—Фишера; 4—Бауэра и Брюннера; 5—Пьерсола; 6—Вартенберга; 7—Любимова и Грановской; 8—Гартека; 9—Макэйба и Бирченалла; 10—Шадела и Бирченалла; 11—Корнева; 12—Ан. Н. Несмеянова и др.; 13—Лэнгмюра, Джонса и Маккея; 14—настоящей работы

Применение указанной методики и неизбежный градиент температуры между нагреваемым металлом и горячим спаем термопары в приборе этого типа привели к систематическому завышению результатов измерений давления пара. Все имеющиеся в настоящее время данные по давлению пара жидкого золота ненадежны и могут рассматриваться как приближенные.

Как показывает анализ литературных данных и данных, полученных в настоящей работе, для твердого серебра наиболее надежными данными следует считать результаты работы Макэйба и Бирченалла [4] и данные, полученные в настоящей работе. Результаты, полученные Шаделем и

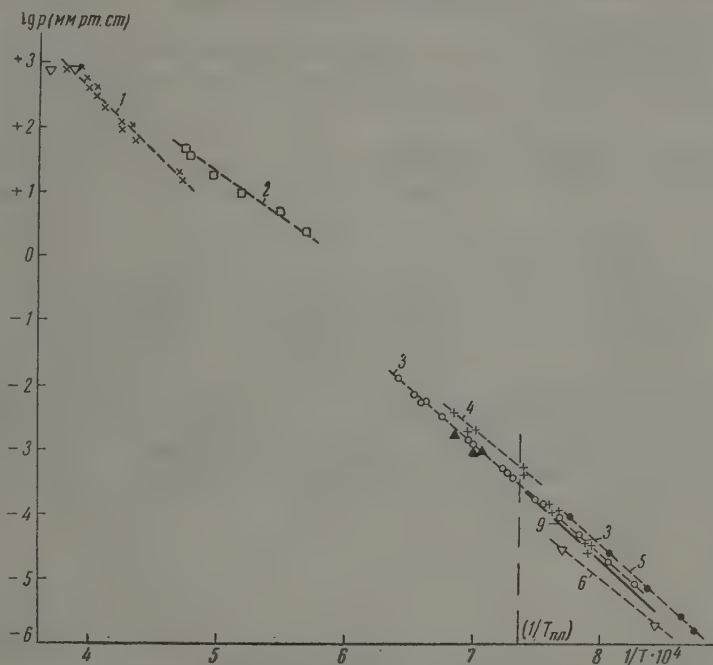


Рис. 4. Давление насыщенного пара меди

Данные работ: 1 — Руффа и Бергдала, Руффа и Коншака, Руффа и Мугдана; 2 — Бауэра и Брюннера; 3 — Герша; 4 — Маршала, Дорнта и Нортон; 5 — Доунинга, Эдвардса и Герцека; 6 — Гартека; 7 — Гринвуда (два светлых треугольника в левом верхнем углу рисунка); 8 — Лэнгмюра, Джонса и Маккея (три зачерненных треугольника в средней части рисунка); 9 — настоящей работы

Бирченаллом, по мнению самих авторов, являются завышенными. Результаты работы Гартека [6], напротив, занижены вследствие очень больших диффузионных отверстий и плохого вакуума. Результаты, полученные в работах Лэнгмюра [7] и Ан. Н. Несмеянова с сотрудниками [8], также занижены вследствие того, что при расчетах коэффициент испарения принят равным единице, что, очевидно, неверно. В работе Лэнгмюра, кроме того, возможна систематическая ошибка в измерении температуры. Наиболее надежными данными по давлению пара жидкого серебра следует считать результаты, полученные Фишером [9].

Анализ данных по давлению пара твердой меди показывает, что результаты, полученные в настоящей работе, данные работ Герша [10] и Маршала, Дорнта и Нортон [11] близки друг к другу и являются наиболее достоверными. Результаты работы Эдвардса и Доунинга с соавторами [12]

завышены из-за неверного измерения температуры. Данные Гартека, как и в случае серебра, занижены.

Для давления насыщенного пара жидкой меди, так же как и для давления пара твердой меди, наиболее надежными следует признать результаты Герша.

Выводы

1. Методом радиоактивных индикаторов измерено давление насыщенного пара твердого золота (в интервале температур 820—1050° С), серебра (770—960° С) и меди (920—1080° С).

2. Даны уравнения, выражающие изменение логарифма давления пара от обратной температуры.

3. Рассчитаны скрытые теплоты сублимации при абсолютном нуле для золота, серебра и меди, которые составили соответственно: 87520 ± 11 67630 \pm 50 и 80980 \pm 140 кал/г-ат.

Московский государственный
университет им. М. В. Ломоносова

Поступила
9.VII.1957

ЛИТЕРАТУРА

1. Ан. Н. Несмеянов, Л. А. Смахтин, В. И. Лебедев, Докл. АН СССР, 112, 700, 1957.
2. K. K. Kelly, Bull. Bur. Mines USA, № 385, 1935.
3. L. Hall, J. Amer. Chem. Soc., 73, 757, 1951.
4. C. L. Macabe, C. E. Birchenall, A. J. M. E., Trans., 197, 707, 1953.
5. H. M. Shadel, C. E. Birchenall, J. Metals, 188, 1134, 1950.
6. P. Harteck, Z. phys. Chem., 134, 1, 1928.
7. I. Langmuir, M. F. Mac-Kay, R. A. Jones, Phys. Rev., 30, 201, 1928.
8. Ан. Н. Несмеянов, Н. Ф. Лебедев, В. И. Лоагачев, Э. Г. Чудинов, Сессия АН СССР по мирному использованию атомной энергии (1957), заседание ОН, стр. 79—100.
9. J. Fisher, Z. anorgan. und allgem. Chem., 219, 367, 1934.
10. H. Hersh, J. Amer. Chem. Soc., 75, 1529, 1953.
11. A. L. Marchall, R. Dornte, F. I. Norton, J. Amer. Chem. Soc., 59, 1161, 1937.
12. J. H. Downing, W. Edwards, Heriek, J. Amer. Chem. Soc., 75, 246, 1953.

AN INVESTIGATION INTO THE THERMODYNAMICS OF SOLID SOLUTIONS OF GOLD, SILVER AND COPPER. I

An. N. Nesmeyanov, L. A. Smakhtin, D. Ya. Choporov
and V. I. Lebedev (Moscow)

Summary

The saturated vapor pressures of solid gold, silver and copper have been measured by the Knudsen effusion method, employing the radioactive isotopes Au¹⁹⁸, Ag¹¹⁰ and Cu⁶⁴ respectively. Treatment of the experimental data according to the method of least squares led to the following equations expressing the relation between the logarithm of the vapor pressure and the inverse temperature.

For solid gold over the temperature range 820—1050° C

$$\log p_{mm} = -18016/T + 8.6833$$

For solid silver

$$\log p_{mm} = -14058/T + 8.8550$$

For solid copper

$$\log p_{mm} = -17320/T + 9.320$$

From the experimental results on the saturated vapor pressures of the metals and from reported data [2] the latent heats of sublimation at absolute zero were calculated for gold, silver and copper, being found equal respectively to 87520 ± 110 cal/g, 67630 \pm 50 cal/g.at and 80980 \pm 140 cal/g.at.

ИЗУЧЕНИЕ ЭЛЕКТРОХИМИЧЕСКОГО ПОВЕДЕНИЯ ОЗОНА НА ПЛАТИНОВОМ ЭЛЕКТРОДЕ МЕТОДОМ КАТОДНОЙ ПОЛЯРОГРАФИИ

Е. И. Носова, А. А. Раков и В. И. Веселовский

Озон является энергичным окислителем, и ряд реакций озона связан этим его свойством.

Ряд авторов [1, 2], изучая процесс электрохимического образования озона при электролизе кислородсодержащих кислот, пытались разобраться механизме возникновения скачка потенциалов при взаимодействии озона инертным электродом. Однако при рассмотрении этого вопроса не было уделено должного внимания процессу образования кислородных соединений, возникающих при взаимодействии электрода с озоном, которые имеют большое значение в установлении скачка потенциалов озонового электрода, а их свойства должны определять поведение озонового электрода в электрохимических процессах.

Цель данной работы заключается в том, чтобы на основе полученного экспериментального материала по катодному восстановлению озона на платиновом электроде более подробно разобраться в механизме электродной реакции, протекающей в области высоких анодных потенциалов, подобно тому, как это было сделано в работах [3], посвященных изучению катодного процесса в различных электрохимических системах.

Экспериментальная часть

Постановка опыта. Прибор, применяемый нами для снятия кривых потенциал — сила тока, был описан в опубликованных ранее работах нашей лаборатории [4].

Во всех опытах скорость вращения платинового микроэлектрода была равна 100 об./мин. Электрод был изготовлен в виде гладкой проволоки с видимой поверхностью $0,13 \text{ см}^2$.

Перед опытом электрод помещался на 5—10 мин. в горячую концентрированную HNO_3 , после чего промывался в бидистилляте. Потенциал электрода измерялся против нормального водородного электрода в том же растворе при помощи катодного вольтметра. Величина тока фиксировалась каждый раз при изменении потенциала на 20 мВ.

Озон требуемой концентрации получался в специальном электролизере при низких температурах. Озоново-кислородная смесь из электролизера поступала в реакционный сосуд или в калиброванную газовую бюретку, в которой могла разбавляться кислородом до нужной концентрации. Перед впуском в прибор газ сушился концентрированной серной кислотой и анализировался на содержание в нем озона.

Проведение опыта. Перед снятием i — ϕ -кривых через исследуемый электрод объемом 14—15 мл пропусклась озоново-кислородная смесь известного состава в течение 30 мин. За это время потенциал электрода достигал постоянного значения 1,6 В, которое сохранялось без изменения несколько часов после прекращения барботажного газа через раствор.

Предварительными опытами было показано, что хорошо воспроизводимые результаты и наиболее отчетливая форма кривой получаются на соответствующим образом активированной поверхности электрода [4].

При снятии i — ϕ -кривой на электрод накладывалось напряжение, равное 1,8—2,7 В, и начиналось изменение его в катодном направлении до потенциала 0,1 В, после чего спиналась обратная кривая до потенциала 1,7—1,8 В. Одновременно через определенные интервалы потенциалов фиксировался ток. В дальнейшем для краткости изложения мы условимся называть полярограммы, снятые при изменении потенциала электрода от положительных значений к отрицательным, кривыми прямого хода, а снятые в обратном направлении — кривыми обратного хода.

Результаты измерений. Стационарный потенциал платинового электрода в растворах, содержащих озон. Была исследована зависимость величины стационарного потенциала (без тока поляризации) от температуры и концентрации озона.

В табл. 1 приведены значения стационарного потенциала в зависимости от температуры при постоянной концентрации озона в $10N$ H_2SO_4 , равной $6,1 \cdot 10^{-4}$ моль/л.

Таблица 1

$t, ^\circ C$	-70	-50	-30	0	+25
$\varphi_{\text{стац}}, V$	1,68	1,66	1,62	1,61	1,60

В табл. 2 дана зависимость величины стационарного потенциала платинового электрода от концентрации озона в электролите при $25^\circ C$.

Таблица 2

O_3 , моль/л	$8,05 \cdot 10^{-3}$	$1,74 \cdot 10^{-4}$	$3,62 \cdot 10^{-4}$	$1,54 \cdot 10^{-4}$
$\varphi_{\text{стац}}, V$	1,57	1,60	1,62	1,64

Значения потенциалов, приведенных в табл. 1 и 2, получены через 30 мин. после начала насыщения электролита газом.

В табл. 3 приведены значения потенциала платинового электрода в зависимости от концентрации озона в газовой фазе при $25^\circ C$.

Из табл. 3 видно, что при концентрации озона в газе 0,07% электрод принимает значение потенциала, равное 1,53 V. Наши данные хорошо согласуются с данными, описанными в литературе [1, 2].

Таблица 3

Концентрация O_3 , газ. %	$\varphi_{\text{стац}}, V$
0,02	1,28
0,07	1,52
0,14	1,50
0,33	1,55
0,60	1,57
0,67	1,60
0,86	1,60

Из материала, изложенного в этом разделе, следует, что появление уже следов озона в растворе достаточно, чтобы платиновый электрод принял высокий анодный потенциал (1,5 V). Это явление может быть использовано для качественного определения озона в газе и растворе.

Реакция катодного восстановления озона в $10N$ H_2SO_4 при $25^\circ C$. Изучение электр

химических свойств озона и кинетики катодного восстановления его на платиновом электроде проводилось полярографическим методом в зависимости от концентрации озона в электролите.

На рис. 1 приведена полярограмма, снятая в $10N$ H_2SO_4 , насыщенном воздухом, при $25^\circ C$. Волна с $\varphi_{1/2} = 0,68$ V соответствует процессу катодного восстановления кислорода до перекиси водорода [5]. На том же рисунке приведены полярографические кривые прямого и обратного хода, полученные при $25^\circ C$ на вращающемся платиновом микроэлектроде в растворе $10N$ H_2SO_4 , насыщенной 20%-ным озоном. Как видно из рисунка, на кривой прямого хода имеются две волны, разделенные четкой площадкой предельного тока. Волна с $\varphi_{1/2} = 0,68$ V соответствует процессу восстановления кислорода до перекиси водорода. Волна с $\varphi_{1/2} = 1,30$ V харак

лизует процесс катодного восстановления озона на платиновом электроде. Величина предельного тока этой волны прямо пропорциональна концентрации озона в растворе или в газовой фазе при постоянной скорости движения электрода. На рис. 2 показана зависимость величины предельного тока волны восстановления озона от концентрации его в электролите. Наличие линейной зависимости между концентрацией озона в растворе и величиной диффузионного тока может служить основой для количественного анализа озона в растворе или газе методом полярографии. В табл. 4 приведены значения предельных токов озоновой и кислородной волн, полученных в 10 N H₂SO₄ при 25° С и разных концентрациях озона в растворе.

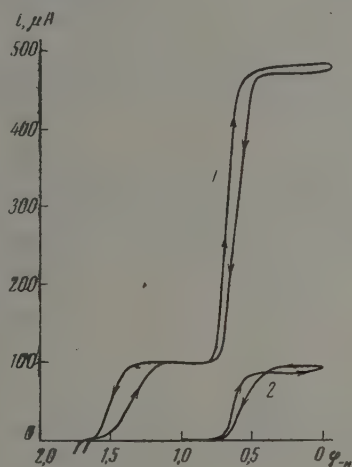


Рис. 1

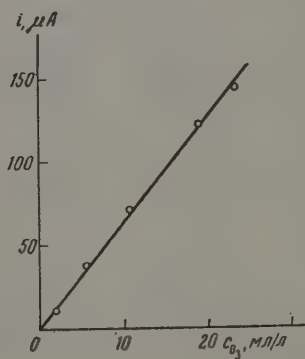


Рис. 2

Рис. 1. Катодные полярограммы, полученные в 10 N H₂SO₄; 1 — катодные полярограммы, снятые в растворе, насыщенном озоном, при прямом и обратном ходе; 2 — катодные полярограммы, полученные в растворе, насыщенном кислородом, при прямом и обратном ходе

Рис. 2. Кривая зависимости величины диффузионного тока от концентрации озона в электролите

Было установлено, что в течение 2 час. в условиях опыта практически происходит разложения озона. В табл. 5 даны величины предельных токов, полученных при полярографии одного и того же раствора, в течение 2 час.

Таблица 4

Концентрация O ₃ в растворе, мл/л	2,6	4,4	12,2	16,6	18,8	26,6	0,4
$i_{d_{O_3}}, \mu A$	19	32	80	106	120	170	5.0
$i_{d_{O_2}}, \mu A$	241	288	360	360	510	560	—

Таблица 5

Время после насыщения O ₃ раствора, минуты	10	60	120
$i_{d_{O_3}}, \mu A$	154	160	162

Как видно из рис. 1, обратный ход полярографической кривой также имеет две волны, но с другими значениями потенциалов полуволн ($\varphi_{1/2} = 0,65$ В и $\varphi_{1/2} = 1,55$ В).

Различие в значениях потенциалов полуволн восстановления озона при прямом и обратном ходе полярограмм, т. е. наличие петли гистерезиса между ними, по-видимому, обусловлено необратимостью процесса.

Влияние температуры на катодное восстановление озона. Восстановление озона на платиновом электроде проводилось при -70 , -50 , -30 , 0 и $+25^\circ\text{C}$. На полярограммах, снятых в $10\text{ N H}_2\text{SO}_4$, насыщенной озonom, при -30°C в области потенциалов восстановления озона наблюдаются две волны (рис. 3) ($\varphi'_{1/2} = 1,55$ В и $\varphi''_{1/2} = 1,23$ В). Разделение озоновой волны на два участка особенно хорошо наблюдается при -70°C (рис. 4) ($\varphi'_{1/2} = 1,53$ В и $\varphi''_{1/2} = 1,18$ В).

При низких температурах строгой линейной зависимости между величиной диффузионного тока озоновой волны и концентрацией озона в растворе не наблюдалось. Следует отметить, что потенциал полуволны восстановления кислорода при низких температурах сдвигается в сторону отрицательных значений.

Было замечено, что чем ниже температура электролита, тем больше петля гистерезиса между кислородными волнами при прямом и обратном ходе полярографических кривых.

Влияние концентрации водородных ионов и анионного состава электролита на электрохимическое восстановление озона. Полярограммы электрохимического восстановления озона на платиновом электроде были сняты в растворах $0,1$; $1,0$; $10\text{ N H}_2\text{SO}_4$; $0,1$ и $5,6\text{ N HClO}_4$.

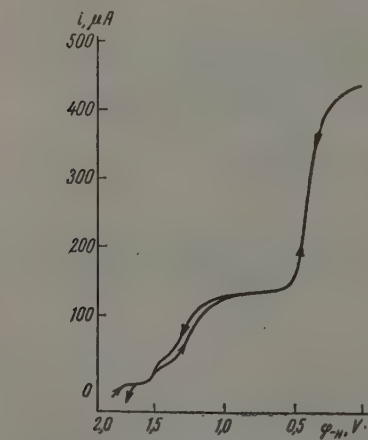


Рис. 3. Катодная полярограмма, полученная в $10\text{ N H}_2\text{SO}_4$, насыщенной озonom при -30°C (прямой и обратный ход)

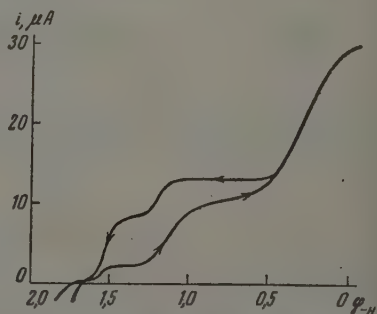


Рис. 4. Катодная полярограмма, полученная в $10\text{ N H}_2\text{SO}_4$, насыщенной озonom при -70°C (прямой и обратный ход)

Величина предельного тока и $\varphi_{1/2}$ волны восстановления озона, полученная при 25°C в растворах серной и хлорной кислот, зависит от концентрации водородных ионов и не зависит от природы аниона кислоты.

табл. 6 приведены потенциалы полуволн восстановления озона для прямо и обратного хода кривых, снятых в растворах серной и хлорной кислот при 25° С.

Из данных, приведенных в табл. 6, видно, что с уменьшением концентрации кислоты петля гистерезиса между озоновой волной при прямом и обратном ходе полярограммы уменьшается, соответственно сдвигается потенциал полуволны в отрицательную сторону. Из этого следует, что процесс восстановления озона в слабoкислых растворах идет с большим перенапряжением, и в этом случае устанавливается линейная зависимость величины предельного тока от концентрации озона растворенного в 1,0 M H_2SO_4 , и парциального давления озона в газе. Этот факт подтверждает применимость закона Генри к случаю растворения озона в серной кислоте разнoй концентрации в пределах содержания его в газовой фазе от 0,5 до 25 % и выше, что было показано ранее в работах других исследователей [6]. Величина предельного тока волны восстановления озона существенно зависит от концентрации кислоты, увеличиваясь при разбавлении последней. Возможной причиной этого явления может быть увеличение коэффициента диффузии с изменением вязкости раствора при его разбавлении. Полярограммы, полученные в хлорной кислоте, ничем не отличаются от полярограмм, снятых в серной кислоте, если опыты проводятся при 25° С. При снижении температуры электролита (HClO_4) до -50° С наблюдается не которое отличие, заключающееся в том, что разделение волны восстановления озона на две части на кривой прямого хода выражено слабо.

Обсуждение результатов

Исходя из значений свободной энергии озона и воды [5] для электрохимического процесса $\text{O}_3 + \text{H}_2\text{O} = \text{O}_2 + 2\text{H} + 2\text{e}$, получаем, что потенциал данной реакции будет равен 2,07 V.

Несоответствие величины потенциала измеренного озонового электрода величинoй, рассчитанной из термодинамических данных, вызвано необратимостью реакций, протекающих на электроде, и, по-видимому, главной причиной, вызывающей отклонение от равновесного потенциала озонового электрода, является возникновение сопряженных реакций, сдвигающих потенциал озонового электрода в сторону более отрицательных значений. Фактически существующей сопряженной в данных условиях реакции при этих значениях потенциалов может являться процесс выделения кислорода. Поэтому реализация обратимого равновесного потенциала озонового электрода может быть осуществлена в том случае, если будет найден электродный материал, обладающий значительно большим кислородным перенапряжением, чем золото и платина.

Известно, что окислительное число озона может быть различным в зависимости от того, сколько атомов кислорода отдается окисляемому веществу. В одних случаях возможны реакции с присоединением всей молекулы озона к окисляемому веществу с образованием озонидов, в других окисляющиеся вещества присоединяют только один атом кислорода озона, а оставшиеся два атома образуют молекулу кислорода. Более сложные реакции являются, вероятно, результатом комбинации этих двух.

И в первом и во втором случае происходит присоединение электрона молекуле озона или атому кислорода, поэтому величина сродства к электрону этих веществ при прочих равных условиях может служить энергетической характеристикой данных реакций.

Для озона энергия сродства к электрону равна 67 ккал, а для кислорода 22 ккал [7].

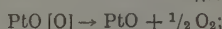
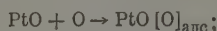
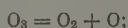
Однако образование и устойчивость озонидов определяются интервалом температур от -70 до -30° С. Повышение температуры приводит к доста-

точно быстрому их разрушению с выделением кислорода и радикал гидроксила, которые и обуславливают окислительные свойства иона. При температуре выше нуля окислительные свойства озона обуславливаются в основном атомарным кислородом, образующимся при разложении озона.

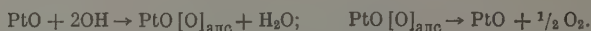
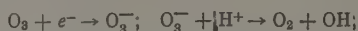
На основании вышеизложенного мы приходим к выводу, что на поверхности платины, контактирующей с озоном, в присутствии электролита в зависимости от температуры среды возможны как реакция $O_3 = O_2 +$ так и $O_3 + e = O_3^-$. Соотношение между этими реакциями будет, в первую очередь, определяться температурным фактором. Наши экспериментальные данные позволяют заключить, что первая реакция будет определяющей электродный процесс при температуре выше нуля. В этих условиях процесс восстановления протекает в одну стадию. При -30°C и ниже имеет место вторая реакция; при этом процесс восстановления озона идет в две стадии.

Можно предполагать, что на поверхности платины в кислой среде насыщенной озоном, протекают следующие реакции:

При температуре выше нуля

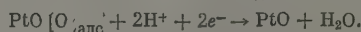


При температуре ниже -30°C



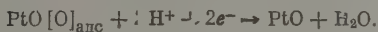
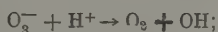
Катодная поляризация платинового электрода, погруженного в кислую, насыщенную озоново-кислородной смесью, приводит к восстановлению озона до молекулярного кислорода, кинетическая кривая этого процесса имеет две полярографические волны с $\varphi_{1/2} = 1,36 \text{ V}$ и $\varphi_{1/2} = 0,68 \text{ V}$. Волна с $\varphi_{1/2} = 1,36 \text{ V}$ характеризует процесс восстановления озона, так как предельный ток ее прямо пропорционален концентрации озона. Анализ данных, полученных при катодном восстановлении озона, позволяет утверждать, что в нашем случае единственным продуктом исследуемой реакции является кислород. Подтверждением этого может служить наблюдаемая зависимость величины предельного тока волны восстановления кислорода от концентрации растворенного озона. Кислород, образующийся при восстановлении озона, создает повышенную концентрацию в приэлектродном слое по сравнению с концентрацией кислорода в объеме раствора, поэтому при потенциалах восстановления кислорода предельный ток ($i_{\text{до}}$), будучи определялся не только концентрацией его в электролите, но и кислородом, образованным при восстановлении озона.

Каталитический распад озона в условиях опыта, как это было показано выше, крайне незначителен. Таким образом, если учесть, что озон окисляет поверхность платинового электрода до высших кислородных соединений и что при этом одновременно образуется молекулярный кислород, то механизм катодного восстановления его на электроде при температуре выше нуля градусов можно себе представить в виде следующей схемы:



Об участии кислородных соединений платины в этом электрохимическом процессе указывает определенная зависимость величины диффузионного тока от состояния поверхности электрода (влияние предварительной активации электрода). Следует указать, что исследуемый процесс

является чисто электронным, о чем свидетельствует величина наклона полярграфической волны, которая соответствует 450 mV. Восстановление озона на платиновом электроде следует представлять в виде сложного электрохимического и электрохимического процесса, идущего необратимо с большим перенапряжением. С понижением температуры раствора до -70°C низм и кинетика электрохимического процесса меняются; появление волн в области потенциалов восстановления озона указывает на существование двух стадий процесса. Понижение температуры приводит к торможению реакции $\text{O}_3 = \text{O}_2 + \text{O}$ и благоприятствует адсорбционному взаимодействию платины с озоном с последующей стадией его ионизации до реакции $\text{O}_3 + e^- \rightarrow \text{O}_3^-$. Этой реакции, по-видимому, соответствует полярграфическая волна с $\varphi_{1/2} = 1,5\text{ V}$. Дальнейший процесс приводит к тому, что ион озонида (O_3) окисляет [7] платину до образования поверхностного высшего кислородного соединения по следующей схеме:



Процессу восстановления высшего кислородного соединения платины соответствует, очевидно, вторая волна с $\varphi_{1/2} = +1,18\text{ V}$. Как видно из приведенных данных, перенапряжение восстановления озона с понижением температуры увеличивается. Это обусловлено стабилизацией кислородных соединений платины, что подтверждается данными, полученными из изгибов спада потенциала после размыкания тока поляризации, и изменений при помощи переменного тока. Анализ полученных экспериментальных данных приводит к заключению, что процесс катодного восстановления озона и механизм возникновения скачка потенциала озонового электрода должны проходить через стадию хемосорбционного взаимодействия озона и продуктов его распада с поверхностью электрода с образованием поверхностных кислородных соединений металла, специфические свойства которых будут определять кинетику и механизм электрохимического процесса.

Выводы

Исследованы электрохимические свойства озона, растворенного в серной кислоте, методом полярграфии на вращающемся платиновом электроде при 25, 0, -30 , -50 и -70°C .

Катодное восстановление растворенного озона дает полярграфическую волну с $\varphi_{1/2} = 1,30\text{ V}$ и $\varphi_{1/2} = 1,56\text{ V}$ (при прямом и обратном ходе полярграфической кривой) и предельным током, пропорциональным концентрации озона в растворе.

Показана возможность применения метода катодной полярграфии вращающимся платиновым электродом для количественного определения озона в растворе и в газовой фазе.

Установлено, что при -50 и -70°C восстановление озона идет в две стадии, и дано истолкование этому явлению.

Предложен возможный механизм катодного восстановления озона, заключающийся в том, что в качестве реакции, определяющей скорость процесса, принимается реакция образования и восстановления поверхностных кислородных соединений платины.

ЛИТЕРАТУРА

1. L. Gräfenberg, *Z. anorgan. Chem.*, **36**, 355, 1903; E. Briner, *T. Nat. Helv. chim. acta*, **20**, 1510, 1937; E. Briner, *Helv. chim. acta*, **24**, 109, 1941; E. Briner A. Valda, *Helv. chim. acta*, **25**, 98, 1942; E. Briner, *Helv. chim. acta*, **26**, 1829, 1943; **31**, 172, 1948; *Bull. Soc. chim. France*, **1**, 1, 1948.
2. J. Inglis, *J. Chem. Soc.*, **83**, 1010, 1903.
3. Т. И. Борисова и В. И. Веселовский, *Ж. физ. химии*, **27**, 1953; Л. М. Елина, Т. И. Борисова, И. И. Залкинд, *Ж. химии*, **28**, 785, 1954; Н. А. Томашов и А. З. Валиулина, *Ж. химии*, **46**, 417, 1952; К. Н. Розенталь и В. И. Веселовский, *Докл. АН СССР*, **111**, 637, 1956.
4. А. А. Раков и К. И. Розенталь, *Заводск. лаборатория*, **4**, 495, 1953; К. И. Розенталь и В. И. Веселовский, *Ж. физ. химии*, **27**, 1953; Е. И. Яковлева и К. И. Розенталь и др., *Ж. физ. химии*, **937**, 1956.
5. В. М. Латимер, *Окислительное состояние элементов и их потенциалы*.
6. Л. И. Каштанов и О. Н. Олещук, *Ж. общ. химии*, **7**, 839, 1937.
7. И. А. Казарновский, *Докл. АН СССР*, **59**, 67, 1948; И. А. Казарновский, Б. П. Никольский и др., *Докл. АН СССР*, **64**, 69, 1949; Б. П. Никольский, Л. И. Казарновская и др., *Докл. АН СССР*, **67**, 713, 1950.

A STUDY OF THE ELECTROCHEMICAL BEHAVIOR OF OZONE ON THE PLATINUM ELECTRODE BY THE METHOD OF CATHODIC POLAROGRAPHY

K. I. Nosova, A. A. Rakov and V. I. Veselovskii (Moscow)

Summary

The electrochemical properties of ozone dissolved in sulfuric acid have been studied polarographically on the rotating platinum electrode at 25, 0, —30, —50 and —70° C.

The cathodic reduction of dissolved ozone gives a polarographic wave with $\varphi_{1/2} = 1.30$ and $\varphi_{1/2} = 1.56$ V. (for direct and reverse passage along the polarographic curve) and with a limiting current proportional to the concentration of ozone in the solution.

It has been shown that the method of cathodic polarography with the rotating platinum electrode may be used for the quantitative determination of ozone in solution in the gaseous phase.

It has been established that the reduction of ozone at —50 and —70° C takes place in two stages and an interpretation has been given for this phenomenon.

A possible mechanism for the cathodic reduction of ozone has been proposed in which the rate determining stage of the reaction is assumed to be the formation and reduction of surface oxygen compounds of platinum.

КINETICS OF IRON OXIDATION IN MIXED SOLUTIONS OF SALTS
[$KCl(K_2SO_4) + K_3PO_4(K_2HPO_4, K_2CO_3)$]

Л. К. Ленин, А. Я. Вайваде и З. Ф. Ошис

В ряде наших работ [4—6], на основании исследований кинетики окисления железа при низкой температуре ($20^\circ C$) в водных растворах солей, химического и фазового состава продуктов окисления и изменений составов растворов (рН, концентрации ионов окисляемого металла), было показано, что наблюдаемое частичное торможение коррозии этого металла в растворах нейтральных солей щелочных металлов (хлориды, сульфаты) можно быть связано с электрофоретической блокировкой катодных участков поверхности металла положительно заряженными частицами окиси железа [γ -модификации ее метаформы, $\gamma-FeO(OH)$], которая в определенных условиях при стационарном значении рН, равном 6,8—6,9, является основным стабильным продуктом окисления металла. Эффективность этой блокировки становится особенно заметной при концентрации раствора, равной и выше 1,0 N, вследствие возрастающего появления в растворе ионов железа. Высказанное предположение подтверждается также и результатами изучения в тех же растворах при тех же условиях изменений электродного потенциала железа [6, 7], который при параллельном уменьшении скорости коррозии сдвигается в отрицательную сторону со временем, так и с концентрацией соли.

При исследовании окисления железа в растворах фосфатов или карбонатов щелочных металлов как ингибиторов коррозии, при низкой концентрации имеют место те же явления, что и в растворах хлоридов или сульфатов, но при возрастании концентрации ингибиторов мы встречаем другим типом торможения процесса окисления железа [2—5], благодаря изменению химического и фазового состава продуктов окисления и изменению их коллоидно-химических и, в особенности, их электрокинетических свойств. Торможение коррозии железа в этих растворах вызывает электрофоретическая блокировка анодных участков поверхности металла отрицательно заряженными частицами нерастворимых продуктов окисления (фосфатов железа, карбоната железа, α -модификации метафосфатгидроокиси железа, $\alpha-FeO(OH)$, обладающей более кислотными свойствами), что влечет за собой более резкое замедление всего процесса окисления, вплоть до полной пассивации поверхности металла при достижении определенных значений рН и концентрации растворов [6].

Естественно возникает вопрос о характере торможения коррозии железа (а также и других металлов) в растворах смесей вышеуказанных солей, каждая из которых может привести к образованию различных продуктов окисления с различными коллоидно-химическими свойствами.

Несмотря на то, что в реальных условиях коррозия железа в водных растворах протекает именно в присутствии многих солей (морская коррозия, коррозия в различных производственных жидкостях), вопрос полностью еще не выяснен и изучался менее систематически, чем вопрос о коррозии металлов в растворах отдельно взятых солей. Рассмотрим сначала некоторые литературные данные.

Эванс [8] в опытах с растворами $NaCl$ и Na_2SO_4 констатировал, что малое содержание этих солей в растворах (от 2 до 25 частей соли на 100 000 частей воды) не сказывается на замедляющем действии фосфатов, но при более высокой концентрации

хлорида или сульфата коррозия железа усиливается, особенно, в присутствии хлорида и при полупогружении образца металла в раствор, и, чтобы замедлить процесс, требуется повышение концентрации фосфатов [9].

В работе Герпгога [10] указывалось, что замедляющее действие фосфатов в 0,1% раствора NaCl наиболее резко выявляется при $pH = 5,0$, а в работах И. Штедлера, Ц. Гулянской и К. Некрасова [11] было также отмечено, что торможение коррозии с помощью фосфатов зависит от аниона присутствующей в растворе второй соли.

Миерс и Эванс [12], изучая замедляющее действие карбоната калия на коррозию железа в водных растворах солей, нашли, что в присутствии сульфата коррозионный процесс протекает легче, чем в присутствии ионов хлора, йода или нитрата.

М. А. Розенберг с сотрудниками [13], исследуя действие фосфатов на коррозию железа, констатировала, что замедление коррозии в растворах, содержащих хлориды (котельные воды), достигается только при достаточной высокой концентрации PO_4^{3-} -ионов, на что указывается и в работах Эванса [9].

И. Л. Розенфельд [14], исследуя катодную и анодную поляризацию железа на электродах в растворе смеси NaCl, Na_2SO_4 , Na_2CO_3 , $NaHCO_3$ при содержании в воде соответственно 0,025; 0,057; 0,580 и 0,420 г/л с добавкой гексаметафосфата, констатировал, что в зависимости от количества последнего при $pH = 9,2$ можно наблюдать как торможение, так и усиление процесса коррозии.

Из этого краткого сопоставления имеющихся данных по коррозии железа в растворах смесей солей можно заключить, что торможение коррозии связано с соотношением концентраций находящихся в растворе солей: одной, в присутствии которой коррозия развивается, и другой, которая оказывает сильно замедляющее действие. Именно к этому выводу приходит Эванс [15], обсуждая влияние фосфатов и карбонатов на коррозию железа в растворах, содержащих ионы хлора. Согласно Эвансу, тех пор пока последние будут в избытке, в качестве главного анодного продукта образуется $FeCl_2$, переход его в нерастворимые гидраты закислого фосфата или карбоната происходит вдали от поверхности металла, и торможение поэтому не достигается. Если же, напротив, ввести достаточное количество OH^- или PO_4^{3-} -ионов, тогда образование осадков происходит в непосредственном контакте с металлом, и коррозия замедляется. По мере увеличения концентрации ионов хлора должна быть увеличена и концентрация ингибитора, чтобы вызвать осаждение переходящих в раствор ионов железа вблизи поверхности металла. А так как концентрация образующихся ионов железа растет с концентрацией ионов хлора, то, согласно Эвансу, в разбавленных растворах требуется меньшее количество ингибитора, чем в концентрированных.

Объяснение Эванса в первом приближении можно считать правильным, поскольку торможение коррозии связывается с появлением новых фаз с осаждением на поверхности металла нерастворимых продуктов окисления. Однако, многие важные детали остаются при этом не вполне ясными. Прежде всего неясно, как связать место осаждения этих продуктов со скоростью осаждения: ибо, именно, эта последняя и должна иметь значение, входя, как это очевидно, в качестве составляющей в суммарную скорость процесса коррозии. Далее следует иметь в виду, что при низких температурах в более концентрированных растворах отдельно взятых хлоридов (сульфатов), как уже отмечалось выше, скорость коррозии вообще меньше, чем скорость, наблюдаемая в чистой воде или разбавленных растворах. Несмотря на это, согласно приведенным данным, для подавления этого более медленного процесса требуется введение в раствор большего количества замедлителя. Ясно, что, оставляя без внимания коллоидно-химические, и, особенно, электрокинетические свойства продуктов окисления, нельзя придти к удовлетворительному решению вопроса о механизме торможения или усиления коррозии в рассматриваемых сложных системах.

В этой работе была поставлена задача сопоставить кинетику и характер коррозии железа в растворах отдельно взятых солей (KCl , K_2SO_4 , K_2HPO_4 , K_2CO_3) и в растворах бинарных смесей этих солей, варьируя по очереди концентрацию последних трех при заданной концентрации одной из первых двух, и наоборот.

Экспериментальная часть

Как и в предыдущих наших работах, для опытов была взята сталь 10*. Работы проводились при полном погружении пластинок металла в раствор в статических условиях при 20° С. Отношение поверхности к объему статора равнялось 7 : 50. Количество окислившегося металла определялось по изменению веса пластинок, причем последние взвешивались сначала с приставшими продуктами окисления, а затем после их удаления целью суждения о степени сцепляемости их с металлом.

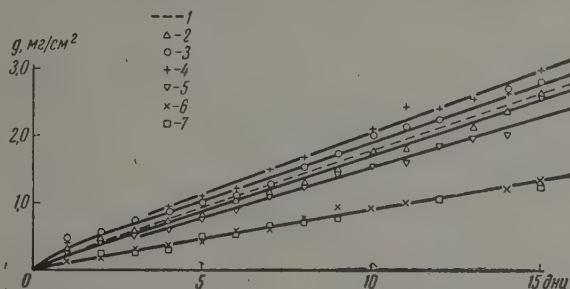


Рис. 1. Коррозия железа в 0,1 N растворе KCl в смеси с различными количествами K_2HPO_4 : 1 — 0,1 N раствор KCl; 2 — 0,1 N KCl + 0,0001 N K_2HPO_4 ; 3 — 0,1 N KCl + 0,001 N K_2HPO_4 ; 4 — 0,1 N KCl + 0,01 N K_2HPO_4 ; 5 — 0,1 N KCl + 0,1 N K_2HPO_4 ; 6 — 0,1 N KCl + 0,5 N K_2HPO_4 ; 7 — 0,1 N KCl + 1,0 N K_2HPO_4 .

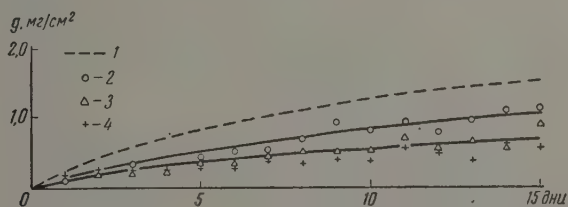


Рис. 2. Коррозия железа в 4,0 N растворе KCl в смеси с различными количествами K_2HPO_4 (K_3PO_4): 1 — 4,0 N раствор KCl; 2 — 4 N KCl + 0,1 N K_3PO_4 ; 3 — 4 N KCl + 1,0 N K_3PO_4 ; 4 — 4 N KCl + 1,0 N K_2HPO_4 .

На рис. 1 представлено одно из типичных семейств кривых $g - f(t)$, где g — вес в mg/cm^2 прокорродировавшего металла ко времени t для растворов K_2HPO_4 в смеси с 0,1 N KCl. Пунктиром показана кривая окисления железа в чистом 0,1 N растворе KCl. Аналогичные семейства кривых были получены для растворов других бинарных смесей при концентрациях Cl, не превышающих 1,0 N.

При более высоких концентрациях ионов хлора ($>1,0$ N) наблюдается несколько иной тип кривых, одно из семейств которых представлено на рис. 2.

По полученным кинетическим кривым были затем построены представленные на рис. 3—5 в полулогарифмической шкале кривые скорости коррозии ($\Delta g / \Delta t$ в $mg/cm^2/15$ дней) — концентрация фосфатов или карбоната (c_t) при заданной концентрации хлорида или сульфата калия, а также для

* Состав: C—0,13%; Si — 0,28%; Mn—0,55%; P—0,036%; S—0,042%; остальное Fe.

большей ясности взаимного влияния солей, кривые $\Delta g / \Delta t$ — концентрации KCl или K_2SO_4 (c_s) при заданной концентрации замедлителя.

Параллельно с изучением кинетики окисления в указанных средах измерялись также изменения pH растворов в ходе коррозии и изучались химический и фазовый состав нерастворимых продуктов окисления, выявляющихся как в объеме раствора, так и на поверхности пластинок корродирующего металла в виде скоплений осадков или пленок. Применялись методы как химического, так и рентгенографического анализа.

Обсуждение результатов

Рассматривая полученные данные, следует прежде всего отметить, что характер кривых $g = f(t)$ сохраняется почти неизменным при переходе от растворов единичных солей и растворам смесей солей. Почти для всех случаев при концентрациях ионов хлора или сульфата, равных или ниже $1,0 N$, характерно, что скорость процесса быстро изменяется лишь в начальной стадии (сутки и менее), а затем устанавливается стационарный режим окисления железа с практически постоянной скоростью и постоянным значением pH (кривые g , t переходят в прямые).

В работе Л. Лепинь и А. Локенбах, касающейся начальной стадии окисления [16], было показано, что указанный характер кинетических кривых в случае коррозии железа в растворе KCl (при $N \leq 1,0$), хотя и связан с целым рядом процессов, происходящих на поверхности металла, в основном определяется ростом новых отложений из продуктов окисления в данном растворе. В силу этого в начальной стадии для процесса окисления металла справедлив параболический закон ($g = k\sqrt{t}$). Предельная толщина этих отложений зависит от условий, в которых протекает процесс (вертикальное или наклонное погружение образца, отсутствие перемешивания и т. д.), и концентрации соли в растворе. Когда скоро этот предел достигнут, скорость в дальнейшем практически не меняется. Нужно взять очень большие времена наблюдений, чтобы констатировать последующий характер изменений в образовавшихся пленках и осадках на поверхности металла [17].

Отмеченные закономерности сохраняются, по-видимому, и в растворах смесей солей вышеуказанного состава, причем различие в скоростях окисления при установившемся стационарном режиме определяется, очевидно, свойствами образовавшихся пленок и осадков, которые зависят от состава раствора.

Как видно из рис. 3—5, увеличение концентрации фосфатов, как и карбоната, при заданной концентрации хлорида калия или сульфата калия (если последняя не превышает $1,0 N$), сначала усиливает коррозию, делая ее выше, чем в растворах чистого KCl (K_2SO_4), а затем наступает резкое замедление, вплоть до полной пассивации поверхности железа, причем концентрация K_3PO_4 , K_2HPO_4 или K_2CO_3 , вызывающая это замедление, лежит примерно на один порядок выше значения, характерного для раствора чистого ингибитора.

Таким образом кривые $\Delta g / \Delta t = f(\lg c_i)$ для смесей солей занимают некоторое среднее положение между кривой для растворов чистого хлорида (сульфата) калия (пунктирная кривая) и кривой для чистых фосфатов или карбоната (кривые 1 соответствующих рисунков) и имеют при этом максимум которых в этом интервале концентраций при тех же условиях нет на кривых $\Delta g / \Delta t$, $\lg c$ для растворов отдельно взятых солей.

В более концентрированных растворах хлорида калия ($> 1,0 N$) в которых, как уже указывалось выше, не устанавливается стационарный

* Насыщенный раствор KCl имеет концентрацию, близкую к $4,0 N$, в смеси с фосфатами или карбонатами растворимость KCl может быть понижена примерно $3,5—2,5 N$, в зависимости от концентрации фосфата.

ким коррозии, имеет место более плавное снижение скорости коррозии и добавках второй соли, не обнаруживается максимума на кривой $\Delta g / \Delta t, \lg c_i$, но не достигается и полное торможение процесса. Судя по кривой, оно могло бы быть достигнуто в сверхконцентрированных насыщенных) растворах K_3PO_4 , K_2HPO_4 или K_2CO_3 .

Картина совместного, противоположного воздействия двух солей на коррозию железа в водных растворах становится, пожалуй, еще более ясной, если рассматривать, при заданной добавке ингибитора, кривые $\Delta g / \Delta t, \lg c_s$ (рис. 6). Здесь особенно резко выявляется роль концентрации нейтральной соли (KCl , K_2SO_4) и трудность пассивации поверхности галла при ее высоком значении.

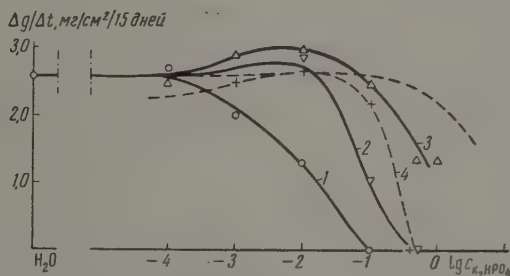


Рис. 3. Скорость коррозии железа в растворах $KCl(K_2SO_4)$ в зависимости от концентрации K_2HPO_4 : 1 — $K_2HPO_4 + H_2O$; 2 — $+0,01 N KCl$; 3 — $+0,1 N KCl$; 4 — $+0,1 N K_2SO_4$

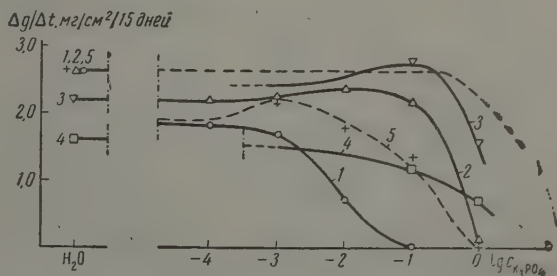


Рис. 4. Скорость коррозии железа в растворах $KCl(K_2SO_4)$ в зависимости от концентрации K_3PO_4 : 1 — $H_2O + K_3PO_4$; 2 — $+0,1 N KCl$; 3 — $+1,0 N KCl$; 4 — $+4,0 N KCl$; 5 — $+0,1 N K_2SO_4$

Вряд ли можно сомневаться в том, что описанные изменения в скорости коррозии при добавках второй соли являются следствием изменений свойств и поведении выделяющихся новых фаз.

Как уже указывалось в начале статьи, при достаточной концентрации H^+ или SO_4^{2-} -ионов частицы образующихся нерастворимых продуктов окисления металла несут на своей поверхности положительный заряд. Адсорбция ионов железа, концентрация которых увеличивается с увеличением концентрации ионов хлора или сульфата, коррозия же железа в растворах фосфатов или карбоната при достаточной их концентрации приводит к появлению отрицательно заряженных частиц осадков (адсорбция ионов PO_4^{3-} , CO_3^{2-} , а также OH^- при достаточно высоком pH [6]). Естественно заключить, что одновременное появление разноименно за-

ряженных частиц не может не привести к их взаимной коагуляции и, в следствие этого, к снижению суммарного заряда частиц (ζ -потенциала поверхности частиц). Отсюда далее следует, что при определенном соотношении электролитов должна нарушаться электрофоретическая блокировка как катодных, так и анодных участков поверхности металла, и скорость коррозии соответственно возрастает.

Для полной перезарядки частиц и более эффективной блокировки анодных участков поверхности в этих условиях необходимо вполне определенное отношение концентрации ингибитора к концентрации хлорида.

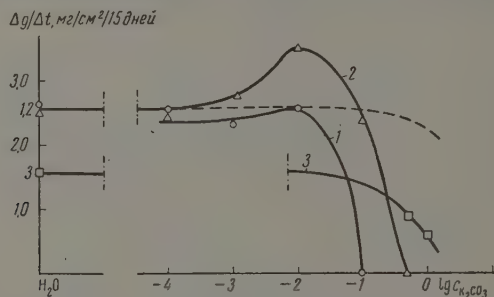


Рис. 5. Скорость коррозии железа в растворах $\text{KCl}(\text{K}_2\text{SO}_4)$ в зависимости от концентрации K_2CO_3 : 1 — H_2O + K_2CO_3 ; 2 — +0,1 N KCl ; 3 — +4,0 N KCl

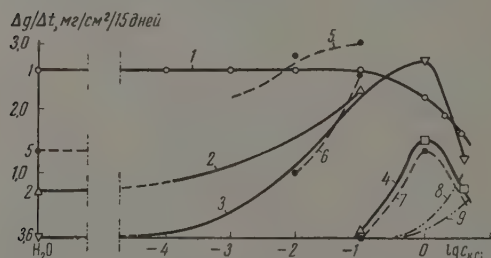


Рис. 6. Скорость коррозии железа в растворах $\text{K}_2\text{HPO}_4(\text{K}_3\text{PO}_4, \text{K}_2\text{CO}_3)$ в зависимости от концентрации KCl : 1 — H_2O + KCl ; 2 — +0,01 N K_3PO_4 ; 3 — +0,1 N K_3PO_4 ; 4 — 1,0 N K_3PO_4 ; 5 — +0,01 N K_2HPO_4 ; 6 — +0,1 N K_2HPO_4 ; 7 — +1,0 N K_2HPO_4 ; 8 — +0,5 N K_2CO_3 ; 9 — +1,0 N K_2CO_3

(или сульфата). В разбавленных растворах хлорида калия в случае добавок карбоната калия это отношение близко к 5 : 1, в двух других случаях оно еще выше, до 10 : 1. В более концентрированных, чем 0,1 N, растворах хлорида калия такое превышение концентрации ингибитора над концентрацией нейтральной соли вообще не может быть достигнуто. Это, вероятно, и объясняется иной характер как кинетических кривых, так и кривых коррозии — концентрация.

Что касается различий в действии растворов хлорида и сульфата, то они как раз и заключаются в ином значении указанного соотношения, более низком в случае сульфата, что легко может быть объяснено с точки зрения общеизвестных коллоидно-химических закономерностей, касающихся влияния ионов на ζ -потенциал.

В пользу данной трактовки наблюдаемых фактов говорят также и результаты химического и рентгенографического анализа осадков, образующихся при взаимодействии растворов хлорида и сульфата с карбонатом калия.

ющихся как на поверхности металла, так и в объеме растворов. Химический и фазовый состав этих осадков очень пестрый, особенно при средних концентрациях *. Основные составляющие: Fe_3O_4 , $\gamma\text{-FeO(OH)}$, $\text{Fe}_3(\text{PO}_4)_2 \cdot \text{H}_2\text{O}$, Fe^{III} -фосфат ($\text{FePO}_4 \cdot 2\text{H}_2\text{O}^{**}$), а в случае карбоната кроме двух первых — $\alpha\text{-FeO(OH)}$. При низких концентрациях преобладают первые члены написанного ряда, а при более высоких — последние. В табл. 1 приведены полученные данные для $\text{K}_2\text{HPO}_4 + 0,1 \text{ N KCl}$, а в табл. 2 для $\text{K}_2\text{HPO}_4 + 0,1 \text{ N K}_2\text{SO}_4$.

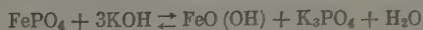
Таблица 1

Свойства и состав осадков, полученных при коррозии железа в растворах $\text{K}_2\text{HPO}_4 + 0,1 \text{ N KCl}$
(за 15 дней)

K_2HPO_4	В объеме раствора		На поверхности пластин	
	Цвет	Формула	Цвет	Формула
2,0 1,0	Нерастворимых продуктов не обнаружено Поверхность металла блестящая			
0,5 0,1	Беловатый Грязно-желтый	Fe^{III} -фосфат (мут.) Fe^{III} -фосфат	Следы неидентифицир. осадка Грязно-желтый	Fe^{III} -фосфат, $\alpha\text{-FeO(OH)}$
0,01	Оранжево-бурый	Fe^{III} -фосфат, $\gamma\text{-FeO(OH)}$	Синий, оранжево-желтый	$\text{Fe}_3(\text{PO}_4)_2 \cdot 8\text{H}_2\text{O}$
0,001	Оранжево-бурый	$\gamma\text{-FeO(OH)}$ Fe^{III} -фосфат		Fe^{III} -фосфат, $\gamma\text{-FeO(OH)}$
0,0001	Оранжево-бурый	$\gamma\text{-FeO(OH)}$	На пластинках осадки не удерживаются	

Сопоставляя эти данные с данными, полученными для растворов K_2HPO_4 в отсутствие KCl (K_2SO_4) (табл. 3, взято из работы [5]), можно видеть, что при наличии в растворах KCl или K_2SO_4 содержание в осадках гидроокиси железа ($\gamma\text{-FeO(OH)}$) констатируется при более высоких концентрациях K_2HPO_4 до $0,1 \text{ N}$. В чистых же растворах K_2HPO_4 уже в $0,01 \text{ N}$ растворе находятся лишь ее следы. Такое изменение района выделения осадочных фаз подтверждает ту мысль, что и при достижении пассивации поверхности мы имеем те же продукты по химическому и фазовому составу, но лишь при других соотношениях и, что главное, с измененными коллоидно-химическими свойствами и поведением (дисперсность, заряд, ζ -потенциал).

Интересны сделанные нами наблюдения над свойствами и поведением гидрозолей фосфата железа (фосфата Fe^{III}) и гидроокиси железа. Первый из них довольно легко превращается во второй при добавках некоторого избытка щелочи, тогда как обратный переход при обратных соотношениях концентраций PO_4^{3-} - и OH^- -ионов не наблюдается. Иными словами, равновесие



сильно смещено вправо, что, вероятно, связано с большей растворимостью FePO_4 по сравнению с растворимостью гидроокиси железа $[4,8 \cdot 10^{-5} \text{ г/100 г}]$.

* При анализе осадки по возможности разделялись на отдельные составляющие (манипуляциями под микроскопом), и полученные таким образом «фракции» анализировались химически (и микрохимически) и рентгенографически. Определялись также их магнитные свойства до и после прокаливании при 250°C .

** Этот фосфат выделяется в виде рентгеноаморфного осадка. Состав его был установлен на основании химического анализа и данных его термического распада.

H_2O (18°C)]. Смесь фосфата калия (натрия) со щелочью осаждает фосф. трехвалентного железа (из раствора FeCl_3) при соотношении концентрации фосфата калия к концентрации едкого кали не менее чем 6 : 1. Это согласие с фактами, наблюдаемыми при коррозии железа, легко объясняется тем, что при увеличении концентрации Cl^- -ионов (SO_4^{2-} -ионов) более высокими оказываются и местные повышения pH при коррозии металла (катодные участки), которые особенно легко констатируются в начальной стадии процесса (до установления стационарного режима).

Таблица 2

Свойства и состав осадков, полученных при коррозии железа в растворах $\text{K}_2\text{HPO}_4 + 0,1N \text{K}_2\text{SO}_4$
(за 15 дней)
(сняты с поверхности металла)

$N \text{K}_2\text{HPO}_4$	Формула
2,0	Осадков не обнаружено, поверхность блестящая
1,0	
0,5	Количество продуктов ничтожно мало
0,1	Fe^{III} -фосфат, $\text{Fe}_3(\text{PO}_4)_2 \cdot 8\text{H}_2\text{O}$, $\beta = \text{FeO}(\text{OH})$, Fe_3O_4 , $\gamma\text{-FeO}(\text{OH})$ (следы)
0,01	$\gamma\text{-FeO}(\text{OH})$
0,001	$\gamma\text{-FeO}(\text{OH})$
0,0001	$\gamma\text{-FeO}(\text{OH})$, Fe_3O_4

Таблица 3

Состав и свойства нерастворимых продуктов коррозии железа в растворах K_2HPO_4
(за 15 дней)

Концентрация N	Откуда взят осадок	Окраска	Формула
2,0	Как в растворе, так и на пластинках видимых изменений нет		
1,0			
0,5			
0,1			
0,01	С пластинки	Желтоватая	Fe^{III} -фосфат, $\gamma\text{-FeO}(\text{OH})$ (следы)
	Из раствора	Желтоватая	
0,001	С пластинки	Ярко-буро-оранжевая	$\gamma\text{-FeO}(\text{OH})$
	Из раствора	Ярко-буро-оранжевая	
0,0001	С пластинки	Ярко-буро-оранжевая	$\gamma\text{-FeO}(\text{OH})$
	Из раствора	Ярко-буро-оранжевая	

Обращая в этой работе (как и в ряде других наших статей) особое внимание на коллоидно-химическую сторону процесса коррозии металлов связанную с торможением этого процесса, мы отнюдь не склонны преуменьшать ее значение, однако оно не должно быть и преуменьшено и тем более игнорировано. Образование новых фаз при коррозии металлов прохождение их через коллоидную стадию своего развития — совершенно общее явление (равно и в случае выделения газообразных фаз), требующее столь же пристального изучения, как и другие факторы коррозии.

В настоящем исследовании, как нам кажется, эта сторона явления окисления металлов выступает в достаточно убедительной, хотя и в качественной только форме. Для выявления количественных соотношений требуются дальнейшие исследования.

Выводы

1. Изучена кинетика коррозии железа в водных растворах смесей солей калия: хлорида (сульфата) с фосфатами (карбонатом) в статических условиях при полном погружении при 20° С.
2. Установлено, что в растворах всех изученных смесей при концентрации KCl (K_2SO_4) равной и ниже 1,0 N, скорость коррозии после начального падения в дальнейшем сохраняет постоянное значение, а при концентрации KCl выше 1,0 N коррозия идет с постоянным затуханием.
3. Малые добавки K_3PO_4 , K_2HPO_4 или K_2CO_3 не вызывают изменения скорости коррозии железа в разбавленных растворах KCl (K_2SO_4) ($V < 1,0$), но с увеличением их концентрации скорость окисления железа сначала возрастает, проходит через максимум, а затем падает практически к нулю при соотношении концентрации ингибитора: концентрация соли, равном 5(10) : 1.
4. При концентрации KCl $> 1,0$ N добавка указанных ингибиторов вызывает лишь некоторое затухание, но полное торможение не достигается.
5. Высказано предположение, что при низких концентрациях солей коррозия тормозится в результате электрофоретической блокировки катодных участков поверхности металла положительно заряженными частицами продуктов окисления железа, при высоких концентрациях ингибитора — в результате электрофоретической блокировки анодных участков отрицательно заряженными частицами.
6. Максимум на кривых коррозии — концентрация вызван перезащиткой частиц, блокирующих поверхность металла.

Академия наук Латв. ССР
Институт химии

Поступила
10.VII.1957

ЛИТЕРАТУРА

1. Л. Лепинь и А. Вайваде, Изв. АН ЛатвССР, 87, 129, 1954.
2. Л. Лепинь и А. Вайваде, Изв. АН ЛатвССР, 90, 131, 1955.
3. Л. Лепинь и З. Ошис, Изв. АН ЛатвССР, 96, 119, 1955.
4. Л. Лепинь и А. Вайваде, Изв. АН ЛатвССР, 104, 115, 1956.
5. З. Ошис и Л. Лепинь, Изв. АН ЛатвССР, 108, 115, 1956.
6. Л. Лепинь, А. Вайваде и З. Ошис, Ж. физ. химии, 29, 350, 1955.
7. Б. А. Пурин и Л. К. Лепинь, Изв. АН ЛатвССР, 106, 83, 1956.
8. U. R. Evans, цит. по Chem. Zbl., 11, 1892, 1927.
9. U. R. Evans, Chem. a. Ind., 22, 530, 1953.
10. E. Herzog, Korros. u. Metallsch. 8, 288, 1932.
11. И. Штерн, Ц. Гульянская и К. Некрасов, Ж. физ. химии, 5, 1934.
12. R. V. Mearns a. U. R. Evans, Trans. Faraday Soc., 31, 534, 1935.
13. М. А. Розенберг и Е. И. Погорельский, Научн. зап. Днепропетр. Ун-та, 37, 1, 1951.
14. И. Л. Розенфельд, Замедлители коррозии в нейтральных средах, Москва, 1953, стр. 115, 234.
15. U. R. Evans, Metallic Corrosion, Passivity and Protection, London, 1948, стр. 535 и сл.
16. Л. Лепинь и А. Локенбах, Изв. АН ЛатвССР, 109, 131, 1956.
17. Л. Лепинь, А. Вайваде, З. Ошис и А. Стипрайс, Изв. АН ЛатвССР, 80, 107, 1954.

OXIDATION KINETICS OF IRON IN AQUEOUS SOLUTIONS OF MIXTURES OF THE SALTS $KCl(K_2SO_4) + K_3PO_4(K_2HPO_4 + K_2CO_3)$

L. K. Lepin A. Ya. Vaivade and Z. F. Oshis (Riga)

Summary

It has been shown that the oxidation kinetics for solutions of salt mixtures are the same as for solutions of the single salts. The decrease in rate in the initial stage of the oxidation process is due to the formation of deposits on the metal surface.

The kind, properties and structures of these deposits vary with the concentration of the solutions and determine the change in rate with the latter.

For all solutions of low concentration the chemical composition of the deposits is that of hydrated ferric oxide — $\gamma\text{-FeO(OH)}$, the particles bearing a positive charge. In the more concentrated solutions of phosphates or carbonates the deposits consist of insoluble iron salts or other insoluble compounds of iron with the negatively charged particles.

The fall in the oxidation rate in the case of solutions of low concentration may be attributed to electrophoretical screening of the cathodic sites on the metal surface, but in the more concentrated solutions to the screening of the anodic sites.

A change in the charge brings about a rise in the oxidation rate.

О КИНЕТИКЕ АНОДНЫХ ПРОЦЕССОВ

II. АНОДНАЯ ПОЛЯРИЗАЦИЯ ГЛАДКОГО ПЛАТИНОВОГО ЭЛЕКТРОДА В РАСТВОРАХ ХЛОРНОЙ КИСЛОТЫ

И. И. Аппенин

Анодное окисление хлор-иона из разбавленных растворов соляной кислоты на гладком платиновом электроде приводит к образованию, наряду с другими продуктами окисления, иона хлорной кислоты [1—4]. В мере накопления в электролите хлорной кислоты она начинает играть роль фоновой или «постороннего электролита» и влиять на ход анодного процесса в сторону преимущественного образования иона ClO_2^- [5]. В связи с этим нами было предпринято изучение анодной поляризации в растворах хлорной кислоты [6, 7].

В предыдущей статье [8] при изучении кинетики анодного процесса в разбавленных растворах соляной кислоты в зависимости от температуры было показано, что механизм анодного процесса зависит от потенциала поляризации: при низких потенциалах идет преимущественный разряд хлор-иона, при более высоких — совместный разряд хлор- и гидроксил-ионов и окислительные процессы. Далее было показано, что изопотенциальные кривые в осях логарифма плотности тока — обратная величина абсолютной температуры подчиняются линейной зависимости.

В настоящей статье мы приводим дальнейшие результаты исследования кинетики анодных процессов в растворах хлорной кислоты в зависимости от температуры.

Экспериментальная часть*

Анодный процесс исследовался путем снятия поляризационных кривых в 6,37 М HClO_4 (моль/1000 г H_2O), аналогично тому, как это было описано ранее [8]. Работа проводилась в интервале температур от 0 до 70° С.

Исходная хлорная кислота была очищена электролизом между платиновыми электродами с большой поверхностью и последующим упариванием до появления белых паров. Анодом служила платиновая проволока диаметром 0,25 мм, длиной 6,3 мм с видимой поверхностью 0,05 см². Измерение потенциала производили постоянной плотности тока i относительно насыщенного каломельного электрода, помещенного в цепь через промежуточные растворы. Все значения потенциалов даны относительно нормального водородного электрода $\varphi_{\text{н.в.э.}}$. Электролитический сосуд и электрод сравнения термостатировались с точностью $\pm 0,1^\circ \text{C}$.

Результаты измерений анодной поляризации в осях φ — $\lg i$ представлены на рис. 1.

На рис. 1 виден аномальный ход кривых для 6,37 М HClO_4 . Прямой и обратный ход кривых не совпадают, образуя петлю гистерезиса. Для заданных концентраций хлорной кислоты при всех температурах имеются три участка кривых, причем первый и третий — прямые линии, описываемые уравнениями Тафеля

$$\varphi = a + b \lg i. \quad (1)$$

Первый прямолинейный участок кривой соответствует низким плотностям тока и малой поляризации электрода. Значение постоянной a на

* Экспериментальная часть выполнена на кафедре физической и коллоидной химии Новочеркасского политехнического института им. С. Орджоникидзе в 1952 г.

ходится в пределах 2,31—2,18 V, а углового коэффициента b в пределах 0,10—0,07 (таблица).

Второй прямолинейный участок кривой соответствует высокой плотности тока и значительной поляризации электрода. При повышении температуры от 0 до 70° C значение постоянной a изменяется от 3,27 до 3,01.

$t, ^\circ\text{C}$	При повышении плотности тока				При понижении плотности тока			
	для первого участка		для второго участка		для первого участка		для второго участка	
	a	b	a	b	a	b	a	b

6,37 M HClO₄

0	—	—	3,28	0,14	—	—	3,27	0,14
10	—	—	3,23	0,16	—	—	3,24	0,16
20	—	—	3,21	0,20	—	—	3,17	0,17
30	2,24	0,08	3,17	0,20	—	—	3,15	0,15
50	2,26	0,07	3,13	0,23	—	—	3,13	0,23
70	2,18	0,08	3,01	0,39	2,30	0,10	3,01	0,39

9,84 M HClO₄

0	—	—	3,24	0,15	—	—	3,21	0,15
10	—	—	3,18	0,16	—	—	3,17	0,16
20	—	—	3,16	0,17	—	—	3,14	0,17
50	2,31	0,09	3,08	0,18	—	—	3,08	0,18
70	—	—	3,05	0,20	—	—	—	—

V для 6,37 M HClO₄ и от 3,24 до 3,05 V для 9,84 M HClO₄. Угловой коэффициент b изменяется от 0,14 до 0,39 для 6,37 M HClO₄ и от 0,15 до 0,20 для 9,84 M HClO₄.

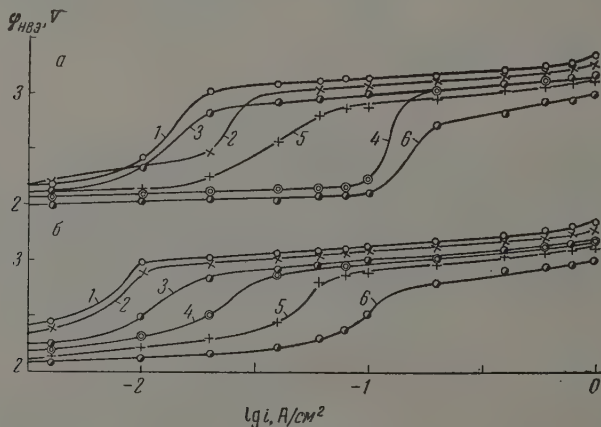


Рис. 1. Анодная поляризация гладкого платинового электрода в 6,37 M HClO₄ при разных температурах: 1—0°; 2—10°; 3—20°; 4—30°; 5—50° и 6—70° C; а—при повышении плотности тока; б—при понижении плотности тока

Переход от одного прямолинейного участка к другому происходит при резком изменении потенциала анода на 0,6—0,8 V. Повышение температуры понижает потенциал анода или, что то же самое, анодное перенапряжение и сдвигает переход от одного участка к другому в сторону больших значений плотности тока.

Постоянные уравнения Тафеля для второго прямолинейного участка остаточной степенью точности изменяются линейно с температурой (рис. 2) и могут быть выражены следующими уравнениями:

для 6,37M HClO₄

$$a = 3,27 - 0,0037t, \quad b = 0,140 + 0,002t;$$

для 9,84M HClO₄

$$a = 3,21 - 0,026t, \quad b = 0,153 + 0,0007t.$$

Из приведенных результатов видно, что температурный коэффициент анодного потенциала составляет от —3 до —4 мВ на градус и с понижением плотности тока по своей абсолютной величине повышается, а наклон полупарифмических кривых с повышением температуры увеличивается. Такая же зависимость наблюдается и для катодного выделения водорода

Обсуждение результатов

Как уже было отмечено, на кривых анодной поляризации в исследованных растворах хлорной кислоты имеются два участка, подчиняющихся логарифмической зависимости с различными значениями постоянных

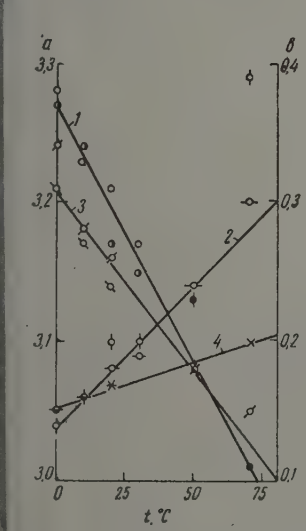


Рис. 2

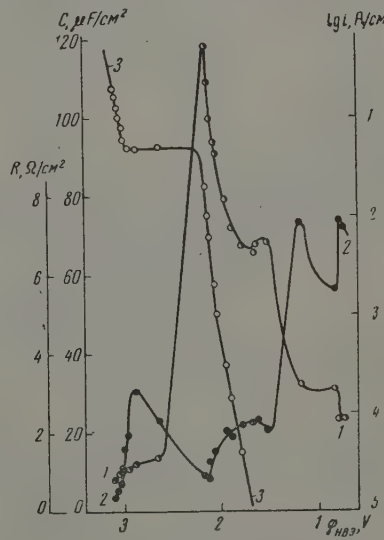


Рис. 3

Рис. 2. Зависимость постоянных уравнений Тафеля от температуры для гладкого платинового анода: 1 — *a*; 2 — *b* (6,37 М НСlО₄); 3 — *a*; 4 — *b* (9,84 М НСlО₄).

Рис. 3. Платиновый электрод в 5 N НСlО₄: 1 — дифференциальная емкость в переменном токе частоты 10 кГц; 2 — сопротивление электрода в переменном токе частоты 10 кГц; 3 — изменение постоянного тока

б. Аналогичные явления наблюдались рядом авторов как для катод- [10—12], так и для анодных процессов [13—16].
И. А. Изгарышев и М. Г. Хачатурян [13, 14] отметили, что перелом на анодных поляризационных кривых при электролизе хлоридов щелочных и щелочно-земельных металлов соответствует образованию перхлоратов. В работе по изучению анодного процесса в серной кислоте

Н. А. Изгарышев и Е. А. Ефимов [15] показали, что до скачка анодного потенциала происходит выделение кислорода, после скачка — окисление серной кислоты с образованием надкислот.

С. В. Горбачев и Н. П. Жук [16] наблюдали подобный ход кривых анодной поляризации в 5 М NaCl + 0,1 М HCl и в 3 М NaCl при повышении плотности тока. Это совпадает с нашими наблюдениями анодной поляризации в растворах хлорида натрия и соляной кислоты [6,8]. Аномальных явлений при обратном ходе кривых указанные авторы не наблюдали.

Мы предположили, что причина такого хода кривых должна лежать в изменении строения двойного электрического слоя. Для проверки этого

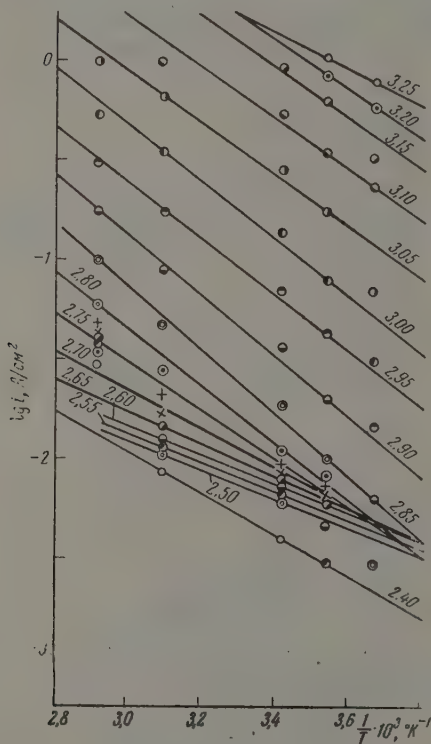


Рис. 4. Изопотенциальные кривые в 9,84 М HClO_4

с последующим снижением при 1,7 В. Дальнейшее повышение потенциала приводит к новому возрастанию емкости электрода, что может быть объяснено легкой деформируемостью анионов при этих потенциалах. Абсолютному максимуму при 1,5 В соответствует, как считают Т. И. Борисов и В. И. Веселовский, образование высших окислов платины, а при 1,85 В выделение кислорода.

Наибольший интерес представляют результаты наших измерений емкости при потенциалах выше 2,0 В. Так, при потенциале около 2,2

предположения были поставлены специальные опыты по измерению емкости гладкого платинового электрода в некоторых растворах при высокой анодной поляризации. Измерение емкости производили по методике, описанной Т. И. Борисовым, Б. В. Эршлером и А. Н. Фрунким [17]. Электрод перед опытом был прокален в окислительном пламени паяльной горелки в течение 5 мин. Результат измерения емкости при поляризации до 3,1 В в 5 Н HClO_4 в частоте переменного тока 10 МГц представлен на кривой 1 рис.

Полученные нами результаты до 2 В в основном совпадают с данными Т. И. Борисова и В. И. Веселовского для платинового электрода в 1 Н HClO_4 [18].

Из рисунка видно, что при потенциале 0,8 В наблюдается минимум емкости, соответствующий низшим окислам платины. Повышение потенциала электрода сопровождается возрастанием емкости и при 0,9—1,2 В наблюдается остановка в изменении последней с небольшим минимумом при 1,0 В. Затем емкость резко возрастает и при 1,6 В наблюдается максимум.

* Измерение емкости проведено в лаборатории проф. Б. Н. Кабанова Института физической химии АН СССР в 1953 г. Более подробные результаты этих исследований будут сообщены дополнительно.

люждается максимум емкости электрода, которому соответствует начальный скачок потенциала на кривой $\varphi - \lg i$ (рис. 3, кривая 3). Увеличение потенциала электрода выше 2,2 В в области перехода от одной полулогарифмической кривой к другой при постоянной плотности тока $5 \cdot 10^{-2} \text{ м}^2$ сопровождается резким уменьшением емкости от 118 мкФ/см^2 при 2,2 В до 13 мкФ/см^2 при 2,6 В. Дальнейшее увеличение потенциала до 3,1 В сопровождается снижением емкости до $7,5 \text{ мкФ/см}^2$. Изменение омического сопротивления электрода можно проследить на кривой 2, рис. 3.

Резкое возрастание потенциала от 2,2 до 2,9 В и одновременное падение емкости должно вызываться образованием двойного электрического слоя в связи с повышением адсорбционной способности платинового электрода. В этой области потенциалов, как указывает А. Н. Фрумкин [19], возможно возникновение двойного слоя адсорбированных атомов кислорода и в связи с этим изменение в строении двойного электрического слоя.

Уменьшение емкости при потенциалах выше 2,6 В, очевидно, связано с изменениями адсорбционной способности электрода и механизма анодного процесса. Изучение этого вопроса продолжается.

С. В. Горбачев и Н. П. Жук [16] показали, что при изучении зависимости скорости электрохимической реакции на аноде в растворах хлорида натрия от температуры целесообразно применять уравнение:

$$\lg i = \text{const} - \frac{A_a}{RT}, \quad (2)$$

i — плотность тока, A_a — эффективная энергия активации электродного процесса, R — газовая постоянная, T — абсолютная температура. Ранее показали [8], что уравнение (2) применимо к одному процессу в растворах соляной кислоты. В случае анодной поляризации гладкого платинового электрода в указанных растворах хлорной кислоты изопотенциальные кривые в осях $\varphi - T^{-1}$ также удовлетворительно выражаются в виде прямых линий (рис. 4)*.

Кривая зависимости эффективной энергии активации анодного процесса от потенциала поляризации (рис. 5) проходит через максимум при потенциале 2,9 В, который также соответствует концу скачка кривых $\varphi - \lg i$ (рис. 1 и кривая 3 рис. 3).

Полученные результаты указывают на изменение механизма анодного процесса при потенциалах вблизи характерных точек, что можно объяснить изменением состояния поверхности платинового электрода.

При потенциале около 2,2 В возможна дальнейшая адсорбция кислорода и образование высших неустойчивых окислов платины типа PtO_2 , аналогично случаю анодной поляризации свинца в серной кислоте.

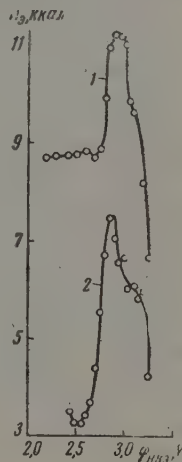


Рис. 5. Зависимость энергии активации анодного процесса от потенциала поляризации: 1 — 6,38 М HClO_4 ; 2 — 9,84 М HClO_4 .

* В. А. Карницкий [20] нашел, что зависимость скорости электролиза от температуры может быть выражена эмпирическим уравнением

$$\lg i = a + bt, \quad (3)$$

i — плотность тока, t — температура в $^{\circ}\text{C}$, a и b — эмпирические постоянные. Для приближенных решений он принимает, что уравнение (2) тождественно уравнению [21].

В области потенциалов 2,2—2,9 V, характеризующего резким возранием потенциала и понижением емкости электрода, возможна адсорбция анионов хлорной кислоты. Процесс адсорбции происходит довольно медленно, о чем мы судим по скорости изменения потенциала электрода при поддержании постоянной величины плотности тока.

Полученные нами материалы позволяют предположить, что в области потенциалов 2,2—2,9 V должен находиться потенциал нулевого заряда для окисленной поверхности платины в хлорной кислоте.

Так, для платины известны два потенциала нулевого заряда: при 0,1 V в атмосфере водорода и 0,4—1,0 V для окисленной поверхности [22, 23]. Потенциал нулевого заряда зависит, как показали Э. О. Аязян [24] для железа и В. Л. Хейфец и Б. С. Красиков [25] для платины и других металлов, от pH среды и предварительной подготовки электрода. Так, например при изменении pH от 7 до 2 потенциал нулевого заряда для платины в атмосфере водорода изменяется от — 0,2 до + 0,5 V [25].

Я. М. Колотыркин и Л. А. Медведева [26] показали, что резкий переход в ходе катодных кривых $\varphi - \lg i$ происходит при потенциалах, близких к потенциалу нулевого заряда исследуемого катода. Б. Н. Кабанов, И. Г. Киселева и Д. И. Лейкис [27] также показали, что при потенциале нулевого заряда на электроде из двуокиси свинца, определенным методом измерения емкости двойного слоя и равном 1,8 V, на кривых $\varphi - \lg i$ характерно наличие перегиба.

В заключение считаю своим долгом выразить благодарность Б. Н. Кабанову и Д. П. Семченко за содействие в выполнении работы и интерес к ней.

Выводы

1. Исследована анодная поляризация гладкого платинового электрода в 6,37 и 9,84 M HClO₄ в интервале температур от 0 до 70° C. Найдено, что в ходе поляризационных кривых имеются два участка, подчиняющихся полулогарифмической зависимости, с различными значениями постоянных a и b .

2. Измерена емкость гладкого платинового электрода в 5 N HCl при анодной поляризации до 3,1 V. Найдено, что максимум емкости при 2,2 V соответствует началу скачка потенциала на $\varphi - \lg i$ кривых.

3. Показана применимость уравнения вида $\lg i = f(T^{-1})$ для исследованных растворов. Энергия активации в зависимости от потенциала анодной поляризации проходит через максимум при 2,9 V.

4. Высказано предположение, что в области скачка потенциала на $\varphi - \lg i$ кривых (2,2—2,9 V) находится потенциал нулевого заряда для окисленной поверхности платины.

Поступила
11.VII.1957

ЛИТЕРАТУРА

1. F. Gäber, S. Grinberg, Z. anorgan. Chem., 16, 198, 1898.
2. H. M. Goodwin, E. C. Wolker, Trans. Amer. Electroch. Soc., 40, 1921.
3. Т. С. Филиппов, Тр. Военно-хозяйственной академии, 4, 1939.
4. К. Г. Ильин, Д. П. Семченко, Тр. Новочерк. политехн. ин-та им. С. Орджоникидзе, часть химич., 19 (33) 95, 1948.
5. Д. П. Семченко, К. Г. Ильин, Тр. Новочерк. политехн. ин-та им. С. Орджоникидзе, 34 (48), 29, 1956.
6. И. И. Аппенин, Тезисы доклада на XII научно-технической конференции Новочерк. политехн. ин-та им. С. Орджоникидзе, 1954.
7. И. И. Аппенин, Влияние температуры на анодную поляризацию при электролизе соляной кислоты и ее смеси с хлорной кислотой. Автореферат диссертации, Новочерк. политехн. ин-т им. С. Орджоникидзе, Новочеркасск, 1955.
8. Д. П. Семченко, И. И. Аппенин, Тр. Новочеркасск. политехн. ин-та им. С. Орджоникидзе, 34(48), 51, 1956.

- А. Н. Фрумкин, В. С. Багоцкий, З. А. Иоффе, Б. Н. Кабанов, Кинетика электродных процессов, Изд-во МГУ, М., 1952, стр. 132.
 А. И. Красильников, Ж. физ. химии, 18, 537, 1944.
 З. А. Иоффе, А. Н. Фрумкин, Ж. физ. химии, 18, 268, 1944.
 Я. М. Колотыркин, Л. А. Медведева, Тр. Совещания по электрохимии, Изд-во АН СССР, М., 1953, стр. 369.
 Н. А. Изгарышев, М. Г. Хачатурян, Докл. АН СССР, 56, 929, 1947; 59, 1125, 1948.
 Н. А. Изгарышев, Изв. АН СССР, Отд. хим. н., № 1, 15, 1950.
 Н. А. Изгарышев, Е. А. Ефимов, Ж. физ. химии, 27, 130, 310, 1953.
 С. В. Горбачев, Н. П. Жук, Ж. физ. химии, 25, 841, 1951.
 Т. И. Борисова, Б. В. Эршлер, А. Н. Фрумкин, Ж. физ. химии, 22, 925, 1948.
 Т. И. Борисова, В. И. Веселовский, Ж. физ. химии, 27, 1195, 1953.
 А. Н. Фрумкин, В. С. Багоцкий, З. А. Иоффе, Б. Н. Кабанов, Кинетика электродных процессов, Изд-во МГУ, М., 1952, стр. 216.
 В. А. Карницкий, Сообщение о научных работах членов ВХО им. Д. И. Менделеева, 1, 32, 1947.
 В. А. Карницкий, Ж. аналит. химии, 11, 447, 1956.
 К. И. Розенталь, В. И. Веселовский, Ж. физ. химии, 27, 1163, 1953.
 А. Н. Фрумкин, В. С. Багоцкий, З. А. Иоффе, Б. Н. Кабанов, Кинетика электродных процессов, Изд-во МГУ, М., 1952, стр. 31.
 Э. О. Аязян, Докл. АН СССР, 100, 473, 1955.
 В. Л. Хейфец, Б. С. Красилов, Докл. АН СССР, 109, 586, 1956.
 Я. М. Колотыркин, Л. А. Медведева, Ж. физ. химии, 25, 1355, 1951.
 Б. Н. Кабанов, И. Г. Киселева, Д. И. Лейкис, Докл. АН СССР, 99, 805, 1954.
 Д. И. Лейкис, Е. К. Венстрем, Докл. АН СССР, 112, 97, 1957.

ON THE KINETICS OF ANODIC PROCESSES

THE ANODIC POLARIZATION OF THE SMOOTH PLATINUM ELECTRODE IN PERCHLORIC ACID SOLUTIONS

I. I. Appenin (Rostov-na-Donu)

Summary

The anodic polarization of the smooth platinum electrode in 6.37 and 9.84 M HClO₄ been studied over the temperature range 0 to 70°C. It has been found that the polarization curves have two portions obeying a semilogarithmic relationship.

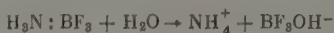
Measurement of the electrode capacity in 5N HClO₄ on anodic polarization up to V showed that the beginning of the transition from one straight line portion to the second on the $\phi - \lg i$ curve at 2.2 V corresponds to maximum capacity. An increase in the potential in the transition region 2.2 to 2.9 V is accompanied by a sharp fall in capacity and it is possible that in this region lies the zero charge potential for the oxidized platinum surface.

An equation of the type $\lg i = f(T^{-1})$ is applicable to the solutions investigated. The activation energy of the anodic process passes through a maximum at 2.9 V.

КИНЕТИКА ГИДРОЛИЗА ТРИФТОР-АММИН-БОРА, $\text{H}_3\text{N}:\text{BF}_3$

И. Г. Рысс и С. Л. Идельс

В растворах комплексного неэлектролита трифтор-аммин-бора происходит постепенное возрастание кислотности, связанное с протекающим во времени гидролизом (гидратацией) комплекса; первая стадия гидролиза может быть описана [1] уравнением:



Предварительное изучение скорости этой реакции [1], при котором определялась зависимость концентрации накопившегося в растворе BF_3OH^- от времени, не могло привести, как и было отмечено в [1], к получению количественных данных, так как параллельно процессу (1) протекает медленное обратимое превращение BF_3OH^- в ион BF_4^- , не титрующийся щелочью. Было установлено, что реакция (1) протекает по законам процессов первого порядка и обладает высоким температурным коэффициентом.

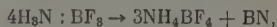
Нами был найден описываемый ниже метод определения $\text{H}_3\text{N}:\text{BF}_3$ в присутствии продуктов его гидролиза. Это дало возможность количественно изучить кинетику гидролиза трифтор-аммин-бора по определению зависимости концентрации $\text{H}_3\text{N}:\text{BF}_3$, сохранившегося в растворе от времени; при таком методе исследования устраняются искажения, вызываемые образованием иона BF_4^- .

Экспериментальная часть

Синтез трифтор-аммин-бора. Первоначально была сделана попытка получения $\text{H}_3\text{N}:\text{BF}_3$, не содержащего примеси двойного соединения $\text{N}(\text{BF}_3)_2$, пропусканием сухого NH_3 через раствор трифтор-пиридин-бора $\text{C}_5\text{H}_5\text{N}:\text{B}(\text{BF}_3)_3$ в бензоле. Реакция



действительно протекала; однако, полученный после испарения бензол продукта отдавал сильным запахом пиридина; удаление пиридина в токе аммиака при комнатной температуре происходило чрезвычайно медленно. Пиридин был количественно удален нагреванием продукта в токе аммиака, но при этом произошло частичное разложение $\text{H}_3\text{N}:\text{BF}_3$ с образованием NH_4BF_4 и нерастворимого в воде вещества, содержащего B, N и F. По-видимому, при происходящем выше 125° разложении $\text{H}_3\text{N}:\text{BF}_3$, описанном [2] уравнением:



промежуточно образуются и другие продукты (возможно, полимеризованные F_2 и BN , $\text{FB} = \text{NH}$ и т. п.).

Использованный в работе образец $\text{H}_3\text{N}:\text{BF}_3$ был получен соединением аммиака и фтористого бора, барботируемых через бензол, в котором оба газа несколько растворимы. В реакционный сосуд 1 (рис. 1), содержащий несколько крупинок диметилевого желтого, по трубке 2 был перегаз тщательно очищенный от тиофена и высохший бензол. Затем по трубкам 2 и 3 одновременно вводились аммиак (синтетический NH_3 , дополнительно осушенный в чалонках, заполненных CaO) и фтористый бор (BF_3 получался термическим разложением тетрафторбората диазония $\text{C}_6\text{H}_5\text{N}_2\text{B}(\text{BF}_3)_2$ очищался от фторбензола пропусканием через обратный холодильник и промывал концентрированной серной кислотой). Скорости поступления газов регулировались та-

в реакционной смеси сохранялся незначительный избыток BF_3 , т. е. сохранилась розовая окраска диметилового желтого. Азот и непрореагировавшие газы отделили из сосуда 4 через заполненную хлористым кальцием трубку 4. По окончании синтеза бензол был отсосан от осадка $\text{H}_3\text{N}:\text{BF}_3$ через нуч-фильтр 5 в приемник 6; после промывания осадка $\text{H}_3\text{N}:\text{BF}_3$, перегазированным по трубке 2 сухим бензолом, он высушен откачиванием ротационным насосом.

Анализ $\text{H}_3\text{N}:\text{BF}_3$. Полученное вещество было белым, очень хорошо распыляемым в воде мелкокристаллическим порошком. Свежеприготовленный раствор $\text{H}_3\text{N}:\text{BF}_3$ в воде был нейтрален по метилоранжу; введение избытка CaCl_2 вызывало явление слабокислой реакции раствора, на нейтрализацию которой расходовалось 2 моля NaOH на моль вещества. Малый расход NaOH доказывал отсутствие значительной примеси гидрофтороборатов.

Содержание аммиака, определенное отгонкой NH_3 из щелочного раствора и улавливанием NH_3 раствором щелочной кислоты, в среднем равнялось 19,94%; теоретическое содержание — 20,05% NH_3 .

Для определения бора, навеска $\text{H}_3\text{N}:\text{BF}_3$ нагревалась с избытком щелочи в платиновом стакане до полного удаления NH_3 ; избыток щелочи нейтрализовался по фенолфталеину, затем вводился избыток 1 M I_2 , и раствор доводился до слабокислой реакции метилоранжу. После нагревания раствора с осадком (разрушения бикарбоната) раствор окончательно титровался по метилоранжу и титровался щелочью в присутствии маннита до окрашивания фенолфталеина. Найденное среднее содержание бора равнялось 83% (теоретическое содержание 12,74%).

Методика исследования кинетики гидролиза $\text{H}_3\text{N}:\text{BF}_3$. Ряд опытов показал, что $\text{H}_3\text{N}:\text{BF}_3$ чрезвычайно быстро разлагается в щелочной среде; в пробках раствора $\text{H}_3\text{N}:\text{BF}_3$, отобранных через 2—3 мин. после растворения навески вещества в избытке 0,1 NaOH , уже не содержались определяемые количества неразложенного $\text{H}_3\text{N}:\text{BF}_3$.

Это исключило возможность изучения кинетики разложения $\text{H}_3\text{N}:\text{BF}_3$ в щелочном растворе титриметрическим методом, но позволило просто определять содержание $\text{H}_3\text{N}:\text{BF}_3$ в присутствии продуктов его гидролиза.

В нейтрализованной по метилоранжу в присутствии избытка CaCl_2 пробе раствора находятся $\text{H}_3\text{N}:\text{BF}_3$, который гидролизуеться очень медленно, ионы Ca^{2+} ,

F^- и NH_4^+ и борная кислота; все гидрофторобораты полностью разлагаются в этих условиях, а ион F^- почти количественно осаждается в виде CaF_2 и не влияет существенно на pH раствора. Если к этому раствору прибавить достаточное для интенсивного окрашивания тимофталейна количество титрованной щелочи, не содержащей бикарбоната, и через 10—15 мин. оттитровать избыток ее кислотой по метилоранжу, расход щелочи соответствует уравнению:



е. на 1 моль $\text{H}_3\text{N}:\text{BF}_3$ расходуется 2 экв. OH^- . Ион BF_4^- разлагается в щелочной среде настолько медленно [3], что присутствие его не влияет на результаты анализа. Для избежания улетучивания NH_3 или поглощения CO_2 щелочными растворами, в анализах применялись колбы с пришлифованными пробками; образование осадка CaCO_3 нежелательно вследствие медленности реакции его с кислотой при оттитровании избытка щелочи. В сомнительных случаях в раствор вводился незначительный избыток кислоты, оттитровывавшийся через некоторое время щелочью по метилоранжу.

Полнота разложения $\text{H}_3\text{N}:\text{BF}_3$ в описанных выше условиях и точность и воспроизводимость метода были проверены рядом специальных опытов. В опытах изучения гидролиза $\text{H}_3\text{N}:\text{BF}_3$ в присутствии NaF точность метода уменьшалась, так как большое количество осадка CaF_2 снижало резкость перехода цвета индикатора; возможно также, что при осаждении CaF_2 из раствора захватывается некоторое количество ионов OH^- .

В плотно закрывавшийся пробкой платиновый стакан, содержащий взвешенное количество воды и термостатированный в термостате TC-15, вводилась навеска $\text{H}_3\text{N}:\text{BF}_3$. Отобранные через определенные промежутки времени пробы спускались в заранее взвешенные и охлажденные во льду колбы, и после быстрого взвешивания

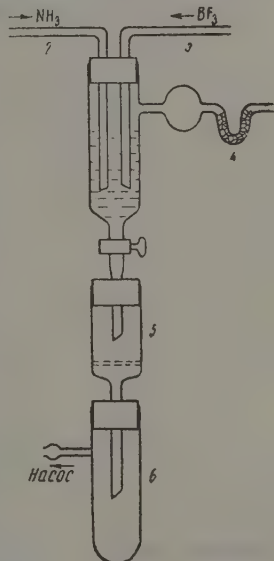


Рис. 1. Прибор для синтеза трифтор-аммин-бора

колбы с раствором содержимое их анализировалось по описанной выше методике. Доля неразложившегося к моменту ϑ трифтор-аммин-бора вычислялась как отношение $x = n/n_0$, где n и n_0 обозначают количества молей $\text{H}_3\text{N} : \text{BF}_3$ на 1 г раствора момент ϑ и в начале опыта; n_0 вычислялось из веса взятой для опыта воды и взятой навески трифтор-аммин-бора, с учетом фактического содержания $\text{H}_3\text{N} : \text{BF}_3$ в нем (к моменту проведения первых опытов изучения кинетики гидролиза содержавшего основного вещества в трифтор-аммин-боре снизилось до $\sim 86\%$, в связи с постоянным действием проникшей влаги).

Результаты опытов. Результаты изучения кинетики гидролиза $\text{H}_3\text{N} : \text{BF}_3$ в водных растворах при 60,0; 70,0 и 80,0° представлены на рис. 2.

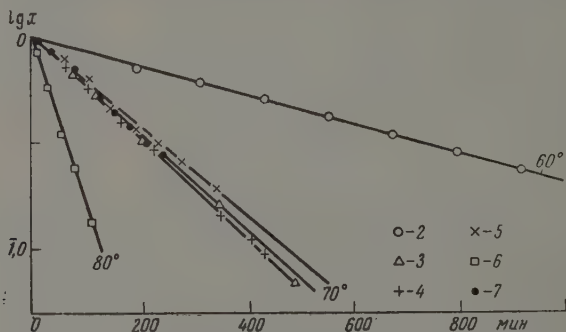


Рис. 2. Зависимость логарифма доли неразложившегося $\text{H}_3\text{N} : \text{BF}_3$ от времени (в минутах) при 60, 70 и 80° С. Цифры указывают номера опытов табл. 1.

в координатах $\lg x = f(\vartheta)$. Прямолинейный характер зависимости и постоянство угловых коэффициентов прямых для опытов с различными начальными концентрациями $\text{N}_3\text{H} : \text{BF}_3$, проведенных при одной и той же температуре, бесспорно доказывают, что гидролиз трифтор-аммин-бора является реакцией первого порядка.

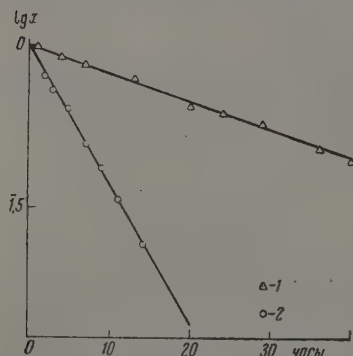


Рис. 3. Зависимость логарифма доли неразложившегося $\text{H}_3\text{N} : \text{BF}_3$ от времени (в часах) при 25° С; 1 — в воде; 2 — в 0,53 М NaF

Из результатов измерения $\lg x = f(\vartheta)$ в каждом опыте вычислялись (методом средних) средние значения условных констант скоростей $k' = 0,4343 k$, где k — истинная константа скорости мин^{-1} , и $\lg x_0$, т. е. значение ϑ для $x = 0$. Величины $\lg x_0$ отличались от нуля не более чем на 0,03, постепенно уменьшаясь со временем, происшедшим от момента синтеза соли, вследствие прогрессирующего разложения $\text{H}_3\text{N} : \text{BF}_3$.

Для лучшего сопоставления опытных данных все точки и прямые смещены на рисунках параллельно самим себе так, чтобы прямые исходили из $\lg x_0 = 0$ при $\vartheta = 0$.

На рис. 3 представлена кривая $\lg x = f(\vartheta)$ для $25 \pm 2^\circ$. Вследствие большой длительности опыта, вызванной чрезвычайной медленностью гидролиза, раствор термостатировался в упрощенном термостате (без мешалки).

Вычисленные значения $k' = 0,4343 k$, определенные в отдельных опытах, представлены в табл. 1

Опыт № 7 табл. 1 доказывает, что гидролиз $\text{H}_3\text{N} : \text{BF}_3$ не катализируют ионами водорода.

При вычислении степени гидролиза $\text{H}_3\text{N} : \text{BF}_3$ по расходу щелочи при первой нейтрализации (в присутствии метилоранжа и избытка CaCl_2) получались значительно более низкие степени гидролиза. Суммы этих степеней и определенных описанным выше методом долей негидролизованного $\text{H}_3\text{N} : \text{BF}_3$ падали со временем в течение каждого опыта, что подтверждает описанное ранее [1] накопление иона BF_4^- в растворах.

Таблица 1

Константы скорости гидролиза $\text{H}_3\text{N} : \text{BF}_3$

№ опыта	$t, ^\circ\text{C}$	Начальная концентрация $\text{H}_3\text{N} : \text{BF}_3$, моль	Растворитель	$k' = 0,4343 k, \text{мин.}^{-1}$
		1000 г раств.		
1	25 ± 2	0,04347	Вода	$6,06 \cdot 10^{-6}$
2	$60,0 \pm 0,05$	0,07845	То же	$7,12 \cdot 10^{-4}$
3	$70,0 \pm 0,05$	0,01778	» »	$2,35 \cdot 10^{-3}$
4	$70,0 \pm 0,05$	0,01950	» »	$2,38 \cdot 10^{-3}$
5	$70,0 \pm 0,05$	0,04347	» »	$2,13 \cdot 10^{-3}$
6	$80,0 \pm 0,05$	0,02007	» »	$7,93 \cdot 10^{-3}$
7	$70,0 \pm 0,05$	0,0368	0,275 N HCl	$2,41 \cdot 10^{-3}$

Исследование скорости разложения $\text{H}_3\text{N} : \text{BF}_3$ в растворах NaF подтвердило высказанное ранее [1] предположение о торможении образования BF_4^- . При высокой концентрации F^- указанная выше сумма мало отличалась от единицы.

Однако, в отличие от прежней работы [1], выяснилось, что присутствие F^- увеличивает фактическую скорость разложения трифтор-аммина. Результаты одного из опытов представлены на рис. 3; кривые $\lg x = f(t)$ для других опытов не приведены, но все они достаточно хорошо описываются прямыми линиями.

Условия опытов и вычисленные методом средних значения условных констант скоростей k'_F (в мин.^{-1}) приведены в табл. 2

Таблица 2

Константы скорости гидролиза $\text{H}_3\text{N} : \text{BF}_3$ в растворах NaF

$t, ^\circ\text{C}$	Начальная концентрация $\text{H}_3\text{N} : \text{BF}_3$, моль	Начальная концентр. NaF, моль/л	Наблюдаемая константа скорости $k_F = 0,4343 k_F, \text{мин.}^{-1}$
	1000 г раствора		
25 ± 2	0,1215	0,53	$2,98 \cdot 10^{-5}$
$50,0 \pm 0,05$	0,04264	0,53	$1,04 \cdot 10^{-3}$
$60,0 \pm 0,05$	0,04316	0,161	$1,39 \cdot 10^{-3}$
$60,0 \pm 0,05$	0,04514	0,286	$2,03 \cdot 10^{-3}$
$60,0 \pm 0,05$	0,04352	0,53	$3,71 \cdot 10^{-3}$
$60,0 \pm 0,05$	0,04684	0,314 (при pH ~5,2)	$1,9 \cdot 10^{-3}$

Зависимость констант скоростей k'_F от концентрации NaF при 60° изображена на рис. 4

Обсуждение результатов

Как видно из рис. 5, зависимость $\lg k'$ для гидролиза трифтор-аммин-бора от обратной температуры удовлетворительно выражается прямой линией, описываемой уравнением

$$\lg k' = 14,70 - \frac{5945}{T}.$$

Этому уравнению соответствует экспериментальная энергия активации $E = 27,2$ ккал/моль и энтропия активации $\Delta S^+ = 0,3$ кал/град. Трифтор-аммин-бор гидролизуется значительно медленнее, чем трифтор-пиридин-бор, для которого $\lg k' = 12,82 - 4448/T$; $E = 20,35$ ккал/моль, $\Delta S^+ = -8,3$ кал/град [4], так как рост E играет большую роль, чем рост ΔS^+ .

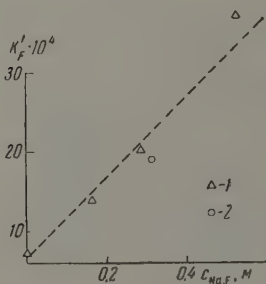


Рис. 4

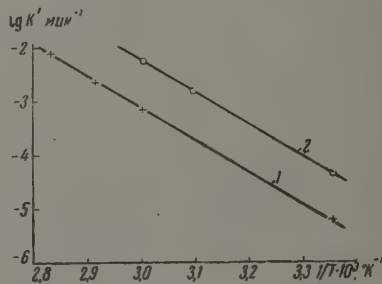


Рис. 5

Рис. 4. Влияние концентрации NaF на константу скорости гидролиза $H_3N:BF_3$ при $60^\circ C$: 1 — в растворах NaF; 2 — в растворе (NaF, доведенном до pH 5,2)

Рис. 5. Зависимость $\lg k'$ и $\lg k_2'$ от $1/T$: 1 — $\lg k'$; 2 — $\lg k_2'$

Ионы H^+ катализируют гидролиз BF_4^- [3], SO_3F^- [5], а также многие других фторокомплексных анионов; во всех этих случаях каталитическое действие H^+ связано с присоединением его к аниону. Вследствие отсутствия заряда у молекулы $H_3N:BF_3$ она не способна присоединять H^+ ; поэтому последний и не катализирует гидролиза $H_3N:BF_3$.

Вероятные механизмы гидролиза различных двойных соединений фтористого бора будут подробно рассмотрены позднее, в другой статье.

В настоящей статье отметим существенное различие кинетики гидролиза $C_5H_5N:BF_3$ и $H_3N:BF_3$, заключающееся в том, что гидролиз первого соединения резко ускоряется в присутствии F^- и особенно OH^- . Предварительные опыты показали, что гидролиз $CH_3NH_2:BF_3$ так же резко ускоряется в присутствии ионов F^- и OH^- .

По-видимому, причиной этого различия является возможность присоединения ионов F^- или OH^- к атомам водорода, содержащимся в двойных соединениях BF_3 с первичными и вторичными, но не с третичными аминами. Для проверки этого будет исследована кинетика гидролиза двойных соединений с моно-, ди- и триметиламином.

Возрастание способности молекулы NH_3 к образованию водородных связей при координировании ее фтористым бором подтверждается присоединением дополнительных молекул аммиака к $H_3N:BF_3$ [6]. Естественно, что OH^- , являющийся более сильным основанием, чем F^- , энергично присоединяется к $H_3N:BF_3$ [6] и сильнее ускоряет ее разложение. Если принять, что образование $F^- \dots H_3N:BF_3$ или $HO^- \dots H_3N:BF_3$ является быстрым обратимым процессом, а распад этих комплексов определяет

етику процесса, то гидролиз $\text{H}_3\text{N} : \text{BF}_3$ в присутствии F^- или OH^- должен быть процессом второго порядка.

Действительно, рис. 4 показывает, что наблюдаемая в присутствии константа скорости гидролиза $\text{H}_3\text{N} : \text{BF}_3$ приблизительно пропорциональна концентрации F^- . Некоторую роль играет и повышение pH в результате гидролиза F^- ; однако, как показывает опыт в табл. 2, достигнутое введением HF снижение pH до ~5,2 не устраняет полностью ускоряющего действия ионов F^- .

Гидролиз $\text{H}_3\text{N} : \text{BF}_3$ в растворе NaF должен протекать по двум (или, если учесть влияние OH^- — по трем) параллельным процессам. Пренебрегая влиянием OH^- и обозначая концентрацию $\text{H}_3\text{N} : \text{BF}_3$ через c , имеем

$$-\frac{dc}{dt} = kc + k_2c[\text{F}^-] = (k + k_2[\text{F}^-])c \equiv k_{\text{F}}c, \quad (3)$$

ткуда

$$k_{\text{F}} \equiv 0,4343k_{\text{F}} = k' + 0,4343k_2[\text{F}^-]. \quad (4)$$

Уравнение (4) дает возможность вычислить приближенное значение $k_2 = 0,4343 k_{\text{F}}$ (пренебрегая влиянием ионов OH^- , являющихся продуктом гидролиза F^-). Все расчеты проведены для 0,53 M NaF , причем значения k'_{F} брались из табл. 2, а значения k' вычислялись по уравнению (2). Результаты представлены в табл. 3 и на рис. 5.

Зависимость $\lg k_2'$ от $1/T$ (рис. 5) изображается прямой линией, лежащей параллельно линии, описывающей уравнение (2). Таким образом, экспериментальные энергии активации гидролиза $\text{H}_3\text{N} : \text{BF}_3$ в отсутствие F^- (E) и в присутствии F^- (E_1) практически совпадают. Следует, однако, учесть, что если верен предположенный выше механизм реакции, то k_2' является произведением констант равновесия образования $\text{F}^- \dots \text{H}_3\text{N} : \text{BF}_3$ из гидратированных $\text{H}_3\text{N} : \text{BF}_3$ и F^- и истинной константы скорости распада $\text{F}^- \dots \text{H}_3\text{N} : \text{BF}_3$. Соответственно этому E_1 равна сумме энтальпии образования $\text{F}^- \dots \text{H}_3\text{N} : \text{BF}_3$ и истинной энергии активации распада $\text{F}^- \dots \text{H}_3\text{N} : \text{BF}_3$; если, как можно предположить, она меньше, чем E_1 , то образование $\text{F}^- \dots \text{H}_3\text{N} : \text{BF}_3$ является эндотермическим процессом, что вызывается частичной дегидратацией иона F^- при его присоединении.

Таблица 3

Значения $k_2' = 0,4343 k_2$ моль/л мин

$t, ^\circ\text{C}$	k_2'
25	$4,5 \cdot 10^{-5}$
50	$1,58 \cdot 10^{-3}$
60	$5,63 \cdot 10^{-3}$

Выводы

1. Разработан метод непосредственного определения трифтор-аммин-бора в присутствии продуктов его гидролиза.

2. Гидролиз $\text{H}_3\text{N} : \text{BF}_3$ в водных растворах является реакцией первого порядка. Зависимость константы скорости от температуры описывается уравнением (2).

Экспериментальная энергия активации равна $E = 27,2$ ккал/моль, энтропия активации $\Delta S^\ddagger = 3,2$ кал/град. Гидролиз $\text{H}_3\text{N} : \text{BF}_3$ не катализируется ионами H^+ .

3. Гидролиз $\text{H}_3\text{N} : \text{BF}_3$ ускоряется присутствием ионов F^- , пропорционально их концентрации и очень быстро протекает при действии OH^- . Экспериментальная энергия активации не изменяется введением ионов F^- .

4. Рассмотрен вероятный механизм гидролиза $\text{H}_3\text{N} : \text{BF}_3$.

ЛИТЕРАТУРА

1. И. Г. Рысс, Н. П. Писаржевская, Докл. АН СССР, 87, 995, 1953.
2. A. W. Laubengayer, G. F. Condike, J. Amer. Chem. Soc., 70, 227, 1948.
3. И. Г. Рысс, М. М. Слущкая, Бюлл. Всесоюзн. хим. о-ва им. Д. И. Менделеева, № 3, 37, 1940; Ж. физ. химии, 21, 549, 1947.
4. И. Г. Рысс и С. Л. Идельс, Ж. неорган. химии, 2, 2716, 1957.
5. И. Г. Рысс, Т. А. Грибанова, Ж. физ. химии, 29, 1822, 1955.
6. H. C. Brown, S. Johnson, J. Amer. Chem. Soc., 76, 1978, 1954.

KINETICS OF THE HYDROLYSIS OF BORON AMMINE TRIFLUORIDE

I. G. Ryss and S. L. Idel's (Dnepropetrovsk)

Summary

A method has been developed for the direct determination of boron ammine trifluoride in the presence of products of its hydrolysis.

The hydrolysis of $H_3N:BF_3$ in aqueous solutions is a first order reaction. The dependence of the rate constant (in min^{-1}) on the temperature is described by the equation

$$\lg k_{\text{min}^{-1}} = 14.70 - 5945/T.$$

The experimental energy of activation equals $27.2 \text{ kcal, min}^{-1}$, the entropy activation $\Delta S^\ddagger = 3.2 \text{ cal. degree}^{-1}$.

The hydrolysis of $H_3N:BF_3$ is not catalyzed by H^+ ions. It is catalyzed by ions proportionally to their concentration and proceeds very rapidly under the action of OH^- . The experimental activation energy is not changed in the presence of F^- ions.

A possible mechanism for the hydrolysis of $H_3N:BF_3$ has been examined.

ВЛИЯНИЕ ЭЛЕКТРОСТАТИЧЕСКОГО ВЗАИМОДЕЙСТВИЯ МОЛЕКУЛ НА ТЕРМОДИНАМИЧЕСКИЕ ФУНКЦИИ РАСТВОРА

Ким Ен Хо

За последнее время принцип соответственных состояний целесообразно применен к статистической теории растворов рядом авторов [1—6]. При этом предполагается, что потенциальная энергия взаимодействия w_{ij} между двумя молекулами i и j не зависит от взаимных ориентаций молекул и выражается при помощи параметра ϵ_{ij} и универсальной функции f с параметром σ_{ij} следующим образом:

$$w_{ij}(r) = \epsilon_{ij} f(\sigma_{ij}/r). \quad (1)$$

Потенциал Ленард-Джонса, имеющий вид

$$w_{ij}(r) = 4\epsilon_{ij} [(\sigma_{ij}/r)^{12} - (\sigma_{ij}/r)^6], \quad (2)$$

является одним из случаев (1), где ϵ_{ij} — потенциальная энергия пары молекул (относительно бесконечности) в равновесном расстоянии $2^{1/6}\sigma_{ij}$.

Среди ряда работ привлекают внимание работы Пригожина и его сотрудников [5] и работа Скотта [6]. Метод подхода и полученные в обеих работах результаты весьма схожи по характеру. Обе трактовки состоят в том, что применяется принцип соответственных состояний к ячейковой модели растворов и усредняются потенциальные функции вида (2) в ячейке.

В указанных работах [1—6] рассмотрены растворы, состоящие только из неполярных молекул, имеющих сферическую форму и обладающих изотропным полем сил.

Чтобы применить принцип соответственных состояний в случае, при котором энергия взаимодействия w_{ij} зависит от ориентации молекул, Кук и Роулинсон [7] использовали метод статистически усреднения энергии взаимодействия по всем ориентациям молекул. При помощи этого Роулинсон и Суттон [8] расширили теорию конформальных растворов Лонжет-Хиггинса [4].

В настоящей работе мы рассмотрим влияние электростатического взаимодействия молекул, составляющих раствор, на термодинамические функции, применяя принцип соответственных состояний. Для простоты мы ограничимся бинарными растворами.

Используем индексы i и j для обозначения сорта молекул. Предположим, что энергию взаимодействия между двумя молекулами можно написать следующим образом:

$$\begin{aligned} w_{ij}(r, \theta_1, \theta_2, \varphi_1, \varphi_2) = & 4\epsilon_{ij} \left[\left(\frac{\sigma_{ij}}{r} \right)^{12} - \left(\frac{\sigma_{ij}}{r} \right)^6 \right] + \\ & + \frac{1}{2r^6} \mu_i^2 \alpha_j (1 + 3 \cos^2 \theta_1) + \frac{1}{2r^6} \mu_j^2 \alpha_i (1 + 3 \cos^2 \theta_2) + \\ & + \frac{\mu_i \mu_j}{r^3} [-2 \cos \theta_1 \cos \theta_2 + \sin \theta_1 \sin \theta_2 \cos(\varphi_2 - \varphi_1)]. \end{aligned} \quad (3)$$

Здесь μ_i — численное значение собственного момента диполя; α_i — коэффициент поляризации молекул; ϵ_{ij} и σ_{ij} — параметры Ленард-Джонса для пары молекул $i - j$; r — расстояние между центрами молекул; θ_1 и θ_2 — углы между прямой, соединяющей центры двух молекул, и диполем данной молекулы; ϕ_1 и ϕ_2 — азимутальные углы плоскости, содержащей центральную прямую и данный диполь.

Первый член в (3) означает потенциал Ленард-Джонса, второй и третий — энергию взаимодействия между собственным диполем и индуцированным диполем, а последний — энергию взаимодействия между двумя собственными диполями. При учете электростатического взаимодействия мы пренебрегли тем, что дипольный момент каждой молекулы сам изменяется под действием соседних диполей. Формула похожа по форме на потенциал Стокмайера [9], но отличается от него прибавлением второго и третьего членов.

Проведем сначала усреднение w_{ij} по ориентациям молекул. В принципе такое усреднение потенциальной энергии взаимодействия по всем возможным конфигурациям было применено М. И. Шахпароновым [10, 11].

Вычислим эффективную среднюю энергию (свободную энергию) следующим образом:

$$\langle w_{ij}(r) \rangle = -kT \ln \left[\frac{1}{8\pi} \int_0^\pi \int_0^{2\pi} \int_0^{2\pi} e^{-w_{ij}/kT} \sin \theta_1 \sin \theta_2 d\theta_1 d\theta_2 d(\phi_2 - \phi_1) \right].$$

При вычислении суммы по состояниям удается получить правильный результат, как доказано Рунбруком [12], только при использовании $\langle w_{ij}(r) \rangle$ вместо $w_{ij}(r)$.

Подынтегральную функцию в (4) разложим в ряд по степеням $1/T$ и проинтегрируем почленно. Ограничиваясь третьей степенью $1/T$, получаем

$$\langle w_{ij}(r) \rangle = 4\epsilon_{ij} \left[\left(\frac{\sigma_{ij}}{r} \right)^{12} (1 + A_{ij}) - \left(\frac{\sigma_{ij}}{r} \right)^6 (1 + \Delta_{ij}) \right],$$

где

$$A_{ij} = - \frac{1}{40 kT \epsilon_{ij} \sigma_{ij}^{12}} (\mu_i^4 \alpha_j^2 + \mu_j^4 \alpha_i^2),$$

$$\Delta_{ij} = \frac{1}{4\epsilon_{ij} \sigma_{ij}^6} \left(\mu_i^2 \alpha_j + \mu_j^2 \alpha_i + \frac{\mu_i^2 \mu_j^2}{3kT} \right).$$

Следует отметить, что если пренебречь содержащим α_i членом в (5), то параметры Δ_{ij} по характеру похожи на квадраты «обобщенных моментов» полярных молекул, введенных В. К. Семенченко [13] и уточненных М. И. Шахпароновым [14].

Оказалось, что Δ_{ij} , согласно (7), очень мал (обычно $< 0,05$) по сравнению с единицей, и A_{ij} — численно имеет тот же порядок, что квадраты Δ . Поэтому в дальнейшем пренебрежем A_{ij} и вместо (5) запишем

$$\langle w_{ij}(r) \rangle = 4\epsilon_{ij} \left[\left(\frac{\sigma_{ij}}{r} \right)^{12} - \left(\frac{\sigma_{ij}}{r} \right)^6 (1 + \Delta_{ij}) \right].$$

Переносывая (8) в форму (2), имеем

$$\langle w_{ij}(r) \rangle = \epsilon_{ij} (1 + 2\Delta_{ij}) f[r/(1 - \Delta_{ij}/6)],$$

где

$$f(r) = 4 \left[(\sigma_{ij}/r)^{12} - (\sigma_{ij}/r)^6 \right].$$

Как видно из (9), из-за электростатического взаимодействия глубина потенциальной ямы увеличивается на $2\Delta_{ij}\epsilon_{ij}$, и эффективный диаметр толкновения σ_{ij} уменьшается на $\Delta_{ij}\sigma_{ij}/6$. Формально можно легко расширить теорию конформальных растворов Лонжет-Хиггинса на случай растворов, состоящих из полярных молекул, при помощи (9), следуя методу Роулинсона и Суттона [8]. Но, нам кажется, применение прямой трактовки соответственных состояний более полезно, чем это. Мы следуем трактовке Скотта [6] с небольшим изменением.

Рассмотрим ячейковую модель раствора. Предположим, что мы имеем два сорта ячеек: один принадлежит к молекуле сорта 1 и другой — к молекуле сорта 2. Молекула, находящаяся в ячейке, испытывает действие ил окружающих ее молекул. Предположим, что эффективную среднюю перигию можно записать в виде:

$$\langle w_1(r) \rangle = x_1(1 + \delta x_2) \langle w_{11}(r) \rangle + x_2(1 - \delta x_1) \langle w_{12}(r) \rangle, \quad (10)$$

$$\langle w_2(r) \rangle = x_1(1 + \delta x_2) \langle w_{13}(r) \rangle + x_2(1 - \delta x_1) \langle w_{22}(r) \rangle. \quad (11)$$

Здесь индекс 1 относится к компоненту 1 и индекс 2 — к компоненту 2; x_1 и x_2 — мольные доли каждого компонента; δ — параметр, учитывающий небольшое отклонение от полной хаотичности распределения молекул.

Параметр δ имеет следующий смысл: вероятность непосредственного нахождения молекулы сорта 1 около данной молекулы (каким бы сортом ни была эта молекула) будет больше на $\delta x_1 x_2$ той вероятности, которую мы имеем в случае полной хаотичности (она равна x_1), а вероятность непосредственного нахождения молекул сорта 2 около данной молекулы меньше на $\delta x_1 x_2$ той вероятности, которую мы имеем в случае полной хаотичности (она равна x_2).

Введем новые параметры: η , ϕ , ξ и ρ , связанные с параметрами ϵ_{ij} и σ_{ij} следующими соотношениями:

$$\epsilon_{11}/\epsilon = 1 - \eta + \eta^2/2; \quad (12)$$

$$\epsilon_{22}/\epsilon = 1 + \eta + \eta^2/2; \quad (13)$$

$$\epsilon_{12}/\epsilon = 1 - \phi; \quad (14)$$

$$\sigma_{11}/\sigma = 1 - \xi/6; \quad (15)$$

$$\sigma_{22}/\sigma = 1 + \xi/6; \quad (16)$$

$$\sigma_{12}/\sigma = 1 + \rho, \quad (17)$$

где $\epsilon \equiv (\epsilon_{11}\epsilon_{22})^{1/2}$ и $\sigma \equiv (\sigma_{11} + \sigma_{22})/2$.

Здесь мы предполагали, что все новые параметры значительно меньше единицы. В (12) и (13) мы прибавили $\eta^2/2$ потому, что $(1 - \eta + \eta^2/2)(1 + \eta + \eta^2/2) = 1 + O(\eta^4)$ и равенство $\epsilon_{11}\epsilon_{22} = \epsilon^2$ лучше удовлетворяется, чем в случае без него. Значения ϕ и ρ можно оценить с меньшей точностью, чем η и ξ .

Подставляя (8) в (10) и (11), можно переписать $\langle w_1(r) \rangle$ и $\langle w_2(r) \rangle$ в форме (2). В переписанной формуле для $\langle w_1(r) \rangle$ имеем новые параметры Ленард-Джонса, которые мы обозначим через ϵ_1 и σ_1 . Мы также имеем параметры ϵ_2 и σ_2 , относящиеся к $\langle w_2(r) \rangle$. Эти все новые параметры связаны с параметрами ϵ_{ij} , σ_{ij} , δ и Δ_{ij} , и, следовательно, согласно (12) — (17), с параметрами η , ξ , ϕ , ρ , δ и Δ_{ij} .

В дальнейшем пренебрежем всеми членами, содержащими η и ξ в степени выше второй, и, учитывая, что значения ϕ , ρ и Δ_{ij} по порядку меньше, чем вторая степень по η и ξ , пренебрежем всеми членами, содержащими ϕ , ρ и Δ_{ij} в степени выше первой. При этом сохраним члены $\eta\Delta_{ij}$, $\xi\Delta_{ij}$, $\xi\rho$ и т. п.

Проводя вычисление, получаем следующие соотношения:

$$\frac{\varepsilon_1}{\varepsilon} = 1 + x_1 \left[-\gamma + 2\Delta_{11} + \frac{1}{2} \gamma^2 - \xi^2 - 2(\gamma + \xi) \Delta_{11} \right] + x_2 (2\Delta_{12} - \psi) + x_1^2 (\xi^2 + 2\xi\Delta_{11}) + x_1 x_2 [2\xi\Delta_{12} - \gamma\delta + 2\delta(\Delta_{11} - \Delta_{12}) - \xi\rho]; \quad (1)$$

$$\frac{\varepsilon_2}{\varepsilon} = 1 + x_2 \left[\gamma + 2\Delta_{22} + \frac{1}{2} \gamma^2 - \xi^2 + 2(\gamma + \xi) \Delta_{22} \right] + x_1 (2\Delta_{12} - \psi) + x_2^2 (\xi^2 - 2\xi\Delta_{22}) - x_1 x_2 [2\xi\Delta_{12} + \gamma\delta + 2\delta(\Delta_{22} - \Delta_{12}) - \xi\rho]; \quad (1)$$

$$\left(\frac{\sigma_1}{\sigma} \right)^3 = 1 + \frac{1}{2} x_1 \left[-\xi - \Delta_{11} + \gamma\xi + \frac{17}{12} \xi^2 + (\gamma + \xi) \Delta_{11} \right] - \frac{1}{2} x_2 (\Delta_{12} - \rho) - \frac{1}{2} x_1^2 \left[\gamma\xi + \frac{5}{4} \xi^2 + \left(\gamma + \frac{1}{2} \xi \right) \Delta_{11} \right] - \frac{1}{2} x_1 x_2 \left[\left(\gamma + \frac{1}{2} \xi \right) \Delta_{12} + \xi\delta + \delta(\Delta_{11} - \Delta_{12}) - \gamma\rho + \xi\psi - \frac{5}{2} \xi\rho \right]; \quad (2)$$

$$\left(\frac{\sigma_2}{\sigma} \right)^3 = 1 + \frac{1}{2} x_2 \left[\xi - \Delta_{22} + \gamma\xi + \frac{17}{12} \xi^2 - (\gamma + \xi) \Delta_{22} \right] - \frac{1}{2} x_1 (\Delta_{12} - \rho) - \frac{1}{2} x_2^2 \left[\gamma\xi + \frac{5}{4} \xi^2 - \left(\gamma + \frac{1}{2} \xi \right) \Delta_{22} \right] + \frac{1}{2} x_1 x_2 \left[\left(\gamma + \frac{1}{2} \xi \right) \Delta_{12} - \xi\delta + \delta(\Delta_{22} - \Delta_{12}) - \gamma\rho + \xi\psi - \frac{5}{2} \xi\rho \right]. \quad (2)$$

Перейдем теперь к вычислению избыточных функций раствора. Следуя Скотту [6] и используя полученные им формулы, избыточную свободную энтальпию Φ^E для одного моля раствора и мольный объем смещения V^M можно приблизительно записать следующим образом:

$$\Phi^E = E^* (\gamma)^E - \frac{1}{2} T \frac{\partial E^*}{\partial T} (\gamma^2)^E; \quad (2)$$

$$V^M = V^0 (\lambda)^E - T \frac{\partial V^0}{\partial T} [(\gamma)^E + (\gamma\lambda)^E - (\gamma^2)^E] + \frac{1}{2} T^2 \frac{\partial^2 V^0}{\partial T^2} (\gamma^2)^E. \quad (2)$$

Здесь E^* — энергия сцепления (энергия испарения с противоположным знаком) стандартной жидкости, V^0 — мольный объем стандартной жидкости. Кроме того, мы ввели обозначения:

$$(\gamma)^E = x_1 (\gamma_1 - \gamma_{11}) + x_2 (\gamma_2 - \gamma_{22}); \quad (2)$$

$$(\gamma^2)^E = x_1 (\gamma_1^2 - \gamma_{11}^2) + x_2 (\gamma_2^2 - \gamma_{22}^2); \quad (2)$$

$$(\gamma\lambda)^E = x_1 (\gamma_1 \lambda_1 - \gamma_{11} \lambda_{11}) + x_2 (\gamma_2 \lambda_2 - \gamma_{22} \lambda_{22}), \quad (2)$$

где $\gamma_i = \varepsilon_i/\varepsilon - 1$, $\lambda_i = (\sigma_i/\sigma)^3 - 1$, γ_{ii} и λ_{ii} — значения γ_i и λ_i , когда $x_i = 1$ ($i = 1, 2$). Ввиду того что pV^0 и RT по значению гораздо меньше E^* , в (22) мы пренебрегли содержащими их членами.

Из (22) и (23) при помощи (18)–(21) получим

$$\begin{aligned} \frac{\Phi^E}{x_1 x_2} = & -(\gamma^2 + \xi^2 + \gamma\delta + 2\psi) E^* + \frac{3}{2} \gamma^2 E_d^* - 2E^* \Delta^{(2)} + \\ & + [(2\gamma - \xi + \delta) E^* - 3\gamma E_d^*] \Delta^{(1)} - \\ & - \{[(\xi - \delta) E^* + \gamma E_d^*] \Delta^{(2)} + \xi\rho E^*\} (x_1 - x_2); \end{aligned} \quad (2)$$

$$\begin{aligned} \frac{V^M}{x_1 x_2} = & \left(\frac{1}{2} \eta \xi + \frac{11}{24} \xi^2 + \rho - \frac{1}{2} \xi \delta \right) V^0 + \left(-2\eta^2 + \xi^2 + \frac{3}{2} \eta \xi + \eta \delta + 2\phi \right) V_d^0 - \\ & - \frac{3}{2} \eta^2 V_{dd}^0 + \left(\frac{1}{2} V^0 + 2V_d^0 \right) \Delta^{(2)} + \\ & + \left[\frac{1}{4} \left(\eta - \frac{1}{2} \xi - \delta \right) V^0 + \left(\frac{19}{4} \eta - \frac{1}{2} \xi - \delta \right) V_d^0 + 3\eta V_{dd}^0 \right] \Delta^{(1)} + \\ & + \left\{ \left[\frac{1}{4} \left(\eta + \frac{1}{2} \xi - \delta \right) V^0 + \left(\frac{9}{4} \eta + \frac{1}{2} \xi - \delta \right) V_d^0 + \eta V_{dd}^0 \right] \Delta^{(2)} + \right. \\ & \left. + \frac{1}{2} \left(\eta \rho - \xi \phi + \frac{5}{2} \xi \rho \right) V^0 + \xi \rho V_d^0 \right\} (x_1 - x_2), \end{aligned} \quad (28)$$

$$\Delta^{(1)} = \Delta_{11} - \Delta_{22}, \quad (29)$$

$$\Delta^{(2)} = \Delta_{11} + \Delta_{22} - 2\Delta_{12}, \quad (30)$$

, вводя индекс d и dd , мы обозначили

$$\begin{aligned} E_d^* &\equiv T \frac{\partial E^*}{\partial T}, & E_{dd}^* &\equiv T^2 \frac{\partial^2 E^*}{\partial T^2}, \\ V_d^0 &\equiv T \frac{\partial V^0}{\partial T}, & V_{dd}^0 &\equiv T^2 \frac{\partial^2 V^0}{\partial T^2}. \end{aligned}$$

Дифференцируя по температуре T и применяя обычные термодинамические формулы, из (27) можно вычислить другие избыточные функции. Как видно из (7), а также из (29) и (30), $\Delta^{(1)}$ и $\Delta^{(2)}$ вообще зависят от температуры. Что касается параметров η , ξ и т. д., то, если энергия взаимодействия молекул, кроме электростатической, не зависит от ориентации молекул, эти параметры можно считать не зависящими от температуры. Однако, как показано Куком и Роулинсоном [7], в ином случае эти параметры нужно считать зависящими от температуры.

Поскольку полярные молекулы никогда не имеют сферически-симметрической формы, в нашем случае нужно всегда учитывать зависимость этих параметров от температуры. Тем не менее, если мы предполагаем, то эта зависимость незначительна и можно ей пренебречь, то получаем следующие формулы для избыточной энергии S^E и энтальпии смешения H^M :

$$\begin{aligned} \frac{TS^E}{x_1 x_2} = & \left(-\frac{1}{2} \eta^2 + \xi^2 + \eta \delta + 2\phi \right) E_d^* - \frac{3}{2} \eta^2 E_{dd}^* - 2(k_2 E^* - E_d^*) \Delta^{(2)} + \\ & + \{ -k_1 (\xi - 2\eta - \delta) E^* + [(1 - 3k_1) \eta + \xi - \delta] E_d^* + 3\eta E_{dd}^* \} \Delta^{(1)} + \\ & + \{ [-k_2 (\xi - \delta) E^* + (\eta - k_2 \eta + \xi - \delta) E_d^* + \eta E_{dd}^*] \Delta^{(2)} + \xi \rho E_d^* \} (x_1 - x_2); \end{aligned} \quad (31)$$

$$\begin{aligned} \frac{H^M}{x_1 x_2} = & -(\eta^2 + \xi^2 + \eta \delta + 2\phi) (E^* - E_d^*) - \frac{3}{2} \eta^2 E_{dd}^* - \\ & - 2[(1 + k_2) E^* - E_d^*] \Delta^{(2)} - \{(1 + k_1) (\xi - 2\eta - \delta) E^* + \\ & + [(2 + 3k_1) \eta - \xi + \delta] E_d^* + 3\eta E_{dd}^*\} \Delta^{(1)} - \\ & - \{ [(1 + k_2) (\xi - \delta) E^* + (k_2 \eta - \xi + \delta) E_d^* - \eta E_{dd}^*] \Delta^{(2)} + \\ & + \xi \rho (E^* - E_d^*) \} (x_1 - x_2), \end{aligned} \quad (32)$$

$$k_1 = -\frac{1}{\Delta^{(1)}} \left(\bar{T} \frac{d\Delta^{(1)}}{dT} \right). \quad (33)$$

$$k_2 = \frac{1}{\Delta^{(2)}} \left(T \frac{d\Delta^{(2)}}{dT} \right). \quad (34)$$

Здесь следует отметить, что формулы (31) и (32) для TS^E и H^M требуют более узких допущений о свойстве молекул, чем формула (30) для Φ^E .

Несмотря на грубость нашей теории, связанную главным образом с несколькими допущениями в ней, нам кажется, можно сделать следующие выводы, хотя бы обладающие ориентировочным характером:

1. Во всех формулах (27), (28), (31) и (32) для избыточных термодинамических функций (надо отметить, что $H^M = H^E$, $V^M = V^E$) содержатся не отдельные параметры Δ_{11} , Δ_{22} и Δ_{12} , а какие-то разницы этих параметров: $\Delta^{(1)}$ и $\Delta^{(2)}$, выражаемые соотношениями (29) и (30). Отсюда

Значение $c\Delta^{(1)}$ и $c\Delta^{(2)}$ (в системе CGSE)

Система	$\mu_1 \times 10^{-18}$	μ_2	$\alpha_1 \times 10^{-29}$	α_2	$c\Delta^{(1)} \times 10^{-19}$	$c\Delta^{(2)} \times 10^{-19}$
Хлороформ—бензол	1,10	0	0,28	1,03	3,18	0,68
Метиловый спирт — бензол	1,64	0	0,32	1,03	7,60	2,04
Метиловый спирт — хлороформ	1,64	1,10	0,32	0,82	4,42	0,29
Этиловый спирт — хлороформ	1,67	1,10	0,51	0,82	6,05	1,02

следует, что на избыточную термодинамическую функцию влияет только разность электростатических свойств молекул, составляющих раствор. Итак, если она мала, т. е. $\Delta^{(1)} \approx 0$ (следовательно, и $\Delta^{(2)} \approx 0$), электростатические взаимодействия молекул, если даже и не малые, влияют на избыточные термодинамические функции растворов. Это объясняется тот факт, что Φ^E очень мала в некоторых ассоциированных растворах (как, например, в растворах этилового спирта с метилом или с пропиолом).

2. Величину Φ^E при эквимольной концентрации обозначим $(\Phi^E)_{\text{эл}}$, разделим ее на две части:

$$(\Phi^E) = (\Phi^E)^0 + (\Phi^E)_{\text{эл}}; \quad (3)$$

$$\frac{1}{4}(\Phi^E)^0 = (\eta^2 + \xi^2 + \eta\delta + 2\psi)(-E^*) + \frac{3}{2}\eta^2 E_d^*; \quad (3)$$

$$\frac{1}{4}(\Phi^E)_{\text{эл}} = 2(-E^*)\Delta^{(2)} - [(2\eta - \xi + \delta)(-E^*) + 3\eta E_d^*]\Delta^{(1)}. \quad (3)$$

Следует здесь отметить, что при обмене обоих компонентов между собой изменяются знаки параметров η , ξ , δ и $\Delta^{(1)}$ и не изменяются знаки параметров ψ и $\Delta^{(2)}$. Следовательно, значение (Φ^E) при обмене компонентов между собой остается постоянным.

Избыточная свободная энтальпия $(\Phi^E)^0$ раствора при отсутствии электростатического взаимодействия молекул, как правило, имеет положительное значение (как, например, в растворах: четыреххлористый углерод — бензол, бензол — циклогексан, бензол — сероуглерод и т. д.). Это объясняется выражением (36) для $(\Phi^E)^0$, в которой $-E^* > 0$, $E_d^* > 0$, и, вероятно, $\eta^2 + \xi^2 > |\eta\delta + 2\psi|$.

Вклад в избыточную свободную энтальпию $(\Phi^E)_{\text{эл}}$, вносимый электростатическим взаимодействием молекул, может быть или положительным или отрицательным.

Чтобы оценить знаки и приблизительные значения величины $\Delta^{(1)}$ и $\Delta^{(2)}$, мы допустим, что $\epsilon_{11}\sigma_{11}^6 = \epsilon_{22}\sigma_{22}^6 = \epsilon_{12}\sigma_{12}^6 = c^{-1}/4$, где c — поло-

ельная постоянная. В таблице приведены вычисленные таким образом значения $c\Delta^{(1)}$ и $c\Delta^{(2)}$. Как видно из таблицы, обычно $\Delta^{(2)} > 0$, и если молекула компонента 1 более полярная, чем молекула компонента 2, то также $\Delta^{(1)} > 0$. Кроме того, видно, что $\Delta^{(2)}$ значительно меньше, чем $\Delta^{(1)}$.

Если $\Delta^{(1)} \gg |\Delta^{(2)}|$ и $2\gamma > |\xi - \delta|$, как частный случай, то из (37) возможно $(\Phi^E)_{\text{эл}} < 0$. Итак, весьма возможно, что также $(\Phi^E) < 0$, когда раствор содержит хотя бы один компонент полярной молекулы. В литературе мы встречаемся с некоторыми такими случаями, как, например: бензол — хлороформ [15], хлороформ — ацетон [16], этиловый спирт — диэтиламин [17] и т. д.

3. Как известно, зависимость избыточных термодинамических функций Φ^E (например, Φ^E , S^E , H^M и т. д.) от состава x_1 (или x_2) большей частью выражается несимметричной кривой. В первом приближении асимметрия этой кривой выражается линейной зависимостью G^E/x_1x_2 от x_1 (или x_2), как в формулах (27), (28), (31) и (32), в которых последний член, содержащий $(x_1 - x_2)$, дает меру асимметрии. Здесь можно видеть, что значения последнего члена меньше по порядку, чем остальные, так как $\Delta^{(2)}$ меньше по порядку, чем $\Delta^{(1)}$.

4. Фактор перед $(x_1 - x_2)$ в (27) обозначим через K :

$$K = [(\xi - \delta)E^* + \eta E_d^* \Delta^{(2)} + \xi \rho E^*]. \quad (38)$$

Если $K > 0$, то Φ^E/x_1x_2 увеличивается с увеличением x_2 (или уменьшением x_1) и максимум кривой Φ^E (в случае $\Phi^E > 0$) смещается в сторону компонента 2. Если $K < 0$, то этот максимум смещается в сторону компонента 1. Абсолютное значение величины K является мерой асимметрии кривой Φ^E .

Если молекула компонента 1 больше молекулы компонента 2, то, вероятно, $\xi > 0$ и $\delta > 0$, исходя из определения этих параметров, а в то же время $\eta > 0$, так как большая молекула обычно обладает большим значением параметра ϵ_{ii} , чем маленькая молекула, т. е. $\epsilon_{22} > \epsilon_{11}$.

Благодаря малости параметра ρ и компенсации параметров ξ и δ между собой, вероятно, что знак и приблизительное значение величины определяются знаком и значением члена $\eta E_d^* \Delta^{(2)}$ в (38), значение которого превосходило бы остальные.

Из указанного вытекает следующее правило: во первых, асимметрия кривой Φ^E тем более, чем больше разница размеров (η) молекул компонентов и чем больше разница электростатических свойств ($\Delta^{(2)}$) молекул компонентов; во вторых, максимум этой кривой Φ^E смещается в сторону компонента большей молекулы (точнее говоря, молекулы, обладающей большим значением ϵ_{ii}).

Второе правило отличается от правила, высказанного В. А. Киреевым [8], в котором говорится, что значение Φ^E/x_1x_2 обычно увеличивается с повышением содержания в смеси менее полярного компонента. Насколько нам известно, имеющиеся экспериментальные данные, в том числе те данные, которые рассмотрены В. А. Киреевым [18], объясняются как нашим правилом, так и правилом, высказанным В. А. Киреевым.

В заключение автор выражает глубокую благодарность проф. М. И. Шапаронову, под руководством которого была выполнена эта работа.

Выводы

1. Вычислены избыточные термодинамические функции для растворов, составленных из полярных молекул, при помощи использования трактовок, в которой подходящим образом применен принцип соответственных состояний. На основании полученных формул рассмотрено влияние элект-

тростатического взаимодействия молекул на избыточные термодинамические функции.

2. Показано, что это влияние может быть малым в случае, когда молекулы компонентов раствора обладают сходным электрическим свойством.

3. Показано, что из-за электростатического взаимодействия молекулы значения избыточной свободной энтальпии могут быть и отрицательными в частном случае.

4. Показано, что асимметрия в кривой, выражающей зависимости избыточной свободной энтальпии от мольной доли раствора, возникает из-за наличия разницы размеров и разницы электростатических свойств молекул обоих компонентов, и максимум (минимум) этой кривой, как правило, смещается в сторону компонента большей (меньшей) молекулы.

Московский государственный
университет им. М. В. Ломоносова

Поступила
16.VII.1957

ЛИТЕРАТУРА

1. H. C. Longuet-Higgins, Proc. Roy. Soc., A205, 247, 1951.
2. I. Prigogine, V. Mathot, J. Chem. Phys., 20, 49, 1952.
3. Z. W. Salsburg, J. G. Kirkwood, J. Chem. Phys., 21, 2169, 1953.
4. I. Prigogine, A. Bellemans, Disc. Faraday Soc., 15, 80, 1953.
5. I. Prigogine, A. Bellemans, A. Englert-Chwols, J. Chem. Phys., 24, 518, 1956.
6. R. L. Scott, J. Chem. Phys., 25, 193, 1956.
7. D. Cook, J. S. Rowlinson, Proc. Roy. Soc., A219, 405, 1953.
8. J. S. Rowlinson, J. R. Sutton, Proc. Roy. Soc., A229, 271, 396, 1955.
9. W. H. Stockmayer, J. Chem. Phys., 9, 398, 1941.
10. М. И. Шахпаронов, Ж. физ. химии, 25, 1103, 1951.
11. М. И. Шахпаронов, Введение в молекулярную теорию растворов, 1957, стр. 378.
12. G. S. Rushbrooke, Trans. Faraday Soc., 36, 1055, 1940.
13. В. К. Семенченко, Изв. Сектора физ.-хим. анализа ИОНХ АН СССР, 22, 1952.
14. М. И. Шахпаронов, Ж. физ. химии, 26, 1834, 1952.
15. В. А. Киреев, И. П. Ситников, Ж. общ. химии, 16, 979, 1946.
16. В. А. Киреев, Ж. физ. химии, 14, 1456, 1940.
17. J. L. Corpe, D. H. Everett, Disc. Faraday Soc., 15, 174, 1953.
18. В. А. Киреев, Ж. физ. химии, 16, 124, 1942.

THE INFLUENCE OF ELECTROSTATIC INTERACTION OF MOLECULES ON THE THERMODYNAMIC FUNCTIONS OF SOLUTIONS

Kim Yong Ho

Summary

The excess thermodynamic functions for solutions of polar molecules have been calculated with the aid of a method in which proper use was made of the principle of corresponding states. Based on the formulas obtained the effect of electrostatic interaction of molecules on the excess thermodynamic functions has been examined. It has been shown that the effect may be small when both molecules of the components of the solution are endowed with similar electrical properties. Owing to electrostatic interaction of the molecules the excess free enthalpy has been shown capable of assuming negative values in particular cases.

It has been shown that asymmetry in the curve describing the dependence of excess free enthalpy on the molar fraction of the solution arises because of the difference in sizes and in electrostatic properties of the molecules of both components and as a result the maximum (minimum) of the curve shifts toward the larger (smaller) molecule component.

ТЕПЛОТА АДСОРБЦИИ НОРМАЛЬНЫХ АЛКАНОВ
НА СИЛИКАГЕЛЕ

А. А. Исирикин, А. В. Киселев и Б. А. Фролов

На основании аддитивности ван-дер-ваальсовых сил, ответственных за физическую адсорбцию, целесообразно определить энергию адсорбции отдельных звеньев гомологических рядов органических соединений и оценить энергию, вносимую двойной, тройной и сопряженной связями, изомеризацией, циклизацией, замещениями и другими особенностями строения молекул с тем, чтобы в дальнейшем, опираясь на значения соответствующих инкрементов, вычислять энергию адсорбции сложного соединения. Такая задача поставлена нами прежде всего для адсорбции углеводов и их производных [1—12].

Решение этой задачи для адсорбционных систем возможно двумя путями: теоретическим расчетом энергии адсорбции и непосредственным измерением теплот адсорбции в калориметре или определением их из изостер. Теоретические расчеты энергии адсорбции углеводов проведены лишь для адсорбентов, обладающих однородной поверхностью и простым строением решетки, например, для адсорбции на графите [1—3, 12] и окиси магния [7]. В случае же адсорбции на адсорбентах со сложным или неопределенным строением объема твердых частиц, с геометрически и химически неоднородной поверхностью теоретические расчеты затруднительны. В таких случаях необходимые для расчетов энергии адсорбции сложных молекул инкременты можно получить из непосредственных измерений зависимости дифференциальных теплот адсорбции Q_a от заполнения поверхности θ . Силикагели являются примером таких адсорбентов с геометрической и химической неоднородностью поверхности [13—15].

Измерения теплот адсорбции углеводов на силикагелях, кварце и кремнеземах произведены нами в работах [10, 11, 16—19]. В настоящей работе продолжено исследование теплоты адсорбции *n*-алканов на широкопористом силикагеле, начатое в работах [10, 16], и измерены теплоты адсорбции *n*-пентана и *n*-октана.

Аппаратура. Примененная в этой работе адсорбционно-калориметрическая установка представляет собою упрощенный вариант описанной в [20]*. Адсорбция измерялась объемно-жидкостным методом при помощи капиллярных микробюреток диаметром в 1—3 мм, давление — манометром Мак-Леода и ртутным U-манометром. Точность измерения уровня жидкости в капиллярах и U-манометре составляла 20 мк. Разделение частей установки производилось при помощи ртутных клапанов. Калориметр работал по принципу постоянства теплообмена с одной металлической автоматически управляемой оболочкой. Температура его измерялась платиновым термометром сопротивления. Термометрическая чувствительность составляла $5 \cdot 10^{-5}$ градуса калориметрическая чувствительность — около $5 \cdot 10^{-3}$ кал. Все измерения проводились при 25° С.

Материалы. Как и в работах [10, 11, 13, 16], был применен однородноширопористый силикагель КСК-2 с удельной поверхностью 320 м²/г и диаметром пор около 100 Å. Перед опытами силикагель откачивался в высоком вакууме при 200° С течение 30 час. *n*-Пентан был взят после исследования теплоты его адсорбции на рафитированной саже [4], *n*-октан был синтезирован из *n*-бутанола. Некоторые константы примененных углеводов приведены в таблице.

* Установка построена совместно с Г. Г. Муттиной и будет подробно описана отдельно.

Изотермы адсорбции. Изотермы адсорбции *n*-пентана и *n*-октана на силикагеле КСК-2 приведены на рис. 1. Изотерма адсорбции пентана, испытывая небольшой более крутой подъем при самых малых степенях заполнения, далее поднимается почти прямолинейно до относительного давления пара $p/p_s = 0,4$. Проведенная пунктиром десорбционная ветвь изотермы для октана снята не от полного насыщения $p/p_s =$

Константы примененных углеводородов

Углеводороды	d_4^{20}	n_D^{20}	L^{25} ккал/моль
<i>n</i> -Пентан	0,6264	1,3513	—
<i>n</i> -Октан	0,7033	1,3978	10,0

[17] в соответствии с увеличением полной теплоты адсорбции. Абсолютная изотерма адсорбции пентана близка к полученной в [21] для кварца, стеклянных шариков и такого же широкопористого силикагеля и выражается уравнением БЭТ с константами $\alpha_m = 2,7$ $\mu\text{моль}/\text{м}^2$ ($\omega_0 = 62 \text{ \AA}^2$) $c \approx 3,5$.

При переходе к октану выполнимость уравнения БЭТ нарушается в связи с малой абсолютной величиной чистой теплоты адсорбции Q_a и с уменьшением относительной ее величины $(Q_a - L)/L$. Из приведенных ниже данных следует, что величина $(Q_a - L)/L$ при переходе от пентана к октану уменьшается от 0,17 до 0,14, в отличие от адсорбции на графитированной саже, для которой это отношение велико ($\approx 0,6$), и почти не изменяется от пентана к октану, что приводит к резко выпуклым изотермам адсорбции и к расширению области выполнимости уравнения БЭТ при переходе от пентана к октану [4, 5]. Последнее находится в соответствии с тем, что более общее уравнение изотермы адсорбции паров, учитывающее взаимодействие адсорбат—адсорбат [22, 23], при больших энергиях адсорбции сближается с уравнением БЭТ.

Для определения величины заполнения поверхности $\theta = \alpha/\alpha_m$ надо знать емкость монослоя α_m . В случае слабо адсорбирующихся веществ заметную роль играют взаимодействия адсорбат—адсорбат [24], и уравнение БЭТ в таких случаях не может дать правильных значений α_m . Поэтому мы воспользовались зависимостью величины площади молекул нормальных алканов ω_0 , занимаемой в плотном монослое на силикагеле, от числа углеродных атомов в их молекуле [17]. Этот приближенный способ дает для *n*-октана $\omega_0 = 92 \text{ \AA}^2$ и $\alpha_m = 1,8 \mu\text{моль}/\text{м}^2$.

Дифференциальные теплоты адсорбции. На рис. 2 приведены дифференциальные теплоты адсорбции *n*-пентана и *n*-октана на силикагеле КСК-2. Начальное резкое падение теплот адсорбции

но лишь от $p/p_s = 0,6$, т. е. она является линией пересечения петли гистерезиса [11, 16]. Сопоставление абсолютных изотерм адсорбции *n*-пентана и октана с абсолютными изотермами адсорбции *n*-гексана и *n*-гептана в этом же силикагеле [10] показывает, что в пределах заполнения монослоя при данном абсолютном значении давления пара величина адсорбции от пентана к октану увеличивается

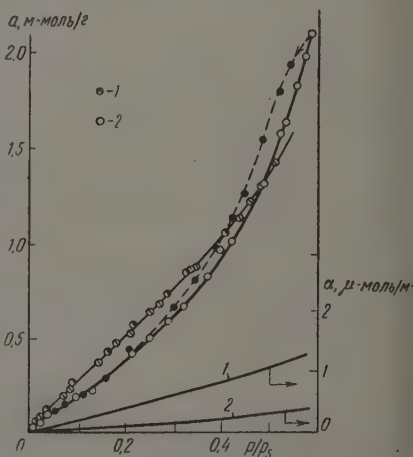


Рис. 1. Изотермы адсорбции паров: 1 — пентана и 2 — *n*-октана на широкопористом силикагеле и на воде (кривые без точек); черные точки — десорбция

бязано, как отмечалось в работе [10], неоднородности поверхности силикагеля. После заполнения $\sim 30\%$ поверхности теплоты адсорбции превышают теплоты конденсации соответствующих паров приблизительно лишь на 1,5 ккал/моль. Дальнейшая адсорбция сопровождается весьма малым падением теплот. В области $\theta > 1$ теплота адсорбции уменьшается весьма медленно, оставаясь, как и в случае адсорбции гексана и гептана на силикагеле [10, 11], значительно большей теплоты конденсации L . В этой области величина чистой теплоты адсорбции характеризует не только адсорбционное поле силикагеля, сильно экранируемое уже первым слоем адсорбированных молекул углеводородов (как при адсорбции на кварце [19]), сколько сокращение с ростом адсорбции поверхности адсорбционной пленки в порах силикагеля [11, 19].

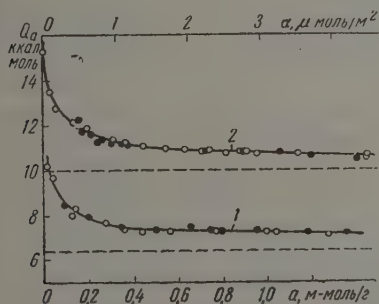


Рис. 2

Рис. 2. Дифференциальные теплоты адсорбции паров: 1 — *n*-пентана и 2 — *n*-октана на широкопористом силикагеле. Горизонтальные пунктирные линии — теплоты конденсации; черные точки — десорбция.

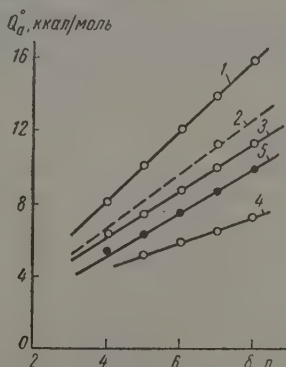


Рис. 3

Рис. 3. Зависимость стандартных (при $\theta = 0,5$) дифференциальных теплот адсорбции *n*-алканов от числа углеродных атомов в их молекуле: 1 — на графитированной саже; 2 — на окиси магния; 3 — на широкопористом силикагеле; 4 — на воде (при $\theta = 0$) и 5 — соответствующая зависимость теплоты конденсации.

Зависимость теплоты адсорбции *n*-алканов на силикагеле от числа атомов углерода в их молекуле. При адсорбции углеводородов на силикагеле между взаимодействующими центрами адсорбента и адсорбата проявляются, наряду силами отталкивания и дисперсионного притяжения, также и индукционные силы притяжения, вызываемые поляризацией молекул углеводородов главным образом диполями гидроксильных групп поверхности силикагеля. Проявление индукционных сил отличает адсорбцию *n*-алканов на силикагелях от ранее рассмотренного случая их адсорбции на графите [1—6]. Расчет энергии адсорбции углеводородов с учетом индукционных сил был выполнен для адсорбции на окиси магния [7]. В случае силикагеля для проведения аналогичного расчета нужны детальные сведения о строении объема частиц его скелета и о дипольном моменте, количестве и расположении на их поверхности гидроксильных групп. Так как эти сведения еще недостаточны [15], то произвести полный количественный расчет энергии адсорбции углеводородов на силикагеле затруднительно.

В случае адсорбции на силикагеле к энергии дисперсионных и отталкивательных сил также добавляется энергия индукционных взаимодействий с электростатическим полем, создаваемым главным образом диполями гидроксильных групп. Константа индукционного взаимодействия и здесь

пропорциональна поляризуемости n -алкана, поэтому общая энергия адсорбции n -алканов на силикагеле должна быть также линейной функцией числа атомов углерода в их молекуле.

Неоднородность поверхности силикагеля и взаимодействие полиризованных ею молекул алканов, а также наложение полимолекулярной адсорбции, характерное для слабо адсорбирующихся веществ и капиллярной конденсации приводят к сложной зависимости теплот адсорбции от заполнения поверхности (рис. 2). Однако эти осложняющие факторы, по-видимому, меньше сказываются в средней области заполнения, так как особенно неоднородные места здесь уже заполнены, а сил взаимодействия между молекулами адсорбата на остальной части поверхности еще не велики. Поэтому за стандартное состояние адсорбированного вещества на поверхности силикагеля мы приняли здесь, как и в предыдущих работах [1—11], половину заполнения монослоя $\theta = 0,5$. Так как определение величины α_m для n -октана было связано с экстраполяцией зависимости ω_0 от n , то соответствующая неточность вносится и в определение $\theta = 0,5$. Однако из рис. 2 видно, что вблизи $\theta = 0$ дифференциальные теплоты адсорбции n -алканов изменяются весьма мало, так что погрешность оценки $\theta = 0,5$ заметной ошибки в определение стандартных величин теплот адсорбции Q_a^0 не вносит.

Из рис. 3 видно, что стандартные дифференциальные теплоты адсорбции Q_a^0 n -алканов на кремнеземе возрастают с ростом n линейно*.

На этом же рисунке приведена для сопоставления зависимость Q_a^0 от n , определенная калориметрически для адсорбции n -алканов на графитированной саже [4,5] и на окиси магния [7] (точка — изостерическая теплота, взятая из работы [26]). На рис. 3 приведена также данная в работе [27] зависимость дифференциальной теплоты адсорбции n -алканов на воде при $\theta = 0$. Все эти свойства n -алканов хорошо выражаются аддитивными функциями, т. е. увеличиваются с ростом n линейно в соответствии с уравнениями:

адсорбция на графитированной саже

$$Q_a^0 = 0,7 + 1,9 n \text{ ккал/моль};$$

адсорбция на окиси магния

$$Q_a^0 = 0,6 + 1,5 n \text{ ккал/моль};$$

адсорбция на широкопористом силикагеле

$$Q_a^0 = 1,0 + 1,3 n \text{ ккал/моль};$$

теплота конденсации

$$L = 0,4 + 1,2 n \text{ ккал/моль};$$

адсорбция на воде

$$Q_{a \rightarrow 0} = 1,7 + 0,7 n \text{ ккал/моль}.$$

Для адсорбции на широкопористом силикагеле с гидратированной поверхностью инкременты стандартных теплот адсорбции составляют $Q_{CH_4}^0 = 1,8$ ккал/моль и $Q_{CH_2}^0 = 1,3$ ккал/моль. По этим данным в дальнейшем можно рассчитать теплоты адсорбции на соответствующих адсорбентах для значительно большего числа n -алканов при условии плоской ориентации. В ряду адсорбентов графит — MgO — $SiO_2 \cdot nH_2O$ — H_2O энергия адсорбции уменьшается, в соответствии с этим изменяется и фо-

* Таким образом, данные настоящей работы уточнили найденную нами зависимость [10, 17], полученную лишь на основании данных для гексана и гептана [10] и изостерической теплоты адсорбции бутана на шариках кварцевого стекла [25].

а изотермы адсорбции. Изотермы адсорбции *n*-алканов на графитированной саже с однородной поверхностью имеют выпуклую форму и хорошо описываются не только уравнением БЭТ, но и уравнением Лэнгмюра. Переход к адсорбции во втором слое проявляется здесь в виде резкого падения кривой $Q_a(\theta)$ вблизи $\theta = 1$ [4, 5]. При переходе к MgO и силикагелю истая теплота адсорбции резко уменьшается, и в соответствии с этим изменяется форма изотерм адсорбции: на силикагеле они имеют небольшую выпуклость лишь в начальной части (высокие начальные теплоты адсорбции, см. рис. 2), а далее поднимаются весьма медленно. В этом случае, вероятно, все большее значение приобретает взаимное притяжение молекул углеводородов в адсорбционном слое, а также адсорбция во втором слое, налагающаяся на адсорбцию в первом слое, когда часть поверхности остается еще свободной, что приводит к сглаживанию кривой $Q_a(\theta)$ при $\theta \approx 1$. Наклон линии $Q_a(n)$ для силикагеля весьма близок к наклону линии $L(n)$, чем и вызывается падение величины $(Q_a^0 - L)/L$ с ростом n в этом случае, приводящее к отмеченному выше ухудшению применимости уравнения БЭТ с ростом n .

Выводы

В калориметре с постоянным теплообменом при помощи адсорбционной установки с жидкостной микробюреткой измерены изотермы адсорбции и дифференциальные теплоты адсорбции паров *n*-пентана и *n*-октана на широкопористом силикагеле.

2. Сопоставлены линейные зависимости стандартных дифференциальных теплот адсорбции *n*-алканов от числа атомов углерода в их молекуле для адсорбции на графитированной саже, окиси магния, силикагеле и воде. Для этого ряда адсорбентов стандартные теплоты адсорбции *n*-пентана, в частности, составляют: на графите 14,0, на окиси магния 11,2, на силикагеле 10,1 ккал/моль.

Московский государственный
университет им. М. В. Ломоносова

Поступила
17.VII.1957

ЛИТЕРАТУРА

1. Н. Н. Авгуль, Г. И. Березин, А. В. Киселев, И. А. Лыгина, Ж. физ. химии, 30, 2106, 1956.
2. Н. Н. Авгуль, А. В. Киселев, Г. И. Березин и И. А. Лыгина, Изв. АН СССР, Отд. хим. н., 1304, 1956.
3. Н. Н. Авгуль, А. В. Киселев, Докл. АН СССР, 112, 673, 1956.
4. Н. Н. Авгуль, Г. И. Березин, А. В. Киселев, И. А. Лыгина, Изв. АН СССР, Отд. хим. н. 1021, 1957.
5. A. V. Kiselev, Proc. of the Second International Congress on Surface Activity, vol. II, 168, Butterworth — London, 1957.
6. Н. Н. Авгуль, А. А. Исириян, А. В. Киселев, И. А. Лыгина, Д. Пошкус, Изв. АН СССР, Отд. хим. н., 1314, 1957.
7. А. В. Киселев, Д. П. Пошкус, Ж. физ. химии, 32, 2824, 1958.
8. Н. Н. Авгуль, Г. И. Березин, А. В. Киселев, И. А. Лыгина, Изв. АН СССР, Отд. хим. н., № 5, 1959.
9. Н. Н. Авгуль, Сборник «Поверхностные химические соединения и их роль в явлениях адсорбции», Изд-во МГУ, 1957, стр. 34.
10. А. А. Исириян, А. В. Киселев, Ж. физ. химии, 31, 2127, 1957.
11. А. А. Исириян, А. В. Киселев, Ж. физ. химии, 32, 679, 1958.
12. А. В. Киселев, Вестн. АН СССР, № 10, 43, 1957.
13. П. Д. Белякова, А. В. Киселев, Докл. АН СССР, 119, 298, 1958.
14. А. В. Киселев, Сборник «Поверхностные химические соединения и их роль в явлениях адсорбции», Изд-во МГУ, 1957, стр. 99, 199.
15. С. П. Жданов, А. В. Киселев, Ж. физ. химии, 31, 2213, 1957.
16. А. А. Исириян, А. В. Киселев, Докл. АН СССР, 110, 1009, 1956.
17. А. В. Киселев, Успехи химии, 25, 705, 1956.
18. А. А. Исириян, А. В. Киселев, Докл. АН СССР, 115, 343, 1957.
19. А. А. Исириян, А. В. Киселев, Докл. АН СССР, 119, 731, 1958.
20. Н. Н. Авгуль, Г. И. Березин, А. В. Киселев, И. А. Лыгина, Г. Г. Муттик, Ж. физ. химии, 31, 1111, 1957.

21. А. В. Киселев, Ю. А. Эльтеков, Ж. физ. химии, 31, 250, 1957.
22. А. В. Киселев, Д. П. Пошкус, Изв. АН СССР, ОХН., 520, 1958.
23. А. В. Киселев, Коллоидн. ж., 20, 338, 1958.
24. А. В. Киселев, Н. В. Ковалева, В. А. Синицын, Е. В. Хропова, Коллоидн. ж., 20, 444, 1958.
25. R. T. Davies, J. W. De-Witt, J. Amer. Chem. Soc., 70, 1135, 1948.
26. G. D. L. Schreiner, C. Kemball, Trans. Faraday Soc., 49, 292, 1953.
27. D. C. Jones, R. M. Ottewill, J. Chem. Soc. 4076, 1955.

THE HEAT OF ADSORPTION OF NORMAL ALKANES ON SILICA GELS

A. A. Isirikyan, A. V. Kiselev and B. A. Frolov (Moscow)

Summary

The isotherms and differential heats of adsorption of *n*-pentane and *n*-octane on silica gel of wide pores have been determined with the aid of a calorimeter with constant heat exchange. The standard values for the differential heats of adsorption of *n*-alkanes increase linearly with the number of carbon atoms in the molecule. The standard partial heat of adsorption of *n*-alkanes on silica gel changes little on passing over from *n*-pentane to *n*-octane, constituting only 1.0—1.3 kcal/mole. Hence the BET equation ceases to hold on transition from lower to higher alkanes. On passing from adsorption on graphite to adsorption on water the heat of adsorption falls by about twice. In particular, the standard heats of adsorption of *n*-heptane are (in kcal/mole) on graphite 14.0, on magnesium oxide 11.2, on silica gel 10.0, the heat of condensation being 8.75.

ЭЛЕКТРОДНЫЕ ПОТЕНЦИАЛЫ СПЛАВОВ Cd—Sb

В. А. Юрков и В. В. Некрасов

При исследовании электрохимических свойств металлических сплавов особый интерес представляет выяснение зависимости электродного потенциала сплава от его состава. Наиболее подробно в этом отношении исследованы потенциалы сплавов, представляющие собой твердые растворы компонентов [1, 2]. Не меньший интерес представляет изучение систем химическими соединениями типа ZnSb , $[\text{Mg}_3\text{Sb}_2]$ и другие, обладающие хорошо выраженными полупроводниковыми свойствами [3, 4].

Одной из таких систем является система Cd — Sb, в которой термическим анализом установлено существование двух соединений: Cd_3Sb_2 и CdSb [5]. Соединение Cd_3Sb_2 при понижении температуры распадается, по-видимому, не полностью, так как на кривой термо-э. д. с. — состав имеется в области соответствующей концентрации сурьмы ярко выраженный максимум [6]. Соединение CdSb устойчиво до температуры плавления. По данным работы [7], соединение CdSb обладает полупроводниковыми свойствами и может быть использовано как материал для выпрямителей усилителей.

В электрохимическом отношении система Cd — Sb, насколько нам известно, исследована недостаточно. Представляется поэтому желательным дальнейшее накопление экспериментальных данных об электрохимических свойствах сурьмы, кадмия и их сплавов. Важнейшей электрохимической характеристикой сплава является значение его электродного потенциала и зависимость последнего от состава. Ниже излагаются результаты изменений электродного потенциала сплавов Cd — Sb в некоторых электролитах.

Экспериментальная часть

При выяснении структуры кривой потенциал сплава — состав сплава существенное значение имеет методика измерения электродного потенциала. Необходимо в возможности исключить или в значительной мере ослабить влияние поляризационных процессов и «выщелачивание» наиболее растворимого компонента. В данной работе для измерений электродного потенциала сплавов использовался баллистический гальванометр [8] марки ГЗБ-47 с периодом колебаний 26 сек. и чувствительностью 46 мВ/мкС. В качестве конденсатора был взят эталонный магазин емкостей Е-4. Измерения электродного потенциала сплавов проводились относительно нормального каломельного электрода.

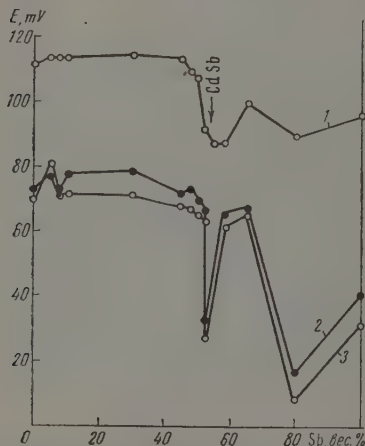
Образцы сплавов для данных исследований готовились по методике, описанной [9], и представляли собой цилиндрики высотой 15—20 мм при диаметре 8—10 мм. После приготовления образцы специальному отжигу не подвергались. Всего было приготовлено 12 сплавов следующего состава: 5,7; 6; 10; 30; 45; 48; 50; 52; 58; 65; 90% Sb; наибольшее число сплавов имело состав, близкий к составу, соответствующему соединению CdSb .

Измерение потенциала проводилось следующим образом. Испытуемый образец, предварительно механически зачищенной торцевой поверхностью, укреплялся в специальной зажим, после чего приводился в соприкосновение с электролитом. Получившийся гальванический элемент образец — электролит — н. к. э. подключался к короткое время (5—6 сек.) к конденсатору, который вслед за этим разряжался через гальванометр. Отброс последнего позволял определить э. д. с. испытуемого элемента. Для определения цены деления шкалы гальванометра использовался потенциометр ПТВ-1.

Предварительные опыты показали, что начальные значения потенциалов всех образцов были несколько выше последующих, но через 10—15 мин последний принимал практически постоянное значение. За этот промежуток времени потенциал исследуемых образцов уменьшался в среднем на 10—15% от первоначального значения. Установившийся потенциал образца принимался за его искомое значение.

В качестве электролитов использовались 1 N водные растворы H_2SO_4 , HCl и NaOH . Растворы готовились на дважды дистиллированной воде.

Результаты измерений электродного потенциала сплавов $\text{Cd} - \text{Sb}$ приведены на рисунке в виде кривых потенциал — состав. Анализ кривых



Зависимость электродного потенциала сплавов $\text{Cd} - \text{Sb}$ от состава: 1— NaOH , 2— HCl ; 3— H_2SO_4

показывает, что потенциал сплавов при добавлении сурьмы становится все более положительным; абсолютное значение потенциала сплавов в растворе щелочи выше, чем в растворах кислот HCl и H_2SO_4 . Вместе с тем изменение электродного потенциала с изменением состава сплавов выражено менее резко, чем для кислотных электролитов.

В области малых концентраций сурьмы (до 10% Sb) на кривых 2 и 3 имеется небольшой максимум, соответствующий сплаву с 5% Sb , так что потенциал сплава оказывается более электроотрицательным, чем потенциал чистого кадмия. Это обстоятельство представляется интересным в том отношении, что обычно добавки электроположительного компонента уменьшают потенциал сплава [1]. Уменьшение потенциала сплавов в области 7,5% Sb связано, возможно, с образованием эвтектической структуры.

Резкий минимум на кривой, лежащей в области 52% Sb , является, несомненно, следствием образования химического соединения CdSb . При этом потенциал соединения оказывается более электроположительным, чем потенциал обоих компонентов. Это обстоятельство связано, возможно, с резким сокращением числа свободных электронов, что соответствует данным работы [7], согласно которым электропроводность CdSb значительно меньше электропроводности сурьмы и кадмия. Отметим, что образование соединения CdSb в тройных системах также приводит к резкому изменению потенциала сплавов [10].

Второй достаточно глубокий минимум потенциала наблюдается во всех трех кривых для сплава, содержащего 80% Sb . Сравнение кривых рисунка с диаграммой плавкости системы не позволяет без дополнительных исследований высказать достаточно обоснованное предположение о природе данного минимума.

Авторы признательны М. А. Поповой за большую помощь в эксперименте.

Выводы

1. Исследовалась зависимость электродного потенциала сплавов $\text{Cd} - \text{Sb}$ от состава сплава в водных растворах H_2SO_4 , HCl , NaOH .
2. Зависимость потенциала от состава изображается кривыми, имеющими три резко выраженных минимума. Сопоставление кривых с диаграммой плавкости позволяет думать, что минимум при содержании сурьмы

7,5% обусловлен эвтектическим строением сплава; минимум при 52% связан с образованием соединения CdSb. Природа минимума при 80% остается невыясненной.

Архангельский лесотехнический
институт

Поступила
17.VII.1957

ЛИТЕРАТУРА

1. Г. В. Акимов, Основы учения о коррозии и защите металлов, Металлургиздат, 1946.
2. В. О. Крениг, Коррозия металлов, М.—Л., 1938.
3. А. Ф. Иоффе, Полупроводники в современной физике, М.—Л., 1954.
4. Б. И. Болтакс, В. П. Жузе, Ж. техн. физики, 18, 1459, 1948.
5. Н. С. Курнаков, Сборник избранных работ, ГОНТИ, 1939.
6. В. А. Юрков, Н. Е. Алексеева, Ж. техн. физики, 26, 911, 1956.
7. И. М. Пилат, Ж. техн. физики, 27, 119, 1957.
8. А. Я. Шаталов, Ж. физ. химии, 15, 401, 1941.
9. В. А. Юрков, Докл. АН СССР, 91, 891, 1953.
10. В. А. Юрков, М. А. Криштал, Ж. физ. химии, 29, 778, 1955.

THE ELECTRODIC POTENTIAL OF ALLOYS

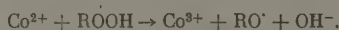
V. A. Yurkov, V. V. Nekrasov (Arkhangelsk)

S u m m a r y

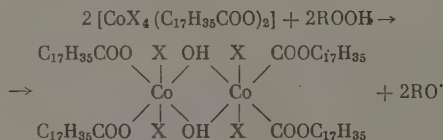
The dependence of the electrodic potential of Cd — Sb alloys upon the alloy composition has been investigated. There are three minima on the potential-composition curve; two of them correspond to the eutectic composition and the chemical compound Cd — Sb. The nature of the third minimum remains unclear.

КИНЕТИКА ВЗАИМОДЕЙСТВИЯ ГИДРОПЕРЕКИСИ ДЕЦИЛА
СО СТЕАРАТОМ МАРГАНЦА В *n*-ДЕКАНЕД. Г. Кнорре, З. К. Майзус, М. И. Маркин
и Н. М. Эмануэль

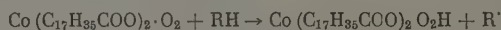
В ряде работ по кинетике окисления углеводородов, катализированного солями марганца и кобальта, наблюдалось, что катализатор в начальной фазе процесса переходит в состояние повышенной валентности. При вращении такого рода наблюдались при окислении триметилэтилена [1], циклогексана [2], *n*-декана [3] и ряда других парафинов [4]. Однако до настоящего времени остается неясным, в результате какого процесса происходит изменение валентности катализатора и какую роль играет этот процесс в механизме каталитического действия солей марганца и кобальта. Так, Вибо и Стронг [4] считают, что окисление катализатора идет по реакции



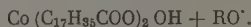
Ломбар и Роммер [5] считают, что стеарат кобальта присутствует в углеводороде в виде комплексного соединения $\text{CoX}_4(\text{C}_{17}\text{H}_{35}\text{COO})_2$, где X — какой-либо адденд, и при реакции с гидроперекисью образует двухядерный комплекс по схеме



Е. Т. Денисов и Н. М. Эмануэль [6] предполагают, что, по крайней мере, в самом начале процесса образование трехвалентного кобальта связано с реакцией комплекса, образованного стеаратом кобальта и молекулой кислорода с углеводородом



или

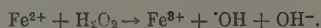


Б. В. Ерофеев и Л. И. Чирко [7] считают, что в начальной стадии процесса соль металла MeX реагирует с углеводородом RH



а Me окисляется кислородом до соответствующего окисла.

Последние два механизма являются чисто гипотетическими. Первые два основываются на аналогии с известными реакциями ионов Fe^{2+} с перекисью водорода



и другими перекисными соединениями в водном растворе. Для некоторых из этих реакций в настоящее время измерены константы скорости и с

деления энергии активации и предэкспоненциальные множители [8]:

$$\text{Fe}^{2+} + \text{H}_2\text{O}_2 \quad k = 4,45 \cdot 10^8 \cdot e^{-9400/RT} \quad \text{л/моль сек} \quad [8]$$

$$\text{Fe}^{2+} + \text{C}_6\text{H}_5\text{C}(\text{CH}_3)_2\text{OON} \quad k = 3,9 \cdot 10^9 \cdot e^{-11000/RT} \quad \text{л/моль сек} \quad [9]$$

ли

$$k = 1,07 \cdot 10^{10} \cdot e^{-12000/RT} \quad \text{л/моль сек} \quad [10]$$

$$\text{Fe}^{2+} + \text{S}_2\text{O}_8^{2-} \quad k = 1,0 \cdot 10^{11} \cdot e^{-12100/RT} \quad \text{л/моль сек.} \quad [11]$$

Ясно, однако, что окисление гидроперекисями солей переходных металлов в углеводородной среде должно отличаться по своему характеру от реакции в водных растворах в первую очередь из-за отсутствия в этой системе ионов металлов.

Для установления механизма каталитического действия солей переходных металлов при окислении углеводородов и, в частности, выяснения возможной роли реакции гидроперекисей с исходной солью металла в образовании промежуточной формы катализатора представляло интерес изучить кинетику этой реакции. С этой целью нами была поставлена работа по изучению кинетики взаимодействия гидроперекиси децила со стеаратом двухвалентного марганца.

Экспериментальная часть

Методика. Поскольку в дальнейшем предполагалось использовать полученные результаты для выяснения роли реакции $\text{Mn}(\text{C}_{17}\text{H}_{35}\text{COO})_2$ с гидроперекисями на начальной макроскопической стадии превращений катализатора в ходе окисления *n*-декана, мы проводили реакцию в среде окисленного декана. С этой целью *n*-декан окислялся без катализатора и затем встряхиванием с Na_2CO_3 освобождался от кислот, которые могли привести к осаждению марганца в виде не растворимых в углеводороде солей низкомолекулярных кислот. Затем раствор декана отмывался водой и сушился над безводным хлористым кальцием.

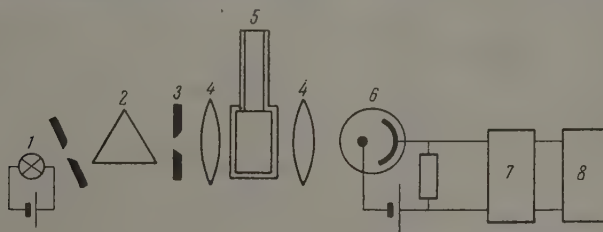


Рис. 1. Схема установки для измерения оптической плотности по ходу реакции: 1—источник света (лампа накаливания); 2 — кварцевая призма; 3 — щель; 4 — линзы; 5 — кювета с термостатирующей рубашкой; 6 — фотозащелка; 7 — усилитель постоянного тока; 8 — зеркальный гальванометр

Раствор стеарата марганца готовился сразу на несколько опытов смешиванием равных частей стеарата с *n*-деканом. Полученная суспензия перед началом опыта нагревалась в атмосфере азота, очищенного от следов кислорода, до полного растворения стеарата, и из теплого раствора отбирался определенный объем, который использовался для проведения реакции.

Вначале опыты проводились в окислительной ячейке. В ячейку, помещенную в термостат, заливался раствор гидроперекиси, затем ячейка продувалась азотом, освобожденным от следов кислорода, и в нее через устройство для отбора проб приливался теплый раствор стеарата марганца. В пробах, отбираемых по ходу, проводилось определение оптической плотности при длине волны 4000 Å на спектрофотометре СФ-4. В некоторых опытах проводился йодометрический анализ проб.

Уже в первых опытах по изучению кинетики процесса было установлено, что реакция идет крайне быстро. Поэтому в дальнейшем для изучения кинетики реакции

была сконструирована специальная установка, позволявшая определять оптическую плотность по ходу реакции непосредственно в реакционном сосуде.

С этой целью реакционный сосуд был выполнен в виде кюветы с плоскопараллельными стенками и термостатирующей рубашкой, в которую подавались либо вода, либо солевой раствор (для опытов при 104°C). Кювета заполнялась раствором стеарата марганца в *n*-декане, затем раствор через введенный к кювете капилляр продувался азотом, и кювета помещалась в монохроматор.

В качестве монохроматора и приемника света служили монохроматор и приемная часть спектрофотометра СФ-4. Схема установки приведена на рис. 1. Отличие от СФ-4 состояло в том, что ток с выхода усилителя СФ-4 подавался не на балансную схему СФ-4, а на зеркальный гальванометр. Отклонение зайчика регистрировалось на фотобумаге, помещенной на вращающемся барабане. Наличие пропорциональности между отклонением зайчика и оптической плотностью проверялось путем измерения ширины щели монохроматора СФ-4. Для определения масштаба отклонения было проведено одновременное измерение оптической плотности и отклонения зайчика гальванометра с одним и тем же раствором.

На рис. 2 представлены кинетические кривые взаимодействия гидроперекиси децила в *n*-декане со стеаратом марганца при одной концентрации гидроперекиси и различных концентрациях стеарата марганца. В опыты проведены с недостатком гидроперекиси, чтобы свести к минимуму и индуцированный распад гидроперекиси.

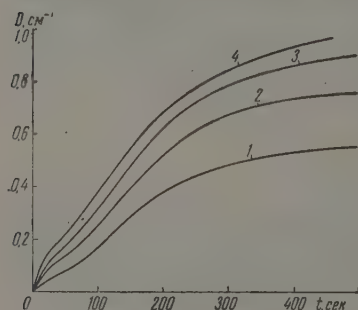


Рис. 2. Кинетические кривые изменения оптической плотности D (наклонения окрашенной формы стеарата марганца) при реакции $\text{Mn}(\text{C}_{17}\text{H}_{35}\text{COO})_2$ с гидроперекисью децила в среде окисленного декана при 85°C . Концентрация гидроперекиси $0,00075\text{ M}$. Концентрация $\text{Mn}(\text{C}_{17}\text{H}_{35}\text{COO})_2$: 1— $0,00344$; 2— $0,00486$; 3— $0,00608$ и 4— $0,00730\text{ M}$.

ного для промежуточной формы стеарата марганца в реакции окисления кумола и тетралина (780 л/моль см [12]), то можно оценить концентрацию окрашенной формы и тем самым найти степень превращения двухвалентного стеарата в трехвалентный. Она оказывается равной для полученных четырех опытов соответственно при соотношении стеарата марганца: гидроперекись 4,6—48%, при соотношении 6,5—65%, при соотношении 8,1—77%, при соотношении 9,7—82%. Кривые, полученные при различных концентрациях стеарата марганца, позволяют оценить порядок реакции по стеарату.

Так же, как и в нашей предыдущей работе [12] вместо сопоставления скоростей реакции мы будем сопоставлять отношение β/α коэффициентов трансформации по оси времени и оси оптической плотности, так как это отношение пропорционально скорости.

На рис. 3 в логарифмическом масштабе приведена зависимость от начальной концентрации стеарата марганца. Тангенс угла наклона полученной прямой равен $0,965$, т. е. реакция имеет практически первый порядок по стеарату марганца.

На рис. 4 приведена серия кинетических кривых, полученных при 85°C постоянной начальной концентрации стеарата марганца и различных

льных концентрациях гидроперекиси. Максимальное достигнутое преобразование составляет при соотношении стеарат марганца : гидроперекись 7—80 %, при соотношении 4,83—56 %, при соотношении 3,23—48 %. Таким образом с уменьшением соотношения стеарат марганца : гидроперекись падает доля перекиси, участвующей в окислении марганца, по-видимому, за счет усиления индуцированного распада.

Как видно из рис. 5, наклон прямой $\lg \beta/\alpha$ от $\lg [\text{ROOH}]_0$, близок к единице (0,945), что указывает на первый порядок реакции по концентрации гидроперекиси.

На рис. 6 приведена серия кинетических кривых, полученных при постоянных начальных концентрациях гидроперекиси и стеарата и различных температурах.

Как видно, с ростом температуры возрастает не только скорость, но и глубина реакции окисления. Иными словами, при прочих равных условиях доля индуцированного распада перекиси тем ниже, чем выше температура реакции. В этом случае соотношение скоростей реакции образования высшей валентной формы стеарата марганца при разных температурах не равно отношению констант скоростей реакции. Действительно,

$$w = k [\text{Mn St}_2] [\text{ROOH}].$$

Если мы сравниваем две точки, отвечающие одной и той же концентрации MnSt_2 , то в этих точках различна концентрация перекиси. При этом

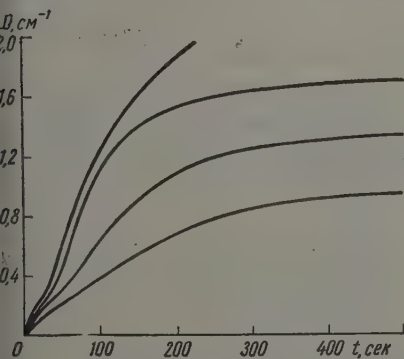


Рис. 4

Рис. 4. Кинетические кривые накопления окрашенной формы стеарата марганца в реакции $\text{Mn}(\text{C}_{17}\text{H}_{35}\text{COO})_2$ с гидроперекисью децила в среде окисленного декана при 85°С. Концентрация $\text{Mn}(\text{C}_{17}\text{H}_{35}\text{COO})_2$ 0,0073 М. Концентрация гидроперекиси: 1 — 0,00075; 2 — 0,00151; 3 — 0,00226 и 4 — 0,00302 М

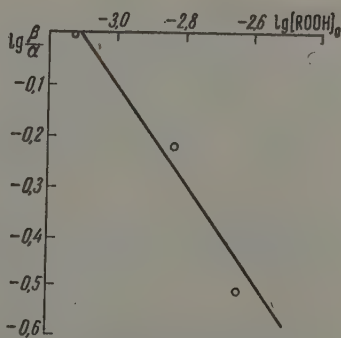


Рис. 5

Рис. 5. Зависимость отношения коэффициентов трансформации β/α кинетических кривых рис. 4 от начальной концентрации гидроперекиси ROOH в логарифмических координатах

концентрация перекиси будет больше при большей температуре, так как при этом меньше доля индуцированного распада. Поэтому, если мы сопоставляем на кинетических кривых, отвечающих двум различным температурам

турам, две точки, в которых концентрация MnSt_2 и, следовательно, всей валентной формы катализатора одни и те же, то

$$\frac{w_2}{w_1} = \frac{k_2 [\text{ROOH}]_2}{k_1 [\text{ROOH}]_1},$$

и если $T_2 > T_1$, то $[\text{ROOH}]_2 > [\text{ROOH}]_1$ и, следовательно,

$$\frac{w_2}{w_1} > \frac{k_2}{k_1}.$$

Это видно и из более детального кинетического рассмотрения, для которого, однако, нужно сделать какое-либо допущение о кинетике индуцированного распада перекисей. Проведем такое рассмотрение в предположении, что перекиси распадаются мономолекулярно (это рассмотрение проводится с иллюстративными целями и, конечно, не претендует на точность).

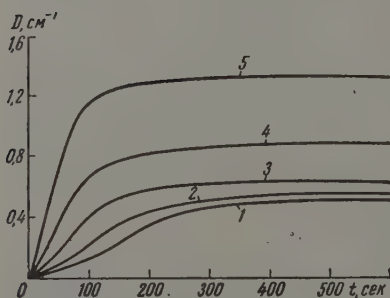


Рис. 6

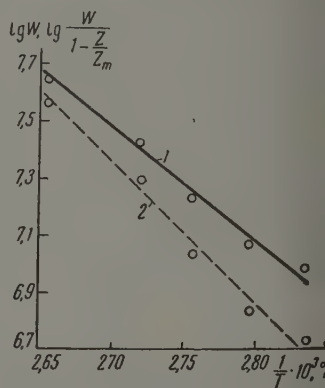


Рис. 7

Рис. 6. Кинетические кривые накопления окрашенной формы стеарата марганца в реакции гидроперекиси децила (0,00156 M) со стеаратом марганца (0,00486 M) при температурах: 1 — 80; 2 — 85; 3 — 90; 4 — 95; 5 — 104° C

Рис. 7. Зависимость 2 — скорости w реакции стеарата марганца с гидроперекисью децила и 1 — отношения $w/(1 - \frac{z}{z_m})$ (z и z_m — соответственно текущая и максимальная концентрации окрашенной формы стеарата марганца) от температуры. Значения взяты с кривых рис. 6 для значения $z = 0,00031 M$.

чественное описание кинетических кривых). Обозначим через x , y , z соответственно концентрации MnSt_2 , ROOH и окрашенного продукта реакции. Тогда

$$\frac{dz}{dt} = 2kxy; \quad -\frac{dy}{dt} = kxy + k'y$$

(коэффициент 2 в первом уравнении отражает тот факт, что одна молекула ROOH окисляет два атома Mn).

Деля одно уравнение на другое и интегрируя полученное дифференциальное уравнение, находим

$$y = y_0 - \frac{1}{2}z + \frac{k'}{2k} \ln \frac{x_0 - z}{x_0}.$$

Поскольку мы рассматриваем случай, когда в системе имеется значительный избыток MnSt_2 над ROOH , то отношение z/x_0 всегда значительно меньше единицы и приближенно

$$y = y_0 - \frac{1}{2}z + \frac{k'}{2k} \frac{z}{x_0} = y_0 - \frac{1}{2}z \left(1 + \frac{k'}{kx_0}\right).$$

Так как компонентом, находящимся в недостатке, является перекись, то в конце реакции, когда достигается предельная концентрация $z = z_m$, $w = 0$. Отсюда

$$y_0 - \frac{1}{2} z_m \left(1 + \frac{k'}{kx_0} \right) = 0$$

, следовательно,

$$y = y_0 \left(1 - \frac{z}{z_m} \right).$$

Таким образом для кинетики накопления z мы окончательно получаем уравнение

$$w = \frac{dz}{dt} = 2ky_0(x_0 - z) \left(1 - \frac{z}{z_m} \right).$$

Поэтому, если мы сопоставим скорости при разных температурах одной и той же глубине превращения Mn^{2+} , то получим

$$\frac{w_2}{w_1} = \frac{k_2}{k_1} \frac{1 - \frac{z}{z_{m2}}}{1 - \frac{z}{z_{m1}}}. \quad (1)$$

Если, как это имеет место в рассматриваемом нами случае, z_m растет ростом температуры, то при $T_2 > T_1$, $1 - \frac{z}{z_{m2}} > 1 - \frac{z}{z_{m1}}$ и поэтому

$$\frac{w_2}{w_1} > \frac{k_2}{k_1}.$$

Поэтому, если бы индуцированный распад был бы реакцией первого порядка по гидроперекиси, то для определения энергии активации основной реакции марганца с гидроперекисью нужно определить температурную зависимость отношения

$$\frac{w}{1 - \frac{z}{z_m}}.$$

Поскольку мы не знаем истинного закона индуцированного распада перекисей, то мы можем надежно лишь определить верхнюю границу энергии активации. Однако в качестве первого приближения для определения значения энергии активации можно воспользоваться соотношением (1).

На рис. 7 отложена в аррениусовских координатах зависимость отношения $w/(1 - \frac{z}{z_m})$ от температуры. Из наклона полученной прямой линии находим, что энергия активации реакции стеарата марганца с гидроперекисью равна 18 ккал.

Для сравнения на том же рисунке пунктиром проведена зависимость от температуры. Из наклона этой прямой находим верхнюю границу для энергии активации реакции стеарата марганца с гидроперекисью, которая составляет 22,5 ккал.

Полученная величина энергии активации 18 ккал значительно больше, чем соответствующая величина для реакции ионов Fe^{2+} с перекисными соединениями в водном растворе.

В том же приближении, в котором мы определили энергию активации реакции, можно оценить порядок величины константы скорости реакции гидроперекиси децила со стеаратом

$$k = \frac{w}{2y_0(x_0 - z) \left(1 - \frac{z}{z_m} \right)}.$$

Например, при 90° и концентрации окрашенного продукта реакции $0,31$ ммоль/л получаем $k = 4,1$ л/моль сек. Это дает для константы скорости выражение

$$k = 2,8 \cdot 10^{11} e^{-18000/RT} \text{ л/моль сек.}$$

Полученную величину предэкспоненциального множителя, конечно следует рассматривать лишь как оценочную в силу сделанного нами допущения о мономолекулярном механизме распада. Но во всяком случае можно утверждать, что значение предэкспоненциального множителя близко к нормальному для бимолекулярных реакций.

Скорость реакции стеарата марганца с гидроперекисью децила в *n*-декане значительно меньше, чем скорость аналогичных процессов в водном растворе с участием ионов, например Fe^{2+} с гидроперекисью кумо. или H_2O_2 . Так, если рассчитать по приведенным в начале статьи температурным зависимостям абсолютные значения констант скоростей реакции Fe^{2+} с H_2O_2 и гидроперекисью кумола, то получим при 90° соответствующие величины 980 и 910 л/моль сек.

Выводы

1. Реакция стеарата марганца с гидроперекисью децила в *n*-декане является сложной реакцией, в которой на кинетику накопления окисленной формы стеарата марганца накладывается индуцированный распад гидроперекиси. Доля индуцированного распада тем выше, чем ниже температура реакции.

2. Реакция накопления окисленной формы стеарата марганца первого порядка по начальным концентрациям стеарата марганца и гидроперекиси. Ее константа скорости может быть записана в виде

$$k = 2,8 \cdot 10^{11} e^{-18000/RT} \text{ л/моль сек.}$$

Академия наук СССР
Институт химической физики
Москва

Поступила
17.VII.1957

ЛИТЕРАТУРА

1. С. Е. Н. Bawn, A. A. Pennington, C. E. H. Tipper, Disc. Faraday Soc., 10, 282, 1951.
2. Е. Т. Денисов, Н. М. Эмануэль, Ж. физ. химии, 30, 2327, 1956.
3. Д. Г. Кнорре, З. К. Майзус, Н. М. Эмануэль, Ж. физ. химии, 30, 710, 1955.
4. P. J. Wibaut, A. Strong, Proc. Koninkl. nederl. akad. wet., 54B, 10229, 1951.
5. P. Lombard, L. Rommert, Bull. Soc. chim., № 1, 36, 1956.
6. Е. Т. Денисов, Н. М. Эмануэль, Ж. физ. химии, 30, 2499, 1956.
7. Б. В. Ерофеев, А. И. Чирко, Уч. зап. Белорусск. ун-та, сер. хим. вып. 29, 3, 1956.
8. W. G. Barb, J. H. Baxendale, P. George, K. R. Harrigan, Trans. Faraday Soc., 47, 462, 1951.
9. J. W. L. Fordham, H. L. Williams, J. Amer. Chem. Soc., 72, 446, 1950.
10. J. W. L. Fordham, H. L. Williams, J. Amer. Chem. Soc., 73, 1634, 1951.
11. J. W. L. Fordham, H. L. Williams, J. Amer. Chem. Soc., 73, 48, 1951.
12. Д. Г. Кнорре, З. К. Майзус, М. И. Маркин, Н. М. Эмануэль, Ж. физ. химии, 33, 213, 1959.

KINETICS OF THE INTERACTION OF DECYL HYDROPEROXIDE WITH MANGANOUS STEARATE IN *n*-DECANE

D. G. Knorre, Z. K. Maizus, M. I. Markin and N. M. Emanuel (Moscow)

Summary

The reaction of manganous stearate with decyl hydroperoxide in *n*-decane is a complex reaction in which the induced decomposition of hydroperoxide is superimposed on the kinetics of accumulation of the oxidized form of manganese stearate.

The share of the induced decomposition is the greater the lower the reaction temperature. The accumulation of the oxidized form of manganese stearate is of the first order with respect to the initial manganese stearate and peroxide concentrations. The rate constant of the reaction may be written as

$$k = 2,8 \cdot 10^{11} e^{-18000/RT}$$

ЭФФЕКТ СЦИЛЛАРДА — ЧАЛМЕРСА В ХРОМАТАХ И БИХРОМАТАХ
ПРИ ОБЛУЧЕНИИ ИХ γ -КВАНТАМИ

Д. К. Попов

Химические эффекты реакции (n, γ) в оксианионных соединениях, в частности в хроматах и бихроматах, исследовались в ряде работ [1—3]. Авторы определяли величину удерживания, т. е. долю радиоактивных атомов, стабилизировавшихся в форме исходного соединения, в зависимости от рН и концентрации облучавшихся растворов или растворов облученных кристаллических образцов, дозы нейтронного и γ -излучения, присутствия добавок, времени, прошедшего после облучения, времени разделения химических форм и других факторов. Было установлено практически полное отсутствие обмена между ионами Cr^{3+} и ионами CrO_4^{2-} и $\text{Cr}_2\text{O}_7^{2-}$. Удерживание сложным образом менялось с изменением рН облучавшихся растворов, температуры, при которой облучались кристаллы, и других факторов, но никогда не равнялось нулю или 100%. Наличие зависимости удерживания от рН растворов привело авторов к мысли о существовании, в соответствии с теорией Либби [4], промежуточных радикалов типа CrO_3 , CrO_3^{2-} , CrO_2^{2+} , CrO_4^{4+} , Cr^{6+} , реакции которых с растворителем ответственны за удерживание. К сожалению, малая удельная активность препаратов хрома, получающихся по реакции $\text{Cr}^{50}(\gamma, n)\text{Cr}^{49}$, делает невозможным полное сравнение химических эффектов этой реакции с химическими эффектами реакции $\text{Cr}^{50}(n, \gamma)\text{Cr}^{51}$, ограничивая область исследования весьма концентрированными растворами.

В этих условиях мы вынуждены были ограничиться изучением явления удерживания в зависимости от промежутка времени между растворением облученных препаратов и времени выделения радиоактивного хрома с неизотопным носителем и выяснением возможности обогащения радиохрома, образующегося по реакции (γ, n) из оксианионных соединений этого элемента.

Экспериментальная часть

Облучение препаратов. Продажные препараты марки «ч.д.а.» без дополнительной очистки облучались на бетатроне Института металлургии АН СССР с максимальной энергией γ -квантов, равной 20 MeV. Безводные препараты хромата и бихромата натрия получались высушиванием продажных препаратов в сушильном шкафу при 300° С. Для облучения препараты, весом 25 г, помещались в стеклянный цилиндр диаметром 3 см и длиной 10 см, который закреплялся на расстоянии 1 м от антикатада по оси пучка тормозного излучения. Для одного облучения брались четыре различных 25-г препарата, которые отделялись друг от друга прокладками из фильтровальной бумаги и ваты. Поток тормозного излучения уменьшался указанным слоем солей на 10—14%. Продолжительность облучения равнялась 40 мин., т. е. примерно одному периоду полураспада Cr^{49} , образующегося по реакции: $\text{Cr}^{50}(\gamma, n)\text{Cr}^{49}$ [5, 6].

Обогащение препаратов. Облученные препараты растворялись в 250 мл горячей воды, содержащей 20 мг железа, которое сразу после растворения солей осаждалось аммиаком в виде гидрата окиси. Аммиак добавлялся и к растворам хроматов калия и натрия, хотя осадок выделялся в них и без добавления аммиака. Это делалось для предотвращения выпадения хромата железа (по аналогии с хроматом хрома [1]), которое может наблюдаться, по-видимому, в слабощелочных растворах и снижать фактор обогащения, определяемый по формуле:

$$F = (100 - R) \frac{M}{m}, \quad (1)$$

где M — количество хрома в исходном препарате, m — количество хрома, выделенного на гидроокиси железа, R — удерживание Cr^{49} в исходном соединении (в процентах). Для всех препаратов фактор обогащения оказался больше 10^4 .

Примененный нами метод выделения Cr^{49} на осадках гидрата окиси железа позволяет получить Cr^{49} без носителя двумя методами. Первый из них заключается в пересаживании гидрата окиси железа аммиаком в присутствии перекиси водорода. Второй заключается в экстрагировании железа диэтиловым эфиром из 6 N по соляной кислоте раствора. Результаты, полученные этими методами, приведены в табл. 1. (Приведены средние значения из трех независимых опытов).

Таблица 1

Измерение активности препаратов. Измерение активности препаратов начиналось через 1—2 периода полураспада Cr^{49} после конца облучения и производилось цилиндрическим β -счетчиком. Кривая распада Cr^{49} , выделенного из 100 г хромата аммония, приведена на рис. 1.

При измерении исходных и обедненных (т. е. таких, из которых выделен Cr^{49}) препаратов для получения достаточной активности приходилось пользоваться 5-г навесками солей, которые помещались в специальные кассеты длиной 6 см и шириной 1,5 см. Для определения удерживания необходимо сравнить активность исходных и обедненных препаратов. Такое сравнение оказалось неудобным для хроматов и бихроматов натрия, так как они кристаллизуются, в зависимости от условий, с различным количеством воды, и для хромата и бихромата калия, в которых активность K^{40} оказалась соизмеримой с активностью образовавшегося Cr^{49} . Поэтому сравнение активностей исходных и обедненных навесок было сделано только для хромата и бихромата аммония. Для всех остальных препаратов удерживание определялось сравнением активностей осадков гидрата окиси железа, выделенных из растворов, содержащих равные (по хрому) количества соли и хромата или бихромата аммония, облучавшихся одновременно. Для этого высушенные фильтры с осадком $\text{Fe}(\text{OH})_3$ свертывались в пакетики, которые измерялись цилиндрическим β -счетчиком в одинаковых условиях. По известному удерживанию в хромате или бихромате аммония в отношении активностей обогащенных препаратов можно определить удерживание в любом из препаратов по формуле:

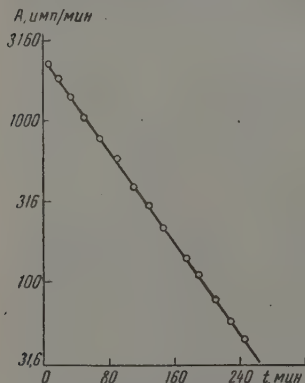


Рис 1. Распад Cr^{49} , период полураспада равен 41 мин.

активностей одинаковых навесок исходных и обедненных препаратов. Навески обедненных препаратов готовились следующим образом. Осадок гидрата окиси железа отфильтровывался, а фильтрат выпаривался до начала кристаллизации соли, после чего охлаждался водой. Выпавшие кристаллы отфильтровывались и высушивались при 90°C . В табл. 2 при

Метод отделения изотопного носителя (Fe)	Доля Cr^{49} , оставшегося в растворе без носителя, %
Осаждение $\text{Fe}(\text{OH})_3$ в присутствии H_2O_2	100
Экстрагирование Fe^{3+} эфиром из 6 N HCl	40

$$(1 - R_X) = (1 - R_{(\text{NH}_4)_2\text{CrO}_4}) \frac{A_X}{A_{(\text{NH}_4)_2\text{CrO}_4}}, \quad (2)$$

где A — активности обогащенных фракций.

Определение удерживания при облучении твердых препаратов при комнатной температуре. В хромате и бихромате аммония удерживание определялось сравнением

Удерживание в $(\text{NH}_4)_2\text{CrO}_4$			Удерживание в $(\text{NH}_4)_2\text{Cr}_2\text{O}_7$		
$A_{\text{исх.}}$, имп./мин.	$A_{\text{обедн.}}$, имп./мин.	R , %	$A_{\text{исх.}}$, имп./мин.	$A_{\text{обедн.}}$, имп./мин.	R , %
600	250	36 ± 4	500	90	10 ± 5

дены средние из двенадцати определений удерживания в хромате и бихромате аммония. Время между растворением солей и осаждением гидрата окиси железа было минимальным. В таблице приведены также типичные значения активности исходных и обедненных препаратов.

Наблюдался большой разброс значений удерживания, объясняющийся разными активностями препаратов и, как будет показано дальше, резкой зависимостью удерживания от времени, проходящего между растворением облученных препаратов и выделением гидрата окиси железа. Сильный

Таблица 3

Активность, имп./мин., отнесенная к 1 г хрома		Удерживание в %	
$(\text{NH}_4)_2\text{CrO}_4$	$(\text{NH}_4)_2\text{Cr}_2\text{O}_7$	$(\text{NH}_4)_2\text{CrO}_4$	$(\text{NH}_4)_2\text{Cr}_2\text{O}_7$
65	91	36	11
28	41	36	6

разброс в значениях удерживания при выделении трехвалентного хрома в виде гидроокиси наблюдался ранее в работе [3]. Нами была изучена возможность определения удерживания по формуле (2). Для этого одновременно облучались 50 г хромата и 10 г бихромата аммония. Удерживание в хромате принято равным 3%. Как видно из табл. 3, вычисленные значения удерживания бихромата аммония согласуются с значением, приведенным в табл. 2.

В табл. 4 собраны результаты определения удерживания в хроматах и бихроматах щелочных металлов и аммония. Все эти значения получены при осаждении Cr^{49} на осадке гидроокиси железа сразу после растворения облученных препаратов в воде. Для сравнения с «равновесными» значениями удерживания в таблице приведе-

ны результаты, полученные для тех же препаратов в работе [1], в которой изучались химические эффекты реакции $\text{Cr}^{50}(\text{p}\gamma) \text{Cr}^{51}$.

Облучение в растворах при комнатной температуре. Растворы, содержащие 12 г бихроматов аммония и натрия и хромата аммония и натрия в 75 мл воды, облучались при комнатной температуре в стеклянном цилиндре в обычных условиях. Часть облученного раствора выпаривалась досуха на водяной бане, после чего активность сухого остатка измерялась β -счетчиком. В оставшийся облученный раствор вводилось 20 мг железа, которое после нагревания раствора осаждалось аммиаком. Фильтрат досуха выпаривался на водяной бане, из сухого остатка готовилась навеска, равная исходной, для измерения обедненной фракции. Удерживание определялось, таким образом, сравнением активностей исходной и обедненной навесок. Ни в одном случае в обедненной фракции активности не обнаружено, т. е. удерживание явно нулю.

Таблица 4

Препарат	Удерживание %, в случае реакции		«Равновесное» удерживание, %
	(γp)	($\text{p}\gamma$)	
$(\text{NH}_4)_2\text{CrO}_4$	36 ± 4	17,5	64 ± 5
$(\text{NH}_4)_2\text{Cr}_2\text{O}_7$	10 ± 5	31,9	
K_2CrO_4	0	60,8	
$\text{K}_2\text{Cr}_2\text{O}_7$	63 ± 7	89,9	86 ± 3
Na_2CrO_4	0	73,6	
$\text{Na}_2\text{Cr}_2\text{O}_7 \cdot 10\text{H}_2\text{O}$	0	87,8	
$\text{Na}_2\text{Cr}_2\text{O}_7$	43 ± 5	79,9	75 ± 5
$\text{Na}_2\text{Cr}_2\text{O}_7 \cdot 2\text{H}_2\text{O}$	41 ± 5	72,7	

Обсуждение результатов

При сравнении удерживания для реакций (γn) и $(n\gamma)$ обращает на себя внимание тот факт, что значения удерживания для реакции (γn) в тех случаях, когда время между растворением облученных препаратов и выделением радиохрома равно нулю, всегда, кроме случая бихромата аммония, меньше соответствующих значений для реакции $(n\gamma)$, тогда как равновесные значения близки друг к другу. Большой разницы в величине удерживания трудно ожидать из-за того, что в обоих случаях энергия ядер отдачи значительно превосходит энергию связи атомов хрома в молекулах. Энергия γ -квантов захвата в реакции $\text{Cr}^{50}(n, \gamma)\text{Cr}^{51}$ определена в работе [7] и равна 9,72 MeV. В той же работе показано, что в реакции испускается один γ -квант захвата. В этом случае энергия отдачи Cr^{51} должна быть равна ~ 850 eV. В случае реакции (γn) энергия ядер отдачи определяет формулой:

$$E = \frac{ME_{\gamma}^2}{2(M+m)^2 c^2} + \frac{m}{2(M+m)^2} \left\{ (E_{\gamma} + Q) 2(M+m) - \frac{E_{\gamma}^2}{c^2} \right\} - \frac{E_{\gamma} M m \cos \theta}{2c(M+m)^2} \left\{ \frac{(E_{\gamma} + Q) 2(M+m) - \frac{E_{\gamma}^2}{c^2}}{Mm} \right\},$$

и для Cr^{49} при энергии γ -квантов, равной пороговой (13,4 MeV), равна $2 \cdot 10^3$ eV, а для энергии γ -квантов, равной 20 MeV, достигает 10^5 eV. Такие энергии соответствуют температурам 10^7 — 10^9 °K, при которых атомы, вылетающие из молекул, оказываются многократно ионизованными. В реакции с окружающей средой они восстанавливают свою электронную оболочку и стабилизируются в кристаллах в различных окислительных состояниях: Cr^{2+} , Cr^{3+} , Cr^{4+} , Cr^{5+} , Cr^{6+} (или CrO_3 , CrO_3^{2-} , CrO_2 и т. д.). После растворения облученных кристаллов эти промежуточные формы, взаимодействуя с водой и растворенными в ней веществами, быстро переходят в характерные для хрома валентные состояния. Величина удерживания определяется, по видимому, только этими реакциями, а не процессами, идущими в кристаллах, так как Cr^{49} полностью выделяется на гидрат окиси железа из растворов хроматов натрия и калия, которые имеют щелочную реакцию, и, следовательно, в них время между растворением соли и выделением осадка $\text{Fe}(\text{OH})_3$ (Δt) можно считать равным нулю. На рис. 2, 3 и 4 показано изменение выхода радиохрома из растворов бихроматов аммония, калия и натрия в зависимости от времени, прошедшего от момента растворения соли до момента выделения гидрата окиси железа. Хотя сильный разброс отдельных определений для каждого промежутка времени между растворением соли и выделением радиохрома, связанный с трудностью фиксирования времени выделения осадка $\text{Fe}(\text{OH})_3$, не позволяет определить удерживание в начальный момент экстраполяции, резкое увеличение удерживания в первые 10—15 мин. после растворения форм стабилизации радиоактивного хрома, способных адсорбироваться осадком гидроокиси железа. Нужно отметить, что в работе [3] авторы

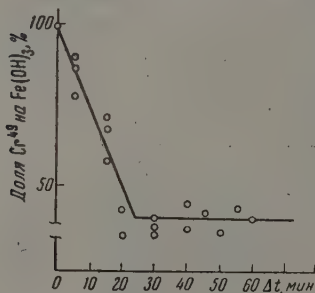


Рис. 2. Изменение выхода радиохрома в зависимости от времени, прошедшего между растворением облученных препаратов бихромата аммония и выделением радиохрома на осадках гидрата окиси железа

осадка $\text{Fe}(\text{OH})_3$ (Δt) можно считать равным нулю. На рис. 2, 3 и 4 показано изменение выхода радиохрома из растворов бихроматов аммония, калия и натрия в зависимости от времени, прошедшего от момента растворения соли до момента выделения гидрата окиси железа. Хотя сильный разброс отдельных определений для каждого промежутка времени между растворением соли и выделением радиохрома, связанный с трудностью фиксирования времени выделения осадка $\text{Fe}(\text{OH})_3$, не позволяет определить удерживание в начальный момент экстраполяции, резкое увеличение удерживания в первые 10—15 мин. после растворения форм стабилизации радиоактивного хрома, способных адсорбироваться осадком гидроокиси железа. Нужно отметить, что в работе [3] авторы

аметили изменения удерживания со временем. В своих опытах, однако, ни выделяли хромат свинца только через 15 мин. после растворения соли, когда достигалось равновесие, при котором величина удерживания осталась постоянной. Величины «равновесного» удерживания для случая реакции (γ_p) указаны в последнем столбце табл. 4. Как видно из таблицы, бихроматах калия и натрия величины равновесного удерживания равны соответствующим значениям, полученным для реакции ($p\gamma$).

Из рис. 2—4 видно, что во всех случаях через 10—15 мин. выделяется только около 40 % от той активности, которая может быть выделена в нулевой момент времени. Это, на наш взгляд, говорит о том, что распределение форм стабилизации хрома всегда одинаково и не зависит от катиона соли.

Попытка выделения Cr^{4+} или Cr^{5+} с осадком купфероната олова из 2N HCl раствора, содержащего в качестве носителя Cr^{3+} , не увенчалась успехом, что можно объяснить либо отсутствием в растворе ионов Cr^{4+}

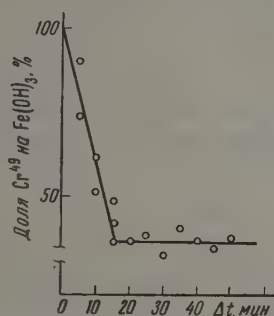


Рис. 3. Изменение выхода радиохрома в зависимости от времени, прошедшего между растворением облученных препаратов бихромата калия и выделением радиохрома на осадках гидрата окиси железа

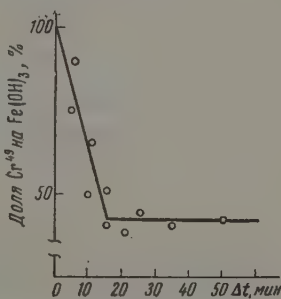


Рис. 4. Изменение выхода радиохрома в зависимости от времени, прошедшего между растворением облученных препаратов бихромата натрия и выделением радиохрома на осадках гидрата окиси железа

и Cr^{5+} , либо быстрым электронным обменом между этими ионами и ионом Cr^{3+} , либо простым восстановлением купфероном высших окислительных состояний хрома до Cr^{3+} . Часть Cr^{49} , выделяющегося через 10—15 мин. после растворения солей, представляет собой, по-видимому, хром в трехвалентной форме.

В заключение считаю своим приятным долгом выразить глубокую благодарность сотрудникам ФИАН СССР проф. В. И. Гольданскому и старшему научному сотруднику Л. Е. Лазаревой, сотруднику Института металлургии АН СССР Ю. А. Кондратенко за содействие в облучении препаратов, сотруднику кафедры радиохимии ЛГУ В. И. Барановскому за помощь в работе и моему руководителю проф. А. Н. Мурину за предложенную тему и помощь в обсуждении полученных результатов.

Выводы

1. Показана возможность концентрирования Cr^{49} , образующегося по реакции $\text{Cr}^{50}(\gamma p)\text{Cr}^{49}$ из хроматов и бихроматов щелочных металлов и аммония. Фактор обогащения выше 10^4 .

2. Величина удерживания в облученных твердых препаратах зависит от времени, прошедшего между растворением соли и выделением Cr^{49}

на гидрате окиси железа, тогда как при облучении водных растворов удержание всегда равно нулю.

3. После растворения облученных кристаллов неустойчивые валентные формы хрома распределяются между Cr^{3+} и Cr^{6+} .

Ленинградский государственный
университет им. А. А. Жданова

Поступила
7.VI.1957

ЛИТЕРАТУРА

1. L. M. Fishman, a. G. Harbottle, J. Chem Phys., 22, 1088, 1954.
2. G. Harbottle, J. Chem. Phys., 22, 1083, 1954.
3. J. H. Green, G. Harbottle, A. G. Maddock, Trans. Faraday Soc. 49, 12, 1413, 1953.
4. W. F. Libby, J. Amer. Chem. Soc., 62, 1930, 1940.
5. Г. Сиборг, И. Перлман, Дж. Коллендер, Таблица изотопов, ИИЛ 1956.
6. W. E. Ogle, R. E. England, Phys. Rev., 78, 63, 1950.

THE SZILLARD CHALMERS EFFECT IN THE γ -QUANTUM IRRADIATION OF CHROMATES AND BICHROMATES

D. K. Popov (Leningrad)

Summary

The possibility of concentrating Cr^{49} formed from the alkaline metal and ammonium chromates and bichromates in line with the reaction $\text{Cr}^{50} (\gamma n) \text{Cr}^{49}$ has been demonstrated. The enrichment factor is $>10^4$.

The retention factor in the irradiated solid preparations depends upon the time passing from the dissolution of the salt and the isolation of the Cr^{49} on iron hydroxide, whereas on irradiating aqueous solutions the retention is always of zero value.

On dissolution of the irradiated crystals the unstable valence forms of chromium are distributed between Cr^{+3} and Cr^{+6} .

МЕХАНИЗМ КОРРОЗИИ МЕТАЛЛОВ В УЗКИХ ЗАЗОРАХ
И ЩЕЛЯХ

VI. МАГНИЙ И НЕКОТОРЫЕ ЕГО СПЛАВЫ

И. Л. Розенфельд и И. К. Маршаков

Магний по своим электрохимическим свойствам сильно отличается от других металлов [1—3], что и определяет его поведение в узких зазорах. Установленные до сих пор закономерности для других металлов не описывают поведения магния, поэтому изучение коррозионных и электрохимических свойств магния и его сплавов представляет определенный научный интерес. В связи с широким применением магниевых сплавов промышленности и особенно в авиации исследование приобретает практическое значение.

Для исследования были взяты магний высокой чистоты, технический магний сплавы МЛ-5 и МА-8, химические составы которых приведены в табл. 1.

Методика исследования коррозии металлов в зазорах была описана ранее [4]. Продукты коррозии снимались в 20%-ном растворе хромового ангидрида (с небольшой добавкой AgNO_3 при 90°C в течение 5—8 мин.

Коррозионное поведение магния высокой чистоты в зазорах представлено графиком, изображенным на рис. 1. Коррозионной средой служил 0,01 *N* NaCl. Скорость коррозии магния в узких зазорах (меньше 50 мм), как это видно из рисунка, значительно выше, чем в объеме электролита (кривые 1, 2 и 3). В зазорах изменяется также характер коррозионных разрушений. Магний высокой чистоты корродирует в объеме электролита равномерно, а в узких зазорах подвергается сильной язвенной коррозии (рис. 2). Кривые зависимости скорости коррозии и средней глубины от величины зазора имеют одинаковый вид и характеризуются наличием максимумов.

Коррозионное поведение технического магния было изучено в дистиллированной воде и в растворах хлористого натрия концентрации 0,001; 0,01 и 0,5 *N*. Во всех случаях скорость коррозии магния в узких зазорах выше скорости коррозии в объеме электролита. Кривые зависимости ско-

Таблица 1

Химический состав исследованных материалов

Материал	Содержание, %					
	Fe	Mn	Al	Si	Zn	Mg
магний высокой чистоты	0,0027	0,0001	0,0011	0,0006	0,0019	Остальное
магний технический	0,041	—	0,048	0,041	—	То же
сплав МЛ-5	0,014	0,05	4,80	—	0,68	» »
сплав МА-8	—	4,9	—	—	—	» »

рости коррозии от величины зазора тоже имеют максимум при каких-то средних значениях, а не при минимальном зазоре. С увеличением концентрации хлор-иона максимум сдвигается в сторону более широких зазоров.

Зависимость скорости коррозии сплава МЛ-5 от величины зазора и концентрации хлор-иона является весьма сложной (рис. 3). В дистиллированной воде и в 0,01 N NaCl скорость коррозии сплава МЛ-5 в зазорах толще 0,25 мм, выше скорости коррозии этого же сплава в объеме электролита. В 0,1 N NaCl скорость коррозии в узких зазорах ниже, чем в объеме.

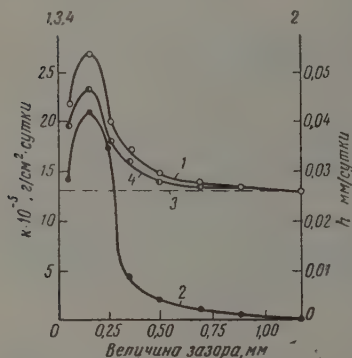


Рис. 1. Коррозия магния высокой чистоты в 0,01 N NaCl: 1 — скорость коррозии и 2 — средняя глубина язв (из трех максимальных) в условиях, когда вся поверхность металла находится в зазоре; 3 — скорость коррозии в объеме электролита; 4 — скорость коррозии в зазорах при наличии контакта с металлом, омываемым объемом электролита. Отношение поверхностей 1 : 1, время испытаний 7 суток

Анализ полученных результатов позволяет заключить, что затруднения в диффузии кислорода в зазор не могут привести к увеличению скорости коррозии в результате нарушения пассивного состояния, так как в деаэрированных электролитах скорость коррозии этих металлов ниже, чем в аэрированных. Уменьшение скорости процесса обусловлено исключением коррозии за счет кислородной деполяризации, которая для магния

Особенность коррозионного поведения сплава МА-8 заключается в том, что скорость коррозии в зазорах во время почти не изменяется, а в объеме электролита сильно уменьшается. Поэтому соотношение между скоростями коррозии в зазоре и объеме электролита значительной степени зависит от срока испытаний. При кратковременных испытаниях сплава МА-8 (до 3 суток) в 0,1 N NaCl скорость коррозии в зазоре меньше, чем в объеме. При более продолжительных испытаниях скорость коррозии в зазорах оказывается уже выше скорости коррозии в объеме. При этой зависимости скорости коррозии сплава МА-8 в зазорах от концентрации хлор-иона примерно такая же, как и у сплава МЛ-5 (рис. 3).

С целью выяснения механизма коррозии магния и его сплавов в узких зазорах было проведено сравнительное исследование коррозионного и электрохимического поведения этих металлов в аэрированном электролите, в объеме кислородного электролита (вращающийся электрод). Результаты этих опытов приведены в табл. 2.

Таблица 2

Скорости коррозии и значения потенциалов магния и его сплавов в 0,01 N NaCl. Время эксперимента на вращающемся электроде 24 часа; в остальных случаях 8 суток

Материал	Аэрированный электролит		Атмосфера водорода		Вращающийся электрод 2000 об./мин	
	$k \cdot 10^{-5}$, г/см² · сутки	E, V	$k \cdot 10^{-5}$, г/см² · сутки	E, V	$k \cdot 10^{-5}$, г/см² · сутки	E, V
Магний высокой чистоты	13,0	—1,38	6,3	—1,39	380,0	—1,40
Сплав МА-8	6,9	—1,31	6,7	—1,33	—	—
Сплав МЛ-5	3,9	—1,23	3,6	—1,24	—	—

и его сплавов, судя по исследованиям Е. Н. Палеолог [3], составляет в нейтральных электролитах заметную величину. Определенный интерес представляют также результаты, полученные с вращающимся электродом.

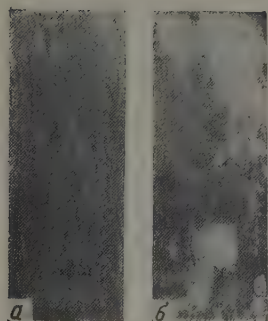


Рис. 2. Образцы магния высокой чистоты после коррозионных испытаний: *а* — в объеме электролита и *б* — в зазоре 0,25 мм в течение 7 суток. Электролит 0,01 *N* NaCl

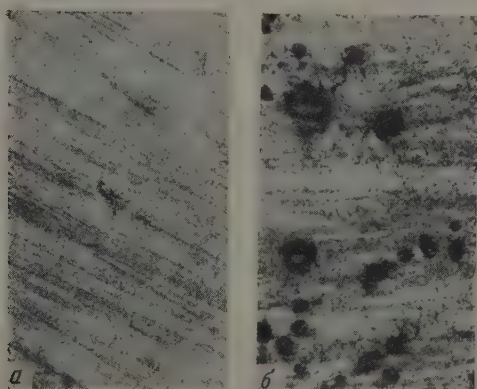


Рис. 4. Поверхность магния высокой чистоты после коррозионных испытаний в 0,01 *N* NaCl; *а* — спокойный электрод; *б* — вращающийся электрод (200 об/мин.). Увеличение $\times 90$

м (рис. 4). При вращении электрода скорость коррозии возрастает почти 30 раз, а потенциал сдвигается на 400 мВ в отрицательную сторону. Число сильно меняется и характер коррозии. На рис. 2 приведены фотографии поверхности магния после коррозии в спокойном электролите (а) при вращении электрода (б). В последнем случае коррозия носит ярко выраженный местный характер.

Сопоставляя и анализируя полученные экспериментальные данные, можно предложить следующий механизм щелевой коррозии магния. Магний, как известно, корродирует даже в нейтральных электролитах в значительной степени с водородной деполяризацией. Выделяющийся водород, стремясь уйти из зазора, сильно размешивает электролит, причем размешивание в зазоре значительно сильнее, чем у поверхности металла в объеме электролита; пространство в зазоре для движения пузырьков водорода весьма ограничено, и путь их движения сложнее. Усиленное движение электролита в зазоре и перемещение пузырьков водорода препятствуют образованию защитных пленок и разрушают имеющиеся пленки, что и обуславливает интенсивную язвенную коррозию.

В электролитах с малым содержанием хлор-иона скорость коррозии магния, а стало быть, и количество выделяющегося водорода мало, поэтому эффект от размешивания электролита становится заметным лишь в минимальных зазорах (рис. 3). В средах с более высокими концентрациями хлор-иона скорость коррозии и количество выделяющегося водорода увеличиваются. Последнее приводит, с одной стороны, к тому, что водородные продукты коррозии заполняют почти полностью минимальные зазоры и препятствуют доступу в них коррозионной среды; с другой стороны, более обильное выделение водорода вызывает интенсивное размешивание электролита в более широких зазорах. Все это приводит к возникновению максимума на кривых зависимости скорости коррозии металла от величины зазора (рис. 3, б). С увеличением концентрации хлор-иона максимум этих кривых, естественно, сдвигается в сторону более широких зазоров. При высоких концентрациях хлор-иона большое значение приобретают условия отвода продуктов коррозии и выделяющегося водорода, а также подвода коррозионной среды. Эти условия в зазорах менее благоприятны, чем в объеме электролита, поэтому эффект от усиленного размешивания коррозионной среды в зазорах уже не играет решающего значения, и скорость коррозии в зазорах при таких концентрациях хлор-иона меньше, чем в объеме электролита (рис. 3, в). Значение концентрации хлор-иона, при которой в зазорах наблюдается меньшая скорость коррозии, чем в объеме, зависит от многих факторов: природы металла, скорости движения электролита, температуры и т. п.

Таким образом сильные коррозионные разрушения магния в зазорах обусловлены работой микроэлементов и изменением кинетики электродных реакций на микроэлектродах. Макроэлементы, которые могут возникнуть вследствие контакта металла в зазоре с металлом, омываемым объемом электролита, за эти разрушения не ответственны. Наоборот, наличие такого контакта в случае магния приводит к определенной электрохимической защите металла в узких зазорах, так как металл в зазоре является катодом макроэлемента (рис. 1, кривая 4). Сплавы МЛ-5 и МА-8

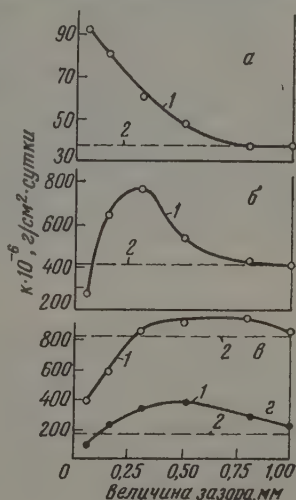


Рис. 3. Коррозия сплава МЛ-5: а — в дистиллированной воде, б — в 0,01 N NaCl и в — в 0,1 N NaCl; 1 — в зазоре; 2 — в объеме. Время испытаний 8 суток

в 0,1 N NaCl при наличии поверхности металла вне зазора подвергается в зазорах более сильной коррозии за счет работы микроэлемента, анодом которого является металл в зазоре.

Возникновение макроэлементов объясняется не только резкой скоростью размешивания электролита в зазоре и около поверхности металла в объеме, но и изменением характера коррозионной среды. Последнее в узком зазоре быстро насыщается продуктами коррозии $[Mg(OH)_2]$, они устанавливают рН, определяемое произведением растворимости этих продуктов коррозии. По нашим измерениям оно оказалось равным 10,0-10,2. Потенциал магния с увеличением щелочности, как известно, облагораживается, поэтому часть металла, находящаяся в зазоре, становится катодом. Наряду с последним наблюдается и противоположная тенденция. Вследствие интенсивного размешивания электролита в зазоре пузырьками водорода происходит нарушение сплошности защитных пленок, и потенциал магния разлагается, что ведет к возникновению макроэлементов, анодом которых является металл в зазоре. Однако разность потенциалов, возникающая в том или другом случае, весьма незначительна, и ток этих элементов мал, а также очень неустойчив во времени. Поэтому роль макроэлементов в щелевой коррозии магния и его сплавов мало заметна.

Выводы

1. Изучено коррозионное поведение магния и некоторых его сплавов в узких зазорах. Показано, что в большинстве случаев эти металлы в зазорах подвергаются более сильной коррозии, чем в объеме электролита. Коррозия в зазорах приобретает более ярко выраженный местный характер. Зависимость скорости коррозии от величины зазора описывается сложной кривой и характеризуется наличием максимума при определенных значениях ширины зазоров.

2. Усиленная коррозия магния и его сплавов в зазорах обусловлена не затруднением процесса диффузии кислорода, а интенсивным размешиванием электролита пузырьками водорода и движением самих пузырьков, которые препятствуют образованию защитных пленок и разрушают уже имеющиеся пленки. Следовательно, сильное коррозионное разрушение магния в зазорах обусловлено работой микроэлементов и изменением характера их работы. Роль макроэлементов в развитии щелевой коррозии магния и его сплавов, в противоположность ранее рассмотренным случаям коррозии в зазорах, мало заметна вследствие весьма малой эффективности.

Институт физической химии
Академии наук СССР
Москва

Поступила
17.VII.1957

ЛИТЕРАТУРА

1. Н. Д. Томашов, Коррозия металлов с кислородной деполяризацией, Изд. АН СССР, 1947, стр. 150.
2. Н. Д. Томашов, М. А. Тимонова и В. И. Комиссарова, Исследование электрохимической коррозии магния; Оборонгиз, 1953.
3. Е. Н. Палеолог, Г. В. Акимов, Н. Д. Томашов и К. С. Коркова, Проблемы коррозии и защиты металлов, Изд-во АН СССР, 1956, стр. 23-255.
4. И. Л. Розенфельд и И. К. Маршаков, Ж. физ. химии, 30, 2725, 1956.

ON THE MECHANISM OF METAL CORROSION IN NARROW SLITS AND CREVICES

VI. MAGNESIUM AND SOME OF ITS ALLOYS

I. L. Rosenfel'd, I. K. Marshakov (Moscow)

Summary

A study has been made of the corrosion behavior of magnesium and of some of its alloys in narrow slits. It has been shown that in the majority of cases these metals are subjected to more severe corrosion in the slits than in the bulk of the electrolyte. The slit corrosion assumes a more clearly expressed local character. The dependence of the corrosion rate on the size of the slit is expressed by a complicated curve, being characterized by the presence of maxima at definite slit values.

The mechanism of the intensified corrosion of magnesium and its alloys in slits rests on the intensive stirring of the electrolyte by the hydrogen bubbles and in the motion of the bubbles themselves, obstructing the formation of protective films and destroying the existing ones, rather than on the hinderance to the diffusion of oxygen. Hence the intense corrosive breakdown of magnesium in slits is due to the work of microcells and to the change in the intensity of their functioning. The part played by macrocells in the development of «slit corrosion» of magnesium and its alloys, in contrast to the previously studied cases of slit corrosion, does not come to the fore, owing to its low effectivity.

АДСОРБЦИОННЫЕ ЯВЛЕНИЯ В СИСТЕМЕ ВОДОРОД — УГЛЕКИСЛОТА — ОКИСЬ УГЛЕРОДА — ВОДЯНОЙ ПАР. I

*Л. Г. Антонова, Ф. П. Ивановский, Т. Г. Фильченкова
и А. И. Красильщиков*

Реакция каталитического взаимодействия окиси углерода с водяным паром, приводящая к образованию водорода и угольной кислоты, была исследована рядом авторов [1—7]. В настоящей работе основное внимание уделено изучению адсорбции компонентов системы водород — угольная кислота — окись углерода — водяной пар на различных металлах.

Экспериментальная часть

Исследование было выполнено несколько видоизмененным электрохимическим методом [8], причем поляризация электродов не производилась, а измерялся потенциал внутреннего электрода. Конструкция примененной ячейки показана на рис. 1.

Адсорбция газа происходила на внутренней пористой металлической пленке, служившей одновременно рабочим электродом. Электродом сравнения служила наружная металлическая плечка, которая изготовлялась из серебра и находилась

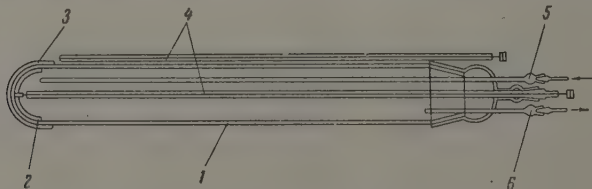


Рис. 1. 1 — реакционная трубка, 2 — рабочий электрод, 3 — электрод вспомогательный; 4 — контакты платиновые, 5 — ввод газа, 6 — вывод газа

в атмосфере воздуха. Таким образом значения потенциала измерялись по отношению к воздушно-серебряному электроду сравнения. Ячейка была изготовлена из специального сорта стекла, достаточно электропроводного при температурах выше 200°С, причем измерения производились посредством катодного вольтметра с весьма малым током (порядка $1 \cdot 10^{-10}$ А).

Общий вид установки показан на рис. 2, та часть установки, которая была предназначена для очистки газа, несколько видоизменялась в зависимости от рода исследуемого газа. Так, окончательная очистка водорода после удаления следов кислорода достигалась вымораживанием жидким азотом. В случае угольной кислоты окончательная очистка достигалась в колонках, заполненных тем же металлом, из которого был изготовлен внутренний электрод в рабочей ячейке и нагретым до той же самой температуры, и т. д.

Внутренние пленки изготовлялись из соответствующих металлов путем оседающего испарения небольшого количества раствора азотнокислой соли с последующим прогревом и восстановлением в токе чистого водорода.

На графиках показаны значения потенциала внутренней пленки в атмосфере различных газов по отношению к наружному воздушно-серебряному электроду сравнения через различные промежутки времени от начала опыта.

В опытах с влажным водородом очищенный сухой водород насыщался водяными парами в небольшом кварцевом сосуде с бидистиллятом. Степень насыщения регулировалась нагревом сосуда-увлажнителя.

Опыты на меди. Водород легко адсорбируется на меди, давая устойчивые значения потенциала, близкие к потенциалу равновесно-водородного электрода.

На рис. 3 показаны установившиеся значения потенциала внутренней медной пленки в атмосфере водорода при 300°C . В сухом водороде потенциал равен около -1250 mV против наружного воздушно-серебряного электрода сравнения. Во влажном водороде по мере увеличения степени влажности потенциал смещается в сторону более положительных значений. Следует, однако, отметить, что при 300°C отравление водородного электрода на меди водяным паром, по-видимому, имеет обратимый характер. Действительно, как видно из рис. 4, если после влажного водорода

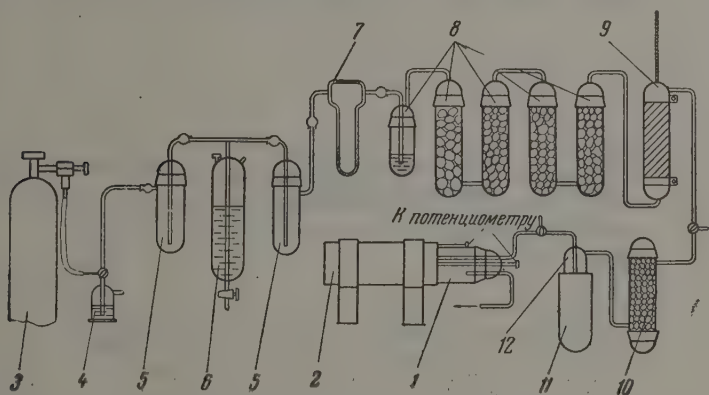


Рис. 2. 1 — реакционная трубка, 2 — печь электрическая, 3 — баллон газовый, 4 — склянка, 5 — ловушки, 6 — моностаб, 7 — реометр, 8 — поглотители для очистки, 9 — печь для очистки газа, 10 — поглотитель для осушки газа, 11 — дьюар, 12 — сосуд для вымораживания

овь пустить в ячейку сухой водород, то потенциал хотя и медленно, все же постепенно приобретает значение, свойственное сухому водороду.

При 250°C адсорбция водорода на меди, как показано на рис. 5, имеет несколько иной характер. В сухом водороде потенциал медной пленки при 250°C имеет несколько более положительное значение, чем при 300°C , именно, около -1200 mV .

Присутствие в водороде водяного пара также сдвигает потенциал в сторону более положительных значений. Особенно интересно отметить, что при 250°C влияние водяного пара на потенциал носит гораздо более обратимый характер, чем при 300°C ; после замены влажного водорода сухим потенциал уже не возвращается к значению, свойственному сухому водороду в течение нескольких часов, так что, если отравление влагой все снимается в токе сухого водорода, то этот процесс происходит весьма медленно, гораздо медленнее, чем при 300°C . Из этих опытов можно заключить, что роль водяного пара в исследуемой системе является сложной и зависит от условий протекания реакции и, в частности, от температуры процесса.

Углекислый газ также легко адсорбируется на меди. На рис. 6 показаны результаты нескольких параллельных опытов по адсорбции углекислоты при 250°C . Адсорбция происходит при значении потенциала около 500 mV против воздушно-серебряного электрода сравнения.

Адсорбированная на меди углекислота легко удаляется в токе сухого водорода, и при этом на медной пленке устанавливается значение потен-

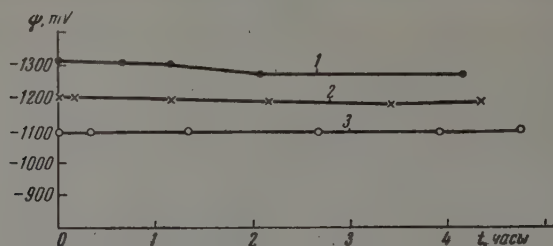


Рис. 3. Адсорбция водорода на меди при 300°. 1 — водород сухой, 2 — водород с абс. влажностью 2,63%, 3 — водород с абс. влажностью 4,01%

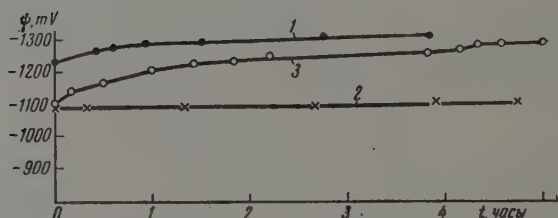


Рис. 4. Адсорбция водорода на меди при 300° С. 1 — водород сухой, 2 — водород с абс. влажностью 4,01%, 3 — водород сухой (после опыта с влажным водородом)

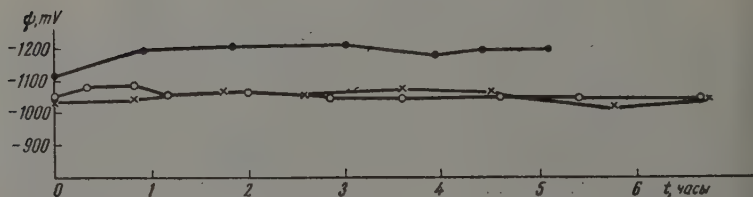


Рис. 5. Адсорбция водорода на меди при 250° С. 1 — водород сухой, 2 — водород с абс. влажностью 2,66%, 3 — водород сухой (после опыта с влажным водородом)

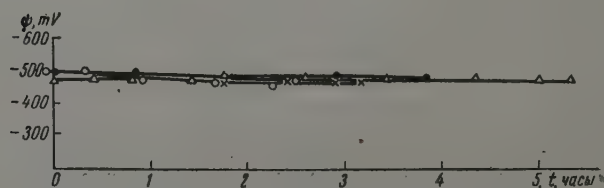


Рис. 6. Адсорбция углекислого газа на меди при 250° С

ала водородного электрода при данной температуре, как это показано рис. 7.

Опыты на кобальте. На кобальте легко устанавливается потенциал водородного электрода, дающий устойчивые значения. На

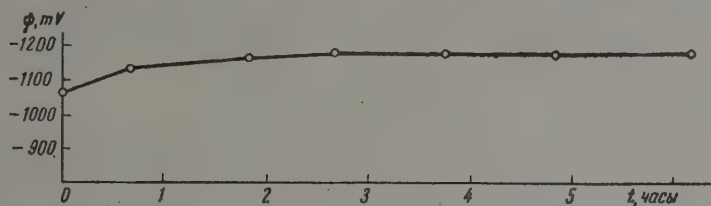


Рис. 7. Адсорбция водорода на меди при 250° С после адсорбции углекислого газа

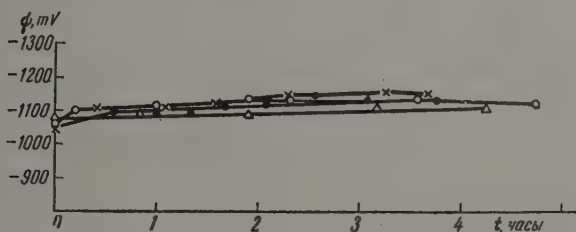


Рис. 8. Адсорбция водорода на кобальте при 250° С

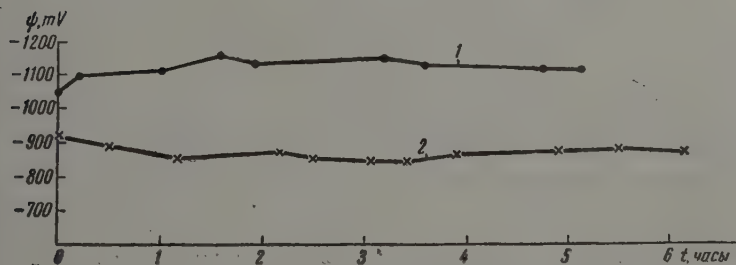


Рис. 9. Адсорбция водорода на кобальте при 250° С. 1 — водород сухой, 2 — водород с абс. влажностью 3,13%

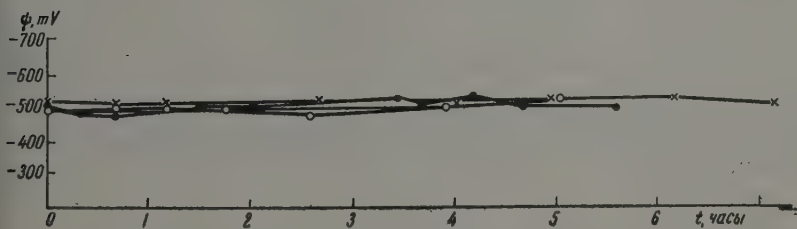


Рис. 10. Адсорбция углекислого газа на кобальте при 250° С

с. 8 показаны результаты измерения водородного потенциала в нескольких параллельных опытах. Устойчивое значение потенциала составляет около -1100 mV против воздушно-серебряного электрода сравнения при 0° С.

Влияние влаги на потенциал водородного электрода на кобальте показано на рис. 9. Так же как и на меди, и в этом случае водяной пар сме-

щает потенциал водородного электрода в область положительных значений.

Углекислый газ также легко адсорбируется на кобальте. На рис. показаны результаты измерения потенциала кобальтовой пленки в атмосфере уголекислоты в нескольких параллельных опытах. Устойчивое значение потенциала, так же как и в случае медной пленки, составляет около -500 мВ против воздушно-серебряного электрода сравнения при 250°C .

Обсуждение результатов

Приведенные в этой работе данные показывают, что каждый из рассмотренных газов дает определенное значение потенциала нанесенного на стекло металлической пленки. Этот факт может быть объяснен только адсорбцией каждого газа на исследованных металлах. Отсюда, в свою очередь, следует, что измерения потенциала металлических пленок является важным методом исследования явлений газовой адсорбции.

Метод электрохимических измерений в последнее время успешно применяется для исследования явлений адсорбции и гетерогенного катализа на различных металлах в растворах, что и послужило главным экспериментальным обоснованием для развития представлений об электронных переходах в катализе [9—20]. Однако казалось весьма заманчивым применить аналогичный метод исследования непосредственно к более важному случаю гетерогенных каталитических газовых реакций.

За основу нами были взяты классические измерения Габера, в которых было использовано стекло в качестве твердого электролита [8, 21].

В настоящей работе мы задались целью применить электрохимические измерения для исследования адсорбционных явлений, возникающих при реакции конверсии окиси углерода с водяным паром. В дальнейшем мы предполагаем исследовать этим методом адсорбцию окиси углерода на различных металлах, а также адсорбционные явления, возникающие в газовых смесях различного состава в системе окись углерода — водяной пар — водород — уголекислота и дать общее обсуждение механизма этих явлений.

Особого внимания заслуживает вопрос о взаимном влиянии компонентов указанной газовой смеси на их адсорбцию. Нам кажется, что именно в этом вопросе электрохимические измерения могли бы сыграть особую существенную роль. Это видно хотя бы на примере описанных выше опытов по адсорбции влажного водорода на меди. Вероятно, влияние водяного пара на адсорбцию водорода трудно было бы также просто проследить каким-либо другим методом. Адсорбция уголекислоты также легко устанавливается описанными выше опытами.

Более общие выводы намечаются самым фактом наличия определенного скачка потенциала при адсорбции как водорода, так и уголекислоты. Подобный факт было бы трудно объяснить без допущения о наличии электронных переходов между металлом и адсорбирующимся газом. Однако подобные рассуждения нуждаются в дальнейшем накоплении экспериментальных данных, поскольку нам пока еще не известен детальный механизм возникновения скачка потенциала между металлом и стекловидным электролитом, равно как и роль газовой адсорбции в установлении этого скачка потенциала.

Выводы

1. Произведено исследование потенциала адсорбции на меди и кобальте при 250 и 300°C . Исследование выполнено методом измерения потенциала пористой металлической пленки в среде исследуемого газа с использованием специальных сортов нагретого стекла в качестве электролита.
2. Дано описание методики, а также предварительное обсуждение полученных результатов.

ЛИТЕРАТУРА

- В. А. Ройтер, С. С. Гаухман, Н. П. Писаржевский и Т. М. Гвалья, *Ж. прикл. химии*, **18**, 439, 1945.
 Н. Б. Кулькова и М. И. Темкин, *Ж. физ. химии*, **23**, 695, 1949.
 Н. В. Добровольская и Б. П. Брунс, *Тр. ГИАП, Госхимиздат*, **5**, 104, 1956.
 F. G. Laupichler, *Industr. and Engng Chem.*, **30**, 578, 1938.
 C. Padovani, A. Lotteri, *J. Soc. Chem. Industr.*, **56**, 391, 1937.
 G. Natta e R. Rigamonti, *Chimica e industria*, **18**, 623, 1936.
 R. Rigamonti e N. Agliardi, *Chimica e industria*, **29**, 145, 1947.
 А. И. Красильщиков и Л. Г. Антонова, *Докл. АН СССР*, **91**, 291, 1953. *Тр. ГИАП, Госхимиздат*, **7**, 292, 1957.
 Л. В. Писаржевский, *Избранные труды*, Изд-во АН УССР, Киев, 1936.
 В. А. Ройтер, *Ж. физ. химии*, **4**, 457, 1933.
 F. Haber a. J. Weiss, *Proc. Roy. Soc.*, **A147**, 332, 1934; J. Weiss, *Trans. Faraday Soc.*, **31**, 1947, 1935.
 Д. В. Сокольский и др., *Докл. АН СССР*, **73**, 949, 1950; **78**, 721, 1951; *Ж. физ. химии*, **26**, 364, 484, 1952.
 А. И. Шлыгин, *Труды Совещ. по электрохимии*, Изд-во АН СССР, 1953, стр. 322.
 С. З. Рогинский, *Пробл. кинетики и катализа*, **8**, 110, 1955.
 Г. Р. Боресков, *Сборник, «Гетерогенный катализ в химич. пром-сти»*, Госхимиздат, М., 1955, стр. 5.
 Ф. Ф. Волькенштейн, *Ж. физ. химии*, **23**, 917, 1949; **26**, 1462, 1952; **27**, 159, 167, 1953.
 М. И. Темкин, *Сборник, «Вопр. химич. кинет., катализа и реакц. способн.»*, Изд-во АН СССР, 1955, стр. 484.
 G. M. Schwab, *Trans. Faraday Soc.*, **42**, 689, 1946.
 C. Wagner, *J. Chem. Phys.*, **18**, 69, 1950.
 С. Я. Пшежецкий, *Сборник «Гетерогенный катализ в химич. пром-сти»*, Госхимиздат, 1955, стр. 158.
 F. Haber u. a., *Z. anorgan. Chem.*, **51**, 245, 289, 1906.

ADSORPTION PHENOMENA IN THE SYSTEM
 HYDROGEN — CARBON DIOXIDE — CARBON MONOXIDE — WATER VAPOR. I

G. Antonova, F. P. Ivanovskii, T. G. Fil'chenkova, A. I. Krasil'shchikov

(Moscow)

Summary

The results are presented of a study of the adsorption of dry and moist hydrogen and carbon dioxide on copper and cobalt at 250° and 300° C, using an electrochemical method. The essence of the method consists in measuring the potential of a porous metallic film, deposited on glass, in the medium of the gas undergoing investigation. The measurements were carried out with respect to the silver-air reference electrode using special sorts of salts at elevated temperatures as solid electrolyte.

The experimental technique has been described and some tentative hypotheses have been made as to the results obtained. The adsorption of the gases studied is characterized by definite values of the potential measured.

ОБ ЭЛЕКТРООТРИЦАТЕЛЬНОСТЯХ ГАЛОГЕНОВ И ДИПОЛЬНЫХ
МОМЕНТАХ ГАЛОГЕНМЕТАНОВ

Г. В. Быков

Автором [1] была предложена схема расчета электронных зарядов связей по электроотрицательностям атомов. В этих расчетах приходилось пользоваться значениями электроотрицательностей, полученными принципиально различных исходных соотношений. Численно эти значения для атомов одних и тех же элементов отличаются друг от друга, и выбор между ними не лишен произвола. Пока речь шла о качественных и полуквантитативных зависимостях, с этим можно было мириться, так как возможные ошибки в принятых значениях электроотрицательностей ведут в большинстве случаев к малым неточностям в величинах электронных зарядов связей. Например, отношение между электронным зарядом A_{CH} связи $C-H$ в метильной группе и электроотрицательностью углерода E_C выражается формулой [1]:

$$A_{CH} = 1 + \frac{4}{E_C + 3}.$$

Нами была принята $E_C = 1,19$, при этом $A_{CH} = 1,955 e$ (электрона). Склонение от этой величины, равное 1% или $0,020 e$, соответствует отклонению от принятой электроотрицательности углерода $\Delta E_C = \pm 0,09$, что составляет около 7,5%. Тем не менее, со строгой теоретической точки зрения, необходим расчет электроотрицательностей атомов в их валентном состоянии при помощи тех соотношений, в которые электроотрицательности входят вместе с электронными зарядами связей.

В настоящей работе мы дадим расчет электроотрицательностей галогенов по данным о геометрических параметрах и дипольных моментах галогенметанов. Попутно будут вычислены дипольные моменты связей углерода с водородом и галогенами, а также дипольные моменты смешанных галогенметанов.

Современные представления о природе дипольных моментов молекул значительно отличаются от тех, которые существовали около 20 лет назад. Раньше, как и теперешний дипольный момент молекул представляли как векторную сумму дипольных моментов отдельных связей, но дипольный момент связи относили только за счет сдвига валентных электронов в сторону более электроотрицательного атома. В настоящее время [2—4] такое смещение электронов — «индуктивный диполь» — рассматривают лишь как составляющую, по абсолютной величине сравнительно незначительную, общего дипольного момента связи. Другими составляющими являются «ковалентный, или гомеополарный, диполь» и «атомный диполь». Положительный конец ковалентного диполя направлен в сторону большего из двух атомов, образующих связь. Атомный диполь обязан своим происхождением смещению гибридных орбит свободных пар электронов в сторону от данной связи. Расхождения у отдельных атомов вызывает оценка составляющих по величине и особенно оценка дипольных моментов связи $C-H$ в различных соединениях. Так, в большинстве работ этой связи метане и предельных углеводородах приписывают значения от $C-H^+ 0,4 D$ до $C-H^+ 0,4 D$. Отсутствие у атома водорода атомного диполя и наличие у атома углерода гибридной орбиты, образующей ковалентный диполь, заставляет большинство авторов принимать, что отрицательный конец диполя связи $C-H$ направлен в сторону водорода. По оценке Коулсона [5] такой ковалентный диполь связи $C-H$

Таблица 1

Геометрические параметры и дипольные моменты галогенметанов*

галогенметан	Межатомные расстояния, Å: валентные углы	Дипольные моменты, D		
		опытные	рассчитанные	
			настоящая работа	работа [7]
CH_3F	CH 1,109 CF 1,385 HCH $110^\circ 0'$ [9] 1,095 1,391 109,5° [10]	1,790 [9]	(1,79)	(1,81)
CH_3F_2	CH 1,092 CF 1,358 HCH $110^\circ 52'$ FCF $108^\circ 17'$ [11]	1,93 [9] 1,96 [11]	1,99	1,91—1,93
CH_3F_3	CH 1,098 CF 1,332 FCF $108^\circ 48'$ [9]	1,645 [9] 1,62 [12]	(1,645)	1,51—1,54
CH_3Cl	CH 1,103 CCl 1,782 HCH $110^\circ 20'$ [9]	1,869 [9]	(1,87)	(1,86)
CH_3Cl_2	CH 1,068 CCl 1,772 HCH $112^\circ 0'$ ClCCl $111^\circ 47'$ [9]	1,62 [9]	(1,62)	1,58—1,68
CH_3Cl_3	CH 1,073 CCl 1,767 ClCCl $110^\circ 24'$ [9]	1,02 [13] 1,05 [13]	(1,035)	1,04—1,19
CH_3Br	CH 1,101 CBr 1,938 HCH $110^\circ 48'$ [9]	1,797 [9] 1,821 [14]	(1,81)	(1,78)
CH_3Br_2	CH (1,09) CBr 1,91 HCH $(109^\circ 28')$ BrCBr 112° [15]	1,42 [14] 1,43 [13]	1,47	1,40—1,55
CH_3Br_3	CH 1,068 CBr 1,930 BrCBr $110^\circ 48'$ [9]	0,99 [14]	(0,99)	0,88—1,08
CH_3J	CH 1,100 CJ 2,140 HCH $110^\circ 58'$ [9]	1,647 [9]	(1,647)	(1,59)
CH_3J_2	CH (1,09) CJ 2,12 HCH $(109^\circ 28')$ JCJ $114,7^\circ$ [16]	1,08 [7] 1,14 [7]	1,25	1,12—1,34
CH_3J_3	CH (1,09) CJ 2,12 JCJ $113,0^\circ$ [16] (1,09) 2,18 HCJ $109^\circ 24'$ [16]	0,8 [7] 1,00 [7]	0,55 1,18	0,63—0,93
CH_2F	CCl 1,76 CF 1,40 ClCF $107^\circ 5'$ [16]	0,45 [13] 0,49 [17]	0,57	1,00—0,88
CH_2F_2	CCl 1,74 CF 1,35 ClCCl 113° FCF 109° [16]	0,51 [13]	0,50	1,23—1,12
CH_2F_3	CCl 1,751 CF 1,328 FCF $108,6^\circ$ [10]	0,46 [12]	0,38	—
CHClF	CH (1,08) CCl 1,73 CF 1,41 HCF $(110^\circ 7,5')$ ClCCl 112° ClCF 109° [16]	1,29 [13]	1,26	—
CHClF_2	CH (1,08) CCl 1,73 CF 1,36 HCCl $(108^\circ 31')$ [13]	1,40 [13]	1,27	—
CH_2ClF	FCF $110,5^\circ$ ClCF $110,5^\circ$ CH 1,078 CCl 1,759 CF 1,378 ClCF $110^\circ 1'$ θ $125^\circ 41'$ HCH $(111^\circ 43')$ [18]	—	1,83	—
CH_2Br	CBr 1,91 CF 1,44 BrBr 3,20 BrF $2,70$ [16]	0,58 [17]	0,41	—
CH_2Br_2	CBr (1,91) CF (1,33) BrCBr $(113^\circ 48')$ FCF (108°)	0,66 [12] 0,68 [17]	0,71	—
CHBr_2	CBr 1,908 CF 1,33 FCF 108° [9]	0,65 [12]	0,63	—
CHBr_3	CJ 2,122 CF 1,328 FCF $108,3^\circ$ [16]	0,92 [12]	0,82	—
CH_2Br_3	Cl (1,76) CBr (1,93) BrCBr $(109^\circ 28')$	0,2 [17]	0,19	—
CH_2Br_4	CCl 1,75 CBr 1,93 ClCCl $(109^\circ 28')$ BrBr $3,15$ [16]	0,25 [17]	0,16	—
CH_3Br	Cl (1,76) CBr 1,93 ClCBr $109,5^\circ$ [19]	0,21 [17]	0,19	0,61—0,57

* Во втором столбце таблицы приведены длины связей с тремя и двумя десятичными знаками. В первом случае длина связи определена с точностью от 0,001 до 0,01 Å, а валентные углы — с точностью от 1' до 1°. Когда приведено два десятичных знака, межатомные расстояния определены с точностью около 0,02 Å, а валентные углы — с точностью от 1° до 2°. Вместо валентных углов иногда приводятся, как же как и в источниках, из которых заимствованы данные, межатомные расстояния, позволяющие вычислить эти углы. В строке для CH_2ClF θ означает угол между связью C—Cl и проекцией связей C—H на плоскость симметрии. В скобки заключены значения межатомных расстояний и валентных углов, принятые автором настоящей работы на основании тех или иных соображений. В частности, для CHCl_2F принят HCF, как в CHCl_3 ; для CHCl_2F_2 принят HCCl, как в CHCl_3 ; для CH_2ClF принят HCH, как в CH_2Cl_2 и CH_2F_2 (среднее); для CH_2Br_2 приняты CBr и BrCBr, как в CH_2Br_3 , и CF и FCF, как в $\text{CH}_2\text{Br}_3\text{F}$ (см. продолжение прим. на стр. 424).

в метане достигает 1,97 D . Квантово-статистическая оценка, предпринятая Глейзер и Рейссом [6], привела к дипольному моменту $C+H^-$ 2,8 D , хотя, как подчеркивают авторы этой работы, полученную ими цифру ни в коем случае нельзя считать надежной.

При расчете дипольных моментов галогенметанов, вследствие трудности квантово-механической обработки, Смит и соавторы [7] прибегли к «полуклассической модели» и к полуэмпирическому расчетному методу. Ими принято, что дипольный момент связи вызван индуктивным эффектом и может быть представлен как результат локализации на атомных ядрах, участвующих в данной связи, равных по величине, но противоположных по знаку электронных зарядов. Тогда произведение такого заряда на длину связи даст ее дипольный момент. При расчете из различных источников заимствуются данные о составляющих (вдоль линии связей) поляризуемости пары валентных электронов, о взаимном экранировании электронов в валентных оболочках атомов и о ковалентных радиусах. Еще одна вспомогательная величина вычисляется из экспериментальных значений дипольных моментов моногалогенметанов. Кроме того, Смит и соавторы ведут расчет, исходя из трех, по их мнению, возможных значений дипольного момента связи $C-H$, а именно $+0,3$; 0 и $-0,3 D$. Простоты ради авторы принимают во всех галогенметанах длины связей такими же, как и в моногалогенметанах, а валентные углы — тетраэдрическими. Последнее предположение может повести очевидно к значительным ошибкам при расчете. Данные Смита и соавторов приведены в последнем столбце табл. 1. Хотя они отличаются от экспериментально определенных дипольных моментов смешанных галогенметанов приблизительно на 0,5 D , сами авторы полагают, что здесь имеется в целом прекрасное соответствие и с их пор считают ([3], стр. 185) результаты Смита и соавторов лучшим теоретическим расчетом дипольных моментов галогенметанов.

Расчетная схема

В отличие от рассмотренной «полуклассической» схемы, предлагаемой нами способ расчета дипольных моментов галогенметанов (а в принципе и более сложных молекул) является лишь уточнением классического метода, сводящегося к нахождению векторной суммы дипольных моментов отдельных связей. В качестве стандартного дипольного момента μ_{CX}^0 связи $C-X$, представляющего собою векторную сумму индуктивного ковалентного и атомного диполей (или их составляющих), берем дипольный момент двух- σ -электронной связи $C-X$, как в CX_4 . Для связей в других молекулах вводим [8] поправку на отклонение электронного заряда данной связи от двух электронов, так как в зависимости от электроотрицательности атомов происходит такое распределение электронных зарядов, что одни связи (возьмем только σ -связи) имеют менее, а другие более двух электронов. Обозначим разницу между зарядом данной связи $C-X$ двумя электронами через $A_{CX} - 2$. Так как естественно считать, что заряд $A_{CX} - 2$ распределяется равномерно по всей связи $C-X$, а это эквивалентно его перемещению на половину межатомного расстояния $C-X$, дипольный момент μ_{CX} этой связи выразится уравнением

$$\mu_{CX} = \mu_{CX}^0 + (A_{CX} - 2) \frac{l_{CX}}{2} \cdot 4,8, \quad (1)$$

где l_{CX} — длина связи $C-X$, а множитель 4,8 введен для выражения $(A_{CX} - 2) \frac{l_{CX}}{2}$ в дебаях, поскольку $A_{CX} - 2$ рассчитывается в электронах, а l_{CX} — в ангстремах.

В столбце опытных дипольных моментов цифра с тремя десятичными знаками соответствует определениям, выполненным с точностью $\sim 0,010 D$, а цифры с двумя или одним десятичным знаком соответствуют точности от 0,02 до 0,2 D . В последнем столбце таблицы в скобки заключены значения дипольных моментов, использованные в настоящей работе для расчета электроотрицательностей атомов стандартных дипольных моментов связей. Остальные значения рассчитаны по формулам, предложенным в настоящей работе. В последнем столбце в скобки заключены значения, использованные Смитом и соавторами в их расчетах вспомогательных величин. В остальных случаях указано два значения: первое соответствует принятому $\mu_{C+H^-} = 0,3 D$, а второе $\mu_{C+H^-} = 0,3 D$.

Так как [1]

$$A_{CX} = 1 + \frac{4E_X}{\Sigma E}, \quad (3)$$

где E_X — электроотрицательность атома X, а ΣE — сумма электроотрицательностей всех четырех атомов, соединенных с углеродом, то

$$\mu_{CX} = \mu_{CX}^0 + 2,4l_{CX} \left(\frac{4E_X}{\Sigma E} - 1 \right). \quad (4)$$

Дальнейший расчет дипольных моментов галогенметанов производится по обычной аддитивной схеме. Суммируя дипольные моменты связей в соответствии с рисунком, после элементарных преобразований получим для расчета дипольных моментов молекул CY_3X , CY_2X_2 и CYX_3 следующие формулы:

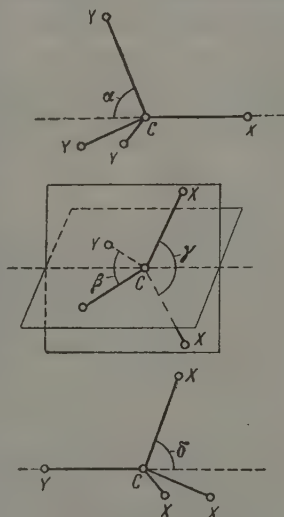
$$P_{CY_3X} = \mu_{CX}^0 - 3\mu_{CY}^0 \cos \alpha + 7,2(l_{CY} \cos \alpha + l_{CX}) \frac{E_X - E_Y}{E_X + 3E_Y}; \quad (5)$$

$$P_{CY_2X_2} = 2\mu_{CX}^0 \cos \frac{\gamma}{2} - 2\mu_{CY}^0 \cos \frac{\beta}{2} + 4,8(l_{CY} \cos \frac{\beta}{2} + l_{CX} \cos \frac{\gamma}{2}) \frac{E_X - E_Y}{E_X + E_Y}; \quad (6)$$

$$P_{CYX_3} = 3\mu_{CX}^0 \cos \delta - \mu_{CY}^0 + 7,2(l_{CY} + l_{CX} \cos \delta) \frac{E_X - E_Y}{3E_X + E_Y}. \quad (7)$$

Формулы написаны таким образом, что вычисление удобно вести при $E_X > E_Y$.

Когда $Y = H$, электроотрицательность которого $E_H = 1$, уравнения (5)–(7) позволяют, если известны дипольные моменты и геометрические параметры молекул CH_3X , CH_2X_2 и CHX_3 , рассчитать E_X , μ_{CH}^0 и μ_{CX}^0 . Необходимые для расчета данные представлены в табл. 1. Как видно из нее, подобный расчет нет смысла проводить для Br и J вследствие ненадежности данных о геометрии молекул CH_2Br_2 , CH_2J_2 и CHJ_3 . Кроме того, дипольные моменты двух последних молекул определены в растворе и не очень надежными методами (что указано знаком вопроса). Данные для соединений фтора довольно противоречивы. В первую очередь это относится к углу HCN в CH_3F (см. [9]), также к дипольным моментам CH_2F_2 и CHF_3 . Действительно, расчеты E_F , μ_{CH}^0 и μ_{CF}^0 по данным для соединений фтора не приводят к убедительным результатам. Остаются, таким образом, соединения хлора. Подставляя табличные данные (для дипольного момента $CHCl_3$, берем усредненное значение) в уравнения (5)–(7) и решая их совместно, находим E_{Cl} , μ_{CH}^0 и μ_{CCl}^0 . Для расчета E_F и μ_{CF}^0 необходимы только два уравнения, имея в виду, что значение μ_{CH}^0 уже получено. Так как данные для CH_2F_2 представляются наименее надежными, совместно решаем уравнения (5) и (7) для CH_3F и CHF_3 , усреднив значения геометрических параметров молекулы CH_3F и отдав предпочтение одному, по-видимому, более надежному значению дипольного момента молекулы CHF_3 . Точно таким же методом из данных для CH_3Br и $CHBr_3$ находим E_{Br} и μ_{CBr}^0 . Для нахождения E_J и μ_{CJ}^0 у нас имеется только одно уравнение, получаемое подстановкой в (5) данных



К выводу формул (5)–(7). Вектор результирующего дипольного момента молекулы направлен вдоль пунктирной линии, проходящей через атом углерода

для CH_3J . Так как $\mu_{\text{CBr}}^0 > \mu_{\text{CCl}}^0$, логично предположить, что $\mu_{\text{CJ}}^0 \geq \mu_{\text{CBr}}^0$ но $\mu_{\text{CJ}}^0 \leq \mu_{\text{CBr}}^0 + 2(\mu_{\text{CBr}}^0 - \mu_{\text{CCl}}^0)$. Тогда

$$\mu_{\text{CJ}}^0 = (2\mu_{\text{CBr}}^0 - \mu_{\text{CCl}}^0) \pm (\mu_{\text{CBr}}^0 - \mu_{\text{CCl}}^0).$$

При помощи определенного таким образом значения μ_{CJ}^0 найдем E_{J} . Полученные результаты сведены в табл. 2. Для всех связей положительный конец диполя μ_{CX}^0 направлен к углероду.

Таблица 2

Электроотрицательности галогенов и дипольные моменты стандартных связей углерода с водородом и галогенами

X =	H	F	Cl	Br	J
E_{X}	(1,00)	1,327	1,471	1,333	1,20±0,06
μ_{CX}^0	2,46	3,26	2,60	2,84	3,08±0,24

Обсуждение результатов

При расчете E_{Cl} , μ_{CH}^0 и μ_{CCl}^0 было использовано 13 экспериментальных параметров, имеющих те или иные абсолютные ошибки измерения. Влияние последних на полученные результаты поясним на одном примере. В результате усреднения имеем $r_{\text{CHCl}} = 1,035 \pm 0,015$. Учитывая эти значения абсолютных ошибок, мы получим $E_{\text{Cl}} = 1,47 \pm 0,03$, $\mu_{\text{CH}}^0 = 2,46 \pm 0,60$ и $\mu_{\text{CCl}}^0 = 2,60 \pm 0,67$. При расчете E_{F} и μ_{CF}^0 использован уже 21 параметр и еще значение μ_{CH}^0 . Если мы примем во внимание только значение ошибок при расчете последней величины, то получим $E_{\text{F}} = 1,327 \pm 0,012$ и $\mu_{\text{CF}}^0 = 3,26 \pm 0,56$. Несомненно, что при расчете всех этих величин происходит взаимная компенсация влияния абсолютных ошибок экспериментально определенных параметров. Однако нельзя сказать заранее, при какой комбинации известных параметров компенсация происходит таким образом, что получается лучшее приближение к действительности. Это можно установить только путем применения данных, вычисленных по той или иной схеме, к расчету дипольных моментов галогенметанов, определенных наиболее надежно, т. е. в газовой фазе или в жидкой фазе и в растворе методами радиоспектроскопии (см. [17]).

По данным табл. 2, пользуясь уравнением (4), а большей частью сразу формулами (5) — (7), рассчитаны дипольные моменты большого числа галогенметанов (табл. 1). Сравнение с результатами опытного определения показывает, что между двумя рядами величин соответствие вполне удовлетворительное и, во всяком случае, значительно более удовлетворительное, чем у Смита и соавторов. Если не считать строк для CH_2J_2 и CHJ то для остальных 14 случаев расхождение в среднем составляет 0,064 D. Для CBr_3F оно достигает 0,17 D. Однако из табличных межатомных расстояний мы найдем угол BrCBr , равным $113^\circ 48'$ и угол BrCF , равным $106^\circ 34'$ что несколько сомнительно. Поэтому уравнение (5) для CBr_3F после постановки в него из табл. 1 и 2 всех значений, кроме $\cos \alpha$, целесообразно использовать для расчета угла BrCF . Мы найдем таким путем, что он равен $108^\circ 52,5'$, а угол BrCBr равен $110^\circ 4'$. Точно так же для угла ClC в CCl_3F получим, приняв $r_{\text{CCl}_3\text{F}} = 0,45 D$, более правдоподобное значение $108^\circ 23'$, а в CHClF_2 для FCF и ClCF $109^\circ 40'$. Таким образом, открывается новая возможность расчета валентных углов в галогенметанах, а наверно и в более сложных молекулах.

Результаты расчетов дипольных моментов галогенметанов определенно говорят в пользу предложенной расчетной схемы и данных табл. 2. Такое подтверждение этих данных тем более необходимо, что некоторы

з них кажутся весьма необычными. Так, если значение E_{Cl} близко общепринятым 1,39—1,43 (см. [1]), а E_{Br} и E_{I} хорошо с ними согласуются (E_{Br} принимают от 1,29 до 1,37, а E_{I} от 1,15 до 1,24), то для E_{F} нами получена очень низкая величина (принимают 1,77—2,31)*. Найденное значение μ_{CH}^0 хотя и необычно, но находится в определенном соответствии с упомянутыми ранее оценочными расчетами Коулсона Глейзера — Рейсса. Ничего нет удивительного в том, что μ_{CH}^0 галогенов выше, чем μ_{CH}^0 , однако и здесь μ_{CF}^0 имеет значение, которое нельзя было ожидать, принимая во внимание положение фтора в ряду галогенов. Объяснение этих аномалий следует оставить до времени, когда вопрос об электростригательности фтора будет изучен более основательно**.

Из наших формул следует, что, например, в ряду CH_4 , CH_3F , CH_2F_2 , CHF_3 , CF_4 электронные заряды как связей C—H , так и связей C—F должны уменьшаться. Казалось бы, при этом длина связей должна увеличиваться, тогда как известно (ср. табл. 1), что она в том же направлении уменьшается. До сих пор для этого факта еще не предложено убедительного объяснения. Можно предположить, что с увеличением числа атомов алогена в молекуле валентные силы постепенно уступают место центральным силам, и невалентное взаимодействие атомов, ведущее к стягиванию межатомных расстояний, приобретает все большее значение. Такое предположение может служить в качестве рабочей гипотезы, тем более что в его пользу говорит существование таких соединений, как H_4F_4 , ClF_3 , Cl_3 и т. п. Об уменьшении электронных зарядов связей C—H при переходе от CH_3X к CNH_3 свидетельствует, например, тот факт, что энергия активации реакций $\text{CH}_3\cdot + \text{RH} \rightarrow \text{CH}_4 + \text{R}\cdot$ для CH_3Cl составляет [22] $4 \pm 0,3$ ккал/моль, для CH_2Cl_2 $7,2 \pm 0,3$ и для CHCl_3 $5,8 \pm 0,3$ (по другим данным 6,8) ккал/моль. Такая же картина наблюдается для CH_3F , CH_2F_2 , для CH_3Br и CH_2Br_2 (для CHBr_3 и CHBr_2 данных нет). А как показал автор [23], энергия активации подобных реакций изменяется параллельно изменению σ -электронных зарядов связей C—H , разрывающихся во время реакции.

Выводы

Классическая аддитивная схема в применении к расчету дипольных моментов галогенметанов дает вполне удовлетворительные результаты, если дипольные моменты отдельных связей вычислять по предложенной второй формуле (4), учитывающей зависимость величины электронных зарядов связей от электростригательностей атомов. Рассчитаны электростригательности галогенов и дипольные моменты стандартных (двухэлектронных) связей углерода с водородом и галогенами.

Академия наук СССР
Институт истории естествознания
и техники

Поступила
19.VII. 1957

* Исходя из соотношения между частотами валентных колебаний связей C—H и их электронными зарядами [20], нами по литературным данным о частотах колебаний связей C—H в C_2H_6 , CH_3OH , CH_3SH и CH_3NH_2 были найдены электростригательности углерода $E_{\text{C}} = 1,180$, кислорода $E_{\text{O}} = 1,582$, серы $E_{\text{S}} = 1,145$ и азота $E_{\text{N}} = 1,444$ против $E_{\text{C}} = 1,18$ —1,20, $E_{\text{O}} = 1,59$ —2,03, $E_{\text{S}} = 1,18$ —1,30 и $E_{\text{N}} = 1,39$ —1,71 других авторов [1]. Несомненная близость между всеми (кроме фтора) значениями электростригательностей атомов, полученными из соотношений, в которые входят электронные заряды связей, и данными других авторов позволяет считать, что их таблицы электростригательностей могут быть также использованы при расчетах электронных зарядов связей. Следует только исключить завышенные значения электростригательностей кислорода, серы и азота в таблице Б. В. Некрасова. (Примечание от 3.IX.1958).

** Укажем только на явную параллель между нашими значениями E_{X} и следующими данными [21] о сродстве к электрону галогенов: Cl 87, F и Br 81 и J 72 ккал/моль.

ЛИТЕРАТУРА

1. Г. В. Быков, Изв. АН СССР, Отд. хим. н., № 11, 1345, 1956; Ж. физ. химии, **31**, 501, 1957.
2. C. A. Coulson, Valence, Oxford, 1953, стр. 207.
3. J. W. Smith, Electric Dipole Moments, Lnd., 1955, стр. 101.
4. G. W. Wheland, Resonance in Organic Chemistry, N. Y., 1955, стр. 20.
5. C. A. Coulson, Trans. Faraday Soc., **38**, 433, 1942.
6. H. Glazer, H. Reiss, J. Chem. Phys., **23**, 937, 1955.
7. R. P. Smith, T. Ree, J. L. Magee, H. Eyring, J. Amer. Chem. Soc., **73**, 2263, 1951.
8. Г. В. Быков, Изв. АН СССР, Отд. хим. н. № 12, 1435, 1956.
9. В. Горди, В. Смит, Р. Трамбаруло, Радиоспектроскопия, Гостехтеоретиздат, М., 1955, Приложение.
10. R. L. Livingston, Ann. Rev. Phys. Chem., **5**, 397, 1954.
11. D. R. Lide, J. Amer. Chem. Soc., **74**, 3548, 1952.
12. A. Di Giacomo, C. P. Smyth, J. Amer. Chem. Soc., **77**, 774, 1955.
13. Landolt-Börnstein, Zahlenwerte und Funktionen aus Physik, Chemie., 6. Aufl., I. Bd., Berlin — Göttingen — Heidelberg, 1951.
14. A. D. Buckingham, R. J. W. Le Fèvre, J. Chem. Soc., 3432, 1953.
15. P. W. Allen, L. E. Sutton, Acta cryst., **3**, 46, 1950.
16. Ссылка [4], стр. 696 и сл.
17. R. C. Miller, C. P. Smyth, J. Chem. Phys., **24**, 814, 1956.
18. N. Muller, J. Amer. Chem. Soc., **75**, 860, 1953.
19. Л. В. Вилков, Некоторые закономерности в изменении длин связей углерод-галоген. (Электроннографическое исследование...), Автореферат канд. диссертации М., 1957, стр. 5.
20. Г. В. Быков, Изв. АН СССР, Отд. хим. н., № 6, 771, 1958.
21. E. Wicke, в Сб. Aktuelle Probleme der physikalischen Chemie, Berlin, 1953, стр. 108.
22. A. F. Trotman-Dickenson, Gas Kinetics, Lnd., 1955, стр. 202.
23. Г. В. Быков, Изв. АН СССР, Отд. хим. н., № 5, 554, 1957.

ELECTRONEGATIVITIES OF HALOGENS AND THE DIPOLE MOMENTS OF HALOGENATED METHANES

G. V. Bykov (Moscow)

Summary

For calculating the dipole moments of bonds equation (4) has been proposed taking into account the dependence of the electronic charges of the bonds on the electronegativities of the atoms. The electronegativities of the halogens and the dipole moments of standard (two electron) carbon-hydrogen and carbon-halogen bonds (Table 2) have been calculated. As illustrated on 14 halogenomethanes (Table 1) the proposed method of calculating the dipole moments of molecules leads to good results. The same method may be applied in correcting values for the valency angles in halogenomethanes.

О РОЛИ ВОДНОЙ ФАЗЫ В ПРОЦЕССЕ ЭМУЛЬСИОННОГО
ОКИСЛЕНИЯ ИЗОПРОПИЛБЕНЗОЛА

Р. В. Кучер и М. А. Ковбуз

Реакция окисления изопропилбензола (кумола) является важной для промышленности, поскольку ее основной продукт — гидроперекись — является сырьем для получения фенола и ацетона [1]. Поэтому очень важными являются исследования скорости процесса, а также и конечного выхода целевого продукта для их повышения.

Обычно в случае жидкофазного окисления углеводов выход конечного продукта достигает определенной величины, не превышающей 50% [2]. При окислении кумола превращение углеводорода в гидроперекись достигает 50 мол.% [3]. Конечная концентрация гидроперекиси определяется не термодинамическим равновесием, а соотношением скоростей протекания отдельных последовательных стадий реакции.

Поиски наиболее благоприятных условий для протекания автоокисления изопропилбензола привели к разработке метода окисления кумола эмульсионных системах. Так, еще в 1950 г. было найдено [4], что присутствие водной фазы сильно влияет на скорость окисления кумола. Первостепенное значение имеет рН водной фазы, интенсивность перемешивания и другие факторы. В литературе [5, 6] приводятся результаты исследования эмульсионного окисления *n*-димола, причем было показано, что удовлетворительная скорость накопления гидроперекиси (более 1% час) имеет место при температуре 85°С.

В одной из предыдущих наших работ [7] указывалось, что роль водной фазы при окислении кумола в эмульсии является весьма существенной. Применение эмульсии открывает возможность протекания отдельных стадий реакции в водной фазе. Одновременно выход гидроперекиси повышается до 80—90%.

Разработка проблем, касающихся эмульсионного окисления углеводов, начата только в последнее время. Работы в этой области имеют пока эмпирический характер. Таким образом, возникает вопрос о теоретическом обосновании роли водной фазы при окислении углеводов в эмульсиях. Нам кажется, что наибольшего внимания заслуживает попытка толкования роли водной фазы с точки зрения теории макроскопических стадий цепных процессов и особой роли начального периода реакции. Эта теория развивается в работах Н. М. Эмануэля [2, 8]. Было показано на ряде примеров, что в случае цепных процессов в начальный период протекает реакция, которая, быстро оканчиваясь, приводит к образованию продукта, который инициирует дальнейшую стадию процесса. Таким образом, макроскопические стадии реакции разделяются по времени, и можно повышать выход целевого продукта путем искусственного воспроизведения начальной макроскопической стадии реакции.

При эмульсионном окислении углеводов в связи с увеличением выхода гидроперекиси возникает вопрос о макроскопических стадиях реакции и их воспроизведении. Здесь, вследствие гетерогенности реакционной системы, может иметь место разделение отдельных макростадий реакции не только во времени, но и по фазам. Этот вопрос может быть выяснен только при помощи изучения влияния соотношения фаз, электролит-

ного состава водной фазы, а также по нарушению эмульсионного окисления на той или иной стадии процесса путем отбора водной фазы и дальнейшего наблюдения за реакцией. И наоборот, мы можем нарушать введение водной фазы на той или иной стадии процесса окисления углеводорода гомогенной жидкой фазе. Результаты таких опытов и их толкование составляют предмет настоящей статьи.

Экспериментальная часть

Окислению подвергался технический изопропилбензол после сернокислотной и щелочной очистки и перегонки над металлическим натрием. Сильное перемешивание в термостатированном реакторе (трехгорная колба), куда барботировался кислород, осуществлялось рециркуляционной мешалкой на ртутном затворе. Через определенные промежутки времени отбирались пробы (1 мл) и анализировались на содержание гидроперекиси. Анализ проводился йодометрическим микрометодом [8] с использованием потенциометрического титрования.

Окисление велось в эмульсии нестабилизированной никакими эмульгаторами. Эмульсии готовились путем введения в реакционную массу водной фазы определенного электролитного состава и pH в количестве, которое требовалось для достижения определенного соотношения фаз (углеводород: водная фаза). При проведении процесса в эмульсии содержание гидроперекиси кроме олеофазы контролировалось также в водной фазе.

Электролитный состав водной фазы и прежде всего ее щелочность оказывают значительное влияние на скорость про-

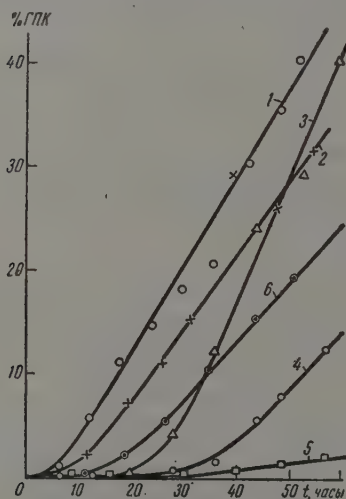


Рис. 1.

Рис. 1. Кинетические кривые накопления гидроперекиси кумола (ГПК) при окислении кумола в эмульсии (соотношение фаз 1:4) с водной фазой при 90°C 1 — 0,1 N Na_2CO_3 ; 2 — 0,1 N NaOH ; 3 — 1 N Na_2CO_3 ; 4 — 0,05 N Na_2CO_3 ; 5 — дистиллированная вода; 6 — в отсутствии водной фазы

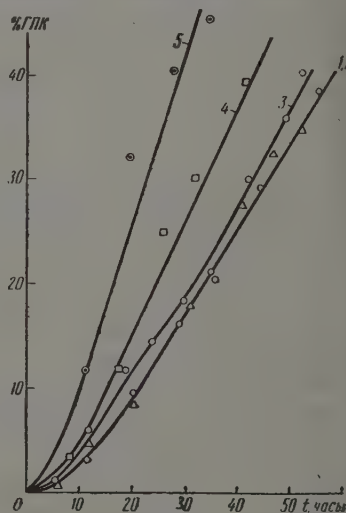


Рис. 2.

Рис. 2. Кинетические кривые накопления гидроперекиси кумола (ГПК) при окислении кумола [при 90°C в эмульсиях с соотношением фаз (кумол: водная фаза): 1 — 2:1; 2 — 1:1; 3 — 1:4; 4 — 1:8; 5 — 1:12 (водная фаза — 0,1 N Na_2CO_3)]

цесса эмульсионного окисления изопропилбензола. В проведенных нами опытах мы ограничились только нейтральной и щелочной водной фазой, так как присутствие кислоты полностью подавляет процесс окисления. Мы исследовали влияние различного содержания в водной фазе соды и щелочи при постоянном соотношении фаз (1:4) на скорость накопления гидроперекиси. Кроме того, кумол окислялся также в присутствии дистиллированной воды без всяких электролитных добавок.

Как показали результаты проведенных нами опытов (рис. 1), при проведении процесса в эмульсии мы можем путем изменения щелочности водной фазы добиться значительного увеличения скорости процесса и сокращения индукционного периода. Лучшие результаты дает применение в качестве водной фазы 0,1 N раствора соды (рН 9,9). В этом случае практически отсутствует индукционный период, и скорость процесса примерно 1,5 раза больше, чем при окислении в гомогенной жидкой фазе. Дальнейшее увеличение щелочности водной фазы путем введения большего количества соды (1 г-экв/л) хотя и сохраняет удовлетворительную скорость накопления гидроперекиси кумола, однако значительно затягивает индукционный период реакции. Уменьшение содержания соды в водной фазе (до 0,05 г-экв/л) приводит к ухудшению развития процесса. Совсем подавляется реакция при переходе от щелочной водной фазы к нейтральной (дистиллированная вода). В этом случае гидроперекись практически не накапливается в ходе реакции.

При создании сильно щелочной среды с значениями рН порядка ~13 путем введения едкого натра в количестве 0,1 г-экв/л хотя и сохраняется удовлетворительная скорость процесса, однако конечный выход гидроперекиси становится ниже, чем в присутствии соды, где кривые накопления гидроперекиси кумола доходят до 85% гидроперекиси.

Соотношение фаз также оказывает заметное влияние на течение процесса эмульсионного окисления кумола. Это подтверждается нашими опытами, в которых соотношение фаз менялось от 2:1 до 1:12. Результаты этих опытов при 90°C приведены на рис. 2. Мы видим, что при эмульсионном окислении индукционный период уменьшается. При соотношении фаз 1:1 он составляет 5 час., а при дальнейшем увеличении количества водной фазы в реакционной массе окисление

проходит практически без периода индукции. С увеличением относительного содержания водной фазы в системе возрастает также скорость накопления гидроперекиси кумола.

Все это говорит о том, что водная фаза с рН 9,9 оказывает при эмульсионном окислении изопропилбензола значительное стимулирующее действие на скорость реакции. Отметим также, что подобная картина влияния водной фазы имеет место и при другом ее составе, что наблюдалось нами в опытах, проведенных с введением в начале реакции водной фазы, содержащей 0,1 N раствор NaOH (рН ~13). Таким образом, водная фаза является весьма существенным фактором при окислении углеводородов в эмульсиях, причем введение ее меняет скорость процесса и, по-видимому, также механизм его отдельных стадий.

Многokратное использование водной фазы при окислении изопропилбензола в эмульсии может приводить к различным результатам. Во-первых, если водная фаза стимулирует реакцию окисления только благодаря отмыванию создающихся при течении процесса ингибиторов (например, кислот или фенола), то в этом случае следовало бы ожидать некоторого тормозящего действия на процесс. Во-вто-

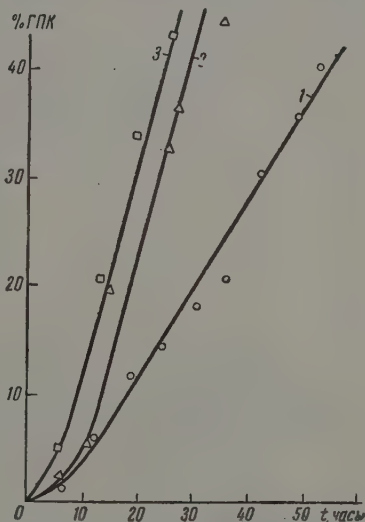


Рис. 3. Кинетические кривые накопления гидроперекиси кумола (ГПК) при окислении кумола при 90°C в эмульсиях (1:4) с водной фазой (0,1 N Na_2CO_3): 1 — ранее не использованной; 2 — однократно использованной и 3 — двукратно использованной

рых, использованная в реакции водная фаза уже содержит некоторое количество гидроперекиси (около 1%) и, таким образом, может инициировать процесс в начальной стадии. Изучение этого вопроса поможет, несомненно, в значительной мере выяснить роль водной фазы при эмульсионном окислении углеводородов. Поэтому мы провели ряд опытов по окислению кумола в эмульсиях с применением водной фазы, которая уже использовалась при эмульсионном окислении этого углеводорода.

Результаты этих опытов (рис. 3) показывают, что водная фаза (0,1 моля соды при соотношении фаз 1:4), которая уже использовалась в процессе эмульсионного окисления кумола, не приобретает ингибирующих свойств.

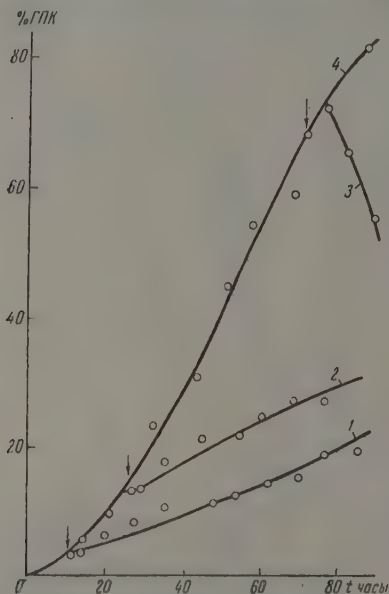


Рис. 4. Кинетические кривые накопления гидроперекиси кумола (ГПК) при окислении кумола при 90°C: 1 — в эмульсии (1:1); 2, 3, 4 — при отбирании водной фазы

должно оказывать влияние на течение реакции. Если водную фазу удалить из реакционной эмульсии на той или иной стадии процесса, то это может привести к разным последствиям. Во-первых, реакция может после этого продолжаться с прежней скоростью. В этом случае стимулирующее действие водной фазы заключалось бы в каком-то «начальном толчке» реакции, и удаление ее по ходу процесса не будет изменять ее течения. Во-вторых, после удаления водной фазы на определенном этапе реакции скорость последней может понизиться до скорости накопления гидроперекиси в гомогенной жидкой фазе. При этом следует также ожидать понижения конечного выхода гидроперекиси от 85 до 50% и ниже. С целью выяснения этого вопроса нами были проведены соответствующие опыты, результаты которых представлены на рис. 4.

В этих опытах реакция проводилась в эмульсии до определенного содержания гидроперекиси кумола, а потом водная фаза отделялась, oleфаза промывалась небольшим количеством дистиллированной воды, дальше реакция проводилась в гомогенной жидкой фазе. Полученные таким путем кинетические кривые говорят о том, что в случае отделения

Скорость реакции возрастает по сравнению со свежим раствором 0,1 моля соды. В присутствии однократно использованной водной фазы наблюдается лучшее течение процесса по сравнению со «свежей» водной фазой, т. е. увеличивается скорость реакции. Это явление также заметно, если процесс проводить в присутствии водной фазы, использованной дважды в процессе эмульсионного окисления. Индукционный период в этом случае исчезает, и скорость процесса при этом остается такой же, как и в предыдущем случае.

Из приведенных опытов приходится к заключению, что водная фаза в процессе окисления не приобретает ингибирующих свойств, т. е. ее роль не может быть сведена только к отмыванию ингибитора, возникающего при течении реакции. Наоборот, в общем отмечаем даже инициирующее действие использованной водной фазы, являющееся следствием небольшого содержания в ней гидроперекиси.

Отбирание и добавление водной фазы по ходу реакции окисления кумола также

дной фазы при содержании гидроперекиси кумола около 4 или 14% акция продолжает идти, но скорость ее значительно уменьшается. При этом за довольно большой промежуток времени (100 час.) нам не удалось получить выхода гидроперекиси, достигающего даже 40%. Значит, удаление водной фазы не только тормозит реакцию, но и уменьшает выход гидроперекиси. Понижение конечного выхода гидроперекиси еще более заметно, если удаление водной фазы проводить к концу реакции, когда выход гидроперекиси достиг уже 68%. В этом случае процесс не только не идет дальше, а наоборот, гидроперекись начинает разлагаться, ее содержание в реакционной массе уменьшается.

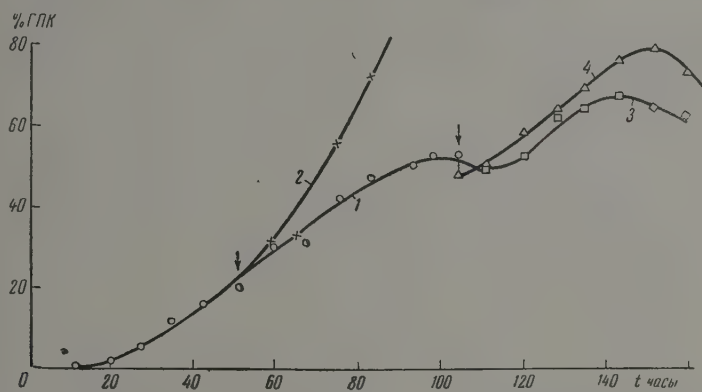


Рис. 5. Кинетические кривые накопления гидроперекиси кумола (ГПК) при окислении кумола при 90°C: 1 — в гомогенной жидкой фазе, 2, 3 — при введении водной фазы без промывания и 4 — после промывания 0,1 N содой

В этих опытах проявляется роль водной фазы как фактора, обуславливающего обновление реакционной системы в процессе окисления кумола, «вызывающего непрерывное воздействие на систему, а не дающего только ачальный толчок». Удаление водной фазы приводит, по-видимому, к накоплению в реакционной смеси ингибирующих примесей, аналогично тому, как это имеет место при окислении в гомогенной жидкой фазе.

Обновляющее действие водной фазы видно также из опытов по введению 0,1 N раствора соды в соотношении 1:1 по ходу реакции (рис. 5). После введения водной фазы в процессе жидкофазного окисления в гомогенной фазе при содержании гидроперекиси около 20% реакция заметно ускоряется и течет в дальнейшем со скоростью, соответствующей окислению в эмульсии при данном соотношении фаз. Конечный выход гидроперекиси также растет после введения водной фазы. Так мы достигли выхода около 70% гидроперекиси кумола после введения водной фазы при 20% содержании гидроперекиси.

Нарушение системы водной фазой в конце реакции. В связи с тем, что введение водной фазы по ходу гомогенного жидкофазного окисления кумола увеличивает скорость процесса, а также и конечный выход гидроперекиси, очень интересно было нарушить систему водной фазой в конце реакции, т. е. в то время, когда накопление гидроперекиси при окислении в гомогенной жидкой фазе достигло уже предельного выхода гидроперекиси. В таком состоянии процесс уже фактически полностью заторможен. При таком нарушении системы опять можно ожидать двойного поведения реакционной смеси. Во-первых, поскольку водная фаза содействует повышению выхода гидроперекиси, можно ожидать, что реакция пойдет дальше и конечный выход ее, таким образом, заметно

повысится. Вторая возможность поведения системы заключается в том, что несмотря на нарушение системы, реакция окисления дальше не пойдет и начнется процесс разложения гидроперекиси.

Мы попытались нарушить конечную реакционную систему водной фазы (0,1 N раствор соды в соотношении фаз 1 : 4). Такой опыт мы провели при введении водной фазы в реакционную систему, а также после предварительного двухкратного промывания ее 0,1 N раствором соды. Опыт с промыванием мы делали потому, что промывка содой может отмыть содепродий в системе ингибитор (например, кислые соли).

Результаты этих опытов (рис. 5) свидетельствуют о том, что в том и в другом случае введение соды в конце реакции имеет следствием дальнейшее течение реакции, т. е. процесс как будто растормаживается. Незначительное уменьшение содержания гидроперекиси после отмывания системы содой является следствием частичного вымывания при этом гидроперекиси. Промывание реакционной системы все же действует положительно, так как в этом случае при дальнейшем окислении в присутствии водной фазы мы получаем более высокий выход гидроперекиси.

В результате этих опытов приходим к заключению, что обновляющая роль водной фазы проявляется не только при введении ее по ходу реакции, но щелочная водная фаза способна «растормозить» процесс в конце реакции, стимулируя дальнейшее ее течение со значительным повышением конечного выхода гидроперекиси.

Обсуждение результатов

Результаты всех приведенных выше опытов говорят о том, что водная фаза в процессе эмульсионного окисления кумола является весьма существенным кинетическим фактором, увеличивающим скорость реакции, а также и конечный выход гидроперекиси. Объяснение этому можно найти, если учесть, что наличие водной фазы в реакционной системе открывает возможность протекания реакции именно в водной среде.

Как известно, реакция окисления углеводородов принадлежит к цепным процессам с так называемым вырожденным разветвлением. Последнее осуществляется за счет реакции распада продукта реакции — гидроперекиси



которая, образуя свободные радикалы, дает начало новым цепям. Так как эта реакция является одной из стадий процесса, то естественно, что общескорость процесса окисления в значительной мере будет определяться также скоростью термического распада гидроперекиси.

В одной из наших предыдущих работ [10] мы показали, что скорость термического распада гидроперекиси изопропилбензола в водной среде в присутствии 0,1 N соды в десятки раз превышает скорость разложения ее в углеводородной среде. В то же время вследствие ограниченной растворимости в водной среде (до 1,4%) коэффициент распределения гидроперекиси между водной и кумольной фазами будет иметь очень малое значение (при 20° С эта величина равняется 0,0696). В связи с этим в водной фазе мы имеем очень быстрый распад гидроперекиси кумола при ограниченной ее растворимости. Это может приводить к протеканию отдельных стадий реакции в водной фазе. Таким образом, здесь возникает вопрос о токсимии отдельных стадий процесса.

Мы предложили токсимическую схему процесса эмульсионного окисления углеводородов [7]. Согласно этой схеме основные реакции, т. е. процесс зарождения и развития цепи, протекают в водной фазе, а углеводородная фаза является своеобразным резервуаром гидроперекиси, и находится ее основная масса (вследствие ограниченной растворимости в водной фазе), и термическое разложение ее протекает незначительно. П

помощи этой схемы можно объяснить, например, увеличение скорости реакции при возрастании относительного содержания водной фазы при окислении в эмульсии (рис. 2). В этом случае возрастание скорости накопления гидроперекиси связано с увеличением зоны инициирования и развития цепей. Эта топохимическая схема хорошо объясняет и ряд других фактов при окислении углеводов в эмульсиях (например, действие эмульгатора и др.).

Напомним также, что наличие водной фазы при жидкофазном окислении изопропилбензола приводит к значительному сокращению индукционного периода реакции. Это, наряду с дальнейшим увеличением скорости реакции, приводит нас к мысли об образовании водной фазой начальной макроскопической стадии реакции. Можно допустить, что эта реакция протекает именно в водной фазе. Кроме того, в присутствии водной фазы наблюдается также увеличение конечного выхода гидроперекиси. Этот факт, а также действие водной фазы при ее введении по ходу и в конце реакции, заставляют предположить об обновляющем действии водной фазы при эмульсионном окислении углеводов. В связи с тем, что повышения конечного выхода целевого продукта цепной реакции можно добиться воспроизведением начальной макроскопической стадии по ходу процесса, и такое же действие оказывает и водная фаза, введенная, когда уже достигнут предельный выход гидроперекиси (рис. 5), приходим к заключению, что присутствие водной фазы обуславливает воспроизведение макроскопической стадии реакции, обуславливающей дальнейшее течение процесса.

Макроскопическая стадия реакции окисления углеводов, которая имеет место благодаря присутствию водной фазы в реакционной системе, может заключаться, например, в ускорении генерирования свободных радикалов путем распада гидроперекиси при одновременном обезвреживании возникающих в реакции ингибиторов (однако при этом водная фаза не приобретает ингибирующих свойств). Так как эта стадия процесса происходит целиком, или хотя бы в значительной мере в водной фазе, то приходим к новому положению о разделении макроскопических стадий реакций не только во времени, но и по фазам, если процесс протекает в гетерогенной (эмульсионной) системе. Постоянное обновляющее действие водной фазы при окислении углеводов в эмульсиях следует, таким образом, связывать с параллельным протеканием различных макроскопических стадий процесса, которые разделяются по фазам.

Выведенное нами предположение о разделении макроскопических стадий цепных реакций по фазам находится в полном согласии и развивает теорию макроскопических стадий реакций, разработанную в ряде работ Н. М. Эмануэля.

Выводы

1. Исследовано окисление изопропилбензола в эмульсиях, не стабилизированных эмульгатором при различном значении рН среды, а также в присутствии разного относительного содержания водной фазы. Показано, что оптимальная скорость процесса соответствует значению $\text{pH} \sim 10$, создаваемому 0,1 N содой. Скорость процесса возрастает также при увеличении относительного содержания водной фазы в эмульсии.

2. Многократное использование водной фазы в процессе окисления не приводит к ингибированию реакции. Это говорит о том, что роль водной фазы не может быть сведена к отмыванию ингибитора при протекании реакции.

3. Удаление водной фазы по ходу реакции приводит к резкому торможению процесса и снижению выхода гидроперекиси. Наоборот, введение водной фазы по ходу реакции увеличивает скорость процесса и конечный выход гидроперекиси. Такое обновляющее действие на систему оказывает водная фаза при введении ее в конце гомогенной жидкофазной реакции, обуславливая дальнейшее течение процесса.

4. Высказано предположение, что обновляющее действие водной фазы в процессе эмульсионного окисления связано с разделением отдельных макроскопических стадий реакции по фазам. Такое параллельное протекание макроскопических стадий приводит к непрерывному самообновлению системы при течении процесса.

Львовский государственный университет
им. И. Франко

Поступила
19.VII.1957

ЛИТЕРАТУРА

1. Б. Д. Кружалов, П. Г. Сергеев, Хим. наука и пром-сть, № 3, 287, 1956.
2. Н. М. Эмануэль, Уч. зап. МГУ, вып. 174, 50, 1954.
3. Д. К. Толопко, Докл. АН СССР, 104, 101, 1955.
4. G. P. Armstrong, R. H. Hall, D. C. Quinn, J. Chem. Soc., 566, 1950.
5. G. S. Serif, C. F. Hunt, A. N. Kourns, Canad. J. Chem., 31, 1225, 1953.
6. V. Veijola, P. Kirijaka, K. Helio, Suomen kem., 26, 281, 1953.
7. Р. В. Кучер, Т. М. Полонський, М. О. Ковбуз, Доповіди АН УРСР, № 1, 42, 1957.
8. Н. М. Эмануэль, Докл. АН СССР, 95, 603, 1954.
9. V. R. Kokatnur, M. J. Jelling, J. Amer. Chem. Soc., 63, 1432, 1941.
10. Р. В. Кучер и А. И. Юрженко, Коллоидн. ж., 18, 555, 1956.

ON THE ROLE OF THE AQUEOUS PHASE IN THE EMULSION OXIDATION OF ISOPROPYLBENZENE

R. V. Kucher and M. A. Kovbuz (Lvov)

S u m m a r y

The oxidation of isopropylbenzene in emulsions not stabilized by emulsifiers has been studied at different values for the pH of the medium and for different relative aqueous phase contents. The optimum rate of the process has been shown to be at a pH of 1 brought about by 0.1 N soda. The rate of the process also increases on increasing the relative content of the aqueous phase in the emulsion.

Repeated use of the aqueous phase in the oxidation process did not lead to inhibition of the reaction. This shows that the part played by the aqueous phase can not be reduced to extraction of inhibitor in the course of the reaction.

Removal of the aqueous phase leads to abrupt retardation of the reaction and to lowering in the yield of peroxides. On the contrary, introduction of the aqueous phase increases the rate of the process and the final peroxide yield. The aqueous phase exerts such rejuvenating effect on the system on being introduced at the end of the homogeneous liquid phase reaction, determining the subsequent course of the process.

It has been suggested that the rejuvenating effect of the aqueous phase in the process of oxidation in emulsions is connected with the distribution of the several macroscopic stages among the different phases. Such a parallel occurrence of the macroscopic stages leads to continuous renewal of the system in the course of the process.

К ТЕОРИИ ЖИДКОСТНЫХ ДИФФУЗИОННЫХ ЭЛЕКТРОДОВ

II. ОБ ЭЛЕКТРОДАХ ВТОРОГО ТИПА

И. А. Зайденман

В предыдущих статьях [1, 2] рассматривались окислительно-восстановительные жидкостные диффузионные электроды, поляризуемые с фронтальной стороны, т. е. со стороны выхода потока электролита. Этот случай представляет интерес, главным образом, при исследовании процессов в химических источниках тока с жидкостными диффузионными электродами. Для непрерывных процессов технического электролиза интересен случай, обратный первому, — электроды с протоком электролита в обратном направлении, или, что то же самое, жидкостные диффузионные электроды, поляризуемые с «тыльной» стороны. Такие электроды дают возможность осуществить непрерывный вывод продуктов реакции из электролитических ячеек непосредственно через стенки электродов. Для краткости, дальнейшем электроды, поляризуемые с тыльной стороны, будем называть электродами второго типа, а электроды поляризуемые с фронтальной стороны, — электродами первого типа.

В настоящей статье выводится общее уравнение распределения тока для плоских металлических электродов второго типа и на основании его получается формула для начального наклона стационарных поляризационных кривых (вольтамперных характеристик) электродов второго типа.

Для сохранения прежних обозначений [2] при рассмотрении электродов второго типа несколько изменим систему координат, а именно, будем отсчитывать координату x не от тыльной, а от фронтальной поверхности электрода, т. е. в направлении, обратном потоку электролита. Абсолютные значения изменений концентраций реагирующих веществ в точке x электрода второго типа c^x по сравнению с исходными объемными концентрациями c^0 выразятся формулой

$$|\Delta c| = |c^x - c^0| = \frac{\alpha}{Q} p \int_x^L i dx = \frac{\alpha}{Q} (I - I_x), \quad (1)$$

где i — плотность тока окислителя и восстановителя в точке x

$$c_0^x = c_0^0 \left(1 + \frac{I - I_x}{I_{dk}}\right); \quad c_B^x = c_B^0 \left(1 - \frac{I - I_x}{I_{da}}\right). \quad (2)$$

Подставляя (2) в основное уравнение, связывающее поляризацию в точке x с плотностью тока i в этой же точке*:

$$\frac{d^2 \varphi}{dx^2} = p R_0 i = p R_0 j_0 \left(\frac{c_B^x}{c_B^0} e^{\alpha \varphi / \Phi} - \frac{c_0^x}{c_0^0} e^{-(1-\alpha) \varphi / \Phi} \right), \quad (3)$$

* Уравнение (3) сохраняет свой вид, так как расположение оси Ox относительно линий электрического тока сохранено прежним.

получим

$$\frac{d^2 \Phi}{dx^2} = p R_0 j_0 \left\{ \left(1 - \frac{I - I_x}{I_{da}} \right) e^{\alpha \Phi / \Phi} - \left(1 + \frac{I - I_x}{I_{dk}} \right) e^{-(1-\alpha) \Phi / \Phi} \right\}, \quad (4)$$

где $j_0 = j_0^0 (c_B^0)^{1-\alpha} (c_0^0)^\alpha$; j_0^0 — константа тока обмена для данной электрохимической реакции, p — периметр пор электрода, R_0 — погонное сопротивление электролита в порах электрода; $\Phi = RT/nF = 25,6/n$ мВ при 25° ; $I_{da} = c_B^0 Q/\varepsilon$ и $I_{dk} = c_0^0 Q/\varepsilon$ — соответственно предельный анодный и катодный токи; Q — объемная скорость потока электролита через электрод; ε — электрохимический эквивалент окислителя (для катодного процесса) или восстановителя (для анодного процесса).

Согласно закону Ома

$$I_x = p \int_0^x i dx = \frac{1}{R_0} \frac{d\Phi}{dx}. \quad (5)$$

Подставляя (5) в (4), получим

$$\varphi_{xx}'' = p R_0 j_0 \left\{ \left(1 - \frac{I}{I_{da}} + \frac{1}{R_0 I_{da}} \varphi_x' \right) e^{\alpha \varphi / \Phi} - \left(1 + \frac{I}{I_{dk}} - \frac{1}{R_0 I_{dk}} \varphi_x' \right) e^{-(1-\alpha) \varphi / \Phi} \right\} \quad (6)$$

с краевыми условиями, вытекающими из (5):

$$\varphi_x' |_{x=0} = 0;$$

$$\varphi_x' |_{x=L} = R_0 I. \quad (7)$$

Уравнение (6) с краевыми условиями (7) является основным уравнением, описывающим распределение потенциала [и, в силу (3), плотность тока] в электродах второго типа, справедливым на всей поляризационной кривой, от $I = 0$ до предельного тока.

Задачу о вычислении начального наклона поляризационных кривых $(\varphi)_{x=L} = P = f(I)$, т. е. величины $(dP/dI)_{I \rightarrow 0}$, решим методом, аналогичным примененному в [2] к анализу уравнения (1) статьи [2]. А именно, заметив, что при $I \rightarrow 0$ $\varphi \rightarrow 0$ и $|d\varphi/dx| = |R_0 I_x| \leq |R_0 I| \rightarrow 0$, разложим $\exp(\alpha \varphi / \Phi)$ и $\exp[-(1-\alpha) \varphi / \Phi]$ в ряды, ограничившись членами первой степени относительно φ , отбросим в правой части преобразованного таким образом уравнения (6) члены, содержащие произведения $\varphi \varphi_x'$ и $I \varphi_x'$, как бесконечно малые величины высшего порядка по сравнению с φ и I [т. е. будем искать решения (6) в малой окрестности $|I| \geq 0$ точки $I = 0$ — параметрической прямой]. После проведения необходимых выкладок приходим к уравнению

$$\varphi_{xx}'' - p j_0 \left(\frac{1}{I_{da}} + \frac{1}{I_{dk}} \right) \varphi_x' - \frac{p R_0 j_0}{\Phi} \varphi = 0, \quad (8)$$

которое отличается от соответствующего уравнения для электродов первого типа только знаком коэффициента при φ_x' .

Вводя обозначения:

$$-\frac{1}{2} p j_0 \left(\frac{1}{I_{da}} + \frac{1}{I_{dk}} \right) = A; \quad A^2 + \frac{p R_0 j_0}{\Phi} = B;$$

мы можем, в силу совпадения краевых условий соответствующих уравнений для электродов первого и второго типа, использовать результа-

и записать решение уравнения (8) в виде:

$$\varphi = I \frac{A \operatorname{sh}(x\sqrt{B}) + \sqrt{B} \operatorname{ch}(x\sqrt{B})}{(p j_0 / \Phi) \operatorname{sh}(L\sqrt{B})}. \quad (10)$$

Сюда

$$P = (\varphi)_{x=L} = I \frac{A \operatorname{sh}(L\sqrt{B}) + \sqrt{B} \operatorname{ch}(L\sqrt{B})}{(p j_0 / \Phi) \operatorname{sh}(L\sqrt{B})}; \quad (11)$$

искомый наклон

$$\left(\frac{dP}{dI}\right)_{I=0} = \frac{P}{I} = \frac{\Phi}{p j_0} [A + \sqrt{B} \operatorname{cth}(L\sqrt{B})]. \quad (12)$$

Подставляя значения A и B , получаем окончательную общую формулу начального наклона поляризационной кривой жидкостного диффузионного электрода второго типа:

$$\begin{aligned} \left(\frac{dP}{dI}\right)_{I=0} = & -\frac{\Phi}{2} \left(\frac{1}{I_{da}} + \frac{1}{I_{dk}} \right) + \\ & + \sqrt{\frac{\Phi^2}{4} \left(\frac{1}{I_{da}} + \frac{1}{I_{dk}} \right)^2 + \frac{R_0 \Phi}{p j_0} \operatorname{cth} \left(L \sqrt{\frac{p^2 j_0^2}{4} \left(\frac{1}{I_{da}} + \frac{1}{I_{dk}} \right)^2 + \frac{p R_0 j_0}{\Phi}} \right)}. \end{aligned} \quad (13)$$

Эта формула отличается от формулы для начального наклона поляризационной кривой электрода первого типа знаком перед первым членом. Знак минуса в формуле (13) означает, что на тыльной (поляризуемой) стороне существует концентрационная поляризация и при $j_0 \rightarrow \infty$ общая поляризация стремится к нулю.

Заметим, что для $x=0$ из (10) следует

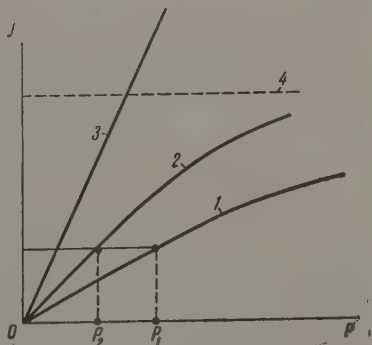
$$\varphi_{x=0} = \varphi_0 = I \sqrt{B} / (p j_0 / \Phi) \operatorname{sh}(L\sqrt{B}); \quad (14)$$

Сюда для наклона кривой поляризации фронтальной поверхности электрода второго типа получаем формулу:

$$\begin{aligned} \left(\frac{d\varphi_0}{dI}\right)_{I=0} = \\ \sqrt{\frac{\Phi^2}{4} \left(\frac{1}{I_{da}} + \frac{1}{I_{dk}} \right)^2 + \frac{R_0 \Phi}{p j_0} \operatorname{cosech}(L\sqrt{B})}. \end{aligned} \quad (15)$$

Легко видеть, что эта же формула описывает начальный наклон кривой поляризации тыльной поверхности электрода первого типа. Нетрудно также видеть, что при $Q \rightarrow \infty$, когда $I_{da} \rightarrow \infty$, и $I_{dk} \rightarrow \infty$, все формулы для электродов обоих типов совпадают, т. е. электроды обоих типов имеют одну и ту же предельную поляризационную кривую. Следовательно, полученные ранее [2] выводы, касающиеся связи структуры электрода с наклоном предельных кривых, справедливы для электродов обоих типов.

Схема взаимного расположения поляризационных кривых электродов первого и второго типов приведена на рисунке.



1 — электрод первого типа; 2 — электрод второго типа; 3 — предельный начальный наклон; 4 — $I = I_d$.

$$P_1 - P_2 = I\Phi \left(\frac{1}{I_{da}} + \frac{1}{I_{dk}} \right)$$

Выводы

1. Получено общее уравнение распределения потенциала и плотности тока в жидкостных диффузионных электродах, поляризуемых с тыльной стороны — электродах второго типа.

2. Получена формула начального наклона поляризационных кривых электродов второго типа.

3. Показано, что электроды обоих типов имеют общую предельную поляризационную кривую.

Поступила
22.VII.1957

ЛИТЕРАТУРА

1. Р. М. Перская, И. А. Зайденман, Докл. АН СССР, 115, 548, 1959.
2. И. А. Зайденман, Р. М. Перская, Ж. физ. химии, 33, 50, 1959.

CONTRIBUTION TO THE THEORY OF LIQUID DIFFUSION ELECTRODES

II. ON ELECTRODES OF THE SECOND TYPE

I. A. Zaidenman (Moscow)

S u m m a r y

A generalized equation has been obtained for the distribution of potential and current density in liquid diffusion electrodes polarized on the reverse side — electrodes of the second type.

A formula for the initial slope of the polarization curves for such electrodes has been derived.

It has been shown that electrodes of both types have a common limiting polarization curve.

ИССЛЕДОВАНИЕ ЕМКОСТИ ГЕРМАНИЕВОГО ЭЛЕКТРОДА

Е. А. Ефимов и И. Г. Ерусалимчик

В последнее время метод кривых дифференциальной емкости получил большое распространение при изучении электрохимических процессов. Этот метод позволяет определить положение нулевой точки металла электрода и сделать некоторые выводы о состоянии его поверхности. Поэтому представлялось интересным применить данный метод к изучению электрохимических реакций, протекающих на германиевом электроде.

Единственной работой, где была измерена емкость германиевого электрода, является работа Боненкампа и Энгела [1]. Авторы снимали кривые дифференциальной емкости германия, близкого к собственной проводимости, в 1 N растворах КОН и H_2SO_4 при 25° и 45°C в узком диапазоне потенциалов (до 0,4 V). Полученные ими $C-\phi$ кривые имели минимум при потенциале, близком к $-0,5$ V в 1 N КОН и $0,1 \div 0,3$ V в 1 N H_2SO_4 . Авторы пришли к выводу, что для случая концентрированных растворов и германия с высоким удельным сопротивлением емкость электрода определяется шириной объемного заряда в массе полупроводника. В остальных случаях начинает сказываться адсорбция ионов и молекул.

Экспериментальная часть

В настоящей работе емкость германиевого электрода измерялась по методу, описанному М. А. Проскуриным и А. Н. Фрумкиным [2]. В качестве источника переменного тока использовался генератор ГСНЧ-99II. Мостовая схема была собрана на базе универсального моста RFT, и принципиально не отличалась от схемы, описанной в работе [3]. Переменное напряжение на мостик подавалось от генератора с таким расчетом, чтобы изменение потенциала на испытуемом электроде не превышало 10 mV. В качестве нуль-прибора использовался ламповый вольтметр ЛВ-9-2. Потенциалы измерялись катодным вольтметром против водородного электрода в 0,1 N HCl при 20°C. Все анодные измерения проводились в атмосфере азота, а катодные — в атмосфере водорода после предварительного 6-часового насыщения раствора водородом и часовой катодной поляризации при $I = 10^{-2}$ A/cm². В сосуде для измерения емкости анодная и катодная ячейки разделялись закрытым краном. Перед каждым измерением кривой поверхность электрода шлифовалась и протравливалась в травильнике СР-4.

Исследования проводились на монокристаллах германия электронного и дырочного типов проводимости с удельным сопротивлением 1,0 Ω см, диффузионной длиной 6 мм, ориентированных по (111), и на монокристалле электронного типа проводимости с $\rho = 25$ Ω /см и диффузионной длиной 0,8 мм.

О потенциале нулевого заряда германия, на исключением цитированной выше работы [1], в литературе отсутствуют экспериментальные данные о величине потенциала нулевого заряда германия. Вычисленный по уравнению Р. М. Васенина [4], он равен $-0,34$ V, по расчетным данным Е. А. Укше и А. И. Левина [5] $-0,63$ ($-0,47$) V. В выполненной нами работе [6], по изучению перенапряжения водорода на германии, на основании косвенных данных было сделано предположение, что потенциал нулевого заряда германия должен быть равным или более отрицательным, чем $-0,6$ V.

В настоящей работе для определения потенциала нулевого заряда нами были получены кривые дифференциальной емкости на монокристаллах

одноомного германия электронного и дырочного типов проводимости. Измерения проводились в 0,1 N HCl на частотах 60, 200 и 1000 гц. На рис. приведены $C - \varphi$ кривые для германия p -типа. Эти кривые имеют четко выраженный минимум $C = 12 \mu\text{F}/\text{cm}^2$ при потенциале $-0,6 \text{ V}$. На рис. представлены емкостные кривые, снятые на частоте 200 гц в более разбавленных растворах. По мере разбавления минимум емкости сохраняется почти при одних и тех же потенциалах, но делается более резко выраженным. При этом абсолютная величина емкости в точке минимума уменьшается до $7 \mu\text{F}/\text{cm}^2$. Наличие четко выраженного минимума связано с тем,

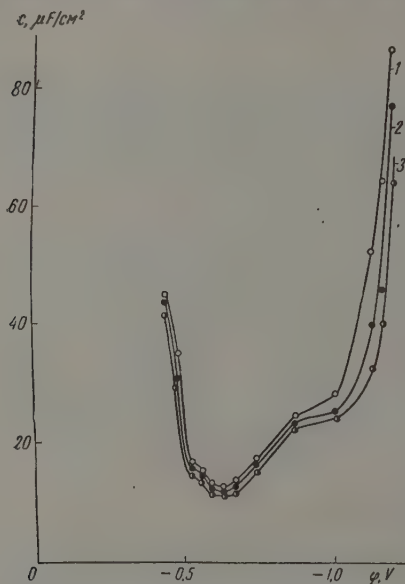


Рис. 1. Дисперсия емкости германиевого электрода в 0,1 N HCl: 1—60 гц; 2—200 гц; 3—1000 гц

в наших работах мы применяли строго ориентированные монокристаллы германия.

Аналогичные измерения емкости были проведены на монокристалле германия электронного типа проводимости. Полученные кривые полностью совпадают с кривыми для германия p -типа (рис. 1). Этот факт свидетельствует о том, что при катодном выделении водорода строение двойного слоя не зависит от типа проводимости германиевого катода, что, в свою очередь, хорошо согласуется с данными по перенапряжению водорода, ранее полученными в работе [6].

Из кривых рис. 1 и 2, видно, что потенциал нулевого заряда германия в разбавленных растворах соляной кислоты равен $-0,6$ против водородного электрода 0,1 N HCl. Эта величина очень близка к значению потенциала нулевого заряда германия, теоретически вычисленному Е. А. Уклом и А. И. Левиным [5], и значительно ниже величины, получаемой из уравнения Р. М. Васенина [4]

По положению точки минимума экспериментальные данные рис. 1 и близки к результатам, полученным Боненкампом и Энгелом [1] в 1 N KOH, где минимум $C - \varphi$ кривых почти не зависит от частоты и равен $-0,5$ против водородного электрода. Однако более низкие значения емкости в точке минимума, полученные немецкими авторами, на наш взгляд, связаны не только с величиной удельного сопротивления германия и применяемой частотой, но и с подготовкой поверхности электрода, степенью его окисления и качеством омического контакта.

В противоположность этому, в 1 N H_2SO_4 данные Боненкампа и Энгела сильно отличаются от наших данных как по положению точки минимума, так и по абсолютной величине емкости в ней.

По Боненкампу в 1 N H_2SO_4 в интервале потенциалов от $-0,1 \text{ V}$ до $0,4 \text{ V}$ емкость германиевого электрода меньше $1 \mu\text{F}/\text{cm}^2$ и минимум $C - \varphi$ кривых очень сильно изменяющийся с частотой, смещен, по сравнению с нашими данными, в более положительную сторону почти на $0,7 \text{ V}$.

То, что полученный нами потенциал минимума дифференциальной емкости является потенциалом нулевого заряда, подтверждается следующими фактами:

- 1) потенциал минимума не зависит от частоты переменного тока;
- 2) емкость в точке минимума снижается по мере разбавления электролита

данными по влиянию поверхностно-активных веществ на кинетику выделения водорода, полученными в работе [6].

Изучение дифференциальной емкости германиевого анода. На рис. 3, 4 и 5 представлены кривые дифференциальной емкости, снятые на германии p - и n -типа в интервале плотностей тока $\sim 10^{-5}$ — 10^{-1} А/см² в 0,1 N HCl на частотах 200, 1000 и 5000 гц. Из рис. 3 видно, что кривые дифференциальной емкости, полученные на одноомном германии p -типа, имеют резко выраженный максимум при потенциале 0,7 В, абсолютная величина которого падает с 37 до 11 $\mu\text{F}/\text{cm}^2$ и увеличении частоты с 200 до 1000 гц. На этих же кривых имеется еще

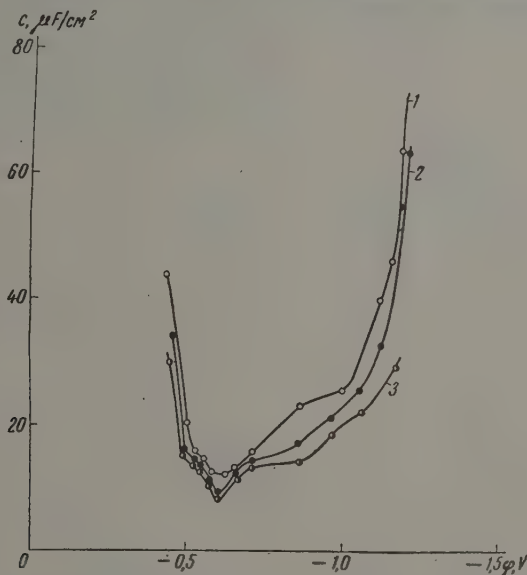


Рис. 2. Емкость германиевого электрода p -типа на частоте 200 гц: 1 — 0,1 N HCl; 2 — 0,01 N HCl; 3 — 0,005 N HCl

и небольшой максимум (4—5 $\mu\text{F}/\text{cm}^2$) при потенциале 0,3 В. Иной характер имеют кривые дифференциальной емкости, снятые на одноомном германии n -типа (рис. 4), хотя здесь также наблюдается дисперсия емкости с частотой и максимум (3—4 $\mu\text{F}/\text{cm}^2$) при потенциале 0,3 В. На кривых рис. 4 отсутствует второй максимум при $\phi = 0,7$ В. Рост емкости на этих частотах прекращается при потенциале $\sim 0,5$ В, после чего величина емкости очень мало меняется с потенциалом. Абсолютные значения емкости при потенциалах выше 0,5 В ниже, чем для германия p -типа. $C - \phi$ кривые (рис. 5), снятые для германия, близкого к собственной проводимости (n -тип $\rho = 25 \Omega/\text{cm}$), не имеют ярко выраженных максимумов, но имеют два перегиба при потенциалах $\phi = 0,5$ В и $\phi = 0,7$ В.

Интересно отметить, что в интервале потенциалов от 0,1 до 0,5 В кривые рис. 5 очень напоминают соответствующие кривые Боненкампа и Энта для 1 N H₂SO₄, минимум которых также расположен при потенциале $\phi \approx 0,3$ В. Этот минимум, лежащий в анодной области, ошибочно принят немецкими авторами за нулевую точку, которая в действительности расположена при гораздо более отрицательных потенциалах ($\sim -0,6$ В).

На рис. 6 даны омические и емкостные составляющие для всех трех исследуемых электродов на частоте 5000 гц. Как следует из рис. 6, омическая составляющая для электрода из высокоомного германия по абсолют-

ной величине значительно превосходит омические составляющие для низкого омного германия p - и n -типа и имеет ярко выраженный максимум при потенциале 0,24 В.

Низкие значения емкости ($1-3 \mu\text{F}/\text{cm}^2$) начального участка кривых, видимо, свидетельствуют о том, что исходное состояние поверхности германия, несмотря на принятые меры, не отвечало неокисленному металлу. Наличие на емкостных кривых рис. 3 и 4 небольшого максимума при потенциалах 0,3 В и отсутствие его на кривых рис. 5 позволяет предположить, что он связан с изменениями в двойном слое, а не в области объемного заряда полупроводника.

На всех емкостных кривых имеется характерная точка, лежащая при потенциале 0,5 В. На кривых для германия n -типа она соответствует прекращению роста емкости с потенциалом, на кривых для германия p -типа — началу роста. На кривых и кривых для 25-омного германия после этой точки рост емкости идет зв-

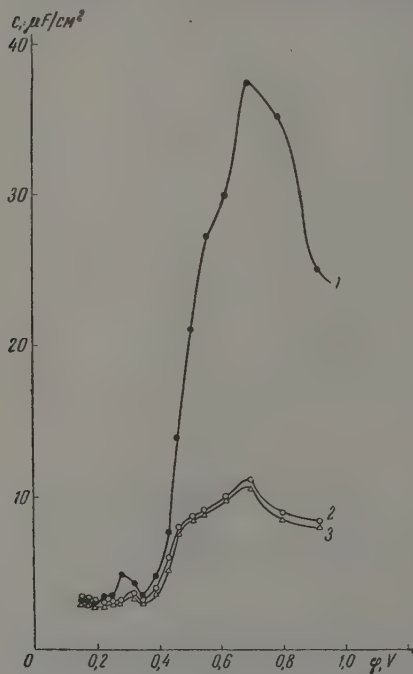


Рис. 3. Дисперсия емкости электрода — германия p -типа, $\rho = 1 \Omega/\text{cm}$ при его анодном растворении: 1—200 гц; 2—1000 гц; 3—5000 гц

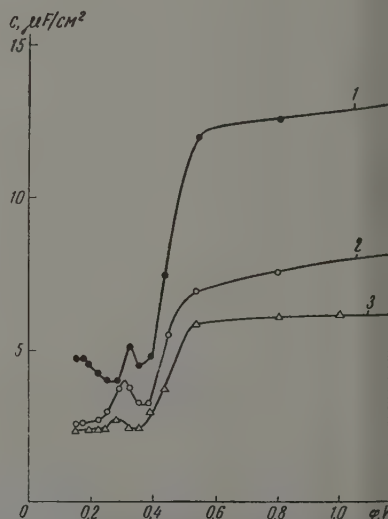


Рис. 4. Дисперсия емкости электрода — германия n -типа $\rho = 1 \Omega/\text{cm}$ при его анодном растворении: 1—200 гц; 2—1000 гц; 3—5000 гц

чительно медленнее. При этом же потенциале наблюдаются минимумы или резкие изломы кривых $R_c - \phi$ (рис. 6). Визуальные исследования германиевого электрода показали, что после поляризации при потенциалах несколько выше 0,5 В на поверхности германиевого анода можно было обнаружить желто-бурые пятна. По-видимому, при этом потенциале поверхности германия образуется фазовый окисел типа GeO . Следует отметить, что в районе этого потенциала наблюдается отклонение от линейного вида кривой $\phi - \lg I$ для германия p -типа [7]. Ход кривых $R_c - \phi$ свидетельствует о том, что образующийся при потенциалах свыше 0,5 В окисел не обладает высоким омическим сопротивлением.

Сравнение абсолютных величин емкости для исследуемых образцов германия показывает, что минимальные значения имеют место для высокоомного германия. Несколько больше они для n -типа и еще больше для

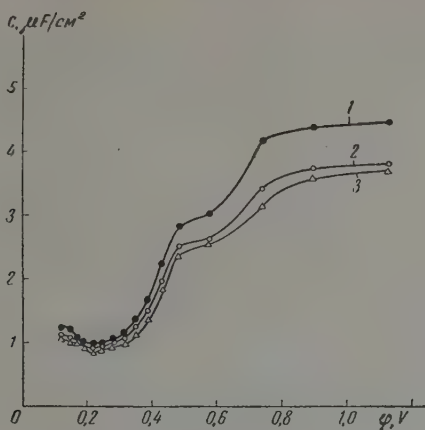


Рис. 5. Дисперсия емкости электрода — германий n -типа $\rho = 25 \Omega/\text{см}$ при его анодном растворении: 1 — 200 гц; 2 — 1000 гц; 3 — 5000 гц

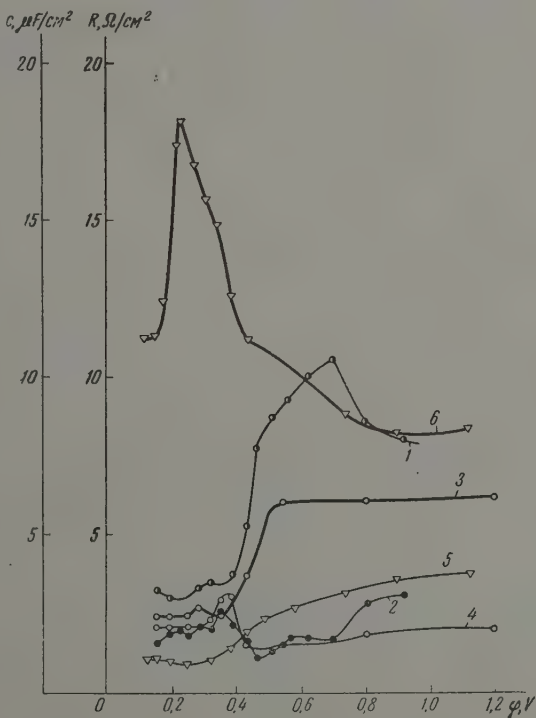


Рис. 6. Омические и емкостные составляющие для германиевых электродов на частоте 500 гц: 1 — емкость (германий p -типа $\rho = 1 \Omega/\text{см}$); 2 — сопротивление (германий p -типа $\rho = 1 \Omega/\text{см}$); 3 — емкость (германий n -типа $\rho = 1 \Omega/\text{см}$); 4 — сопротивление (германий n -типа $\rho = 1 \Omega/\text{см}$); 5 — емкость (германий n -типа $\rho = 25 \Omega/\text{см}$); 6 — сопротивление (германий n -типа $\rho = 25 \Omega/\text{см}$)

для p -типа. Это явление можно объяснить следующим образом. Ширина обедненной зоны увеличивается с ростом удельного сопротивления материала и является максимальной для германия с собственной проводимостью. Увеличение ширины обедненной зоны, грубо говоря, равноценно увеличению расстояния между обкладками конденсатора. Поэтому для германия с $\rho = 25 \Omega/\text{см}$ характеризуется наименьшей емкостью. При анодном растворении германия n -типа внешнее электрическое поле будет оттягивать основные носители (электроны) от границы раздела электродов — германий, тем самым несколько увеличивая ширину обедненного слоя. Неосновные носители (дырки) в n -типе германия также не могут находиться в заметных количествах в этом обедненном слое, так как они требуются при электрохимической реакции [7]. В германии p -типа дырки являются основными носителями, концентрация их велика, а внешнее поле, отталкивая их к поверхности электрода, будет уменьшать ширину обедненного слоя. Это и приводит к более низким значениям емкости для анода из германия n -типа по сравнению с p -типом ($\rho \approx 1 \Omega/\text{см}$), особенно хорошо заметное при больших скоростях электрохимической реакции.

Выводы

1. Методом кривых дифференциальной емкости найден потенциал нулевого заряда германиевого электрода в разбавленных растворах соляной кислоты, который одинаков для германия p - и n -типа и равен $-0,6$ В.
2. Измерена дифференциальная емкость германиевого анода в интервале плотностей тока 10^5 — 10^{-1} А/см². Показано, что она зависит от типа проводимости и от величины удельного сопротивления германия.
3. Сделано предположение об образовании на поверхности германиевого анода при потенциале $\sim 0,5$ В фазового окисла типа GeO .

Поступила
22.VII.1957

ЛИТЕРАТУРА

1. К. Bohnenkamp, H. Engel, Z. Electrochem., 61, 1184, 1957.
2. М. А. Проскурнин, А. Н. Фрумкин, Trans. Faraday Soc., 110, 1935.
3. Т. И. Борисова и В. И. Веселовский, Ж. физ. химии, 27, 1953.
4. Р. М. Васенин, Ж. физ. химии, 27, 878, 1953.
5. Е. Л. Укше и А. И. Левин, Ж. физ. химии, 29, 219, 1955.
6. Е. А. Ефимов и И. Г. Ерусалимчик, Ж. физ. химии, 32, 1967, 1958.
7. Е. А. Ефимов и И. Г. Ерусалимчик, Ж. физ. химии, 32, 413, 1958.

AN INVESTIGATION OF THE CAPACITANCE OF THE GERMANIUM ELECTRODE

E. A. Efimov, and I. G. Erusalimchik (Moscow)

Summary

The capacitance of the p - and n -type germanium electrode in HCl solutions was studied. It was found that the minimum capacitance is equal both for n - and p -type and responds to the potential -0.6 V. At current densities ranging from 10^{-6} to 10^{-1} A/cm², differential capacitance of the germanium anode depends on the type of conductivity specific conductivity of the semiconductor material. It was assumed that the oxide was formed on the surface of the Ge anode at the potential 0.5 V.

ИССЛЕДОВАНИЕ СТРУКТУРНЫХ ИЗМЕНЕНИЙ ВУЛКАНИЗАТОВ
КАУЧУКА ПОД ДЕЙСТВИЕМ АЗОТНОЙ КИСЛОТЫ

А. Ф. Постовская и А. С. Кузьминский

Действию азотной кислоты подвергается большое число резиновых изделий; несмотря на это, систематических исследований в этой области до настоящего времени не велось. В литературе имеются сведения, что действие азотной кислоты на различные каучуки вызывает в них глубокие структурные изменения, сопровождаемые в основном деструкцией этих полимеров [1—2]. Однако не имеется работ, где было бы проведено хотя бы качественно определение функциональных групп продуктов окисления полимеров под действием азотной кислоты. Знание характера этих продуктов имеет чрезвычайно большое значение, так как позволяет установить, какие процессы протекают в полимерах под действием азотной кислоты, и, в свою очередь, выяснить элементы механизма этого процесса.

Настоящая работа посвящена исследованию структурных изменений вулканизатов под действием азотной кислоты.

Экспериментальная часть

В качестве объектов исследования использовались вулканизаты различных структур: I — термовулканизат натрий-бутадиенового каучука (СББ: каучук 100 вес. частей, стеариновая кислота 2 вес. части. Вулканизация проводилась при 220° в течение 20 мин.). II — серный натрий-бутадиеновый вулканизат (СБВ: каучук 100 вес. частей, стеариновая кислота 2 вес. части, окись цинка 5 вес. частей, сера 100 вес. частей, дифенилгуанидин 1 вес. часть. Вулканизация проводилась при 130° в течение 20 мин.). III — термовулканизат дивинилстирольного каучука (СКС-30: каучук 100 вес. частей, стеариновая кислота 2 вес. части. Вулканизация проводилась при 220° в течение 20 мин.). Все вулканизаты имели одинаковое значение равновесного модуля, который характеризует плотность пространственной сетки, т. е. число возникающих поперечных связей. Исследование структурных изменений этих вулканизатов под действием азотной кислоты производилось методом инфракрасной спектроскопии. Инфракрасные спектры поглощения вулканизатов были получены на двухлучевом спектрографе ИКС-2 в интервале $3800\text{—}650\text{ см}^{-1}$ *. Раскрытие щели спектрографа осуществлялось автоматически. Участок спектра $3800\text{—}2200\text{ см}^{-1}$ был получен при помощи призмы из LiF, а участок $1900\text{—}650\text{ см}^{-1}$ при помощи призмы из NaCl. Действию азотной кислоты (25 и 50%) были подвергнуты пленки вулканизата толщиной 30 μ при 25 и 80° . Снятие спектров производилось на одном и том же образце, в целях исключения ошибок, вносимых самим экспериментом (т. е. сначала снимался спектр пленки исходного термовулканизата, затем эта пленка подвергалась действию азотной кислоты в течение определенного времени, после этого снова снимался спектр, затем эта же пленка подвергалась действию азотной кислоты в течение более длительного времени, и снова снимался спектр).

Результаты эксперимента представлены на рис. 1—3. На рис. 1 представлен спектр поглощения пленки очищенного каучука (СББ), его термовулканизата до воздействия азотной кислоты и термовулканизата, подвергнутого действию азотной кислоты. Рассмотрение этого спектра показывает, что сам процесс термовулканизации сопровождается слабым окислением, в спектре термовулканизата по сравнению с исходным

* Инфракрасные спектры снимались в МГУ, в лаборатории молекулярной спектроскопии проф. В. М. Татевского, М. А. Салимовым.

очищенным каучуком появляются новые полосы при $1700\text{--}1710$ и 3450 см^{-1} .

Эти полосы свидетельствуют о наличии кислородсодержащих групп (полосы $1700\text{--}1710\text{ см}^{-1}$ соответствуют карбонильным группам $>\text{C}=\text{O}$, полоса 3450 см^{-1} характерна для $-\text{OON}-$, OH -групп). На участке $1400\text{--}1000\text{ см}^{-1}$ наблюдается появление общего поглощения; в этой области находятся полосы поглощения 1165 и 1240 см^{-1} . Согласно

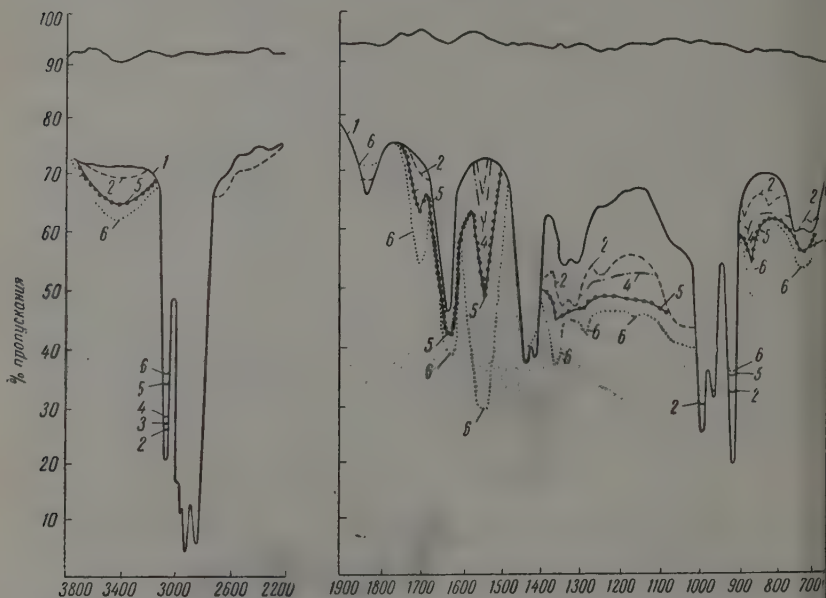
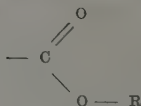


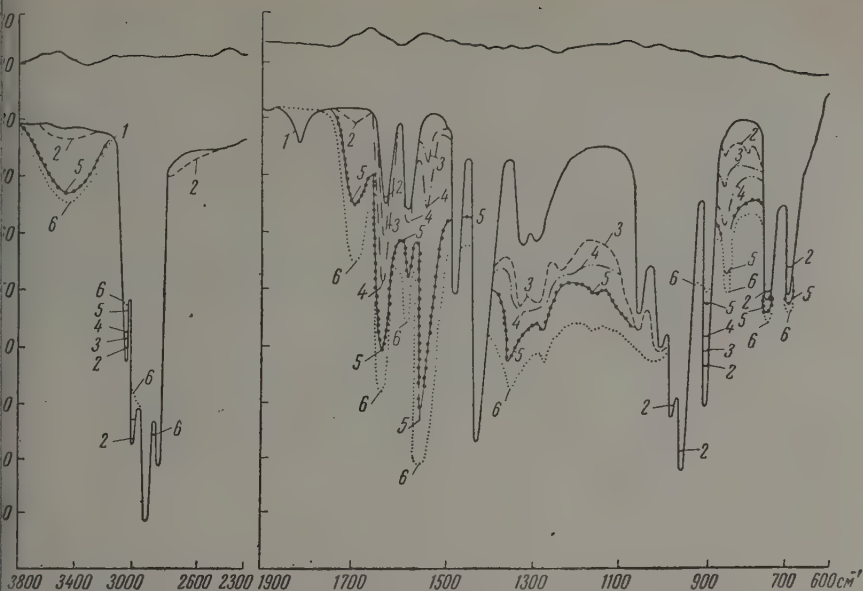
Рис. 1. Инфракрасный спектр поглощения термовулканизата натрий-бутадиенового каучука: 1 — очищенный каучук (СКБ); 2 — термовулканизат СКБ; 3 — термовулканизат СКБ, обработанный 25%-ной азотной кислотой в течение 12 час. при 25°C ; 4 — термовулканизат СКБ, обработанный 25%-ной азотной кислотой в течение 24 ч. при 25°C ; 5 — термовулканизат СКБ, обработанный 50%-ной азотной кислотой в течение 24 час. при 25°C ; 6 — термовулканизат СКБ, обработанный 25%-ной азотной кислотой в течение 1 часа при 80°C .

литературным данным [3] полоса поглощения 1240 см^{-1} относится к груп

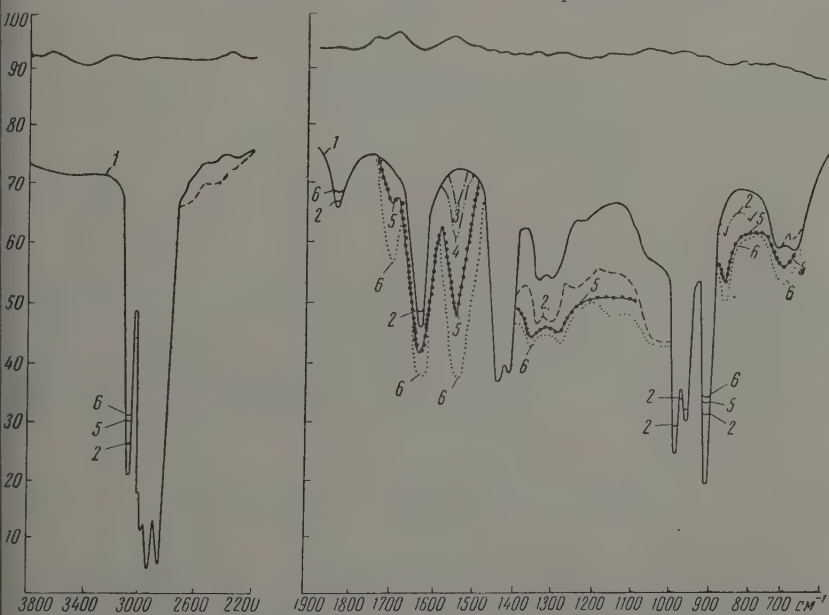


а 1165 см^{-1} к $\text{R}-\text{O}-\text{R}$. В спектре пленки, подвергнутой действию азотной кислоты, наблюдается увеличение интенсивности всех вышеупомянутых полос, соответствующих образованию кислородсодержащих групп. Наряду с этими полосами появляются новые полосы поглощения при 759 , 854 , 1360 , 1550 и 1672 см^{-1} , которые по литературным данным [4—8] можно отнести к следующим колебаниям:

- 759 см^{-1} — деформационное колебание группы $-\text{NO}_2$;
- 854 см^{-1} — валентное колебание $-\text{N}-\text{O}$ в группе $\text{R}-\text{O}-\text{N}=\text{O}$;
- 1360 см^{-1} — симметричное валентное колебание группы NO_2 ;
- 1550 см^{-1} — антисимметричное валентное колебание группы NO_2 ;
- 1672 см^{-1} — валентное колебание группы $-\text{N}-\text{O}$ в группе $\text{R}-\text{O}-\text{N}=\text{O}$.



с. 2. Инфракрасный спектр поглощения термовулканизата дивинилстирольного чулка: 1 — каучук СКС-30; 2 — термовулканизат СКС-30; 3 — термовулканизат СКС-30, обработанный 25%-ной азотной кислотой в течение 12 час. при 25° С; 4 — термовулканизат СКС-30, обработанный 25%-ной азотной кислотой в течение 24 час. при 25° С; 5 — термовулканизат СКС-30, обработанный 50%-ной азотной кислотой в течение 24 час. при 25° С; 6 — термовулканизат СКС-30, обработанный 25%-ной азотной кислотой в течение 1 часа при 80° С



с. 3. Инфракрасный спектр поглощения серного вулканизата натрий-бутадиенового чулка: 1 — очищенный каучук (СКБ); 2 — серный вулканизат СКБ; 3 — серный вулканизат СКБ, обработанный 25%-ной азотной кислотой в течение 12 час. при 25° С; 4 — серный вулканизат СКБ, обработанный 25%-ной азотной кислотой в течение 24 час. при 25° С; 5 — серный вулканизат СКБ, обработанный 50%-ной азотной кислотой в течение 24 час. при 25° С; 6 — серный вулканизат СКБ, обработанный 25%-ной азотной кислотой в течение 1 часа при 80° С

Эти данные свидетельствуют о том, что при действии азотной кислоты на термовулканизат СКБ в нем протекают два процесса: окисление, сопровождаемое образованием кислородсодержащих групп (гидроперекисных, гидроксильных, карбонильных и др.), и нитрование, обуславливаемое образованием нитросоединений. Характер продуктов реакции, образующихся при взаимодействии азотной кислоты с полимером, в сильной степени зависит от ее концентрации и температуры. Из рис. 1 видно, что при действии 25 %-ной азотной кислоты при 25° С накопления кислородсодержащих групп $-\text{OON}-$, $\text{OH}-$ (макс. 3450 см^{-1}) и карбонильных $>\text{C}=\text{O}$ (макс. 1700—1710 см^{-1}) не наблюдается, накопление же нитросоединений

Изменение условного модуля* термовулканизата дивинилстирольного каучука (СКС-30) под действием 25 %-ной азотной кислоты при 25° С

Время обработки образца азотной кислотой, сутки	Значение условного модуля E образца, кг/см ²
0	10,1
1	14,0
3	21,2
6	29,2

* Измерение условного модуля производилось по методике, разработанной в физико-химической лаборатории НИИРП. Ю. С. Зуевым и Н. Н. Лежневым (замер производился через 30 мин. после установки груза).

имеет место. В то же время при действии 50 %-ной азотной кислоты при 25° С наряду с образованием нитросоединений наблюдается и накопление кислородсодержащих групп. Процесс нитрования и окисления сильно интенсифицируется повышением температуры.

Такая же закономерность наблюдается и в случае действия азотной кислоты на термовулканизат дивинилстирольного каучука (рис. 2) и серный вулканизат СКБ (рис. 3). Разница заключается в том, что в серном вулканизате благодаря ингибирующему действию серы накапливается значительно меньшее количество кислородсодержащих групп по сравнению с первыми двумя вулканизатами.

Дополнительно физико-механическими методами показано, что при нитровании преобладающим процессом является структурирование (см. таблицу).

Из таблицы видно, что по мере увеличения времени обработки вулканизата СКС-30 азотной кислотой увеличивается его условный модуль, характеризующий возникновение поперечных связей в вулканизате. Наряду с этим имеет место нитрование (рис. 2).

Однако, как уже упоминалось выше, накопления кислородсодержащих групп в этих условиях не наблюдается. Следовательно, наблюдаемое структурирование, главным образом, связано с нитрованием.

При увеличении концентрации азотной кислоты до 50 % при 25° С наблюдается интенсивное окисление вулканизата, сопровождаемое накоплением кислородсодержащих групп (рис. 1—3). Накопление низкомолекулярных кислородсодержащих соединений (муравьиная кислота) свидетельствует о распаде молекулярных цепей вулканизата, т. е. о его деструкции.

Авторы выражают благодарность проф. В. М. Татевскому, любезно предоставившему возможность измерения спектров указанных выше вулканизатов в его лаборатории, и М. А. Салимову за снятие спектров этих вулканизатов.

Выводы

1. Проведено исследование действия азотной кислоты на различные вулканизаты в широком диапазоне температур ($25-80^{\circ}$) и концентраций кислоты ($10-50\%$). Впервые для этих целей был использован метод инфракрасной спектроскопии.

2. Основными процессами химического превращения вулканизаторов является их нитрование и окисление. Оба эти процесса сильно интенсифицируются как увеличением концентрации кислоты, так и повышением температуры и вызывают глубокие структурные изменения полимеров, которые внешне проявляются в их структурировании и деструкции. При нитровании ведущим процессом является структурирование, а при окислении — деструкция.

Научно-исследовательский институт
резиновой промышленности МХП

Поступила
23.VII.1957

ЛИТЕРАТУРА

1. А. С. Кузьминский, Е. В. Шемастина, Ж. прикл. химии, **30**, 433, 1957.
2. Н. Д. Захаров, С. А. Павлов, Науч. тр. Моск. технолог. ин-та легкой промышленности, Сборник № 5, 81, 1955.
3. L. J. Bellamy, The Infra-Red Spectra of Complex Molec., 1955.
4. J. C. D. Brand, T. M. Cowthron, J. Amer. Chem. Soc., **77**, 319, 1955.
5. Harzberg, The Spectra of Diatomic Molecules, Van Norstrand Co., 1950.
6. J. Mason, J. Dundernall, J. Chem. Soc., 754, 1956.
7. Robert D. Kross, V. A. Fassl, J. Amer. Chem. Soc., **78**, 4225, 1956.
8. H. M. Rendall, R. G. Fowler, Infra-Red determination of organic structures, Toronto — New York — London, D. Van Norstrand Co., 1952.

STUDIES ON THE STRUCTURAL CHANGES OF VULCANIZED RUBBER CAUSED BY THE ACTION OF NITRIC ACID

A. F. Postovskaya and A. S. Kuzminskii (Moscow)

Summary

The action of nitric acid on various rubber vulcanizates has been studied over a wide range of temperatures ($25-80^{\circ}$) and acid concentrations ($10-50\%$).

For the first time for such a purpose use has been made of infra-red spectroscopy. It has been shown that the basic processes in the chemical conversion of the vulcanizates are nitration and oxidation. Both processes are greatly intensified by rise in temperature and acid concentration. The reactions cause deep seated changes in the structure of the polymers which are outwardly manifested by structuration and destruction. The former is the main effect on nitration, the latter — on oxidation.

О КАТАЛИТИЧЕСКОЙ АКТИВНОСТИ РЕДКИХ ЭЛЕМЕНТОВ В РЕАКЦИИ РАЗЛОЖЕНИЯ ПЕРЕКИСИ ВОДОРОДА. II

Ф. М. Шерельман, А. Я. Зворыкин и С. К. Шахова

В предыдущей статье [1] описаны результаты исследования каталитического распада разбавленной перекиси водорода в присутствии оксалата ниобия, молибдата натрия или сульфата циркония при 25° и $\text{pH} = 8,0$. В настоящей работе методика сохранялась та же, т. е. оба катализатора вводились одновременно к моменту начала реакции, опыты проводились в гомогенной среде, при 25°C и $\text{pH} = 8,0$, а мерой каталитической активности служила константа скорости за 30 мин. от начала опыта для реакции первого порядка.

В ряде случаев эта константа не сохраняла постоянной величины и с течением времени уменьшалась; однако это уменьшение можно объяснить дезактивацией катализатора в ходе процесса.

Полученные результаты изображены на диаграммах в виде кривых, выражающих изменения активности с составом катализатора (значения константы во всех случаях умножены на 10^2).

В описываемых ниже опытах изучались галлат натрия, азотнокислый торий, сернокислый титан и хлористый германий как в отдельности, так и в сочетании с хлоридами кобальта, меди, железа и с перекисью марганца*. Катализаторы применялись почти во всех случаях в виде децимолярных растворов, причем на 5 мл 30%-ной перекиси водорода и 20 мл буферного раствора добавлялся 1 мл катализатора. Из литературы известно, что торий обладает каталитической активностью в реакции разложения перекиси водорода, а титан неактивен. Что касается галлия и германия, то они в данной реакции изучаются впервые [2].

Галлат натрия. Галлат натрия был получен из металлического галлия. Галлий растворялся при нагревании в царской водке с добавлением перекиси водорода; раствор выпаривался досуха и сухой остаток растворялся в разбавленном растворе едкого натра.

Сочетание галлата натрия с хлоридами кобальта или железа и с перекисью марганца не дает составов, каталитическая активность которых отклонялась бы от аддитивных значений. Но в системе $\text{NaGaO}_2\text{—CuCl}_2$ каталитическая активность повышается, по сравнению с активностью исходных компонентов. Результаты опытов, приведенные на рис. 1, указывают, что хотя галлат натрия сам по себе обладает весьма малой каталитической активностью (константа скорости в семь раз меньше, чем в тех же условиях для хлорной меди), однако кривая каталитической активности упомянутой двойной системы образует максимум при соотношении $\text{NaGaO}_2:\text{CuCl}_2 = 90:10$, с активностью, в два раза превышающей аддитивные значения. Все катализаторы данной системы неустойчивы и быстро теряют исходную активность, особенно в течение первых 15—20 мин.

Азотнокислый торий. Децимолярный раствор азотнокислого тория был приготовлен из $\text{Th}(\text{NO}_3)_4 \cdot 12\text{H}_2\text{O}$ марки «х.ч.» При добав-

* Взамен перекиси нами применялся раствор перманганата калия, который, как известно, при взаимодействии с перекисью водорода в слабощелочной среде разлагается с образованием MnO_2 .

лении к нитрату тория хлоридов кобальта или железа не обнаружено никаких существенных изменений каталитической активности компонентов. Но в системах $\text{Th}(\text{NO}_3)_4 - \text{CuCl}_2$ и $\text{Th}(\text{NO}_3)_4 - \text{MnO}_2$ образуются составы с повышенной каталитической активностью, по сравнению с исходными компонентами (рис. 2, 3).

В системе $\text{Th}(\text{NO}_3)_4 - \text{CuCl}_2$ максимально активные составы характеризуются константой, вдвое превышающей аддитивные значения; в системе $\text{Th}(\text{NO}_3)_4 - \text{MnO}_2$ константа скорости реакции в точке максимума превышает аддитивные значения в 4,6 раза. В обеих системах максимум активности отвечает составам с содержанием 30% $\text{Th}(\text{NO}_3)_4$ в сумме солей.

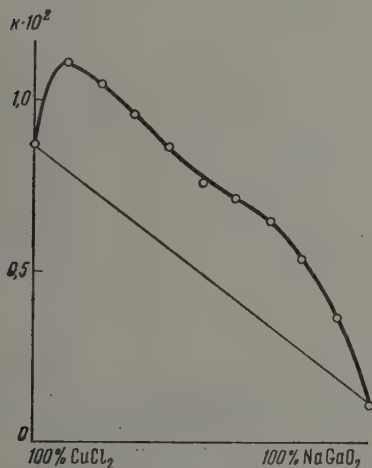


Рис. 1. Зависимость константы скорости разложения перекиси водорода от состава катализаторов в системе $\text{NaGaO}_2 - \text{CuCl}_2$

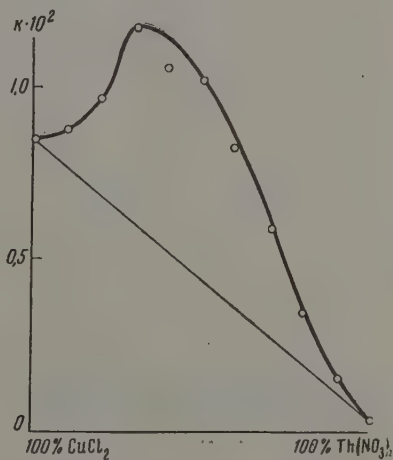


Рис. 2. Зависимость константы скорости разложения перекиси водорода от состава катализаторов в системе $\text{Th}(\text{NO}_3)_4 - \text{CuCl}_2$

Каталитическая активность одного азотнокислого тория в данной реакции весьма мала — в 2,5 раза меньше активности галлата натрия. Смешанные катализаторы обеих этих систем неустойчивы — их активность, по мере хода реакции, постоянно уменьшается. Вместе с тем заслуживает внимания тот факт, что в системе $\text{Th}(\text{NO}_3)_4 - \text{MnO}_2$ максимально активные составы одновременно наиболее устойчивы в смысле сохранения своих каталитических свойств: в некоторых случаях спустя 30 мин. от начала опыта их активность не только не падает, но даже несколько повышается.

Серникоислый титан. Исходным продуктом для приготовления этой соли служила двуокись титана, которая сплавлялась с едким натром; полученный титанат растворялся при нагревании в концентрированной серной кислоте с добавлением перекиси водорода.

В каждом опыте перед добавлением катализатора в исследуемый раствор вводилось соответствующее количество щелочи для нейтрализации избыточной кислоты, имевшейся в растворах серникоислого титана.

При сочетании солей титана и железа или марганца образуются составы, активность которых близка к аддитивным значениям. Но в системах из сульфата титана и хлорной меди или хлористого кобальта смешанные катализаторы обладают значительной активностью, превосходящей аддитивные значения соответственно в 5 и в 2,5 раза.

В обеих системах максимум активности отвечает 50% сульфата титана в сумме солей (рис. 4, 5).

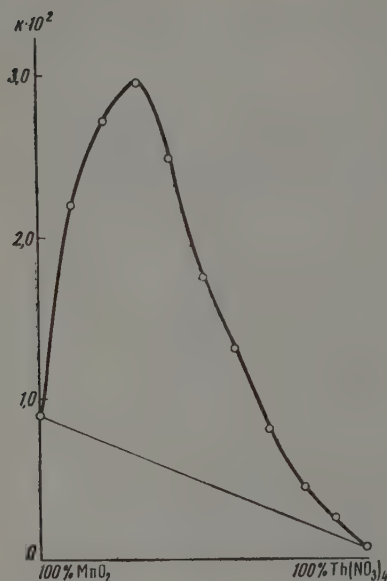


Рис. 3. Зависимость константы скорости разложения перекиси водорода от состава катализаторов в системе $\text{Th}(\text{NO}_3)_4$ — MnO_2

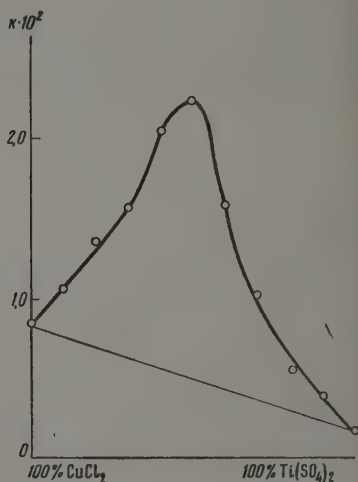


Рис. 4. Зависимость константы скорости разложения перекиси водорода от состава катализаторов в системе $\text{Ti}(\text{SO}_4)_2$ — CuCl_2

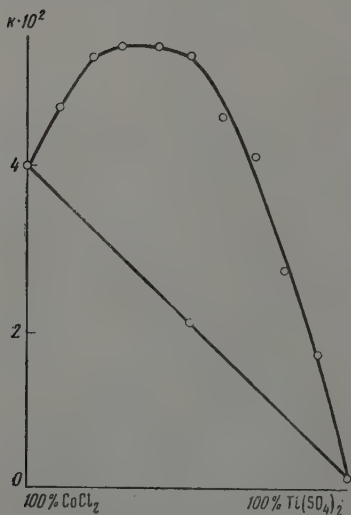


Рис. 5. Зависимость константы скорости разложения перекиси водорода от состава катализаторов в системе $\text{Ti}(\text{SO}_4)_2$ — CoCl_2

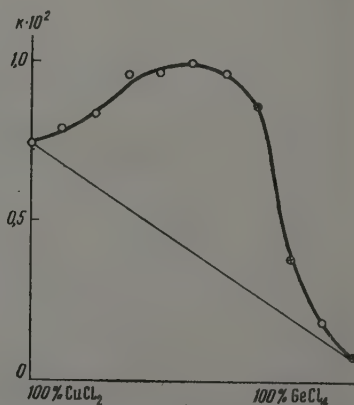


Рис. 6. Зависимость константы скорости разложения перекиси водорода от состава катализаторов в системе GeCl_4 — CuCl_2

Наибольшей абсолютной активностью отличаются катализаторы на основе сульфата титана и хлористого кобальта. Однако они мало устойчивы и быстро теряют свою активность. Напротив, катализаторы на основе сульфата титана и хлорной меди более постоянны.

В целом сульфат титана производит стабилизирующее действие, способствуя более длительному сохранению активности катализаторов.

Х л о р и с т ы й г е р м а н и й. Раствор хлористого германия был приготовлен из «х. ч.» металлического германия, путем растворения в серной кислоте с добавлением небольших количеств серной кислоты. Концентрация германия, определенная аналитически [3], оказалась 0,05-мольной.

Активность хлористого германия в реакции разложения перекиси водорода невелика. Не проявляют особой активности также и смешанные катализаторы на основе хлористого германия и солей кобальта, железа или марганца.

Только в системе $\text{GeCl}_4\text{—CuCl}_2$ наблюдается некоторое повышение активности составов по сравнению с аддитивным значением (рис. 6).

Как видно из полученных результатов, максимум активности отвечает составам с равным молекулярным содержанием обоих компонентов.

В данной системе, как и в некоторых предыдущих, наблюдается, что стойчивый по своим каталитическим свойствам компонент (хлористый германий) сообщает смешанным катализаторам большее постоянство каталитической активности.

Выводы

1. Изучена каталитическая активность галлата натрия, азотнокислого титана, сернокислого титана и хлористого германия в реакции разложения перекиси водорода при 25°C и $\text{pH} = 8,0$ как в отдельности, так и в сочетании с солями других металлов.

2. Найдено, что в системах: $\text{NaGaO}_2\text{—CuCl}_2$; $\text{Th(NO}_3)_4\text{—MnO}_2$; $\text{Th(NO}_3)_4\text{—CuCl}_2$; $\text{Ti(SO}_4)_2\text{—CuCl}_2$; $\text{Ti(SO}_4)_2\text{—CoCl}_2$; $\text{GeCl}_4\text{—CuCl}_2$ образуются катализаторы, по своей активности превосходящие аддитивные значения.

3. Максимум активности отвечает составам с определенным соотношением компонентов системы.

Академия наук СССР
Институт общей и неорганической химии
им. Н. С. Курнакова

Поступила
30.VII.1957

ЛИТЕРАТУРА

- А. Я. Звoryкин, Ф. М. Перельман, С. К. Шахова, Ж. физ. химии, **32**, 654, 1958.
W. Schumb, C. Satterfield, R. Wentworth, «Hydrogen Peroxide», N. Y., 1955.
Н. С. Полуэкто́в, Заводск. лаборатория, **1**, 27, 1936.

THE CATALYTIC ACTIVITY OF THE RARE ELEMENTS IN THE DECOMPOSITION OF HYDROGEN PEROXIDE

F. M. Perel'man, A. Ya. Zvorykin and S. K. Shakhova (Moscow)

Summary

A study has been made of the catalytic activity of systems composed of the salts of rare elements (sodium gallate, thorium nitrate, titanium sulfate and germanium chloride) in association with the salts of copper, cobalt, iron and manganese.

The reaction studied, the decomposition of hydrogen peroxide, was carried out in homogeneous medium at a temperature of 25°C and $\text{pH} = 8.0$.

In a number of cases the curves representing the changes in the rate constants of the reaction with respect to the catalyst composition were found to possess maxima greatly in excess of their additive values. Thus highly active catalysts were formed at definite component ratios in the case of the following systems:

- 1) sodium gallate — copper chloride,
- 2) thorium nitrate — potassium permanganate and 3) thorium nitrate — copper chloride,
- 4) titanium sulfate — copper chloride and 5) titanium sulfate — cobalt chloride
- 6) germanium chloride — copper chloride.

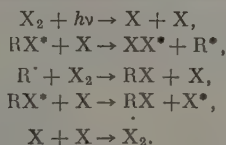
The catalysts obtained are in general more stable.

All these rare earth compounds taken severally are very little active catalytically in the above reaction.

ИССЛЕДОВАНИЕ РЕАКЦИИ ИЗОТОПНОГО ОБМЕНА МЕЖДУ CH_2J_2^* И J_2 МЕТОДОМ ПЕРЕРЫВИСТОГО ОСВЕЩЕНИЯ

В. Б. Миллер, М. Б. Нейман и С. П. Солодовников

В работах [1, 2] был изучен ряд реакций изотопного обмена между органическими галоидопроизводными и элементарными галоидами. При исследовании этих реакций в растворителях был установлен следующий механизм, включающий фотохимическое зарождение активных центров:



Измерение константы скорости реакции рекомбинации позволяет определить константы скорости реакции обмена и подсчитать стационарные концентрации радикалов [3]. В настоящей работе исследовалась реакция изотопного обмена между CH_2J_2^* и J_2 в газовой фазе и определена константа скорости реакции рекомбинации $\text{CH}_2\text{J} + \text{J}$. При исследовании этой реакции нами была применена методика прерывистого освещения.

Метод прерывистого освещения [4] состоит в применении импульсного облучения с определенным соотношением светового и темнового периодов. Обычно пульсирующее освещение достигается прерыванием пучка света вращающимся диском отверстиями. Имеется определенная зависимость между скоростью фотохимической реакции и частотой прерывания. Это происходит потому, что с изменением частоты прерывания средняя концентрация радикалов меняется в некоторых пределах. Представим себе две частоты прерывания ν_1 и ν_2 , причем $\nu_2 \gg \nu_1$. Пусть время освещения при этом будет принимать значения λ_1 и λ_2 ; $\lambda_1 \gg \tau$ и $\lambda_2 \ll \tau$, где τ — среднее время жизни радикала. Рассмотрим оба случая, представленные на рис. 1. Пусть световой импульс прерывается с частотой ν_1 . Тогда в начале светового импульса концентрация радикалов будет расти до тех пор, пока не будет достигнута стационарная концентрация, определяемая соотношениями

$$\begin{aligned} I_{\text{аб}} \varphi &= k_{\text{об}} R_{\text{ст}}^2, \\ R_{\text{ст}} &= \sqrt{I_{\text{аб}} \varphi / k_{\text{об}}}, \end{aligned}$$

где $I_{\text{аб}} \varphi$ — число образовавшихся в секунду радикалов благодаря фотохимическому зарождению, а $k_{\text{об}} R_{\text{ст}}^2$ — число рекомбинирующих радикалов. Мы предполагаем только квадратичный механизм обрыва. В течение темнового периода концентрация радикалов будет спадать до нуля. В том слу-

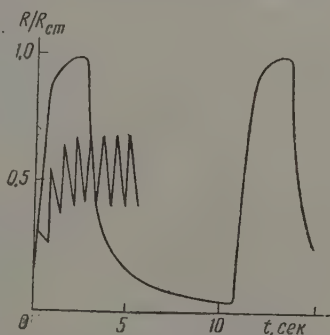


Рис. 1. Изменение концентрации радикалов для двух частот прерывания при $r = 3$ в течение светового и темнового периодов

чае, когда прерывание осуществляется с большой частотой ν_2 , будут наблюдаться иная картина. За период светового импульса концентрация радикалов не успевает достигать стационарной величины, а за период темноты спадать до нуля. При этом концентрация радикалов колеблется около величины, определяемой соотношением:

$$R = \sqrt{\frac{I_{a6} \varphi}{k_{об} (r + 1)}}$$

где r — отношение времени темноты ко времени освещения. Необходимо отметить, что этим двум частотам прерывания будут соответствовать две величины скорости реакции:

$$w_1 = \frac{k}{r + 1} \sqrt{\frac{I_{a6} \varphi}{k_{об}}}$$

$$w_2 = k \sqrt{\frac{I_{a6} \varphi}{k_{об} (r + 1)}}$$

В первом случае мы видим, что реакция идет практически только в моменты, когда реакционная смесь облучается. Во втором случае скорость

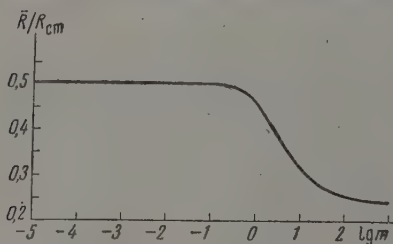


Рис. 2. Зависимость $\bar{R}/R_{ст}$ от $\lg m$ для $r = 3$

реакции соответствует скорости реакции при стационарном освещении с интенсивностью $I_{a6}/(r+1)$. В том случае, когда $\lambda = \tau$, скорость реакции имеет промежуточное значение между w_1 и w_2 . Полная зависимость отношения $\bar{R}/R_{ст}$ от частоты прерывания или времени освещения дается решением двух уравнений:

$$\frac{dR}{dt} = I_{a6} \varphi - k_{об} R^2;$$

$$\frac{dR}{dt} = -k_{об} R^2$$

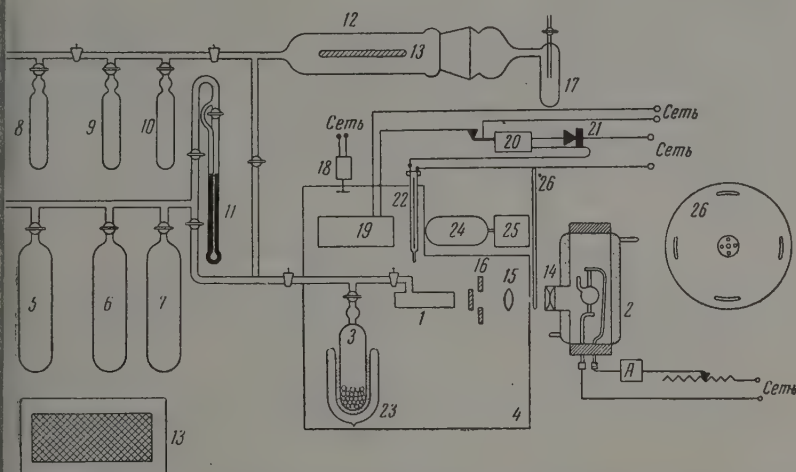
(6) — для периода освещения, (7) — для периода темноты], где \bar{R} — средняя концентрация радикалов при прерывистом освещении; $R_{ст}$ — при постоянном освещении. Для случая $r=3$ зависимость $R/R_{ст}$ от параметра $m = \lambda \sqrt{I_{a6} \varphi k_{об}}$, пропорционального λ , представлена на рис. 2.

Экспериментальная часть

Методика. При исследовании реакции изотопного обмена между CH_2J_2 и J_2 применялся меченый йодистый метилен, который получался путем обмена между CH_2J_2 и NaJ^{131} . Ампула со смесью CH_2J_2 и NaJ^{131} нагревалась в водяной бане в течение нескольких часов при 100°C . Затем йодистый метилен отделялся от водного раствора NaJ , очищался сульфитом натрия, промывался водой, сушился безводным сульфатом натрия и перегонялся под вакуумом. Опыты по кинетике изотопного обмена проводились на установке, изображенной на рис. 3. Стекланный реакционный сосуд с плоскопараллельными стеклами помещался в воздушный термостат 4 с печью. Температура воздуха в термостате поддерживалась постоянной с точностью до $\pm 0.1^\circ \text{C}$ при помощи терморегулятора, собранного из контактного термометра 22, реле и выпрямителя 21. Перемешивание воздуха осуществлялось вентилятором 18. Кристаллы йода помещались в ловушку 3, которая находилась в сосуде Дьюара 23 с жидкой азотной температурой или со снегом. Йодистый метилен в ловушке 8 подвергался последовательному замораживанию, откачиванию и размораживанию, освобождаясь от кислорода.

Все краны вакуумной установки, которые соприкасались с парами йода, смазывались чистой фосфорной кислотой и высокотемпературной вязкой смазкой. Делалось это следующим образом: верх пробки крана смазывалась вязкой смазкой, нижняя же часть пробки, где находится отверстие крана, смазывалась чистой фосфорной кислотой. При соблюдении этих условий адсорбция йода на смазке была незаметна.

Облучение реакционной смеси в сосуде 1 проводилось ртутной лампой 2 (СВДШ-), схема включения которой в сеть постоянного тока показана на рисунке. Лампа заключена в металлический полый кожух, который охлаждался водой, что обеспечивало стационарный режим ее работы. Оптическая схема состояла из собирающего конденсора 14, линзы 15, дававшей параллельный пучок, и фильтров с диафрагмой 16. Прерывистое освещение, осуществлялось дисками 26, в которых были



3. Схема установки для исследования реакции изотопного обмена методом прерывистого освещения: 1 — реакционный сосуд; 2 — ртутная лампа с кожухом; 3 — пипетка с йодом; 4 — воздушный термостат; 5, 6, 7 — баллоны с газами; 8 — ловушка с дистиллированным метиленом; 9 — 10 — ловушки; 11 — ртутный манометр; 12 — трубка для вытеснения; 13 — пластинка с серебром; 14 — конденсор; 15 — линза; 16 — диафрагма и светофильтры; 17 — ловушка; 18 — вентилятор; 19 — печь; 20 — реле; 21 — выпрямитель; 22 — контактный термометр; 23 — сосуд Дьюара; 24 — электромотор; 25 — редуктор; 26 — диск с вырезами

с вырезами так, что $r=3$. Диск приводился в движение мотором 24, вращающимся со скоростью 1400 об./мин. Связь между диском и мотором осуществлялась через редуктор 25, который понижал число оборотов в отношении 1 : 10; 1 : 100 или 1 : 1000; тем самым, ставя диски с различным числом вырезов и меняя передаточное число редуктора, мы могли менять время светового импульса от 1 до 10^{-4} сек. После опыта компоненты смеси разделялись путем адсорбции на серебре, которое наносилось на стекловую пластинку 13. Для этого пластинка с серебром помещалась в специальную трубку 12, к которой в нижней части присоединялась ловушка 17. Охлаждая ловушку 17 жидким азотом, мы могли выделять смесь из реакционного сосуда через трубку 12, где йод адсорбировался на серебре.

Полнота осаждения J_2 на пластинке проверялась при помощи радиоактивного йода. В этом случае реакционный сосуд напускался азотом, который затем осаждался на пластинке.

Повторное проведение измерений активности захваченного йода показали, что йод полностью выделяется из газовой смеси. Специальными опытами было показано, что обмен между AgJ на пластинке и CH_3J_2 в газовой фазе в условиях наших экспериментов не происходит. После разделения компонентов реакции ловушка 17 охлаждалась, пластинка вынималась и ее активность определялась на счетчике.

Результаты эксперимента. Обмен между CH_3J^* и J_2 наблюдался как в темноте, так и при освещении. Реакция обмена в темноте и при освещении проводилась при давлении йода 0,2 мм и йодистого

ϵ , литр/см·моль

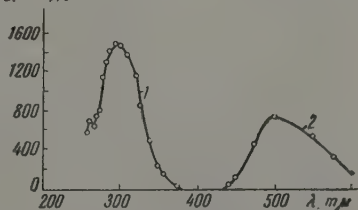


Рис. 4: 1 — кривая поглощения CH_3J_2 и 2 — J_2 ; ϵ — коэффициент экстинкции в литр/см·моль; λ — длина волны в $\text{m}\mu$

метилена 1 мм. Опыты проводились при 30°C. Объем реакционного сосуда составлял 82 см³ (диаметр 3,4 см, длина 9 см). Предварительными опытами было показано, что обмен в темноте идет пренебрежимо медленно. Концентрации йодистого метилена и йода были так подобраны, что поглощения света и скорость химической реакции определялись поглощением йодистого метилена в ближнем ультрафиолете. Спектры поглощения йодистого метилена и йода, снятые на спектрофотометре, показаны на рис. 4.

На рис. 5 приведена одна из кинетических кривых обмена СИ J₂. Для определения средней продолжительности жизни радикалов проделаны опыты с прерывистым освещением. Скорости реакции измерялись при малой глубине обмена. В опытах с прерывистым освещением обмен не превышал 10%, так что отношение скоростей реакции при прерывистом и стационарном освещении равно отношению концентраций радикалов.

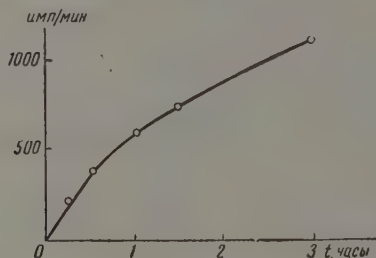


Рис. 5

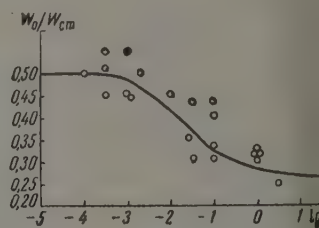


Рис. 6

Рис. 5. Кинетическая кривая обмена при 30°C CH_2J_2^* и J_2 ; $p_{\text{CH}_2\text{J}_2} = 1$ мм.

Рис. 6. Зависимость $w_0/w_{\text{ст}}$ от $\lg \lambda$ для реакции $\text{CH}_2\text{J}_2^* + \text{J}_2$ при 30°C. $p_{\text{CH}_2\text{J}_2} = 1$ мм, $p_{\text{J}_2} = 0,2$ мм, $p_{\text{N}_2} = 60$ мм рт. ст.; λ — время светового импульса в секундах

вистом и стационарном освещении равно отношению концентраций радикалов. Для того чтобы избежать обрыва на стенке, опыты проводились в присутствии инертного разбавителя, в качестве которого использовался азот ($p=60$ мм). Зависимость $w_0/w_{\text{ст}}$ (w_0 — скорость реакции при прерывистом освещении, $w_{\text{ст}}$ — при стационарном освещении) от $\lg \lambda$ представлена на рис. 6. Как следует из теории метода прерывистого освещения

Результаты измерения времени жизни радикалов и $w_0/w_{\text{ст}}$. Время реакции 15 мин.

t , мин.	$w_0/w_{\text{ст}}$	$\lg \lambda$	$\lg m$	$\lg \tau$	$\tau \cdot 10^3$, сек.	$\bar{\tau}$, сек.
15	0,24	0,7	3	-2,3	5	
15	0,29	0	1,4	-1,4	40	
15	0,31	0	1,17	-1,7	67,5	
15	0,31	0	1,17	-1,7	67,5	
15	0,3	-1	1,17	-2,17	6,77	
15	0,32	-1	0,95	-1,95	11	
15	0,40	-1	0,4	-1,4	40	
15	0,43	-1	0,30	-1,3	50	
15	0,30	-1,3	1,17	-2,24	5,75	
15	0,55	-1,3	0,74	-2,04	9,1	
15	0,43	-1,5	0,3	-1,8	15,8	
15	0,45	-2	0,17	-2,17	6,77	
15	0,5	-2,7	-1	-3,70	0,20	
15	0,45	-3,0	0,17	-3,17	0,67	
15	0,45	-3,0	0,17	-3,17	0,67	
15	0,45	-3,5	0,17	-3,67	0,21	
15	0,51	-3,5	-1	-4,5	0,031	
15	0,55	-3	-1	-4	0,01	

ние $w_0/w_{\text{ст}}$ от 0,5 до 0,25 при $r=3$ свидетельствует о чисто квадратичном механизме обрыва. Используя теоретическую кривую для $\bar{R}/R_{\text{ст}}$ и экспериментальную кривую для $w_0/w_{\text{ст}}$, мы вычислили среднее время жизни радикалов τ :

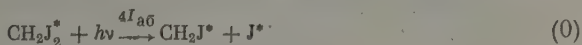
$$\tau = \frac{R_{\text{ст}}}{k_{\text{об}} R_{\text{ст}}^2} = \frac{1}{k_{\text{об}} R_{\text{ст}}} = \frac{1}{\sqrt{k_{\text{об}} \Phi I_{\text{аб}}}} = \frac{\lambda}{m}. \quad (8)$$

В эксперименте измерялось λ , а m бралось из теоретической кривой по соответствующей величине $\bar{R}/R_{\text{ст}} = w_0/w_{\text{ст}}$; вычисленное значение τ приведено в таблице.

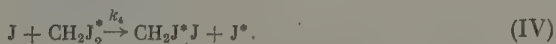
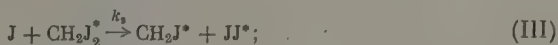
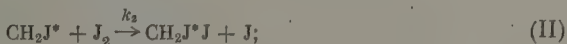
Для определения константы скорости реакции рекомбинации была измерена энергия поглощенная. Для этого термостолбик и гальванометр были проградуированы по свече Гефнера. Найденная константа скорости равна $3 \cdot 10^{-12} \text{ см}^3/\text{сек}$.

Обсуждение результатов

В наших опытах по исследованию реакции изотопного обмена между CH_2J^*_2 и J_2 основным механизмом зарождения является реакция



Возможны следующие реакции продолжения цепи:



Так как реакция



происходит в результате тройных соударений, то основной обрыв цепей идет по реакции



Ввиду того, что определенная нами константа скорости реакции рекомбинации относится к реакции (VI).

На основе этого механизма мы вычислили величину стационарной концентрации радикалов, равную $2 \cdot 10^{13} \text{ см}^{-3}$.

Выводы

Применена методика прерывистого освещения к исследованию реакции изотопного обмена между CH_2J^*_2 и J_2 .

Измеренное в условиях наших опытов среднее время жизни радикалов равно $2 \cdot 10^{-2} \text{ сек}$.

Вычисленная константа скорости реакции $\text{CH}_2\text{J}^* + \text{J}$ равна $3 \cdot 10^{-12} \text{ см}^3/\text{сек}$. Для стационарной концентрации радикалов получена величина $2 \cdot 10^{13} \text{ см}^{-3}$.

Академия наук СССР
Институт химической физики
Москва

Поступила
31. VII. 1957

ЛИТЕРАТУРА

1. D. J. Sibbett, R. M. Noyes, J. Amer. Chem. Soc., 75, 761, 1953.
2. М. Б. Нейман, В. Б. Миллер, Ю. М. Шаповалов, Вопросы химической кинетики, катализа и реакционной способности, Изд-во АН СССР, стр. 22.
3. R. M. Noyes, J. Zimmerman, J. Chem. Phys., 18, 656, 1950.
4. H. W. Melville, G. M. Burnett, Investigation of rates and mechanism of reactions terse. Publ., N. Y.—London, 1953, стр. 133.

A STUDY OF THE ISOTOPIC EXCHANGE BETWEEN CH_2J_2^* AND J_2 BY THE INTERMITTENT ILLUMINATION METHOD

V. B. Miller, M. B. Neiman and S. P. Solodovnikov (Moscow)

Summary

The intermittent illumination technique has been utilized in studying the isotopic exchange reaction between CH_2J_2 and J_2 . The mean life time of the radicals measured under the conditions of our experiment has been found to equal $2 \cdot 10^{-2}$ sec.

The rate constant of the reaction $\text{CH}_2\text{J} + \text{J}$ has been calculated and found to be $3 \cdot 10^{-12} \text{ cm}^3/\text{sec}$. Determination of the steady state concentration of radicals gave a value of $2 \cdot 10^{13} \text{ cm}^{-3}$.

РАДИАЦИОННОЕ ОКИСЛЕНИЕ АЗОТА

IV. ТЕМПЕРАТУРНАЯ ЗАВИСИМОСТЬ И РОЛЬ ИОНОВ В РЕАКЦИИ
ПОД ДЕЙСТВИЕМ БЫСТРЫХ ЭЛЕКТРОНОВ*М. Т. Дмитриев и С. Я. Пшежецкий*

В статьях [1,2] были изложены данные о механизме окисления азота под действием медленных и быстрых электронов. Было установлено, что скорость реакции имеет второй порядок; константа скорости пропорциональна вероятности ионизации азота и зависит от вероятности рекомбинации ионов. Энергия активации реакции, измеренная при давлении 1 мм ст., составляет 7,4 ккал/моль. Выход реакции при низких давлениях равен 6 молекулам NO_2 на 100 eV или 2 молекулам NO_2 на 1 ион N_2^+ . Таким образом, механизм реакции окисления азота при низких давлениях может быть объяснен химическими реакциями ионов азота.

Было существенно выяснить величину энергии активации реакции и более высоких давлениях, а также, каковы соотношения в этих условиях между энергетическим выходом реакции и выходом на пару ионов: какова роль ионов азота в этих условиях.

Мы исследовали температурную зависимость скорости реакции при давлении 1 атм при действии быстрых электронов с энергией ~200 keV. Поскольку при таких энергиях электронов нет возможности существенно менять величину функции ионизации, концентрация ионов варьировалась выводом тех или иных ионов из зоны реакции на специальные зонды. В этой статье приводятся некоторые данные о роли процессов рекомбинации и нейтрализации ионов в данной реакции, а также некоторые кинетические зависимости.

Экспериментальная часть

Методика измерений. В качестве источника электронов применялась электронно-ускорительная трубка с выведенным пучком. Энергия электронов на выходе из прибора составляла около 200 keV. Электронный пучок через алюминиевую фольгу проходил в реакционный сосуд. Сосуд имел несколько впаянных электрических вводов и находился в электрической печи. Впуск газа осуществлялся снизу через змеевик в печи, выпуск — через капиллярную трубку под мембраной. Температура измерялась в центре сосуда термпарой в чехле.

Энергия электронного пучка определялась в калориметре с дистиллированной водой. Выделяющаяся при разложении воды гремучая смесь скапливалась под мембраной, направленной выпуклостью вверх, и попадала под действие электронного пучка. Как известно, выход продуктов разложения воды под действием быстрых электронов составляет ~1,5 молекулы на 100 eV [3]. Выход реакции окисления водорода в гремучей смеси при температурах до 25° составляет ~10 молекул воды на 100 eV [4]. При повышении температуры выход реакции увеличивается. Поэтому наших опытах происходило практически полное превращение гремучей смеси, и поглощением энергии при разложении воды можно было пренебречь. Если пренебречь обратной реакцией и принять выход радиолиза равным 1 молекуле воды на 100 eV, то ошибка в этих опытах не превысила бы 2,5%.

Калориметр был откалиброван по нагревателю, питаемому постоянным током. Было установлено, что прирост температуры воды прямо пропорционален мощности источника энергии. Чувствительность прибора составляла 10^{-2} град./мин.ст. При ускоряющем напряжении 200 kV энергия пучка, прошедшего алюминиевую фольгу толщиной 12 μ , составляла 96 keV на электрон; энергия пучка, прошедшего две фольги

толщиной 24 μ и слой воздуха 2,5 см, составляла 42 keV на электрон. Близкие результаты были получены также при измерении токов насыщения методом ионизационной камеры.

Окислы азота анализировались спектрофотометрически. Длина кюветы составляла 2 м. Фототок усиливался умножителем. В исследованном интервале концентраций оптическая плотность газовой смеси была пропорциональна концентрации NO_2 . Увеличение оптической плотности в приборе составляло 0,25 при 395 nm и 0,16 при 410 nm на 1% NO_2 .

Были определены зависимости количества образующейся NO_2 от продолжительности облучения, скорости пропускания газа и интенсивности облучения. Было следовано также влияние напряженности электрического поля, создаваемого в реакционной зоне. Для определения зависимости коэффициента рекомбинации ионов от температуры, а также зависимости выхода реакции от напряженности электрического поля были сняты соответствующие вольтамперные характеристики несамостоятельных разрядов, вызываемых прохождением электронного пучка между вращающимися в сосуд электродами.

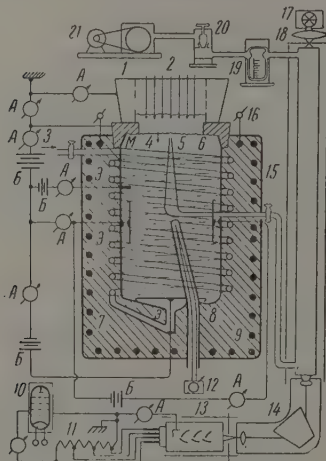


Рис. 1. Схема установки. А — микроамперметры и гальванометры; Б — батареи; Э — электроды; М — мембрана; 1 — электронный ускоритель; 2 — электронный пучок; 3 — выпуск газа из очистительной установки; 4 — выпуск газа из сосуда; 5 — реакционный сосуд; 6 — штифт; 7 — эмеевик; 8 — термопара в чехле; 9 — электрическая печь; 10 — выпрямитель с электронной стабилизацией; 11 — делитель напряжения; 12 — потенциометр постоянного тока; 13 — фотоумножитель; 14 — монохроматор; 15 — кювета в кожухе; 16 — питание печи; 17 — кинолампа в кожухе; 18 — коллиматор; 19 — реометр; 20 — вентильный регулятор скорости пропускания; 21 — насос

Стационарная концентрация ионов в сосуде измерялась по заряду, стекающему на зонд. Величина тока разряжающихся частиц составляла менее 30 μA и поэтому не могла существенно влиять на стационарную концентрацию ионов. Общее количество образующихся ионов при действии электронного пучка определялось методом ионизационной камеры. Величины токов насыщения составляли до 70 mA .

Схема установки, в которой производились измерения, приведена на рис. 1.

Для определения эффективности процессов ионизации с образованием различных ионов в азото-кислородных смесях были проведены масс-спектрометрические измерения в воздухе, очищенном от воды и углекислого газа. Измерения производились на приборе с 60°-ным отклонением ионного пучка в магнитном поле при давлении 10^{-4} – 10^{-6} мм рт. ст.

Обсуждение результатов

Временная и температурная зависимость скорости реакции. Как следует из зависимости концентрации образующей NO_2 от продолжительности облучения, стационарная концентрация NO_2 составляет $\sim 6\%$. На рис. 2 приведена зависимость количества NO_2 от скорости пропускания газа через реакционный сосуд. Количество образовавшейся NO_2 обратно пропорционально скорости пропускания или прямо пропорционально времени пребывания газа в зоне облучения. Такой же результат получен в статической системе при концентрации NO_2 до 2,5% и продолжительности облучения до 3 час. в сосудах объемом до 6 л. Некоторые данные, характеризующие накопление NO_2 в статических условиях, приведены в табл. 1.

В табл. 2 приведены данные, характеризующие выполнимость уравнения второго порядка, которое было ранее установлено для этой ре

и на основании зависимостей скорости реакции от состава смеси [1, 2]:

$$\frac{dp_{\text{NO}_2}}{dt} = k p_{\text{N}_2} p_{\text{O}_2}. \quad (1)$$

Как показывает постоянство константы скорости, уравнение (1) удовлетворительно выполняется. Некоторый спад константы скорости второго порядка связан с протеканием обратной реакции разложения NO_2 . Рас- константы скорости обратной реакции для концентраций NO_2 3 до 6% показывает, что постоянство константы скорости второго порядка для этой реакции выполняется более точно, чем константы скорости второго порядка.

Таким образом, зависимость скорости реакции от времени в статической и проточной системах соответствует уравнению второго порядка. Такой же результат был получен электрических разрядах в работе

Таблица 1

Концентрация NO_2 в зависимости от продолжительности облучения быстрыми электронами при различных интенсивностях облучения в статической системе

Объем сосуда, см ³	6200	2100	2100
Интенсивность облучения, еВ сек. ⁻¹ см. ⁻³ · 10 ⁻¹⁵	0,42	0,75	1,25
Продолжительность облучения, минуты	Концентрация NO_2 , объем. %		
7,5	0,10	0,20	0,33
12,5	0,18	0,33	0,53
17,5	0,25	0,47	0,74
25,0	0,35	0,66	1,04
32,5	0,45	0,86	1,33
37,5	0,51	0,95	1,53
45,0	0,61	1,16	1,86
52,5	0,72	1,35	2,14
60,0	0,82	1,53	2,45

Принимая второй порядок для реакций образования и разложения окиси азота, находим из равенства скоростей образования и распада NO_2 в стационарном состоянии: при давлении 1 атм и 40°С эффективная константа скорости реакции спада окислов примерно в 50 раз больше константы скорости реакции образования.

Количество образующейся NO_2 пропорционально интенсивности облучения при условии, что концентрация NO_2 далека от стационарной (см. табл. 3). При концентрации выше 6% NO_2 пропорциональность нарушается.

При концентрации выше 6% NO_2 увеличение интенсивности облучения практически не влияет на выход реакции.

В табл. 4 приведены данные, характеризующие зависимость количества образовавшейся NO_2 от температуры для разных серий опытов. Как видно из данных, с ростом температуры количество NO_2 увеличивается и достигает максимума приблизительно при 200°С. Начиная с этого после спада количества реакции, как это было установлено при измерениях токов насыщения при этих температурах (см. ниже), соответствует попаданию электронов пучка на стенку сосуда в результате значительного уменьшения плотности газа при высоких температурах. При дальнейшем увеличении температуры все большая часть пучка попадает на стенку, и, следовательно, меньшая часть энергии электронов поглощается в газе, что и приводит к уменьшению выхода реакции.

Зависимость логарифма константы скорости реакции второго порядка от температуры при давлении 1 атм показывает, что уравнение Аррениуса удовлетворительно выполняется.

Для различных серий опытов получаются несколько различные величины энергии активации от 1,2 до 1,7 ккал/моль. Однако разброс не превышает пределов точности измерений. В опытах при низких давлениях примерно в том же интервале температур нами была найдена энергия активации равная $7,4 \pm 1$ ккал/моль.

Энергетический выход реакции. Как нами было установлено ранее [1,2], энергетический выход реакции окисления азота зависит от состава смеси, давления и вероятности ионизации молекулы

Таблица 2

Константа скорости второго порядка
реакции окисления азота

Длительность облучения, минуты	Концентра- ция NO_2 , объемн. %	Скорость мо- лекул NO_2 , сек. $^{-1} \times 10^{-12}$	Константа скорости см 3 молек. $^{-1}$ $\times 10^{-8}$
1.5	0,22	0,73	5,09
3.1	0,45	0,74	5,12
6.2	0,88	0,68	5,07
9.4	1,29	0,65	5,04
12.5	1,68	0,62	4,92
15,6	2,05	0,59	5,03
18,7	2,40	0,56	4,94
21,9	2,74	0,55	4,85
25,0	3,07	0,52	4,78

Таблица 3

Концентрация NO_2 в зависимости
интенсивности облучения. Экспозиция
45 мин.

Интенсив- ность облуче- ния eV сек. $^{-1}$ см $^2 \times 10^{-12}$	Концентрация NO_2 , объемн. % в сосуде:		
	480, см 2	1500, см 2	2100, см 2
0,45	1,51	0,43	0,32
0,95	3,25	0,93	0,66
1,42	4,28	1,38	0,98
1,84	5,05	1,85	1,32
2,24	5,61	2,23	1,58
2,63	5,95	2,62	1,86
3,42	6,01	3,34	2,35
4,21	6,02	3,95	2,81
5,26	6,03	4,81	3,42
6,67	6,03	5,80	4,13

Таблица 4

Концентрация NO_2 в зависимости от температуры для разных серий опытов. Объем
сосуда 1500 см 3 , интенсивность облучения $2,9 \cdot 10^{10}$ eV/сек., экспозиция 20 мин.

Т, °К	Концен. NO_2 , объемн. %	Т, °К	Концен. NO_2 , объемн. %	Т, °К	Концен. NO_2 , объемн. %	Т, °К	Концен. NO_2 , объемн. %
293	1,30	293	1,35	297	1,50	293	1,42
313	1,35	319	1,41	323	1,58	320	1,48
347	1,53	357	1,64	358	1,80	340	1,63
371	1,73	373	1,80	378	2,03	368	1,82
394	1,94	383	1,92	389	2,16	385	1,98
408	2,09	403	2,21	401	2,32	403	2,15
422	2,22	416	2,48	410	2,43	419	2,30
438	2,36	426	2,51	428	2,60	440	2,45
453	2,43	453	2,52	448	2,75	458	2,58
467	2,46	465	2,49	461	2,78	470	2,63

Таблица 5

Энергетический выход реакции окисления азота под действием быс-
стрых электронов. Смесь состава 20% O_2 + 80% N_2

Продолжи- тельность об- лучения, ми- нуты	Т, °С	Количество об- разовавшейся NO_2 , мг	Поглощенная энергия, $\text{eV} \cdot 10^{-21}$	Выход, молек./100 eV
60	45	97,0	94,2	1,35
50	45	88,6	78,5	1,48
45	65	86,8	70,6	1,61
60	86	127,3	94,2	1,77
50	105	115,5	78,5	1,93
35	126	89,7	55,0	2,14
30	145	86,7	47,1	2,41
45	172	157,8	70,6	2,93
35	193	133,2	55,0	3,17
30	205	114,0	47,1	3,18

та. Результаты этой работы указывают также на то, что энергетический ход существенно изменяется в зависимости от температуры. Некоторые полученные нами данные приведены в табл. 5. Энергетический выход реакции при давлении 1 атм для смеси состава воздуха составляет $1,3 \div 1,5$ молекулы NO_2 на 100 еВ при $15-20^\circ$. С увеличением температуры выход возрастает и достигает при температуре $\sim 200^\circ$ $3 \div 3,5$ молекулы NO_2 на 100 еВ.

Зависимость выхода реакции от концентрации ионов. Ранее было найдено, что скорость реакции пропорциональна вероятности ионизации азота. Для того чтобы получить прямое подтверждение определяющей роли ионов, были поставлены опыты, в которых положительные и отрицательные заряды выводились из сферы реакции на специальные электроды.

Одновременное вытягивание из зоны реакции положительных и отрицательных ионов осуществлялось наложением электрических полей

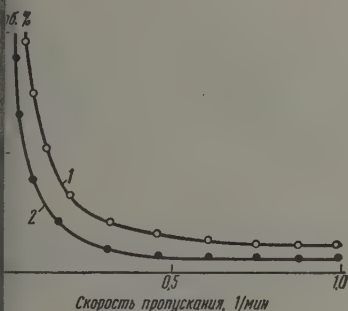


Рис. 2

Рис. 2. Зависимость количества NO_2 от скорости пропуска 1 — ток $100 \mu\text{A}$; 2 — $50 \mu\text{A}$. Объем сосуда 1,5 л

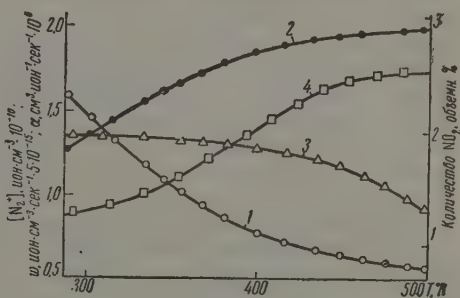


Рис. 3

Рис. 3. 1 — зависимость коэффициента рекомбинации ионов; 2 — стационарной концентрации ионов азота; 3 — скорости образования ионов азота и 4 — скорости образования NO_2 от температуры. Сила тока $50 \mu\text{A}$, энергия электронов 200 кэВ, объем сосуда 1,5 л

применялись поля, направление которых было перпендикулярно, параллельно и противоположно направлению электронного пучка. Раздельное вытягивание положительных или отрицательных ионов производилось при помощи отрицательно или положительно заряженного зонда.

При одновременной нейтрализации на электродах одного положительного и одного отрицательного ионов выход реакции снижается на 0,25 молекулы NO_2 . При нейтрализации одного отрицательного иона выход реакции увеличивается на 0,18 молекулы NO_2 . Складывая эти величины, видим, что при нейтрализации одного положительного иона выход реакции должен уменьшаться на 0,43 молекулы NO_2 . Как следует из полученных данных при нейтрализации одного положительного иона выход действительно уменьшается на 0,42 молекулы NO_2 . Таким образом, вывод ионов из сферы реакции существенно влияет на ход реакции окисления.

Поскольку в азотно-кислородных смесях при невысоких температурах и давлениях порядка 1 атм все тепловые электроны, появляющиеся при ионизации частиц газа, захватываются молекулами кислорода, можно приближенно считать, что все отрицательные ионы являются ионами O_2^- . Атомарные отрицательные ионы O^- образуются только в одном из процессов, при которых образуются атомарные положительные ионы, а именно: $\text{O} \rightarrow \text{O}^+ + \text{O}^-$. Поэтому концентрация ионов $[\text{O}_2^-]$ во всяком случае не превышает концентрации положительных ионов $[\text{O}^+]$. Как следует из наших

данных*, среди положительных ионов концентрация $[O^+]$ составляет около 3,5%. Следовательно, ошибка будет невелика.

Увод одного положительного иона уменьшает выход реакции, причем найденное уменьшение соответствует величине выхода в 1,3 молекулы N_2 на 100 eV. Это совпадает с независимо определенной величиной суммарного выхода реакции на поглощенную энергию, которая в данных условиях равна 0,49 молекулы NO_2 на пару ионов или 1,5 молекулы на 100 eV**.

Следовательно, реакция окисления в данных условиях целиком определяется первичной ионизацией азота и вторичными процессами рекомбинации ионов. Эти данные совпадают с ранее установленным фактом, что константа скорости реакции пропорциональна вероятности ионизации азота [1].

Ускорение реакции при выводе из реакционной зоны отрицательных ионов, в основном O_2^- , и замедление реакции при нейтрализации ионов N_2^+ и O_2^- показывает, что процессы рекомбинации ионов $N_2^+ + O_2^-$ и нейтрализация ионов азота на электродах $N_2^+ + [e]$ уменьшают выход реакции, что также подтверждает ведущую роль ионов N_2^+ в этом процессе. Следовательно, отрицательную роль процессов рекомбинации ионов.

В статье [2] нами в выражение для константы скорости реакции введем коэффициент рекомбинации ионов α , который определяет стационарную концентрацию ионов. Поскольку в литературе отсутствует аналитическое выражение для зависимости коэффициента α от температуры, имеющиеся экспериментальные данные неполны, мы исследовали эту зависимость в интересующем нас интервале температур.

На рис. 3 приведены полученные данные. Скорость образования ионов под действием электронного пучка w , как и следовало ожидать, не зависит от температуры, поскольку процессы ударной ионизации не имеют энергетической активации в условиях, если термическая ионизация при этих температурах еще не может иметь места***.

Стационарная концентрация ионов $[N_2^+]$ возрастает, что связано с уменьшением скорости рекомбинации противоположно заряженных ионов с температурой. Нейтрализацией ионов на стенках в этих опытах можно пренебречь (при атмосферном давлении число соударений ионов со стенкой в $2,5 \cdot 10^5$ раз меньше числа двойных соударений и в $1,5 \cdot 10^9$ раз меньше числа актов рекомбинации ионов в объеме).

На рис. 3 приведена для сравнения также зависимость количества образовавшейся NO_2 от температуры. Как видно на графике, зависимость стационарной концентрации ионов и количества образовавшейся NO_2 от температуры симметричны друг другу.

Коэффициент рекомбинации α связан со стационарной концентрацией ионов и скоростью ионизации. При условии, что нейтрализацией ионов на стенках сосуда можно пренебречь, справедливо выражение:

$$\frac{d[u^+]}{dt} = w - \alpha[u^+][u^-],$$

* Масс-спектрометрически нами было установлено, что при энергии электронов 40 eV соотношение ионов в сухом воздухе таково: $[N_2^+] : [O_2^+] : [N^+] : [O^+] = 100 : 20,1 : 9,2 : 3,5$.

** Так как среди положительных ионов концентрация молекулярных ионов составляет 75%, то уменьшение выхода при уводе только иона N_2^+ соответствует 1,7 молекулы NO_2 на 100 eV, что также в пределах ошибок опытов совпадает с приведенной выше величиной суммарного выхода.

*** Впрочем, с дальнейшим увеличением температуры скорость образования ионов начинает уменьшаться, что связано с уменьшением количества энергии электронов, поглощаемой в газовой фазе. Повышение температуры уменьшает плотность газа, в результате чего электронный пучок попадает на стенку и поглощается стеклом. В этом на стенках реакционного сосуда были отчетливо заметны пятна расплавленного стекла. Уменьшение количества энергии, поглощаемой в газовой фазе, приводит к уменьшению выхода реакции при температурах около 200° или несколько выше. Это указывают приведенные выше в табл. 4 данные, характеризующие зависимость концентрации образовавшейся NO_2 от температуры.

$[u^+]$ — концентрация положительных ионов, $[u^-]$ — концентрация отрицательных ионов, w — число ионов, образующихся при облучении в единицу времени, α — коэффициент рекомбинации.

В стационарном состоянии:

$$\frac{d[u^+]}{dt} = \frac{d[u^-]}{dt} = 0. \quad (3)$$

При атмосферном давлении в азотокислородных смесях все тепловые электроны захватываются молекулами кислорода, поэтому концентрацией свободных электронов можно пренебречь. В соответствии с этим условием электронейтральности газа запишем в виде:

$$[u^+] = [u^-]. \quad (4)$$

Подставляя (3), (4) в уравнение (2), получаем

$$\alpha = \frac{w}{[u^+]^2}. \quad (5)$$

Зависимость коэффициента рекомбинации от температуры, рассчитанная по уравнению (5), приведена на рис. 3. Как видно на графике, с увеличением температуры коэффициент рекомбинации уменьшается.

Функция $\alpha = f(T)$ в интервале $0-200^\circ\text{C}$ аппроксимируется уравнением:

$$\alpha \cdot 10^6 \approx \frac{770}{T} - 1,05. \quad (6)$$

Как показывает расчет по этому уравнению, концентрация ионов при увеличении температуры от 0 до 200° возрастает примерно в 1,6 раза, в то время как выход реакции на поглощенную энергию увеличивается примерно в 2 раза. Таким образом, установленная величина кажущейся энергии активации при давлении 1 атм может быть объяснена увеличением концентрации ионов с температурой вследствие уменьшения коэффициента рекомбинации.

В условиях опытов при низких давлениях рекомбинация ионов в объеме не может играть значительной роли. Принимая по данным [6] для коэффициента рекомбинации в воздухе при давлении $0,1 \text{ мм рт. ст.}$ $\alpha = 2 \cdot 10^{-9} \text{ сек.}^{-1}$, получаем, что при давлении $0,1 \text{ мм рт. ст.}$ число актов рекомбинации в $2,5 \cdot 10^3$ раза меньше числа двойных соударений этих ионов. Таким образом, рекомбинацией ионов при низких давлениях можно пренебречь.

При давлениях порядка 1 атм , принимая по данным [7], для коэффициента рекомбинации в воздухе при 15° $\alpha = 1,6 \cdot 10^{-6} \text{ см}^3/\text{сек.}$, получаем, что число рекомбинаций в $0,6 \cdot 10^4$ раза больше числа двойных соударений. Это различие в условиях рекомбинации ионов, по-видимому, и является новым фактором, вследствие которого процесс окисления азота при атмосферном давлении протекает с меньшим энергетическим выходом, чем при низких давлениях.

Константа скорости уравнения (1) может быть выражена следующим образом [8]:

$$k = \frac{I}{\epsilon_0} \sqrt{\frac{k_1 RT}{\alpha M p}} e^{-E_0/kT} \int_0^{\epsilon_{\text{макс}}} F(\epsilon) q(\epsilon) d\epsilon, \quad (7)$$

где I — интенсивность облучения, T — температура, p — давление, α — коэффициент рекомбинации ионов, $q(\epsilon)$ — функция ионизации азота, $F(\epsilon)$ — функция распределения излучения в спектре, ϵ_0 — энергия ионизации молекулы азота, M — молекулярный вес азота, R — газовая постоянная, k_1 — эффективная константа образования химически активных частиц, E_0 — энергия активации реакции.

Выводы

1. Исследована зависимость скорости реакции окисления азота в атмосферном давлении от экспозиции и температуры при облучении бырыми электронами с энергией до 200 keV. Количество образующей NO_2 при концентрациях до 2% прямо пропорционально продолжительности и интенсивности облучения.

Временная зависимость соответствует второму порядку скорости реакции. Энергия активации составляет 1,3—1,7 ккал/моль.

2. Энергетический выход реакции при давлении 1 атм возрастает от до 3,5 молекулы NO_2 на 100 eV с повышением температуры с 20 до 250°.

3. Исследовано влияние вывода ионов из сферы реакции на процесс окисления. Полученные данные подтверждают определяющую роль ионов азота.

Определена зависимость коэффициента рекомбинации ионов от температуры.

Физико-химический институт
им. Л. Я. Карпова
Москва

Поступила
7.VIII.1957

ЛИТЕРАТУРА

1. М. Т. Дмитриев, С. Я. Пшежецкий, Сб. «Действие ионизирующих излучений на неорганические и органические системы», Изд-во АН СССР, М., 1958, стр. 145.
2. М. Т. Дмитриев, С. Я. Пшежецкий, Сб. «Действие излучений на неорганические и органические системы», Изд-во АН СССР, М., 1958, стр. 171.
3. C. J. Noshanadel, S. C. Lind, Ann. Rev. Phys. Chem., 7, 83, 1956.
4. S. C. Lind, D. C. Bardwell, J. Amer. Chem. Soc., 41, 531, 1919.
5. М. Т. Дмитриев, Ж. физ. химии. 32, 2418, 1958.
6. А. Энгель, М. Штенбек, Физика и техника электрического разряда в газах, ОНТИ, М.—Л., т. 1, 1935, стр. 221.
7. И. А. Каппов, Электрические явления в газах и вакууме, ГИТТЛ, М.—Л., 1947, стр. 246.
8. М. Т. Дмитриев, С. Я. Пшежецкий, Тр. 1-го Всесоюзного совещания по радиационной химии, Изд-во АН СССР, М., 1957, стр. 27.

THE RADIATION OXIDATION OF NITROGEN

IV. TEMPERATURE DEPENDENCE AND THE PART PLAYED BY IONS IN THE REACTION UNDER THE ACTION OF FAST ELECTRONS

M. T. Dmitriev and S. Ya. Pshezhetskiĭ (Moscow)

Summary

A study has been made of the oxidation of nitrogen at atmospheric pressure and temperatures from 0 to 200° C, on irradiation by fast electrons with energies up to 200 KeV. The reaction is of the second order. The activation energy is 1.3 — 1.7 kcal/mole. The steady state concentration of NO_2 at 1 atm pressure and a temperature of 40° is about 6%. With concentrations up to 2% the NO_2 formed is proportional to the duration and intensity of the irradiation.

The effect of the removal of ions from the reaction zone has been investigated. The results obtained confirm the proposition made earlier that the oxidation reaction is determined by the ionization of nitrogen and the recombination and neutralization of ions. The temperature dependence of the recombination of the ions has been determined.

The reaction yield at pressures of 1 atm in a mixture of the composition of air increases from 1.3 to 3.5 molecules NO_2 per 100 eV on raising the temperature from 20 to 250°.

КИНЕТИКА СИНТЕЗА АММИАКА ПРИ НИЗКИХ ДАВЛЕНИЯХ
В УСЛОВИЯХ ДИФфуЗИОННОГО ТОРМОЖЕНИЯ

Д. Ф. Соколова, Н. М. Морозов и М. И. Темкин

Вопрос о возможном влиянии диффузионных явлений на скорость синтеза аммиака был впервые рассмотрен В. А. Ройтером [1]. Экспериментальные исследования, проведенные за последние годы [2—7], привели к выводу о необходимости учета диффузионного торможения. Однако методики, использованные в цитируемых работах, не свободны от недостатков. О роли диффузии заключали, в первую очередь, по уменьшению производительности катализатора при увеличении размера его зерен в условиях проточной системы. Между тем это явление может иметь и другое происхождение. Если размер зерен катализатора сравним с размером реактора, как это было в работах [2—4,6], гидродинамические условия эквивалентны проскоку части газовой смеси мимо катализатора. Реакция синтеза аммиака тормозится ее продуктом. В случае такой кинетики проскок, даже при малых расходах превращения, снижает производительность катализатора, потому что фактическая концентрация продукта у наружной поверхности зерен катализатора выше средней концентрации, измеряемой в отходящей газовой смеси. При данном диаметре реактора эффект проскока тем заметнее, чем больше размер зерен катализатора, поэтому неучет этого эффекта приводит к преувеличенной оценке диффузионного торможения.

Сходные соображения, по-видимому, применимы и к методу диафрагмы А. Ройтера [5]. Утверждение, что в условиях метода диафрагмы концентрации компонентов у внешней поверхности каждого участка диафрагмы равны концентрациям их в отходящем газе, высказано в цитируемой работе [5] без экспериментального или теоретического обоснования.

Указанные трудности устраняются применением проточно-циркуляционной системы [8], независимо от того, проводится ли варьирование размеров зерен катализатора, или используется метод диафрагмы. При статочной скорости циркуляции проскок не имеет значения.

Проточно-циркуляционный метод был использован В. Н. Шипковой, П. Сидоровым и М. И. Темкиным [9] для изучения роли диффузионных факторов в реакции синтеза аммиака при давлениях 100—300 атм на промышленном катализаторе.

В настоящей работе проточно-циркуляционным методом была изучена роль диффузионного торможения в синтезе аммиака при атмосферном давлении и давлениях ниже атмосферного. В этих условиях, как будет показано ниже, характер диффузионного процесса отличается от наблюдаемого при высоких давлениях.

Экспериментальная часть

Методика эксперимента. Проточно-циркуляционная система, примененная в данной работе, несколько отличалась от описанной ранее [8]. Наряду с основным циклом, содержавшим реактор, функционировал дополнительный цикл, заменявший ввод исходной газовой смеси выводом реагирующей смеси в описанной ранее схеме. Он содержал охлаждаемую жидким воздухом ловушку для вымораживания аммиака и рео-

метр. Так как степень превращения азотоводородной смеси была мала и в системе имелся резервуар азотоводородной смеси, то давление оставалось практически постоянным. Чтобы сделать возможным непрерывный отбор проб, имелись два параллельных дополнительных цикла, включавшихся попеременно. Скорость реакции определялась по количеству аммиака, вымороженного в дополнительном цикле за единицу времени.

Проточно-циркуляционная система с дополнительной циркуляцией позволяет легко проводить реакцию синтеза аммиака при различных давлениях от атмосферного и ниже. Повторное использование газовой смеси обеспечивает высокую степень ее чистоты.

Схема установки приведена на рис. 1. Основной цикл содержал реакционный сосуд с катализатором 1 и стеклянный электромагнитный циркуляционный насос. Скорость циркуляции в нем составляла около 500 л/час. Объем слоя катализатора был от 0,3 до 1 см³. Дополнительный цикл включал ловушку со стеклянным фильтром

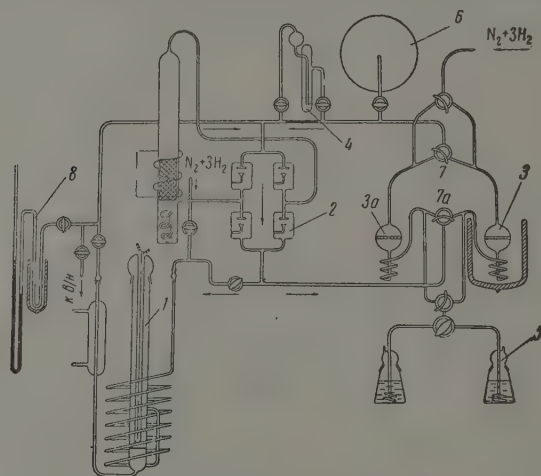


Рис. 1. 1 — реакционный сосуд; 2 — циркуляционный насос; 3 — ловушка; 4 — реометр; 5 — поглотительные склянки; 6 — колба (резервуар); 7 — 7а — распределительные краны; 8 — манометр

3 или 3а и реометр 4. Поток газа в нем варьировался в пределах от 5 до 30 л/час. Давление газа в дополнительном цикле обусловлено перепадом давления в реакционном сосуде, таким образом, один насос обеспечивает движение газа в обоих циклах.

Отбор части газовой смеси из основного цикла в дополнительный производился при помощи распределительных трехходовых кранов 7 и 7а. Вымороженный в ловушке аммиак выдували затем током азотоводородной смеси в поглотительную склянку 5 или 5а, где он поглощался 0,1 N раствором серной кислоты. Избыток кислоты титровали. Когда в одной ловушке происходило вымораживание аммиака, в другой проводилась продувка. Для уменьшения падения давления за счет реакции к системе был подключен резервуар 6 — буферная колба емкостью около 13 л. Колба подключена за ловушкой по ходу газа, поэтому в колбе находится азотоводородная смесь не содержащая аммиака, и наличие колбы большого объема не замедляет достижение системой стационарного состояния.

Система была снабжена ртутным манометром 8, отделенным ловушкой, охлаждаемой жидким воздухом.

Применялся обычный катализатор — плавленный магнетит с добавками Al_2O_3 и K_2O . Он восстанавливался азотоводородной смесью в течение 50 ч. при объемной скорости 20 000 час.⁻¹ с постепенным подъемом температуры от 300 до 500°C.

Экспериментальные результаты. Опыты проводились с азотоводородной смесью стехиометрического состава в области

температур от 350 до 500°C при различных объемных скоростях протока (вычисляемых по скорости газа в дополнительном цикле) и давлениях 0, 0,5 и 0,25 атм.

Концентрации аммиака, приведенные в таблицах, представляют средние значения из нескольких анализов.

Таблица 1

Синтез аммиака при различных давлениях на зернах катализатора 0,25—0,5 мм (объем катализатора 0,33 см³, вес невосстановленного катализатора 0,93 г)

Температура, °C	Объемная скорость протока, час ⁻¹	Концентрация аммиака, объемн. %	Относительный выход x	$k \cdot 10^{-3}$ по уравнению (1), атм ^{1/2} /час
1 атм				
500	73800	0,0927	0,747	93,5
475	72800	0,102	0,630	49,2
	67200	0,106	0,655	50,8
450	67200	0,105	0,483	20,5
	36500	0,126	0,578	18,8
400	72800	0,0618	0,149	1,8
	63200	0,0632	0,152	1,59
	36900	0,0926	0,223	1,92
350	67200	0,0729	0,049	0,165
	36900	0,0558	0,065	0,15
0,5 атм				
500	39600	0,0545	0,880	93,0
475	39600	0,0657	0,810	53,8
450	37800	0,0703	0,644	19,0
400	37800	0,0597	0,287	2,38
350	37800	0,0313	0,073	0,141
0,25 атм				
450	21500	0,0435	0,800	19,1
400	21500	0,0435	0,418	2,27

В табл. 1 и на рис. 2 представлены результаты измерения скорости синтеза на зернах катализатора от 0,25 до 0,5 мм.

Приведенные в таблице величины k вычислены по уравнению:

$$k = P^{0,5} V \frac{x^2}{1-x^2}, \quad (1)$$

где x — относительный выход NH_3 (отношение выхода к равновесному выходу), V — объемная скорость протока, P — давление [8]. Равновесные выходы определялись по константам равновесия [10].

Уравнение (1) отвечает уравнению для скорости реакции [11]

$$\omega = k_1 P_{\text{N}_2} \left(\frac{P^3_{\text{H}_2}}{P^2_{\text{NH}_3}} \right)^\alpha - k_2 \left(\frac{P^2_{\text{NH}_3}}{P^3_{\text{H}_2}} \right)^{1-\alpha} \quad (2)$$

при $\alpha = 0,5$, когда реакция проводится в проточно-циркуляционной системе степени превращения малы (k пропорциональна k_2). Величины k обнаруживают удовлетворительное постоянство при изменении p и V , поэтому можно принять, что в рассматриваемых опытах диффузионное торможение играло существенной роли. К обсуждению этого предположения мы вернемся ниже.

На графике (рис. 2) зависимости $\lg k$ от $1/T$ точки укладываются в прямую линию. Подсчитанная из наклона прямой энергия активации реакции разложения аммиака $A=43\ 000$ кал/моль.

Эта величина согласуется с полученными ранее (см. например, [9]) в литературе приводятся также более высокие значения A (см., например, [5]). Мы предполагаем обсудить эти расхождения в другом месте.

Изучение кинетики в диффузионной области было проведено на одном зерне катализатора правильной шарообразной формы диаметром 1,2 мм. Применение зерна правильной геометрической формы и большого размера позволило сопоставить с опытом уравнение кинетики синтеза аммиака

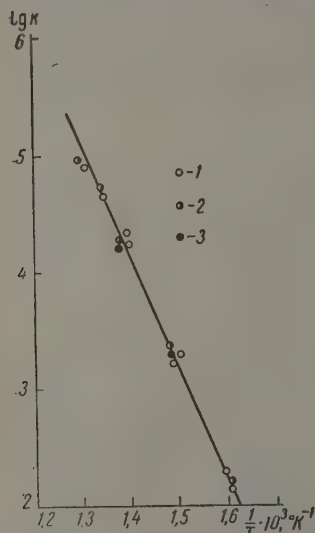


Рис. 2. 1 — 1 атм, 2 — 0,5 атм, 3 — 0,25 атм

пропорциональна наружной поверхности зерна, потому что эффективная толщина работающего слоя зерна катализатора мала по сравнению с размерами зерна.

Рассмотрим течение реакции синтеза аммиака в диффузионной области, принимая, что кинетика подчиняется уравнению (2) с $\alpha=0,5$. Будем считать степени превращения малыми, как это имеет место в опытах при низких давлениях. Тогда p_{N_2} и p_{H_2} практически постоянны, и скорость реакции является функцией p_{NH_3} , или концентрации аммиака c .

Пористое зерно катализатора будем рассматривать как квазинепрерывную среду, которая может быть охарактеризована некоторым эффективным коэффициентом диффузии D^* .

Для вычисления скорости реакции в диффузионной области можно считать наружную поверхность зерна катализатора плоской, так как ее радиус кривизны велик по сравнению с эффективной толщиной работающего слоя. Тогда задача сводится к одномерной, и при стационарном протекании реакции должно выполняться уравнение:

$$D^* \frac{d^2 c}{dl^2} + \omega_c = 0, \quad (3)$$

где l — расстояние от поверхности зерна и ω_c — скорость реакции, измеряемая числом молей аммиака, образующихся за единицу времени в единицу объема зерна.

Концентрация аммиака c в уравнении (3) должна бы по смыслу рас

диффузионной области, вытекающее из уравнения (2) в сочетании с законами диффузии (см. ниже). Измерения были проведены при давлениях 1,0, 0,5 и 0,25 атм в интервале температур от 50 до 500°C, при различных объемных скоростях от 3 000 до 15 000 час⁻¹. Объемная скорость потока для сопоставимости данных вычислялась как отношение объема газа (приведенного к 0°C и 1 атм), проходящего за 1 час в дополнительном цикле, к объему воображаемого слоя зерен, вес которого равен весу шарообразного зерна; результаты измерений помещены в табл. 2.

Обсуждение кинетики в диффузионной области

Можно различать два предельных случая протекания реакции — кинетическая область, в которой производительность пористого зерна катализатора пропорциональна его объему, и диффузионная область (точнее, внутренняя диффузионная область), в которой производительность

Таблица 2

Синтез аммиака при различных давлениях на зерне катализатора диаметром 1,2 см

Температура, °C	Объемная скорость протока, час ⁻¹	Концентрация аммиака, объемн. %	Относительный выход, x	$k \cdot 10^{-2}$ по ур-нию (1) атм ^{1/2} /час	k_D по ур-нию (11) см/сек.
1 атм					
500	1500	0,0331	0,267	1,12	0,31
	13500	0,0352	0,284	1,22	0,31
	9000	0,0475	0,384	1,54	0,32
450	4500	0,0632	0,510	1,61	0,30
	14000	0,0364	0,167	0,38	0,15
	11000	0,0481	0,221	0,55	0,16
	9000	0,0543	0,249	0,585	0,16
400	4600	0,0795	0,365	0,705	0,16
	3000	0,1045	0,480	0,920	0,17
	15000	0,0275	0,0660	0,0647	0,050
	9000	0,0418	0,101	0,102	0,051
350	4600	0,0709	0,170	0,136	0,050
	14000	0,0235	0,0273		0,016
0,5 атм					
500	8400	0,0248	0,400	1,12	0,34
450	8000	0,0293	0,269	0,42	0,16
	5500	0,0357	0,327	0,47	0,16
	2800	0,0484	0,444	0,50	0,14
400	8000	0,0262	0,126	0,91	0,058
	4700	0,0389	0,187	0,120	0,059
350	8400	0,0191	0,0442		0,017
0,25 атм					
450	4500	0,0187	0,342	0,31	0,14
	4000	0,0222	0,408	0,39	0,17
	2100	0,0304	0,556	0,45	0,18
400	4000	0,0234	0,220	0,11	0,062

мощности катализатора, как квазиоднородной среды, определяться отношением числа молей аммиака в элементе объема зерна катализатора к величине этого элемента объема; она, следовательно, отличается от концентрации аммиака в газовой фазе, содержащейся в порах указанного элемента объема. Поскольку это отличие, однако, сводится к численному множителю порядка единицы, мы его не будем учитывать. Это будет соответствовать обычно принимаемому определению величины эффективного коэффициента диффузии D^* .

Почти во всем зерне катализатора, за исключением слоя у поверхности, практически не отличается от равновесного значения $c_{\text{равн}}$, при котором $s = 0$. Поэтому интегрирование уравнения (3) даст (см., например [12])

$$\left(\frac{dc}{dl}\right)_{l=0} = \left(\frac{2}{D^*} \cdot \int_c^{c_{\text{равн}}} \omega_c dc\right)^{1/2}, \quad (4)$$

где нижний предел интегрирования — значение c при $l = 0$.

Преобразование уравнения (2) при $\alpha = 0,5$ приводит к выражению [11]

$$\omega = \frac{k_2 (p_{\text{NH}_3})_{\text{равн}}}{P_{\text{H}_2}^{1/2}} \left(\frac{1}{x} - x\right), \quad (5)$$

где $(p_{\text{NH}_3})_{\text{равн}}$ — равновесное значение p_{NH_3} , при этом

$$x = \frac{p_{\text{NH}_3}}{(p_{\text{NH}_3})_{\text{равн}}} = \frac{c}{c_{\text{равн}}}.$$

В уравнении (5) скорость реакции ω , в отличие от ω_c , определена таким образом, что за меру количества аммиака принято не число молей, а давление, производимое аммиаком в единице объема. Поэтому

$$\omega_c = \frac{k_2 c_{\text{равн}}}{F_{\text{H}_2}} \left(\frac{1}{x} - x \right). \quad (6)$$

Из уравнений (4) и (6) получаем

$$\left(\frac{dc}{dl} \right)_{l=0} = \left[\frac{k_2 c_{\text{равн}}^2}{D^* p_{\text{H}_2}^{3/2}} (x^2 - 2 \ln x - 1) \right]^{1/2}. \quad (7)$$

Количество аммиака Ω , выделяющегося с 1 см² наружной поверхности зерна катализатора за единицу времени, может быть вычислено по уравнению:

$$\Omega = D^* \left(\frac{dc}{dl} \right)_{l=0}. \quad (8)$$

Следовательно:

$$\Omega = c_{\text{равн}} \left[\frac{D^* k_2}{p_{\text{H}_2}^{3/2}} (x^2 - 2 \ln x - 1) \right]^{1/2}. \quad (9)$$

При измерениях, проводимых проточно-циркуляционным методом

$$\Omega = \frac{Uc}{S}. \quad (10)$$

Здесь U — объем газовой смеси, выводимой из цикла реактора за единицу времени, измеренный при температуре и давлении зоны реакции, S — наружная поверхность зерна катализатора. Из (9) и (10), учитывая, что $p_{\text{H}_2} = 0,75 P$, где P — общее давление, а $U = U_0 \frac{T T_0}{T_0 P}$, где U_0 — значение U , приведенное к давлению $p_0 = 1$ атм и температуре $T_0 = 273^\circ \text{K}$, получаем

$$\frac{\dot{U}_0 x}{S \sqrt{x^2 - 2 \ln x - 1}} = k_D \quad (11)$$

где

$$k_D = \left(\frac{T_0^2 P_0^{0,5} D^* k_2}{T^2 P_0^{0,75^{3/2}}} \right)^{1/2}, \quad (12)$$

k_D — постоянная величина при данных P и T ; k в уравнении (1) связан с k_2 равенством [8]:

$$k = \frac{T_0 k_2}{0,75^{3/2} P_0 T} \quad (13)$$

(опускаем численный множитель порядка единицы), поэтому

$$k_D = \left(\frac{k D^* T_0 P_0^{0,5}}{P_0 T} \right)^{1/2}. \quad (14)$$

Уравнение (9) эквивалентно полученному В. А. Ройтером и его авторами [5]. Форма, в которой уравнения даны здесь, удобна для нахождения D^* путем сопоставления результатов измерений в кинетической и диффузионной области.

Если U_0 выражено в $\text{см}^3/\text{час}$ и S в см^2 , то k_D по уравнению (11) получится в единицах $\text{см}^2/\text{час}$, т. е. размерность k_D совпадает с размерностью линейной скорости. Так как k выражена согласно уравнению (1) в единицах $\text{атм}^{1/2}/\text{час}$, то при использовании уравнения (14) для вычисления D^* получаем величины в единицах $\text{см}^2/\text{час}$.

В табл. 2 приведены значения k , вычисленные по уравнению (1) и значения k_D по уравнению (11) из результатов опытов с зерном катализатора диаметром 1,2 см. Как видно из таблицы, величины k не постоянны при изменении объемной скорости и, кроме того, в десятки раз меньше величины k_D , полученных в кинетической области (табл. 1). Величины k_D для данных P и T в противоположность величине k обнаруживают удовлетворительное постоянство при изменении объемной скорости. Отсюда можно заключить, что в рассматриваемых опытах реакция протекала в диффузионной области.

В табл. 3 приведены значения D^* при 1 атм, вычисленные из величины D (табл. 2) и k для кинетической области (табл. 1), при помощи уравнения (4). Как видно из таблицы, в пределах точности опытов D^* почти не зависит от температуры, как и следовало ожидать.

Таблица 3

Эффективные коэффициенты диффузии D^* при 1 атм

$t, ^\circ\text{C}$	350	400	450	500
$D^* \cdot 10^{-3},$ $\text{см}^2/\text{сек}$	8,7	7,7	8,6	7,0

Следует учесть, что условия восстановления для крупного зерна менее благоприятны, чем для мелких зерен, поэтому его каталитическая активность может быть несколько сниженной. Зерно диаметром 1,2 см после опытов, представленных в табл. 2, было пассивировано [13] и раздроблено, после чего было получено значение $k=14,8 \cdot 10^3 \text{ час}^{-1} \text{ атм}^{1/2}$ при 450° , т. е. в 1,3 раза меньше, чем в табл. 1. Согласно уравнению (14) это означает, что величины D^* должны быть увеличены в 1,3 раза. Поэтому можно считать, что при 1 атм, $D^*=1 \cdot 10^{-2} \text{ см}^2/\text{сек}$.

Эта величина близка к значениям эффективного коэффициента диффузии в порах обычного (плавленного) катализатора синтеза аммиака при 1 атм, полученным из прямых измерений [5, 6]*.

Измерения при 300 атм и 500° дали значение эффективного коэффициента диффузии $1,2 \cdot 10^{-3} \text{ см}^2/\text{сек}$. [9], отвечающее обычному механизму диффузии, при котором D^* обратно пропорционален давлению. Этому соответствует $D^*=0,36 \text{ см}^2/\text{сек}$. при 1 атм. Полученная в данной работе величина D^* значительно ниже. Отсюда следует, что существенную роль в механизме диффузии при 1 атм играют столкновения молекул аммиака со стенками пор катализатора. Однако, если бы осуществлялся чисто Фickовский механизм диффузии, величина D^* не должна бы зависеть от давления. В действительности, как видно из табл. 2, k_D практически не

* В работе [5] приведено значение $D^* = 1,2 \cdot 10^{-1} \text{ см}^2/\text{сек}$. (при 450°) для таблетированного катализатора и указано, что для плавленного катализатора была получена величина, на порядок меньшая. Следовательно, для плавленного катализатора $D^* \sim 10^{-2} \text{ см}^2/\text{сек}$.

зависит от давления: согласно уравнению (14), это означает, что D^* пропорциональна $P^{-0,5}$. Эта зависимость является промежуточной между ожидаемой для обычной и кнудсеновской диффузии. Поэтому можно предположить, что при давлениях порядка 1 атм наблюдается область, переходная от обычной к кнудсеновской диффузии.

Значение D^* позволяет судить о наибольшем размере частиц катализатора, при котором синтез аммиака еще протекает в кинетической области. Если пренебречь реакцией разложения аммиака, скорость синтеза обратно пропорциональна концентрации продукта (при $\alpha=0,5$).

Для реакции с такой кинетикой, происходящей в пористом сферическом зерне катализатора в условиях, когда диффузионное торможение невелико, но не полностью отсутствует, уменьшение скорости по сравнению с величиной, отвечающей кинетической области, определяется множителем $\left(1 - \frac{1}{15} \frac{\omega_c a^2}{L^* c}\right)$, где a — радиус зерна [12]. Практически можно определить радиус зерна, отвечающий границе кинетической области $a_{гр}$ условием

$$\frac{\omega_c a_{гр}^2}{D^* c} = 1, \quad (15)$$

при выполнении которого снижение скорости реакции благодаря диффузии равно $1/15$, т. е. 7%.

В проточно-циркуляционной системе

$$\omega_c = \frac{U c_i}{W}, \quad (16)$$

где W — объем катализатора. Введем время контакта τ при помощи равенства

$$\tau = \frac{W}{U}. \quad (17)$$

Тогда условие (15) дает весьма простое соотношение

$$a_{гр} = \sqrt{D^* \tau}, \quad (18)$$

Рассмотрим в качестве примера опыт при 450°C и 1 атм с объемной скоростью 67 200 час⁻¹ (табл. 1). Время контакта здесь равно $2 \cdot 10^{-2}$ сек (пренебрегая различием между объемом катализатора и слоя зерен). Так как $D^* = 1 \cdot 10^{-2}$ см²/сек, уравнение (18) дает для диаметра зерна, отвечающего границе кинетической области, $2a_{гр} = 0,3$ мм, что близко к размеру зерен, применявшихся в опытах, представленных в табл. 1. Поэтому можно считать предположение, что данные табл. 1 относятся к кинетической области, приближенно правильным.

Уравнение (18) показывает, что вопрос о границе кинетической области для реакции синтеза аммиака сводится к вопросу о величине эффективного коэффициента диффузии D^* . Поскольку кинетические измерения в диффузионной области, описанные выше, и измерение D^* методом диафрагмы [5] дают согласующиеся результаты, можно считать положение границы кинетической области установленным.

Выводы

Для изучения кинетики синтеза аммиака при низких давлениях применена система с двумя циклами циркуляции, использующая принцип проточно-циркуляционного метода.

Уравнение, описывающее процесс синтеза аммиака в диффузионной области, подтверждается результатами измерений скорости синтеза на сферическом зерне катализатора диаметром 1,2 см. Сопоставление данных

результатами, полученными с мелкими зернами катализатора, относя-
мися к кинетической области, дает значение эффективного коэффициен-
диффузии аммиака в порах катализатора при 1 атм, $D^* = 1 \cdot 10^{-2} \text{ см}^2/\text{сек.}$
о значение, по-видимому, отвечает области, переходной между кнудсе-
вской и обычной диффузией.

Величина D^* определяет границу кинетической области. Наибольший
диус зерна катализатора, при котором синтез аммиака протекает без
щественного диффузионного торможения, $a_{\text{гр}} = \sqrt{D^* \tau}$, где τ — время
нтакта.

Академия наук СССР
Физико-химический институт
им. Л. Я. Карпова
Москва

Поступила
7.VIII.1957

ЛИТЕРАТУРА

- В. А. Ройтер, Ж. физ. химии, 14, 1929, 1940.
М. Т. Русов, О. А. Стрельцов, Ц. В. Певзнер, Катализ, Изд-во
АН УССР, 1950, стр. 164.
М. Т. Русов, И. П. Сидоров, О. А. Стрельцов, Тр. ГИАП, 1,
Госхимиздат, 1953, стр. 84.
М. Т. Русов, Ц. В. Певзнер, Ж. физ. химии, 28, 1628, 1954.
В. А. Ройтер, Г. П. Корнейчук, Н. А. Стукановская, Ц. В.
Певзнер, Ж. физ. химии, 28, 1738, 1954.
С. Bokhoven, W. van Raayen, J. phys. Chem., 58, 471, 1954.
С. Bokhoven, C. van Heerden, R. Westrik, P. Zwisteling.
«Catalysis», 3, edited by P. H. Emmett, Reinhold, New York, 1955, стр. 265.
М. И. Темкин, С. Л. Киперман, Л. И. Лукьянова. Докл. АН
СССР, 74, 763, 1950.
В. Н. Шишкова, И. П. Сидоров, М. И. Темкин, Тр. ГИАП, 7, Гос-
химиздат, 1957, 62.
R. H. Harrison, K. A. Kobe, Chem. Ing. Progr. 49, 349, 1953.
М. И. Темкин, В. М. Пыжев, Ж. физ. химии, 13, 851, 1939.
В. М. Чередниченко, М. И. Темкин, Ж. физ. химии, 31, 157, 1957.
М. И. Темкин, В. М. Пыжев, Ж. физ. химии, 20, 151, 1946.

KINETICS OF AMMONIA SYNTHESIS AT LOW PRESSURES AND UNDER CONDITIONS OF DIFFUSION RETARDATION

O. F. Sokolova, N. M. Morozov and M. I. Temkin (Moscow)

Summary

A two cycle system based on the circulating-flow principle has been used in a kinetic
study of ammonia synthesis at low pressures.

An equation describing the synthesis in the region of diffusion kinetics has been
confirmed by the results of rate measurements on a spherical catalyst grain 1.2 cm in
diameter. Comparison of the results with those obtained in the kinetics region with a
fine-grained catalyst gives the value for the effective diffusion coefficient of am-
monia in the catalyst pores, which at 1 atm is: $D^* = 1.10^{-2} \text{ cm}^2/\text{sec.}$ This value
corresponds to a region intermediate between Knudsenian and ordinary diffusion.

О МЕХАНО-ХИМИЧЕСКИХ ЯВЛЕНИЯХ В ПОЛИМЕРАХ

I. ИССЛЕДОВАНИЕ ЯВЛЕНИЙ ХИМИЧЕСКОГО ТЕЧЕНИЯ
В КАУЧУКАХ И РЕЗИНАХ *

Г. Л. Слонимский и Е. В. Резцова

Недавно было открыто [2—4] химическое течение полимеров, развивающееся при воздействии на полимеры больших напряжений, вызывающих разрывы химических связей и перемещение образовавшихся свободных радикалов при их последующей рекомбинации.

В отличие от обычного течения линейных полимеров, при котором целые молекулы перемещаются с изменением формы, но без изменения своего химического строения, химическое течение может развиваться как в линейных, так и в пространственно-структурированных системах.

Совершенно очевидно, что явления химического течения должны быть наиболее ярко выражены при тяжелых силовых воздействиях, имеющих место в технических процессах переработки и формования полимеров. Одним из таких процессов является вальцование полимеров.

Представлялось существенным выяснить, насколько заметно химическое течение при вальцовании линейных высокоэластичных полимеров, а также, каковы основные черты химического течения в пространственно-структурированных высокоэластичных полимерах.

Экспериментальная часть

Поскольку наиболее типичными эластичными линейными полимерами являются каучуки, причем вальцование их представляет необходимую и важную стадию процесса изготовления резин, то в качестве объектов исследования были выбраны натрий-бутадиеновый каучук без антиоксиданта (СКБ-1) и технический бутадиенстирольный каучук СКБ-30А, а также полученные из этих каучуков и натурального каучука (НК) вулканизаты и термоструктурированные эластичные материалы, неспособные к обычному течению. Термоструктурирование СКБ проводилось в электропрессе при 200° С в течение 4—5 час. Образцы после прогрева представляли собой эластичные пластины, набухающие, но неустойчивые в органических растворителях (для краткости эти термоструктурированные каучуки в дальнейшем будем обозначаться СКБ-Т). Прочность на разрыв образцов СКБ-Т была 8—12 кг/см², относительное разрывное удлинение составляло около 1000%.

Резины из СКБ-1 изготавливались по стандартному способу с содержанием канальной сажи 60 вес. частей на 100 вес. частей каучука, а из НК по стандартному рецепту для ненаполненных резин **.

Влияние вальцования на изменение свойств полимера при переработке изучалось в процессе вальцования каучуков и резин на охлаждаемых микровальцах (15—20° С) при соотношении скоростей валков 1 : 1, 11 и с зазором несколько менее 1 мм. Навеска составляла 50—100 г. Длительность вальцования изменялась от 10 мин. до многих часов.

В качестве основных характеристик полимера были выбраны пластичность, стандартные механические характеристики [5] и удельная вязкость 1%-ных растворов каучуков в бензоле при 25° С.

* В зарубежной литературе механо-химическими явлениями называют те явления, в которых происходит превращение химической энергии в механическую. С нашей точки зрения, эта группа очень интересных и важных явлений представляет собой только одну из групп весьма многочисленных и разнообразных по своей форме и значению явлений, в которых в неразрывной взаимосвязи выступают механические и химические процессы. Все подобного рода явления и процессы мы называем механо-химическими [1].

** В качестве ускорителей были применены для СКБ и НК — каптакс и для СКБ-30А — альтакс с дифенилгуанидином.

Результаты исследований. Вальцевание линейных полимеров (каучуки). Пластичность СКБ-1лась двумя способами. Одна серия образцов вальцевалась в течение часа, после чего определялась пластичность.

Вторая серия образцов вальцевалась более длительное время (6 час. более) и контролировалась по вязкости бензольных растворов астицированного каучука.

После часового вальцевания на холодных вальцах число Дефо СКБ-1метно падает от значений 650 до 410 (в среднем). Каучук темнеет, становится мягким и легко деформируется. Однако при вальцевании на горячих льцах число Дефо снижается лишь до 550.

Таблица 1

Удельная вязкость 1%-ных бензольных растворов СКБ-1, вальцованного с добавками и без добавок

Каучук	Длительность вальцевания в часах							
	0	1/6	1	2	3	4	5	6
Б-1	5,0 4,7 4,8	3,7 4,1 4,7	3,0 3,2 3,3	3,2 3,0 3,0	0,4 3,3 3,1	0,2 0,5 3,3	0,1 0,25 0,8	0,1 0,1 0,4
Б-1 с добавкой 0,3% ди-трет-бутилгидрохинона	—	3,4	2,5	2,3	2,2	2,0	1,9	1,9
Б-1 с добавкой 0,3% дини-трила азоизомасляной кислоты	—	3,6	3,9	0,15	0,13	0,12	0,12	0,11
Б-1 с добавкой 0,3% перекиси бензоила	—	3,6	3,6	—	0,17	0,15	0,14	0,11

Следовательно, для способных к структурированию систем, кроме величины воздействующих сил, большое значение имеют также температурные условия деформации.

Однако при холодном вальцевании СКБ-1 изменение числа Дефо ясно вызывает развитие процесса деструкции каучука.

Во второй серии опытов (длительное вальцевание каучука СКБ-1) было обнаружено превращение эластического материала в жесткий, сопровождающееся почти полной потерей растворимости. При дальнейшем вальцевании провальцованного продукта ухудшение растворимости становится еще более четким.

Длительность вальцевания, приводящая к потере растворимости, колеблется в пределах 3—5 час. Оценку перехода от эластичного растворимого полимера к жесткому нерастворимому оказалось удобным производить по вязкости растворов. По мере вальцевания каучука сперва наблюдается степенное уменьшение вязкости его раствора. Затем, одновременно с появлением значительного количества нерастворяющегося, но набухающего каучука, вязкость раствора резко падает. Совершенно очевидно, что возникновение геля и резкое падение вязкости раствора являются следствием одного и того же явления — возникновения пространственной структуры, вследствие чего в раствор переходит лишь малая часть полимера. Соответствующие данные приведены в табл. 1.

Переход от растворимого полимера к нерастворимому зависит от условий вальцевания и чистоты продукта, вследствие чего он может происходить раньше или позже (табл. 1).

При вальцевании СКБ-Т более 6 час. последний становился совсем хрупким и, в конце концов, дробился на очень мелкие кусочки.

Несколько иначе изменяется при длительном вальцевании каучук ТС-30А. В этом случае перехода от деструкции к структурированию не

было обнаружено. Наблюдалось постепенное падение вязкости раствора вплоть до 15—18 час. вальцевания. В процессе дальнейшего вальцевания (до 21 часа) продукт практически мало менялся.

Такой ход изменений СКБ-30А в процессе длительного вальцевания вероятно, связан со стабилизацией его неозоном Д.

Вальцевание пространственно-структурированных эластичных полимеров. При вальцевании СКБ-Т на холодных вальцах (с минимальным зазором) в течение 45—60 мин. он превращался в пластичный продукт, напоминающий исходный каучук. Пластичность развальцованного СКБ-Т совпадает с пластичностью сырого натрий-бутадиенового каучука (табл. 2).

Таблица 2

Механические характеристики различных образцов СКБ-Т и изменение их пластичности при вальцевании на холодных вальцах (число Дефо исходного СКБ-1 равно 650)

Длительность вальцевания, минуты	Механические характеристики СКБ-Т до вальцевания			Число Дефо после вальцевания
	Сопротивление разрыву, кг/см ²	Относитель. разрывное удлинение, %	Остаточное удлинение, %	
30	6,7	1340	116	750
45	12,0	1020	68	575
50	7,8	960	52	420
60	8,8	544	18	700
60	5,6	356	6	650
60	6,0	812	36	450
60	4,0	1580	156	525
180	7,65	1280	112	350

Продукты, полученные из развальцованного СКБ-Т, смешивались сажой и другими ингредиентами в соответствии со стандартным рецептом для синтетических каучуков и вулканизовались обычным образом при +143° С, в течение 50 мин. Полученные таким способом резины приближались по упругим свойствам к стандартным резинам из СКБ-1. При этом были все же менее деформируемы, чем резины, полученные непосредственно из исходного СКБ-1 (табл. 3).

Таблица 3

Свойства резин из развальцованного СКБ-Т и из исходного СКБ-1

Каучук	Механические свойства вулканизатов						
	Модуль, кг/см ² ; % растяжения:				Сопротивл. разрыву, кг/см ²	Относит. разрывное удлин., %	Остаточное удлинение, %
	100	200	300	400			
Развальцованный СКБ-Т	15,2	40,5	73,5	106,5	119,5	428	16
	18,1	40,7	72,5	101,5	108,5	420	16
	30,0	73,0	—	—	108,0	276	13
	22,4	65,0	—	—	105,0	294	12
	68,5	—	—	—	112,5	188	12
	62,0	—	—	—	97,5	180	12
	18,0	36,0	63,5	88,5	108,5	492	32
	20,3	40,6	66,0	94,0	117,0	476	32
	45,3	—	—	—	97,0	196	8
	46,0	—	—	—	85,0	196	8
СКБ-1	25,0	50,0	88,0	137,0	169,0	484	32
	23,0	46,0	84,0	126,0	161,0	476	24

Образование продуктов, аналогичных сырым смесям, наблюдалось и при длительном вальцевании резин из натурального каучука, изготовленных по стандартным рецептам.

В этом случае для хорошей ненаполненной резины из смокед-шита требовалось 3—4-часовое непрерывное вальцевание, на холодных вальцах (с минимальным зазором). В начальной стадии вальцевания резина крошилась, после 20—30-кратного пропуска через зазор валков начинала собираться в шкурку, а затем вальцевалась как обычная смесь, хорошо обволакивая валок. Данные по пластичности вальцованного продукта дают показатели, близкие с исходным каучуком, смокед-шитом.

Полученная смесь после вальцевания снова вулканизовалась при 143°C, в течение 30 мин.

Механические характеристики таких развальцованных и повторно вулканизованных смесей из натурального каучука соответствуют резинам из ненаполненного СКБ-1 (табл. 4).

Можно предполагать, что молекулы натурального каучука после вальцевания резины уже не сохраняют линейного характера и приближаются по молекулярному строению к молекулам натрий-бутадиенового каучука СКБ-1. С этим, вероятно, и связано весьма заметное снижение прочностных свойств повторно вулканизованных ненаполненных резин из смокед-шита и усиливающее действие наполнителя (сажи). Подобные явления, очевидно, происходят и в процессе регенерации резин.

Аналогичное вальцевание термоструктурированных и технических резин из бутадиен-стирольного каучука также приводило к получению из них систем, близких к сырым смесям, из которых можно было получить вулканизаты.

Обсуждение результатов

Хотя явление деструкции натурального каучука, полиизобутилена и других полимеров при валь-

Таблица 4

Свойства резин из развальцованных вулканизатов НК

Тип резины	Длительность вальцевания на холодных вальцах, часы	Число деформаций, повторов, резины		Условия вальцевания, развальцовывания, резины	Модуль, кг/см ² , % растяжения:				Сопротивление разрыву, кг/см ²	Относительное разрывное удлинение, %	Относительное остаточное удлинение, %
		20°C	80°C		100	200	300	400			
Ненаполненная стандартная резина из развальцованного вулканизата НК	3	3000	1050	143°—30'	6,9	15,1	—	—	24,5	292	0
То же	3	3500	—	143°—30'	6,0	7,5	—	9,2	13,5	732	10,0
»	4	4000	—	143°—30'	6,0	—	9,02	—	13,2	188	0
»	4,5	—	600	143°—30'	—	—	—	—	11,0	505	12,0
»	4,5	1750	—	143°—30'	0,3	—	2,76	—	21,2	180	8,0
»	4	4000	—	143°—30'	55,0	—	—	—	101,0	180	5,6
»	3,5	2000	—	С сажей 143°—30'	73,0	—	—	—	116,0	156	8,0
Ненаполненная резина из СКБ-1	Без вальцевания	—	—	С сажей 143°—80'	4,6	9,6	13,7	—	21,8	468	8,0

цевании известно очень давно, тем не менее до последнего времени на него не обращалось должного внимания. Почему-то считалось, что явления химического изменения структуры вальцуемого полимера (деструкция или структурирование, связанные в той или иной степени с окислительными процессами) лишь сопутствуют основному процессу — процессу течения полимера, развивающемуся при вальцевании. При этом процесс течения полимера считался аналогичным течению низкомолекулярной жидкости, состоящим в вынужденном перемещении молекул относительно друг друга. Специфика полимера учитывалась тем, что принимались во внимание эластичность текущей массы и особый характер теплового движения длинных цепных молекул — перемещения участками.

Следует особо отметить, что общий характер процессов химического изменения полимера, происходящих при вальцевании каучука и при многократных деформациях резин, замечен был уже несколько лет назад [6, 7]. В этих и более поздних работах [8] был сделан совершенно правильный вывод об определяющей роли явлений механического разрыва химических связей в цепных молекулах полимеров при многократном воздействию деформирующих сил, т. е. при утомлении полимера. В этих же работах было обращено внимание на вторичные химические процессы, развивающиеся в полимере вследствие образования свободных радикалов при механических воздействиях на него. Таким образом была показана определяющая роль механохимических явлений в процессах утомления.

Как мы уже упоминали в начале статьи, недавно было показано [2—4], что наряду с обычным хорошо известным механизмом течения существует другой механизм, связанный с механической деструкцией цепных молекул и рекомбинацией образующихся свободных радикалов. Такое химическое течение является единственно возможным в случае переработки пространственно-структурирующихся полимеров.

Полученные нами результаты, а также и литературные данные [9—11] ясно показывают, что и в случае вальцевания сырых резиновых смесей механохимические явления, т. е. механический разрыв цепных молекул с образованием свободных радикалов и последующим развитием связанного с этим комплекса химических процессов, играют очень важную роль, которая в ряде случаев становится более существенной, чем процесс обычного течения полимера, происходящий без химического изменения цепных молекул. Следовательно, необходимо отказаться от представления, что деструкция или структурирование при вальцевании, а также при других способах переработки полимеров, использующих воздействия больших сил (например, при каландрировании, шприцевании, прессовании и т. п.), являются лишь сопутствующими течению.

Обнаруженное влияние малых добавок (табл. 1), способных инициировать или обрывать цепные радикальные процессы, на кинетику изменения свойств каучуков при их вальцевании указывает на возможность регулирования технологических свойств сырых резиновых смесей путем введения таких добавок в процессе смешения и переработки смеси.

С другой стороны, значительная чувствительность изменения свойств каучука при его вальцевании к упомянутым добавкам прямо указывает на определяющую роль механохимических явлений при вальцевании на холодных вальцах. Естественно, что с повышением температуры обычное течение каучука должно играть большую роль. Однако и при повышенных температурах, судя по имеющимся данным, механохимические явления должны быть вполне заметными.

Наличие двух различных по своему механизму процессов течения требует при моделировании в условиях лаборатории развивающихся при производственной переработке процессов учитывать соотношение этих явлений течения. Обычно в лаборатории для оценки свойств полимеров применяют приборы, воздействующие на образцы относительно малыми по величине силами. Поэтому вполне естественно, что такие измерения не отра-

жают (или отражают в очень малой степени) процессы химического течения, определяющего поведение полимера в практически важных условиях. Из сказанного вытекает необходимость развития новых методов оценки свойств полимеров, способных учесть химическое течение. Только в этом случае можно ожидать соответствия лабораторных и производственных оценок.

Приведенные в этой статье данные, показывающие возможность образования систем, близких к сырым резиновым смесям, из вулканизатов каучуков и термоструктурированного СКБ-1 прямо доказывают наличие механической деструкции при вальцевании пространственно-структурированных полимеров. Замеченное в наших опытах появление структурирования при очень длительном вальцевании и установление относительно устойчивых характеристик смеси в процессе вальцевания доказывает наличие одновременно идущих процессов механической деструкции и обусловленного наличием образующихся свободных радикалов структурирования. Отсюда ясно большое значение механохимических явлений и, в частности, химического течения, для развития представлений о механизме процесса регенерации резины и о роли различных агентов регенерации.

Таким образом механохимические явления должны играть существенную роль не только при утомлении полимеров, но и при их технологической переработке, определяя в той или иной степени как технологические свойства полимеров или их смесей в процессе переработки, так и свойства готовых изделий.

В заключение выражаем искреннюю благодарность акад. В. А. Каргину за постоянный интерес и весьма ценные для нас советы, данные в процессе выполнения работы.

Выводы

1. Показана существенная роль механохимических явлений при изготовлении и переработке сырых резиновых смесей. Обращено внимание на необходимость учета явления химического течения в этих процессах.
2. На примере различных вулканизатов показана возможность механической переработки пространственно-структурированных полимеров. Обращено внимание на значение механохимических явлений в процессе регенерации резин.
3. Показано влияние небольших добавок веществ, образующих свободные радикалы или взаимодействующих с ними, на кинетику изменения свойств полимера при его длительном вальцевании. Обращено внимание на возможность регулировки свойств полимера в процессе переработки.
4. Выяснена необходимость учета явления химического течения для разработки объективных методов лабораторной оценки технологических свойств полимеров.

Научно-исследовательский институт
пивной промышленности МХП СССР
Москва

Поступила
8.VIII.1957

ЛИТЕРАТУРА

1. Г. Л. Слонимский, Е. В. Резцова, Б. Г. Липкина, М. С. Льюис-Риера, Тезисы докладов 9-й конференции по общим вопросам химии и физики высокомолекулярных соединений, Изд-во АН СССР, Москва, 1956, стр. 162.
2. В. А. Каргин и Т. И. Соголова, Докл. АН СССР, 108, 662, 1956.
3. В. А. Каргин, Т. И. Соголова, Г. Л. Слонимский, Е. В. Резцова, Ж. физ. химии, 30, 1903, 1956.
4. В. А. Каргин и Т. И. Соголова, Ж. физ. химии, 31, 1328, 1957.
5. Г. Ш. Израелит, Механические испытания резины и каучуков, Госхимиздат, М., 1949.
6. Г. Л. Слонимский, В. А. Каргин, Г. Н. Буйко, Е. В. Резцова и М. С. Льюис-Риера, Докл. АН СССР, 93, 523, 1953.

7. Г. Л. Слонимский, В. А. Каргин, Г. Н. Буйко, Е. В. Резцова, М. С. Льюис-Риера, Сборник «Старение и утомление каучуков и резин и повышение их стойкости», ГНТИ Хим. лит., Ленинград, 1955, стр. 100.
 8. В. А. Каргин и Г. Л. Слонимский, Докл. АН СССР, 105, 751, 1955.
 9. M. Pike and W. F. Watson. J. Polymer Sci., 9, 229, 1952.
 10. D. J. Angier and W. F. Watson, J. Polymer Sci., 18, 129, 1955.
 11. G. Avey, C. G. Moore and W. F. Watson, J. Polymer Sci., 19, 1, 1956.
-

MECHANO-CHEMICAL PHENOMENA IN POLYMERS

I. A STUDY OF CHEMICAL FLOW IN RAW AND VULCANIZED RUBBERS

G. L. Slonimskiĭ and E. V. Reztsova (Moscow)

Summary

A study has been made of the recently discovered phenomenon of chemical flow in the mastication of rubbers and it has been demonstrated that mechano-chemical processes play an important part in the preparation and processing of raw rubber stocks. It has been shown theoretically possible to control mechano-chemical phenomena arising in the process of the mechanical working of the polymers by adding to the mixtures substances that will generate free radicals or react with them.

Stress has been laid on the necessity of taking into account mechano-chemical processes (chemical processes due to the mechanical rupture of chemical bonds) in the theoretical treatment of rubber regenerating processes and of the processing of raw rubber stocks, as well as for developing laboratory methods for the evaluation of the technological properties of the polymers.

ПОВЕРХНОСТНЫЕ ЯВЛЕНИЯ ПРИ КОРРОЗИИ ТВЕРДЫХ
РАСТВОРОВ МЕТАЛЛОВ

СИСТЕМА Cd—Hg

Н. Н. Грацианский и А. К. Рябов

Коррозионные процессы на границе твердый раствор металлов — коррозионная среда приводят к разрыхленности кристаллических решеток и поверхности сплава, повышению числа вакантных мест в решетках поверхностного слоя, изменению их состава, активизации оставшихся атомов за счет потери связи с ушедшими в раствор атомами, а также, в некоторых случаях, повышения их активности за счет происходящих на границе раздела химических процессов. Все это способствует возникновению активной диффузии атомов в поверхностном слое сплава на границе с коррозионной средой.

Возникающие диффузионные процессы в поверхностном слое могут привести к восстановлению кристаллических решеток и образованию коррозионно-стойкого поверхностного слоя или усилению коррозионного разрушения сплава [1].

При образовании поверхностных слоев, граничащих с коррозионными средами, необходимо учитывать также термодинамические самопроизвольные процессы диффузии поверхностно-активных компонентов из поверхностных слоев поверхностного слоя на границу раздела сплав — коррозионная среда. В связи с указанным процессом может происходить ускорение или ослабление растворения сплава. Если поверхностно-активный компонент, входящий в сплав, в то же время является коррозионно-нестойким элементом в данной среде, то в результате происходящих процессов и возникающей диффузии будет происходить активирование поверхности и увеличение скорости коррозии сплава.

Если поверхностно-активный компонент, входящий в сплав, в то же время будет являться коррозионно-стойким элементом в данной среде, в результате происходящих процессов и возникающей диффузии будет происходить пассивирование поверхности сплава и прекращение ее растворения или частичное торможение процесса растворения.

Изучение коррозионного процесса твердых растворов металлов и образования коррозионно-стойкого поверхностного слоя на границе с коррозионной средой, без учета влияния поверхностно-активного компонента сплава, будет неполным. Поэтому необходимо было провести измерение поверхностного натяжения σ исследуемых металлов и сплавов в зависимости от их состава.

Для измерения σ твердых поверхностей металлов и сплавов на границе с коррозионной средой нет надежных методов. Наиболее реальным является изучение σ расплавленных металлов и сплавов на границе с собственным паром.

Как известно, дифракционная картина рассеивания рентгеновых лучей при температурах, близких к температурам плавления металлов и сплавов, весьма сходна с дифракционной картиной для тех же металлов в твердом состоянии, и силы взаимодействия между частицами в твердом и расплавленном состоянии не имеют существенного различия. Поверхно-

стное натяжение является характерным проявлением этих сил. Однако твердые металлы обладают относительно меньшей подвижностью атомов, чем расплавленные металлы.

Мы производили измерения σ твердых растворов металлов систем Cd—Hg в зависимости от концентрации компонентов, с целью выяснения поверхностной активности компонентов, входящих в сплав, и влияния их на коррозионную стойкость образующегося во время коррозии поверхностного слоя сплава. Также измеряли σ чистых металлов: ртути и кадмия. Кроме того, нами сделано сопоставление фазовых превращений на диаграмме Cd — Hg с величинами σ сплавов. Измерения производились при температурах около 30° выше температур плавления металлов и температур ликвидуса сплавов на границе с собственным паром.

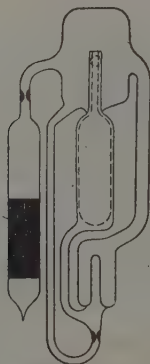


Рис. 1

Рис. 1. Гравитационный стеклянный прибор для измерения поверхностного натяжения металлов: 1 — исследуемый металл

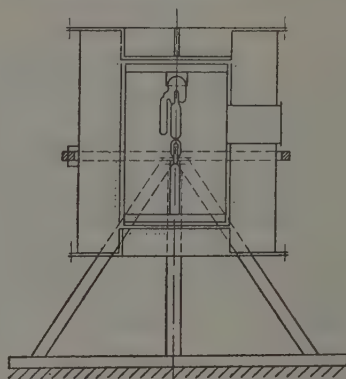


Рис. 2

Рис. 2. Термостат с прибором для измерения поверхностного натяжения металлов

Насколько нам известно, в настоящее время нет работ по изучению влияния поверхностно-активных компонентов сплава на коррозионную стойкость поверхностного слоя, образующегося на поверхности твердых растворов металлов, граничащих с коррозионной средой.

Для изготовления сплавов были взяты чистый кадмий и ртуть. В результате спектрального анализа металлов было установлено, что кадмий содержал следы меди и свинца, а ртуть не содержала металлических примесей.

Сплавление компонентов производилось в вакууме в специальном стеклянном сосуде.

Были использованы сплавы следующих составов (вес. %): 1) чистая ртуть; 2) Cd — 1,0; 3) Cd — 5,0; 4) Cd — 25,0; 5) Cd — 40,0; 6) Cd — 49,5; 7) Cd—60,0; 8) Cd — 75,0; 9) чистый кадмий.

Измерение σ производилось в вакуумном приборе на границе с собственным паром. Прибор (рис. 1) для измерений σ представляет собой несколько видоизмененный гравитационный прибор П. П. Пугачевича [2]. Изменения в приборе были сделаны в связи со спецификой измерения металлов методом максимального давления в капле при средних и высоких температурах. В тщательно обезжиренный, промытый спиртом и высушенный прибор помещался стержень исследуемого металла. Открытый конец трубки прибора припаивался в вакуумной установке. После откачки воздуха прибор запаивался и помещался в термостат (рис. 2). Термостат пред-

представляет собой цилиндрическую печь, вращающуюся вокруг своих вертикальной и горизонтальной осей. Это дает возможность переливать расплавленный металл в приборе, не вынимая его из термостата.

Прибор вставляется в термостат через одну из крышек, которые также имеют нагревательную обмотку. Наблюдение за прибором производится через стеклянное окошко. После достижения требуемой температуры производили измерения для расчета σ расплавленного металла.

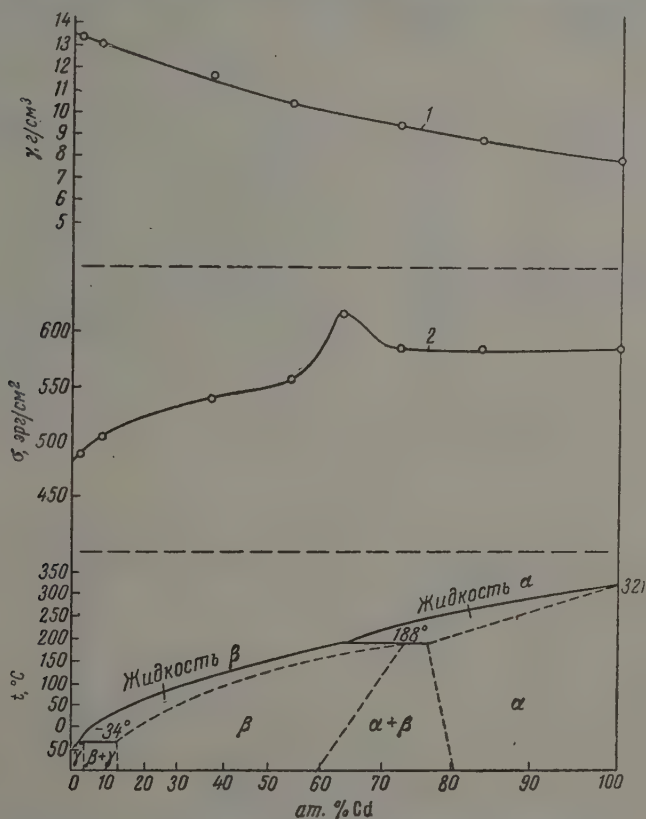


Рис. 3. 1 — удельный вес Cd — Hg сплавов в зависимости от состава; 2 — поверхностное натяжение Cd — Hg сплавов в зависимости от состава

Начало стекания капель через капилляр сопровождается подъемом уровня металла в измерительной трубке. Нижний и верхний уровни металла фиксируются катетометром.

Зная высоту поднятия металла над верхним концом капилляра, вычисляли σ по формуле Кантора, дополненной Б. И. Берингом и Н. Л. Покровским [3].

Как известно, для расчета σ необходимо знать удельный вес γ расплавленного металла при измеряемой температуре. Определение γ сплавов проводили в том же термостате в специальном стеклянном сосуде, предварительно отградуированном по ртути. В сосуд помещался сплав, и после откачивания воздуха он запаивался. Поворотом термостата в градуированную часть сосуда наливали расплавленный металл. Катетометром измеряли высоту металла в сосуде и рассчитывали его объем. Поправкой на

изменение объема сосуда за счет термического расширения, ввиду не большой его величины, мы пренебрегали.

После взвешивания металла рассчитывали удельный вес.

В таблице приводим полученные величины σ и γ для чистых металлов Hg и Cd, а также Cd — Hg сплавов.

На рис. 3 полученные величины σ металлов и сплавов сопоставлены диаграммой фазовых превращений Cd — Hg.

Как видно, из рис. 3, величина σ сплавов, богатых кадмием, с увеличением концентрации Hg от 0 до 30 ат. %, мало изменяется. Резкое увеличе

Температура испытания, °C	γ , г/см^3	σ , эрг/см^2
-10	13,62	487
0	13,45	490,5
+52	13,20	506
145	11,84	541
193	10,53	558
215	10,24	618
258	9,53	587
312	8,8	586
350	7,95	586

ние σ сплава наблюдается при 35 ат. % Hg в точке, соответствующей переходу α -фазы в β -фазу, на диаграмме фазовых превращений. Величина σ сплавов, богатых ртутью, с увеличением концентрации от 0 до 55 ат. % Cd постепенно увеличивается. Кадмий является поверхностно-неактивным в системе Cd — Hg.

Так как ртуть в системе Cd — Hg на границе с коррозионной средой является коррозионно-стойким компонентом [3] и одновременно повер

хотно-активным, это способствует более быстрому образованию коррозионно-стойкого поверхностного слоя, состоящего из ртути и предохраняющего Cd — Hg сплав от коррозии в агрессивных средах.

Выводы

1. Произведены измерения поверхностного натяжения σ чистых кадмия и ртути, а также сплавов системы Cd — Hg в зависимости от концентрации компонентов, входящих в сплав.

2. Поверхностное натяжение ртути при -10°C равно 487 эрг/см^2 , кадмия при 350°C равно 586 эрг/см^2 .

Величина σ сплавов, богатых кадмием, с увеличением концентрации Hg от 0 до 30 ат. % мало изменяется и равна $586\text{—}587 \text{ эрг/см}^2$. Величина σ сплава при 35 ат. % Hg в точке, соответствующей переходу α -фазы в β -фазу на диаграмме фазовых превращений, равна 618 эрг/см^2 . Величина σ сплавов, богатых ртутью, с увеличением концентрации Cd от 0 до 55 ат. % постепенно увеличивается от 487 до 558 эрг/см^2 .

3. В системе Cd — Hg на границе с коррозионной средой кадмий является поверхностно-неактивным. Так как ртуть в системе Cd — Hg на границе с коррозионной средой является коррозионно-стойким компонентом и одновременно поверхностно-активным, это способствует более быстрому образованию коррозионно-стойкого поверхностного слоя, состоящего из ртути и предохраняющего Cd — Hg сплав от коррозии в агрессивных средах.

Институт общей и
неорганической химии
Киев

Поступила
8.VIII.1957

ЛИТЕРАТУРА

1. Н. Н. Грацианский и М. Л. Каплан, Ж. физ. химии, 31, 418, 1957.
2. П. П. Пугачевич и В. А. Константинов, Докл. АН СССР, 57, 797, 1947.
3. Б. П. Беринг и Н. Л. Пожровский, Ж. физ. химии, 7, 509, 1936.

FACE PHENOMENA IN THE CORROSION OF SOLID SOLUTIONS OF METALS

N. N. Gratsianskiĭ and A. K. Ryabov (Kiev)

Summary

Measurements have been made of the surface tension σ of alloys of the system Cd—Hg with respect to the concentrations of their constituents. Measurements were also made of the pure metals. The determinations were carried out at temperatures of about 30°, lower than the melting points of the pure metals and the liquidus temperatures of the alloys, at the phase boundaries with the respective vapors.

The surface tension of mercury at -10° is 487 erg/cm^2 and of cadmium at 350° , 618 erg/cm^2 .

The value of σ for cadmium rich alloys changes little on increasing the Hg concentration from 0 to 30 at %, being equal to $586\text{--}587 \text{ erg/cm}^2$. The value for the alloy at 35 at% Hg, which is the point of transition from the α to the β -phase on the phase transition diagram, is 618 erg/cm^2 . The value for mercury rich alloys gradually increases on increasing the cadmium content from 0 to 55 at% from 487 to 558 erg/cm^2 .

In the system Cd — Hg cadmium is surface inactive at the interface boundary with the corrosive medium. Since in the system Cd — Hg mercury is the stable component with respect to corrosion at the corrosive medium interface and at the same time the surface is active, the formation of a corrosion stable surface layer of mercury is facilitated, which protects the Cd — Hg alloy from corrosion in aggressive media.

ИССЛЕДОВАНИЕ ПРИРОДЫ ОТКЛОНЕНИЙ ЗАКОНОМЕРНОСТЕЙ
ХИМИЧЕСКОЙ АДСОРБЦИИ ОТ ЛЭНГМЮРОВСКИХ ПРИ ПОМОЩИ
ИЗОТОПНЫХ МЕТОДОВI. ИССЛЕДОВАНИЕ АДСОРБЦИИ ЭТИЛОВОГО СПИРТА НА ZnO *Н. П. Кейер*

Изучение закономерностей химической адсорбции и превращений спиртов в адсорбционном слое окиси цинка представляет интерес, так этот окисел является активным катализатором дегидрирования спиртов. Исследование показало, что закономерности адсорбции и десорбции метилового и этилового спиртов на ZnO отклоняются от лэнгмюровских [1,2]. Отклонение может быть связано с неоднородностью активной поверхности [3], кулоновским взаимодействием между адсорбированными молекулами, обладающими постоянным или индуцированным дипольным моментом, и электронными процессами, протекающими при химической адсорбции [4]. Часто две последние причины условно называют общим термином «взаимодействие» или «индуцирование» а также «эффективная» неоднородность. Для построения теории химической адсорбции важно оценить степень влияния каждого из этих факторов. Специально разработанные для этой цели изотопные методы позволяют выяснить влияние неоднородности активной поверхности в условиях, исключающих взаимодействие [5], и, наоборот, оценить суммарный эффект взаимодействия в условиях, исключающих влияние неоднородности [6]. Используя меченые молекулы, можно одновременно следить за химическим превращением, которое претерпевают адсорбированные молекулы в «адсорбционном» слое при повышении температуры [2].

Применяя меченый радиоактивным углеродом C^{14} этиловый спирт, изучали закономерности адсорбции и превращения его в адсорбционном слое.

Экспериментальная часть

Характеристика катализатора и методика исследования. Окись цинка готовилась разложением гидроокиси при $300^\circ C$ в реакторной установке. Перед опытом образец обезгаживался при $500^\circ C$. Между опытами регенерировался обработкой кислородом при $500^\circ C$ с последующим обезгаживанием при той же температуре. Адсорбционная способность регенерированных образцов не отличалась от исходных. Адсорбция измерялась по падению давления, регистрируемому U-образным ртутным манометром. Катализатор защищался от ртути тампоном из золотой проволоки. Золотая проволока и образующаяся ртуть амальгама спирта не адсорбировали. Конденсирующиеся продукты десорбции ражигивались в ловушке, погруженной в жидкий азот, неконденсирующиеся продукты откачивались специальным ртутно-конденсационным насосом в объем, где давление фиксировалось по манометру Мак-Леода. Конденсирующиеся продукты разделялись благодаря различию в упругости пара этилена, CO_2 , ацетальдегида и воды. При температуре плавления аллилового спирта (-129°), этилового спирта (-112°), кислот (-78°) и хлористого кальция (-30° — -12°). Химический состав выделенных продуктов определялся по упругости пара и сжиганием. Сжигание проводилось раскаленной током платиновой проволоке в специальном приборе, описанном в [6]. Для определения содержания радиоактивного углерода углекислый газ, полученный при сжигании, переводился в карбонат бария, удельная радиоактивность которого определялась на счетчике со слюдяным окошком [7].

Удельная поверхность испытывавшейся ZnO , найденная методом БЭТ из равной изотермы адсорбции этилового спирта, равнялась $12 \pm 1 \text{ м}^2/\text{г}$. Закономности адсорбции и десорбции этилового спирта. Адсорбция этилового спирта при комнатной температуре протекает за 45 сек. до заполнения 80—85% от монослоя. При заполнении поверхности ниже равновесное давление пара этилового спирта остается ниже $10^{-4} \text{ мм рт. ст.}$, и после десорбции его при комнатной температуре неизмеримо мала. Чем ниже степень заполнения поверхности, тем выше температура, при которой обнаруживается адсорбция. Адсорбированный спирт на 94% от монослоя может быть снят с поверхности при нагреве до 450°С . При этом около 50% спирта от количества, составляющего монослой, претерпевает изменение и удаляется с поверхности в виде CO_2 и частично воды. Спирт, адсорбированный сверх 50% составляющего монослой, десорбируется в основном виде. В продуктах десорбции выше 160°С в небольшом количестве обнаруживаются водород и метан. Около 6% адсорбированного спирта снимается только в виде воды во время обработки кислородом, при 100°С . Содержание альдегида в продуктах десорбции этилового спирта в адсорбционном слое оказалось очень небольшим, всего около 3% в расчете на разложенный спирт. Проверка каталитической активности ZnO по адсорбционным опытам, в условиях струевого аппарата, показала, что выход альдегида при разложении этилового спирта не отличается от обычного и составляет 95% от обычного спирта. Скорость десорбции этилового спирта при комнатной температуре падает не пропорционально с изменением степени покрытия поверхности. На рис. 1 показано изменение скорости десорбции этилового спирта от заполнения поверхности. Можно видеть, что константа скорости по мере десорбции падает. При изменении степени заполнения поверхности на 15% она снижается в 2 раза. Для удаления этилового спирта с поверхности приходится поэтому повышать температуру катализатора. Изменение константы скорости, как отмечалось, может быть связано с влиянием неоднородности активной поверхности и взаимодействием. Изотопные методы позволили выяснить влияние каждого из этих факторов.

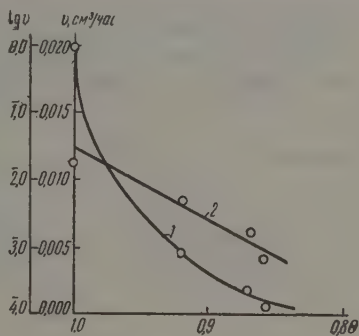


Рис. 1. Зависимость 1 — скорости и 2 — логарифма скорости десорбции адсорбированного при 22° этилового спирта от заполнения поверхности. Десорбция при той же температуре

Исследование неоднородности активной поверхности и взаимодействия. Дифференциальный изотопный метод, сущность которого много раз излагалась [5], позволяет обнаружить неоднородность активной поверхности. Опыт проводился, как описано ниже. В реактор с тренированным катализатором вводилась порция меченого этилового спирта, которая полностью адсорбировалась за несколько секунд. Покрытие поверхности адсорбированным меченым спиртом составляло 13% от монослоя. Затем при той же температуре вводилась порция обычного этилового спирта, которая адсорбировалась полностью за 15—30 сек. Суммарное заполнение поверхности этиловым спиртом составляло 85% от монослоя. Если поверхность неоднородна, т. е. энергии активации и теплоты адсорбции на различных участках поверхности отличаются, то изотопный состав смеси, снимаемой с поверхности порций этилового спирта и продуктов его превращения, по мере десорбции, не будет оставаться постоянным. Подогревая постепенно температуру до 460°С , небольшими порциями, снимали меченый спирт и продукты его превращения, которые разделялись и анализировались на содержание радиоактивного углерода. Давление над катализатором во время десорбции не превышало $10^{-4} \text{ мм рт. ст.}$. Анализ всех десорбированных порций этилового спирта и продуктов его превращения показал, что содержание радиоактивного углерода было близко к среднему содержанию меченого спирта на поверхности (12—16%). Уравнение изотопного состава свидетельствует, что при комнатной температуре неоднородность не оказывает влияния на адсорбцию этилового спирта.

Дополнительные данные могло дать исследование обмена адсорбированного этилового спирта со спиртом из газовой фазы. При изучении обмена выяснилось, что при 20° С за 1 час происходит полное перераспределение спирта между газовой фазой и адсорбционным слоем, при этом содержание радиоактивного углерода в спирте над катализатором и во всех трубках, десорбируемых при нагревании до 450° С, составляет 13—14%.

Исследование изменения прочности связи адсорбированного при комнатной температуре этилового спирта под влиянием нагрева. Изменение скорости обмена при комнатной температуре между адсорбированным спиртом и находящимся в газовой фазе было использовано в качестве меры изменения прочности связи или химического превращения.

Таблица

Исследование обмена при 22°С адсорбированного меченого спирта со спиртом того же изотопного состава после прогрева контакта

t, °С	Количество десорбированного газа, см ³	Химический состав десорбированного газа	Содержание меченого продукта в десорбированном газе, %	Условия опыта
22	8,57	Спирт	8	Навеска 3 г
70	1,47	»	7	I порция меченого спирта адсорбирована при 22°С. После прогрева 185°С осталось 4,0 см ³ (72 % от нослой)
175	0,60	»	16	II порция спирта обычного изотопного состава введена при комнатной температуре, 9,3 см ³
305	0,44	СО ₂ и этилен	29	Среднее содержание меченого спирта в двух порциях 30%
450	2,95	То же	76	
	0,60	Вода		

ния адсорбированного этилового спирта в адсорбционном слое. Была проведена серия опытов, в которых окись цинка с адсорбированным меченым этиловым спиртом нагревалась до определенной температуры, выдерживалась при ней заданное время, затем температура снижалась до комнатной, и измерялась скорость обмена с обычным спиртом. Опыты показали, что прогрев ZnO с адсорбированным спиртом лишает значительную часть последнего способности обмениваться при комнатной температуре. Это свидетельствует об изменении прочности связи адсорбированного спирта, произошедшей во время нагревания катализатора. В табл. 1 даны результаты одного из опытов, в котором нагрев продолжался в течение 2 час., один час при 185° С и один час при 165° С. Можно видеть, что способность обмениваться утратилась у 80 % меченого спирта из оставшегося на поверхности после прогрева. У определенной доли адсорбированного спирта прочность связи повышается без разрушения молекулы. Об этом свидетельствует в два раза более высокое содержание меченого спирта в порции, десорбированной при 175° С, по сравнению с содержанием его в газовой фазе после обмена. Из опыта можно так же сделать вывод, что при увеличении степени заполнения поверхности скорость десорбции повышается. Действительно, если бы не было дополнительной адсорбции, меченый спирт мог бы быть десорбирован только при температуре выше 185° С в виде СО₂ и этилена, после дополнительной адсорбции он десорбируется при 175° С в виде спирта.

Несмотря на длительный прогрев (2 часа) при высокой температуре часть этилового спирта сохраняет способность быстро обмениваться при комнатной температуре, т. е., по-видимому, прочность связи этилового спирта мало отличается от слабой связи, образовавшейся во время адсорбции при комнатной температуре. Чтобы разобраться, почему из

ение прочности связи происходит только у части адсорбированного спирта, важно было установить, связано ли это с равновесием между «слабой» и «прочной» * формой связи или с низкой скоростью этого периода на отдельной части неоднородной поверхности. Для выяснения, возможен ли обратный переход «прочной» связи в «слабую», был поставлен специальный опыт. При комнатной температуре измерялся обмен адсорбированного при той же температуре меченого спирта после прогрева катализатора с ним в течение 1 часа при $142^{\circ}C$. После длительного времени устанавливается постоянная скорость обмена, которая затем мало меняется во времени. После установления постоянной скорости обмена спирт из реактора откачивался, и катализатор снова выдерживался 1 час при $142^{\circ}C$. Если существует обратный переход, то обменивавшийся слабо связанный этиловый спирт обычного изотопного состава во время

Таблица 2

Исследование поверхности ZnO дифференциальным изотопным методом

$^{\circ}C$	Количество десорбированного газа, $см^3$	Химический состав десорбированного газа	Содержание меченого продукта в десорбированном газе, %	Условия опыта
22	Нет	—	—	Навеска 3 г
150	2,42	Спирт	70	I порция спирта обычного изотопного состава адсорбирована при $22^{\circ}C$. После прогрева в течение часа при $217^{\circ}C$ осталось 2,38 $см^3$ спирта (43% от монослоя)
175	Нет	—	—	II порция меченого спирта адсорбирована при $22^{\circ}C$ в количестве 2,36 $см^3$
250	0,30	Спирт	50	Среднее содержание меченого спирта в двух порциях на катализаторе 50%
310	0,15	CO_2 и этилен	—	
420	0,44	То же	30	
	2,65	» »	27	
	0,74	Вода	—	

прогрева обогатится меченым более прочно связанным спиртом. Это должно было привести к повышению скорости последующего обмена при комнатной температуре. Опыт показал, что после второго прогрева скорость обмена снизилась в пять раз по сравнению с конечной скоростью, в то время как количество меченого спирта на поверхности изменилось всего на 2%. Это изменение произошло вследствие десорбции части его при нагревании. Из этого опыта следует сделать вывод, что переход «прочной» адсорбированного этилового спирта в «слабо» адсорбированный, при $142^{\circ}C$ с измеримой скоростью не происходит.

Исследование влияния степени заполнения поверхности на закономерности десорбций. Предыдущие опыты содержат данные, свидетельствующие о росте скорости десорбции меченого спирта при увеличении суммарного заполнения поверхности этиловым спиртом посредством дополнительной адсорбции спирта обычного изотопного состава. Чтобы выяснить причину этого роста, был поставлен специальный опыт, в котором были приняты меры, чтобы дополнительная адсорбция второй порции этилового спирта не сопровождалась обменом через газовую фазу. Результаты опыта представлены в табл. 2.

Первая порция обычного спирта адсорбировалась полностью при комнатной температуре. Затем катализатор нагревался до $217^{\circ}C$; при этом

* В дальнейшем условно будем называть этиловый спирт, способный обмениваться при комнатной температуре «слабо» связанным, а потерявший эту способность — «прочным» связанным.

часть спирта удалялась с поверхности исключительно в виде CO_2 и этилена. По окончании прогрева температура снижалась до комнатной и вводилась порция меченого спирта, которая полностью адсорбировалась за 10—15 сек. Суммарное заполнение теперь составляло 85 % от монослоя. Вплоть до 150°C , скорость десорбции была незначительной. В порции спирта, десорбированной при 150°C , содержалось 25 % первой порции адсорбированного спирта обычного изотопного состава. Этот спирт до адсорбции второй порции меченого спирта не десорбировался при температуре, на 67° более высокой. Кроме того, этот спирт без дополнительной адсорбции не мог быть снят с поверхности без разложения. Высокая скорость адсорбции второй порции спирта и отсутствие десорбции его при

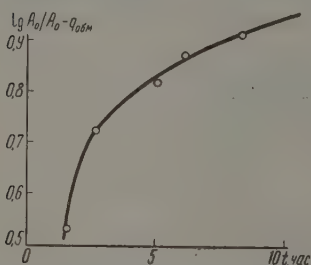


Рис. 2. Кинетическая изотерма обмена адсорбированного меченого спирта со спиртом обычного изотопного состава из газовой фазы, измеренная при 163°C

комнатной температуре исключают возможность объяснения полученного результата перераспределением через обмен газовой фазой. Таким образом этот опыт свидетельствует о влиянии взаимодействия, вызывающего рост скорости десорбции спирта из первой адсорбированной порции при увеличении суммарного заполнения поверхности.

Исследование влияния неоднородности активно-поверхности окиси цинка на переход «слабо» адсорбированного спирта в «прочно» адсорбированный. Если обмен адсорбированного меченого спирта проводить не при комнатной температуре, а при повышенной, то в обмен вступает

«прочно» адсорбированный спирт; кинетика обмена при этом позволяет судить, в условиях исключающих другое толкование, о степени влияния неоднородности активной поверхности на состояние прочно адсорбированного этилового спирта. На рис. 2 изображена кинетическая изотерма обмена «прочно» адсорбированного меченого этилового спирта на обычный при 163°C . Меченый этиловый спирт в этом опыте адсорбировался при 20° , затем температура поднималась до 163°C , и катализатор выделялся при этой температуре 1 час. Затем снималась изотерма обмена.

Если поверхность однородна, то скорость обмена должна снижаться пропорционально с изменением степени заполнения поверхности меченым спиртом. Константа скорости, вычисленная по закону первого порядка, должна оставаться постоянной, кривая 1 представляет изотерму в координатах $\lg \theta_0/(\theta_0 - t)$, в которых кинетика обмена на однородной поверхности изображается прямой, наклон которой характеризует константу скорости. Можно видеть, что в этих координатах изотерма ложится на кривую, наклон касательных к которой указывает на уменьшение константы скорости в 35 раз при протекании обмена на 30 %. Анализ изотопного состава продуктов, десорбируемых при постепенном повышении температуры, по окончании обмена показал, что обмен происходит на всех участках, но с разной скоростью, вследствие неоднородности активной поверхности. Изменение удельной радиоактивности показало, что наблюдаемое уменьшение константы скорости нельзя объяснить существованием на поверхности спирта в двух формах связи: слабой и прочной.

Влияние адсорбции этилового спирта на электропроводность. По изменению электропроводности можно судить об электронных переходах, сопровождающих химическую адсорбцию. Представлялось интересным выяснить, не связана ли адсорбция этилового спирта в «слабой» и «прочной» форме с изменением электропроводности.

Электропроводность таблетки ZnO измерялась в специальном приборе, включенном в реактор, присоединенный к вакуумной установке. Перед измерением таблетка обезгаживалась при 350°C . Сопротивление таблетки измерялось мостовой схемой*. При 20°C адсорбция основной части этилового спирта, составляющей 85% от монослоя, протекает без изменения электропроводности. Спустя 20 мин., когда десорбция уже закончена, обнаруживается небольшое повышение электропроводности, которое продолжается затем многие часы. За час электропроводность возрастает на 12%, а за 15 час. — на 60%.

При температуре 100°C , при которой по изотопным данным скорость перехода слабо связанного в прочно связанный адсорбированный спирт значительна, адсорбция сопровождается более сильным изменением электропроводности. За 140 мин. она возрастает на 220%, т. е. приблизительно в десять раз больше, чем при комнатной температуре.

По ориентировочным подсчетам это соответствует начальной энергии активации процесса — 4,6 ккал/моль. Однако и в этом случае адсорбция заканчивается за 15—20 сек., а фиксируемое изменение электропроводности отмечается только через 10 мин. после выпуска газа, когда адсорбция практически уже не протекает. Отсутствие в первые 20 мин. изменения электропроводности при 20°C и слабый рост ее в дальнейшем дают основание предполагать, что адсорбция этилового спирта в «слабой» форме связи не сопровождается электронным переходом, дальнейшее химическое превращение «слабо» связанного адсорбированного спирта в «прочно» связанный характеризуется переходом электрона от этилового спирта к ZnO. Судя по изменению электропроводности, переход «слабой» формы адсорбции в «прочную» имеет место с малой скоростью и при комнатной температуре.

Обсуждение результатов

Измерение кинетики десорбции адсорбированного при комнатной температуре этилового спирта показало, что константа скорости снижается в 25 раз при изменении степени заполнения поверхности на 15%. Это снижение, при условии постоянства предэкспоненциальной постоянной k_0 , связано с ростом энергии активации на 1,9 ккал/моль. Адсорбция этилового спирта при комнатной температуре, как было показано, не сопровождается изменением электропроводности. Высокая прочность связывания адсорбированного при комнатной температуре этилового спирта не позволяет считать эту адсорбцию физической. Можно предположить, что этиловый спирт удерживается на поверхности водородной связью, образованной между водородом гидроксильной группы этилового спирта и атомом кислорода окиси цинка. Такая адсорбция должна приводить к ориентации диполей на поверхности и возникновению между ними сил отталкивания. Суммарная энергия взаимодействия отталкивания каждой адсорбированной молекулы спирта при 100% заполнении, считая ориентировочно, что центры адсорбированных молекул расположены на расстоянии 3,25 Å и дипольный момент μ равен 1,8 μ свободной молекулы, оценивается в 10 ккал/моль. Тепло, выделяемое при адсорбции, равняется разности теплового эффекта образования водородной связи и энергии взаимодействия отталкивания. С ростом заполнения поверхности тепло адсорбции будет снижаться. Высокая скорость адсорбции этилового спирта, по-видимому, связана с низкой величиной энергии активации адсорбции, в этом случае энергия активации десорбции будет мало отличаться по величине от теплового эффекта. При уменьшении степени заполнения поверхности на 15% энергия взаимодействия отталки-

Измерения проводились Г. И. Чижиковой; автор пользуется случаем выразить благодарность.

вания снижается на величину 15 % от 10 ккал/моль, т. е. на 1,5 ккал/моль, а энергия активации десорбции повысится на ту же величину. Порядка вычисленной величины близок к найденному на опыте. Дальнейшее изменение степени покрытия на 15 % должно было бы снизить энергию активации на 3 ккал/моль, а константу скорости десорбции уменьшить в 16 раз. При таком законе взаимодействия логарифм скорости десорбции должен изменяться линейно с изменением степени заполнения поверхности. На рис. 1 (кривая 2) видно, что найденный экспериментальный вид зависимости близок к этому закону. Следовательно, закономерности десорбции слабо адсорбированного спирта при изменении степени заполнения поверхности могут быть объяснены изменением взаимодействия отталкивания между ориентированными на поверхности диполями. Поскольку адсорбция при комнатной температуре не сопровождается электронным переходом, влияние электронных факторов в этом процессе маловероятно.

Влияние неоднородности на адсорбцию этилового спирта в «слабой» форме обнаружить не удалось. Опыты с меченым спиртом указывают на равновесное состояние этилового спирта последовательно адсорбированных порций на поверхности. Можно было думать, что вследствие быстрой адсорбции здесь отсутствует корреляция между энергиями активации адсорбции и десорбции. Исследование обмена адсорбированного этилового спирта со спиртом из газовой фазы не согласуется с таким предположением. Обмен на всей поверхности протекает с высокой скоростью, и, видимо, вследствие высокой скорости десорбции на всех участках поверхности, являющийся результатом взаимодействия отталкивания при высокой степени заполнения поверхности во время обмена. Предположение, что высокая скорость обмена объясняется особым механизмом, при котором скорость обмена на участках, отличающихся в широких пределах прочностью связи, нивелируется, не согласуется с фактом существования больших различий в скорости обмена после прогрева. Таким образом, если различие в прочности связи «слабо» адсорбированного спирта на участках поверхности и существует, то оно очень незначительно.

Исследование показало, что адсорбированный при комнатной температуре этиловый спирт, при нагревании ZnO до 120° С и выше, оставаясь адсорбированным, увеличивает прочность связи. Такое изменение свидетельствует о химическом взаимодействии между адсорбированным этиловым спиртом и окисью цинка. Часть адсорбированного при комнатной температуре этилового спирта после прогрева не теряет способности существовать при комнатной температуре; очевидно, прочность связи у нее не изменяется или изменяется незначительно.

Установлено, что обратный переход «прочно» адсорбированного спирта в «слабо» адсорбированный с заметной скоростью не происходит. Это позволяет считать, что присутствие после прогрева наряду с «прочно» адсорбированным этиловым спиртом и «слабо» связанного вызвано резким снижением скорости превращения «слабо» связанного спирта в «прочно» связанный, вследствие роста энергии активации. Возрастание энергии активации характеризует неоднородность активной поверхности, наличие которой экспериментально установлено по изменению энергии активации обмена «прочно» адсорбированного спирта при 163° С. Торможение вследствие кулоновского взаимодействия отталкивания между адсорбированными молекулами этилового спирта в данном процессе исключается, так как суммарное заполнение адсорбционного слоя не изменяется.

Влияние электронных факторов возможно, поскольку установлено, что переход слабой связи в прочную сопровождается изменением электронной проводимости, т. е. вызывает изменение электронного равновесия. Степень влияния электронных факторов на этот процесс осталась не исследованной. Физическая природа неоднородности активной поверхности для процессов, связанных с переходом электронов от адсорбата к катализатору,

наоборот, отличается от физической природы неоднородности для процессов, не связанных с электронными переходами. В первом случае на однородность активной поверхности оказывают влияние все те факторы, которые определяют электронные свойства катализатора, в то время как во втором случае основную роль должны играть структурные факторы. В случае адсорбции этилового спирта в «слабой» форме связи, вследствие высокой полярности молекулы, действие, оказываемое неоднородностью, перекрывается более сильным влиянием взаимодействия отталкивания между адсорбированными молекулами.

Выводы

1. Показано, что при комнатной температуре этиловый спирт адсорбируется с образованием «слабой» связи, предположительно водородной, которая переходит в более «прочную» со скоростью, зависящей от температуры и отличающейся на различных участках поверхности вследствие неоднородности.
2. Образование слабой связи не сопровождается электронным переходом.
3. Образование прочной связи сопровождается переходом электрона этилового спирта к ZnO .
4. Отклонение кинетических закономерностей десорбции от лэнгмювских для «слабо» адсорбированного спирта обусловлено, в основном, взаимодействием отталкивания между адсорбированными молекулами ориентированными диполями.
5. Отклонение закономерностей адсорбции и десорбции «прочно» адсорбированного спирта от лэнгмювских вызвано совместным влиянием неоднородности и взаимодействия.

Академия наук СССР
Институт физической химии
Москва

Поступила
12.VII.1957

ЛИТЕРАТУРА

3. И. Левин, Сб. Проблемы кинетики и катализа, Изд-во АН СССР, 7, 297, 1949;
 И. П. Кейер, Сб. Проблемы кинетики и катализа, Изд-во АН СССР, 8, 224, 1955.
 Д. Ф. Волькенштейн, Ж. физ. химии, 21, 163, 1317, 1947; 26, 1463, 1952;
 27, 159, 167, 1953; Успехи физ. наук, 50, 253, 1953; K. Hauffe u. U. J. Engler, Z. Elektrochem., 57, 762, 1953; M. Boudarf, J. Amer. Chem. Soc., 74, 153, 1952; P. B. Weisz, J. Chem. Phys., 21, 153, 1953.
 С. З. Рогинский, О. М. Толдес, Acta phys.-chim. URSS, 21, 519, 1946;
 Н. П. Кейер, С. З. Рогинский, Докл. АН СССР, 1957; R. P. Eischen, J. Amer. Chem. Soc., 44, 6167, 1952; С. З. Рогинский, Теоретические основы изотопных методов изучения каталитических реакций, Изд-во АН СССР, М., 1956.
 И. П. Кейер, Докл. АН СССР, 111, 1274, 1956.
 Н. П. Кейер, Изв. АН СССР, Отд. хим. н., 616, 1952.
 И. Камен, Радиоактивные индикаторы в биологии, ИИЛ, Москва, 1948.

AN INVESTIGATION INTO THE NATURE OF THE DEVIATION OF CHEMICAL ADSORPTION FROM THE LANGMUIR TYPE WITH THE AID OF ISOTOPIC METHODS

I. A STUDY OF THE ADSORPTION OF ETHYL ALCOHOL ON ZnO

N. P. Keier (Moscow)

Summary

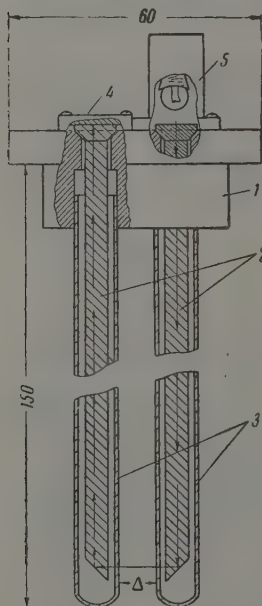
It has been shown that at room temperature ethyl alcohol is adsorbed on ZnO with formation of a «weak» presumably hydrogen bond, which goes over to a stronger one rate depending upon the temperature and differing for different sites of the surface, due to the heterogeneity of the latter. The formation of the weak bond is not accompanied by electron transition. The formation of a strong bond is accompanied by the transition of electrons from the ethyl alcohol to the ZnO . The deviation of the kinetics of adsorption and of desorption from the Langmuir relationship on the part of the strongly bound alcohol is due to the concurrent action of heterogeneity and interaction.

МЕТОДЫ И ТЕХНИКА ФИЗИКО-ХИМИЧЕСКОГО
ИССЛЕДОВАНИЯ

ДЕНСИТОМЕТР ПОГРУЖЕНИЯ

В. Т. Авгуль

Для измерения плотности окраски раствора, например, при титровании, последний обычно переводят в кювету колориметра. В некоторых случаях, при работе с агрессивными средами, предпочтительнее проводить измерения плотности в самом реакционном сосуде. Для этой цели нами предлагается конструкция денситометра, целиком погружаемого в жидкость.



Денситометр состоит из головки 1 (рисунок), двух плексигласовых светопроводов 2 в защитных стеклянных трубках 3, сернисто-серебряного фотоэлемента 4 и источника света 5. Светопроводы представляют собой полированные плексигласовые палочки, срезанные на концах под углом 45° . Плоскости срезов также отполированы. Путь луча света от источника 5 показан пунктиром. Как видно из рисунка, между концами пробирок луч света проходит через слой жидкости постоянной толщины Δ .

Источником света служит лампочка типа P(13,5/0,18,А) (габариты ее такие же, как лампочки от карманного фонаря), питаемая через трансформатор. В случаях больших колебаний напряжения сети следует применять стабилизатор напряжения или, что лучше, осуществлять питание от аккумуляторов. В конструкции применен фотоэлемент типа ФЭСС-У1.

Схема денситометра: 1 — головка; 2 — светопровод; 3 — защитные стеклянные трубки; 4 — фотоэлемент ФЭСС-У1; 5 — источник света; Δ — слой жидкости постоянной толщины

Как и в обычных колориметрах, в некоторых случаях выгодно применять световые фильтры; в данной конструкции они могут быть изготовлены в виде листочков окрашенного желатина, помещенных в защитные пробирки. Измерительным прибором служит микроамперметр типа М 91 на $10 \mu A$, $r_{пр} = 5000 \Omega$. Точность прибора аналогична лабораторным приборам такого типа.

Академия наук СССР
Институт физической химии
Москва

Поступил
6.VIII.1959

IMMERSION DENSITOMETER

V. T. Avgul (Moscow)

Summary

The design of an immersion densitometer is proposed consisting of a light source, two plexiglas rods as light conductors and a photocell. When the light conductors are immersed in a liquid a beam of light passes through a layer of the liquid between beveled ends of the plexiglas rods.

ДИСКУССИЯ

ЗАМЕЧАНИЯ К СТАТЬЯМ П. В. НЕМЦОВА [1, 2]

К. Г. Скориков

Утверждение П. В. Немцова о независимости предложенных им четырех эмпирических формул может создать впечатление о новых подмеченных закономерностях в значениях потенциалов ионизации различных ионов:

$$\mathcal{E}_{z, n} = \mathcal{E}_{n, n} + (\mathcal{E}_{n+1, n} - \mathcal{E}_{n, n})(z - n) + k_n(z - n - 1)(z - n); \quad (1)$$

$$\mathcal{E}_{z+1, n+1} - \mathcal{E}_{z, n} = \mathcal{E}_{n+1, n+1} - \mathcal{E}_{n, n} + [k_n + \delta'_n(z - n - 1)](z - n); \quad (2)$$

$$\mathcal{E}_{z-1, n+1} - \mathcal{E}_{z, n} = \mathcal{E}_{n+1, n+1} - \mathcal{E}_{n+2, n} - [k_n'' - \delta_n''(z - n - 3)](z - n - 2); \quad (3)$$

$$\mathcal{E}_{z, n+1} - \mathcal{E}_{z, n} = \mathcal{E}_{n+1, n+1} - \mathcal{E}_{n+1, n} - [k_n''' - \delta_n'''(z - n - 2)](z - n - 1), \quad (4)$$

где \mathcal{E} — потенциал ионизации иона с порядковым номером (т. е. с зарядом ядра), равным значению первого индекса, и числом электронов, равным величине второго индекса; k , δ — постоянные соответствующих уравнений.

Однако расшифровка физического значения коэффициентов показывает, что основе всех этих уравнений лежит одно уравнение (1). Это основное уравнение является применением первой формулы Ньютона [3]:

$$\begin{aligned} \mathcal{E}_{z, n} &= \mathcal{E}_{n, n} + (\mathcal{E}_{n+1, n} - \mathcal{E}_{n, n})(z - n) + \\ &+ \frac{\mathcal{E}_{n, n} - 2\mathcal{E}_{n+1, n} + \mathcal{E}_{n+2, n}}{2}(z - n)(z - n - 1). \end{aligned} \quad (5)$$

Ограничение в рассмотрении ряда вторыми разностями оправдывается работами Диброва [4, 5]. В принятых условных обозначениях П. В. Немцова уравнение Диброва имеет следующий вид:

$$\mathcal{E}_{z, n} = A(z - n + 1)(z - a).$$

где A , a — постоянные.

Таким образом, коэффициент в уравнении (1) является второй разностью потенциалов ионизации изоэлектронных ионов:

$$k_n = \frac{\mathcal{E}_{n, n} - 2\mathcal{E}_{n+1, n} + \mathcal{E}_{n+2, n}}{2}. \quad (6)$$

Уравнение (5) для ионов с порядковым номером $z + 1$ и числом электронов $n + 1$ относительно изоэлектронного иона с зарядом $n + 1$ выразится следующим образом:

$$\begin{aligned} \mathcal{E}_{z+1, n+1} &= \mathcal{E}_{n+1, n+1} + (\mathcal{E}_{n+2, n+1} - \mathcal{E}_{n+1, n+1})(z - n) + \\ &+ \frac{\mathcal{E}_{n+1, n+1} - 2\mathcal{E}_{n+2, n+1} + \mathcal{E}_{n+3, n+1}}{2}(z - n)(z - n - 1). \end{aligned} \quad (7)$$

Разница между (7) и (5) уравнениями определяет коэффициенты уравнения (2):

$$k'_n = \mathcal{E}_{n+2, n+1} - \mathcal{E}_{n+1, n+1} + \mathcal{E}_{n, n} - \mathcal{E}_{n+1, n}; \quad (8)$$

$$\delta'_n = \frac{\mathcal{E}_{n+1, n+1} - 2\mathcal{E}_{n+2, n+1} + \mathcal{E}_{n+3, n+1} - \mathcal{E}_{n, n} + 2\mathcal{E}_{n+1, n} - \mathcal{E}_{n+2, n}}{2}. \quad (9)$$

Для ионов с порядковым числом $z - 1$ и числом электронов $n + 1$ уравнение (5) относительно изоэлектронного иона с зарядом ядра $n + 1$ выразится следующим образом:

$$\begin{aligned} \mathcal{E}_{z-1, n+1} &= \mathcal{E}_{n+1, n+1} + (\mathcal{E}_{n+2, n+1} - \mathcal{E}_{n+1, n+1})(z - n - 2) + \\ &+ \frac{\mathcal{E}_{n+1, n+1} - 2\mathcal{E}_{n+2, n+1} + \mathcal{E}_{n+3, n+1}}{2}(z - n - 3)(z - n - 2). \end{aligned} \quad (10)$$

Для иона с зарядом z и числом электронов n то же уравнение (5) относительно изоэлектронного иона с атомным номером $n+2$ имеет следующий вид:

$$\begin{aligned} \mathcal{E}_{z, n} = & \mathcal{E}_{n+2, n} + (\mathcal{E}_{n+3, n} - \mathcal{E}_{n+2, n})(z - n - 2) + \\ & + \frac{\mathcal{E}_{n+2, n} - 2\mathcal{E}_{n+3, n} + \mathcal{E}_{n+4, n}}{2} (z - n - 3)(z - n - 2). \end{aligned} \quad (1)$$

Разница последних двух уравнений (10), (11) определяет коэффициенты уравнения (3)

$$\begin{aligned} k_n'' = & \mathcal{E}_{n+3, n} - \mathcal{E}_{n+2, n} - \mathcal{E}_{n+2, n+1} + \mathcal{E}_{n+1, n+1}; \\ \delta_n'' = & \frac{\mathcal{E}_{n+1, n+1} - 2\mathcal{E}_{n+2, n+1} + \mathcal{E}_{n+3, n+1} - \mathcal{E}_{n+2, n} + 2\mathcal{E}_{n+3, n} - \mathcal{E}_{n+4, n}}{2}. \end{aligned} \quad (1)$$

Подобный анализ для иона с зарядом ядра z и числом электронов n относительно изоэлектронного иона с зарядом ядра $n+1$, а также иона с зарядом z и числом электронов $n+1$ относительно изоэлектронного иона с зарядом ядра $n+1$ дает соответственно, следующие уравнения:

$$\begin{aligned} \mathcal{E}_{z, n} = & \mathcal{E}_{n+1, n} + (\mathcal{E}_{n+2, n} - \mathcal{E}_{n+1, n})(z - n - 1) + \\ & + \frac{\mathcal{E}_{n+1, n} - 2\mathcal{E}_{n+2, n} + \mathcal{E}_{n+3, n}}{2} (z - n - 2)(z - n - 1); \\ \mathcal{E}_{z, n+1} = & \mathcal{E}_{n+1, n+1} + (\mathcal{E}_{n+2, n+1} - \mathcal{E}_{n+1, n+1})(z - n - 1) + \\ & + \frac{\mathcal{E}_{n+1, n+1} - 2\mathcal{E}_{n+2, n+1} + \mathcal{E}_{n+3, n+1}}{2} (z - n - 2)(z - n - 1). \end{aligned} \quad (1)$$

Разница уравнений (14), (15) определяет коэффициенты в уравнении (4):

$$\begin{aligned} k_n''' = & \mathcal{E}_{n+2, n} - \mathcal{E}_{n+1, n} - \mathcal{E}_{n+2, n+1} + \mathcal{E}_{n+1, n+1}; \\ \delta_n''' = & \frac{\mathcal{E}_{n+1, n+1} - 2\mathcal{E}_{n+2, n+1} + \mathcal{E}_{n+3, n+1} - \mathcal{E}_{n+1, n} + 2\mathcal{E}_{n+2, n} - \mathcal{E}_{n+3, n}}{2}. \end{aligned} \quad (1)$$

Вычисленные коэффициенты из уравнений (6), (8), (9), (12), (13), (16), (17) по известным потенциалам ионизации [6] показывают в целом хорошее согласие с данными П. В. Немцова. Из тех же уравнений следует связь коэффициентов между собой. Так, например, из уравнений (6) и (7) следует вывод $\delta_n' = k_{n+1} - k_n$; приведение в таблице коэффициент $\delta_{78}' = 0,395$ имеет в действительности обратный знак.

Из работ П. В. Немцова и приведенного анализа можно сделать следующее заключение:

1. Уравнение (5) можно обобщить в такую явную форму, которая является основной для всех четырех уравнений:

$$\begin{aligned} \mathcal{E}_{z, n} = & \mathcal{E}_{n+m, n} + (\mathcal{E}_{n+m+1, n} - \mathcal{E}_{n+m, n})(z - n - m) + \\ & + \frac{\mathcal{E}_{n+m, n} - 2\mathcal{E}_{n+m+1, n} + \mathcal{E}_{n+m+2, n}}{2} (z - n - m)(z - n - m - 1), \end{aligned} \quad (1)$$

где m — целое положительное число.

2. Новых закономерностей в предложенных П. В. Немцовым эмпирических уравнениях и их обобщенном выражении (18) нет.

Поступила
9. VII. 1958

ЛИТЕРАТУРА

1. П. В. Немцов, Ж. физ. химии, 29, 1031, 1955.
2. П. В. Немцов, Ж. физ. химии, 29, 1236, 1955.
3. И. Н. Бронштейн, К. А. Семендяев, Справочник по математике, 1945.
4. А. А. Диброва, Ж. эксперим. и теор. физики, 8, 805, 1938.
5. А. А. Диброва, Изв. АН СССР. Сер. физ., 19, 10, 1955
6. Справочник химика, т. I, 1950.

ПИСЬМА В РЕДАКЦИЮ

К ВОПРОСУ О ВАЛЕНТНОМ СОСТОЯНИИ ИОНОВ ХРОМА
В СОЕДИНЕНИЯХ, ОБРАЗУЮЩИХСЯ ПРИ ТЕРМИЧЕСКОМ
РАЗЛОЖЕНИИ ХРОМОВОГО АНГИДРИДА

Т. В. Роде и А. А. Маненков

В работе одного из нас [1] на основании применения ряда методов физико-химического анализа было установлено, что при термическом разложении Cr_2O_3 образуются три химических соединения, а при давлении в 250 атм, кроме того, двуокись хрома CrO_2 . Химический анализ на трех- и шестивалентный хром приводит к установлению первых трех из указанных соединений формул — декахромата, бихромата и монохромата хрома. Однако при проведении химических анализов мокрым путем могло иметь место диспропорционирование хрома промежуточной валентности на трех- и шестивалентный, поэтому для установления валентности хрома в полученных соединениях, не нарушая их природы, было проведено исследование их методом электронного парамагнитного резонанса. Измерения проводились на частоте 9375 мгц. Исследование Cr_2O_3 (в соответствии с теоретическими представлениями) показало, что электронного парамагнитного резонанса у него не наблюдается.

Исследования дека- и бихромата хрома показало наличие у них линии поглощения, соответствующей g -фактору $\sim 1,9$, и шириной около 100 гс, которая, по всей вероятности, обусловлена парамагнитным резонансом иона трехвалентного хрома и принадлежит электронному переходу $M = 1/2 \rightarrow -1/2$, так как частота ее близка к той, которая наблюдается в монокристаллах, содержащих трехвалентный хром, в частности, в монокристаллах $\text{Al}_2\text{O}_3 \cdot \text{Cr}_2\text{O}_3$ [2]. Линий поглощения, соответствующих другим электронным переходам, не наблюдалось вследствие анизотропного уширения, так как опыты велись на порошкообразных образцах.

Эти данные указывают на наличие трехвалентного хрома в исследованных соединениях и на отсутствие диспропорционирования при химическом анализе хроматов мокрым путем. Полученные данные находятся в соответствии с формулами, предложенными для них Т. В. Роде [1].

В образце монохромата хрома наблюдаются две широкие линии поглощения, не совпадающие с линией для дека- и бихроматов и обусловленные, по-видимому, ферромагнитным резонансом. Измерения статической магнитной восприимчивости показали в нем и в двуокиси хрома наличие сильного ферромагнетизма.

Двуокись хрома имела широкую линию поглощения с максимумом около 2000 гс. Интенсивность линий поглощения у монохромата и у двуокиси хрома была в десятки раз больше, чем таковая у парамагнитных дека- и бихромата хрома.

Академия наук СССР

Институт общей и неорганической химии

им. Курнакова

Москва

Поступила

28.X.1958

ЛИТЕРАТУРА

Т. В. Роде, Кислородные соединения хрома, Автореферат диссертации, ИОНХ АН СССР, 1956.

А. А. Маненков и А. М. Прохоров, Ж. эксперим. и теор. физики, 28, 762, 1955.



АЛЕКСЕЙ АЛЕКСАНДРОВИЧ БАЛАНДИН

(К 60-летию со дня рождения)

20 декабря 1958 г. исполнилось 60 лет выдающемуся советскому ученому академику Алексею Александровичу Баландину. 35 лет его плодотворной научной деятельности обогатили мировую науку фундаментальными исследованиями в области гетерогенного катализа.

А. А. Баландин является учеником Н. Д. Зелинского и принадлежит к его научной школе. Им создана мультиплетная теория катализа, охватывающая обширный опытный материал. Теория А. А. Баландина, основанная на учении о строении вещества, устанавливает определенное соотношение между геометрией расположения атомных групп, непосредственно изменяющихся при катализе во время реакции, и геометрией активных центров — мультиплетов и одновременно учитывает определенные энергетические соотношения, что во многих случаях дает возможность судить заранее о свойствах веществ как катализаторов для различных реакций. Эта теория непрерывно, в течение уже 30 лет, развивается, совершенствуется и в настоящее время является ценным орудием в руках исследователя при подборе катализаторов для самых разнообразных химических реакций. Классификация органических реакций, построенная на основе мультиплетной теории, позволяет находить новые каталитические реакции. На основе своей теории и классификации А. А. Баландин изучил мало разработанные и до того времени неизвестные реакции — дегидрогенизацию парафинов, олефинов, алкилбензолов, продукты дегидрогенизации которых важны для промышленного синтеза мономеров, для получения синтетического каучука и других высокополимеров. Кроме того, были предсказаны и затем изучены реакции дегидрогенизации аминов, гидрогенизации органических перекисей и др.

Современные сведения о форме и размерах молекул и о решетках кристаллов позволяют строить модели мультиплетных комплексов. Так, согласно теории, для дегидрогенизации циклогексана и его производных катализаторами могут быть металлы, кристаллизующиеся в кубической и гексагональной системах, кроме того, атомные радиусы катализаторов должны лежать в определенных пределах. Это дает возможность указать, какие металлы могут быть катализаторами для указанных реакций. Недавно было показано, что циклогексан, как и предсказывала мультиплетная теория, дегидрируется на рении.

А. А. Баландин является одним из пионеров изучения кинетики органических каталитических реакций. Им выведено общее кинетическое уравнение для мономолекулярных реакций в проточной системе. А. А. Баландиным с сотрудниками проведены обширные исследования, касающиеся кинетики, главным образом, дегидрогенизации углеводородов, дегидрогенизации и дегидратации спиртов и дегидрогенизации аминов.

Противоречия в кинетических уравнениях, выведенных на основании уравнения Лэнгмюра, касающиеся однородности и неоднородности поверхности катализатора, устраняются теорией квазиоднородных поверхностей, подробно разработанной А. А. Баландиным.

Работы Алексея Александровича и сотрудников по кинетике гетерогенно-катализических реакций позволили получить данные о свойствах активированного и представляющего ему адсорбционного комплексов. Образование этих комплексов является наиболее ответственной стадией в механизме гетерогенного катализа. Очень важными факторами этих комплексов являются их термодинамические свойства (изменение свободной энергии, энтропии и энтальпии). А. А. Баландин с сотрудниками изучил кинетику дегидрогенизации спиртов различного строения на металлических и окисных катализаторах. Были определены удельные поверхности, относительные адсорбционные коэффициенты, истинные константы скорости реакции, энергии активации, термодинамические функции катализически-активной поверхности. Найдено существование закономерности, связывающей энтальпию с энтропией адсорбции. Изучается кинетика дегидратации спиртов в адсорбционном монослое. Методом меченых атомов изучались кинетика и механизм дегидратации этилового спирта на окиси алюминия. Кинетика дегидрогенизации бутана и бутилена. Подробно исследованы реакции каталитического получения стирола и его гомологов, имеющих большое значение для синтетического каучука и пластических масс.

А. А. Баландин создал теорию гидрогенизации непредельных соединений. В этой теории выдвигаются новые представления о механизме катализической гидрогенизации непредельных соединений, связанные с мультиплетной теорией. Дан вывод кинетических уравнений, оправдывающихся в широком диапазоне концентраций. Эта теория имеет большое практическое значение при промышленном способе получения высокооктановых авиабензинов, при гидрогенизации жиров и т. д. На большом экспериментальном материале по гидрогенизации более 100 фурановых соединений на никеле и при гидрировании органических перекисей на никеле, платине и палладии Алексей Александрович провел проверку расчетов мультиплетной теории по последовательности реакций гидрогенизации. Экспериментальные данные показали полное соответствие с расчетами мультиплетной теории и с теорией гидрогенизации.

Мультиплетная теория оказалась полезной в работах Алексея Александровича и сотрудниками при изучении гидрирования полисахаридов с целью получения многатомных спиртов. В этом направлении получены практически важные результаты. Большое значение для развития структурной стороны мультиплетной теории имеют работы по кинетике гидрогенизации производных триптика. Эти молекулы сложной формы, не способные уложиться на плоскости, гидрируются на никеле уже при 0° и 1° атм. Факт их гидрогенизации доказывает, что активные центры катализатора находятся на выступах катализической поверхности.

Мультиплетная теория получила значительное развитие при нахождении закономерностей для подбора катализаторов. Теория показывает, что максимум катализической активности должен быть при не слишком сильной адсорбции, причем максимуму катализической активности соответствует адсорбционный потенциал, равный половине энергии реагирующих и разрывающихся связей. Выведены условия повышения активности в смешанных катализаторах. Степень ненасыщенности поверхностных атомов учитывается влиянием числа соседей у атомов активных центров и выражается через долю энергии сублимации. В теории рассматривается влияние природы реагирующего вещества и катализатора на скорость реакции. Эта серия работ А. А. Баландина представляет собой существенный вклад в теорию подбора катализаторов.

В настоящее время получен большой экспериментальный материал по определению энергий связи реагирующих атомов в молекуле с атомами катализатора кинетическим методом на окисных катализаторах. Исследовалась кинетика многих реакций, в частности, дегидрогенизации циклических углеводов и параллельной дегидрогенизации и дегидратации спиртов на окислах: Be, Al, Ti, Zr, Th, Cr, Mo, J, Sm, La, и др. На металлических катализаторах (Ni, Fe, Pd, Pt) определены энергии связи H, C и O путем применения уравнений мультиплетной теории к опытным энергиям титации простейших реакций: α - и η -превращения водорода, дейтеробмена, гидролиза этана, гидрирования олефинов и др., а также методом адсорбционно-химических равновесий. Знание энергий связи требуется для теории подбора катализаторов.

Последнее время мультиплетная теория применена к ферментативному и асимметрическому катализу.

Теоретические работы А. А. Баландина, всегда связанные единой идеей, проверяются и подтверждаются большим экспериментальным материалом. Его работы являются важнейшим вкладом в развитие науки о катализе и имеют большое значение для промышленности. А. А. Баландин с сотрудниками опубликовано более 500 научных работ, а также получено 12 авторских свидетельств на изобретения.

В настоящем кратком обзоре затронута только часть работ по катализу и совсем затронуты работы А. А. Баландина в некоторых других областях химии (адсорбция, реакции в электроразрядах, структурная алгебра и др.).

А. А. Баландин возглавляет большой коллектив научных работников. Он заведует лабораторией кинетики катализических органических реакций и лабораторией Н. Д. Зелинского в ИОХ АН СССР.

А. А. Баландин сочетает свою научную работу с большой педагогической деятельностью и подготовкой квалифицированных кадров. Он впервые создал курс, специальную лабораторию и кафедру органического катализа в МГУ и до настоящего времени заведует этой кафедрой. Им подготовлена многочисленная школа учеников, среди

них академики республиканских Академий наук, профессора, кандидаты химических наук.

К научной школе А. А. Баландина в настоящее время относятся: Е. А. Агрономов, О. К. Богданова, А. Х. Борк, И. И. Брусов, В. Э. Вассерберг, Н. А. Васюнин, П. Г. Иванов, Г. В. Исагулянц, Е. И. Клубуновский, С. Л. Киперман, А. И. Кукин, Г. М. Марукян, В. В. Патрикеев, С. Е. Райк, А. П. Руденко, Т. А. Словохотов, Н. П. Соколова, А. А. Толстомятова, Л. Х. Фрейдлин, А. П. Щеглова и др.

А. А. Баландин ведет большую научно-организационную работу, являясь председателем Совета по проблеме «Научные основы подбора катализаторов» при Отделении химических наук АН СССР; этот совет координирует все работы по катализу в СССР.

Выдающаяся научная, педагогическая и научно-организационная деятельность А. А. Баландина высоко оценена партией и правительством. А. А. Баландин награжден орденом Ленина, двумя орденами Трудового Красного Знамени и медалями, ему присвоено звание лауреата премии им. И. В. Сталина. Кроме того, ему присуждены Менделеевская и Лебедевская премии за исследования в области синтетического каучука и другие работы. В настоящее время А. А. Баландин продолжает также плодотворно и неутомимо развивать работы в области теории и практики катализа.

А. А. Толстомятова



МИХАИЛ ИСААКОВИЧ ТЕМКИН

(К 50 - летию со дня рождения)

Более 25 лет научной деятельности проф. Михаила Исааковича Темкина было посвящено теоретическим проблемам физической химии. Основные исследования И. Темкина относятся к области кинетики и механизма каталитических реакций, которой М. И. Темкин является одним из ведущих ученых нашей страны.

М. И. Темкин — автор теории кинетики каталитических реакций на неоднородных поверхностях, являющейся важным вкладом в учение о катализе. Эта теория исходит из логарифмической изотермы адсорбции (изотерма Темкина), обоснованной в его работах. Опираясь на указанную теорию, М. И. Темкин и его сотрудники в ряде экспериментальных работ установили кинетику и механизм важнейших процессов химической технологии — синтеза аммиака, реакции водяного газа, газификации и других. Теория синтеза аммиака М. И. Темкина получила широкую известность признание как в СССР, так и за рубежом. Число работ, посвященных проверке и развитию этой теории, а также ее приложению к расчетам промышленной аппаратуры синтеза аммиака, насчитывается десятками.

М. И. Темкин первый дал строгое математическое решение задачи об определении характера неоднородности поверхности по изотерме адсорбции, а также по форме кинетического уравнения реакции. Он развил теорию эффектов взаимного влияния адсорбированных молекул, приводящих к «индуцированной» неоднородности поверхности.

Большое значение имеет установленная М. И. Темкиным применимость линейного отношения между энергией активации и тепловым эффектом к гетерогенным каталитическим процессам и процессам хемосорбции. Опираясь на это соотношение, М. И. Темкин рассмотрел в общей форме вопрос об оптимальной для данной реакции энергии связи промежуточных поверхностных соединений и получил выводы, являющиеся существенным вкладом в теорию рационального подбора катализаторов. Эта работа сделана в 1957 г. удостоена премии им. А. Н. Баха.

М. И. Темкин выдвинул представление об адсорбционных процессах особого рода, к бы промежуточных между обычной хемосорбцией и растворением, для которых он предложил название «глубокая адсорбция». Значение глубокой адсорбции для кинетики реакций показано им на примере каталитического окисления этилена.

М. И. Темкин распространил метод переходного состояния на гетерогенные каталитические реакции и процессы активированной адсорбции. Таким путем он впервые получил общие теоретические выражения для абсолютной скорости реакций на поверхностях твердых тел. Этот результат является фундаментальным для теории катализа.

В ряде работ М. И. Темкин и его сотрудники разрабатывали вопросы диффузионной кинетики при гетерогенном катализе. Из этих работ наибольшее значение имеют исследования окисления аммиака, результаты которых используются промышленностью.

В связи с задачей определения энергии активации реакций кислотного катализа, М. И. Темкин и его сотрудники определили температурную зависимость кислотности в важнейших концентрированных кислотах (соляная, серная, фосфорная). Опираясь на эти данные, они по-новому осветили вопрос о зависимости скорости реакций от кислотности среды.

М. И. Темкиным создан ряд новых экспериментальных методов. Предложенный проточно-циркуляционный метод изучения кинетики гетерогенных каталитических реакций во многих отношениях превосходит более старые методы и все шире применяется в различных лабораториях. Большой интерес представляет также метод адсорбционно-химического равновесия, позволяющий определять свободные энергии поверхностных соединений, что важно для развития теории подбора катализаторов.

М. И. Темкиным выполнен ряд ценных работ и в других областях физической химии. Отметим некоторые из них, имеющие большое значение.

М. И. Темкин показал на примере разряда ионов водорода, что энергия активации электрохимических процессов может быть определена теоретически и экспериментально таким образом, что трудности, связанные с так называемой проблемой абсолютных потенциалов, устраняются. Соответствующий результат был получен им также с помощью метода переходного состояния для энтропии активации; тем самым впервые был правильно решен вопрос об абсолютной скорости электрохимических процессов.

Вызвала большой интерес и послужила толчком к ряду работ как в СССР, так и за рубежом, ионная теория смесей расплавленных солей и металлургических шлаков предложенная М. И. Темкиным.

В работах по термоэлектрическим явлениям в растворах электролитов М. И. Темкин, плодотворно используя термодинамику необратимых процессов, показал возможность определения новой величины, характеризующей свойства ионов в растворах «энтропии движущихся ионов». Этот вывод недавно получил подтверждение в работах английских авторов.

Несколько работ М. И. Темкина посвящено термодинамическим свойствам реальных газовых смесей. Из других его работ в области химической термодинамики упомянем метод расчета химических равновесий, вошедший в ряд учебников и справочников. Всего им опубликовано около ста печатных работ.

М. И. Темкин является одним из тех советских исследователей в области физической химии, которые успешно сочетают работы в области эксперимента и теории.

В течение многих лет М. И. Темкин ведет большую педагогическую работу, читает курсы по различным разделам физической химии для студентов, аспирантов и научных работников. Им подготовлено большое число аспирантов, ставших самостоятельными научными работниками. С 1939 по 1949 г. М. И. Темкин был редактором Журнала физической химии.

Деятельность проф. М. И. Темкина получила высокую правительственную оценку. Он награжден орденом Трудового Красного Знамени и орденом Знак Почета.

Л. О. Апельбаум, А. И. Гельбштейн, Н. В. Кулькова, Н. М. Мороз

СОДЕРЖАНИЕ

Н. Коваленко. Применение полярнографа для изучения влияния сильных электролитов на процесс электролиза меди и кобальта	241
С. Спасский, А. И. Тарасов и А. В. Токарев. Сополимеризация ненасыщенных полиэфиров с виниловыми мономерами. I.	249
А. Кудрявцева и Н. М. Чирков. Кинетика реакции обмена хлора в изомерных β -хлоркротоновых кислотах. II.	255
Д. Чегодаев и Н. А. Бугоркова. О кристаллическом состоянии полимеров. II.	262
А. Славинская, С. А. Каменецкая и С. Я. Пшежецкий. Влияние озона на воспламенение углеводородов. III.	271
Б. Коган и Т. С. Толстова. О свойствах трехкомпонентных азетропных смесей, образованных компонентами с ограниченной взаимной растворимостью. II.	276
В. Сторонкин и Н. П. Маркузин. О форме изотерм расслаивания тройного раствора триэтиламин—фенол—вода для 15° и 35°С	279
Л. Ройх. Эмиссия электронов и H_2O_2 при коррозии металлов	288
П. Рудков. К вопросу о взаимосвязи между объемными и теплоемкостными свойствами водных растворов электролитов	294
Н. Шейнкер, И. Я. Постовский и Н. М. Воронина. О таутомерии некоторых производных гетероциклических соединений. VII.	302
М. Рубинштейн, Ю. А. Эльтеков и К. И. Словецкая. Пористая структура и удельная поверхность $NiO - Al_2O_3$ -катализаторов и их изменение при вариации состава и условий термической обработки	310
Г. Стромберг и К. Р. Воронова. Влияние периода капания на потенциал полувольты марганца и вычисление плотности тока обмена марганца	318
А. Загорученко. Упругость паров жидкого метана	326
П. Васильев, Е. К. Золотарев и К. Б. Яцимирский. Энтропии газообразных одноатомных ионов.	328
Е. Луцкий и В. В. Дорофеев. Внутримолекулярная водородная связь и дипольные моменты органических соединений. III.	331
А. Тагер, М. В. Цилипоткина и В. К. Доронина. Влияние молекулярного веса стеклообразных полимеров на плотность упаковки их цепей. II.	335
Н. Несмеянов, Л. А. Смахтин, Д. Я. Чопоров и В. И. Лебедев. Исследование по термодинамике твердых растворов золота с серебром и медью. I	342
И. Носова, А. А. Раков и В. И. Веселовский. Изучение электрохимического поведения озона на платиновом электроде методом катодной полярнографии.	349
К. Лепинь, А. Я. Вайваде и З. Ф. Ошис. Кинетика окисления железа в растворах смесей солей $[KCl (K_2SO_4) + K_3PO_4 (K_2HPO_4, K_2CO_3)]$	357
И. Аппенин. О кинетике анодных процессов. II.	367
Г. Рысс и С. Л. Идельс. Кинетика гидролиза трифтор-амин-бора $H_3N:BF_3$	374
и М. Ен Хо. Влияние электростатического взаимодействия молекул на термодинамические функции раствора.	381
А. Исириян, А. В. Киселев и Б. А. Фролов. Теплота адсорбции нормальных алканов на силикагеле	389
А. Юрков и В. В. Некрасов. Электродные потенциалы сплавов Cd—Sb.	395
Г. Кнорре, З. К. Майзус, М. И. Маркин и Н. М. Эмануэль. Кинетика взаимодействия гидроперекиси децила со стеаратом марганца в <i>n</i> -декане.	398
К. Попов. Эффект Сцилларда — Чалмерса в хроматах и бихроматах при облучении их γ -квантами.	405

- И. Л. Розенфельд и И. К. Маршаков. Механизм коррозии металлов в узких зазорах и щелях. VI. 41
- Л. Г. Антонова, Ф. П. Ивановский, Т. Г. Фильченкова, А. И. Красильщиков. Адсорбционные явления в системе водород — уголекислота — окись углерода — водяной пар. I. 41
- Г. В. Быков. Об электроотрицательностях галогенов и дипольных моментах галогенметанов. 42
- Р. В. Кучер и М. А. Ковбуз. О роли водной фазы в процессе эмульсионного окисления изопропилбензола. 43
- И. А. Зайденов. К теории жидкостных диффузионных электродов. II. 43
- Е. А. Ефимов и И. Г. Ерусалимчик. Исследование емкости германиевого электрода. 44
- А. Ф. Постовская и А. С. Кузьминский. Исследование структурных изменений вулканизатов каучука под действием азотной кислоты 44
- Ф. М. Перельман, А. Я. Зворыкин и С. К. Шахова. О каталитической активности редких элементов в реакции разложения перекиси водорода. II. 45
- В. В. Миллер, М. Б. Нейман и С. П. Солодовников. Исследование реакции изотопного обмена между CH_3I_2 и I_2 методом прерывистого освещения. 45
- М. Т. Дмитриев и С. Я. Пшежецкий. Радиационное окисление азота. IV. 46
- Д. Ф. Соколова, Н. М. Морозов и М. И. Темкин. Кинетика синтеза аммиака при низких давлениях в условиях диффузионного торможения 47
- Г. Л. Слонимский и Е. В. Резцова. Омеханохимических явлениях в полимерах. I. 48
- Н. Н. Грацианский и А. К. Рябов. Поверхностные явления при коррозии твердых растворов металлов 48
- Н. П. Кейер. Исследование природы отклонений закономерностей химической адсорбции от ленгмюровских при помощи изотопных методов. I. 49

Методы и техника физико-химического исследования

- В. Т. Авгуль. Денситометр погружения. 50

Дискуссия

- К. Г. Скориков. Замечания к статьям П. В. Немцова [1, 2] 50

Письма в редакцию

- Т. В. Роде и А. А. Маненков. К вопросу о валентном состоянии ионов хрома в соединениях, образующихся при термическом разложении хромового ангидрида. 50

Хроника

- А. А. Толстопятова. Алексей Александрович Баландин (к 60-летию со дня рождения). 50
- Л. О. Апельбаум, А. И. Гельбштейн, Н. В. Кулькова и Н. М. Морозов. Михаил Исаакович Темкин (К 50-летию со дня рождения) 50

CONTENTS

N. Kovalenko. The Use of the Polarograph in Investigating the Effect of Strong Electrolytes on the Electrolysis of Copper and Cobalt	241
S. Spaskii, A. I. Tarasov and A. V. Tokarev. Copolymerization of Unsaturated Polyesters and Vinyl Monomers. I.	249
A. Kudryavtseva and N. M. Chirkov. Reaction Kinetics of Chlorine Exchange in Isomeric β -Chlorocrotonic Acids. II.	255
D. Chegodaev and N. A. Bugorkova. On the Crystalline State of Polymers. II.	262
A. Slavinskaya, S. A. Kamenetskaya and S. Ya. Pshezhetskiĭ. The Effect of Ozone on the Ignition of Hydrocarbons. III.	271
B. Kogan and T. S. Tolstova. Properties of Tricomponent Azeotropic Mixtures of Components with Limited Mutual Solubility. II.	276
V. Storonkin and N. P. Markuzin. The Shape of the Isotherm for the Separation of the Ternary Solution Triethylamine — Phenol — Water into Layers at 15 and 35° C.	279
L. Roikh. The Emission of Electrons and H_2O_2 in the Corrosion of Metals	288
P. Rutskov. On the Relation between the Volumetric and Heat Capacity Properties of Aqueous Solutions of the Electrolytes	294
I. N. Sheinker, I. Ya. Postovskii, and N. M. Voronina. The Tautomerism of Some Heterocyclic Derivatives. VII.	302
M. Rubinshtein, Yu. A. El'tekov and K. I. Slovetskaya. The Porous Structure and Specific Surface Area of $NiO + Al_2O_3$ Catalysts and the Variation of These Properties with Changes in Composition and Thermal Treatment.	310
G. Stromberg and K. R. Voronova. The Effect of the Dropping Period on the Half-Wave Potential of Manganese and Calculation of the Manganese Exchange Current.	318
A. Zagoruchenko. The Vapor Pressure of Liquid Methane	326
P. Vasil'ev, E. K. Zolotarev and K. B. Yatsimirskii. The Entropy of Gaseous Monoatomic Ions	328
E. Lutskii and V. V. Dorofeev. The Intramolecular Hydrogen Bond and the Dipole Moments of Organic Compounds. III.	331
A. Tager, M. V. Tsilipotkina and V. Doronina. The Effect of the Molecular Weight of Vitreous Polymers on the Packing Density of Their Chains. II.	335
N. Nesmeyanov, L. A. Smakhtin, D. Ya. Choporov and V. I. Lebedev. An Investigation into the Thermodynamics of Solid Solutions of Gold, Silver and Copper. I.	342
I. Nosova, A. A. Rakov and V. I. Veselovskii. A Study of the Electrochemical Behavior of Ozone on the Platinum Electrode by the Method of Cathodic Polarography	349
K. Lepin', A. Ya. Vaivade and Z. F. Oshis. Oxidation Kinetics of Iron in Aqueous Solutions of Mixtures of the Salts $KCl (K_2SO_4) + K_3PO_4 \cdot (K_2HPO_4 + K_2CO_3)$	357
I. Appenin. On the Kinetics of Anodic Processes. II.	367
G. Ryss and S. L. Idel's. Kinetics of the Hydrolysis of Boron Ammine Trifluoride	374
m Yong Ho. The Influence of Electrostatic Interaction of Molecules on the Thermodynamic Functions of Solutions.	381
A. Isirikyan, A. V. Kiselev and B. A. Frolov. The Heat of Adsorption of Normal Alkanes on Silica Gels.	389
A. Yurkov and V. V. Nekrasov. The Electrode Potential of Alloys.	395
G. Knorre, Z. K. Maizus, M. I. Markin and N. M. Emanuel'. Kinetics of the Interaction of Decyl Hydroperoxide with Manganous Stearate in <i>n</i> -Decane.	398
K. Popov. The Szillard Chalmers Effect in the γ -Quantum Irradiation of Chromates and Bichromates.	405
L. Rosenfeld and I. K. Marshakov. On the Mechanism of Metal Corrosion in Narrow Slits and Crevices. VI.	411
G. Antonova, F. P. Ivanovskii, T. G. Fil'chenkova. A. I. Krasil'shchikov. Adsorption Phenomena in the System Hydrogen—Carbon Dioxide—Carbon Monoxide—Water Vapor. I	416
V. Bykov. Electronegativities of Halogens and the Dipole Moments of Halogenated Methanes.	422
V. Kucher and M. A. Kovbus. On the Role of the Aqueous Phase in the Emulsion Oxidation of Isopropylbenzene	429
A. Zaidenman. Contribution to the Theory of Liquid Diffusion Potentials. II.	437
A. Efimov and I. G. Erusalimchik. An Investigation of the Capacitance of the Germanium Electrode	441

- A. F. Postovskaya and A. S. Kuzminskii. Studies on the Structural Changes of Vulcanized Rubber by the Action of Sulfuric Acid. 4
- F. M. Perel'man, A. Ya. Zvorykin and S. K. Shakhova. The Catalytic Activity of the Rare Elements in the Decomposition of Hydrogen Peroxide. II. 4
- V. B. Miller, M. B. Neiman and S. P. Solodovnikov. A Study of the Isotopic Exchange between CH_2J_2^* and J_2 by the Intermittent Illumination Method. 43
- M. T. Dmitriev and S. Ya. Pshezhetskiĭ. The Radiation Oxidation of Nitrogen. IV. 46
- D. F. Sokolova, N. M. Morozov and M. I. Temkin. Kinetics of Ammonia Synthesis under Conditions of Low Pressure and Diffusion Retardation. 47
- G. L. Slonimskii and E. V. Reztsova. Mechano-Chemical Phenomena in Polymers. I. 48
- N. N. Gratsianskiĭ and A. K. Ryabov. Surface Phenomena in the Corrosion of Solid Solutions of Iron. 48
- N. P. Keier. An Investigation into the Nature of the Deviation of Chemical Adsorption from the Langmuir Type with the Aid of Isotop Methods. I. 49

Laboratory Methods and Techniques

- V. T. Avgul'. Immersion Densitometer. 50

Discussion

- K. G. Skvorikov. Remarks on the Papers of P. B. Nemtsov (1, 2). 50

Communications to the Editor

- T. V. Rode and A. A. Mabenkov. On the Valency State of Chromium Ions in Compounds Formed in the Thermal Decomposition of Chromic Anhydride. 50

Miscellany

- A. A. Tolstop'yatova. Aleksei Aleksandrovich Balandin (on His 60th Birthday Anniversary) 50
- L. O. Apel'baum, A. I. Gel'bshtein, N. V. Kulikov and N. M. Morozov. Mikhail Isaakovich Temkin (on His 50th Birthday Anniversary) 50

Технический редактор *Н. А. Колгурина*

01545	Подписано к печати 19/II 1959 г.	Печ. л. 23,29+2 вкл.	Уч.-изд. л. 25,8
Формат бумаги	70×108 ¹ / ₁₆	Бум. л. 8 ¹ / ₂	Зак. 1254
			Тираж 3550 экз.

Типография Издательства Академии наук СССР. Москва, Шубинский пер., 10

22 руб. 50 коп.